

Sirius

AJ 318

39001

PHILLIPS LIBRARY

OF

HARVARD COLLEGE OBSERVATORY.

AA
51

SIRIUS

+

(200)

SIRIUS.



Zeitschrift für populäre Astronomie.

Zeitschrift für Freunde und Förderer der Himmelskunde.

Herausgegeben unter Mitwirkung
hervorragender Fachkünstler und astronomischer Schriftsteller

von

Prof. Dr. Hermann J. Klein
in Köln-Lindenthal

VERLAGSSTELLE

XXXIII. Band, oder neue Folge XXXIV. Band.
1906.



Edmund Heineich Meyer
Verlagsbuchhandlung
LEIPZIG, Neuplatz 16.

4-11-10

Inhaltsverzeichnis.

1. Erde.

- Neue Untersuchungen über Polhöhen-
schwankungen 135.
Der Gewicht und Größe der Erde 160.
Die Abgrenzungslinie auf der durch Mond-
strahlung 169.

2. Fixsterne.

- Selbstbestimmung der Sternbedeckungen als
genauen Methoden. 57.
Die Gesamtzahl der Fixsterne 140.
Die absolute Lichtstärke der Fixsterne. 151.
Herkunftsige Doppelsterne 155.
Beobachtungen über die Helligkeit der
Neve in den Zwillingen 220.
Geschwindigkeit der Bewegung der spektro-
kopischen Doppelsterne. 261.
Die mittlere Geschwindigkeit des Sirius 161.
Neue spektroskopische Doppelsterne 158.
Erster Katalog der spektroskopischen Dop-
pelsterne: Von Campbell und Curtis.
14, 21.
Das Spektrum des Stern Polaris 164.
Das Spektrum des neuen Sterns im Adler
1905. 18.
Nichttrübe Veränderung im Spektrum
des Doppelsterns ϵ Aurigae 70.
Astronomisch-physikalische Untersuchung des
Sterns ϵ Pegasi von Hirsch und Koster-
lin. 86.
Bestimmung der Eigenbewegung von Fix-
sternen durch die Sternschop. 202.
Das System des Castor 219.
Der Doppelstern β Capricorni 263.
Neue spektroskopische Doppelsterne. 261.

3. Kometen.

- Der Komet 1905 b. 18.
Der Komet 1905 c. 35.

- Der Kometen des Jahres 1905 52, 139.
Der Komet 1905 a 56.
Der Komet 1905 b 93.
Der Komet 1905 c 136.
Der Komet Paddy (1905 d) 211.
Der Komet 1905 e 260.
Der Holmsche Komet 234.
Die Bestimmung der Masse des Relativen
Kometen. 234.
Die Rückkehr des Halley'schen Kometen
1910 265.
Neue Kometen. 263, 264.

4. Kosmologie.

- Die neue Weltbildungstheorie 1.
O. H. Dünin über die Entwicklungsges-
chichte des Sonnensystems 165, 261.
Planetenebeln und Sternnebel 70.

5. Meteore u. Sternschnuppen.

- Sternschnuppen, Winternacht starker
26, 139.
Frühling 115, 276.
Schätzbestimmung des Meteor von 14 März
1905. 65.
Die Frage gemeinsamer kosmischer Ab-
kunft der Meteoriten von Simeon,
Jensen und Jovanik 26.
Der Wilkesmeteorit. 64.
Die Struktur der Meteorite 100.
Das Meteor von 18 März 1905. 226.
Erhaltung von 3 Meteoriten 159.

6. Der Mond.

- Selenographische Studien. Von Victor
Neuman 21.
Die Höhenveränderung der Mondoberfläche 51.

Periodische Veränderungen der Größe des Lichtbogens am den Mondhinter Liniel. 84, 103, 107, 109.

Mondlandschaften am Fernele gezeichnet. Von J. Meiß. 98.

Versuche über die Bestimmung der Helligkeits des Mondes. 94.

Neuauflagen auf dem Monde, Darlegung und Kritik der bisherigen Beobachtungsergebnisse. Von L. Klein. 121, 147, 170.

Klassische Hervorhebung von Mondformenungen im Kleinen. 130.

Die Lichtseite des Lichtbogens während der Beobachtungen am 14. August 1905. 102.

Die Verteilung der dunklen Planflächen auf dem Monde. 171.

Synoptische Mondlandschaften. 124.

Mondzeichnungen am Fernele von C. Strubbe. 126.

Beobachtungen des Kraters Ligat während der Beobachtungen von 8. Februar 1905. 101.

7. Nebelflecke u. Sternhaufen.

Die Nebelflecken im Perseus. 68.

Die zentralen Teile des Orionhaufens. Von H. Jan. 73.

Beobachtungen über die Konstellation der Pleiaden. 101.

Die Lage der Pleiaden nach den al-Hakim. Von Prof. Dr. E. Wiedemann. 111.

Von einigen Sternen im großen Orionhaufel. 121.

Ein großer Nebelfleck in der Nähe von α und δ im Skorpion. 170.

Über Cassiopeia und die Konstellation der Pleiaden. 101.

Perseus der Pleiaden im Cygnus. 105.

8. Planeten.

Beobachtungen des Mars 1905. Von Major Holmstedt. 4.

Entdeckung, Beobachtungen und Bahnen der beiden neuen Satelliten des Jupiter. 72.

Untersuchungen über die Helligkeitsveränderungen der 4 großen Jupitermonde. 64, 82.

Der 6. und 7. Jupitermond in der Opposition 1905 und 1906. 116.

Der kleine Planet Wolf 1906 VI. 130.

Ansichten der Marsoberfläche in der Opposition 1905. 103.

Eine neue Methode der photographischen Nachforschung nach kleinen Planeten. 175.

Beobachtung eines heißen Sterns durch den Planeten Venus. 101.

Der Bahn des 7. Jupitermondes. 711.

Photographische Beobachtungen der 5 inneren Saturnmonde. 120.

Der 8. Mond des Jupiter auf der Verkleinerung beobachtet. 124.

Beobachtung des 7. Jupitermondes. 128.

Die Verteilung der Pendelfäden und Extraterritorien der kleinen Planeten. 177.

9. Planetenkonstellationen, Stellungen der Jupiter- und Saturnmonde usw.

14, 20, 25, 30, 35, 117, 142, 165, 184, 311, 371, 383, 395.

10. Sonne.

Photographische Aufnahme der Sonnenfibrillen des 28. August 1905 durch die Hamburgs Museum. 4.

Die Hamburgische Sonnenfibrillenexpedition nach Süd-Afrika. 25.

Die sogenannten fliegenden Schatten bei totalen Sonnenfinsternissen. 70.

Sonnenfibrillen im Oktober 1905. 30.

Helligkeit der Sonne in Sterngrößen. 40.

Ansichten der Krone bei der totalen Sonnenfinsternis am 11. Mai 1905. 50.

Zur Physik der Sonne. Von Prof. A. Schmidt. 75-95.

Das Spektrum der Sonnenflecke. 98.

Der kleinste Sonnenfibrillen am 21. Juli 1905. 100.

Die Sonnen- und Mondfinsternisse im Monat August 1905. 160, im Monat Januar 1907. 201.

Untersuchungen über die Gestalt der Sonne. 102.

Sonnenfibrillenperioden. Von A. Schuster. 120.

Die zentrale Himmelsdecke während der Sonnenfinsternisse am 30. August 1905. 212.

Photometrie der Helligkeitsveränderungen der Sonne. 175.

Das Spektrum der Sonnenflecke und der Krone. 102.

11. Sternwarten, Instrumente und Beobachtungsmethoden.

Ein Gefäß für die Spiegelreinigung des Sonnenobservatoriums auf Mt. Wilson. 62.

Forstere (für Freunde der Himmelsbeobachtung) 48.
Photographische Spiegelteleskope von kurzem Brennweite 125.
Die Lichtverluste 146.
Friedrich der Hamburger Sternwarte 168.
Die Fähigkeit des ultraspiegelfähigen Glycerinsulfats in Potsdam 165, 185, 221.
Der Spiegelkumpen 177.
Die Fähigkeit des ultraspiegelfähigen Isotans Chlorid 185, 220.
Neue Messungen und Doppelstern für große Fernrohre 225.
Die Sternwarte in Greifswald 224.
Eine neue Sternwarte in New York 226.
Ein Teleskop von 120 Zoll Spiegel-
durchmesser 225.

12. Veränderliche Sterne.

Fahnenstern der veränderlichen Stern
V Orion 35.
Neuer oder veränderlicher Stern im Widder
18.
Der neue Stern im Adler (Nova aquila
No 2) 61.
Der neue aufgefunden veränderliche
Stern 66.
Ein Vorschlag zur Durchmusterung des
Himmels nach veränderlichen Sternen
284.
Der in Argentin genommen Katalog der
veränderlichen Sterne 224.

13. Vermischtes.

Monster 35, 44, 65.
Erklärung der Abmessungen 19.
Persepolis 65.
Ein astronomisches System zu verwalten 43.
Ein unbekannter Stern in der Nähe der
Vogel 71.
Der Wandel der Bibliographie und Sta-
tus der Astronomie 222.

Die Veranstaltung der astronomischen Ge-
sellschaft im Jahr 232, 241.
Zum Jubiläum der Entdeckung des Nep-
tun 243.
Der Charakter der Sonnenflecken 251.
Eine neue Erklärung der Ursache der Ge-
zeiten 267.
Periodische Bewegungen der Elektrone
im Weltraum 262.
Astronomischer Schwundel 264.

14. Tafeln.

- I. Aufnahmen der totalen Sonnenfinsternis
am 26. August 1905 durch die Ex-
pedition der Hamburger Sternwarte
in Socra-Alger in Algerien
- II. Aussehen des Planeten Mars 1903
nach Zeichnung von Major Mo-
derworth
- III. Mondzeichnungen von Victor Nie-
man in Kopenhagen
- IV. Die Korona während der totalen
Sonnenfinsternis am 17. Mai 1901 nach
photographischen Negativen gezeich-
net von H. R. Hoegh
- V. Die zentrale Teil des Orionnebel
gezeichnet von H. Loe
- VI. Mondlandschaften am Fernrohr ge-
zeichnet von J. Meier
- VII. Großer Nebel bei α und δ Scorpi,
photographiert von E. E. Barnard
- VIII. Hauptkometen des Mars bei der
Opposition 1903, gezeichnet auf dem
Licht-Objektivsystem in Flagstaff
(Arizona)
- IX. Photographische Aufnahmen kleiner
Planeten nach der neuen Methode
von J. H. Meier
- X. Spectroskopische Bestimmung der
relativen Eigenbewegungen der Fix-
sterne nach Prof. Wolf
- XI. Karte der Milchstraße im Cepheus
- XII. Neue photographische Fernschnei-
dungen nach J. Meyer
- XIII. Mondlandschaften am Fernrohr ge-
zeichnet von C. Schmitt

SIRIUS.

Zeitschrift für populäre Astronomie.

Centralorgan für alle Freunde und Förderer der Himmelskunde.

Herausgegeben.

unter Mitwirkung hervorragender Fachkollegen und astronomischer Fachschüler

von Prof. Dr. Hermann J. Klein in Köln.

Januar 1906.

„Wissen und Erleben“ und die Freunde und die
Bereitigung der „Reichhaltigkeit“ „Kunst.“

Jeden Monat 1 Heft. — jährlich 12 Hft.

Verlag von EDUARD HEINRICH MAYER in Leipzig.

INHALT: Die neue Weltentstehungstheorie. (Mit 1 Figur.) S. 1. — Planetenentstehung
Lebendiges der Sonnenentstehung des 20. August durch die Planetenentstehung. (Mit
Tafel 1.) S. 2. — Beobachtungen des Mars im Jahre 1903. Von Major F. B. Möller. (Mit
Tafel 2.) S. 3. — Einführung, Beobachtungen und astronomische Notizen der
ersten neuen Weltentstehung des Jupiter. S. 12. — Letzte Kollision der astronomischen Gegenstände.
Von W. W. Campbell u. Major D. C. C. S. 14. — Vermutliche Nebelentstehung. S. 15.
Literatur. S. 16. — Erklärung der Kollisionen. S. 17. — Beobachtungen der Jupiter- und
Neptunwelt. S. 18. — Aufeinanderstöße der Jupiter- und Neptunwelt. S. 19. — Kollisionen der Jupiterwelt. S. 20.

Die neue Weltentstehungstheorie.

(Mit 1 Figur.)

Seit etwa hundert Jahren betrachtet
alle Vorstellungen über die Art
und Weise wie sich unser Sonnensystem
gebildet hat, die von Laplace
aufgestellte Hypothese. Nach dieser war
die Sonne in einer gewissen früheren
Zeit der Kern eines Nebelknäuels, der
sich über die Bahn des künftigen
Planeten erstreckte. Dieser Nebelknäuel
befand sich in Umdrehung von Westen
nach Osten. Durch Abkühlung mußte
er sich zusammenziehen und infolge-
dessen seine Umdrehungsgeschwindigkeit
erster und erster zunehmen, bis
schon in der äquatorialen Gegend
ein rotierender Ring abfiel. Dieser
Vorgang wiederholte sich im fortwäh-
renden Verlauf des Abkühlungsprozesses und

so entstanden mehrere Nebelringe um
den zentralen Kern. Diese drehenden
Ringe hatten aber keine Dauer, sondern
brachen auf und führten dadurch zur
Entstehung kugelförmiger Massen (Pla-
neten), die um von Westen nach Osten
um das allgemeine Zentrum rotierten
und gleichzeitig in der äquatorialen Wei-
tung Rotation um sich selbst begannen.
Da diese Massen auch rotierend
waren, konnte sich der allgemeine Vor-
gang bei ihnen wiederholen, wodurch
die Monde oder Trabanten der Planeten
entstanden. Diese Laplacesche Theorie
ist von Herrn Leibniz als Hypothese
aufgestellt worden, dass er war als
Nationalist der ersten Ranges sich be-
wusst, daß diese Vorstellung der Weltent-

bildung neben großer Wahrscheinlichkeit in ihrem allgemeinen Zügen doch auch schwerwiegende Bedenken entgegenstehen. Auf letztere näher einzugehen ist hier nicht der Ort, es muß genügen hervorzuheben, daß die Ableitung der Ringe einer Vorkliffung ist, gegen welche begründete Bedenken erhoben worden sind. Nichtsdestoweniger hat die Laplace'sche Theorie in der Wissenschaft Ansehen behalten, so wie sie in späterer Zeit besonders von dem Geologen mit Vorliebe zur Grundlage weltlicher Speculationen gemacht worden und auch der Erfindung der Spindeltheorie hat sie auch auf astronomischen Gebieten den Ausgangspunkt wichtiger Schlußfolgerungen gebildet. Ihr hypothetischer Charakter blieb darum den Forscher nicht weniger gegenüber, und es hat nicht an Versuchen gefehlt, ihre Grundzüge wissenschaftlich sicherer zu gestalten. Daß dies nur mit Hilfe neuer mathematischer Untersuchungen möglich sein kann, liegt nahe, aber erst in neuester Zeit ist das Problem so weit gelöst worden, daß eine sichere Begründung desselben behauptet werden kann. Dabei hat sich herausgestellt, daß die Laplace'sche Hypothese in ganz allgemeinen Zügen sich bewahrt, daß sie aber in gewissen Hauptpunkten einer Umgestaltung bedarf. Unter denjenigen, welche sich mit dieser Ausbildung und besserer Begründung der Kosmogonie unseres Sonnensystems beschäftigt haben, sind vor allen T. C. Chamberlin und F. B. Moulton zu nennen. Besonders der letztere hat auf mathematischem Wege die Konsequenzen entwickelt, die sich bezüglich des Ursprungs unseres Sonnensystems ergeben. Eine zusammenfassende Darstellung, die er kürzlich veröffentlicht,¹⁾ stellt den derzeitigen Standpunkt unseres Wissens von der Entwicklung des Sonnensystems in Kürze dar.

In dieser Theorie wird nachgewiesen,

daß sich das Sonnensystem aus einem Spindelbel gebildet hat, ähnlich dem Spindelbel, welche die Photographie im Weltraum nachgewiesen hat und die auch heute vielfach zahlreicher dort vorhanden sind als andere Nebelformen meistens genannt. Es wird angenommen, daß dieser Spindelbel dadurch entstand, daß ein fremder Planet sehr nahe bei der Sonne vorbeiging. Die Dimensionen dieses Nebels wuchsen fast ausserordentlich beständig von den Bahnbewegungen der kleinen Teilchen, aus denen er bestand, und war in sehr geringen Grade durch gestörte Expansion. Er war dabei bereits im Zustande des hydrodynamischen Gleichgewichtes, und sein Wärmeverlust durch Ausstrahlung war nicht notwendig, um zur Bildung von planetarischen Körpern zu führen. Die Planeten haben sich vielmehr gebildet durch die intensive Anhäufung der durch das ganze System vertriehen Materie um ursprüngliche Kerne von größeren Dimensionen. Erst auf diese Weise entstandener Spindelbel muß sich zu einem System entwickeln, das folgende Eigenschaften besitzt:

Alle Planeten bewegen sich in der nämlichen Richtung und nahezu in der gleichen Ebene. Die Sonne rotiert in derselben Richtung und ebenfalls nahezu in der gleichen Ebene mit einer gewissen Beschleunigung ihrer äquatorialen Teile. Je mehr die Planeten durch Aufnahme der zerstreuten Materie an Masse zunehmen, um so mehr nähert sich ihre Bahn der Kreisform. Die Planeten rotieren in derselben Richtung, in der sie sich bewegen, und um Achsen, die nahezu senkrecht zu dieser Ebene stehen. Je mehr die Planeten an Masse gewinnen, um so rascher rotieren sie. Die ursprünglichen planetarischen Kerne können mit anderen Kernen näher verbunden sein, welche intensive in beliebigen Richtungen um sie rotieren, indem sie die zerstreute Materie, welche das ganze System bildet, dahin werben, diese Sa-

¹⁾ *Astrophysical Journal* 1915 Oktober, p. 166

Weltkörper, soweit sie sich nicht in der allgemeinen Ebene des Systems bewegen, auf den ursprünglichen Kern herabzuziehen. Andererseits bewirkt es, daß die Satelliten selbst keine Körpergefahren erhalten und behalten, wenn sie in der allgemeinen Bewegungsrichtung rotieren, dagegen sehr unvorteilhaft, wenn sie sich in retrograder Richtung bewegen. Ein Satellit kann in kürzerer Zeit um seinen Hauptkörper laufen, als dieser zu einer Rotation bedurft. Ferner kann das System verschiedene Planeten enthalten, deren Bahnen einander kreuzen. Die kleinen Planeten können heiß und dicht sein, während die großen noch heiß und wenig dicht sind.

Das liegt in der Hauptsache die Eigenschaften, welche ein System, das sich unter den angegebenen Verhältnissen entwickelt, besitzen wird, und Prof. Moles hat hierzu bereits die mathematischen Beweise. Was zunächst den möglichen Ursprung des Spindelstels anbelangt, so ist klar, daß infolge der Bewegungen der Planeten entsteht werden muß, daß im Verlaufe gewisser Zeitpunkte zwei derselben sehr nahe aneinander vorbeigehen werden, daß dagegen die Zusammenstoß derselben weit weniger häufig sich ereignet. Wenn sich nur zwei große Massen dieser Art einander sehr nähern, so müssen sie gegenseitig gewaltige Fluten hervorruhen. Denken wir uns eine Sonne, die wir mit S' bezeichnen wollen, kommt unserer Sonne S (Fig. 1) sehr nahe und bewege sich um diese in der durch die bogenförmige Linie bezeichneten Bahn. Dann muß auf der Sonne S an der gegen S' gerichteten Seite eine gewaltige Flutwelle entstehen und auf der entgegengesetzten Seite eine nahezu ebenso große. Aus der allgemein bekannten Theorie der Ebbe und Flut folgt, daß die Wirkung auf S einer äquivalenten Verformung der Schwere derselben entsprechen wird in einer Linie, welche nach S gerichtet ist, dagegen in einer Zone der

Schwere in andere Richtungen. Der französische Mathematiker Bouguer hat gezeigt, daß, wenn zwei Himmelskörper einander so nahe kommen, daß ihr gegenseitiger Abstand geringer ist als das 244fache ihrer Halbmesser beträgt,



Fig. 1.

stehen die eigene Attraktion einer Masse mehr als aufgehoben wird, durch die entgegenstehenden Kräfte, welche sie aufeinander ausüben. In dem oben betrachteten Falle der Einwirkung der Sonne S' auf unsere Sonne S muß jene sich auf dieser durch Hervorworfung von Ausbrüchen, ähnlich den eruptiven Protoplaneten, äußern, und zwar in der Richtung auf S zu und auf der entgegengesetzten, so daß gewaltige Massen von Materie in beiden Richtungen entgegengesendet werden. Diese Massen würden wieder auf die Sonne zurückfallen, wenn sie nicht der störende Körper S' infolge seiner ege-

von Bewegung von der geraden Linie ablenkt und dadurch verursacht, daß die Ellipsen um die Sonne beschreiben. Der obige Figur 1 zeigt dies schon. Wenn S in der Stellung S_1 sich befindet, so werden die Massen P und P' von der Sonne S nach entgegengesetzten Richtungen hin ausgestoßen. Es bezeichnet die Linie SA die störende Wirkung von S' auf S nach Richtung und Größe und in der einfachen Weise die Linie PA und $P'A$ die Wirkung von S' auf P und P' . Zerlegt man die Linien PA und $P'A$ nach dem Parallelagramm der Kräfte in je zwei Komponenten, so daß das derselben gleich und parallel zu der Linie SA wird, so werden, da SA , PA und $P'A$ einander gleich und parallel sind, hierdurch die selben Positionen von S ,



Fig. 2

P und P' nicht gestört, die störenden Beschleunigungen werden naturlich nach Richtung und Größe durch die Linien PD und $P'D$ dargestellt. Man nimmt an, daß die auf P und P' ausgeübte Störung dieselbe sei, eine Störung um S in der Richtung der Bewegung des Körpers S zu verstehen. Diese einfache Betrachtung zeigt die Wirkung der Störung klar, aber den genauen Betrag und Verlauf derselben kann man nur mit Hilfe der höheren Mathematik ermitteln. Auch die Beschreibung auf diesem Wege ist sehr unvollständig, weil die störenden Kräfte beträchtlich sind. Die Bahn, welche die von der Sonne ausgestoßene Materie beschreibt, hängt ab von der Masse des störenden Körpers S , seiner Annäherung an S , von der relativen Position von S als die Materie ausgestoßen wurde, sowie von der Geschwindigkeit dieser Materie. Um hierüber volle Klarheit zu ge-

winnen ist es erforderlich, für eine größere Anzahl spezieller Fälle die Berechnungen vollständig durchzuführen, und diese Arbeit hat Prof. Mouzon unternommen. Sowie derselbe bis jetzt durchgeführt ist, ergibt sich, daß die Materie bei P und P' unter der Einwirkung von S in elliptische Bahnen gezwungen wird. Es verbleibt zu zeigen, daß nach dem Fortgange von S der Nebelring eine spezielle Gestalt besitzen wird. Figur 2 zeigt die Position der ausgestoßenen Materie zu verschiedenen unterliegenden Intervallen. Die geschlossenen Linien sind die tatsächlichen Kurven, welche beschrieben wurden, und die ausgestragten Linien zeigen die wahrscheinliche Gestalt der Spirale. Daraus wird natürlich noch eine große Menge von weiterer Materie durch das ganze System verteilt sein, die Hauptgestalt aber muß die einer regelmäßigen Spirale sein, die an entgegengesetzten Seiten von S ausläuft. Das ist nun genau diejenige Form, welche man häufig auf dem Photographen der kosmischen Nebelringe wahrnimmt. Zu beachten bleibt dabei, daß die Bewegung der Materie nicht ganz ausschließlich längs der Linien der Spirale erfolgen wird und daher in dem Maße, als der Spindelstiel länger bleibt, seine Gestalt veresteter werden muß. Mag man, sagt Prof. Mouzon, die Richtung dieser Hypothese über den Ursprung und die Natur der Spindelstiel bestätigen oder nicht, so viel scheint so wohl gemäß dem Anschein als der Beschaffenheit der Spindeln derselben, namentlich wahrscheinlich, daß die Theorie zu einer genauen Darstellung ihrer physikalischen und dynamischen Verhältnisse geführt hat. Zweifellos sind die Spindelstiel, welche aus die Photographie kennen lernen, unendlich viel größer als der nun, aus dem sich unser Sonnensystem gebildet haben mag, und durchschnittlich besitzen ihre Zentren auch geringere Masse.

Die Materie wurde ursprünglich mehr oder weniger ungleichmäßig ver-

geworfen, und in ihr befanden sich geringstenfalls größter Massen oder Kerne, um die sich die inneren vorstehende Materie auch und nach zusammen und dadurch Planeten schuf. Die Richtung des Auswurfes hängt von der Richtung ab, in der sich S befindet, der Bewegung der Flut auf S und der ursprünglichen Richtung und Bewegungsgröße der Rotation von S . Es ist sehr unwahrscheinlich, daß die Ebene des Äquators von S ursprünglich mit der Bahnebene von S zusammenfiel, folglich fanden die ursprünglichen Auswurf von S auch nicht ähnlich genau in der Bahnebene von S statt. Eine selbst Betrachtung ergibt aber, daß zuletzt die Materie sich ziemlich symmetrisch zur Bahnebene von S ordnen mußte. Es folgt ferner aus der symmetrischen Vorrichtung der ausgestoßenen Materie, daß in dem Maße, als die Planet durch Auflösung der zerstreuten Materie an Masse zunimmt, um so näher die Ebene seiner Bahn mit der Ebene der von dem Körper S durchschweiften Bahn zusammenlagern muß. Wir müssen folglich bei den größten Planeten des Sonnensystems Bahnen annehmen, deren Ebenen wenig voneinander verschieden sind, dagegen bei Merkur und den Planeten die größten Unterschiede in den Bahnebenen, was auch in Wirklichkeit der Fall ist. Unter diesem Gesichtspunkte hat auch die starke Neigung der Bahn des Enos, der sich zwischen der Bahn der Erde und der Mars bewegt, nicht überraschendes Mysterium mehr, denn, daß die Kerne, welche sich in den ausgeworfenen Strömen der Materie befanden, die Entstehung ihrer elliptischen Bahnen um so mehr verursachen mußten, je mehr sie durch Aggregation an Masse zunahm. Diese Schlussfolgerung findet in den Verhältnissen der heutigen Planetenbahnen ihre vollständige Bestätigung.

Was die heutige Rotation der Sonne anbetrifft, so ist sie das Resultat der ursprünglichen Rotation und der

Störung, welche dieselbe durch den Körper S erlitten hat. Die stärkste Einwirkung wurde herbeigeführt, als die äquatoriale Zone der Sonne zerbrach, und zwar bis zu einer nicht beträchtlichen Tiefe unter der Oberfläche des Sonnenkörpers. Infolgedessen empfingen die äquatoriale Schichten des Sonnenhalbes eine Beschleunigung ihrer Rotationsbewegung, die noch heute vorhanden ist.

Die Bildung von Satelliten, welche die Planeten umkreisen, wird nach Prof. Moleson durch die neue Theorie vollständig dargestellt. Die größtenteils Massen, aus denen die Planeten sich bildeten, wurden, als sie die Sonne verließen, offenbar von kleineren begleitet. War die Geschwindigkeit der letzteren sehr klein im Vergleich mit den beschriebenen Haupten, so wurde die kleine Masse in die große hineingezogen und verlor ihre selbständige Existenz, war ihre relative Geschwindigkeit dagegen sehr groß, so entfernten sie sich von derselben und begannen eine Laufbahn als selbständiger Körper. In allen anderen Fällen bewegte sich die kleinere Masse um den planetarischen Haupten, eher daß dabei eine bestimmte Richtung vor der andern bevorzugt worden sein kann. Zum Zwecke der weiteren Untersuchung teilt Prof. Moleson die sekundären Massen in nach den Lagen ihrer Bahnen und den Richtungen ihrer Umlaufbewegung in drei Klassen. Zur ersten Klasse diejenigen Massen, deren Bahnen erheblich gegen die Ebene, in welcher sich der Haupten bewegt, geneigt waren; die zweite umfaßt diejenigen, welche sich sehr in dieser Hauptenebene rechtwinklig bewegten, die dritte endlich diejenigen, welche sich nahe der Hauptenebene ringsum bewegten. Von den sekundären Massen der ersten Klasse ergibt sich leicht, daß ihre Bahnen sich zunehmend verringern mußten, und so auch und nach auf den Haupten beschriebenes. Was die Massen der zweiten Klasse anbetrifft,

so zeigt Prof. Huidon durch eine Reihe einfacher Betrachtungen, daß in diesem Falle die Zusammenstöße derselben mit andern und der ihm anstehenden Materie des ganzen Systems daher nicht ausreichen, die Bahnbewegungen dieser schwachen Massen zu vergrößern, und daß daher diese von einem Körper ihrer selbständigen Existenz erhalten konnten. Die Geschwindigkeitszunahme von α ist größer, wenn die schwachen Kerne am entferntesten von ihrem planetarischen Hauptkörper sich befinden, und die Mechanik des Himmels zeigt ferner, daß ihre Bahnen kontinuierlich sich der Kreise nähern müßten. Was die Kerne der dritten Klasse anbelangt, so zeigt Prof. Huidon, daß die zentrale Nebelmaterie auf deren Bewegung als bestimmendes Medium einwirken mußte, die Excentricitäten ihrer Bahnen werden größer, aber die Erde war, daß die meisten dieser schwachen Massen auf ihren Hauptkörper, um den sie sich retrograd bewegten, heimkehrten.

Die Planeten entstehen aus der Materie, deren Bahn nicht eine Regel kennt, welche von einem großen Massenkerne durchzogen wurde. Die Massenvertheilung blieb gering wegen ihrer Kleinheit und schwachen Anziehungskraft. Die Verschmelzungen der Excentricitäten und Neigungen ihrer Bahnen sind ein Maß der nach dem Vorübergange von β verfallenden Heterogenität, bevor die ungleichmässigen Wirkungen der Kollision sich geltend machten. Eos ist der einzige Körper von größeren Dimensionen zwischen den Bahnen des Mars und der Erde, der sich infolge der starken Neigung seiner Bahn erhalten konnte, ohne von Eos durch Zusammenstoß mit einem dieser Planeten zerstört zu werden.

Die ursprünglichen Kerne waren anfangs von so geringer Masse, daß deren Anziehung nicht ausreichte, um atmosphärische Umhüllungen herbeizuführen. Infolgedessen mußten sie bald zerfallen und in den fernsten Zustand

übergehen. Die feine zerstreute Materie verlor in gleicher Weise auch ihre Wärme. Infolgedessen geschah die Vergrößerung der Planeten durch feste Materie, und sie sind feste Körper gewesen während der ganzen Zeit ihres Daseins nach dem Vorübergange von β . Ihre Atmosphären haben sie erst in einem späteren Stadium erworben durch die Einwirkung der eingeschlossenen Oase, als die Materie sich verdichtete. Die heute noch vorhandene feine Wärme und die ehemalige heiße Glut, von der der Zustand der Erdoberfläche so reichlich Kunde geben, ist zum Theile am Ueberreste der ursprünglichen Hitze, die nicht durch Ausstrahlung verloren gegangen, weil nicht der hervorgerufene durch die Kontraktion der Massen von der ursprünglichen geringen bis zu der heutigen Dichte derselben. Prof. Huidon hat mathematisch nachgewiesen, daß diese Kontraktion bei Kugeln von der Größe der Planeten völlig ausreicht, den in Erde vertheilten Wärmeeffekt zu erzeugen.

Der ursprünglichen Kernmassen, welche sich allmählich zu den großen Planeten vergrößert haben, waren von geringer Masse, um wirkliche Atmosphären um sich zu schaffen. Infolgedessen haben sie ihre ursprüngliche Hitze weit länger behalten können als die kleinen Massen, und aus dem nämlichen Grunde müssen sie in späterem Verhältnisse als diese feste und flüssige Substanzen beibehalten. Ferner müssen sie die feine zerstreute Materie nacheinander mit großer Kraft verdrängt und deren Rückstoss nach heftigen Wärmeentwicklung veranlaßt haben. Während bei den kleinen Planeten die oberflächliche Wärme durch Ausstrahlung rasch verloren ging, haben die Atmosphären der großen Planeten diese Wärme in erheblichem Maße zurückgehalten, und infolgedessen wurde hier der ursprüngliche heftige Zustand in unüberwindlichen Maße verlängert.

In einem System, welches Satelliten mit direkten und retrograden Be-

wegungen besteht, muß man auf Grund der hier dargestellten Theorie erwarten, daß retrograde Bewegungen bei den sehr reifenen Satelliten und beträchtlich exzentrischen Bahnen auftreten werden. Dies ist in der Tat der Fall beim 9. Saturnmonde. Die ungewöhnliche Lage der Bahnachsen der Uranimonde scheint anzudeuten, daß in diesem Falle die ursprünglichen sekundären Kerne sich in besonderer Weise bewegten. Diese Verhältnisse an Uranimonden hätten auf Grund der Theorie nicht vorausgesetzt werden können, aber sie sind auch nicht unvereinbar mit demselben, wie sie solchen mit der Ringbildungstheorie allerdings sind. Daß die Planeten von größerem Masse mehr Satelliten besitzen als kleine Planeten, ist leicht zu begreifen, wenn man weiß, daß je ein stärke ihrer ältesten Anziehung einen und weiter reichenden Einfluß auf sekundäre Kerne mit großer relativer Geschwindigkeit ausüben konnten.

Der neunte Saturnmond (Phoebe) bildet durch seine retrograde Bewegung im Gegensatz zu der rechtshändigen Bewegung aller übrigen Saturnmonde einen erschütternden Widerspruch mit der Laplace'schen Ringtheorie. Prof. Pickering hat diesen Widerspruch dadurch zu haben versucht, daß Phoebe ursprünglich ein Komet gewesen sei, der vom Saturn gefangen und als Trabant festgehalten sei. Prof. Moulton hat aber mathematisch gezeigt, daß das unmöglich ist und der Widerspruch gegen die Laplace'sche Theorie in aller Schärfe bestehen bleibt.

Schon die kurzen Andeutungen, welche hier von der neuen Weltbildungstheorie gegeben wurden, genügen, um zu erkennen, daß die Spallstheorie mindestens, wie Prof. Moulton sagt, «eine gute Arbeitshypothese» ist. Sie erklärt alle Erscheinungen, welche die Ringbildungstheorie erklärt, und viele andere, welche dieser ungenügen.

Es ist hier nicht meine Erscheinung beabsichtigt, welche die stoffliche Schmelztheorie handlen sollte. Dagegen gibt die Voraussetzung der Entstehung einer ganzen Reihe neuer und schwieriger Fragen auf dem Gebiete der Himmelsmechanik. Hierbei gehören die Wirkungen der flüchtigen Kräfte bei sehr großen Annäherungen zweier Weltkörper, die Störungen der Bahnen der unter solchen Umständen zugehörigen Materie unter den verschiedenen Verhältnissen, statt der älteren Verbindungen dieser Materie. Die Spallstheorie erweitert sich weiterhin fruchtbar für neue Forschungen astronomischer und geologischer Natur und erscheint von größter Wichtigkeit auf dem Gebiete der Naturphilosophie. Es ist Pflicht man die kosmischen Vorgänge daher anzusehen, daß durch dieselben die Materie in immer größerer Masse zusammengefaßt werde und die Energie sich zunehmend mehr vermehre. (Ist aber können wir mächtige Tendenzen, die auf eine Zerstörung der Materie hinarbeiten.) Diese Vorstellung bringt in die Entwicklung der Himmelskörper ein Element von zyklischem Charakter, wenigstens die Frage nach den Quellen der erschütterlichen Energie noch offen bleibt.) Es steht aber hoffen, daß diese Schwierigkeit gehoben wird, da unsere Forschungen über die innere Energie der Atome die Möglichkeit zeigen, daß die von Helmholtz aufgestellte Kontraktionstheorie nur einen Teil der Energie erklärt, die in den Himmelskörpern vorhanden ist.

¹ Diese Idee findet sich zuerst deutlich ausgedrückt in Prof. Chamberlins Abhandlung im Astrophysical Journal 1901, Bd. 14, p. 17 bis 49. Die Erscheinungen der Saturnsatelliten, besonders, wenigstens im völlig anderen Sinne, nach derselben Richtung.

² Diese Schwierigkeit besteht in gleicher Weise auch für die Ringbildungstheorie bestehen.

Photographische Aufnahmen der Sonnenfinsternis des 30. August durch die Hamburger Sternwarte.

(Platte Tafel I.)

Die auf Tafel I in Lichtdruck wiedergegebenen Aufnahmen entstanden wie der Größe des Deckens der Hamburger Sternwarte Herrs Prof. Dr. Schorr Fig. 1 gibt die dreimal vergrößerte Reproduktion einer Aufnahme der inneren Korona. Diese Aufnahme wurde gemacht mit einer Porträtlinse von Daedal (Öffnung 105 mm, Brennweite 570 mm) und Expositionszeit von 45 Sekunde. Die Aufnahme zeigt (im Original) die große breite Protuberanz auf der Ostseite und die markirte Struktur der inneren Korona. Die weit an den Polarkanten der Lichtöffnung Beschränkung hat sich dieses Mal markirungsgewisse am Sonnenkanten gezeigt.

Fig. 2 gibt eine Darstellung der ganzen Korona. Leider zeigt die Reproduktion bei weitem nicht allen Detail das auf der Originalplatte sich-

bar ist. Auf dieser erschienen auch die Strahlen, zumal die tangential verlaufenden, bei auf Entfernungen von 2" vom Mondmittelpunkte. Prof. Schorr glaubt, daß bisher so lange Strahlen noch nicht photographiert (aber allerdings mit dem Auge gesehen) worden sind. Die Aufnahme wurde erhalten mit einer Vollflinischen Linse (Öffnung 175 mm, Brennweite 650 mm) die auf $\frac{1}{100}$ abgeblendet war bei einer Expositionszeit von 3^m 35^s.

Beide Aufnahmen sind auf der Station Saak Almas in Alger gemacht worden. Mit dem großen 30 m-Bohr waren mit zwei 4 m-Bohren werden vorzügliche Aufnahmen erhalten, welche u. a. die Struktur der inneren Korona im Detail zeigen und die erst später mit dem Bericht über die Expedition veröffentlicht werden können.

Beobachtungen des Mars im Jahre 1903.

Von Major P. E. Molleworth.

(Platte Tafel II.)

Major P. E. Molleworth hat während des Jahres 1903 zu Teaneau auf Ceylon mit einem Reflektor von 12½ Zoll Spiegel durchgeführte systematische Beobachtungen des Mars ausgeführt, deren Ergebnisse er jetzt veröffentlicht. Die damalige Opposition des Mars war nicht sehr glänzend, insofern die Scheibe des Planeten während der größten Annäherung an die Erde nur 144" groß erschien. Dagegen bot die Richtung der Marsche eine günstige Lage der nördlichen Hemisphäre, und der geringe Durch-

messer der nördlichen Schattzone gestattete die Details der Oberfläche bis in große Nähe des Poles wahrzunehmen. Das Frühlingsequinoxium der nördlichen Hemisphäre fiel am 1903, Aug. 12, die Sonnenfinsternis des Mars fand statt 1903, Januar 13, das Sommerequinox der nördlichen Hemisphäre 1903, Febr. 27, die Opposition des Planeten 1903, März 29 und das Herbstequinoxium seiner Nordhemisphäre am 28. August. Die Beobachtungen umfassen den Zeitraum vom 13. Februar bis 7 Juni. Gegenüberliche Beobachtungen wurden auch in den Monaten Juli, August und September angestellt. Die angewandte Vergrößerung war durchweg 450 fach.

¹⁾ Monthly Notices 1903, Vol. LXV, Nr. 3, p. 325 ff.



Fig. A

Seite 1006

Aufnahmen der totalen Sonnenfinsternis am 30 August 1905 durch die Expedition der Hamburger Sternwarte an Hochalpen in Ägypten



Fig. B

Seite 1

Während der Beobachtungszeit wurden 204 Zeichnungen des Aussehens der Rauscheibe kategorisiert, von denen Major Malinowski die sechs besten vorzüglichste um das typische Aussehen des Mars im Jahre 1963 zu veranschaulichen. Von denen sind zwei hier auf Tafel II reproduziert. Die erste zeigt den Mars April 7 4h 15m in Zi. von Greenwich, als der Marsden von 217° auf der Mite der Scheibe stand. Das Zentrum der Scheibe entsprach auf dem Mars der nördlichen Breite von 23-4°. Der helle Doppelfleck unten ist der nördliche Polarfleck. Von diesem aufwärts gegen die Mitte der Scheibe hin zieht man zwei weitere runden Fleck (Nabus Latus) von dem auch unten bis rechts zwei Kanäle (Canals) verlaufen, die mit zwei großen runden Flecken (Copa's Latus) endigen. Sie werden dort von einem weiteren Doppelfleck (Boreocynthia) geschnitten, der aus einem größeren runden Fleck (Colat Palus) hervorkommt. Andersons läuft von Nabus Latus ein langer bogenförmiger Kanal (Alcyonae) der eine halbkreisförmige helle Fläche (Kathay) einschließt, sich nach aufwärts wendet und dort einen dunklen halbkreisförmigen Streifen bildet, dessen Spitze einen dunklen runden Fleck (Tremas Charontis) zeigt. Ein helle aufsteigende Fläche, welche sich hier zeigt (Elysium), ist auch rechts bis durch einen hellen Streich abgegrenzt. Ein gerader dunkler Kanal (Cyclops) führt aufwärts (hinaufwärts), zu einem dunklen Doppelfleck (Mars Cimmerius), über dem ein langer schmaler bogenförmiger Strich die Grenze des Mars Tymoraum bezeichnet. Der große dunkle, gegen Süden spitzig auslaufende Fleck nahe dem rechten Rande ist Syrtis major; die zeigt links an der hervorragenden Spitze einen kleinen runden Fleck (Lacus Moeris) von dem ein matter Kanal gegen das Mars Tymoraum ausläuft.

Der zweite Abending steht dem Mars der April 2 4h 0m in Greenwich Seite 196, Heft 1.

Zeit. Man sieht nahe der Mitte der Scheibe Syrtis major, darunter den runden Fleck Colat Palus und von diesem nach rechts bis gegen den Rand der Scheibe hin sich erstreckendes angedeuteten Protomias. Ein zweiter, größerer runder heller Fleck schlingt unter Colat Palus und mit diesem durch einen hellen Kanal verbunden, ist Copat Latus. Von dem Italian langer bogenförmiger Streifen aus, der sich links nach oben zieht und mehrere dunklere Stellen aufweist, es ist Canas. Der große dunkle Kanal, welcher vom Colat Palus rechts schräg aufwärts zieht und von zwei andern Kanälen seitwärts durchschnitten wird, ist Phraon, er mündet oben in der Spitze des Mars Schwan.

Von Verdoppelung der Kanäle hat der Beobachter wenig wahrgenommen, was durchsichtig, schon ihm sollte zu beachten bei Boreocynthia (April 2 bis 5), Canbus (April 14), Nicosyria (April 4 und 5). Canas hält er nicht für einen Kanal in dem sogenannten Sinne des Wortes, sondern mehr für einen mit dunklen Flecken besetzten Randel vom Utopia. Am Rande und in der Lichtgrenze wurden verschiedene Mit kleinen hellen Hervorhebungen gesehen und liegt der Lichtgrenze einer Art Blauschattengrenze. Der Beobachter hebt besonders hervor, daß in Marsbeobachtungen gute Luft und vollkommenes Gelingen der Bilder ausserordentlich ist. Das Aussehen des Planeten in den besten Nächten sei vollständig verschieden von demjenigen in weniger (nicht vollkommen) guten Nächten, auch bei gleicher Vergrößerung. Dunkle Stellen, die in letzteren eine gleichförmig und gerade erscheinen, ließen sich in den besten Nächten in sehr komplizierten Strukturen, und es wende dann ganz unwahrscheinlich, daß solche vorzügliche Nächte sind aber auch auf Cayton selbst, es genügen dann aber eine oder zwei, um auch den durchschnittlichen Beobachter von der objektiven Realität

der zweiten sogenannten Kanäle zu übersteigen. Das auf dem Meer sichtbare Detail teilt der Beobachter wie folgt in Klassen ein: 1. Polarflecken, 2. dunkle Polarstellen (Mantel), 3. Meere oder Seen, 4. Kontinente, 5. Halbkreis, 6. Kanäle, 7. Quers. Die Formen 1, 4 und 5 gehen durch unmerkliche Zwischenstufen in einander über, so daß keine strenge Grenze zwischen ihnen gezogen werden kann. Unter den Kanälen gibt es verschiedene völlig gesonderte Erscheinungen, die unter der gleichen Benennung zusammengefaßt worden. Große, kantige Striche, dunkle Flächen von beträchtlicher Ausdehnung mit dunklen Ecken, breite gleichförmige Striche, unregelmäßige Begrenzungen von dunklen Flächen, schmale, gelb gefärbte Streifen und kleine, an der Grenze der Wahrnehmbarkeit stehende Linien, alle diese Formen werden gleichmäßig Kanäle genannt. Das ist indessen mindestens unwissenschaftlich, da es doch, nach Ansicht von Meinenwerth möglich sein sollte, diese Gestalten in wissenschaftlicher Weise von einander zu sondern. Er schlägt deshalb folgende allgemeine Unterteilung des Mantels vor:

A. Kontinente, B. Meere, C. Kanäle (zu Ergänzung eines geographischen Wortes). Die Seen und Halbkreise, welche auf dem Kontinente auftreten, gruppieren er unter B, und die Halbkreise in den Meeren unter A. Die Unterabteilungen würden folgende sein:

A. Kontinente. 1. Halbe kontinentale Flächen, zum Teil von sehr dunklen Meeren umrandet (Boreale: Eden, Chrys).

2. Kontinentale Flächen mit schwacher Umrandung, im allgemeinen dargestellt durch nur leichte Änderung des Tones (z. B. Arctica, Eden).

3. Flächen, welche durch kontinentale Streifen mit oder ohne Änderung des dunklen Tones begrenzt werden (z. B. Discus, Cydonia).

4. Schattierte Flächen, von bestimmten Strichen umrandet (z. B. Triada, Utopia).

5. Halbkreise, an der Begrenzung mehr oder weniger rechtwinklig und in den Meeren aufsteigend (z. B. Hyperia, Athalia).

6. Schraffurierte Flächen ohne klarer Ränder (z. B. der nördliche Teil von Tharsus).

B. Meere: 1. Große, gelbe Meer von unregelmäßiger Gestalt (z. B. Syrtis major).

2. Längliche Meere, mehr oder weniger rechtwinklig in ihren Umriszen, desselben doppelt malend (z. B. Mare Canarium, Sinus Sabaeus).

3. Abgegrenzte große Seen, im Umriss rundlich oder oval (z. B. Lacus Solis).

4. Abgegrenzte kleine Seen, rundlich oder oval (z. B. Solis Pons).

5. Große, abgegrenzte, unregelmäßige Seen (z. B. Mare Ausdrum).

6. Kleine unregelmäßige Seen (z. B. Odis Palus).

7. Halbkreise mit dunkler Umrandung, auf dem Kontinente aufsteigend (z. B. Canaria, Mikerna).

C. Kanäle: 1. Große unregelmäßige Strichen, die meistens doppelt erscheinen (z. B. Citharus, Praxidant).

2. Breite, verästelte Striche, meistens auch doppelt zueinander (z. B. Javara, Utopia).

3. Schmale gleichförmige Streifen (z. B. Lantryna, Giron).

4. Schmale gleichförmige Linien (Lorella Kanäle).

5. Unregelmäßige, dunkle Umrandungen von Halbkreisen (z. B. Cassa, Ginnica).

6. Streifenartige Ränder von Halbkreisen (z. B. Parnas, Dostreidant).

7. Ränder von Halbkreisen ohne bestimmte dunkle Striche (z. B. Parnas, Ginnica).

In mehreren Fällen zeigen sich Übergänge der verschiedenen Klassen zueinander und für diese schlägt Meinenwerth die Bildung von Zwischenabteilungen vor. So kommt z. B.

Carbonas als B, C, klassifiziert werden. Dieser Vorschlag verdient erstliche Beachtung.

Was die Verdoppelung der Kanäle anbelangt, so ist Molinowitsch der Überzeugung, daß dies solche in dem Sinne, daß aus einer schmalen faden dunklen Linie plötzlich zwei deutlich voneinander getrennte neue Linien entstünden mit allen Eigenschaften der ersten, überhaupt nicht vorkommt. Die Fiktion von Verdoppelung, die er auf dem Mars gesehen hat, lautet gewöhnlich bei Formitars vor, die in die Unterabteilungen C₁ und C₂ der einzigen Klassifikation fallen. In der ersten Abtheilung ist das Phäocoma, wie Mander 1892 gezeigt hat, streng wachsend dem Vorkommen von Aufhellungen, welche in den Zentren der kleinen Meere (Klasse B₁) auftreten. In der zweiten Abtheilung erscheint der Kanal selbst bei bester Definition als breiter, gleichförmiger Streifen aber unter den abgeplattigsten Umständen erkennt man, daß dieser Streifen an jeder Seite mit einer etwas dunkleren Linie begrenzt ist. Eine plötzliche Änderung in der Position der dunklen Ränder findet nicht statt, und die Verdoppelung zeigt sich am allgeringsten nicht bei dem besten Detail. Dagegen weist der Beobachter auf die Tatsache hin, daß in vielen Regionen des Mars unter den verschiedensten Kanälen ein strenger Parallelismus unzweifelhaft besteht. Als solche Systeme von Parallelkanälen führt er beispielsweise Iri, Iremos, Tila, Lantrygne, Cydops, Anothas, Dine Arma, Dorgos, Iremos, Iremos Tartarus, Anieros vor. Zahlreichen andern es schwachen Solche parallele Kanäle, besonders mit ihrer Abschattung zwischen sich, geben leicht das Ansehen einer Doppelung. Hierdurch erklärt sich die Tatsache, daß der Kanal zu gleicher Zeit aber von verschiedenen Beobachtern als schmal und einfach, als breit und tief und als verdoppelt bezeichnet worden ist. Im ersten Falle wurde von zum beobachteten Kanälen nur einer gesehen,

der kleine und die Abschattung dazwischen aber nicht, im zweiten Falle wurde nur die Abschattung aber nicht die beiden dunklen Grenzlinien wahrgenommen, während im dritten der Beobachter diese beiden dunklen Grenzlinien bemerkte, aber nicht den Schatten zwischen ihnen. Wenn man erwägt, daß es sich hier um die abgeplatteten Wahrnehmungen handelt, so kann man der gegebenen Erklärung wohl beipflichten. Daß die größere Mehrzahl der sogenannten Kanäle tatsächlich existiert, davon ist Molinowitsch persönlich völlig überzeugt, wenigstens er sagt, daß die Kanäle davon nicht gerade genau die Gestalt besitzen, welche wir ihnen zuschreiben. In den besten Momenten erlauben sie ihm als streng aber nicht als streng Linien. Er stimmt Mander darin bei, daß das Aussehen derselben für uns zureichend kommt dadurch, daß das Auge eine große Zahl von Fleckchen auseinander sieht die durch zu klein sind um weiter getrennt zu werden. Die Versuche von Mander, Loe und andern mit künstlichen Scheiben haben die Möglichkeit gezeigt, daß die Marskanäle in gewissen Fällen nur optische Täuschungsgeheimnisse sind. Diese Versuche sind aber von einigen so gedeutet worden, als wenn sie klar nachweisen, daß alle Marskanäle nur Illusionen seien. Letzteres ist jedoch keineswegs durch jene Versuche erwiesen. Wenn aber, wie Mander anführt, hienur gewisse Details da sind, die nur so klein sind, um einzeln wahrgenommen zu werden, so muß man sich fragen, wo endet die Realität und wo beginnt die Illusion? Es ist, berichtet Molinowitsch, absurd, solche dunkle Streifen wie Carbonas, Ganges, Nilayritus und Agathodromos als Illusionen anzusehen, sie sind vielmehr ebenso real wie die Streifen des Jupiter und bei günstiger Stellung auf der Marscheibe und guter Luft selbst für verhältnismäßig milde Instrumente leicht leicht Objekte. Ist es nun nicht verdaulich, anzunehmen, daß bei

Anwendung größerer Instrumente und stärkerer Vergrößerungen bei guter Luft (Italien, aber immer Details sichtbar werden, völlig so real als jene zwei und daß das vorläufige Studium des Planeten deren Anzahl vergrößern wird? In diesem Falle wird die Hutton-Hypothese wirklich nur auf wenige Meter der großen Anzahl von Objekten Anwendung finden. Die von Antonioli vertretene Kontrasthypothese mag für gewisse kleine Details der Marmarcke zutreffend sein, aber wenn sie bis ins Extreme ausgedehnt wird, erscheint sie als gefährliches Agument. Sie führt dann dazu, flüchtigen Stützen des Mars denselbe Bedeutung beizumessen als sorgfältigen Zeichnungen, die auf sorgfältigem Studium des Planeten beruhen, gemäß der Folgerung, daß letzteres das

Augen ausstragen und optische Täuschungen erzeugt. Bei jenen haben an dessen allverehrten Planetenbeobachter auf langes und andauerndes Studium des Aussehens derselben das höchste Nachdruck gelegt und schwerlich wird man zugeben können, daß infolge dieser sorgfältigen Untersuchungen das Auge mehr an Hutton sage. Wendet man die Kontrasthypothese auf das Detail der Jupiterschiffe an, so müßte man schließen, daß auch dort die dunklen und hellen Stellen und Fleckchen in den großen Stücken Täuschungen seien, was doch kein Beobachter zugeben würde, sei es weniger, als manche dieser Details auch auf photographischen Aufnahmen sich zeigen. Was aber beim Jupiter nicht ist, sollte für den Mars billig sein.

Entdeckung, Beobachtungen und näherungsweise Bahnen der beiden neuen Satelliten des Jupiter.

In Nr. 78 des Bulletin des Liebig-Observatorien geben C. D. Perrin und Paul E. Raut genaue Mittheilungen über die Entdeckung und Beobachtung des 6. und 7. Jupitermondes. Folgendes ist der Hauptinhalt dieser interessanten Darlegungen.

Nach Aufstellung des Gräffey-Reflektors war die sorgfältige Nachforschung nach schwachen und entfernten Satelliten der Hauptplaneten in dem Aufsatze für das Instrument aufgenommen worden. Es waren bereits einige Aufnahmen mit der alten Violettierung desselben gemacht worden, ehe die Aufstellung der neuen Montierung unterbroch die Arbeit, bei derselbe unter wesentlich besseren Umständen in der ersten Hälfte des November 1904 wieder aufgenommen werden konnte.

Die erste photographische Aufnahme der Umgebung des Jupiter geschah am 3. Dezember und folgende wurden erhalten am 8., 9. und 10. Dezember

1904. Eine Untersuchung dieser Negative ermittelte die Objekt 15. Große westlich vom Jupiter, dessen retrograde Bewegung etwas rascher war als die des Planeten selbst. Da es sich um entfernter kleiner Planet die demselbe Bewegung haben konnte, so waren weitere Aufnahmen erforderlich, um den wahren Charakter des Objektes festzustellen. Diese Aufnahmen erfolgten am 2., 3. und 4. Januar 1905, und sie zeigten, daß das Objekt des Jupiter überholt habe. Am 5. Januar wurde klar, daß dasselbe in der That ein Jupitersatellit gehört, und die Entdeckung des 6. Jupitermondes telegraphisch veröffentlicht.

Weitere Untersuchungen der Platten des 2., 3. und 4. Januar 1905 ließen aber als noch weit lichtschwächeren Sternchen westlich vom Jupiter erkennen, welches sich rascher bewegte und etwas rascher als der 6. Mond desselben. Wegen der großen Lichtschwäche (von 14. photog. Größen-

kleine) derselben konnten keine Aufnahmen in Mondschattenlichtern gemacht werden, und es wogte deshalb eine gewisse Zeit bei genügender Aufmerksamkeit verbracht werden, um über die Natur dieses neuen Körpers keinen Zweifel zu lassen. Der Charakter desselben war außerdem schwächer, instabiler als beim 6. Monde, weil der neue Trabant sehr in einem für diese Erscheinung ungünstigen Teile seiner Bahn lag. Die Aufnahmen im Juni 31. Februar liefen aber die Abhängigkeit desselben vom Jupiter erkennen, und am 27. Februar wurde die Entdeckung eines 7. Jupitermondes fotografisch der Welt verkündigt. Im ganzen wurden von 1904 bis zum 22. März 1905 58 Positionen bestimmt, von 7. Monde zwischen 1905 Januar 1 und März 9 dagegen 24 Positionen. Um aus diesen die Bahnbestimmung der beiden Monde abzuleiten, wurde zunächst ein graphisches Verfahren eingeschlagen und die einzelnen Positionen mit denen früher verglichen. Dann wurden auf rechnerischem Wege die wahrscheinlichsten Bahnbestimmungen heraus abgeleitet. C. D. Perrine, der mit dieser Arbeit beschäftigt war, mußte sie indessen wegen der Vorbereitungen zur Beobachtung der totalen Sonnenfinsternis des 26. August, aufheben, so wurde nun von Dr. Hall zu Washington unter Oberrichtung von Prof. Newcomb fortgeführt und vollendet. Hierdurch ist die Trabantenmasse der beiden Objekte und ihre Zugehörigkeit zum System des Jupiter über jeden Zweifel erhoben.

Dr. Hall bemerkt bezüglich des 6. Trabanten, daß die von ihm bestimmten Bahnbestimmungen während der Wartezeit nicht sehr genau waren, nur die Unsicherheit um wegen des kurzen Zeitintervalls, über das die Beobachtungen sich erstreckten, etwas un sicher. Hier nach hat nun folgende auf die elliptisch bezogenen Bahnbestimmungen des 6. Jupitermondes für das Äquinoccium 1905,0:

Mittlere Länge in der Bahn . . . 38871°
Länge des Perijoviums . . . 2676°

Länge des Apokaps auf d. Ekliptik 17932°
Neigung der Bahn gegen d. Ekliptik 39° 56'

Die Bahn 2676°
Mittlere Entfernung vom Jupiter . . . 2079°
Exzentrizität der Bahn . . . 0,066
Umlaufzeit 202,4 Tage

Die Schlangen, welchen dieser Trabant in seiner Bewegung durch den Einfluß der Sonne ausgesetzt ist, sind beträchtlicher und komplizierter als diejenigen irgend eines anderen Mondes im Sonnensystem. Um nun genauere Theorien der Bewegung desselben herausstellen, müssen mindestens 50 Ungleichheiten in der Länge, noch weit mehr in der Entfernung vom Jupiter und etwa 20 in der Breite berechnet werden. Hieraus ist etwa der 9. Mond des Saturn (Phoebe) hat eine ähnliche verwickelte Bewegung, so daß diese beiden Monde in dieser Beziehung eine eigene Klasse bilden. Beim 6. Jupitermonde beträgt die jährliche rich tige Bewegung der Knoten auf der Ebene der Jupiterbahn 1,66°, auf der Ebene der Erdoberfläche 4,73°, die jährliche fortschreitende Bewegung des Perijoviums 1,25°.

Der 7. Jupitermond hat bezüglich seiner Bahnbestimmung große Schwierigkeiten. Unter vorläufiger Zugrundelegung einer Kreisbahn konnten die Beobachtungen weiter durch Annahme direkter noch retrograder Bewegung sehr stark dargestellt werden. Die Rechnung unter Zugrundelegung einer elliptischen Bahn ließ auch noch Abweichungen von den Beobachtungen erkennen, doch werte dieselben bei Annahme retrograder Bewegung des Satelliten geringer. Unter möglichstem Anschluß an die Beobachtungen gibt Perrine (für die Epoche 1905 Januar 20 5 m. Z. v. Gr.) die folgenden Systeme von Bahnbestimmungen, das eine für retrograde, das andere für direkte Bewegung des Trabanten

retrograde direkte
Bewegung Bewegung

Länge der Satelliten . . . 267°
in der Bahn . . . 11° 6'

	retrograde Bewegung	directe Bewegung		retrograde Bewegung	directe Bewegung
Länge des Kreises mit dem Äquator . . .	228° 9'	225° 40'	Neigung der Bahn gegen die Ekliptik . . .	148° 15'	161° 20'
Neigung der Bahn gegen d. Äquator . . .	171° 12'	26° 15'	Umlaufzeit . . .	298 Tage	299 Tage
Excentricität d. Bahn . .	0,36	0,34			
Äußerer Abstand vom Jupiter	369	352			
Länge d. Perihelium Linie d. Kreises mit der Ekliptik	321° 2'	312° 7'			

Wie bemerkt, stellen die Bahn-
elemente für directe Bewegung die Be-
obachtungen nicht so gut dar als diejenigen
für retrograde. Eine Entscheidung muß
die Zukunft geben.

Erster Katalog der spektroskopischen Doppelsterne.

Von W. W. Campbell u. Edgar D. Curtis.

Die Anwendung des Doppelstern-
schen Principes auf das Studium
der Sonne unter Zuhilfenahme der Photo-
graphie hat zur Entdeckung einer völlig
neuen Klasse von Sternsystemen ge-
führt, die als spektroskopische
Doppelsterne bezeichnet werden.
Diese Bezeichnung wird allgemein an-
gewandt auf solche Fixsterne, die selbst
in den niedrigsten Teleskopen nur
als einfache, runde Scheibchen er-
scheinen, während der Spektrograph
genügt hat, daß sie aus mehreren
Beugler bestehen. Indem es die Be-
deutung, daß die Beugler ausdehnbar
sein sollen, zu erge, und es erscheint
erforderlich, in die Klasse der spektro-
skopischen Doppelsterne alle diejenigen
Fixsterne zu rechnen, deren Bewegung
in der Gegendlinie zur Erde (die so-
genannte Radialbewegung) als ver-
änderlich nachgewiesen worden ist.
Die Entdeckung des ersten spektro-
skopischen Doppelsterns geschah durch
Prof. Edward Pickering 1849 und be-
trifft den Stern ε Ursae majoris. Der mit
einem vor dem Objektiv des photogra-
phischen Formrohr angebrachten Prisma
erhaltenen Spektrogramm dieses Sterns
fielen erbenen, daß er aus zwei nebene-
ander liegenden Sternen besteht, die sich mit
großer Geschwindigkeit bei ungleichen ge-
meinsamen Schwerpunkt bewegen. Die zweite
Entdeckung auf diesem Gebiete machte
Prof. Vogel in Potsdam, der am Auf-
stehen mit einem Spektrographen

nachwies, daß der veränderliche Stern
Algol von einem großen, sehr dunklen
Beugler umkreist wird, der dem Haupt-
stern Algol periodisch zum Teil für un-
sere Ansicht verdeckt und dadurch dessen
Lichtintensität hervorruft. In den fol-
genden Jahren wurden andere spektro-
skopische Doppelsterne aufgefunden von
Pickering, Vogel, Schepelers, Mill Maury,
Madame Fleming und Bailey, so daß
im Jahre im Sommer 1896 13 dieser
Sternsysteme bekannt waren. Seitdem
hat deren Anzahl mit großer Schnellig-
keit zugenommen, so daß am 1. Ju-
nius 1905 nicht weniger als 140 be-
trug. Diese Entdeckungen verteilten
sich auf die daran beteiligten Obser-
vatorien wie folgt:

Leick-Observatorium (Milit. Spectro- graph)	58
Leick-Observatorium (Milit. Expedition zur russischen Hemisphäre)	14
Yerkes-Observatorium (Bruce Spectro- graph)	41
Harvard College-Observatorium	8
Lovett-Observatorium	7
Pulkowa-Observatorium	6
Potsdam, Astrophys. Observatorium	4
Moskau-Observatorium	2
Cambridge-Observatorium (England)	1
Schlesien Doppelstern, deren Radial- geschwindigkeit beobachtet wurde	1

Somit 132

Von dieser Summe sind 7 Sterne
abzutheilen, die nahe gleichzeitig auf
zwei Observatorien entdeckt wurden
(also doppelt gezählt sind), so daß der
Gesamtzahl wie oben angegeben 140
beträgt.

Die Literatur über die Entdeckungen und Beobachtungen dieser Systeme ist sehr reichhaltig, die Vorschriften zu den Beobachtungen mit dem Mikrospektroskop haben uns indessen dazu gelehrt, die classischen Angaben zu vereinfachen und in eine Tabelle zu bringen. Es scheint uns die Zeit gekommen, daß deren Veröffentlichung, welche wir unter der Bezeichnung „Erster Katalog der spektroskopischen Doppelsterne“ unternehmen, für manche Forscher auf diesen und verwandten Gebieten der Astronomie nützlich sein wird. Die Anordnung dieses Katalogs und sein Inhalt bedürfen unserer Erläuterungen.

Die in derselben bei den einzelnen Sternen angegebenen Reichtumsangaben und Deklinationen sind dem Draper-Katalog entnommen, die verbliebenen Helligkeiten (Größenklassen) der Sterne dem 48. Bande der Annalen des Harvard-Observatoriums. Die Helligkeitsangaben der Sterne, die sich dort nicht finden, wurden der Bonner Durchmusterung, und falls sie am südlichen Himmel stehen, der Linsenscheine von Gould entnommen. Die Helligkeiten der verbliebenen Sterne sind dem 3. Teile des 48. Bandes der Annalen des Harvard-Observatoriums entnommen. Wo 3 Bezeichnungen des Spektraltypus eines Sterns angegeben sind, ist die erste diejenige des Draper-Katalogs, die zweite die der letzten Klassifikation des Harvard-Observatoriums¹⁾, die dritte diejenige, welche in Potsdam gebräuchlich ist.²⁾ Im Anmerk. bedeutet, daß die Angaben noch beträchtlich unsicher sind. In Fällen, in welchen die Spektren beider Komponenten beobachtet sind, ist dies in der letzten Kolumne angegeben. Es ist wenigstens zurzeit noch nicht angegeben, die spektroskopischen Doppelsterne auf dieser Liste in zwei Gruppen zu trennen, da einzelne Sterne, die jetzt nur aus einem Spektrum erkannt

lassen, möglicherweise die Spektra beider Komponenten zeigen können. Strong gewonnen sind die folgenden 6 Sterne α , α_1 , β , γ , δ , ϵ ; δ Comae, γ Comae, γ Virgo, α Centauri, δ Cygni und δ Equulei bis jetzt noch nicht als spektroskopische Doppelsysteme beobachtet worden. Die Differenzen der radialen Geschwindigkeit ihrer Komponenten sind gemessen worden, aber diese Differenzen haben noch keine Verbindungen gezeigt. In jedem kann ihre Aufnahme in das Verzeichnis wohl nicht beanstandet werden. Für jeden am Forscher erkennbaren Doppelsystem besteht die Möglichkeit, auch spektroskopisch als solcher durch den Spektrographen nachzuweisen zu werden, aber bei den gegenwärtigen Hilfsmitteln ist die Zahl der hierzu geeigneten Sterne für die nächste Zukunft beschränkt, daher diejenigen, welche auch dieser Richtung untersucht wurden, sehr wohl in das spektroskopische Verzeichnis aufgenommen werden können.

Die Anzahl der spektroskopischen Doppelsterne, die auch in unsere milchige Galaxis nicht gehört werden können, ist sehr groß. Von 7 mit dem Mills-Spektroskop untersuchten Sternen ergab sich durchschnittlich wiederum 1 als veränderlicher Doppelstern mit kurzer Umlaufperiode. Für die Sterne des «Oriontyps», die speziell mit dem Bruer-Spektroskop untersucht worden sind, ist das Verhältnis noch 1 zu 3.

Nur solche spektroskopische Doppelsterne sind als solche aufgefunden worden, deren Umarmendenden verhältnismäßig kurz und bei denen die Geschwindigkeiten der radialen Geschwindigkeit beträchtlich sind. Die kleinste beobachtete Veränderlichkeit seiner Geschwindigkeit zeigt der Polarstern, nämlich 5 km in der Sekunde. Wäre dieselbe nur 1 km betragen, so wäre es ohne Zweifel der Wahrnehmung entgangen. Solche Differenz ist zwar mit unsern heutigen instrumentellen Mitteln nachweisbar, aber so

7. *Annals*, Vol. 28, Part 1 and 2 and Vol. 29.

Einzelteil	Material	Menge	Preis	Wert
1. Teil	Polystyrol	1000 Stk.	12,-	12.000,-

würde die Aufmerksamkeit mehr Beobachtern nicht auf sich gezogen haben, und die Entdeckung wäre einer späteren Zeit vorbehalten geblieben. Es ist wahrscheinlich, daß es noch Doppelsysteme gibt, in denen die radiale Geschwindigkeit um weniger als 5 km variiert, als selbst, bei denen sie größer ist, nicht bleiben also zufällige Entdeckungen aufzuheben. Da unsere Sonne von einer Anzahl Planeten umkreist wird, so muß die Geschwindigkeit, mit der sie sich durch den Weltraum bewegt, ebenfalls etwas veränderlich sein, da sie dabei um den gemeinsamen Schwerpunkt des Systems sich dreht. Indessen ist diese Bahn um den Schwerpunkt (für sich nur weit vom Sonnenzentrum entfernt) kaum kleiner, und die entsprechende Geschwindigkeit umschwebend 0,4 km in der Sekunde. Ein im Weltraum befindlicher Beobachter, der über Instrumente verfügt, welche diese Geschwindigkeitsänderung zuverlässig zu messen gestattet, würde heraus alles den Schluß ziehen können, daß diese Sonne von Planeten umkreist werde. Unsere irdischen Beobachter besitzen gegenwärtig nicht die Mittel, so geringe kinematische Geschwindigkeitsänderungen nachzuweisen. Da die Schiefe unserer Merkmethode mit der Erhöhung anzuwachsen wird, so wird dementsprechend auch die Zahl der entdeckten spektroskopischen Doppelsysteme beträchtlich wachsen. Wirklich schonungslos gegenwärtig der Schluß steht, daß die Sterne, welche keine dunklen Begleiter besitzen zu den seltenen Ausnahmen zählen, ferner, daß die Wahrscheinlichkeit großer Begleiter bedeutender ist als kleiner und endlich, daß die Einrichtung unserer Sonnen systeme (in welchem der Zentraltypus ungeheuer an Masse überwiegt zu den entfernten Typen gehört, keineswegs aber des Durchschnitstypus darstellt.

Die Zahl der mit unseren heutigen Mitteln nachweisbaren spektroskopischen Doppelsysteme umfaßt sicherlich einen großen Teil der Sterne bis zur 8. pho-

tographischen Größenklasse. Letztere bezeichne zuerst die Grenze für erfolgreichere Untersuchungen. Man darf nämlich nicht vergessen, daß im Spektrum das Licht der Sterne über eine große Fläche ausgebreitet wird, so daß die Aufnahmen des Spektrums eines Sterns 9 Grade bei mäßiger Dispersion, während der photographischen Aufnahme eines Sterns 20 Grade mit einem größten Reflektor entspricht. Dazu aber erfordert die gesamte Ausmessung des bei mäßiger Dispersion aufgenommenen Spektrums, daß das Bild von genügender Intensität und die Aufnahmeverhältnisse günstige waren. Die Astronomen Hursey und Adams haben gefunden, daß unter den Sternen heller als 9 Grade ein 30füßiger Reflektor je einer von 18 als doppelt erkannt wird mit einem Abstand der Begleiter von weniger als 5", und diese Zahl nimmt mit an, wenn man zu immer schwächeren Sternen übergeht. Der Spektrograph ist dagegen in Bezug auf Darstellung von Doppelsystemen unabhängig von deren Entfernung von uns, vorausgesetzt, daß die Sterne Licht genug haben, um das Spektrum untersuchen zu können.

In kurzen Pfeilen ist es bis jetzt gelungen, einen spektroskopisch entdeckten Begleiter in einem unserer mächtigsten Teleskope darzustellen. Der Abstand dieser Begleiter von ihrem Hauptstern ist bei den meisten spektroskopischen Doppelsystemen wahrscheinlich geringer als 60". Bei wenigen Systemen konnten die Spektre beider Komponenten dargestellt werden. Daraus folgt jedoch nicht, daß der Begleiter dunkler ist, sondern nur, daß er wenigstens 2 photographische Größenklassen schwächer sein muß als der sichtbare Hauptstern. Ein Begleiter 4. Größe eines Hauptsterns 2. Größe würde sicherlich die Linie seines Spektrums im Spektrum des Hauptsterns einkreisen. Daher könnten die jetzt entdeckten Begleiter mehrerer spektroskopischen Doppelsysteme, gar wohl auffällige Sterne

von, wenn sie für sich allein vorhanden wären.

Es ist klar, daß vollständige Kataloge druckförmig gedruckten Doppeldrucke nicht leicht ausserhalb derselben enthalten können. Daher ist es weder möglich noch wünschenswert, die einzelnen Beobachtungsdaten mit aufzunehmen. Der zutreffende kurze Hinweis in den Kolonnen des nachfolgenden Verzeichnisses, welche die Fundamente der spektroskopischen Doppeldrucke annehmen, folgen, wie viel noch in dieser Beziehung zu tun ist. [In dem Originalkataloge werden die Spektrentypen der Sterne, ferner die Zeiten des Peri-

astrons und Mercurische Nachweise aufgeführt. Diese sind in der nachfolgenden Wiedergabe des Katalogs fortgelassen. Der halbe große Acher der Stern ist der geringe Wert, den sie haben können; ist die Bahnrinne gegen die Geschwindigkeit gering, was aus den Beobachtungen nicht ermittelt werden kann, so sind die wahren Dimensionen entsprechend größer. Es bemerkt ferner in den Dimensionen des Periastrons, und bei der Geschwindigkeit bedeutet —, daß sich das System ausweicht, +, daß es sich von uns entfernt.]

No.	Stern	R. A. 1900	Decl. 1900	Größe $\frac{p}{q}$	Periode	Ab- weichung	α	Halbmesser der Bahn	Quadrat des Halbmessers
		h. m.	°	$\frac{p}{q}$			"	km	km
1. a	Andromeda	0. 57.5	+41. 35	5.5	0.5	lang	—	—	—
2. a	Flamsteed	21. 5	+12. 51	2.4	0.5	lang	—	—	—
3. a	Andromeda	21. 5	+12. 50	5.5	0.5	lang	—	—	—
4. a	Castor	56. 5	+46. 55	4.5	0.5	lang	—	—	—
5. a	Andromeda	44. 5	+47. 35	4.4	0.5	—	—	—	—
6. a	Andromeda	41. 5	+47. 35	4.5	0.5	—	—	—	—
7. a	Ursa Minor	22. 5	+88. 40	5.5	0.5	1. 1000 ²	0. 2000	112. 51. 5	125,000
8. a	Flamsteed	50. 5	+12. 50	2.5	—	200 ²	—	—	—
9. a	Polar	37. 5	+48. 18	4.5	0.5	—	—	—	—
10. a	Cell	48. 5	+18. 50	4.5	0.5	kein Jahr	—	—	—
11. a	Polar	38. 5	+48. 18	4.5	0.5	lang	—	—	—
12. a	Arctus	48. 5	+39. 15	3.7	0.5	—	—	—	—
13. a	Polar	18. 5	+54. 1	4.5	—	—	—	—	—
14. a	Cell	5. 5	+53. 1	4.5	0.5	—	—	—	—
15. a	Cell	56. 5	+5. 4	4.5	0.5	lang	—	—	—
16. a	Polar	38. 5	+48. 18	4.5	0.5	—	—	—	—
17. a	Polar	47. 5	+48. 18	4.5	0.5	lang	—	—	—
18. a	Polar	5. 5	+53. 1	4.5	—	2. 10 ²	—	—	—
19. a	Polar	38. 5	+48. 18	4.5	0.5	kein	—	0. 200,000	kein
20. a	Polar	47. 5	+48. 18	4.5	0.5	—	—	—	—
21. a	Polar	38. 5	+48. 18	4.5	0.5	—	—	—	—
22. a	Polar	38. 5	+48. 18	4.5	0.5	—	—	—	—
23. a	Polar	38. 5	+48. 18	4.5	0.5	—	—	—	—
24. a	Polar	38. 5	+48. 18	4.5	0.5	—	—	—	—
25. a	Polar	38. 5	+48. 18	4.5	0.5	—	—	—	—
26. a	Polar	38. 5	+48. 18	4.5	0.5	—	—	—	—
27. a	Polar	38. 5	+48. 18	4.5	0.5	—	—	—	—
28. a	Polar	38. 5	+48. 18	4.5	0.5	—	—	—	—
29. a	Polar	38. 5	+48. 18	4.5	0.5	—	—	—	—
30. a	Polar	38. 5	+48. 18	4.5	0.5	—	—	—	—
31. a	Polar	38. 5	+48. 18	4.5	0.5	—	—	—	—
32. a	Polar	38. 5	+48. 18	4.5	0.5	—	—	—	—
33. a	Polar	38. 5	+48. 18	4.5	0.5	—	—	—	—
34. a	Polar	38. 5	+48. 18	4.5	0.5	—	—	—	—
35. a	Polar	38. 5	+48. 18	4.5	0.5	—	—	—	—
36. a	Polar	38. 5	+48. 18	4.5	0.5	—	—	—	—
37. a	Polar	38. 5	+48. 18	4.5	0.5	—	—	—	—
38. a	Polar	38. 5	+48. 18	4.5	0.5	—	—	—	—
39. a	Polar	38. 5	+48. 18	4.5	0.5	—	—	—	—
40. a	Polar	38. 5	+48. 18	4.5	0.5	—	—	—	—
41. a	Polar	38. 5	+48. 18	4.5	0.5	—	—	—	—
42. a	Polar	38. 5	+48. 18	4.5	0.5	—	—	—	—
43. a	Polar	38. 5	+48. 18	4.5	0.5	—	—	—	—
44. a	Polar	38. 5	+48. 18	4.5	0.5	—	—	—	—
45. a	Polar	38. 5	+48. 18	4.5	0.5	—	—	—	—
46. a	Polar	38. 5	+48. 18	4.5	0.5	—	—	—	—
47. a	Polar	38. 5	+48. 18	4.5	0.5	—	—	—	—
48. a	Polar	38. 5	+48. 18	4.5	0.5	—	—	—	—
49. a	Polar	38. 5	+48. 18	4.5	0.5	—	—	—	—
50. a	Polar	38. 5	+48. 18	4.5	0.5	—	—	—	—

Seite 1900. Mark 1.

2

Mik.	Stern	R. A. 1900			Decl. 1900		Größe		Periode	M ^{max} in V ₀	α	Halbmesser der Bahn	Abstand des Sterns von der Sonne
		h	m	s	°	'	h	m					
26. A	Orionis	52.2	—	1.27	4.5	—	—	—	—	—	—	—	—
50. A	Orionis	56.6	—	5.29	5.5	—	—	—	—	—	—	—	—
28. V	Orionis	59.3	—	5.59	3.9	5.4	—	—	—	—	—	—	—
32. C	Tauri	44.7	+20	1	2.0	5.4	—	—	lang	—	—	—	—
48. A	Bootes	10.7	—	42.22	3.9	—	—	—	—	—	—	—	—
42. A	Orionis	52.2	—	5.29	3.7	4.6	—	—	lang P	—	—	—	—
49. J	Bootes	10.9	+46.01	9.4	5.5	5.50 (17)	—	—	lang	—	—	—	—
45. A	Orionis	5	1.5	+46.47	4.8	4.8	—	—	—	—	—	—	—
44. B	Orionis	5	2	+18.54	5.4	5.4	—	—	—	—	—	—	—
44. A	Centaurus	8.4	+49.55	5.0	4.7	—	—	—	lang	—	—	—	—
16. J	Centaurus	10.4	—	21.22	4.6	5.5	—	—	lang T	—	—	—	—
47. C	Centaurus	11.5	+12.29	5.1	5.1	—	—	—	lang	—	—	—	—
46. B	Centaurus	11.5	+12	—	—	—	—	—	—	—	—	—	—
47. A	Cent. Minus	40.7	—	18.24	—	7	—	—	10.24 Jahr	0.1875	147 51.4	—	— 7.4
56. C	Centaurus	35.3	+49.55	4.5	4.5	—	—	—	10.1 Jahr	0.25	150	1,297,000	+ 8.8
14. J	Cent. Minus	38.4	+ 7	4	4.2	4.5	—	—	lang	—	—	—	—
72. V	Procyon	20.1	—	42	5	—	—	—	—	—	—	—	—
55. A ₁	Centaurus	35.3	+49	5	5.1	—	—	—	0.000164	0.57	—	—	0.57
54. A ₂	Centaurus	35.3	+49	5	5.7	—	—	—	0.21804	0.58	108 38	—	0.57
53. A	Centaurus	35.3	+49	5	—	—	—	—	0.4435	0.54	114 54	—	0.57

(Schluß folgt.)

Vermischte Nachrichten.

Der Komet 1905 b. Aus drei Beobachtungen am 17., 18., 19. Novbr. hat H. Morgan in Glasgow (U. S.) das Bahn dieses Kometen berechnet, aus der sich ergibt, daß letzterer 1905 Okt. 18/90 in seiner Sonnennähe war und zwar in einem Abstande von 0.0094 Halbmesser der Erdbahn. Er schien sich der Entdeckung nach im Helligkeit ab und bewegt sich seit Anfang Dezember über den Äquator hinaus nach Süden.

Der Komat 2000 a. Am 6. Dezember entdeckt Giuseppe zu Nizza einen schwachen Kometen. Nach der vorläufigen Bahnbestimmung erreicht derselbe in der letzten Hälfte des Jahres 1906 seine Sonnennähe und bewegt sich nach Südwest.

Das Spektrum des neuen Sterns im Adler 1905 ist auf der Lick-Sternwarte am 6. und 10. Sept. photographiert worden. Es zeigte sich ähnlich dem Spektrum der Nova in den Zwillingen am 1. April 1903. Auf einem schwachen

kontinuierlichen Hintergrund zeigten sich im Gevüll von breiten Räudern der Wasserstofflinien H β , H γ und H δ , das erste sehr hell, das zweite aber schwach schwächer, das dritte sehr schwach. Die Linien H ϵ und die eigentlichen Nebellinien fehlten, höchstens war die Hauptnebelfinie J. 5007 schwach angedeutet. Etwas fünfmal schwächer als H β erschien die beideseits verschwommene Band bei J. 4900. Die Aufnahmen der Nova am Cronkyreflektor mit Belichtungen bis zu 2 $\frac{1}{2}$ Stunden lassen keinen Nebel in der Nähe des Sterns erkennen. Die Photometermessungen ergaben eine deutlich gleichförmige Lichtzunahme der Nova bis 11.9 Größe am 22. September.

Farbverwechseln des veränderlichen V. Orions. D. Dabago hat auf der Sternwarte zu Kien seit einigen Jahren diesen veränderlichen Stern beobachtet und auch die Farbe desselben notiert. Letztere zeigt be-

trichliche Änderungen wie die folgende Zusammenstellung der betreffenden Beobachtungen sagt:

1888 Decbr.	23	gelblich,	6 38	Größe
1889 Jan.	21	orangefarb.	150	"
"	30	orangefarb.	148	"
Febr.	18	gelbbraun	470	"
Dezbr.	25	bräunlich	6 45	"
"	26	"	6 55	"
"	26	gelblich	7 15	"
1887 Febr.	17	rotbraun	150	"

Im hellsten Lichte war der Stern schwachlich, bei geringerer Helligkeit rot.

Neuer oder veränderlicher Stern im Widder. Am 6. November erhielt Prof. Wolf auf zwei Platten u. a. einen Stern 12 Größe der auf Aufnahmen vom 1. Nov. nicht vorhanden ist. Der Ort des Sternes am Himmel ist (1900/0) AR = 3h19m16.3s D = + 19° 30' 39". Keine Spur des Sternes ist sichtbar auf Platten die im Oktober 1895 und November 1896, im November 1891, im Oktober und November 1903, im August und Okt. 1903 aufgenommen waren. Eine Auf-

nahme am 21. November zeigt, daß der Stern später an Helligkeit abgenommen hatte, er war jetzt nur noch etwa 13.5 Größe.

Sternschuppe. Herr Pfarrer Prof. Bauer schreibt aus Hünnen a. d. Rott: Am 13. Novbr. 1903, abends 7^{1/2} h. als ich am Fernrohr den Mond beobachtete, sah ich außerhalb des Okulars desselben eine helle Sternschuppe, die sich dem Monde näherte. Von Zeit zu Zeit wurde ihr Leuchten stärker, geschwächt und zerlegte. Als die Entfernung vom Mondrande nur noch gering war, sah ich die Bewegung ansetzen und es schien mir die Sternschuppe etwas mehr nordwärts zu ziehen, bis sie sich mit dem Rande des Mondes vereinigte. Letzteres fand statt zwischen 35° und 36° nördlicher Breite, etwa dort, wo die Linie von Kopenikus und Aristarch des Ozeans trifft. Ungefähr 10 Minuten (P) lang sah ich diese Erscheinung. Der Mond hatte gerade einen Hof.

Literatur.

Lehrbuch der mathematischen Geographie. Von Dr. H. Baur. Wien 1900. Mit-Fotografische Beilage von Carl Fromme. Preis 12 J.

Prof. A. Hart stellt in diesem vorstehenden Werke die mathematische Geographie in vornehm Umfang dar als eine geologisch gelehrt, indem er wichtige Abschnitte aus der Ökonomie und Meteorologie in den Kreis seiner Betrachtungen mit einschließt. Auch

insbesondre ist die Darstellung der letzteren eigenartig und die mathematische Entwicklung mehr in den Vordergrund gestellt als gewöhnlich geschieht. Obgleich wiederholt auf Geometrie zurückgegriffen ist, von Wichtigkeit für den Leser, der das Werk zum Selbststudium benutzen will, daß der Verfasser völlig durchgerechnete Ökonomieprobleme. Das Werk ist eine höchst beachtenswerte Einführung und verdient die warmste Empfehlung.

Erklärung der Abkürzungen.

In Übereinstimmung mit der Geographischen in der astronomischen Literatur werden in dieser hauptsächlich folgende Abkürzungen für die deutschen lateinischen Ausdrücke und Begriffe durchweg angewandt:

- Grad, • Meile, • Sekunde (Bogenmaß),
- h Stunde, m Minute, s Sekunde (Zeitsmaß),
- + nördlich, — südlich,
- AR Rektaszension, D Declination.

f Distanz in Tagesstunden, p Parallaxenmaß, J Weltweite der Lichtstrahlen in astronomischen des Millionen.

Astronomischer Kalender für den Monat März 1906.

März	Sonnen				Mond			
	München Berliner Mittag.				München Berliner Mittag.			
	Zeit M. L. — P. L.	Rektascension	Declination		Rektascension	Declination	Mond am Morgen	
	h m s	h m s	° ' "	h m s	h m s	° ' "	h m	
1	+ 19 00 18	02 48 17 6	- 7 58 1 8	0 11 49 13	- 4 08 34 1 4	6 50 0		
2	19 27 47	02 49 49 14	1 57 11 4	0 16 50 35	36 25 58 5	6 21 5		
3	19 55 52	02 50 59 50	7 4 20 0	0 27 43 59	37 28 59 7	5 58 5		
4	20 24 49	02 52 14 27	13 43 24 3	0 38 3 50	38 30 44 3	7 7 4		
5	21 00 27	02 53 54 50	19 24 29 1	0 49 0 24	39 33 47 5	7 57 0		
6	21 36 58	02 55 49 87	25 10 18 7	1 00 31 48	40 35 19 4	8 49 0		
7	22 15 41	02 57 59 90	30 43 37 8	1 11 7 58	41 35 59 1	9 41 7		
8	22 55 21	02 59 13 50	35 5 50 4	1 22 14 51	42 37 47 8	10 34 0		
9	23 36 57	03 00 44 91	40 40 27 7	1 33 21 58	43 38 37 4	11 26 1		
10	24 19 51	03 02 26 54	45 40 49 0	1 44 40 4	44 39 29 1	12 17 5		
11	25 04 59	03 03 53 9 0	50 34 29 3	1 56 59 20	+ 4 40 20 5	13 08 4		
12	25 51 00	03 05 33 00	55 24 47 6	2 09 14 9	- 1 39 28 5	14 7 4		
13	26 39 19	03 07 36 50	59 31 27 1	2 21 37 1	45 40 40 0	15 7 0		
14	27 29 18	03 09 54 9 0	63 47 59 0	2 34 58 50	46 40 20 5	16 07 0		
15	28 20 59	03 12 16 18 0	67 18 7 4	2 48 14 70	47 38 35 1	17 00 4		
16	29 14 38	03 14 42 59 0	70 24 7	3 01 24 50	48 35 55 0	17 56 4		
17	29 59 18	03 17 14 3 0	73 28 35 4	3 14 30 34	49 3 5 1	18 47 3		
18	30 55 55	03 19 50 41 1	76 40 58 5	3 27 31 57	50 0 54 1	19 40 0		
19	31 54 33	03 22 31 59 0	79 49 50 4	3 40 30 54	50 7 23 0	20 34 0		
20	1 56 17	03 25 18 0 0	82 55 27 5	3 53 27 54	50 33 17 0	21 29 4		
21	2 59 59	03 28 10 54 1	85 44 0	4 6 14 0	51 30 43 0	22 26 1		
22	3 65 27	03 31 9 39 0	88 34 57 5	4 19 0 7	52 26 57 0	23 24 0		
23	4 34 57	03 34 11 50 0	91 28 37 1	4 31 37 1	53 22 28 0	24 23 1		
24	5 48 30	03 37 18 50 0	94 15 10 7	4 44 3 4	54 17 0 1	25 23 4		
25	6 57 57	03 40 30 50 0	96 55 57 0	4 56 57 0	55 10 47 5	26 25 0		
26	8 03 29	03 43 48 50 0	99 40 51 0	5 9 10 0	56 3 57 0	27 27 0		
27	9 14 54	03 47 12 50 0	102 30 1 0	5 21 7 0	57 6 57 0	28 30 0		
28	10 22 29	03 50 42 50 0	105 23 51 0	5 33 29 0	58 9 57 0	29 34 0		
29	11 26 54	03 54 18 50 0	108 21 51 0	5 45 4 0	59 12 57 0	30 39 0		
30	12 28 19	03 58 00 50 0	111 24 51 0	5 57 19 0	60 15 57 0	31 44 0		
31	+ 1 27 44	04 01 48 50 0	- 1 30 20 3	6 9 12 0	+ 18 18 0 0	4 49 0		

Planetenkonstellationen 1906.

März	1.	10%	
1	1	10%	Jupiter in Konjunktion mit dem Monde.
2	2	20	α Tauro in Konjunktion mit dem Monde, Perihelium.
3	3	30	Merkur im aufsteigenden Knoten.
4	4	40	α Leonis in Konjunktion mit dem Monde, Perihelium.
5	5	50	Mars im aufsteigenden Knoten.
6	6	60	Merkur im Perihelium.
7	7	70	Merkur in größter östlicher Elongation, 19° 30'.
8	8	80	Neun in Zeichen des Widlers, Perihelium.
9	9	90	Merkur in größter westlicher Elongation, 19° 30'.
10	10	100	Saturn in Konjunktion mit dem Monde, Perihelium.
11	11	110	Neun in Konjunktion mit dem Monde.
12	12	120	Merkur in Konjunktion mit dem Monde.
13	13	130	Mars in Konjunktion mit dem Monde.
14	14	140	Neun in Quadratur mit dem Monde.
15	15	150	Jupiter in Konjunktion mit dem Monde.
16	16	160	Uranus in Quadratur mit dem Sonne.
17	17	170	α Tauro in Konjunktion mit dem Monde, Perihelium.

Planeten-Ephemeriden.

Mittlere Berliner Zeit.				Mittlere Berliner Zeit.			
Jahr 1908	Ephemeriden			Jahr 1908	Ephemeriden		
	h m s	° ' "	Österr. Mittelzeit d. m.		h m s	° ' "	Österr. Mittelzeit d. m.
Mars 1908				Mars 1908			
März 1	20 42 59.77	— 2 23 59.9	0 34	März 1	20 47 59.92	— 2 24 17.9	0 35
15	0 34 30.67	0 0 30.6	1 0	15	22 42 59.47	0 25 18.7	22 54
17	0 41 3.91	0 7 51.9	1 23	16	23 16 30.61	— 0 40 58.3	21 34
25	0 50 39.61	0 0 30.9	0 11	Uranus			
27	0 0 0 0.0	0 0 0 0.0	0 00	März 1	18 54 59.94	— 3 27 17.4	18 39
28	0 0 23.48	— 0 23 17.4	0 38	15	18 33 59.20	23 24 27.1	18 49
Venus				16	18 54 59.44	— 3 27 14.9	18 0
März 1	20 29 59.97	— 0 47 10.1	0 31	Neptun			
15	22 42 37.98	0 17 43.7	0 38	März 1	0 22 59.98	— 4 27 47.9	1 00
17	0 0 19.37	0 18 18.3	0 39	15	0 22 59.49	23 27 14.7	0 48
25	0 29 54.89	1 47 54.4	0 42	16	0 55 0 7.9	— 4 27 14.9	0 0
27	0 51 39.95	1 23 23.1	0 44	Mondphasen 1908			
28	0 34 54.99	— 0 55 20.4	0 47				
Mars							
März 1	1 14 59.98	— 0 13 59.9	0 39	März	1 26 21.9	Erster Viertel	
15	1 32 32.11	0 37 32.0	0 33	15	5 12.9	Vollmond	
17	1 46 57.76	11 0 2.0	0 37	17	9 12.9	Letztes Viertel	
25	1 59 49.49	22 12 43.2	0 33	19	13 21.9	Neumond	
27	0 10 39.31	22 28 31.0	0 30				
28	0 37 59.35	— 0 44 43.3	0 0	19 17	—	Mond in Erdlicht	
Jupiter				20 18	—	Mond in Erdlicht	
März 1	0 18 59.9	— 0 17 20 11.9	0 43				
15	0 45 29.15	19 59 50.0	0 39				
25	1 0 23.68	— 0 46 27 44.7	0 39				

Stärkenderungen durch den Mond für Berlin 1908

Monatstag	Stern	Größe	Mittlere mittlere Zeit		Äußerer mittlere Zeit	
			h	m	h	m
März 1	γ Tauri	4.8	1	27.1	4	28.1
1	γ Tauri	4.8	1	52.0	9	53.0
1	α Tauri	4.5	12	36.1	14	37.0
1	α Tauri	4.8	23	49.9	25	50.9
1	γ Cygnus	5.0	6	59.9	7	59.9
1	γ Virgo	5.0	17	5.0	17	59.9
1	α Scorpion	5.0	24	39.9	26	39.9
1	α Tauri	5.0	31	47.0	33	48.0

Lage und Größe des Saturnrings und im März 1908
nicht zu beobachten

März 1. Mittlere Größe der Ellipse	34° 33'	0 37"
März " " "	32° 34'	10 13"
Mittlerer Wert der Sonne	14°	0 12"
Parallaxe " "		0 00"

Stellungen der Jupitermonde im März 1900.

I.



r

III.



d r

II.



r

IV.

Keine
deuten



Verfinstert
Mondes.

Notizen zum 14. für den Anblick im astronomischen Fernrohr

Tag	West.	Ost.
1		1 - 4 O - 3
2		O 1- 2 4 - 3
3		1 O 3
4	O 1	4 O 3
5	4	3 O 1 - 2
6	O 1	2 O 1
7	1	2 O 1
8	1	1 2 O 3
9	4	O 1 2 3
10	4 1 2	O 3
11		1 4 O 1 2
12		1 O 1 2
13	1	2 O 1 3
14	2 1	O 1 2
15		2 O 1
16		O 1 2 3
17		1 O 1 2 3
18		1 O 1 2 3
19		O 1 2 3
20	1	2 O 1 3
21	1 2 3	O 1
22	1	1 O 1
23	1	O 1 2 3
24	1	1 O 1
25	1	O 1 2 3
26	1	1 O 1 2 3
27	O 1	1 2 O 1
28		1 2 O 1
29		O 1 2 3
30	O 1	1 O 1 2

Ercheinungen der Jupitermonde. Die obigen Angaben über die Erscheinungen der Jupitermonde beziehen sich auf mittlere Zeit von Greenwich. Der Triebsten und der Hebeheilige ihres Abstandes vom Jupiter nach I bis IV bezeichnet. Die vier größten Figuren zeigen die Stellung jedes Mondes mit Bezug auf den Jupiter für den Augenblick der Vorklärung, (d) oder des Wiedereintrittens (e) bei r nicht angegeben, so kann der Austritt aus dem Schatten nicht beobachtet werden. Ferner befindet bei den nachfolgenden Zeitangaben:

- Es D den Voreintritt des Triebstons im Schatten des Jupiter.
- Es E den Austritt des Triebstons aus dem Schatten des Jupiter
- Os D den Voreintritt des Triebstons hinter der Jupiterschibe
- Os E den Wiedereintritt des Triebstons neben der Jupiterschibe
- Tr I den Eintritt des Triebstons vor die Jupiterschibe.
- Tr E den Austritt des Triebstons aus der Jupiterschibe.
- Sh I den Eintritt des Triebstons hinter die Jupiterschibe.
- Sh E den Austritt des Triebstons hinter die Jupiterschibe.

Es sind vor die angegebenen Erscheinungen der Jupitermonde aufgeführt, welche sich ereignen, wenn Jupiter zu Greenwich über und die Sonne unter dem Horizont steht. Um die Momente dieser Erscheinungen nach mittlerenzeitlicher Zeit zu finden, hat man nur nötig, 1^h zu den angegebenen Zeitpunkten zu addieren:

März 1, III Os, D, 11^h 10^m. März 2, I Os, D, 10^h 10^m. März 3, I Tr, 1^h 10^m. I Sh, 1^h 10^m. I Tr, E, 10^h 10^m. I Sh, E, 11^h 10^m. März 4, III Sh, 1^h 10^m. I Os, E, 11^h 10^m. III Sh, E, 11^h 10^m. III Sh, E, 11^h 10^m. März 5, I Os, E, 11^h 10^m. I Tr, 1^h 10^m. I Tr, E, 11^h 10^m. März 6, II Os, E, 11^h 10^m. März 7, I Tr, 1^h 10^m. I Sh, 1^h 10^m. I Tr, E, 11^h 10^m. März 8, II Os, E, 11^h 10^m. März 9, I Tr, 1^h 10^m. I Sh, 1^h 10^m. I Tr, E, 11^h 10^m. März 10, II Os, E, 11^h 10^m. März 11, I Tr, 1^h 10^m. I Sh, 1^h 10^m. I Tr, E, 11^h 10^m. März 12, II Os, E, 11^h 10^m. März 13, I Tr, 1^h 10^m. I Sh, 1^h 10^m. I Tr, E, 11^h 10^m. März 14, II Os, E, 11^h 10^m. März 15, I Tr, 1^h 10^m. I Sh, 1^h 10^m. I Tr, E, 11^h 10^m. März 16, II Os, E, 11^h 10^m. März 17, I Tr, 1^h 10^m. I Sh, 1^h 10^m. I Tr, E, 11^h 10^m. März 18, II Os, E, 11^h 10^m. März 19, I Tr, 1^h 10^m. I Sh, 1^h 10^m. I Tr, E, 11^h 10^m. März 20, II Os, E, 11^h 10^m. März 21, I Tr, 1^h 10^m. I Sh, 1^h 10^m. I Tr, E, 11^h 10^m. März 22, II Os, E, 11^h 10^m. März 23, I Tr, 1^h 10^m. I Sh, 1^h 10^m. I Tr, E, 11^h 10^m. März 24, II Os, E, 11^h 10^m. März 25, I Tr, 1^h 10^m. I Sh, 1^h 10^m. I Tr, E, 11^h 10^m. März 26, II Os, E, 11^h 10^m. März 27, I Tr, 1^h 10^m. I Sh, 1^h 10^m. I Tr, E, 11^h 10^m. März 28, II Os, E, 11^h 10^m. März 29, I Tr, 1^h 10^m. I Sh, 1^h 10^m. I Tr, E, 11^h 10^m. März 30, II Os, E, 11^h 10^m. März 31, I Tr, 1^h 10^m. I Sh, 1^h 10^m. I Tr, E, 11^h 10^m.

Seitens und seine Monde sind im Januar, Februar und März 1906 nicht sichtbar

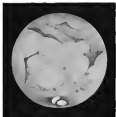
Mehrere größere und kleinere

astronomische Fernrohre

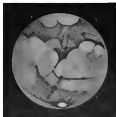
sind sehr preiswürdig zu verkaufen. Reflektanten wollen sich wegen alterer Mitteilungen an nicht wenden.

Prof. Dr. Hermann J. Klein in Köln-Lindenthal

Verkauft von Prof. Dr. Hermann J. Klein in Köln-Lindenthal — Strauß und Söhne, Leinwand in Leipzig 1905
Abgegeben am 1. Januar 1906.



3. April 1908. 10^h 30^m C. M. T.



10. April 1908. 10^h 30^m C. M. T.

Stier 1908.

*Ansichten des Planeten Mars 1908
nach Zeichnungen von Major T. D. Molyneux.*

Tafel II



SIRIUS.

Zeitschrift für populäre Astronomie.

Centralorgan für alle Freunde und Förderer der Himmelskunde.

Herausgegeben

unter Mitwirkung hervorragender Fachkünstler und astronomischer Schriftsteller

von Prof. Dr. Hermann A. Klein in Köln

Februar 1906.

„Wissen und Erinnern und die Freude an der
Bewältigung der Menschheit.“ K. Klein.

Jeden Monat 1 Heft. — Jährlich 12 Mk.

Verlag von EDUARD HEINRICH MAYER in Leipzig.

INHALT: Die Hamburgische Sonnenfinsternisexpedition nach Souk-Ahras im August 1905. S. 21. — Die sogenannten „Bayerischen Scharten“ bei totalen Sonnenfinsternissen. S. 26. — Der Sonnenlichtbogen im Oktober 1905. S. 35. — Seismographische Studien. Von Viktor Perle. (Herv. Tafel III.) S. 34. — Erste Katalog der antarktispolaren Doppelsterne. Von W. W. Campbell und Victor D. Carter. (Schluß.) S. 33. — Die Frage gemeinsamer kosmischer Abkunft der Meteoriten von Bassano Junior und Jarnum. S. 35. — Mond- und Sonnenfinsternisse im Monat Februar 1906. (Nach dem Berliner Jahrbuch.) S. 45. — Litteratur. S. 44. — Astronomischer Kalender. S. 45. — Einschlagtagen der Jupitermonde. S. 46. — Seeligen der Saturnmonde. S. 45.

Die Hamburgische Sonnenfinsternisexpedition nach Souk-Ahras im August 1905.

Der Direktor der Hamburger Sternwarte Prof. Dr. H. Schorr hat den ersten Teil seines Berichtes über diese von ihm veranstaltete und geleitete Expedition veröffentlicht. Derselbe verheißt sich über die Ausattung und den Verlauf der Expedition und ist mit zahlreichen Abbildungen und einer Karte des Verlaufs des Finsternisses in Nordafrika versehen. Die Mitglieder der Expedition waren: Prof. Dr. Schorr, Prof. Koppf, Dr. Schwelmhaus und der Assistentdirektor des Observatoriums. Als Beobachtungspunkt war der Ort Souk-Ahras (660 m Seehöhe) an der Bahn von Tunes nach Alger gewählt worden. Die Vorgänge am Tage der Finsternis

schiedet der Bericht sehr anschaulich wie folgt:

„Der Morgen des 30. August brach bei herrlichem Wetter an, kein Wölkchen trübte das wundervoll blaue Himmel, dabei herrschte vollkommene Windstille. Vielte Hoffnungen lagerten wir uns frühzeitig zu unserer Station, um noch die letzten Vorbereitungen zu treffen. Die schweren Kisten mit den großen Kassettens wurden aus der Fernbeweglichen und neben den Instrumenten aufgestellt, bei welchen sie benutzt werden sollten. Um 11 Uhr trat das verstärkte Wachenwachen an, welches die verschiedene Abgemessung der Terrain während der Finsternis über-

nehmen sollte und es erschienen verschiedene Herren aus Saak-Alma und Umgebung, welche sich uns zur Hilfeleistung anbieten hatten, darunter auch zwei deutsche Studenten, Otto Deschle und Alexander Kunkel, die zum Besuch in Saak-Alma waren. Die einzelnen Vorrichtungen waren abgepackt und alle Beobachter mit ihren Aufgaben vertraut gemacht, als eine Stunde vor Beginn der Finsternis die Vorrichtungen noch einmal von neuem beggripen sollten. Wenige Tage vorher hatte ich von Robertus Physikalischen Laboratorium in Berlin die Nachricht erhalten, daß uns in freundlicher Weise noch die Registrierapparate zur Messung der Helligkeit während der Finsternis mittels einer Schenckle zur Verfügung gestellt werden sollte und daß dieser Apparat spätestens am 26. August in Saak-Alma eintreffen werde. Ich hatte mich deshalb sogleich mit dem Zöllner in Bonn in Verbindung gesetzt, um die vollkommene Einklebe und die möglichst schmerzlose Zurechtung des Apparats zu erreichen. Es war mir aber auch ratsam, der Apparat traf aber, da der rechtzeitige Anschluß an den Dampftr in Manteile nicht erreicht werden war, nicht zu dem angegebenen Termin an, sondern erst eine Stunde vor der Finsternis kamen die beiden Kisten aus Berlin auf unserem Termin an. Da der Apparat eine wertvolle Ergänzung unserer bereits vorhandenen instrumentellen Ausrüstung darstellte, beschloß ich mich doch noch, die Kisten zu öffnen und zu versuchen, ob die Anheftung noch möglich sei. Hierbei wurde ich wesentlich unterstützt von Herrn stud. Deschle, und es gelang uns in der Tat, die Aufstellung und Eingliederung des Apparats noch fertig zu stellen, so daß er während der Finsternis in Tätigkeit treten konnte und dabei eine sehr interessante und wertvolle Kurve für die Veränderung der Intensität des Lichtes geliefert hat. Der Beginn der Finsternis war nun immer näher gekommen und auch

knachte von derselbe herricht, Hart und wolkenlose Himmel wie am Morgen. Die Temperatur war bis auf 32° C gestiegen und noch herrschte vollkommene Windstille. Dem Moment des ersten Kontakts des Mondes mit der Sonnenscheibe beobachteten wir aus des verschiedenen aufgestellten kleinen Fernrohren um 12h 15-11.15 M. Z. Ortszeit. Immer schneller wurde die Sicht, ohne daß eine Veränderung des Aussehens der Landschaft oder eine Abnahme der Helligkeit für das Auge erkannt werden konnte, erst gegen 12h 19m, als etwa $\frac{1}{4}$ der Sonnenscheibe verdeckt waren, machte sich ein merkliches Abnehmen der Tageshelligkeit geltend. Der Moment des Totalbeginns rückte immer näher heran, jeder stand auf dem ihm zugewiesenen Posten. Ich selbst stand zu Zeit am Kassettende des 20 m-Fernrohrs, umgeben von den Herren, welche mir die großen und schweren Kasseten für die Platten 20x20 cm zu reichen, bzw. abnehmen sollten, während ich selbst das Einsetzen und die Exposition besorgte. Die Schwelung hatte, ebenfalls mit Unterstützung einiger Geübten, das Doppelquadrat, sowie die an derselben befestigten Camera zu bedienen. Professor Kunkel wollte am Weiterchen Photometer die Helligkeit der Kamera bestimmen. Der Photograph am Saak-Alma, H. Bellmann, übernahm die Bedienung der drei fotografischen Camera. Man stud. Deschle überwachte den Seiten Registrierapparat. Unser Geübte Heymann sollte auf einem auf dem Boden ausgebreiteten großen Laken die fliegenden Schatten beobachten und deren Richtung feststellen, ferner die meteorologischen Ablesungen machen, sowie am Milh-Anemometer die Widerstände der beiden aufgestellten Seismometer bestimmen. Um 12h 30m Moment während der Totalität über die auch zur Verfügung stehende Zeit orientiert zu sein, waren am Kassettende des 20 m-Fernrohrs und beim Doppelquadrat zwei elektrische Ziffer-

blätter aufgestellt, welche, wie bereits erwähnt, durch die Schwingungen eines Pendels betätigt wurden, das vorher ermittelt war und das ich selbst im Moment des Beginns der Totalität durch Durchschneiden eines Fadens in Schwingung versetzen wollte. Nach den Angaben dieses Zifferblattes sollte Herr stud. Kessler alle zehn Sekunden ein Signal mit einer Hand geben. Herr Leutnant Mongour verfolgte die Erscheinung mit bloßem Auge und einem kleinen Fernglas. Immerwährend wurde die Seibel und unsere Spannung steigerte sich aufs höchste. In der ersten Hand des elektrischen Druckkopfs zur Registrierung des Regimes der Totalität, in der zweiten eine Scheibe, um im gleichen Momente den Faden zur Auslösung des Schencktopfmodells zu ausschalten, beobachteten ich das Fortschreiten des Mondes auf der Maßschleife des 20 m-Rohres, auf der die Seibel als eine Scheibe von 15 cm Durchmesser abgebildet wurde. Als die Seibel ganz klein geworden war, trat die als »Paraschour« bekannte Palasmas ein, sie verfiel sehr rasch in mehrere Stücke, doch wenige Sekunden darauf, um 13^h 51^m 54^s M. Z. Greenwich, verschwand auch die letzte Spur des Sonnenlichts und in diesem Momente hat sich nur auf der Maßschleife ein Schauspiel der, wie man es noch besser sehen vorstellten kann. Die erste Hälfte des Mondrings, hinter der eben die Sonnenstrahlen verschwunden war, erschien umgeben von der intensiven leuchtenden hinterleuchtigen Sonnen-Chromosphäre, aus der hunderte von niedrigen Protuberanten funkenartig emporragten und fast genau an dem Punkte des letzten Sonnenlichts trübte sich ein rasiges Protuberanzgebiet, das etwa 2^h hoch umgränzt und gleichzeitig von Stern zu Seite gewölbt schien. Leider konnte ich diesem herrlichen Schauspiel, dessen Gesamteindruck durch eine Zeichnung wiedergegeben nur leider vermag ist, nur wenige Sekunden widmen, denn es gilt auf

den photographischen Aufnahmen der Korona nach diesem prachtvolle Protuberanzgebiet fortzusetzen. Die Aufnahmen folgten nun ganz programmäßig, die erste währte 4 Sekunden, die zweite 20 Sekunden, die dritte 42 Sekunden. Während dieser letzten Aufnahme bot sich mir die Möglichkeit aus dem Zeit-Wissen sprangen und die Erscheinung auch mit dem bloßen Auge zu betrachten. Der Eindruck war überwältigend. Am graugrünlischen Himmel stand die goldschwarze Mondscheibe, gleichmäßig rings umgeben von dem silberweißen Strahlenkranz der Korona, die selbst immerwährend leuchtete, dabei war das Licht derselben aber nicht glänzend, sondern vollkommen matt, um die heraus schauen eine Reihe von grünlich-weißen Strahlen, die zumeist nach Süden hin bis zu einer Entfernung von 4 bis 5 Monddurchmessern verläuft werden konnten. Von Stern zu Stern erkannte ich nur die intensiv stehende Venus erkennen. Während wir nach der Führung des Horizonts, so dem rasch heran die prachtvollen Dämmerungserscheinungen sichtbar waren, die sich schief gegen den dunklen Himmel abhoben. Der allgemeine Eindruck war nicht so groß, als ich erwartet hatte, es herrschte statt der glänzenden Helligkeit, wie zur Dämmerung $\frac{1}{4}$ Stunde nach Sonnenuntergang, und die Zifferblätter sowie die Thermometerkälte konnten ohne künstliche Beleuchtung abgelesen werden. Der allgemeine Eindruck auf alle auf dem Terrain und in seiner Umgebung anwesenden Menschen war ein gewaltiger. Während von Beginn der Totalität schwebend sehr viele Stimmen aus der Umgebung zu hören waren, herrschte jetzt luthische Stille. Doch nur etwa 15 bis 20 Sekunden dauerte ich der dunklen Beobachtung widmete und merkte dann in der Zeit zurückgehen, um die noch ausstehenden programmäßigen photographischen Aufnahmen zu machen. Es gelang mir noch eine 4 und 5. Aufnahmen von 37

und 6 Sekunden Expositionzeit, bei der 6 Aufnahmen erzielten im selben Momente, als ich die Verschlussklappe des Objektivs öffnen wollte, 30/33" nach Beginn der Totalität, der erste Sonnenstrahl wieder und überflutete alles mit seinem Lichte, das herrliche Schauspiel war zu Ende, ein Freudenschrei der vorstammelnden Zuschauer begrüßte die wieder erscheinende Sonne. Freudestrahlend begrüßte wir uns gegenseitig und wurden von den Anwesenden beglückwünscht, daß wir

diese großartige Naturerscheinung unter so herrlichen und außerordentlich günstigen Umständen haben beobachten können. Kein Wörtchen, kein feiner Scherz hatte sich am Haisel gezeigt, und die Luft hatte eine Durchsichtigkeit bei gehabt, wie wir sie uns in einem nördlichen Klimate kaum vorstellen können. Das ganze Arbeitsprogramm hatte in vorzüglicher Weise und ohne jede Störung fast vollständig durchgeführt werden können.

Die sogenannten »fliegenden Schatten« bei totalen Sonnenfinsternissen.

 ingentlich der letzten totalen Sonnenfinsternis sind von fast allen Beobachtern, die darauf achteten, die sogenannten »fliegenden Schatten« gesehen worden, und die man bekanntlich schon früher aufmerksamer geworden ist. Eine Erklärung des Ursprungs dieser Erscheinung ist von den Beobachtern nicht gemacht worden, vielmehr wird von mancher Seite ausgesprochen, daß das Phänomen überhaupt noch völlig räthselhaft sei. Unter diesen Umständen ist es unrichtig, darauf hinzuweisen, das schon vor vier Jahren Hr. Dr. Kottwitz in Wien eine Deutung dieser fliegenden Schatten gegeben hat¹⁾, die die Ursache der Erscheinung hochstwahrscheinlich völlig zutreffend nachweist. Das Wesentliche aus dieser Abhandlung möge daher nachstehend an dieser Stelle wiedergegeben werden. Hr. Dr. Kottwitz schreibt: »Die Fächer eines Trichters meiner Wohnung schauen gegen Westen und sind mit einer gemeinsamen Terrasse versehen, von der man nachher oben an das Haus unmittelbar angrenzenden, etwa 200 m hohen und 400 m langen, mit einem Blausen dicht bedecktem Garten überblickt. Regenern greifen an den Garten

Häuser Von der höchsten Terrasse geht der Blick hoch über die Wipfel der Bäume des Gartens und schweift sodann über die Dächer und Schornsteine Wiens hinüber bis zu der Hügelskette, welche den Horizont im Westen begrenzt. Auf einer der Erhebungen dieser Hügelkette, dem Gellensberge, in einer Entfernung (Luftlinie) von etwa 9 km von unserer Terrasse werden häufig des Nachts rotirische Übungen mit elektrischen Schloßwerfern abgehalten. Treibt während der Lichtegel eines dieser großen Schloßwerfer meine Terrasse, so ist Terrasse und Wohnung hell erleuchtet. Als ich zum ersten Male 11½ mit meinem kleinen 2½-Zöller von Heinrich & Herold beobachtete, bemerkte ich, daß wieder dortige Übungen abgehalten wurden. Ich richtete das Fernrohr auf den Schloßwerfer, dessen Lichtkegel bei dieser Einstellung nicht gegen mich gerichtet war, ein. Da die Vorlesung meiste des Gartens über die Dächer und Schornsteine eines großen Theils der Stadt ging, so machte sich, obwohl ich rings der Vorlesung und auch in deren weitem Nachbarschaft nicht die geringste Rauchentwicklung bei den Schornsteinen wahrnehmen konnte, doch ein sehr heftiges Wollen und Flackern der feinsten

einem sehr heißen, planetarischen Nebel mit kochendem Kern vergleichbarer Formzustandes des Schmelzwirles, in welchem ich von der Seite hinein sah, bemerkbar, offenbar hervorgerufen durch zahllose kleine Konvektionsströmungen, die sich durch die des Schmelzwirles entgegengesetzte warme Luft, teils durch die mächtige Ausstrahlung der durch die Insolation zugleich stark erwärmten Dächer erzeugt wurden. — Als nun plötzlich der Schmelzwirler gerade gegen mich zu getrieben wurde, merkte ich, gebremst durch die Überfalls intensiven Lichtes, mein Auge vom Fernrohr abwenden und sah zufällig gegen die von dem (N) her wohl reflektierten Schmelzwirler hell erleuchtete Wand des Hauses, auf die sich die Schatten der zwischenliegenden Dächer und Schmelzwirler scharf projizierten. Die Erscheinung, die sich mir nun darbot, war eine höchst merkwürdige; ich bemerkte nämlich an seiner nicht geringen Übersetzung die die ganze beleuchtete Fläche der Wand beherrschendes System von schrägen, dicht gedrängten und im Sinne der herrschenden Luftströmung ganz abwärts nach dem Süden fortschreitenden, in unregelmäßigen Wellenläufen sich hinwühlenden Schattenlinien, ganz ähnlich jenen «fliegenden Schatten», wie sie nach Schilderung von Beobachtern kleiner Sonnenfinsternisse in dem dem Beginn der Totalität unmittelbarer vorhergehenden und ihrem Ende unmittelbar nachfolgenden Augenblicken über die Landschaft dahingegen. Noch mehrmals während des Abends wandte der Schmelzwirler sein blendendes Licht auf meine Terrasse und jedesmal konnte ich die gleiche Beobachtung machen.

Ich glaube nicht übertreiben zu sollen, daß die physikalischen Ursachen der Entstehung des Phänomens in beiden Fällen, sowohl bei dem fliegenden Schatten der totalen Sonnenfinsternisse, als auch bei der von mir beobachteten

Erscheinung, dieselben sind, nämlich fortschreitende Unregelmäßigkeiten in der Dichtigkeit der von den Schatten einer starken, punktförmigen Lichtquelle durchsetzten Luftschichten, also bewegte Luftschichten, die aus infolge der punktförmigen Gestalt der Lichtquelle und ihrer starken Intensität nicht nur subjektiv Wellenerscheinungen, sondern auch objektiv, wohl, als jene merkwürdigen Gebilde sichtbar werden, die bei totalen Sonnenfinsternissen «fliegende Schatten» längst bekannt sind, und die ich gestern in der geschicktesten Weise durch einen glücklichen Zufall zu beobachten Gelegenheit hatte.

Wien, 1901 Juni 13.

Dr. Karl Kautsch

P. S. vom 14. Juni. In Ergänzung meines gestern nachmittag abgegebenen Briefes erlaube ich mir mitzutheilen, daß ich gestern abend neuerlich Gelegenheit hatte, das in meinem Brief erwähnte Phänomen zu beobachten. Da die Bedingungen der Entstehung der Erscheinung etwas geändert waren, so war auch die Erscheinung selbst ein wenig modifiziert.

Während nämlich vorgestern ein milder, nebliger Abend war, mit kaum merkbarer Luftströmung aus S, hatten wir gestern nachmittag hier heftigen Sturm aus N mit darauf folgendem Regen und dem nach sehr kaltem Abend mit starkem Wind aus N. Die beobachtete Erscheinung zeigte sich daher auch nicht als die ruhig bewegten Fortsetzungen der unregelmäßigen Wellenlinien auf der Wand des Hauses, vielmehr bot die beleuchtete Wand gestern den Anblick einer von kontinuierlichen Wiederrückungen lebhaft bewegter Wasserfläche, die in regelmäßigen und unregelmäßigen kleinen Wellen stöße und Hümperte. Auch gestern war abermals Fortschreiten der Bewegung im Sinne der Wiederrückung nicht zu erkennen.

Zur Sonnenfärbung im Oktober 1905.

Am 1. Oktober 1905 wurde den Beobachtern der Sonnenfärbung durch das Hervortreten zweier selbständiger großer Fleckengruppen ein interessantes Schauspiel berrichtet.

In der einen Hälfte dieses Monats waren auf der Sonnenscheibe täglich mehrere gewöhnliche Fleckengruppen zu beobachten, die meistens mit Fackeln umgeben waren. Dabei kamen auch selbständige Gruppen von Fackeln vor.

Am 14. Oktober um 10^h M.-L.-Z. wurde am östlichen Sonnenrand eine Gruppe von etwa 5 großen Flecken beobachtet. Diese Gruppe, umringt von Fackeln, unterlag in den nächsten drei Tagen schnellen Veränderungen und nahm so an Größe zu, daß sie am 18. Oktober unter Zuhilfenahme eines Sonnenglases mit bloßem Auge aufgefunden werden konnte, was auch von andern Beobachtern bestätigt wurde. Am 19. Oktober passierte sie fast die Mitte der Sonnenscheibe und am 20. Oktober um 11^h M.-L.-Z. stand sie schon etwa im zweiten Fünftel des nördlichen Sonnendurchmessers — vom westlichen Rande rechnend — doch etwas nördlich. Zu dieser Zeit bestand sie aus 7 großen, zum Teil zusammenhängenden Flecken, wobei 22 kleinere. Alle diese Flecke waren von gemeinsamer sehr schön ausgeprägter Penumbra umgeben. In der nächsten Umgebung waren noch 2 größere Flecke mit Penumbra und 19 kleinere zu sehen. Die Maximaldimension der ganzen Gruppe betrug etwa ein Fünftel des Sonnendurchmessers. Hart am östlichen Rande war noch ein neuer, perspektivisch sehr verkürzter Fleck bemerkbar. Sonst war die Sonnenscheibe ganz bedeckend und Fackeln nicht zu beobachten.

Im weiteren Verlaufe vom 21. bis 25. Oktober wurde die Anzahl der Flecke der erst angeführten Gruppe allmählich wieder kleiner, so daß am 24. Oktober um 10^h bloß 4 große und 6 kleine Flecke umhüllt von gemeinsamer Penumbra geteilt wurden. Ringum waren Fackeln sichtbar. Der neue Fleck war schon ganz entleert, seine Penumbra noch mit einem kleinen Flecke sehr schön entwickelt. In der Richtung vom diesem Flecke gieng den östlichen Sonnenrand standen noch 3 kleine Flecke und eine Gruppe von Fackeln. Am 25. Oktober um 12^h war die erste Fleckengruppe schon in der Nähe des westlichen Sonnenrandes. Am 23. Oktober um 2^h M.-L.-Z. schon verschwunden, da wieder — mit bloßem Auge sichtbar — bestand aus 3 großen, zusammenhängenden Flecken mit Penumbra, in welcher noch 5 kleinere Flecke sich befanden. Außerdem 7 Flecke in der Nähe der Penumbra und am östlichen Sonnenrande Fackeln, unter welchen am 26. Oktober ein Fleck sichtbar wurde.

Am 3. November zwischen 2^h und 4^h war die zweite Gruppe schon zu einem sehr schmalen Streifen am westlichen Sonnenrande zusammengekommen. Sonst waren in den Zeitabständen der Scheibe 3, am östlichen Rande 2 Fleckengruppen zu beobachten.

Die Beobachtungen wurden sehr vom Untersuchern mit einem Dollondschen Refraktor, erst von Carl Jos. Hraze mit einem Fernrohr von Merz ausgeführt, in beiden Fällen unter Anwendung der Projektionsmethode.

Prag-Belkhow, Astron. Institut.

Dr. Jiri Kozin.

Seismographische Studien.

Von Victor Nissen.
(Nissa, Tafel II.)

10 *Polandaverrille.* Die ungeheure Wallhöhe Pololandaverrille hat nicht am Ostwalde eine Rille, welche ungewöhnliches Interesse wegen ihrer Bauform darbietet. Die Hauptfalte liegt bei diesem Krater gegen Norden an und nach innerem Lauf durchschneidet sie die schwache, aber doch stark markierte Höhenlinie. Beim Austrittspunkte der Rille endet sie gegen Ost in einer von der markierten Flußbettflankenschen, welche Prof. W. H. Pickering mehrmals nachgewiesen hat und von welcher diese Rille gebildet scheint. Weiter gegen Süden verläuft die Rille sich in einer Reihe von Kratern und endet in einem von Pickering's «River-bed».

Mit der vorliegenden Arbeit zeigt Krieger's Zeichnung¹⁾ nur sehr schwache Überzeichnung, dagegen haben englische Beobachter einige von den südlichen Kratern²⁾, ja sogar zwei von den Flutbetten der Rille³⁾ gesehen.

Petraverrille. Am 23. Januar 1885, morgens früh 12^h 15^m beobachtete ich Petrus bei Sonnenaufgang und fand im südlichen Teil mehrere Rillen. Davor nahm die geschlingelte oder arpendenartige seine Aufmerksamkeit gefangen. Die angewandten Vergrößerungen waren 325 und 441fach meines Heißigen Cooke-Refraktor mit Okular von Zeiss in Jena. Die Abbildung zeigt den Lauf der Rille, welche aus dem südlichsten Teil des Zentralgebirges heraustritt und sich in nordwestlicher Richtung bis zum Ringwall hin erstreckt.⁴⁾ Nahe der Mitte der Rille tritt eine Zwergfalte in

südlicher Richtung ein. Dieser Rillenteil ist wegen seiner markwürdigen Form hochinteressant. Bald nach dem Ausgangspunkt tritt er in ein River-bed ein und mündet in gekrümmter Linie aus Prof. H. W. Pickering hat die Hauptfalte⁵⁾ in genauer Position, aber nicht in so charakteristischer Weise gezeichnet wie ich sie gesehen habe.

Die Studien gibt an, daß Gaudibert mit einem 18-zölligen Spiegel die Hauptfalte gesehen hat, aber in seiner Karte ist die Rille ganz fehlerhaft eingezeichnet⁶⁾. Übrigens hat Dr. Seeliger mit einem 4¹/₂-zölligen Refraktor im November 1894 diese Zeichnung ausgeführt, welche eine Menge Details zeigt, aber von der Rille ist keine Spur zu sehen. Die optische Kraft eines Refraktors war gewiß zu gering.

Arachael Rille. Der starke, feste Rille im westlichen Innern des pittoresken Ringgebirges Arachael besitzt ebenso wie die Pololandaverrille vieles Interesse wegen ihrer markwürdigen Bauform im Süden. Hier haben wir einen deutlichen Beweis für die Wahrheit der W. H. Pickering'schen «River-bed». Es ist mir gelungen, bei sehr guter Luft und unter starker Vergrößerung, den Bau des Rillensystems und «River-bed» klarzulegen. Die Zeichnung zeigt diese rillensystem Bauformen.

Bei Schmidt endet die Rille gegen Süd in zwei kleinen Kratern, welche höher die von mir gezeichneten zwei «River-bed» sind. Weiter in ihrem Verlauf sieht man bei mir eine Reihe Flußbetten und Krater unter ihnen Rillensystemen, die sich soweit mir bekannt ist, bisher weder in Karten noch in Zeichnungen finden. Bei Nissen

¹⁾ Krieger's Mondatlas, Band 1.

²⁾ Memoirs of the Brit. Astron. Assoc., 1890.

³⁾ Memoirs of the Brit. Astron. Assoc., 1892.

⁴⁾ Über die Definition einer Astron. Nacht, No. 3797 und 4024.

⁵⁾ Annals of the Harvard College Observatory, Vol. XXXII, Part I.

⁶⁾ Die Rille wurde von Prof. Klein entdeckt. Vgl. dessen «Führer am Stern Jernsch», S. 206.

ist nur der nördliche Teil der Rille angegeben.

Hygieus N. Diese hochinteressante Gegenstand haben die meisten Mondbeobachter infolge der Neubildung Hygieus N, welche Prof. Dr. Klein am 19. Mai 1877 entdeckte, durchsehen. Ich selbst habe diese Gegenstand mehrfach beobachtet und fand insbesondere mit einem Refraktor von 162 mm Öffnung am 5. Juni 1884¹⁾ ebenfalls eine Anzahl feiner Krater.

Die hier gegebene Zeichnung bezieht sich auf den 20. Februar 1885 — letztensent 180 mm Refraktor Refraktor — wo Herr Wilhelm Juul und ich zusammen beobachteten. Wir haben damals 3 Kraterchen im Schackenborg und mehrere von den Kraterchen, welche im Süden von Hygieus N liegen gesehen. Entsprechend in die Wiedergabe (Kopie) sind nur die Krater oder Mulden a und b selbst der Rille durch b, da das letztere nur diese Formelweise berührt. Am nächsten Tage, dem 21. Februar, wurde derselbe Gegenstand wieder beobachtet und trotz der hellen Stunden der Sonne, haben wir doch alles, was wir Tage vorher beobachtet hatten, wieder gesehen.

Merkwürdig ist, daß diese Krater a und b am 5. Juni 1889 nicht gesehen wurden, da es doch möglich war, die weiß hellere Krater südlich von Hygieus N eine Schwärzung zu sehen. Vielleicht waren a und b damals nicht sichtbar oder noch nicht entstanden.

Was man den Vergleich mit anderen Beobachtern angeht, so hat Krieger in seiner Mond-Atlas-Tafel 8 nur den Kraterchen a, welches er am 12. April 1884 gefunden hat.

Es ist sehr wahrscheinlich, daß sowohl a wie b früher nicht überschauen werden konnten, falls sie damals vorhanden gewesen wären.

Es soll unsere Aufgabe sein, dieser Gegenstand um Hygieus N ein sehr ge-

naues Studium bei verschiedenen Sonnenbelichtungen zu machen.

Atlasrillen. Die zwei bekannten dunklen Flecken im Innern des Atlas sind einer Variabilität der Farben unterworfen.

Der im Jahr verstorbene englische Mondbeobachter Eger entdeckte in den Jahren 1870 bis 1871 die Variabilität des südlichen Flecks und Prof. W. H. Pickering hat im Jahre 1891 bei seinen Untersuchungen auf der Ausgipfelstation derselbe bestätigt, welche bei Stanley-Williams bei Beobachtungen in den Jahren 1883 bis 1887 Luftkurven für die beiden Flecken ausgearbeitet. Jeder dieser Flecken ist Ausgangspunkt von Rillen. Webb spricht wohl über verschiedene Rillen — gibt aber keine Zeichnung. Nöldeke hat zwei Rillen gezeichnet, die Schmidt schon in seine Karte eingezeichnet hatte. Es sind dieselben, über welche in Nilsons Mondwerk steht: „Auf der inneren Fläche finden sich zwei sehr feine Rillen, die Quackbert und Webb beobachtet haben.“ — Die Rillen sind aber nicht schwierig unter dem besten Sonnenstande und mit genügend optischen Kräften zu entdecken.

Quackbert sah im Jahre 1882 Febr. 23 den Rillen, darunter die Rille, die aus dem Süd-Wale austritt und weiter über den Mondboden läuft. In dieser Darstellung gibt er auch das Kraterchen in dem dunklen nördlichen Fleck, welcher Ausgangspunkt eines Flusses in südlicher Richtung ist.

Die meisten Rillendetails hat aber Major Melisworth in Transonale auf Caylon gemacht in seiner Zeichnung¹⁾, ausgeführt am 10. August 1892 mit Hilfe eines 12 $\frac{1}{2}$ -zölligen Spiegelteleskops, hat er außer den zwei bekannten Rillen viele von den Rillen, welche unsere Zeichnung zeigt.

Prof. W. H. Pickering hatte Gelegenheit, die dunklen Flecken im Atlas

¹⁾ Memoirs of the Brit. Assoc. Assoc. 1890, Vol. VII.

²⁾ Simon 1889, Tafel XL

von 1 Februar bis 28. März 1905 zu messen, und fand mit dem 13-stufigen Rayden-Refraktor bei Vergrößerungen von 345 und 714, daß der südliche Fleck ausbesteht aus, wenn unvollständig und durchdringt von Rillen — aber keine River-beds. Der südliche Fleck ergab ein wohldefiniertes Kraterchen in einem Zentrum, aber von „River-beds“ in keine Rede.

In unserer Zeichnung, in welche der meiste Rillen am 17. November 1902 eingezeichnet wurden, hat der südliche Fleck das Kraterchen, aber kein Flußbett. Dagegen wurde am 23. Januar 1905 das Flußbett, welches vom Krater im südlichen Fleck ausgeht, deutlich gesehen, sogar auch der tiefste kleine Krater am südlichen Ende des Flußbettes, auch die Rille durch

den Südost-Wall, dagegen waren viele der andern Rillen unsichtbar. Unser Bild ist das Resultat einer Reihe von Beobachtungen.

Der Auf- und der Untergang der Sonne liefen unter dem besten die tiefste Menge von Details kennen, welche der konstante Boden des Atlas besitzt. Es ist beinahe eine Unmöglichkeit, die vielen feinen Details, im Innern abzuzeichnen. Nur wegen des Interesses an den Rillen habe ich diese Darstellung gegeben.

Marcellus. Newton gibt keine Krater im Innern des Heracles, Schmidt dagegen zwei, aber kein anderes Detail. In der nächsten äußeren Umgebung finden sich viele kleine Doppelkrater, die, so weit uns bekannt, weder in Zeichnungen noch in Karten eingezeichnet sind.

Erster Katalog der spektroskopischen Doppelsterne.

Von W. W. Campbell u. Robert D. Curtis.

(Schluß.)

No.	Name	R. A.		Decl.	Ordnung	Periode	Δ	μ	Helligkeitsunterschied der Sterne	Anmerkungen
		1900	1900							
10	Quetzalcoatl	21 19	+49 5	1.5	5.4	lang	—	—	—	—
11	Pegasi	48 5	+49 10	2.0	—	—	—	—	—	—
12	Pegasi	48 5	+49 20	4.0	4.0	1.414	—	—	—	—
13	Angin	5 15	+18 5	2.0	5.0	lang	—	—	—	—
14	Hydra	20 0	+20 0	6.0	2.0	lang	—	—	—	—
15	Hydra	21 4	+49 40	5.0	6.0	1407 Jahre	0.000	104.7	—	—
16	Hydra	20 0	+20 10	4.0	—	—	—	—	—	—
17	Hydra	5 00	+18 0	4.0	—	—	—	—	—	—
18	Caesi	5 4	+18 4	6.0	2.0	—	—	—	—	—
19	Lyrae	20 0	+20 10	5.0	4.0	14.0	—	—	—	—
20	Lyrae	20 1	+20 10	5.0	—	—	—	—	—	—
21	Lyrae	20 1	+20 10	5.0	—	—	—	—	—	—
22	Lyrae	20 1	+20 10	5.0	—	—	—	—	—	—
23	Lyrae	20 1	+20 10	5.0	—	—	—	—	—	—
24	Lyrae	20 1	+20 10	5.0	—	—	—	—	—	—
25	Lyrae	20 1	+20 10	5.0	—	—	—	—	—	—
26	Lyrae	20 1	+20 10	5.0	—	—	—	—	—	—
27	Lyrae	20 1	+20 10	5.0	—	—	—	—	—	—
28	Lyrae	20 1	+20 10	5.0	—	—	—	—	—	—
29	Lyrae	20 1	+20 10	5.0	—	—	—	—	—	—
30	Lyrae	20 1	+20 10	5.0	—	—	—	—	—	—
31	Lyrae	20 1	+20 10	5.0	—	—	—	—	—	—
32	Lyrae	20 1	+20 10	5.0	—	—	—	—	—	—
33	Lyrae	20 1	+20 10	5.0	—	—	—	—	—	—
34	Lyrae	20 1	+20 10	5.0	—	—	—	—	—	—
35	Lyrae	20 1	+20 10	5.0	—	—	—	—	—	—
36	Lyrae	20 1	+20 10	5.0	—	—	—	—	—	—
37	Lyrae	20 1	+20 10	5.0	—	—	—	—	—	—
38	Lyrae	20 1	+20 10	5.0	—	—	—	—	—	—
39	Lyrae	20 1	+20 10	5.0	—	—	—	—	—	—
40	Lyrae	20 1	+20 10	5.0	—	—	—	—	—	—
41	Lyrae	20 1	+20 10	5.0	—	—	—	—	—	—
42	Lyrae	20 1	+20 10	5.0	—	—	—	—	—	—
43	Lyrae	20 1	+20 10	5.0	—	—	—	—	—	—
44	Lyrae	20 1	+20 10	5.0	—	—	—	—	—	—
45	Lyrae	20 1	+20 10	5.0	—	—	—	—	—	—
46	Lyrae	20 1	+20 10	5.0	—	—	—	—	—	—
47	Lyrae	20 1	+20 10	5.0	—	—	—	—	—	—
48	Lyrae	20 1	+20 10	5.0	—	—	—	—	—	—
49	Lyrae	20 1	+20 10	5.0	—	—	—	—	—	—
50	Lyrae	20 1	+20 10	5.0	—	—	—	—	—	—
51	Lyrae	20 1	+20 10	5.0	—	—	—	—	—	—
52	Lyrae	20 1	+20 10	5.0	—	—	—	—	—	—
53	Lyrae	20 1	+20 10	5.0	—	—	—	—	—	—
54	Lyrae	20 1	+20 10	5.0	—	—	—	—	—	—
55	Lyrae	20 1	+20 10	5.0	—	—	—	—	—	—
56	Lyrae	20 1	+20 10	5.0	—	—	—	—	—	—
57	Lyrae	20 1	+20 10	5.0	—	—	—	—	—	—
58	Lyrae	20 1	+20 10	5.0	—	—	—	—	—	—
59	Lyrae	20 1	+20 10	5.0	—	—	—	—	—	—
60	Lyrae	20 1	+20 10	5.0	—	—	—	—	—	—
61	Lyrae	20 1	+20 10	5.0	—	—	—	—	—	—
62	Lyrae	20 1	+20 10	5.0	—	—	—	—	—	—
63	Lyrae	20 1	+20 10	5.0	—	—	—	—	—	—
64	Lyrae	20 1	+20 10	5.0	—	—	—	—	—	—
65	Lyrae	20 1	+20 10	5.0	—	—	—	—	—	—
66	Lyrae	20 1	+20 10	5.0	—	—	—	—	—	—
67	Lyrae	20 1	+20 10	5.0	—	—	—	—	—	—
68	Lyrae	20 1	+20 10	5.0	—	—	—	—	—	—
69	Lyrae	20 1	+20 10	5.0	—	—	—	—	—	—
70	Lyrae	20 1	+20 10	5.0	—	—	—	—	—	—
71	Lyrae	20 1	+20 10	5.0	—	—	—	—	—	—
72	Lyrae	20 1	+20 10	5.0	—	—	—	—	—	—
73	Lyrae	20 1	+20 10	5.0	—	—	—	—	—	—
74	Lyrae	20 1	+20 10	5.0	—	—	—	—	—	—
75	Lyrae	20 1	+20 10	5.0	—	—	—	—	—	—
76	Lyrae	20 1	+20 10	5.0	—	—	—	—	—	—
77	Lyrae	20 1	+20 10	5.0	—	—	—	—	—	—
78	Lyrae	20 1	+20 10	5.0	—	—	—	—	—	—
79	Lyrae	20 1	+20 10	5.0	—	—	—	—	—	—
80	Lyrae	20 1	+20 10	5.0	—	—	—	—	—	—
81	Lyrae	20 1	+20 10	5.0	—	—	—	—	—	—
82	Lyrae	20 1	+20 10	5.0	—	—	—	—	—	—
83	Lyrae	20 1	+20 10	5.0	—	—	—	—	—	—
84	Lyrae	20 1	+20 10	5.0	—	—	—	—	—	—
85	Lyrae	20 1	+20 10	5.0	—	—	—	—	—	—
86	Lyrae	20 1	+20 10	5.0	—	—	—	—	—	—
87	Lyrae	20 1	+20 10	5.0	—	—	—	—	—	—
88	Lyrae	20 1	+20 10	5.0	—	—	—	—	—	—
89	Lyrae	20 1	+20 10	5.0	—	—	—	—	—	—
90	Lyrae	20 1	+20 10	5.0	—	—	—	—	—	—
91	Lyrae	20 1	+20 10	5.0	—	—	—	—	—	—
92	Lyrae	20 1	+20 10	5.0	—	—	—	—	—	—
93	Lyrae	20 1	+20 10	5.0	—	—	—	—	—	—
94	Lyrae	20 1	+20 10	5.0	—	—	—	—	—	—
95	Lyrae	20 1	+20 10	5.0	—	—	—	—	—	—
96	Lyrae	20 1	+20 10	5.0	—	—	—	—	—	—
97	Lyrae	20 1	+20 10	5.0	—	—	—	—	—	—
98	Lyrae	20 1	+20 10	5.0	—	—	—	—	—	—
99	Lyrae	20 1	+20 10	5.0	—	—	—	—	—	—
100	Lyrae	20 1	+20 10	5.0	—	—	—	—	—	—

Seite 1000. Heft 2.

1

No.	Name	R. A. (1900)	Decl. (1900)	Orbits		Periode	d of revolution	n	Perihelion der Bahn	d of revolution in years
				$\frac{a}{a'}$	$\frac{e}{e'}$					
75. g	Boris	46.8	+48.14	3.8	0.2	lang	—	—	Jan	Jan
76. g	Demetri	14	1.7 +44.11	3.1	4.0	—	—	—	—	—
77. g	Boeth	17.2	+21.36	4.8	1.2	lang	—	—	—	—
78. g	Corneli	23.8	+55.38	1.8	—	1.1 Jahr	0.0044	10.91	Jan 17.71	— 10.91
79. g	Lilias	48.4	+19.35	2.7	1.2	lang	—	—	—	—
80. g	Lup	33.5	+49.85	3.8	—	—	—	—	—	—
81. g	Libra	31.8	+ 4. 7	4.0-4.8	—	1.334	—	—	—	—
82. g	Lilias	18.28.8	+ 1.17	4.8	4.8	10.4 Tage	—	—	—	—
83. g	Cornelia	30.4	+47. 8	3.8	0.4	—	—	—	—	—
84. g	Isidor	17.4	+28.49	5.2	2.2	1.124	—	—	—	—
85. g	Seppel	15.4	+24.22	3.7	3.5	0.44-4.4	—	—	—	—
86. g	Demetri	14	1.1 +44.14	4.1	4.0	1.07084	0.012	108.47	—	— 8.4
87. g	Seppel	30.1	+46.22	2.8	3.8	lang	—	—	—	—
88. g	Hermia	34.5	+19.18	2.8	4.2	420.147	0.16	10.78	10,000,000	— 10.4
89. g	Hermia	11.5	+41.47	7.8	2.8	21.4 Jahre	0.002	101	10,000,000	— 10.4
90. g	Seppel	40.1	+27.10	2.1	—	1.464	—	—	—	—
91. g	Demetri	15.4	+48.12	4.6	0.5	—	—	—	—	—
92. g	Ulrich Nicolaus	18.2	+47.12	4.4	4.0	lang	—	—	—	—
93. g	Hermia	11.5	+21.4	5.8	3.2	—	—	—	—	—
94. g	Hermia	17	10.4 +48.12	4.4-4.4	—	—	—	—	—	—
95. g	Seppel	30.4	+27. 7	1.4	—	0.144	—	—	—	—
96. g	Seppelia	32.4	+28.25	4.4	4.0	lang	—	—	—	—
97. g	Demetri	33.8	+48.14	4.0	0.2	—	—	—	—	—
98. g	Seppelia	42.2	+27.44	4.4-4.4	—	1.804	—	—	—	—
99. g	Seppelia	18.2	+28.19	4.0-4.1	—	7.40444	0.10	71.8	1,000,000	— 10.4
100. g	Seppelia	14	1.4 +41. 4	4.0	4.0	—	—	—	—	—
101. g	Seppelia	30.1	+48.14	4.4-4.4	—	0.77084	0.14	—	—	—
102. g	Demetri	30.4	+47.12	4.0	4.0	101.47	0.012	101.2	10,000,000	+ 10.4
103. g	Sepp	34.5	+ 4. 5	4.0	4.0	—	—	—	—	—
104. g	Lyrae	18.21.2	+47.36	4.0	4.2	—	—	—	—	—
105. g	Sepp	41.8	+ 4. 10	4.0	4.0	lang	—	—	—	—
106. g	Lyrae	40.2	+47.12	3.4-4.1	—	21.0084	0.02	89	—	— 10
107. g	Parthia	40.8	+47.22	3.4-4.2	—	0.06147	—	—	—	—
108. g	Lyrae	50.8	+48.14	4.4	—	—	—	—	—	—
109. g	Seppelia	30.5	+48.12	4.0	4.2	—	—	—	—	—
110. g	Seppelia	30.5	+47.12	3.4	4.0	—	—	—	—	—
111. g	Seppelia	34.5	+48.14	4.0	4.2	—	—	—	—	—
112. g	Seppelia	34.5	+48. 4	4.0	4.0	—	—	—	—	—
113. g	Seppelia	30.1	+ 5. 10	3.4	4.0	—	—	—	—	—
114. g	Agathe	47.4	+ 0.47	2.7-4.0	—	1.174	0.002	68.50	—	— 14.2
115. g	Agathe	17.2	+48.12	4.0-4.1	—	0.1021	—	—	—	—
116. g	Agathe	30	4.2 + 1. 7	3.4	3.4	17.4	—	—	—	—
117. g	Cypril	30.4	+49.16	4.0	0.2	—	—	—	—	—
118. g	Capitoni	21.4	+48. 5	3.2	4.0	1.1 Jahr	—	—	—	—
119. g	Agathe	33.2	+ 1.07	4.0	0.4	lang	—	—	—	—
120. g	Isidorus	41.2	+47.12	3.4-4.4	—	0.1184	—	—	—	—
121. g	Cypril	40.7	+44. 5	4.0	4.2	lang	—	—	—	—
122. g	Cypril	34	3.4 +48.14	4.0	0.5	1.1 Jahr	—	—	—	— 4.2
123. g	Seppel	4.4	+ 1. 10	4.0	1.1	1.7 Jahr	0.02	—	10,000	—
124. g	Isidor	30.4	+ 4. 10	4.0	4.0	lang	—	—	—	—
125. g	Capitoni	21.4	+49. 7	3.4	2.8	1.147 Tage	—	—	—	—
126. g	Isidorus	41.2	+48.14	4.2	4.4	lang	—	—	—	—
127. g	Pegasi	40.2	+48.14	4.0	0.2	—	—	—	—	— 10.2
128. g	Pegasi	30	3.4 +41.14	4.0	4.0	10.1284	0.001	101.48	1,700,000	— 4.1

No.	Nam.	R.A. 1900	Decl. 1900	Größe in B. u. L.	Periode in Tagen	" in Minuten	Mittelpunkt der Bahn	Größe des Kerns in cm
103.3	Lacerta	180° 49' 30"	47° 44'	—	—	—	Am	Am
104.4	Cephal	181° 47' 30"	51° 44'	1-1071	0.48	175	1,000,000	—10
105.5	Lacerta	182° 47' 30"	48° 44'	—	—	—	—	—
106.6	Pegasi	183° 47' 30"	49° 44'	118.87	1.044	5,000	107,000,000	4-6
107.7	Andromedae	184° 47' 30"	50° 44'	—	—	—	—	—
108.8	Cephal	185° 47' 30"	51° 44'	—	—	—	—	—
109.9	W. Cassio-	186° 47' 30"	52° 44'	—	—	—	—	—
110.10	Andromedae	187° 47' 30"	53° 44'	20-47	—	—	—	—

Folgende Zahlen aus der Original-
tabelle entnommen, zeigen noch ihre
Platz haben

Nr.	8.	Beide Spektren sind sichtbar
"	9.	Das Spektrum zeigt keine Wasser- spektren
"	10.	Beide Spektren sind sichtbar
"	22.	"
"	23.	"
"	30.	Nach Lohndorf die Verhältnisse des Algoltypus. Periode 27 Tage.
"	38.	Beide Spektren sind sichtbar.
"	42.	"
"	45.	Die Periode des Lichtwechsels beträgt 211.8 Tage.
"	50.	Beide Spektren sind sichtbar Seltene Erscheinung! Daß die Materie findet, daß die Materie mit dem Hauptstern in Verbindung steht.
"	52.	Die Helligkeitsperiode beträgt 75.25 Tage.
"	61.	Beide Spektren sind sichtbar.
"	64.	"
"	67.	Sichtbare Doppeltiere Gesamt- menge 65 Scherenschen nach Belopolsky.
"	68.	Beide Spektren sind sichtbar
"	70.	"
"	72.	"

Nr.	82.	Sichtbare Doppeltiere. Nach Wright ist bei einem Periode von 270 die Gesamtmenge des Systems = 1.8 Sonnenmassen.
"	84.	Beide Spektren sichtbar.
"	88.	"
"	95.	Sichtbare Doppeltiere
"	96.	Beide Spektren sichtbar
"	98.	Veränderlicher von unregelmäßiger Periode
"	115.	Beide Spektren sichtbar
"	117.	Die Periode ist wahrscheinlich identisch mit der Periode des Lichtwechsels
"	118.	Heller Helligkeits im Spektrum
"	119.	Die Periode ist wahrscheinlich identisch mit der des Lichtwechsels
"	124.	Die Periode ist wahrscheinlich identisch mit der des Lichtwechsels identisch.
"	125.	Beide Spektren sind sichtbar.
"	126.	Sichtbare Doppeltiere.
"	127.	Hauptstern der Gesamtmenge zu 1.65 Sonnenmassen und die Periode 2871.
"	131.	Ein doppeltes System, der unter- ste Begleiter hat 11 Jahre Um- laufzeit.
"	132.	Beide Spektren sind sichtbar?

*) Lichtmessung Bulletin No. 26

Die Frage gemeinsamer kosmischer Abkunft der Meteoriten von Stannern, Jonzac und Juvenas.

Diese drei Meteoriten, welche in
verschiedenen Jahren (1808, 1878,
1821) und an weit von einander ent-
fernten Orten zur Erde fielen, besitzen
mineralische Zusammensetzung, welche
in hohem Grade übereinstimmt, so daß

man hat als Bruchstücke eines und des-
selben Gesteins angesehen werden
können. Auf diese hat ebenfalls Zu-
sammensetzung gründete Prof. Dr. G.
Tschermak die Vermutung, daß die ge-
nannten Meteoriten möglicherweise aus

und denselben kosmischen Körper angeht haben könnten. Um diese Vermutung weiter zu prüfen, ist eine Untersuchung über die Bewegungseigenschaften der gesamten Merkurien im Weltraum erforderlich. Prof. Tschermak wagt sich demnach an den durch seine Untersuchungen über die Bahnen von 36 Meteoritenfällen und ähnliche Arbeiten als Autorität auf diesem Gebiete bekannte Prof. O. von Neuf in Wien. Er legt demnach die Frage vor, ob aus den ihm etwa bekannten, aber nicht veröffentlichten Nachrichten über die beiden anderen Fälle, mit Sicherheit hervorgehe, daß sie ganz verschiedener Natur sind, oder ob die Möglichkeit offen bleibe, daß alle drei aus derselben Gegend des Weltraumes herrühren.

Die Fälle von Jensen und Juvenas hat Prof. von Neuf selbst vielen andern deshalb noch nicht in den Kreis seiner Betrachtungen gezogen, weil die ihm darüber bekannt gewordene Berichte sehr unklar und zu Mißdeutungen waren, um in diesem Sinne Verwendung finden zu können. Den Bemerkungen des Hohen Dr. Tschermak, der sogar schriftliche Erklärungen zur Befriedigung einiger besonders wichtigen Angaben aus den alten Akten wünschte, vertritt Prof. von Neuf in nun, daß ihre rechtliche Natur ihm hinsichtlich der beiden fraglichen Fälle unklar geblieben werden. Freilich können auch diese keine direkt beschreibenden Beobachtungen der betreffenden Materie, allein sie ermöglichen doch nicht ganz unbegründete Schätzungen, etwa von derselben Größe wie die größten Zahl der für andere Meteoritenfälle vorgenommenen.

Prof. von Neuf hat die Ergebnisse seiner Untersuchungen der Wiener Akademie der Wissenschaften vorgelegt.¹⁾ Folgendes ist der wesentliche Inhalt derselben. Da für keinen der drei Fälle irgendwelche Angaben vorliegen, aus welchen man direkt auf die Bahngeschwindigkeit

des Körper schließen könnte, blieb für die Annahme der Geschwindigkeit und der Bahnform zur Epoche des Zusammenstoßes mit der Erde ein weites Spektrum, welches die Bahnen von den Ellipsen kurzen Umlaufzeit bis zu ausgeprägten Hyperbeln umfaßt.

Die nachstehend mitgetheilten Ergebnisse gründen sich auf die abgeleiteten Radationspunkte und auf Untersuchungen, welche sich über folgende Punkte erstrecken:

1. Auf die Erläuterung und Beantwortung der Frage, ob diese Meteoriten nach der Lage ihrer Radationspunkte unmittelbar vor ihrem in verschiedenen Epochen erfolgten Zusammenstoß mit der Erde im Sonnensystem nahezu identische Bahnen beschrieben haben könnten.

Da, wie sich zeigen wird, diese Frage an der Hand der vorliegenden Materialien mit Bestimmtheit verneint werden mußte, waren zunächst folgende Möglichkeiten in Erwägung zu ziehen:

2. Ob die einzelnen von einander abweichenden heliocentrischen Bahnen aus einem in Bezug auf Richtung und Größe der ursprünglichen Bewegung übereinstimmend zugeplanten Strahl, also einem Strahl abgeleitet werden können.

3. Ob diese drei verschiedenen Bahnen aus einer und derselben geschlossenen planetarischen Bahn durch Störungen innerhalb des Sonnensystems entstanden sein können.

Endlich kam noch 4. die Möglichkeit und Wahrscheinlichkeit in Frage, daß diese meteorit. Identitäten, aber zu verschiedenen Zeiten in ganz verschiedenen Bahnen mit der Erde zusammengetroffenen Körper auf andere Weise einer gemeinsamen Quelle entsprungen wären.

Es stellt sich dabei heraus, daß für keine der in den Punkten 2 bis 4 bezeichneten Annahmen die Möglichkeit gleich ausgeschlossen ist, doch bleibt der Grad der Wahrscheinlichkeit für die eine oder andere sehr verschieden und wird für manche verschwindend klein.

¹⁾ Sitzber. d. Wiener Akad., Math.-naturwissenschaftliche Klasse, Bd. CXXII, Abt. II, November 1904.

Schon wir jetzt zu was Prof. von Naef über jeden der drei Fälle ermittelt hat.

1. Der Meteorsteinfall bei Stannern n. Baden, 1868, Mai 21, 17^h 30^m bis 18^h. Die Lage des schiefen Radar-Inspektors hat er nach den ihm darüber bekannt gewordenen Nachrichten n 112° Rektaszenzen und 19° nördlicher Deklination geschätzt. In Ermangelung direkter Beobachtungen der betreffenden Feuerkugel stützt sich dieses Resultat fast allein auf die Lage desjenigen Orts, von welchem deutliche Schallwellenwirkungen gemeldet wurden, auf die bestimmte Art dieser letzteren sowie auf die Verteilung der Fallstücke über die Strecke. Auch in diesem Falle war die Schallausbreitung sehr charakteristisch nach einer Seite ungleich weit vom Falle reichend. Das angeführte Ergebnis kann also höchstens nur als ein halbfestes bezeichnet werden und mag sich erhebliche Änderungen gestalten, doch laßt man es hier einer Zweifel mit einem der schwarzen Felle zu tun, in welchen die Fäden der Meteoriten im strengen Sinne richtigung war.

Der schiefen Radar stand sich in der vorher bezeichneten Position zur Falllinie ungefähr 12° westlich von Süd und 26° über dem Horizont des Fallozies. Die aus demselben hervorgehenden posthocken Radarlemente findet man in einer Zusammenstellung weiter unten.

2. Der Meteorsteinfall bei Joux (Charente inf.) in Frankreich, 1818, Jun 12, 17^h 45^m.

Die Grundlagen der nachstehenden Betrachtungen sind einem Bericht von Thomas de Bellevue entnommen, welcher der Pariser Akademie eingelegt wurde. Dort heißt es:

„Am 15. Jun 1818 bei um 5^h, 4^m morgens bei ganz heiterem, wolkenlosem Himmel im Arrondissement von Joux ein Schlagschiffelgucker Deklinationen. Man hätte zuerst einen Schall von mittlerer Stärke, welchem ein langer Rollen und Krachen wie Musketensalven folgten. Das dauerte 1 $\frac{1}{2}$ bis 2 Minuten und mehr

Schlag auf Schlag mit zwei Detonationen, deren letzte von außer ordentlich war. Der Fall fand statt in den Gemeinden Aulnac, Saint Englas, Moutga, Saint Martin bei Joux, Atlas-Champagne, Bins, Saint-Germain-Champagne. Die Fläche, auf welcher die Steine eingestürzt waren, bildet eine Art Dreieck, dessen lange Seite von mehr als 600 Toisen (112 km) Länge von NE bis SW, dessen kürzere, nahezu 400 Toisen (7.8 km) lang, von N bis S gerichtet ist.

Die letzte Detonation war von solcher Stärke, daß sie zu Marmon, Bays und bis 20 Lignes Entfernung in der Höhe von Paris gehört wurde. In Angoulême und Moulins glaubte man, das Pulvermagazin in Saint-Jean d'Angely sei wieder in die Luft geflogen.

Unmittelbar nach (9) der ersten Detonation beobachteten mehrere Personen ein Meteor, welches ungefähr die Form eines verlängerten Rechtecks hatte. Es war von schwachem Glanz, da es von Rauch umgeben war und weil die Wirkung des hellen Sonnenlichtes den Eindruck verminderte. Seine Farbe war weiß mit einem Stich ins Grauliche. Es erschien zuerst in NNW und zog mit überraschender Schnelligkeit gegen SSE. Es war 50 bis 60° über dem Horizont und blies sich in Rauch auf, nachdem es das Zerstört hatte, wo die beiden letzten Detonationen erfolgten.

Diese Nachrichten deson nach Prof. von Naef wieder eine einseitige Ausbreitung der Detonationseffekte hinreichend der besten Orts, und zwar besonders gegen die Nordseite an, denn die Entfernung des gegen SSE folgenden Bays ist so gering, daß daher auch der Schall vom Falle nicht vernommen worden sein konnte.

Nicht und Moulins, die am weitesten entfernt lagen, und wenig westlich von Nord und man kann sich daher annehmen, daß das Meteor ungefähr über diese Gegend in einer gegen den Horizont nicht stark geneigten Bahn hingegangen ist.

Ueber wurde der Standpunkt des Beobachters, dem man die einzige mögliche Wahrnehmung der Feuerkugel verdankt, nicht näher bezeichnet. Da jedoch der Fallort bekannt ist, so kann diese Beobachtung, wenn ihr überhaupt irgend Gewicht beigemlegt wird, nicht anders gedeutet werden, als daß der Meteor in der Tat von der Nordseite hergekommen ist.

Mit Berücksichtigung aller sonstigen Umstände hat Prof. von Neff angenommen, daß die Feuerkugel aus 10° westlich von Nord oder aus 170° Azimut gekommen ist.

Wiel wichtiger ist die Abschätzung der Neigung der Bahn.

Nach Erwägung aller Umstände nimmt er die Höhe des sichtbaren Rückstrahls zu 15° an.

Für die Abschätzung der Geschwindigkeit liegen keine Angaben vor. Es wurden daher, nur zur billigen Vergleichung mit andern Fällen, zunächst für den parabolischen Grenzfall derselben, die Bahngeschwindigkeit abgeleitet.

Diese wären nach den hier aufgestellten Annahmen:

Länge des absteigenden	
Kometen	$\Delta = 81^\circ$
Neigung	$= 15^\circ$
Länge des Falls . . .	$s = 2660^\circ$
Fallhöhe	$q = 6000$
Bewegung	nachfolgt

Breit überhaupt, sagt Prof. von Neff, ist dieser Fall aus dem Gesichtspunkte, daß er fast genau zur selben Tageszeit (und wohl auch in nicht sehr entfernter Jahresperiode) stattfand wie jener bei Sönnern, zu einer Stunde, da der Apex der Erdbewegung nahezu kulminiert und der weitaus überwiegende Teil der über dem Horizont befindlichen Halbkugel des Himmels der Hemisphäre des Apex angehört. Um diese Morgenstunden kommen relativ selten Meteoritenfälle vor. Die Meteoriten von Sönnern kamen jedoch gleichwohl nördlich aus der Gegend des Apex her. Hätte man nun, irgendwelcher Nachrichten, auch der Analogie auf das Obliche nach für die Meteoriten von Juvau geschloßen, so

würde man sehr weit geirrt haben, da letztere fast aus der entgegengesetzten Richtung, nämlich nördlich vom Antipex her, die Erde umflog hätte.

3. Der Meteoritenfall bei Juvau (Andöch) in Frankreich, 1821, Juni 15, gegen 3⁴ abends.

Der Fallort beim Weiler Libour liegt in $44^\circ 43.5'$ Breite und $21^\circ 38.5'$ östlicher Länge von Ferro, $1\frac{1}{2}$ Meilen westlich von Juvau.

Der Wahrnehmung in der Nähe der Fallhöhe beizugehen, sich nicht auf den planetarischen Lauf der Feuerkugel durch die Atmosphäre, sondern nur auf den Fall zur Erde nach der Herabkunft. Den örtlich überstimmenden Angaben gemäß ist anzunehmen, daß der Meteor erst durch das Gefälle auf die Erscheinung aufmerksam gemacht worden (daher die Feuerkugel schon erheblich früher sichtbar gewesen sein mußte, aber wegen des vollen Sonnenscheins nicht den gewöhnlichen Effekt verursachte), so zwar, daß der Schall früher zur Erde gelangte als der Strahl, was nach Rechnung und Erfahrung denn stattfindet, wenn der Feuerkometenpunkt in nicht sehr großer Höhe über der Erdoberfläche lag.

Zwei Landkrieger, welche auf dem Felde arbeiteten, sahen 58 Schritte vor sich einen umgekehrten Feuerkometen herabstürzen. Sie -monten, es sei dort der Teufel im Feld gefahren und liefen aus Furcht davon (Fingerzucken). Vermuthlich waren es denselben Fuchtherrn Leute, von welchen im Protokoll des Mars von Juvau die Rede ist, wo aber die Erwähnung etwas anders lautet. Danach fragte (gegen 3⁴ nachmittags) die Demonstration mit zwei ziemlich schnell aufeinanderfolgenden Schlägen an, die zwei starken Kanonenschüssen gleichen, und dann folgte ein flackerndes Gefälle, das -über 26 Minuten (eher weit überschritten) andauerte. Furchtschreien unter Menschen und Thier verbrühte. In demselben Augenblicke sah man eine schwarze Masse (also hier ist nicht von der Feuerkugel die Rede) hinter dem

Deflexionsangaben. In Ermangelung von Nachrichten, welche zur Ermittlung der Geschwindigkeit dienen würden, hat Prof. von Neff auch hier für die schwebende Bewegung die parabolische Geschwindigkeit, also rund 42 km. zugrunde gelegt. Damit findet man, daß die wahre Richtung nur um 7° von der Bewegung der Erde abweicht, und zwar gegen die Sonnenseite hin. Es war daher das Parallel schon überschritten. Die Bewegungsrichtung am Knoten war also genau des Richtwinkes von Marsen hat gerade entgegen-
gesetzt.

Zur Vergleichung steht die Berechnung des gefundenen schwebenden Radiusstromes:

	Sonnen- Jahre	Radius	
		11	12
1888, Mai 21. 11° 30' — 11°	Jahre	107°	— 11°
1914, Jan. 12. 17° 45' : : :	Jahre	107°	+ 30.5°
1921, Juli 16. 2° : : :	Jahre	140°	— 11.5°

Diese Positionen, sagt er, liegen weit genug von einander entfernt, um, selbst unter Voraussetzung großer Unsicherheit, mit Bestimmtheit daraufhin, daß von identischen Bahnen hier nicht die Rede sein kann. Der Radius des Sonnen-Meteors war zur Fallzeit der Meteoriten von Javanah bei unter dem Horizont und der Strahlungsapex der Meteors von Javanah und Javanah liegt um mehr als 60°, also fast um einen Quadranten von einander entfernt.

Deutlich treten auch die Gegensätze an den wichtigsten parabolischen Elementen hervor, welche (zuletzt ohne Rücksicht auf den Einfluß der Erdschwere) vergleichsweise angeführt werden.

		Stamm	Javanah	Javanah
Länge des radial- abhängigen				
Knoten	Q	60°	81°	160°
Länge des Para- bels	"	102°	261°	168°
Perihelidistanz	r	0.738	0.902	0.964
Neigung der Bahn	i	126°	90°	9°
Bewegung			rechts- läufig	rechts- läufig

Die hier nachgewiesenen Gegensätze und wesentlichen Verschiedenheiten an den Elementen bleiben auch bestehen, wenn man statt der parabolischen Geschwindigkeit irgend eine elliptische zugrunde legt, weil dabei die Qualität der Bewegungsrichtungen und Neigungen nicht geändert wird.

Die dritte Meteoorklasse dabei, nämlich Prof. von Neff, unmittelbar vor dem Zusammenstoß mit der Erde nicht identische Bahnen verfolgt haben.

Es ist nun, wie der Gesamte weiter erzählt, folgendes zu bemerken:

»Treten in die Anziehungsphäre der Sonne Körper ein, welche an dieser Stelle im Weltraum untereinander parallele Bahnen mit gleicher Geschwindigkeit beschreiben und also gleichzeitig einen wellenartigen kosmischen Strom darstellen, so können die durch die Wirkung der Sonne daraus hervorgerufenen heliozentrischen Bahnen, welche unter der angeführten Bedingung alle gleich lange Flugstrecken aufweisen, sehr verschiedene Exzentrizitäten, Knoten, Neigungen und Bewegungsrichtungen erhalten, je nach dem Orte der Eintritts in das Sonnensystem.

Es entstehen auf diese Weise aus ursprünglich identischen Bewegungs-
verhältnissen zwei neue Bahnen, welche untereinander hinsichtlich der angeführten Elemente desto größere Abweichungen zeigen können, je größer der kleinste Abstand der durch den ursprünglichen kosmischen Bahnen war. Es können dann rückläufige und recht-
läufige Bahnen aus einem und demselben kosmischen Ausgangspunkt gleich wahrscheinlich werden, so zwar, daß einzelne Teile des ursprünglich einheitlichen Stromes in rückläufigen, andere dagegen in rechtläufigen Bahnen auf der Erde zusammenstoßen würden.

Denkt man sich durch das Sonnen-
feld eine Normalebene auf die Erdoberfläche errichtet, parallel zur ursprünglichen Eintrittsrichtung der kosmischen Körper in die Anziehungsphäre der Sonne, so werden jene Meteoriten, deren Bahn in

den Ebene selbst fällt, mit der bekanntesten Bahnrichtung von 90° die Örtung zwischen rückfälligen und rückfälligen Bahnen darstellen. Die Körper, welche auf der einen Seite außerhalb dieser Ebene entstehen, werden rückfällig, jene auf der andern rückfällige Bahnen verfolgen müssen. Geometrisch entspricht es jeder Seite der Erdbahn im allgemeinen jeder kosmischen Bahnrichtung sowohl eine rückfällige als eine rückfällige Bahn, welche sich durch wiederholte verschiedene Stauungsgrade kenntlich machen. Ob beide wirklich vorkommen soll können, hängt von den Quantitätsverhältnissen ganz solchen Strömen ab. Erscheint es nicht unwahrscheinlich, die Wiederholung groß anzunehmen, so kann auf diesem Wege die gesuchte Herkunft von Meteoriten erklärt werden, auch wenn wir auf der Erde nur ganz ungenügenden Beobachtungen ausreichten.

Dass dies für die drei in Frage stehenden Meteoriten gelten kann, zeigt Prof. von Neff im weiteren Fortgange seiner Untersuchungen und kommt zu dem Ergebnisse, daß ganz zweifellos eine Annahme, welche allen drei Meteoriten bei dem Eintritt in das Sonnensystem identische Bewegungsrichtung und ungefähr gleiche Geschwindigkeit nachweist, den Beobachtungen vollkommen widersprechen würde.

Wenn man aber, führt Prof. von Neff fort, von der wohl begründeten Annahme identischer Bewegung (in Richtung und Größe) zur Forderung gemeinsamer Herkunft übergehen will, darf man doch nicht außer Acht lassen, welche Bedingungen für die räumlichen Verhältnisse derartiger Ströme sich heraus ergeben würden. Es muß dann das Vorkommen eingedehnter Meteoritenströme von sehr hohen Dimensionen in der Umgebung des Sonnensystems angenommen werden, welches je eine gewisse Individualität erkennen. Verfolgt man nämlich die bei abgeleiteten Bahnen bis zu sehr große Entfernungen, so findet man für die meisten derselben, wegen ihrer

großen Halbachsen, einer Forthaltung der parabolischen gleichzeitigen Lage eines kleinen Abstand von ungefähr 17 Erdhalbachsensum, demnach nicht viel weniger als dem Durchmesser der Saturnbahn. Es ist im ersten Augenblicke nicht sehr wahrscheinlich, anzunehmen, daß Körper, welche in solchen ungeheuren zeitlichen Entfernungen nebeneinander verlaufen, einer gemeinsamen Quelle entstammen sollten. Allein, um nur ein Beispiel anzuführen, noch größere Abstände hindern uns nicht, die kosmogonische Beziehung selbst der äußersten planetarischen Massen unseres Sonnensystems zum Zentralkörper anzuerkennen. Die Vorstellung, daß der unseren Forschungen zugängliche Teil des Weltalles nicht ausschließlich zu einzelnen großen Klumpen gehöre, sondern vielfach auch in sehr kleinen Partikeln verstreuter Materie bestehe, findet sich in sehr bekannter Form schon bei Herschel und Laplace, ja es scheint, daß sie in unserer Zeit immer mehr an Boden gewinnt, wenn auch die Anschauungen der Kometen befruchteten, gewisse Einschließungen erfahren müßten.

Für die gewöhnlichen Ausdehnungen der interstellaren Räume und Maße von der Ordnung unseres Planetensystems hat schwachwandelnde. Wenn sich zwischen den einzelnen Körperchen derartiger nicht leicht bekannt schon aufgeführter kosmischer Gewölke sehr große Abstände befinden, so erfolgt das Zusammenstoßen auf der Erde so selten, daß es nur sehr langen Reihe von viel besserer Beobachtungen solcher zufälliger Erscheinungen bedürfte, um die gesetzmäßigen Beziehungen außer Zweifel zu setzen. Es ist daher von dieser Seite aus ebenfalls kaum möglich, den gemeinsamen Ursprung solcher Massen nachzuweisen, wohl weniger läßt sich jedoch infolgedessen die hier besprochenen verfolgen, gleichgültig, ob man jetzt als das Produkt der Zerkünder größerer Körper oder als das primäre, ursprünglich Gegebene ansehen will.

Auch diejenigen, welche das Kometen- und Meteorplänogram nach seiner Entstehung nur als rein planetarische Erscheinung betrachten, müssen, angesichts der allgemeinen bekannten Tatsachen, zugestehen, daß aus den periodischen, langgestreckten Ellipsen durch die von den großen Planeten ausgehenden Störungen zahlreiche Hypothesen entstehen, welche die betreffende Masse descomposé in den Weltraum führen. Die Ursache, unter welcher eine derartige Störung der Energie mündet, sind jetzt genau untersucht und leicht anzugeben.

Meteorhaufen von so großem Reichtum, wie die marine deckwürdige Erscheinungen der Leoniden und Andromediden erwiesen haben, würden, je nach ihrer Lage gegen die Aktivitätspole Jupiter, auch komische Ströme liefern können, welche wenigstens als ungefähre Beispiele für andere bedrohliche ähnliche Wirkungen anzusehen wären.

Es ist sehr möglich, ja selbst zu vermuten, daß die Meteorplänogramme nicht nur ausschließliche Eigentümlichkeiten unseres Sonnensystems darstellte. Andere Fixsterne werden einmalkommen, manche vollzucht in bedeutendem Grad aufweisen und auch die störenden Körper können wohl noch bedeutender sein als in unserem System.

Die neuen Untersuchungen über Kometen mit ihren Unklarheiten haben für die meisten derselben deutliche Beziehungen zu den großen Planeten, namentlich zu Jupiter, erkennen lassen. Dies führt dazu, einen ähnlichen Zusammenhang auch hinsichtlich solcher einzelnen Meteoritenbahnen nachzuschauen, für welche Ellipsen mit kurzen Achsen nach den Ergebnissen der Beobachtungen nicht schon von vornherein ausgeschlossen sind.

Deshalb hat Prof. von Neufeld es nicht für überflüssig, die Frage zu erörtern, ob und unter welchen Voraussetzungen die den Bahnen, von welchen her die Rede ist, möglicherweise im Sonnensystem ursprünglich identisch ge-

wesen sein und erst durch die von einem der großen Planeten ausgegangenen Störungen diese Verschiedenheiten erlangt haben könnten.

Auf das Detail dieser sehr wichtigen Untersuchung kann hier nicht eingegangen werden. Es muß genügen, die schätzbaren Ergebnisse der ganzen Untersuchung anzudeuten, so wie sie Prof. von Neufeld zusammenstellt:

1. Die von den Meteoriten der drei Fälle bei Siamon, Jorac und Javnan im Sonnensystem unmittelbar vor dem Zusammenstoß mit der Erde verfolgten Bahnen können unter keinerlei Voraussetzung auch nur als nahezu identisch bezeichnet werden. Sie sind voneinander wesentlich verschieden.

2. Der Versuch, diese von einander sehr abweichenden bekannten Bahnen aus einer im Weltraum außerhalb des Sonnensystems liegenden Richtung der Richtung und Geschwindigkeit nahezu identischen Bewegung abzuleiten, beugungsgegenüber und dynamisch keinen Scheitern. Er liefert ein durchaus positives und mögliches, für die beiden letzteren Fälle noch wahrscheinlicheres Ergebnis. Hinsichtlich des Falles von Siamon würde sich jedoch für die gezeigte Bahn vor dem Eintritt in das Sonnensystem der größte Abstand von den beiden anderen sehr groß ergeben. Es müßte also für die Quelle dieses Meteoriten ein aufgewühlter stürmischer Strom von sehr bedeutendem Querschnitt angenommen werden.

3. Bei der Prüfung der Hypothese, daß die drei verschiedenen Bahnen innerhalb des Sonnensystems durch Störungen seinen einer der großen Planeten, insbesondere Jupiter, aus ursprünglich identischen oder nahezu identischen Bahnen entstanden sein könnten, ist die Frage zu trennen:

a) Die Bahnen von Jorac und Javnan können, ohne sehr unwahrscheinliche Annahmen, durch solche Störungen erzeugt worden sein.

b) Aus denselben oder ähnlichen ursprünglichen Bahnen in gleicher Weise

jense der Meteoriten von Sauerbrunn abzuheben, ist ohne Voraussetzungen deren nur geringe Wahrscheinlichkeit zu kennen würde, kaum möglich.

4. Würde man dagegen den Ort solcher Stürze in Sonnennähe sehr weit über die Grenzen der uns bekannten Planeten hinaus ausdehnen, so wäre allerdings auch die Ableitung der stürzenden Bahn von Sauerbrunn, von der beiden rechtwinkligen, um wenig voneinander abweichenden primitiven Flugwegen möglich. Hierin würde die Annahme stürzender Körper in denen Regionen nötig sein, doch wären sehr geringe Massen ausreichend. Als solche könnten auch noch unauflösbare meteorische oder kometenartige Aggregate angesehen werden.

5. Wollte man diese Meteoriten als vulkanische Auswürflinge eines interplanetarischen Körpers betrachten, so könnte letzterer auch nur in großer Ferne weit über die unserer Beobachtung zugänglichen Planetenregion hinaus angenommen werden.

Aus diesem Gesamtresultat folgt aber weiterhin auch die Beantwortung

der aufgeworfenen Frage. Ohne Zweifel bleibt die Möglichkeit offen, daß die drei Meteoriten aus derselben Gegend des Weltraumes herkönnen und man kann durchaus nicht mit Sicherheit behaupten, daß sie ganz verschiedener Abkunft wären.

Welche von den möglichen Annahmen gegenüber den andern eines wesentlich höheren Grad von Wahrscheinlichkeit für sich hätte, ließe sich nicht sowohl aus den diese Fälle begrenzenden, viel zu unvollkommen bekannten geordneten Umständen, als aus andern Erfahrungen und Analogien beurteilen, deren Anwendbarkeit jedoch nicht immer ohne Einschränkung angegeben werden kann. Auch aus diesem Gesichtspunkt ist jedoch die Zusammengehörigkeit des Meteoriten von Jussau und Jussau viel wahrscheinlicher als ihre gesonderte Beziehung zum Falle von Sauerbrunn. Sicher reißt die gemeinsame Quelle, nach planetarischem Maß angegeben, in ganz besonders großer Entfernung von der Sonne auszuheben sein.

Mond- und Sonnenfinsternis im Monat Februar 1906.

(Nach dem Berliner Jahrbuch.)



Größe Mondfinsternis 1906, Februar 8, teilweise sichtbar in Berlin.

Die Finsternis wird demnach in der westlichen Hälfte Europas, im südwestlichen Teile Afrikas, im Atlantischen

Anfang der Finsternis überhaupt	Febr. 8 15 50,4 mitt. Berl. Zt.
Anfang der totalen Verfinsternung	„ „ 16 51,4 „ „ „
Mitte der Finsternis	„ „ 17 42,6 „ „ „
Ende der totalen Verfinsternung	„ „ 18 33,8 „ „ „
Ende der Finsternis überhaupt	„ „ 19 25,0 „ „ „

Der Mond steht am diese Zeiten im Best der Orte, deren geographische Lage bezüglich ist:

Genua, in Amerika, im Stillen Ocean, im Nordosten Asiens und auf der Ostküste Australiens sichtbar sein.

37° 50' östliche Länge von Greenwich	13° 5' nördliche Breite
28° 40' „ „ „	15° 3' „ „ „
34° 40' „ „ „	14° 58' „ „ „
32° 57' „ „ „	14° 40' „ „ „
22° 17' „ „ „	10° 40' „ „ „

Finsterniswinkel des Mondes vom Nordpol aus gemessen = 36°

Asien

26°

Größe der Verfinsternung in Teilen des Mondschattens = 1/100

1°

Astronomischer Kalender für den Monat April 1906.

Tag	Sonnen					Mond				
	Mittlere Berliner Zeit					Mittlere Berliner Zeit				
	Zeit M. Z. — W. Z.	Rekensionen			Declination	Rekensionen			Declination	Stand im Mondes
	h m s	h m s	h m s	h m s	° ' "	h m s	h m s	h m s	° ' "	h m
1	+ 4 17.09	0 30 48.83	+ 4 38 00.0	0 42 30.09	+00 41 00.7	0 42 30.09	+00 41 00.7	0 42 30.09	0 41 00.7	0 48.5
2	4 16.54	0 40 58.74	4 40 00.4	0 44 44.48	0 42 44.98	0 44 44.48	0 42 44.98	0 44 44.48	0 42 44.98	4 59.0
3	4 16.34	0 47 2.27	0 0 7.0	0 47 22.47	0 44 0.0	0 0 7.0	0 47 22.47	0 44 0.0	0 47 22.47	7 10.4
4	4 16.07	0 50 48.94	0 00 0.1	0 50 0.00	0 44 50.0	0 00 0.1	0 50 0.00	0 44 50.0	0 50 0.00	0 52.1
5	4 15.74	0 54 58.65	0 40 30.0	0 40 31.70	0 45 30.0	0 40 31.70	0 45 30.0	0 45 30.0	0 45 30.0	0 10.0
6	4 15.38	0 57 39.81	0 11 40.1	0 11 40.00	0 46 30.0	0 11 40.1	0 46 30.0	0 46 30.0	0 46 30.0	00 30.0
7	4 14.98	0 1 27.70	0 24 00.0	0 24 00.00	0 47 30.0	0 24 00.0	0 47 30.0	0 47 30.0	0 47 30.0	00 40.0
8	4 14.50	0 0 57.40	0 37 0.0	0 37 0.00	0 48 30.0	0 37 0.0	0 48 30.0	0 48 30.0	0 48 30.0	00 50.7
9	4 14.14	0 0 30.00	0 49 00.0	0 49 00.00	0 49 30.0	0 49 00.0	0 49 30.0	0 49 30.0	0 49 30.0	00 57.0
10	4 13.74	0 10 53.14	0 44 40.0	0 44 40.00	0 50 30.0	0 44 40.0	0 50 30.0	0 50 30.0	0 50 30.0	10 40.4
11	4 13.20	0 20 10.00	0 0 30.0	0 0 30.00	0 51 30.0	0 0 30.0	0 51 30.0	0 51 30.0	0 51 30.0	00 47.1
12	4 12.50	0 28 50.71	0 10 0.0	0 10 0.00	0 52 30.0	0 10 0.0	0 52 30.0	0 52 30.0	0 52 30.0	00 48.4
13	4 12.00	0 35 27.50	0 47 30.0	0 47 30.00	0 53 30.0	0 47 30.0	0 53 30.0	0 53 30.0	0 53 30.0	10 40.4
14	4 11.53	0 37 30.00	0 0 40.0	0 0 40.00	0 54 30.0	0 0 40.0	0 54 30.0	0 54 30.0	0 54 30.0	17 30.0
15	4 11.37	0 38 50.00	0 10 00.0	0 10 00.00	0 55 30.0	0 10 00.0	0 55 30.0	0 55 30.0	0 55 30.0	18 50.0
16	4 11.10	0 39 41.00	0 52 40.1	0 52 40.00	0 56 30.0	0 52 40.1	0 56 30.0	0 56 30.0	0 56 30.0	19 20.0
17	4 10.53	0 40 30.00	10 14 0.0	10 14 0.00	0 57 30.0	10 14 0.0	0 57 30.0	0 57 30.0	0 57 30.0	20 10.0
18	4 10.35	0 40 0.00	10 30 10.7	10 30 10.70	0 58 30.0	10 30 10.7	0 58 30.0	0 58 30.0	0 58 30.0	20 0.0
19	4 10.00	0 40 40.00	10 50 10.4	10 50 10.40	0 59 30.0	10 50 10.4	0 59 30.0	0 59 30.0	0 59 30.0	20 40.0
20	4 9.53	0 40 10.00	11 10 10.4	11 10 10.40	0 60 30.0	11 10 10.4	0 60 30.0	0 60 30.0	0 60 30.0	20 50.0
21	4 9.10	0 40 10.00	11 30 10.4	11 30 10.40	0 61 30.0	11 30 10.4	0 61 30.0	0 61 30.0	0 61 30.0	20 10.7
22	4 8.53	0 40 50.00	11 50 10.4	11 50 10.40	0 62 30.0	11 50 10.4	0 62 30.0	0 62 30.0	0 62 30.0	20 40.0
23	4 8.30	0 41 30.00	12 10 10.4	12 10 10.40	0 63 30.0	12 10 10.4	0 63 30.0	0 63 30.0	0 63 30.0	20 50.0
24	4 8.03	0 42 10.00	12 30 10.4	12 30 10.40	0 64 30.0	12 30 10.4	0 64 30.0	0 64 30.0	0 64 30.0	21 0.0
25	4 7.54	0 42 50.00	12 50 10.4	12 50 10.40	0 65 30.0	12 50 10.4	0 65 30.0	0 65 30.0	0 65 30.0	21 10.4
26	4 7.34	0 43 30.00	13 10 10.4	13 10 10.40	0 66 30.0	13 10 10.4	0 66 30.0	0 66 30.0	0 66 30.0	21 0.0
27	4 7.10	0 44 10.00	13 30 10.4	13 30 10.40	0 67 30.0	13 30 10.4	0 67 30.0	0 67 30.0	0 67 30.0	21 50.0
28	4 6.50	0 44 50.00	13 50 10.4	13 50 10.40	0 68 30.0	13 50 10.4	0 68 30.0	0 68 30.0	0 68 30.0	22 0.0
29	4 6.23	0 45 30.00	14 10 10.4	14 10 10.40	0 69 30.0	14 10 10.4	0 69 30.0	0 69 30.0	0 69 30.0	22 10.0
30	4 6.00	0 46 10.00	14 30 10.4	14 30 10.40	0 70 30.0	14 30 10.4	0 70 30.0	0 70 30.0	0 70 30.0	22 0.0

Planetenkonstellationen 1906

April	1	(Th)	Merkur in Konjunktion mit dem Sonne
"	5	4	" Venus in Konjunktion mit dem Monde (Bedeckung)
"	11	0	Merkur in aufsteigendem Knoten
"	18	0	Merkur in Konjunktion mit dem Monde (Bedeckung)
"	21	7	Merkur in Konjunktion mit dem Monde
"	24	11	Venus in aufsteigendem Knoten
"	24	14	Venus in Konjunktion mit dem Monde
"	26	0	Mars in Konjunktion mit dem Monde
"	26	0	Merkur im Äquator
"	26	1	Jupiter in Konjunktion mit dem Monde
"	28	0	" Saturn in Konjunktion mit dem Monde (Bedeckung)

Planeten-Ephemeriden.

Mittlere Berliner Mtag.					Mittlere Berliner Mtag.						
Monat Jahr	Rektascension			Declination	Chasse Merkur- distanz	Monat Jahr	Rektascension			Declination	Chasse Merkur- distanz
	h	m	s				h	m	s		
Merkur.											
April 4	0 51	4 58	+	0 59 40 0	0 4	April 4	0 23 30	34 40	—	0 2 30 0	30 45
5	0 50	37 53		1 51 0 0	28 34	10	0 25 30	35 38	—	0 13 0 0	31 0
14	0 50	37 00		4 34 20 0	28 4	20	0 27 30	36 35	—	0 18 0 0	30 50
24	0 50	31 58		8 0 0 0	30 44						
34	0 50	29 23		1 42 1 0	30 25						
35	0 48	3 03	+	0 57 4 0	30 32						
Venus.											
April 6	1 37	54 50	+	0 17 0 0	0 48						
16	0 4	54 46		31 37 0 0	0 50						
26	0 24	57 43		58 58 0 0	0 47						
36	0 48	54 70		28 57 44 0	1 0						
37	0 37	45 35		37 55 0 0	1 0						
38	0 37	34 59	—	0 30 37 0	1 10						
Mars.											
April 4	0 43	57 54	—	4 15 30 0	1 44						
5	0 45	42 50		1 0 30 0	0 45						
14	0 3	53 28		10 7 14 0	0 43						
24	0 24	53 45		39 4 40 0	1 39						
34	0 28	55 09		10 59 10 0	1 37						
35	0 53	1 74	—	0 40 47 0	1 37						
Jupiter.											
April 4	4 15	50 48	—	4 49 48 1 0	0 0						
15	4 13	45 14		51 0 4 0	0 26						
25	4 30	38 00	—	0 1 30 34 0	0 0						

Mittlere Berliner Mtag.					Mittlere Berliner Mtag.						
Monat Jahr	Rektascension			Declination	Chasse Merkur- distanz	Monat Jahr	Rektascension			Declination	Chasse Merkur- distanz
	h	m	s				h	m	s		
Saturn.											
April 4	0 23 30	34 40	—	0 2 30 0	30 45	April 4	0 23 30	34 40	—	0 2 30 0	30 45
10	0 25 30	35 38	—	0 13 0 0	31 0	10	0 25 30	35 38	—	0 13 0 0	31 0
20	0 27 30	36 35	—	0 18 0 0	30 50	20	0 27 30	36 35	—	0 18 0 0	30 50
Uranus.											
April 5	10 27	1 40	—	52 34 10 0	37 50	April 5	10 27	1 40	—	52 34 10 0	37 50
16	10 30	55 34	—	50 54 20 0	38 50	16	10 30	55 34	—	50 54 20 0	38 50
25	10 30	55 35	—	50 50 30 0	38 11	25	10 30	55 35	—	50 50 30 0	38 11
Neptun.											
April 4	0 27	57 55	—	4 50 10 0 0	4 40	April 4	0 27	57 55	—	4 50 10 0 0	4 40
15	0 34	0 30	—	52 14 20 0	4 27	15	0 34	0 30	—	52 14 20 0	4 27
25	0 34	51 47	—	52 14 34 0	4 0	25	0 34	51 47	—	52 14 34 0	4 0
Marsphases.											
	h	m					h	m			
April 1	10	54 0	Erste Viertel.			April 1	10	54 0	Erste Viertel.		
5	15	0 0	Vollmond.			5	15	0 0	Vollmond.		
15	0	54 1	Letzte Viertel.			15	0	54 1	Letzte Viertel.		
25	0	1 1	Neumond.			25	0	1 1	Neumond.		
Mond in Erdhölle.											
5 15	—	—	Mond in Erdhölle.			5 15	—	—	Mond in Erdhölle.		
Mond in Ekliptik.											
25	0	—	Mond in Ekliptik.			25	0	—	Mond in Ekliptik.		

Sternbedeckungen durch den Mond für Berlin 1906.

Mondtag	Stern	Größe	Beginn		Ansehl.	
			h	m	h	m
April 8	α Leonis	1 4	7	49 0	7	47 0
8	γ Leonis	2 0	4	7 0	4	35 4
8	α Leonis	4 1	10	44 0	17	0 0
17	140 Teles.	5 0	0	43 1	18	50 0
20	ε Cassio	4 0	24	32 0	12	30 0

Lage und Größe des Saturnrings und im Monat April 1906
nicht zu beachten.

April 18	Mittlere Scheibe der Ekliptik	22° 51' 4 30
Wider	"	22° 54' 34 30
Helfenauer der Sonne		19° 57 30
Parallaxe	"	4 30

Stellungen der Jupitermonde im April 1905.



Stellungen am 1^o für den Anblick im astronomischen Fernrohr.

Tag	West	Ost
1	10	0 2 3 4
2	13	0 1 2 4
3	4	0 1 2 4
4	3 2	0 4 1 2
5	8	0 1 2 4
6	4	0 1 2 4
7	6	0 1 2 4
8	4	0 1 2 4
9	4	0 1 2 4
10	4	0 1 2 4
11	4 2 3 1	0
12	4 4 4	0
13	4	0 1 2 4
14	1	0 1 2 4
15	2	0 1 2 4
16	1	0 1 2 4
17	4	0 1 2 4
18	2 2 1	0
19	4	0 1 2 4
20	4	0 1 2 4
21	2	0 1 2 4
22	4	0 1 2 4
23	4 1	0
24	4	0 1 2 4
25	4 2	0
26	4	0 1 2 4
27	4	0 1 2 4
28	4	0 1 2 4
29	4	0 1 2 4
30	4	0 1 2 4

Ercheinungen der Jupiternonde. Die stündlichen Angaben über die Erscheinungen der Jupiternonde beziehen sich auf mittleren Zeit von Greenwich. Die Trabanten sind der Reihenfolge ihrer Abstände vom Jupiter nach III, IV, V, VI bezeichnet. Die vier größten Figuren zeigen die Stellung jeden Mondes mit Bezug auf den Jupiter für den Augenblick der Verfinsternung (S) oder des Wiedererscheinens (P). Ist r nicht angegeben, so kann der Austritt aus dem Schatten nicht beobachtet werden. Ferner bedeutet bei den nachfolgenden Zeitangaben:

- Es D das Verschwinden des Trabanten im Schatten des Jupiter
- Es R den Eintritt des Trabanten aus dem Schatten des Jupiter
- Os D das Verschwinden des Trabanten hinter der Jupiterschleife
- Os R das Wiedererscheinen desselben antes der Jupiterschleife
- Tr I den Eintritt des Trabanten vor die Jupiterschleife
- Tr E den Austritt des Trabanten aus der Jupiterschleife
- Sh I den Eintritt des Trabanten auf die Jupiterschleife
- Sh E den Austritt des Trabanten von der Jupiterschleife

Es sind nur diejenigen Erscheinungen der Jupiternonde aufgeführt, welche sich ereignen, wenn Jupiter zu Greenwich über und die Sonne unter dem Horizonte steht. Um die Momente dieser Erscheinungen nach mitteleuropäischer Zeit zu finden, hat man nur nötig, P^h zu den angegebenen Zeitpunkten zu addieren.

April 3. I Tr I 10^h 30^m. April 4. I Os D 7^h 34^m. I Es R 11^h 7^m 30^s.
 April 5. I Tr E 7^h 30^m. I Sh E 4^h 30^m. April 6. II Os D 4^h 30^m. April 7.
 II Tr I 10^h 30^m. April 8. I Os R 7^h 34^m 11^s. April 9. I Os D 4^h 30^m. April 10.
 I Tr E 7^h 30^m. I Sh I 7^h 30^m. I Tr E 4^h 31^m. I Sh E 10^h 30^m. April 11.
 I Es R 7^h 30^m 10^s. April 12. II Es R 10^h 30^m 4^s. April 13. II Sh I 7^h 30^m.
 II Sh E 10^h 31^m. April 14. I Tr I 10^h 30^m. I Sh I 10^h 30^m. April 15. I Tr E
 10^h 30^m. April 16. II Os D 4^h 31^m. April 17. II Tr I 4^h 30^m. April 18.
 II Sh E 10^h 31^m. April 19. I Os D 4^h 31^m. April 20. I Tr E 7^h 30^m. I Sh E
 10^h 30^m.

Stellungen der Saturnumonde. (Erklärung S. 30)

Zeiten der helischen Elongationen im April 1906.

Telluris. April 20. 12^h 15^m; April 26. 11^h 15^m; April 28. 12^h 15^m.

Wien. April 20. 11^h 15^m; April 26. 10^h 15^m.

Rhein. April 21. 12^h 15^m.

Tirol. April 20. 12^h 15^m 1^s; April 26. 11^h 15^m 1^s.

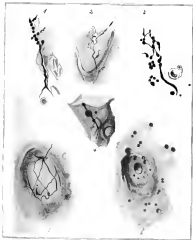
Indra. April 20. 12^h 15^m 1^s.

Mehrere größere und kleinere

astronomische Fernrohre

sind sehr preiswürdig zu verkaufen. Kollektanten wollen sich wegen seltener Mittheilungen zu nach wenden.

Prof. Dr. Hermann J. Klein in Köln-Lindenthal.



Brass 1900

Tafel III

Molluskschnecken
von Victor Nilsson in Kopenhagen.

SIRIUS.

Zeitschrift für populäre Astronomie.

—————

Centralorgan für alle Freunde und Förderer der Himmelskunde.

Herausgegeben

unter Mitwirkung hervorragender Fachkollegen und astronomischer Schriftsteller

von Prof. Dr. Hermann J. Klein in Köln

März 1906.

„Wissen und Erkennen sind die Freunde und der
Beredigung der Menschheit.“ Kanten

Jeden Monat 1 Heft. — Jährlich 12 Mk.

Verlag von EDUARD HEINRICH MAYER in Leipzig.

INHALT: Die Heiligkeit der Sonne in Sterngrößen. S. 49. — Aussehen der Korona während der letzten Sonnenfinsternis am 17. Mai 1901. (Havens Tab. IV). S. 50. — Die Helligkeitsverhältnisse der Doppelsterne S. 51. — Notwendige Vorbedingung im Sehen des Doppelsterns: S. 52. — Centrallichtintensitätsverhältnisse der spektroskopischen Doppelsterne. S. 53. — Ein Halbkreis-Maßstab im Fernrohr. S. 55. — Untersuchungen über die Helligkeitsverhältnisse der vier großen Jupitermonde. S. 56. — Vorläufige Nachrichten. S. 58. — Astronomische Kalender. S. 60. — Fortsetzungen der Jupitermonde. S. 72. — Fortsetzungen der Saturnmonde. S. 73.

Die Heiligkeit der Sonne in Sterngrößen.

Die Vermutung, das Helligkeitsverhältnis der Sonne zu einem Fixstern festzustellen, gehen bis Huyghens zurück, aber erst Wollaston (1827) und Zöllner (1851) haben genauere Bestimmungen geliefert. Wollaston ließ die Bild der Sonne von einer Thermometerkugel reflektieren und verglich es mit dem Bild einer Kerze, die von einer ähnlichen Kugel reflektiert und durch eine Linse betrachtet wurde. Die Entfernung der Kerze wurde so lange verändert, bis beide Bilder gleich hell erschienen. In gleicher Weise wurde dann das Bild der Sonne mit dem Bild der Kerze verglichen. Wollaston fand so Mittel aus mehreren Versuchen, daß die sichtbare Helligkeit der Sonne 11848 Millionen mal

größer ist als die sichtbare Helligkeit des Sirius. In dieser Bestimmung ist jedoch der Lichtverlust der Sonne bei Reflexion von der Thermometerkugel nicht berücksichtigt. Wollaston schätzte ihn auf 50% und vorschläge hiernach das Helligkeitsverhältnis von Sirius und Sonne zu 1:20000 Millionen. Zöllner hat mit dem von ihm erfindenen Photometer das Helligkeitsverhältnis der Sonne zu α Aurigae bestimmt und fand, daß die Sonne 35760 Millionen mal heller ist als dieser Stern. Beachtet man, daß nach Sirachs Messungen Sirius $\frac{1}{12}$ mal mehr Licht hat als α Aurigae, so würde sich aus Zöllners Messungen ergeben, daß die Sonne rund 11800 Millionen mal so hell ist als Sirius. Dieses letztere Ergebnis

der ausführliche Bericht anschauen¹⁾, welcher mit zahlreichen Abbildungen nach den photographischen Aufnahmen versehen ist. Die photographischen Aufnahmen der Korona sind von H. R. Morgan nach den Originalnegativen in ein Gesamtbild aneinandergefügt worden, welches überaus charakteristisch ist und eine Menge Detail enthält. Dasselbe ist auf Tafel IV in Lichtdruck wiedergegeben. Von den Eigentümlichkeiten, welche die Korona bei ihrer Expansion zeigt, sind folgende besonders hervorzuheben: Die große Ausdehnung der südlichen Polarstrahlen und der großen Ovale verschobenen, unregelmäßigen Lage in Bezug auf den Rotationspol der Sonne. Dann auf der rechten Seite die sehr schönen bogenförmigen Gestaltungen, und weitgespreizten Strahlungen die an dieser Seite eine besonders schöne Tätigkeit der Sonne anzeigen. Auf der Westseite zeigt dagegen die Korona zwar auch zahlreiche Strahlen und Streifen, aber denselben sind durchweg gerade und von einfacher Gestalt. An dieser Seite hat die Korona im allgemeinen das Aussehen, welches für sie typisch ist

zu den Zeiten der Sonnenfleck-Maxima. Die schwache Strahlung der inneren Korona mit dem helichen Punkte des Sonnenrandes ist auch auf dem zu sehen (Darin in Ovaledeutlich hervorgehoben Photographien der Flarens deutlich sichtbar und Perire hat schon darauf aufmerksam gemacht²⁾. Dasselbe hat auch, daß an jener Stelle am 19. Mai 1904 eine Sonnenfleckengruppe über den Sonnenrand heraustrat, der nach Perrines Richtung dem Ort der Strahlungen entsprach, selbst diese letztere Erscheinung in der Korona unmittelbar über jener Fleckengruppe stattfand. Die Strahlungen und Lichtausbrüche in der inneren Korona stehen also vollständig im Einklang mit der Sonne in unmittelbaren Zusammenhängen und welches gilt wohl auch für die Strahlen nahe des Poles der Sonne. Betrachtet man dagegen die langen, wenig gewellten Strahlen und Strahlenbüschel der äußeren Korona, wie sie die Abbildung zeigt, so möchte man wenig geneigt sein, für sie einen unmittelbaren Zusammenhang mit der Sonne anzunehmen, da sie in ihrer Entbreitung zur Oberfläche der Sonne keine bestimmte Richtung verraten,

Die Bildungsweise der Mondoberfläche.

Der Mond ist der einzige Weltkörper, welcher sich in so großer Nähe bei uns befindet, daß es mit Hilfe optischer Instrumente, des Fernrohrs und der photographischen Platte, möglich wurde, seine Oberfläche bis zu einem gewissen Grade im Detail zu studieren und kennen zu lernen, die Art und Weise, wie sich die wahrgenommenen Formationen gebildet haben mögen, inwieweit sich in denselben. Die Ergebnisse zu welchen einige Forscher in dieser Richtung gelangten, sind freilich bei weitem noch nicht über-

einstimmend, ja sie gehen ziemlich auseinander, insofern die einen jene Formationen durch den Hinabsturz kosmischer Massen auf die Mondoberfläche erklären, die andern dagegen an die Wirkung der vulkanischen Kraft oder der Oase des ursprünglich bewegungslosen Mondes appellieren. Vor kurzem hat der frühere Besitzer dieser Zeitschrift, Robert Schaller in Lausanne, auf Grund seiner vielfältigen Erfahrungen als Fotografier- und Ozeanograph, Ansichten über die Bildungsgeschichte der Mondoberfläche ausgesprochen und begründet, welche die Aufmerksamkeit der astronomischen

¹⁾ Publications of the U. S. Naval Observatory, Second Series, Vol. IV, Appendix I, Washington 1905.

²⁾ Publ. Astr. Soc. of Pacific, No. 33.

Pucklerin in hohem Grade verdichtet.
Den Grundgefaßes, von dem Schmelzer

spritzt Gestein- oder glasartige Masse,
die infolge der Abkühlung im

im Kessel zerbröckelt und
zerbröckelt sein muß. Das
Bild der Erdoberfläche zur
Zeit des ersten Erstarrungs-
prozesses dürfte mit dem
heutigen Aussehen der
Marsoberfläche Ähnlich-
keit gehabt haben. Mit dem
Namen Auftrieb bezeich-
net Schmelzer in erster Linie
diejenigen Pucklerin,
welche der typischen Er-
hebungen auf dem Monde
herausgehört haben. Die
Auftriebe sind sehr zahlreich,
teils flacher Natur ge-
wesen, wobei die durch
Hitze erzeugten Gase und
Dämpfe, sowie die durch
Abkühlung und Schwin-
dung hervorgerufenen Kon-
struktion die bewegtesten
Ursachen waren. Als die
Marsoberfläche noch leicht-
flüssig war, traten die im



Fig. 1.

ausgeht und mit dem man sich umher
Erachten ohne weiteres vollständig un-
verstanden erklären kann,
spricht er in folgendem Satze aus:

„Alle Erhebungen auf dem
Mond sind durch gasige und
glühendflüssige Auftriebe in
einem durch Abkühlung be-
gingenen Zeitraume entstanden.“

Glühender Hauptatz bildet das
Schmelzer zu Schmelzern genau
Mondtheorie, da für alle Be-
wegungen und Erscheinungen
des Materials stets der glühend-
flüssige Zustand vorausgesetzt
ist.

Unter Magna versteht
Schmelzer die Masse des flüssigen
Mondmaterials und unter Lava
und Schlacke eine dunklere,
durch Reinigungsprozesse geschwän-
delnde Decke. Die äußerste Rinde des
Mondes ist nach seiner Ansicht eine

innere entwickelter Gase und Dämpfe ge-
nannt dadurch die Oberfläche, wie das auf



Fig. 2.

dem Kesselherde, im Schmelzgefäß war
bei allen kochenden Massen wahrgenommen worden kann. Bei zahlreichen

der Abdichtung bedarf sich dieser Vorgang kaum, als die ausgetretenen Massen, wo dieselben entstehen, die vor sich her sowie seitlich geschobenen Massen auf dem Rand dieser Auspufföffnung drängen.

Wenn das Magna aus dem Innern des Mundes in die Oberfläche gelangt, so geschah dies nach Schneider durch Gasentwicklung und Kontraktion der Mandrinfolie. In erheblichen Teilen, sagt er, gab es infolge Druckes überhaupt keine Gas, sondern dieselben wurden erst in einer gewissen Entfernung unter der Oberfläche aus dem glühendflüssigen Massen heraus, und dieser Zustand gab Veranlassung zu stehender Beobachtung der Auftriebe. Die Gestaltigkeit der verschiedenen Funktionen, welche bei einem durch Magna Auftrieb erzeugten Krater (s. Skizze) kommen, überträgt bereits

Massen. Unterwellenartig auseinander, wobei die Abdichtung des Unterdrucks be-



Fig. 3.



Fig. 4.

als mechanische Vorrichtung. Die expandierenden Gas treiben die auf die Oberfläche gepressten glühendflüssigen

Massen, was mit der Zeit durch das Auseinanderweichen und Zurückfließen der nicht abgedrückten Massen Veranlassung zu Dammbildungen gab. Dieser Vorgang hatte zur Folge, daß alle Grundflächen zur Kraterbildung wieder teilweise aufgeworfen auf die Oberfläche gelangt wurden, weshalb alle nachweisbaren Kraterboden höher als das dem Wal angrenzende Terrain sind.

Schleierfarnschicht gegeben, der ihm sehr wohl bekannter Vorgang zur Krater- und Walbildung zu beobachten. In Fig. 1 ist ein positiv angelegter Apparat dargestellt, der zu Versuchen für kleine Auftriebe dient. Das Verhältnis dieser Miniaturversuche gegenüber der Walbildung

nacht jedoch die Verwendung einer oder spezifisch schwerer Massen unmöglich, weshalb nach Schindler ein beides Wachs verwendet werden kann.

Der Apparat, beschreibt Schindler, wird auf einem Gucklochband gestützt, und das mäßig flüssige Wachs strömt auf einen Hebel und dem Piston, welcher aus einem unten geschlossenen I-Bohr besteht, über die auf dem Trichter über dem Hebel liegende Wachsscheibe hinaufge-

trieben. Die obere Bewegung übernimmt. Das Untergestell war für Holzkohlenfeuerung bestimmt und kann daher ganz weggelassen werden, man die Plattenplatte durch ein Füllen ersetzt. Unter dem Aufsatz befindet sich ein Hebel, welcher gesteuert, in einem günstigen Augenblicke zur Pause oder Vollendung halt zu machen. Zur Herstellung verschiedener Objekte ist Gestalt und Übung notwendig, so daß die Form

der Aufsätze selbst die Nachhilfe einer menschlichen Hand erfordert, manerlin ist für den Aufsatz muss Sicherung des Durchschneidens des erkalten. Kraterboden mittels einer dicken gewärmten Nadel auszufüllen. Für die Herstellung der Wachspflöcken bedient man sich eines Guckmodells, dessen Innenflächen wie jedem Ausgüssen einstrahlen sind, wie auch um Ankleben zu verhindern, das Wachs nur mäßig warm sein darf.

Um diejenigen, welche sich mit demartigen Versuchen betonen, durch willkürliche Proben nicht ablenken zu machen, gibt Verf. folgende Ratschläge:

Zuerst gießt man eine Anzahl Wachsscheiben, welche genügend abgekühlt, mit einem Loch versehen werden, wie der äusserste Rand des Aufsatzes haben soll, da die Bodenmanschierung die Wachsscheibe neigen zu stark erweitert. Die Probeführung während man etwas vor, indem man den Apparat seitlich auf den Hebel legt, wann das Wachs oben eingestürzt wird.

Mit dem Anlegen der Wachsscheibe versteht man, bis man sich überzeugt hat, daß der Hebel genügend erweitert



Fig. 1

tritten. Damit die Wachsscheibe nicht durch die Wärme des Apparates geschmolzen wird, legt man eine feine Pappdeckel, mit einem Loch versehen, darunter, wie auch die Wachsscheibe selbst für den Anfang mit einem Loch versehen sein muß und zwar in der Größe des Wulles, da sich die Begrenzung nicht gut demonstrieren läßt wegen der Kleinheit. Der primitive Hebelkinder ist unten nicht gedankig, dafür ist der Hebel bei der Probeführung ein wenig mit Langloch versehen, wobei der Piston eine

ist. Während dieser Zeit ist der Piston mit Hebel so hoch gezogen, daß das obere Loch klemmt. Bei der Mündung über den Hahn legt man zuerst ein oder zwei Pappdeckel und unter die Wachschleibe ein Zeitungspapier, alles mit einem Loch von wenigstens 3 mm weitem.

Um die Wachschleibe zu halten, legt man einen dünnen schwarzen Bleiring darauf und klemmt mit 4 Stück Drahtbügeln alles zusammen, wie die Abbildung zeigt.

Um die Aufmerksamkeits des Aufstreichers zu können, zieht man schon beim Auflegen der Wachschleibe den Apparat vom Feuer weg.

Das flüssige Wachs wird zuerst über den Rand der Wachschleibe umgeschoben, als ob es zu verfeinern möglich ist, um sofort wieder in der Tiefe zu verschwinden, so daß nach 3 bis 5 Sekunden ein Auftrieb erfolgt.

Findet man den Rand hoch genug ausgebildet, so läßt man den flüssigen Inhalt auf die gewünschte Tiefe zurück, sperrt den Hahn ab und fächelt mit einem Bogen Papier etwas Luft für rasche Abkühlung zu.

Einige Minuten nachdem der Boden die ursprüngliche Farbe angenommen hat, zieht man die Kartonschleiben horizontal weg und etwas später führt man mit einem Messer zwischen Karton und Zeitungspapier durch, wenn die Arbeit vorläufig beendet ist. Bei Wiederbeginn der gleichen Arbeit darf man nicht warten, bis die Hälfte des Hahn mit dem Kanal genügend erstarrt hat, sondern man beugt es in der Weise, indem man eine erstarrte starke Brückenstange durch die Mündung und

den Hahn in den Kanal hinstreckt. Der Auftrieb von einem Ständer verlangt, der ganz geringen Querschnitt der flüssigen Masse wegen, einen besonderen Apparat, welcher in Fig. 2 abgebildet ist. Der Ständer ist nichts anderes als ein reiner Unterstich zum Apparat Fig. 1. Der Piston ist nur 7 bis 8 mm stark. Der Hahnkopf dient als Auflage für den Goldfinger. Bei der Mündung muß eine horizontale

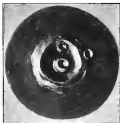


Fig. 2

te Auflageplatte angebracht werden wie bei Fig. 1.

Auf dem Grunde hat jeder Kreiserboden seinen flüssigen Kern gehabt, so lange die fortschreitende Abkühlung einen Auftrieb gestattete. Im vorliegenden Falle genügt eine erstarrte Brückenstange, dem Wachs den Durchgang zu verschaffen, dagegen soll die menschliche Hand mit der Oberfläche des Auftriebes sich möglichst nicht befassen.

Diese Manipulationen sind die beste Mittel, solchen, welche wenig Gelegen-

heit lassen, die Tätigkeit glühendflüssiger Massen kennen zu lernen, das mechanische Prinzip der typischen Mondoberflächen beleuchteten.

In den Abbildungen 1 und 2 sieht man einige Walzenauftriebe, welche ohne besonderen Übung hergestellt sind.



Fig. 1.

Die folgenden Abbildungen sind dargestellt nach Originalen, die Verf. mit den Apparaten Fig. 1 und 2 erzeugt hat. Fig. 3 ist eine Walzenoberfläche der Art des Archimedes, welche zur Vervollendung die Abschließung des Hakens notwendig macht.

Fig. 4 stellt einen Cassini vor, welcher ausschließlich mit dem Apparat Fig. 1 hergestellt wurde, während man mit dem Apparat Fig. 2 die kleinen Kinklöcher und Sicherungslöcher ausfüllen kann. Fig. 5 zeigt einen neuen Aufsicht einer Walzenoberfläche, obwohl derselbe für die größten Dimensionen wahrscheinlich noch zu hoch wäre. Alle Kanten und Walzoberflächen wurden nach Schindler in der Hauptsache durch folgende Umstände beeinflusst. Das Stadium der Bodenabkühlung beim Beginn der eruptiven Tätigkeit, die Temperatur des Magmas, die Menge des Magmas, die Temperatur der Gase, die Menge der Gase, die Periodizität der Auftriebe und schließlich die Dauer der Auftriebsfähigkeit, welche normal beständig war. Aus diesen Faktoren

sammeln sich unzählige Varianten, welche es möglich machen, daß das mechanische Prinzip der räumlichen Mondoberflächen vom kleinsten Gefüßchen bis zur größten Walzenoberfläche ausreicht.

Fig. 6 stellt einen schalen Ringwall mit vertieftem Boden dar. Diese Abbildung ist geeignet, die Ansicht zu widerlegen, daß die Walzoberflächen nur vom Kring abweichende Form besitzen, denn man wird zugeben müssen, daß die Kringform die Regel und die Abweichung davon die durch Zufall hervorgerufene Ausnahme bildet.

Fig. 9 stellt einen kräftigen Aufsicht für einen gewöhnlichen Krater vor. Fig. 10 ist der Typus einer richtigen Tychostrukt.

Fig. 11 ist eine Walzenoberfläche mit einigen Blasenlöchern, welche letztere sich mit dem Apparat Fig. 2 leicht aufblasen lassen.

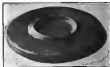


Fig. 2.

Fig. 12 zeigt eine kombinierte Walzenoberfläche mit verschiedenartigen Auftrieben, von welchen der Cassini das größtmögliche Vorbild ist.

Fig. 13 stellt ein Zwillingspaar mit Theophil und Cassini vor, wobei wir in Wirklichkeit der Boden des Theopils viel tiefer liegt.

Die Spuren des Abschlusses der Eruptionstätigkeit auf dem Monde, stört

Schneider fort, sind sehr verschieden. In diesen Kratern sind in der nach der Mitte zu gerichteten Magna ohne neue Auftriebe oberhalb flach erstarrt, während unten durch versackte Auftriebe, Bällungen oder durch spärliche Sickerung entweder oder weniger großer Sickerkegel aufklaffen, welcher sich oft aus mehreren kleinen Auftrieben zusammensetzt. Allgemein bemerkt Schneider, verwundert man sich, daß inner dieser Sickerkegel die Höhe des umgebenden Wallen erreichtes konnte, und doch so die Benetzung gerade einer Fuge bewirkt gegeben, indem die fortschreitende Abkühlung dieser letzten erstarrten Tätigkeit bei dem meisten Zufall sehr bald ein Ziel setzen mußte. Wie zwischen Gruben und Blasenräumen nur in der Größe des Unterschiedes vorhanden ist, bemerkt bis hinunter größten Wall- oder Ringebene nach Schneider die Überrestierung, daß sie alle durch Stillwirkung abkühlend

haben mit den Marsbergen die gewiss, daß sie meistens mit einer Schächer- oder Lavaflocke stehen und im Innern entsprechend mit Gruben und Blasenräumen besetzt sein können. Ihre Entstehung dürfte dieselben der zunehmenden Veränderung resp. Ver-

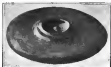


Fig. 5.

stopfung oder Zusammenziehung anderer Öffnungen auf dem Monde und infolgedessen verschiedener Ausbreiten von Magmen zu verzeichnen haben. Schneider betont bei dieser Gelegenheit, daß mit der Zusammenziehung der letzten Krateröffnung einer Oberflächenveränderungsperiode jede Aktivität aufhören mußte und daher erhebliche Gebirge auf dem Monde unter nicht mehr entstehen konnten.

Allen bereits besprochenen Erhebungen gingen nach Schneider antypische, leichtflüssige Auftriebe voraus, wie die Alpen, Apenninen, Karpaten usw. Hiermit heißt sich, daß am Fuß eines dieser Gebirge Krater ganz oder teilweise eingeschoben worden seien, während die Zerstörung von Kratern massenhaft vorhan. Diese Tatsache beweist nach Schneider, daß zur Zeit der regellosen Aufkühlung der Alpen die übrige

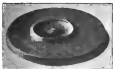


Fig. 11.

weltlich, von Erhebung, welche im letzten Gegenstand zu den sogenannten Piken, Sinus, Locus und Marebente ist, welche nur abnehmend sich befinden. Die Wällebenen sind, wie Schneider betont, ihrer Ausdehnung wegen besonders markanteste flach und

sonst die verschoben worden seien, während die Zerstörung von Kratern massenhaft vorhan. Diese Tatsache beweist nach Schneider, daß zur Zeit der regellosen Aufkühlung der Alpen die übrige

Flussmasse noch zu wenig dick war, um regelmäßige Formen anzunehmen. Inzwischen ist aber durch die Masse

So typisch aber, sagt Schindler, alle Erscheinungen vom kleinsten Größchen bis zur größten Wallbeise sind, so mannigfaltig sind die Bilder der Zerstörungen in einem relativ wenig spätem Zeiträume.

In Bezug auf die Krater erinnert er an den Tycho, der als einziges solches Gebilde in dem weiten Chasma von vornehmten Kratern steht, in Bezug der Massabildung an die halb niedergeschmolzenen Krater Precator, Gürtner, Doppelweyer, Lee und andere. Aber alles dieses wird nach Schindler überstrichen durch



Fig. 11.

nicht genug gewesen, die Anhäufung des Magmas zur Alpenbildung zu tragen, welche übrigen wie aufgeschmolzenes Siegelglas mit Rinnen durchströmt zu sein scheint. Alle Ansichten sprechen nach Schindler dafür, daß auch den abgesetzten Alpenreihen die übrige Mondfläche und mit Kratern bedeckt war, ehe die Palas-, Senus-, Lavin- und Marchenon sich bildeten. Die gesamten mit Lava oder Schlackendellen versehenen, ehemals glühend-

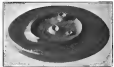


Fig. 12.

die Unterschneidung der Apenninen, welche das großartigste Zerstörungswerk auf dem Monde darstellt, welchem die Vertiefung der Mare Imbrium und Sororis in Großartigkeit an die Seite kommt.

Die fortschreitende Abkühlung mußte zur Folge haben, daß die anderen Magmagallen verhärteten und die Verbindungen mit dem Innern immer auf weniger, jedoch reichlicheren Kommunikation beschränkt wurden. Diese großen konzentrischen Magmagewölbe

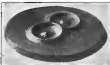


Fig. 13.

hängen Massen stellen uns die Zerstörungswerk deutlich vor Augen.

nicht ohne Beschränkung wurden. Diese großen konzentrischen Magmagewölbe

lungen mit ihrem Landeisen, sagt Schindler, bildeten für alle der Flächen und Massentheil des Ausbges einer prästärken, unthätigen Zerstörungsperiode. Das glühendflüssige Silex haben sich, alles zerstörend, zuerst ausgedehnt, daß sie alle bis auf wenige Ausnahmen eine Kette zusammenhängender Meere bilden. Aus den Landeisen dieser Meere bildet aus der weichenen Eisenkette, welche keine Spur von heilerem Nagel in der Umgebung vorfindet, wie Trachstein, Lander, Pizond und andere. Schindler meint auch an die veränderten Rinde, welche die Landeisen abdecken, abgedeckt haben. Wie der Pariser Mondstein lehrt, können dieselben nur von Mandelbildung begrenzter Bodenveränderung herrühren, die dieselben oft nach einem gewissen Abstand vom Ufer verfallen und anderen die übrigen Warte bilden lassen, was andere Erklärung als Ranzung erfolge von Horizontalschub abgeben.

Die Rinde des Mondes lassen nach der Darstellung, welche Schmidt von der Bildung der Mandelrücken gibt, keine selbst Deutung zu, als daß sie Rinde in der Mandelrücken und -Wie periodische Erweichungen, sagt er, Rinde bilden, so tritt ganz die Umgekehrte, der Spannungssinn beim Erkalten einer periodisch erweiterten Fläche ein.

Letzter Mann oder Geröll dürfen

im allgemeinen auf der Mandelrückenfläche nicht vorkommen, doch kann verpönte und infolgedessen etwas abgeflachte Masse vorwiegend zu Geröllbildung Anlaß gegeben haben. Viel bedeutungsvoller hingegen sind die durch große Ritzbildung erfolgten Abflüsse, welche so breite Ritzschlangen hinterlassen, daß dieselben von der Erde aus weitergehenden werden können, während wir sonst mit guten Instrumenten die Ritz kaum finden würden. Es muß jedem Mandelrückenbesucher einfallen, daß die meisten Ritzschlangen im Verhältnis ihrer Länge viel zu breit sind. Auch die Betrachtungsfläche der Ritz belehrt den Betrachter, daß man es nicht mit scharfen vertikalen Einschnitten, sondern mehr mit Ritzschlangen ausgefüllten Gruben zu tun hat, deren Einschnitten nur geringe Betrachtung an den Bruchflächen glänzender sein muß, als die dunkle Schlacken- oder Landerke.

Das Vorstehende wird genügen, die Vorstellung wiederzugeben, welche der Verf. sich von der Art und Weise, wie die Mandelrückenformationen entstanden sind, auf Grund seiner technischen Erfahrungen angesichts moderner Massen und selbst dann entgegengesetzten Versuche, gebildet hat und welche die Beachtung der Seismographen und nicht minder der Geologen in hohem Grade verdient.

Beckwüdtige Veränderung im Spektrum des Doppelsterns ϵ Bootis.

Der von Herschel 1796 als doppelt erkennbar Stern bezeichnende Hauptstern ϵ und einem Begleiter 1.0 Größe. Das scheinbare Distanz betrug zu Herschels Zeit etwa 7", Ende der neunziger Jahre des vorigen Jahrhunderts, als Struve den Stern beobachtete war sie 1.3", 1863 nur 0.7" und gegenwärtig gehört ein solches Instrument dazu die Distanz

schon zu sagen. Schon W. Struve vermutete, daß eine der beiden Komponenten geringe Helligkeitsveränderungen ergebe und O. Struve stimmte diesem bei. Bei den spektroskopischen Beobachtungen kam natürlich nur das Doppelspektrum beider Komponenten zur Darstellung kommen. Eine merkwürdige Veränderung in diesem Spektrum haben nun H. Landerhoff und

Q. Eberhard auf dem Astrophysikalischen Observatorium konstatiert und bemerkt darüber.⁷⁾

«Nur das Spektrogramm, sagen beide Astrophysiker, der wir seit einigen Jahren mit dem im photographischen 33.5 cm fokalierter des Astrophysikalischen Observatoriums ausgebrachten Spektrographen IV (S. Frauen) hergestellt haben, um die Rotulagezeichneten einer Anzahl von Sternen zu bestimmen, behandelt sich auch eine Aufnahme des Spektrogramm von ϵ Boötis, welche Ludendorff 1905 Juni 3 angefertigt hat, und welche die erste ist, die wir von diesem Stern erhalten haben. Leider wurde die Platte nicht mehr an demselben Abend entwickelt, so daß die merkwürdigen Erscheinungen, die das Spektrogramm des Sterns darstellt, erst bei der Entwicklung am nächsten Tage von Eberhard bemerkt wurden. Das Spektrogramm zeigt nämlich einige sehr auffallende, breite Emissionsbanden, so daß es eine gewisse Ähnlichkeit mit dem der neuen Sterne hatte. Das Wasser gestaute am nächsten Abend (Juni 4) keine neue Aufnahme: dagegen gelang eine solche Juni 5, die aber, ebenso wie alle andere, welche wir seitdem von dem Spektrogramm von ϵ Boötis erhalten haben, keine Spur der erwähnten Eigentümlichkeit zeigt.

« ϵ Boötis ist die Doppelstern, dessen Komponenten ziemlich gleich hell und auf eine Zeit unserer Beobachtungen einander so nahe standen, daß sie in dem 24 cm Linsentelegraphen des photographischen Refraktors nicht mehr getrennt werden konnten, nur bei guter Luft sah man, daß das Bild des Sterns Helligkeit war. Das Spektrogramm, wie es der Spektrograph IV abbildet, röhrt daher von beiden Komponenten zugleich her, und die von anderer Seite früher gemachten Beobachtungen bezeichnen sich ohne Zweifel auch auf das Gesamtpektrum beider Sterne. Der Draper-Katalog ordnet das Spektrogramm in

die Klasse A an, Vogel in die Klasse Ia₂; Lockyer sieht den Stern an dem «Stern Sirius». Nirgends findet sich erwähnt, daß das Spektrogramm irgend eine besondere Eigentümlichkeit gezeigt hätte. Auf dem Potsdamer Observatorium fanden sich im ganzen vier Aufnahmen des Spektrogramm aus früheren Jahren, von denen die erste 1895 Mai 6 von Wihlig mit dem Spektrographen D (jetztige Dispersion) hergestellt worden ist. Diese Platte zeigt außer der Serie der Wasserstofflinien nur noch die Calciumlinie λ 854, und auf Grund dieser Tatsache hat Vogel die oben erwähnte Klassifizierung vorgenommen. Die drei andere Aufnahmen sind von Hartmann mit dem Spektrographen I am 90 cm Refraktor gemacht worden, und zwar 1902 Juni 3, Juni 4 und Juni 25. Außer der Serie der Wasserstofflinien und der Linie λ 854 ist auf diesen auch die Magnesiumlinie λ 4481 sichtbar, sowie vielleicht Spuren von anderen Absorptionslinien. Von hellen Banden ist nichts wahrzunehmen.

Auf den von uns im vergangenen Sommer mit dem Spektrographen IV erhaltenen Platten ist nur der Bereich des Spektrums von λ 4530 bis λ 4380 völlig scharf abgebildet. In diesem ganzen Bereich zeigen die Spektren — abgesehen von dem ersten, 1905 Juni 3 erhaltenen — nur die Wasserstofflinie H γ , die noch etwas außerordentlich verschoben ist und sich kaum vom kontinuierlichen Spektrum abhebt. Auf einigen Platten ist auch die Magnesiumlinie λ 4481 abgebildet, andere so schwach, daß wir auf die Messung desselben verzichten mußten. Andere Absorptionslinien konnten wir mit Sicherheit nicht feststellen.

Bei am 3 Juni 1905 aufgenommenen Spektrogramm weist von allen andere also darin ab, daß es eine Anzahl heller (Emissions-) Linien zeigt, die sich über das kontinuierliche Spektrum, das den Hintergrund bildet, legen, von dunklen Linien zeigt dieses Spektrogramm nur die an den anderen Beobachtungsbeurteilen

⁷⁾ Astron. Nachr. Nr. 4287.

stärkeren auf, und Hy als einige weniger Absorptionen. Die beiden Beobachter haben die Wellenlängen 1 der Reihe von 6 hellen Emissionsbanden genau gemessen und außerdem in dem leuchtbarsten Teile des Spektrums noch die Lage von mehreren helleren (obwohl in der Abbildung unscharfer) Banden durch Schätzung bestimmt. Unter Benützung der dunklen Linie Hy ergaben die Messungen eine Geschwindigkeit des Sterns in der Richtung der Sonne hin von 11 bis 12 km pro Sekunde. Eine sichere Identifizierung der hellen Banden mit den Linien bekannter Elemente ist nicht möglich. Wie erwähnt, sind diese hellen Banden bei keiner späteren Aufnahme mehr gefunden worden. Nach dem Obesagten, besaßen die beiden Astrophysiker, zu

1. Beide jedenfalls ein Objekt, welches sowohl photometrisch wie spektroskopisch aufmerksam verfolgt zu werden verdient. Schon mehrfach hat man ja in dem Spektrum von Sirius Veränderungen konstatiert, doch ist uns, von dem neuen Stern abgesehen, kein Fall bekannt geworden, in welchem eine so bedeutende Änderung — das Verschwinden einer ganzen Anzahl starker Emissionsbanden — in so kurzer Zeit, nämlich im Laufe von zwei Tagen, vor sich gegangen wäre. Es ist sehr zu bedauern, daß wir nicht angreifen können, wie lange die Emissionsbanden zu ihrer Entwicklung gebraucht haben. Vielleicht finden sich auf andern Sternwarten Beobachtungen, welche wenigstens die Ermittlung eines Grossenwertes für diesen Vorgang ermöglichen.

Untersuchungen über die Helligkeitsschwankungen der vier großen Jupitertrabanten.

Nach die Beobachtungen, welche Wilhelm Herschel in den Jahren 1794 bis 96 über die Helligkeiten der größten Monde des Jupiter angestellt hat, gelangte derselbe zu der Überzeugung, daß diese Monde regelmäßige Helligkeitsschwankungen zeigen und zwar der I. und II. Trabant in dem Teile seiner Bahn zwischen der Konjunktion mit dem Jupiter und der größten heliischen Entfernung von demselben, der III. Mond nahe bei der größten heliischen und westlichen Entfernung, der IV. nahe bei der obern Konjunktion mit dem Jupiter. Diese Ergebnisse teilten Herschel an der Meinung, daß die Jupitermonde dunkle Flecke auf ihrer Oberfläche besitzen und sich in der nämlichen Zeit um ihre Axen drehen, in der sie um den Jupiter laufen. Seitdem sind die Monde von verschiedenen Beobachtern auf ihre Helligkeit untersucht worden, aber doch mehr gelegentlich. Längere Beobach-

tungsreihen liegen nur nur von Dr. Anwers aus den Jahren 1855 bis 65, von Dr. Engelmann (der sich eines Zöllnerschen Photometers bediente) aus dem Jahre 1870, sowie von Prof. Pickering (ebenfalls mittels eines Photometers) aus den Jahren 1877 und 78. Man sollte glauben, daß besonders die beiden letzten Beobachtungsreihen die Helligkeitsschwankungen und das Gesetzmäßige derselben mit genügender Genauigkeit erkennen ließen, dies ist dem nicht der Fall. Dr. P. Gauthier hat jetzt neue Untersuchungen über diesen Gegenstand veröffentlicht, die auf den zuverlässigsten der älteren photometrischen Beobachtungen sowie auf ziemlich zahlreichen neuen im Winter 1904 bis 1905 auf der Bodinger Sternwarte gemacht wurden, welche des Zufalls bezüglich der Rotationszeiten, soweit derselbe durch photometrische Beobachtungen allein überhaupt möglich ist, bedürfen. Ferner hat sich für

die Zukunft weitgehend die Ansicht eröffnet, unter Benützung gewisser Helligkeitskurven bei den Trabanten I, II und III noch einen Schritt weiter zu kommen, nämlich eine erste rohe Bestimmung der Neigungen der Rotationsachsen zu erlangen. Weiterhin ist ein Versuch gemacht worden, durch eingehendes Studium der aufgestellten äußeren Lichtkurven der Trabanten zu dem zweiten Teil des Problems, der Erforschung der Physik der Oberflächen jener Körper, einen Beitrag zu leisten.¹⁾

Die Beobachtungen in Bodnapp bestanden aus Messungen mit einem Zöllnersehen Photometer in Verbindung mit dem allfälligen Refraktör der Sternwarte und aus Schätzungen an denselben Fernrohr, an dem beiden letzten Beobachtungsbänden an einem dreiförmigen Fernrohr von Fraunhofer. Sie erstreckten sich über den Zeitraum 1904 Dez. 15 bis 1906 April 7, jedoch anfallen wegen Ungunst der Witterung und der Abwesenheit des Beobachters von Bodnapp auf den Dezember nur zwei Beobachtungsbände. Schätzungen in Bonn wurden während eines kurzen Aufenthaltes desselben am fünf Abenden vom Dezember 22 bis Januar 2 mit einem 2½-förmigen Fernrohr erhalten. Der für die Beobachtungen gefasste Plan war zunächst dergestalt Anschauungen über die Helligkeitsbewegungen der Trabanten angestrichen, welche Dr. Gutwich nach Durchsicht der bisherigen Untersuchungen, unter denen die Arbeit Engelmanns die wichtigste war, gewonnen hatte, nämlich im Endet zwar im allgemeinen ein Gang der Helligkeiten mit den Umlaufzeiten in der Weise statt, daß die Gleichheit der Rotations- und Revolutionszeiten wahrscheinlich ist, doch können unregelmäßige rasche und große Veränderungen der Helligkeiten (infolge Wolken-

bildungen in den Trabantenatmosphären?) aufzutreten, welche die Gesetzmäßigkeit des Lichtwechsels bei den Trabanten I, II und III oft ganz zerstören. Daß die Rotationszeiten überhaupt nicht gleich den Umlaufzeiten seien, war dem Ergebnisse der Engelmannschen Untersuchung gemäß noch nicht ganz ausgeschlossen. Es war daher außer Frage, daß versucht werden mußte, in möglichst kurzer Zeit über die ganze Reihe wertvolle Helligkeitsbestimmungen zu erlangen, um den Einfluß der unregelmäßigen Helligkeitsänderungen leichter zu erkennen. An hundertsechzig glänzigen Abenden in die Helligkeit eines jeden Trabanten in längeren Intervallen mindestens bestimmt worden, so daß das Vorhandensein einer kurzen Rotationsperiode nicht hätte verloren haben können. Im Verlauf der Beobachtungen ergab sich auch diese, daß, wenigstens im Winter 1904 bis 1905, die unregelmäßigen Veränderungen der Helligkeiten gegenüber den regelmäßigen so wenig in Betracht kommen, daß die ersten eines Beweises mehr bedürfen als die letzteren und man tatsächlich über ihre Existenz im Zweifel sein kann, aber die Lichtkurven stellen sich als so komplizierte Formen heraus, daß auch unter den günstigsten Umständen, um bis zum schließlichen Umrang des Jupiter ein einigermaßen vollständiges Beobachtungsmaterial zusammen zu bekommen, möglichst zahlreicher Beobachtungen in der verfügbaren Zeit erlosche werden mußten. Die Messungen wurden, wie schon bemerkt, mit einem Zöllnersehen Photometer in Verbindung mit dem großen Refraktör der Sternwarte gemacht. Die Öffnung des Refraktors ist 394 cm, die Brennweite 49.1 cm; die Öffnung wurde jedoch durch eine knieförmige Stütze auf 67 cm abgekleinert. Die angewandte Vergrößerung war Anfangs etwa 100, später 130.

Der Gedruckte geht genauer auf die Beobachtungen und die Beobachtungsmethoden, die er angewandt, ein und

¹⁾ Bestimmung der Rotationszeiten der vier äußeren Jupitertrabanten. Witzsch II. Dr. P. Gutwich, Kiel 1905.

gibt dann eine Beschreibung der Ereignisse, welcher wir folgenden entnehmen:

Zunächst ist ein Zweifel an der Gestaltigkeit der Helligkeitsausdehnungen bei allen vier Trabanten nicht wohl oder nicht zu erheben, es variieren die Trabantenhelligkeiten innerhalb Perioden, die gleich den Zeiten sind, in welchen die Trabanten einen Umlauf um Jupiter vollenden. Ebenso man den Zusammenhang zwischen dem Lichtwechsel und der Rotationsbewegung an, so folgt daraus also die Gleichheit von Rotations- und Revolutionszeit. Die mittleren Lichtkurven, wenn sie aus Beobachtungen von hundert und größer Zahl und hinreichend langen Zeitintervallen zusammengesetzt sind, müssen als wahrscheinlich unverändert betrachtet werden. Von Fall zu Fall dagegen ist der Verlauf der Helligkeitsausdehnungen bei Trabant I mit merklicher Störungen, bei II und III wahrscheinlich unregelmäßig, kann dazwischen Störungen unterworfen, deren Beiträge jedoch gegenüber den unregelmäßigen Veränderungen der Helligkeit klein zu haben scheinen. Betreffs Trabant II wird eine vielleicht störende große Veränderung der Lichtkurve gedacht, welche wahrscheinlich mit den hier behandelten nichts zu tun hat, d. h. auf andere Ursachen beruht als diese bei Trabant IV kommen entweder gar keine oder nur solche Störungen der Lichtkurve in Frage, die innerhalb zwei gewisser Zeit sich abspielen und dann ebenfalls auf andere, periodische Ursachen beruhen würden. Daß man die unregelmäßig gen. Helligkeit abwegigen auf das Vorhandensein von Atmosphären auf den Trabanten und die wechselnde Helligkeit der Randstrahlungsprodukte in denselben zurückführen, so ist dieses Resultat vom Standpunkt der Kant-Laplace'schen Weltentstehungstheorie bemerkenswert, indem es darauf hindeuten würde, daß auf dem I Trabanten, der nach ihr der jüngste ist, noch eine merklich merk-

liche Atmosphäre vorhanden, daß dagegen bei dem IIsten, dem IV., aus den Beobachtungen zu schließen, die Atmosphären schon sehr reduziert ist. Da die vier Trabanten weit voneinander verschieden an Masse sind (die kleinste Masse 3) verhält sich zur größten (III) wie 1:5), so konnte man allerdings vom Standpunkte der Kant-Laplace'schen Theorie aus von vornherein erwarten, daß der äußere der Monde die am weitesten vorgeschrittene, der innerste der jüngste Entwicklungsstadium repräsentieren würde. Von mittlerem Werte ist jedoch vorläufig die kleine Bezeichnung des Gegebenen. Die größten (regelmäßigen) Helligkeitsschwankungen weist Trabant II auf, dessen Größe zwischen den beiden Grenzen 5.2^m und 6.2^m variiert, dann folgen I und III oft nahe gleichen Schwankungen von etwa 0.1^m, und an letzter Stelle steht IV mit 0.36^m. Parallel damit ist das Verhalten des Lichtwechsels in Bezug auf die Schwingigkeit der regelmäßigen Helligkeitsänderungen, die am größten bei II, etwas geringer bei I und III ist, während IV ganz abweichend davon nur langsame Veränderungen zeigt. Der allgemeine Charakter der Lichtkurven ist bei I, II und III gleich, bei IV abweichend. Die Ähnlichkeit der Lichtkurven der drei ersten Trabanten geht so weit, daß abgelesen ganz ähnliche Maxima und Minima auf nahe denselben Stellen in den Tabellen fallen. Bemerkenswert ist, daß die Trabanten sich bezüglich ihrer Färbungen ebenso gruppieren, indem die drei ersten unter sich sehr ähnlich gefärbt sind, während Trabant IV eine schwer zu definierende bläuliche Färbung auf gelbem Untergrund besitzt. Bezüglich der mittleren und äußeren Helligkeiten in Sterngrößen ergibt sich folgender:

	Trabant I	Trabant II
Große Helligkeit	5.15	5.15
Kleinste	5.60	6.10
Mittlere	5.54	5.65

	Triebst. III	Triebst. IV
Große Halbachse	4.69	6.09
Kleinachse	5.41	5.45
Exzentrizität	5.07	5.07

Von Interesse sind ferner noch die Helligkeiten der Triebsternen während ihrer Vorübergänge vor der Jupiter-scheibe. Natürlich können dieselben aus dem vorliegenden Material nur unge-nau ermittelt werden, unter der Vor-setzung, daß die Leuchtkräfte den vor und nach der zentralen Konjunktion ungelegenen Verlauf auch während der-

selben einschließen. Es werden dann folgende Werte in Sterngrößen gefunden:

Stern	Trieb. I	Stern	Trieb. II
119 ¹	5.86	119 ¹	5.8
190	5.7	190	5.8
192	5.4	192	5.8

Stern	Trieb. III	Stern	Trieb. IV
119 ¹	5.4		
190	5.4	140 ²	6.28
192	5.25		

(Schluß folgt.)

Geschwindigkeitsbestimmungen der spektroskopischen Normalsterne.

Im Jahre 1902 hat Prof. Frost den Vorschlag gemacht, eine Anzahl Sterne vom Typus der Sonne auszuwählen und zum möglichst genauen Bestimmung ihrer Bewegung in der Galaxis (oder sogenannten Radial-bewegung) jährlich ausgerechnet (zwei-mal spektroskopisch zu beobachten. Als solche Sterne (Standard Velocity Stars) bezeichnet er folgende:

α Aries	α Bootis
α Perseus	β Cygnus
β Leporis	γ Aquila
β Comae Berenices	ϵ Pegasi
α Centauri	γ Pleiadum

Diese Sterne sollten von den Ob-servatoren, welche sich mit genauem spektroskopischen Arbeiten beschäf-tigen, gewissenhaft beobachtet werden, umso mehr, als möglichst zuverlässige Werte für die Radialbewegungen der-selben zu gewinnen, denn aber auch um des Grund der Genauigkeit, welches diese Messungen überhaupt darstel-len können, sicher zu werden zu können. Prof. Frost und Walter S. Adams haben über eine Reihe der von ihnen zu diesem Zwecke angestellten Messungen

berichtet¹⁾ und darunter liegt eine ähn-liche Arbeit vor, die auf dem Lowell-Observatorium zu Flagstaff (Arizona) von V. W. Sipher angestellt wurden ist²⁾ und zwar während des Sommers und Herbstes 1905. Bei diesen Unter-suchungen wurde statt des Sterns α Centauri, welcher sich so nahe bei der Sonne befindet, der Stern γ Cygni gewählt, einer von den drei Sternen ϵ Aurigae, ϵ Leonis, γ Cygni, welche Prof. Frost zur Ergänzung vorge-schlagen hatte, falls aus irgend einem Grunde ein Stern der obigen Liste nicht beobachtet werden könnte. Da-neben hat Sipher auch eine Anzahl Einspektrogramme der Sterne α Perseus und α Bootis aufgenommen. Um die Genauigkeit der Aufnahmen zu prüfen, wurden in größeren Zwischenzeiten nach Spitz der Venus, des Mars und des Merkur aufgenommen und aus den Linienverschiebungen derselben die Geschwindigkeiten dieser Planeten abgeleitet. Der Vergleich dieser ge-messenen mit den aus der Bewegungstheorie berechneten Geschwindigkeiten lieferte einen direkten Maßstab für die

¹⁾ Astrophysical Journal 1902, Vol. XVI Oktober, p. 168.

²⁾ Spher 1904, S. 14.

³⁾ Lowell-Observatory, Bulletin No. 23

Gewaltigkeit dieser Art von Messungen. Der Spektrograph mit dem die Aufnahmen erhalten wurden, war an dem 16-zölligen Reflektor des Lowell-Observatoriums angebracht. Als Vergleichsspektrum diente das Fraunberspektrum des Molybdäns und einer Legierung von Eisen und Vanadium.

Die Kontrollaufnahmen der Spektren des Mars, der Venus und des Mondes zur Veranschaulichung der aus den Aufnahmen beobachteten und der berechneten Radialgeschwindigkeiten, ergaben eine recht befriedigende Übereinstimmung. So wurde für Mars am 18. April 1905 die relative Geschwindigkeit in der Geschwindigkeit zur Erde gleich — 839 km in der Sekunde gefunden, während der Rechnung gemäß der Theorie der Marbewegung dafür — 792 km ergibt. Für den Planeten Venus fand sich Juli 11 spektrographisch die Radialgeschwindigkeit zu + 13,72 km der Theorie gemäß zu + 13,49 km; für den Mars Okt. 5 spektrographisch + 855 km, nachrechn. + 068 km. Ähnliche Kontrollmessungen dieser Art ergaben in ähnlicher Weise, daß die spektrographischen Bestimmungen Verlässen verdienen und frei von wesentlichen systematischen Fehlern sind. Sphor hat die Messungen an den Spektrogrammen der oben bezeichneten Mäand-Stern im einzelnen mit und gibt dann die Mittelwerte der so erhaltenen Geschwindigkeiten für jeden Stern. Bei letzteren wurde darauf die durch die Eigenbewegung und Rotation der Erde erforderlichen Korrekturen in Anrechnung gebracht und auf diesem Wege schließlich die relative Geschwindigkeit der betreffenden Sterne mit Bezug auf die Sonne erhalten. Folgendes ist das endgültige Ergebnis der Aufnahmen und Ausmessungen Sphors. Die Zahlen bezeichnen die Geschwindigkeiten pro Sekunde in Kilometern, — bedeutet Abkühlung, + Entfernung von der Sonne.

• *Arctus*. Mittelwert aus den Aufnahmen von drei Abenden: — 14,3 km

Frost, *Adams* und *Campbell* haben früher für diese Geschwindigkeit im Mittel — 13,6 km gefunden.

• *Polaris*. Nach 16 Beobachtungsabenden im Mittel von 5 Beobachtungsabenden — 21 km. Die früheren Bestimmungen von *Adams*, *Belopolsky*, *Campbell*, *Frost* und *Vogel* ergeben im Mittel — 25 km.

• *β Leporis*. Im Mittel aus 3 Beobachtungsabenden ergibt sich als Radialgeschwindigkeit — 13,9 km, *Frost* und *Adams* finden — 12,4 km.

• *β Geminorum*. Drei Beobachtungsabende lieferten den Wert + 3,3 km. Der Mittelwert der früheren Bestimmungen von *Adams*, *Belopolsky*, *Frost* und anderen Beobachtern ist + 3,5 km.

• *ε Bootis*. Im Mittel aus fünf Beobachtungsabenden folgt als Radialgeschwindigkeit dieses Sterns — 47 km. Ähnliche frühere Aufnahmen von *Adams*, *Frost* usw. ergeben als Mittelwert — 50 km.

• *β Ophiuchi*. Den Beobachtungsabende lieferten als Mittelwert — 11,3 km. Die früheren Bestimmungen von *Frost*, *Adams* und *Novell* ergeben im Durchschnitt — 12,7.

• *γ Aquila*. Der Mittelwert für die Radialgeschwindigkeit ist nach drei Beobachtungsabenden — 26 km.

Das Mittel der früheren Bestimmungen von *Adams*, *Frost* usw. ergibt — 19 km.

• *γ Pegasi*. Nach vier Beobachtungsabenden ergibt sich für die Radialgeschwindigkeit dieses Sterns + 6,1 km.

Die früheren Beobachtungen der anderen oben genannten Spektroskopier lieferten im Mittel den nämlichen Wert + 6,1.

• *γ Pleiadum*. Das Mittel aus drei Beobachtungsabenden ist — 11,3 km. Die früheren Messungen von *Frost* und *Adams* ergeben — 10,9 km.

• *γ Cephei*. Die Aufnahmen an drei Abenden lieferten als Radialgeschwindigkeit den Wert — 81,9 km.

Prost, Adams und Ekopohy fanden
Näher sehr übereinstimmend durch die
Mittel ihrer Messungen — 45.1 An.
Die Messungen zeigen, wie man

nicht, eine gute Übereinstimmung und
man darf an der Zuverlässigkeit der-
selben Vertrauen haben.

Ein Nebelfleck-Haufen im Perseus.

Prof. Max Wolf macht darüber
eine interessante Mitteilung.¹⁾
Er hat auf verschiedenen mit dem
Brenn-Teloskop des Astrophysikalischen
Instituts Königsberg Heraldfang aufge-
nommenen Photographien, im Sternbilde
des Perseus eine viele Zehntausende der
kleinen Nebelflecke haufenartig. Deshalb
hat er auf zwei Gegenständen, nämlich am
 β Perseus und am Ort der Nova
Perseus herab, die Nebelflecke genau
verglichen und angegeben, so daß er
ein Urteil über deren Verteilung ge-
wann. Es fand sich, daß, obwohl auf
den Platten kleine Nebelflecke fast über-
all verteilt zu finden sind, diese doch
an einer Stelle zu einem dichten Haufen
zusammengedrängt erschienen. Haupt-
sächlich zwei Bänder von Nebelflecken
durchziehen längs der Gegend und
wo sie einander am nächsten kommen
verfügen sie sich zu einem Haufen
von sehr großer Nebenzahl. Die
Mitte dieses Haufens liegt in $AR 3^h$
 $10^m 10^s + 40^{\circ} 40'$ (1635 G). «Um diese
Gegend, sagt Prof. Wolf, stehen die
Nebelflecke sehr dicht. Ich habe nur
die auffallendsten Objekte angegeben

und in einem Quadrigrad abgezählt
sich beide um den angegebenen Punkt
die folgende Verteilung:

0	3	1	0	3
0	5	15	10	5
8	5	17	11	13
0	7	0	1	7
0	0	4	0	3

wo jede Zahl angibt, wie viele Nebel
auf ein Quadrat von 12 Bogensekunden
Seitenlänge kommen. Dieser Quadri-
grad enthält also 148 auffallende Nebel-
flecken.

Die Form der kleinen Nebel wechselt
manchmal zwischen «rund, mit strahlter
Verdichtung» und «Form des Andro-
medahels». Letztere Gestalt findet
sich recht oft, besonders in größerem
Abstand vom Haufen.

Die Gegend ist schon früher öftig
auf Nebelflecken mit dem Auge unter-
sucht worden. In dem bestimmten
Quadrigrad und seiner nächsten Um-
gebung zählte der New General
Catalogue und der Index Catalogue
von Dryer 30 Nebelflecke, die haupt-
sächlich von D'Arrest und Bigourdan
aufgefunden sind. Auch Swift hat in
dieser Gegend mehrere Nebel entdeckt.

Vermischte Nachrichten.

Eine Bahnbestimmung des Me-
teors vom 14. März 1905 hat Prof.
G. v. Neufel angeführt.²⁾

Für das am 14. März 1905 um 7^h
10^m 10^s Wiener Zeit auf einer Fläche,

die in der Maximal Erstreckung, von
Hornbach in Seierstadt bis Schö-
ben im Schöben, 400 An weit rech-
tlich beobachtet wurde wurden die Beob-
achtungsmaterialien zum größten Teil
auf Veranlassung des Direktors der k. k.
Universitätsbibliothek, Hofrat Prof. Dr.
Edmund Wolf, gesammelt.

¹⁾ Astr. Nachr. Nr. 5094.

²⁾ Wiener Anz. Anzeiger 1905, S. 423.

Die Angaben von oben in dieser Hinsicht günstig gelegenen Beobachtungsorten konnten benutzt werden, um den Endpunkt oder Himmelspunkt der planetarischen Bewegung in der Höhe von 31.3 km über der Gegend südlich nahe an Schuchan in Mähren (34° 23.1' Süd von Porto und 49° 32.1' östl. Breit.) nachzuweisen.

Der Radiationspunkt wurde am 12. schwebenden Bahntagen in 144.3° Breitenkreis und 8.3° südlicher Deklination ermittelt. Er befand sich am Endpunkt zur Fallzeit in 312.8° Azimut und 194.4° Höhe. Das Aufschauen wurde, wenigstens aus einer solchen Beobachtung nachweisbar, in 67 km Höhe südlich über der Panschajewna in Ungarn (35° 43' Süd von Porto und 48° 42.5' östl. Breit.) beobachtet. Die Bahn ging von hier fast in die Richtung SE—NW durch Mähren, südlich an Ungarnsch-Haafisch vorbei, über Schwabenitz, Droska usw. zum Endpunkt. Aus der beobachteten Bahnlänge von 145 km ergab sich eine geometrische Geschwindigkeit von 36.3 km und die Lichtstrecke zu 51.3 km, entsprechend einer hypothetischen Bahn. Aus dem größten Teil der übrigen Beobachtungen, soweit sie überhaupt in Betracht kommen konnten, namentlich aus den zahlreichen Wiener Angaben, würde sich jedoch eine viel höhere geschätzte Bahnlänge, nämlich nur 78 km, und auch die geringere Geschwindigkeit von 21 km ergeben.

Der Strahlungspunkt dieses Meteoroiden ist sehr wahrscheinlich identisch mit dem der Feuerkugel vom 13. März 1863, die welchen damals seine Position am Himmel in AR = 149°, D = — 9° abgelesen wurden. Vermutlich gehört demselben Strom auch die am 17. März 1873 in England beobachtete Feuerkugel mit dem von Tupress bestimmten Bahnlagen in AR = 145°, D = — 8° an, sowie zwei am 11. Februar 1905 ebenfalls in England wahrgenommene große Meteore, deren Strahlungsquelle von Denzang, wohl

nur beifällig, in AR = 150°, D = — 7° und AR = 145°, D = — 13° ermittelt wurden.

Die in Rede stehende Feuerkugel gehörte nicht zu dem geläherten Erscheinungen dieser Art und es liefen auch keine Nachrichten über entsprechende Beobachtungen da.

Der neue Stern im Adler (Hera, apollis Nr. 2) welcher im August 1905 Madama Fleming auf den photographischen Platten der Draper Memorialaufnahmen gefunden wurde, ist bereits sehr schwach geworden. Nach den Beobachtungen von J. D. Madril, war er Mitte Oktober 1905 etwa 11.3 Größe und am 25. November 11.9 Größe. Die Lichtabnahme von Madama umgarnsch während des Monats September.

Stärkerkeit. Lichtschwächerster Sterne am grossen Refraktor. Das bestimmte, abgegrenzte System des Himmels in der Nähe von δ Cygnus ist am 36-Zoller zu Washington vor etwa 30 Jahren von Prof. Holden genau aufgenommen worden, 1864 wurde die nämliche Gegend von R. H. Tucker am 36-Zoller der Lickobservatorien kartiert und 1905 von P. Lowell am 24-Zoller des Flagstaff Observatoriums. Die Vergleichung dieser Aufnahmen, welche sich bis zu dem schwächsten in den betreffenden Instrumenten sichtbaren Sterne erstreckt, ergab nach P. Lowell folgendes bezüglich der Zahl der sichtbaren Sterne der verschiedenen Größenklassen. In allen drei Instrumenten wurden gezählt: 1 Stern 8. bis 9. Größe, 3 Sterne 10. bis 11. Größe, 18 Sterne 12. bis 13. Größe, dagegen am 36-Zoller 38 Sterne 14. bis 15. Größe, am 36-Zoller 42 Sterne 14. bis 15. und 94 Sterne 16. bis 17. Größe, am 24-Zoller 46 Sterne 14. bis 15. Größe, 166 Sterne 16. bis 17. Größe. Somit zeigt das Instrument zu Flagstaff auf dem beschriebenen Gelände des Himmels 11 Sterne mehr als der bestmögliche grössere Licht-Refraktor. Prof. Lowell sucht die Ursache hiervon in der viel kühleren und ruhigeren Luft des hoch-

igenen Flugstift-Observatorium. Die Sechste von Washington beträgt nur 50 Fuß, diejenige der Lick-Sternwarte (200), aber die des Flugstift-Observatoriums volle 724 Fuß.

Das flüssige Spiegelteleskop des Sonnenobservatoriums auf Mt. Wilson. Prof. G. W. Ritchey teilt mit, daß dieses große Spiegelteleskop bei dessen Herstellung 1897 am Vortage-Observatorium begonnen wurde, nunmehr vollendet ist. Es wird auf dem Mt. Wilson bei Pasadena als eines der Hauptinstrumente des dortigen Sonnenobservatoriums der Carnegie-Institution aufgestellt. Schon im April des vorangegangenen Jahres war der 64 Fuß im Durchmesser haltende Spiegel selbst der dazu gehörigen Poliermaschine nach Pasadena übergeführt worden. Zum Zweck des Transports war derselbe in drei hintereinander gelegte Kästen mit Spezialstern verpackt worden, sodaß er ohne die geringste Berührung seiner Form den langen Weg von Williams Bay nach Pasadena zurückgelegt hat. Die schweren Metallteile der Montierung sind von der Union Iron Works Company in San Francisco geliefert, die Achsen und Trassen in ihrer Artier des Observatoriums angefertigt worden. Die Aufstellung des großen Instrumentes dürfte zur Zeit fast vollendet sein.

Der Komat 1908a. Derselbe wurde von Brooks zu Ormes (V. 54) im Sternbild des Herkules entdeckt und ist seitdem auf verschiedenen Observatorien, die über lichtstarke Fernrohre verfügen, beobachtet worden. Eine vorläufige Bahnberechnung ergibt, daß er am 1. Januar in seinem Perihel stand

und richtig ist. Seine Helligkeit war Anfangs die eines Sterns 10. Größe und nahm fortwährend ab, sodaß am Mitte März nur etwa $\frac{1}{2}$ der ursprünglichen Helligkeit beizulegen wird.

Der Willamette-Meteorit. Dieser Meteorit wurde schon Ende 1902 von E. Hughes gefunden und zwar am Rande von Clackamas County, Oregon, er ist aber erst später bekannt geworden. Der Willamette-Meteorit hat ein Gewicht von 135 tons (nach anderer Schätzung von 182 tons). Wundfeld fand 91.06% Eisen, 8.30% Nickel, Dawson 91.65% Eisen, 7.66% Nickel, 0.21% Kobalt, 0.09% Phosphor. Der Dichte ist 7.7. Der Länge der Masse ist 3 m, die Breite 2.15 m, die Höhe 1.25 m. Merkwürdig ist, daß durch die ganze Masse 8 Löcher von oben nach unten gehen. Die Bildung der Löcher und die Entstehung der eigenartigen Oberfläche wird einem Abschreiben durch die Bohrung in der Luft beim Falle zugeschrieben (?). Die Willamette-Meteoriten Figuren lassen sich nachweisen. Auch Stücke der oxidierten Schale wurden gefunden. (Eng and Min. Journ. 1905, 34, 673.)

Fernrohre für Freunde der Himmelsbeobachtung. Aus dem Lagerhaus des „Sirius“ sind eine mehrere größere und kleinere sehr gut erhaltene Fernrohre zum Verkauf angeboten worden. Freunden der Himmelsbeobachtung, welche die Anschaffung eines solchen Instrumentes beabsichtigen und sich desselben zu nicht weniger, als ich zu jeder gewünschten Auskunft bereit. Prof. Dr. Klein.

*) Chemikerzeitung-Experimentum, 5. 20

Astronomischer Kalender für den Monat Mai 1906.

Tag des Monats	Sonne						Mond					
	Mittern. Perigon Mittag			Mittern. Perigon Mittag			Mittern. Perigon Mittag			Mond im Perigon		
	Zeitgl. M.L. — W.L.	Rektascension	Declination	Rektascension	Declination	Rektascension	Rektascension	Declination	Rektascension	Declination	Mond im Perigon	
1	h m s	h m s	° ' "	h m s	° ' "	h m s	h m s	° ' "	h m s	° ' "	h m s	
1	5 54 00	5 59 57 00	+44 48 5 4	5 59 57 00	+47 46 15 4	5 59 57 00	5 59 57 00	18 18 17 4	5 59 57 00	18 18 17 4	5 59 57 00	
2	5 54 04	5 59 58 00	44 48 5 4	5 59 58 00	47 46 15 4	5 59 58 00	5 59 58 00	18 18 17 4	5 59 58 00	18 18 17 4	5 59 58 00	
3	5 54 08	5 59 59 00	44 48 5 4	5 59 59 00	47 46 15 4	5 59 59 00	5 59 59 00	18 18 17 4	5 59 59 00	18 18 17 4	5 59 59 00	
4	5 54 12	5 59 60 00	44 48 5 4	5 59 60 00	47 46 15 4	5 59 60 00	5 59 60 00	18 18 17 4	5 59 60 00	18 18 17 4	5 59 60 00	
5	5 54 16	5 59 61 00	44 48 5 4	5 59 61 00	47 46 15 4	5 59 61 00	5 59 61 00	18 18 17 4	5 59 61 00	18 18 17 4	5 59 61 00	
6	5 54 20	5 59 62 00	44 48 5 4	5 59 62 00	47 46 15 4	5 59 62 00	5 59 62 00	18 18 17 4	5 59 62 00	18 18 17 4	5 59 62 00	
7	5 54 24	5 59 63 00	44 48 5 4	5 59 63 00	47 46 15 4	5 59 63 00	5 59 63 00	18 18 17 4	5 59 63 00	18 18 17 4	5 59 63 00	
8	5 54 28	5 59 64 00	44 48 5 4	5 59 64 00	47 46 15 4	5 59 64 00	5 59 64 00	18 18 17 4	5 59 64 00	18 18 17 4	5 59 64 00	
9	5 54 32	5 59 65 00	44 48 5 4	5 59 65 00	47 46 15 4	5 59 65 00	5 59 65 00	18 18 17 4	5 59 65 00	18 18 17 4	5 59 65 00	
10	5 54 36	5 59 66 00	44 48 5 4	5 59 66 00	47 46 15 4	5 59 66 00	5 59 66 00	18 18 17 4	5 59 66 00	18 18 17 4	5 59 66 00	
11	5 54 40	5 59 67 00	44 48 5 4	5 59 67 00	47 46 15 4	5 59 67 00	5 59 67 00	18 18 17 4	5 59 67 00	18 18 17 4	5 59 67 00	
12	5 54 44	5 59 68 00	44 48 5 4	5 59 68 00	47 46 15 4	5 59 68 00	5 59 68 00	18 18 17 4	5 59 68 00	18 18 17 4	5 59 68 00	
13	5 54 48	5 59 69 00	44 48 5 4	5 59 69 00	47 46 15 4	5 59 69 00	5 59 69 00	18 18 17 4	5 59 69 00	18 18 17 4	5 59 69 00	
14	5 54 52	5 59 70 00	44 48 5 4	5 59 70 00	47 46 15 4	5 59 70 00	5 59 70 00	18 18 17 4	5 59 70 00	18 18 17 4	5 59 70 00	
15	5 54 56	5 59 71 00	44 48 5 4	5 59 71 00	47 46 15 4	5 59 71 00	5 59 71 00	18 18 17 4	5 59 71 00	18 18 17 4	5 59 71 00	
16	5 55 00	5 59 72 00	44 48 5 4	5 59 72 00	47 46 15 4	5 59 72 00	5 59 72 00	18 18 17 4	5 59 72 00	18 18 17 4	5 59 72 00	
17	5 55 04	5 59 73 00	44 48 5 4	5 59 73 00	47 46 15 4	5 59 73 00	5 59 73 00	18 18 17 4	5 59 73 00	18 18 17 4	5 59 73 00	
18	5 55 08	5 59 74 00	44 48 5 4	5 59 74 00	47 46 15 4	5 59 74 00	5 59 74 00	18 18 17 4	5 59 74 00	18 18 17 4	5 59 74 00	
19	5 55 12	5 59 75 00	44 48 5 4	5 59 75 00	47 46 15 4	5 59 75 00	5 59 75 00	18 18 17 4	5 59 75 00	18 18 17 4	5 59 75 00	
20	5 55 16	5 59 76 00	44 48 5 4	5 59 76 00	47 46 15 4	5 59 76 00	5 59 76 00	18 18 17 4	5 59 76 00	18 18 17 4	5 59 76 00	
21	5 55 20	5 59 77 00	44 48 5 4	5 59 77 00	47 46 15 4	5 59 77 00	5 59 77 00	18 18 17 4	5 59 77 00	18 18 17 4	5 59 77 00	
22	5 55 24	5 59 78 00	44 48 5 4	5 59 78 00	47 46 15 4	5 59 78 00	5 59 78 00	18 18 17 4	5 59 78 00	18 18 17 4	5 59 78 00	
23	5 55 28	5 59 79 00	44 48 5 4	5 59 79 00	47 46 15 4	5 59 79 00	5 59 79 00	18 18 17 4	5 59 79 00	18 18 17 4	5 59 79 00	
24	5 55 32	5 59 80 00	44 48 5 4	5 59 80 00	47 46 15 4	5 59 80 00	5 59 80 00	18 18 17 4	5 59 80 00	18 18 17 4	5 59 80 00	
25	5 55 36	5 59 81 00	44 48 5 4	5 59 81 00	47 46 15 4	5 59 81 00	5 59 81 00	18 18 17 4	5 59 81 00	18 18 17 4	5 59 81 00	
26	5 55 40	5 59 82 00	44 48 5 4	5 59 82 00	47 46 15 4	5 59 82 00	5 59 82 00	18 18 17 4	5 59 82 00	18 18 17 4	5 59 82 00	
27	5 55 44	5 59 83 00	44 48 5 4	5 59 83 00	47 46 15 4	5 59 83 00	5 59 83 00	18 18 17 4	5 59 83 00	18 18 17 4	5 59 83 00	
28	5 55 48	5 59 84 00	44 48 5 4	5 59 84 00	47 46 15 4	5 59 84 00	5 59 84 00	18 18 17 4	5 59 84 00	18 18 17 4	5 59 84 00	
29	5 55 52	5 59 85 00	44 48 5 4	5 59 85 00	47 46 15 4	5 59 85 00	5 59 85 00	18 18 17 4	5 59 85 00	18 18 17 4	5 59 85 00	
30	5 55 56	5 59 86 00	44 48 5 4	5 59 86 00	47 46 15 4	5 59 86 00	5 59 86 00	18 18 17 4	5 59 86 00	18 18 17 4	5 59 86 00	
31	5 56 00	5 59 87 00	44 48 5 4	5 59 87 00	47 46 15 4	5 59 87 00	5 59 87 00	18 18 17 4	5 59 87 00	18 18 17 4	5 59 87 00	

Planetenkonstellationen 1906.

Mon.	Tag	12h	Planet in Konstellation mit dem Mond. Bedeutung.
+	1	12	Merkur in größter westlicher Elongation 10° 44'
+	1	2	Venus in Konstellation mit Mars. Venus 1° 5' süd
+	11	18	Venus in Konstellation mit Jupiter. Venus 1° 11' süd
+	12	14	Merkur in größter östlicher Elongation. 10° 44'
+	17	18	Jupiter in Konstellation mit dem Mond. Bedeutung.
+	22	2	Mars in Konstellation mit Jupiter. Mars 1° 1' süd
+	22	2	Merkur in Konstellation mit dem Mond.
+	23	22	Jupiter in Konstellation mit dem Mond.
+	24	2	Mars in Konstellation mit dem Mond.
+	25	2	Venus in Konstellation mit dem Mond.
+	26	2	Venus im Perigon
+	30	2	Merkur in Konstellation mit dem Mond. Bedeutung.

Stellungen der Jupitermonde im Mai 1908.



Stellungen um 24 Uhr für den Anblick im astronomischen Fernrohr.

Tag	West.	Ort.
1		☉ 2 1, 1
2	☉ 2	☉ 4
3	☉ 2	☉ 2
4	☉ 2	☉ 2
5	☉ 2	☉ 2
6	☉ 2	☉ 2
7	☉ 2	☉ 2
8	☉ 2	☉ 2
9	☉ 2	☉ 2
10	☉ 2	☉ 2
11	☉ 2	☉ 2
12	☉ 2	☉ 2
13	☉ 2	☉ 2
14	☉ 2	☉ 2
15	☉ 2	☉ 2
16	☉ 2	☉ 2
17	☉ 2	☉ 2
18	☉ 2	☉ 2
19	☉ 2	☉ 2
20	☉ 2	☉ 2
21	☉ 2	☉ 2
22	☉ 2	☉ 2
23	☉ 2	☉ 2
24	☉ 2	☉ 2
25	☉ 2	☉ 2
26	☉ 2	☉ 2
27	☉ 2	☉ 2
28	☉ 2	☉ 2
29	☉ 2	☉ 2
30	☉ 2	☉ 2
31	☉ 2	☉ 2

Wegen Nähe bei der Sonne ist Jupiter und seine Monde
vom 14. Mai bis 3. Juli nicht zu beobachten.

Ercheinungen der Jupitermonde. Die sämtlichen Angaben über die Erscheinungen der Jupitermonde beziehen sich auf mittlere Zeit von Greenwich. Die Trabanten sind der Reihenfolge ihres Abstandes vom Jupiter nach III bis IV bezeichnet. Die vier größten Figuren zeigen die Stellung jedes Mondes mit Bezug auf den Jupiter für den Augenblick der Verfinsternng ϕ oder des Wiedererscheinens ω bei r nicht angegeben, so kann der Abstand aus dem Schutten nicht beobachtet werden. Ferner bedeutet bei den nachfolgenden Zeitangaben:

- ϕ D den Verschwinden des Trabanten im Schatten des Jupiter.
- ω E den Austritt des Trabanten aus dem Schatten des Jupiter.
- ϕ D den Verschwinden des Trabanten hinter der Jupiterscheibe.
- ω E den Wiederauftreten des Trabanten vor der Jupiterscheibe.
- τ I den Eintritt des Trabanten vor die Jupiterscheibe.
- τ E den Austritt des Trabanten aus der Jupiterscheibe.
- ϕ I den Eintritt des Trabanten in die Jupiterscheibe.
- ϕ E den Austritt des Trabanten aus der Jupiterscheibe.

Es sind nur diejenigen Erscheinungen der Jupitermonde aufgeführt, welche sich r eignen, wenn Jupiter zu Greenwich über und die Sonne außer dem Horizont steht. Um die Momente dieser Erscheinungen nach mittelschöpischer Zeit zu finden, so man nur nötig, 1^h zu den angegebenen Zeitpunkten zu addieren.

Mal 2. II ϕ 4. 47. 10^h. II τ E 4. 47. 41^h. Mal 3. III ϕ 5. 7. 10^h 11. I τ E 7. 17. 10^h. I ϕ 7. 17. 10^h. Mal 4. I ϕ 8. 7. 40^h 10^h. Mal 5. II ϕ 8. 7. 40^h 11^h.

Stellungen der Saturnmonde. (Erklärung S. 20.)

Zeiten der südlichen Elongation im Mai 1906.

Tethys. Mal 2. 47^h; Mal 3. 11^h; Mal 4. 10^h; Mal 5. 10^h; Mal 6. 10^h; Mal 11. 12^h; Mal 12. 10^h; Mal 13. 10^h; Mal 14. 10^h; Mal 15. 10^h; Mal 16. 10^h; Mal 17. 10^h; Mal 18. 10^h; Mal 19. 10^h; Mal 20. 10^h; Mal 21. 10^h; Mal 22. 10^h.

Dione. Mal 2. 10^h; Mal 3. 7^h; Mal 4. 10^h; Mal 5. 10^h; Mal 6. 10^h; Mal 11. 10^h; Mal 12. 10^h; Mal 13. 10^h; Mal 14. 10^h; Mal 15. 10^h; Mal 16. 10^h; Mal 17. 10^h; Mal 18. 10^h; Mal 19. 10^h; Mal 20. 10^h; Mal 21. 10^h; Mal 22. 10^h.

Rhea. Mal 2. 10^h; Mal 3. 10^h; Mal 4. 10^h; Mal 5. 10^h; Mal 6. 10^h; Mal 11. 10^h; Mal 12. 10^h; Mal 13. 10^h; Mal 14. 10^h; Mal 15. 10^h; Mal 16. 10^h; Mal 17. 10^h; Mal 18. 10^h; Mal 19. 10^h; Mal 20. 10^h; Mal 21. 10^h; Mal 22. 10^h.

Titan. Mal 2. 10^h S; Mal 3. 10^h E; Mal 4. 10^h S; Mal 5. 10^h S; Mal 6. 10^h S; Mal 11. 10^h S; Mal 12. 10^h S; Mal 13. 10^h S; Mal 14. 10^h S; Mal 15. 10^h S; Mal 16. 10^h S; Mal 17. 10^h S; Mal 18. 10^h S; Mal 19. 10^h S; Mal 20. 10^h S; Mal 21. 10^h S; Mal 22. 10^h S.

Japetus. Mal 11. 10^h S; Mal 12. 10^h S.

Mehrere größere und kleinere

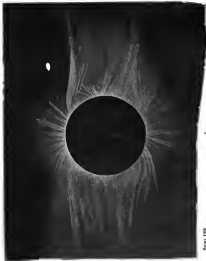
astronomische Fernrohre

sind sehr preiswürdig zu verkaufen. Beobachtungen wollen sich wegen näherer Mitteilungen zu nach wenden.

Prof. Dr. Hermann J. Klein in Köln-Lindenthal.

Verkauft von Prof. Dr. Hermann J. Klein in Köln-Lindenthal — Druck von Oskar Loewen in Leipzig.

Abgegeben am 2. März 1906.



SIRIUS.

Zeitschrift für populäre Astronomie.

Centralorgan für alle Freunde und Förderer der Himmelskunde.

Herausgegeben

unter Mitwirkung hervorragender Fachmänner und astronomischer Schriftsteller

von Prof. Dr. Hermann J. Klein in Köln

April 1906.

„Wissen und Erheben aus der Ferne und die
Bewehrung der Menschheit.“ — Koenigs

Jeden Monat 1 Heft. — Jährlich 12 Mk.

Verlag von EDUARD HEINRICH MAYER in Leipzig.

INHALT: Die zentralen Teile des Orionnebels. (Hierauf folgt V). S. 73. — Der Physik der Sonne. S. 75. — Das Spektrum der Sonnenflecken. S. 80. — Untersuchungen über die Helligkeitsveränderungen der vier großen Jupitertrabanten. (Zuletzt): S. 83. — Persönliche Veränderungen der Größe des Lichtkörpers um den Monden der Luft. S. 84. — Astronomische Untersuchungen des Sonnenflecken. S. 84. — Die von astronomischen Veränderungen. S. 86. — Planetenbildung und Theorie. S. 90. — Veränderte Nachrichten. S. 91. — Literatur. S. 95. — Stellung der Sonnenwelt. S. 94. — Astronomischer Kalender. S. 95.

Die zentralen Teile des Orionnebels.

Von H. Lau-Kopenhagen.

(Hierauf folgt V).

Einer der ausgezeichneten Beobachter ist wohl der Interplanetarische der große Nebel im Orion. Über den zentralen Teil dieses geschweiften Nebels besitzen wir aus der Zeit von 1824 bis 1828 eine Reihe von Monographien, die Prof. Holden in seinen bekannten Werke zusammengestellt hat. Die vorliegende Darstellung des zentralen Teiles (Teil V) habe ich in dem Jahre 1905 bis 1906 am 18-Zoller der Uransternwarte zu Kopenhagen angefertigt.

Die Vergleichung meiner Darstellung mit d'Ancora's Monographie aus dem Jahre 1865 bis 1871 zeigt deutlich, daß im zentralen Teile des Nebels seit 1811 keine größeren Veränderungen

eingetreten sind. Auffallend ist es indessen, daß die vorhandenen Abweichungen gerade zwei Gegenden betreffen, die schon früher von Otto Struve nach Beobachtungen am Pulskowen 15-Zoller als der Veränderlichste vorzüglich bezeichnet sind, nämlich den Nebel zwischen den Trapezestern und die Gegend um Polaris Secunda.

Der nördliche Zentralteil des Orion ist jetzt in Lichterbel eingehüllt. Nach D'Ancora, Bond, Ross und Lippmann lag der Orion früher in einer fast unbefleckten Gegend, während Langer und Schuster Nebel zwischen den Trapezestern entdeckten. Nach Otto Struve unterliegt die Helligkeit dieses Nebels

sehr beleuchteten Schneefunkungen; an mehreren Abenden land er den Nebel zwischen den Trichterhöhen ebenso hell wie die glänzenden Teile der Regio Hugeniana.

Nördlich von P. Celsus liegt unser Instrument eines fast nebellosen Fleck, der mit den dunklen Streifen zwischen den schwachen Ausläufern der Regio Proclivis (?) in Verbindung steht. Dieser Fleck ist höchstwahrscheinlich der verschwundene Polus Secchi (2) Struve entdeckte diesen 1857 als einen

schwarzen Fleck von 16" Durchmesser. Anfangs 1858 war dieser Fleck schon weit weniger dunkel, und später konnte D'Arrest ihn nicht mehr entdecken, obwohl Struve unter Lupenmikroskopisch fragend sah. Statt Polus Secchi hat D'Arrest hier eine dreieckige Neb-

ebene, welche die glänzende Regio Hugeniana (?) von den schwachen fächerförmigen Nebelstreifen der Regio Proclivis scharf abgrenzt. Wegen seiner unbedingten Verbindungen verdient diese Gegend unbedingt an großer Reichtum ständige Überwachung.

In der hellen Nebelmasse der Regio Hugeniana schneidet sich Sinus Magnus (4) tief ein. Ein schwaches Nebelband, Pons Scheller (5), geht quer über den Sinus Magnus. Der innere Teil des

Sinus Magnus ist mit einem kleinen Nebelackener gefüllt, der häufiger als der größte sichtbar. Man bemerkt am nördlichen Rande einen kleinen Strich, die sog. Nebula minima. Pons Scheller (5) ist wegen seiner Variabilität bekannt. 1797 entdeckte Scheller den Streifen beim ersten Blick durch das Teleskop, 1798 war es ihm vollständig den Streifen zu sehen. Herschel sah den Streifen nahezu vollständig, Lamont (1837) und Laperouse (1847 bis 1851) sahen dagegen nur einen pyramidalen Auswurf am nördlichen

Rande. Otto Struve und D'Arrest beobachteten ähnliche typische Veränderungen wie Scheller beobachtet zu haben.

Nördlich von Pons Scheller bemerkt man den auch von Scheller entdeckten Locus Lacryosus (6). Die Lage der drei kleinen Sterne gegen den Nebel hat sich, trotzdem von

D'Arrest und Scheller beobachteten Helligkeitsveränderungen, seit 1797 nicht verändert. Wie D'Arrest bemerkt, haben die alten Gestalten später oder früher zurück.

Das gilt ebenfalls von Sinus Laperouse (7) an der Westseite der Regio Hugeniana. Diese Nacht fehlt in Herschels Darstellung von 1824; Lamont entdeckte sie 1837 und 1858 beschrieben Struve und Laperouse den Sinus Magnus als sehr dunkel, be-



1 Regio Proclivis, 2 Polus Secchi, 3 Regio Hugeniana, 4 Sinus Magnus, 5 Pons Scheller, 6 Locus Lacryosus, 7 Sinus Laperouse.

sehr völlig schwarz. 1857 war Sirs Linnest indessen wieder mit Nebel gefüllt und 1861 vermehrte Stern nur mit Mühe seine Umrisse zu erkennen. Der Nebel im Stern Linnest ist gewöhnlich schwächer und die Sicht ist nicht schwierig zu sehen. Linnest fand Sirs Linnest von zwei hunderttausend Nebelsternen umgeben, die jetzt kaum angedeutet ist.

Im südlichen Teil des Nebels befindet sich ein System von dunklen Streifen, welche den Nebel in mehrere ringförmige Massen teilen. Diese Formationen sind bei Linnest und Herschel nur als unbestimmte Nebelstellen angedeutet. Westlich von Sirs Linnest befindet sich zwei hunderttausend Nebelsternen, welche eine dunkle Nacht einschließen. Auch diese Nacht scheint der Veränderlichkeit unter

worfen zu sein. Der Nebel ist zu vollständig mit Nebel erfüllt.

Die gewöhnlichen Nebelsternen (Protonen) zeigen und zeigen, welche von dem Nebel gegen Süden liegen, lassen sich nicht bis zu dem Janssen verfolgen. Ob dieser Nebel mit den Streifen der Sirs Messurum (zwischen den Protonen) in Verbindung steht, ist sich am 10-Zeller nicht entscheiden. Das Netzwerk der Nebelsternen wird schon in einiger Entfernung außerordentlich schwach. Ebenso schwierig ist es über die Struktur des Nebels zu sprechen. Das Studium der schwächeren Teile des großen Nebels lag übrigens auch außerhalb meiner Pläne. Meine Absicht war nur nur mit den älteren Monographien vergleichbare Darstellung des stärksten Teils zu liefern.

Zur Physik der Sonne.

Vortrag im Verein für vaterl. Naturkunde in Stuttgart.

Von Prof. Dr. Aug. Schmidt.¹⁾

Für Anfang physikalischer Untersuchung der Sonne fällt in den Beginn des 17. Jahrhunderts. Im Jahre 1611 hat der jesuitische Schüler die erste Beobachtung eines Sonnenflecks gemacht. Die dunklen Flecken der Sonne und die sie begleitenden hellen Partikel sind die deutlichen Anzeichen dafür, daß die Sonne keine Scheibe, kein Rad am Wagen des Sonnengottes, sondern eine um ihre Achse rotierende Kugel ist, ausstrahlend eine Hölle oder glühige Kugel, denn die Zeit der Achsenrotation ist nicht, wie bei einem leeren Körper, in allen Teilen gleich, sondern ist am Äquator (25 Tage) am Äquator und wächst mit zunehmender Entfernung von diesem, so daß sie z. B. in 35° der Breite 36 Tage beträgt.

Die Möglichkeit der neuen Entdeckung hat das sieben erfundene

Feinrohr. Alle weiteren Fortschritte der Sonnenphysik sind im wesentlichen an die Erfindung neuer Beobachtungsinstrumente und an deren wirksame Vervollkommenung gebunden. Das heutige Feinrohr liegt an den Flecken und Partikeln die Erscheinungen der Scheibe und die Erscheinungen am Rand, nämlich die den Rand umgebende Chromosphäre, das Ansehen einer der wüßschützenden Ball umhüllenden glühenden Atmosphäre von weniger hoher Temperatur, diese wechselnde, bald ruhige, bald langsame ausbrechende und wieder verschwindende Hervorhebungen, die Protuberanzen, und eine bei tiefen Finsternissen die dunkle Scheibe umhüllende Hal in einem Silberglanz, die Korona, welche die Sonne in den Weltraum herausragende unregelmäßig verteilter Strahlenkraft darstellt.

Das Spektroskop enthält uns die chemische Beschaffenheit jener inneren

¹⁾ Aus Jahrbuch der Vereins f. vaterl. Naturkunde in Württemberg von H. Voss, Stuttgart.

und teilweise der äußeren Atmosphäre in den dunklen Fraunhofer'schen Linien, die das Spektrum des weißen Sonnenlichtes durchbohren und in dem helles, die dunklen Linien umfahrenden Emissionsspektrum der Chromosphäre, es gibt uns zugleich Aufschluß über gewaltige Störbewegungen mit einigen Hunderten von Kilometern Geschwindigkeit innerhalb der Ovale der Flecken und der Protuberanzen.

Die verschiedenen Strahlungsarten, Aktinometer, besonders das Photometer und das Bolometer in Verbindung mit dem Spektrographen, geben eine Analyse des Sonnenlichtes je nach der Stärke, welche nicht nur den verschiedenen im weißen Licht gemischten Farben, sondern auch der unsichtbaren Wärmestrahlung und der chemischen Strahlung zukommt. Sie lassen heute die früher in weißen Gimmis schwankenden Temperaturschätzungen der Sonne auf die gegenwärtigen von etwa 5%, bei 7%, Tausend Grad einschränken.

Ganz besonders Entdeckungen haben uns ferner die Magnetometer, die Instrumente, welche nur Beobachtung der magnetischen Zustände der Erde dienen. Die fortschreitende Verfeinerung dieser Beobachtungen und ihre statistische Vergleichung mit dem Aufsteigen der Sonnenflecken, haben nicht nur die Übereinstimmung einer 11-jährigen Periode in der Zu- und Abnahme der beobachteten Erscheinungen, sondern eine ganz besondere Art von langsamer Wechselwirkung lassen geföhrt zwischen den Flecken oder vielleicht besser den die Flecken begleitenden Packeln der Sonnenscheibe und gewissen Veränderungen des Erdmagnetismus. Man hat nämlich zahlreich solcher Veränderungen zu unterscheiden, solche, die an allen Orten der Erde gleichzeitig auftreten, und solche, die eine Wanderung von Ort zu Ort zeigen oder die an verschiedenen Orten verschiedener Art sind. Die ersten sind es, welche mit den Sonnenerschütterungen im Zusammenhang stehen. Merkeldrögenweise sind

der magnetische Einfluß einer Packel nur dann richtig, wenn diese dem der Erde gegenüberliegenden Meridian der Sonne auskeimst. Man bekommt das Bild eines gewaltig ausgebreiteten magnetischen Feldes, in welchem die Sonne mit den Planeten eingetaucht ist und welches stets auf derjenigen Seite der Sonne Veränderungen erleidet, auf welcher die Störungen in der Sonnenatmosphäre auftreten. Nach Riech brauchen diese Störungen, um von der Sonne zur Erde zu gelangen, etwa zwei Tage Zeit.

Indessen, nicht bloß die Vermehrung und Verfeinerung der Beobachtungen mit Fernrohr, Spektroskop, Aktinometer und Magnetometern bereichern unser Erkenntnis. Alle beobachteten Erscheinungen müssen an der Hand der allgemeinen physikalischen Gesetze geprüft, vorläufige Hypothesen müssen kritisch geprüft und zudem möglichen Hypothesen gegenübergestellt werden.

Der Astronom, welcher die Entfernung (150 Millionen Kilometer) und Größe (Durchmesser gleich 108 Erd-durchmessern) der Sonne bestimmt, wendet die Gesetze der Geometrie auf die Beobachtungen an. Die Kenntnis der Masse der Sonne, welche die unserer Erde 324000 mal übertrifft, verdankt uns der Anwendung der Gesetze der Mechanik auf die Bahnbewegungen der Erde und der Planeten. Die Abwägung der früheren Temperaturschätzungen, die bis zu Hunderttausenden von Graden reichten, Werte, welche nur noch den bei liegenden inneren Massen zugehörten werden könnten, wurde möglich durch das in neuerer Zeit entdeckte allgemeine Gesetz über Temperatur- und Wellenlängen des ausgetretenen Lichtes, ein Gesetz, welches das Verfahren der Fotometrie, aus der Farbe der Glut die Temperatur zu schätzen, auf den exakten mathematischen Ausdruck bringt. Jede beobachtete Erscheinung ist nur dann befriedigend erklärt, wenn wir sie als Ausdruck der

an den irrlischen Naturvorstellungen gehörigen Gesetze erkennen.

Zu den Versuchen die physikalischen Gesetze auf die Erscheinungen an der Sonne anzuwenden, reichte ich auch die Folgerungen, welche sich nur aus dem Gesetze der Lichtbrechung für die Deutung der am Sonnenrande beobachteten Erscheinungen ergeben haben. In der Zeit von 14 Jahren seit mehren andern Veröffentlichungen haben meine Vorstellungen sich wechselnd Anerkennung selbst. Die allgemeine Anerkennung besonders von Seiten der Astronomen von Fach worden Sie verdienstlich, wenn ich Ihnen durch eine, so gut ich es machen kann, populäre Auseinandersetzung der Hauptpunkte der Theorie zeige, zu welcher folgenschweren weiteren Ausdehnung die zunächst rein grundsätzlichen optischen Ergebnisse am ehesten, Ananahen, die vorred den Eindruck gewisser neuer Hypothesen zu machen geeignet sind.

Angesichts von dem Gesetze der Brechung vermute ich zunächst an einen bekannten Versuch, dem ich nachher eine wichtige Erweiterung zu geben beabsichtige. Bringe ich eine Münze auf den Boden einer Schüssel und stelle mich so auf, daß der Rand der Schüssel meinem Auge die Münze verdeckt, so kann ich dieselbe sichtbar machen, wenn ich in die Schüssel bis zu genügender Höhe Wasser eingieße. Der glatte Grund der Schüssel erhält eine scheinbare, aber optische, Erhebung jeder von einem dichterem in ein dünneres Mittel überstehende Lichtstrahl, mit Ausnahme des genau zur Trennungslinie senkrechten, erfährt beim Übertritt eine Richtungsänderung, die um so größer wird, je weiter ein Strahl von der senkrechten Richtung abweicht. Zwischen dem Strahl des Winkels der ersten und zweiten Strahlrichtung besteht ein festes Verhältnis, das für jeden Paar von Mitteln seinen besonderen Wert hat, je nach der Wellenlänge des Lichts liegt etwas verschiedener Wert, für den Übergang von Luft in Wasser

z. B. den ungetrübten Wert $\frac{4}{3}$. Die Wirkungen der Lichtbrechung begreifen uns bei alltäglichen Erscheinungen. Die Sonne und die Gestirne gehen alle einige Minuten früher auf und einige Minuten später unter, als sie bei geradliniger Fortpflanzung ihres Lichtes tun würden, denn die Atmosphäre der Erde bildet ein unten dichteres, oben dünneres Mittel, in welchem die Lichtstrahlen unendlich oft, scheinlich wenig gebrochen nach unten schwach konkave Linien darstellen. Jeder Blick durch eine Fernsichtbrille trägt uns in Folge der Unregelmäßigkeiten des Glases verzerrte Bilder der Außenwelt. Unser Thermometer und Barometer flutschen um $\frac{1}{2}^\circ$, weil so dicke Quecksilbersäulen vor, als sie anfallen, das dickwandige Becherglas, wenn gefüllt, scheint gar keine Windstöße mehr zu haben. Eine Hohlkugel aus Glas, in zwei Hälften zerlegt, deren untere eine äußere Rinde mit wie 2:3 verhält, auf den inneren vergliden, trägt zusammengelegt das Bild einer vollen Goldkugel. Besonders sind es viele seltsame Naturerscheinungen, welche, wie der Regenbogen, der Brechung des Lichts entspringen.

Aus dem unmittelbaren Bilde der Sonne unter Berücksichtigung der Entfernung von der Erde, ergibt sich als Radius der weißleuchtenden Oberfläche des Sonnenballs, der Photosphäre, der 108fache Erdradius, als Höhe der im Puparicht glühenden Atmosphäre ungefähr der einfache Erdradius, als größte Höhen allseitig aufsteigender Koronastrahlen der vierfache Sonnenradius. Sollten nicht auch diese Abmessungen durch die Lichtbrechung bedingt sein? Ich habe dem Brechungsgesetz entsprechend gezeigt, daß die Höhe für die Photosphäre und für die Chromosphäre, je, daß die ganze dem Ausblick entsprechende Trennung dieser zwei Teile auf nichts als einer ungerichteten Verwischung von Schein und Wirklichkeit beruhe. Man schreibt der Photosphäre und der Chromosphäre

zusetztes Aggregatzustande zu, sondern dem flüssigen oder gar festen, etwa in Form glühenden Staubes, entgegens allen der Wärmeleitfähigkeit und dem Barometrischen abweichenden Erwartungen, nach welchem eine Masse von 5000 Grad Temperatur in keinem andern als im Gaszustand mit auch außen stetig und allmählich abnehmender Dichte existieren kann. Erst in den höheren Schichten der Chromosphäre und der Korona kann an Kondensatoren gedacht werden.

Die Geometrie der Lichtbrechung sagt unzweifelhaft, daß ein glühender Gasball uns gar kein anderes Bild geben kann, als eine sehr scharf begrenzte Begrenzung zwischen einem unendlich dünnen weißglühenden und einem durchsichtigen rotglühenden bis unsichtbaren Teil. Fassen wir, um das zu begreifen, das zu unserem Auge kommenden Lichtstrahlen in ihrer umgekehrten Richtung auf als Schichtbündel, welche vom Auge ausgehen. Der am Rande des Gasball durchbrechende Schichtstrahl tritt nur sehr wenige der Brechung in einem guten die Mitte des Gasballs konzentrischen Lage. Um so stärker wird die Krümmung, je näher der Strahl dem dichteren Schichten kommt. Nur schwach gebrochene Strahlen gehen daher unter kleiner Ablenkung durch die äußeren Schichten hindurch bis zu einem Grenzstrahl, innerhalb dessen alle andern durch die zu starke Krümmung nach innen, nach der weißglühenden Schichten abgelenkt werden. Es ist ein ähnliches Verhalten, wie bei den der Erdumkreisung verfallenden Meteorsteinen. Die outer, höheren, durchbrechenden die Erdatmosphäre und gehen wieder fast auf Meeresspiegelniveau, die andern, zu nahe kommenden, schwarzen Bahnen, welche die Erdoberfläche treffen und dringen in dieselbe ein. Ein solcher Unterschied der Strahlenablenkung bedingt für das Ansehen der Sonne die scharfe Begrenzung zwischen Photosphäre und Chromosphäre.

Dabei begreift sich zugleich, daß der gegen die Sonne konstante Grenz-

strahl uns auch den Ort, in welchem er die Grenzschicht erreicht, sehr genau dieses Ort die kritische Sphäre, weiter von der Sonnenmitte entfernt anzuweisen läßt, als er sich befindet. Der weißglühende Kern von uns unbekannter Ausdehnung, scheint sich in der kritischen Sphäre zu erheben und wird noch mit dieser Sphäre optisch verknüpfen lassen Auge dargestellt. Der Versuch, die Dichte des Gases am Ort der kritischen Sphäre der Sonne zu berechnen, läßt unter der Annahme, daß das Gas sich in Beziehung auf die Lichtbrechung wie die Luft der Erde verhalte, auf eine 25-mal kleinere Dichte als diejenige der Luft an der Erdoberfläche.

Mit dieser Grundanschauung über die nur scharfe, nur optische, Existenz des schwebenden Sonnenrandes, verbindet sich nun folgerichtig auch die optische Deutung der in diesem Rand beobachteten außerordentlichen Erscheinungen, nicht bloß des Auftretens kleiner Ausbuchtungen und Erhebungen des Randes der weißen Scheibe, sondern auch außerordentlicher Lichterscheinungen außerhalb des Randes, der sogenannten Protuberanzen, von welchen ich sagte, daß mindestens ein Teil derselben sich einfach als eine Art von Luftverfärbungen erklären lassen, erfolgt unregelmäßiger und veränderlicher Dichteverhältnisse der durchstrahlten Atmosphäre. Die Frage, wie weit man Erklärungsgrund für die Protuberanzen suchen kann, muß natürlich offen bleiben. Die Hauptursache gegen diese Erklärungsweise war der die hochaufliegenden Protuberanzen zeigen bei der spektroskopischen Prüfung ihres Lichtes das manchmal auf sehr große Geschwindigkeit der fortschreitenden Substanz hindeutende Linienverschlingung, Geschwindigkeiten der glühenden Gas bis zu 400 und mehr Kilometer in der Sekunde. Es ist viel wahrscheinlicher, daß so große Geschwindigkeiten in den oberen Gasen herrschen, so wie die Protuberanzen sehen, als in den

sehen, aus welchen das Licht hervorgeht, wenn die Probenmassen Lichtgefangenen wären. Allein dieser Einwand, den z. B. noch Arhenius in seiner im Jahre 1893 erschienenen kosmischen Physik geltend macht, ist seit mehreren Jahren hinfällig.

Schon im Jahre 1825 hat Deslaires gezeigt, daß nicht nur durch die Bewegungen der Lichtquellen, sondern auch durch diejenigen der das Licht durchbrechenden Körper, Verschiebungen der Spektrallinien erzeugt werden, und in den Jahren 1901 und 1904 haben Michelson und Pege dieselbe von den das Licht brechenden Substanzen nachgewiesen. Bei genügend kleinem Winkel der Strahlen zur der Richtung, in welcher die brechenden Massen geschoben sind, kann die Lichtverschiebung sogar so groß werden, daß sie nach der gewöhnlichen Erklärungswelt auf eine größere Geschwindigkeit der brechenden Massen schließen müßte, als sie die lichtbrechenden Substanzen tatsächlich besitzen. Hochabsteigende Wirbel und Wellenbewegungen in den leichten und dünnen Kosmosgasen sind geeignet, Schlieren zu bilden, innerhalb deren die aufgewühlten sternverwirbelten Chromosphärenzone der Tiefe aus hoch schwebende Luftgefangenen erzeugen mit Lichtverschiebungen, die weit mehr und größerer Geschwindigkeiten vorzuziehen.

Folgt der Blendung unseres Auges durch das direkte Sonnenlicht, erscheint uns die Sonnenscheibe in durchaus gleichem Glanze in allen ihren Teilen. Erst die Anwendung von Gläsern bei der Beobachtung oder auch die Projektion eines Sonnenbildes auf einen Schirm, läßt neben den Flecken, Fackeln und Körnern auch noch eine gleichmäßige Abnahme der Helligkeit der Scheibe von der Mitte nach dem Rande zu erkennen. Diese Verschiedenheit der Strahlungsstärke der Sonne je nach der Entfernung von der Scheitemitte hat nicht bloß für die Lichtstrahlen verschiedener Wellenlänge, sondern auch

für die unsichtbare Wärmestrahlung und die unsichtbare chemische Strahlung zugehörige Untersuchungen erlitten. Die Wärmestrahlung stufte sich ab von 100% in der Mitte auf 43 am Rande, die Lichtstrahlung von ganzen von 100 auf 37% und die chemische Strahlung von 100 auf 13%. Innerhalb der Lichtstrahlung hat H. C. Vogel noch sechs weitere Spektrallinien, jeden auf einem kleinen Umfang der Lichtwellenlängen beschreibt, sehr sorgfältigst untersucht. Es zeigt sich mit der Ausnahme eines einzigen der Gebiete derselben Charakter: die Lichtstrahlung ist größer für die Strahlen starrer, als für der größerer Wellenlänge, das Licht von der Mitte der Scheibe enthält verhältnismäßig am meisten Violet, das vom Rande verhältnismäßig am meisten Rot.

Nach dem Gesetze der Strahlung von Lambert und nach Versuchen mit gläsernen Metallringen ist die nach allen Richtungen von jedem Teile der Oberfläche ausgesandte Lichtmenge derart gleich, daß eine glühende Kugel aussieht wie eine gleichmäßig glühende Scheibe. Warum macht nun die Sonne eine so auffallende Ausnahme von dem Lambertischen Gesetz?

Nach der allseitigsten Erklärung sagt die Atmosphäre der Sonne ein übereinstimmendes Verfahren mit der Erdatmosphäre. Wie diese von dem Lichte der Sonne um so mehr absorbiert, wie sie die Sonne um so rötlicher, ihre Wärmewirkung um so schwächer erscheinen läßt, je tiefer der Sonne steht, je schwächer und damit länger der Wege der Strahlen durch unsere Atmosphäre sind, so absorbiert auch der allgemein verbreitete Annahme, die über der Photosphäre schwachere gelbe Hülle der Sonne von der unten nicht ausströmenden Bestrahlung weniger, als von der selbst ausströmenden. Entsprechend der starken Abnahme der Strahlung nach dem Rande zu, wenn man mit dem uns diese Messungen hochverehrten Amerikaner Langley an, daß mindestens die Hälfte der Sonnenstrahlung von der eigenen

Atmosphäre der Sonne verschluckt werde.

Ein einfaches Experiment über, das ich beschreiben will, ist wohl geeignet, dem Lesenden und wohl dem hauptsächlichsten Grund der allgemeinen Strahlungsabnahme nach dem Sonnenrande erkennen zu lassen. Setzen Sie auf einen etwa durch eine Lampe von oben erleuchteten Tisch einen flachen Teller mit nicht zu glänzender Glas- oder porzellanener Oberfläche. Aus jeder Richtung, nach welcher nicht direkt eingestrahlt Licht des Tellerbodens zum Auge kommt, erscheint dieser Boden dunkler als gleich hell, auch beim Betrachten in möglichst beständiger Richtung. Gießen wir über das Schälchen Wasser in den Teller, um bestenfalls zum Rande, so ändert sich die Erscheinung. Der Grund des

Tellers erscheint nicht nur gelbter, sondern auch um so dunkler, je schräger die Schichtung gewellt wird, besonders deutlich, wenn der Winkel der Schichtung mit dem Wasserspiegel kleiner als 30° wird. Bei fortschreitender Abnahme des Winkels nähert sich die Helligkeit nachher der Ozeanflut. Eine Wirkung der Absorption des Lichts durchs Wasser kann das nicht sein. Dazu würden die Strahlen im Wasser weitläufige Wege zurücklegen. In der Tat ist der Versuch, wenn man ihn mit dem Wasser an Ufer eines Sees macht, noch auffälliger bei tieferem Wasser, weil die Absorptionswirkung die Erscheinung verstärkt. Die Erscheinung ist nur um so weniger die Wasserhöhe ist. (Schubert 1904.)

Das Spektrum der Sonnenflecke.

In allgemeinen besteht das Spektrum der Sonnenflecke aus wesentlichen aus einem nahezu kontinuierlichen Spektrum und einer darüber gelegten Anzahl von Fraunhofer'schen Linien. Das Absorptionsspektrum erscheint außerdem aufgelöst in eine zahlreiche Menge klar eng zusammenstehender Linien, am meisten sehr man findet in dem Teile des Spektrums von der Linie b bis zur Linie der Wellenlänge λ 5100. Prof. Young hat dies zuerst 1863 beobachtet und später ist die Erscheinung von Dunsen und andere gesehen worden. Das Spektrum ist ebenfalls von Prof. Young und Walter M. Mitchell in der Region zwischen den Wellenlängen λ 6300 und λ 6800 in diese Linien zerlegt worden. In dem großen Sonnenfleck vom 3. Februar 1905 sah Mitchell das ganze Spektrum zwischen von der Linie C bis zur Linie F auf solche Weise aufgelöst, und bei der Rückkehr des Flecks zeigte sich die Spektrallinie von λ 6729 bis zur Linie E ebenso

Mitchell hat nun in der Zeit vom März 1904 bis zu demselben Monat des Jahres 1905, genaue Untersuchungen der Region des Flackenspektrums zwischen den Linien F und a angestellt, um so möglichst vollständiges Verzeichnis der dunkel fühlbaren Linien zu erhalten und damit die Grundlage zu einer Diskussion der verschiedenen Sonnentheorien. Er bediente sich bei seiner Untersuchung des 25-zölligen Refraktors des Helio-Observatoriums zu Fra Mauro und eines großen Gitterspektroscopes und verglich die im Flackenspektrum auffallenden Linien unmittelbar mit den Linien in Rowlands photographischen Atlas des Sonnenspektrums. Er zählt Linien nahe bei E wurde Thollens Spektroskop zugewiesen. Die genaue Untersuchung ergab eine Anzahl von 660 Linien, die im Spektrum der Sonnenflecke vorhanden oder überhaupt bemerkt erschienen, nämlich:

219 Emissionen von denen 45 gedruckt und umgekehrt erschienen.

12) Tellurcelllinien, darunter 70 gelegentlich umgekehrt.

79 Chromlinien, wovon 16 umgekehrt wurden.

47 Nickellinien mit 12 gelegentlichen Umkehrungen.

43 Vanadiumlinien mit 19 gelegentlichen Umkehrungen.

38 Kobaltlinien mit 4 schwachen Umkehrungen.

30 Magnesiumlinien mit 9 schwachen Umkehrungen.

11 Kaliumlinien, 6 Natriumlinien,

5 Strontiumlinien, 5 Linien des Yttriums,

4 Lanthanlinien, 3 Magnesiumlinien,

2 Eisenlinien, 2 Kupferlinien und

je eine Linie des Nihonium und Stan-

flums. Von Linien, welche mit keinem

Element identifiziert werden konnten,

waren 136 im Fliehkenspektrum vor-

handelt. Die Veränderungen der Linien

im Fliehkenspektrum zeigen sich als

Verbreiterungen, Umkehrungen, Flägel-

bildungen, d. h. eine, breite Ausdehnung

nach und links der Linien, Ver-

schärfungen und Verflösungen. Von

diesem kommen zwischen den Wellen-

längen λ 5700 und 6600 am meisten

die Umkehrungen und Verbreiterungen

der Linien vor, besonders erscheint

die infrarote Linie in zwei Gruppen, und

durchaus ist das Spektrum hell

Unterhalb λ 6600 war die Beobachtung

wegen der Schwäche des Sonnenspek-

trums unmöglich; dort kommen auch

im wenig veränderten Linien vor. Von

λ 5780 bis zu den λ -Linien sind die

veränderten Linien zahlreich, während

die Umkehrungen selten und oft kaum

spürbar sind. «Spitzspitze»-Linien sind

hier zahlreich. Oberhalb λ 5600 sind

die veränderten Linien nicht vorhanden,

und bei F wird das Fliehkenspektrum

so schwarz, daß Einzelheiten nicht

mehr wahrgenommen werden können.

Wurden die veränderten Linien der

sonnenflecken mit den Linien der

Sonnenchromosphäre verglichen, so

findet sich, daß die Linien, welche in

der Chromosphäre häufig vorkommen,

in den Flecken wenig verändert sind

(mit zwei Ausnahmen); daß die Linien der höheren Chromosphärenschichten in den Flecken nicht verändert sind, und daß die in den Flecken meist veränderten Linien entweder in der Chromosphäre gänzlich fehlen oder sehr selten sind. Diese Ergebnisse sprechen für die Ansicht, daß die Flecken wenigstens unterhalb der Chromosphäre liegen.

Die Frage, warum einige Linien eines bestimmten Elements verändert werden, andere aber nicht, läßt sich unter der Annahme von Fraunhofer beantworten, daß jede Linie des Sonnenspektrums in verschiedenen Niveaus existieren. Daß die am meisten veränderten Linien durch Dämpfe in einem hohen Niveau verursacht werden, wird dadurch wahrscheinlich, daß sie keine Chromosphärenlinien sind; zweifellos ist, daß die Flecken in dem Niveau liegen, in welchem die Linien, die am meisten verändert sind, existieren.

Die in der äußeren Photosphäre und folglich unter größerem Druck und bei höherer Temperatur liegenden Dämpfe würden, wenn der helle Hintergrund der Photosphäre fehlt, ein Emissionsspektrum geben; dieses würde in Übereinstimmung mit der kühleren und weniger dichten Schicht darüber, eine dunkle Linie mit einem hellen Zentrum erzeugen, also eine umgekehrte Linie. Es ist Tatsache, daß die umgekehrten Linien gewöhnlich schwächere Fraunhofer'sche Linien sind. Flecken sind aber die Linien H, K, F und C ausgenommen, weil sie von Protuberanzen und nicht von den äußeren Gasen der Flecken herrühren. Daß die am stärksten umgekehrten Linien die schwachen sind, erklärt sich dadurch, daß die Dämpfe, welche diese Linien erzeugen, mit den Photosphärenwolken vermischt sind und sich nicht hoch über sie erheben.

Die Observationsbeobachtungen der Sonnenflecken deuten darauf hin, daß der Fleck eine Vertiefung oder Durchbohrung der Photosphäre ist. Ob er eine Depression ist, wie aus der sichtbaren Verbreiterung der H δ -Linie beim An-

stärken an den Sonnenrand folgt, ist nicht sicher lichtoptischer Übersetzung ist sicher, ob der Fleck durch Aufsteigen oder Niederstinken entsteht wird, da Unterscheidungen in den Flecken sehr selten sind. Mitchell erwähnt in diesem Zusammenhang, wo alle Linsen nach Blau verschoben erschienen, wodurch also ein Aufsteigen angezeigt wäre.

Durch die Stationswechselbeobachtungen von Langley, Frost und Wilson wissen wir, daß die Strahlung der Photosphäre, wenn man sich dem Sonnenrande nähert, abnimmt, während die des Fleckens sich nur wenig ändert. Entweder liegen also die Flecke hoch über der Photosphäre, und die Absorption ist daher unbedeutender, oder die Strahlen der Flecke sind anderer Natur als die der Photosphäre und die Absorption der Sonnenstrahlen ist bei beiden verschieden. Gegen die erste Deutung spricht der Umstand, daß das Spektroskop auf ein helles Niveau der Flecken unter der Chromosphäre hinweist. Die zweite Hypothese ist von Young aufgestellt worden und stützt sich darauf, daß die Photosphäre reich an kornwolgigen Strahlen ist, die in den Flecken fehlen, und daß nach Vogel das violette Licht der Photosphäre beim Analysiren an den Rand stärker geschwächt wird als das rote. Die Sonnenchromosphäre

absorbiert also beträchtlich die kornwolgigen Strahlen der Photosphäre, während die an kornigen Wellen arme Gesamtstrahlung der Flecken weniger geschwächt wird.

Mitchell neigt der Ansicht zu, daß die Sonnenflecke wahrscheinlich verursacht werden durch die heißen Dämpfe des Innern, welche langsam durch die Wellen der Photosphäre dringen und so verdampfen. Die Dämpfe von unten, die zuerst heiß sind, müssen kühler werden durch ihre Ausdehnung und die Expansion und schließlich um Neubildung der Photosphärenwellen herbeiführen in Form von Schlägen und Brücken, welche gewöhnlich Vorläufer des Verschwindens der Flecken sind. Daß die Flecke Objekte von relativ hoher Temperatur sind, ist von Wilson bemerkt worden und wird durch die umgekehrten Linsen bestätigt. Ferner müßte, wenn die Flecke eine kühlen Region waren, Kondensation stattfinden, welche den Charakter des Fleckens zu verlieren strahl.

Zusätzlich bemerkt Mitchell die diejenigen, welche sich mit den spektroskopischen Beobachtungen der Sonnenflecke beschäftigen, daß die genaue Verfolgung der Entwicklung eines auf derselben Flecken der Beobachtung zu mehreren Flecken voranziehen sei.

Untersuchungen über die Helligkeitsschwankungen der vier großen Jupitertrabanten.

(Schluß.)

In unserer Zeit sind von verschiedenen Beobachtern an sehr großen Schichten Flecken auf der Oberfläche der Trabanten gesehen worden. Ein Zusammenhang derselben mit den Helligkeitsschwankungen konnte Dr. Gutnick jedoch nicht finden. Auch die von mehreren Beobachtern hauptsächlich rhipidische Gestalt der Trabanten kann denselben nicht erklären.

Die anderen möglichen Ursachen der Veränderungen der Helligkeitstendenzen der Trabanten werden dann von Dr. Gutnick noch speziell erörtert. Von der ersten, dem Vorhandensein von Atmosphären auf den Trabanten, ist schon die Rede gewesen. Es ist sehr angenehm zu wissen, daß die Trabanten bedeutende und dichte Atmosphären besitzen, deren wechselnde

Prisma (Wellenlängen, Aufklärungen) die unregelmäßigen Störungen des periodischen Ganges der Helligkeitsänderungen erklären sollten. Die Bestätigung dieser Ansicht ist wohl aus von der Spektralanalyse zu erhellen, da bei der Scheiben der Trabanten zufolge ihrer Kleinheit der direkte Beobachtung keine sicheren Aufstufungspunkte geliefert haben. Aber auch die Untersuchung der Spektren der Trabanten ist ihrer Lichtschwäche wegen mit überaus großen Schwierigkeiten verknüpft; es liegen aus diesem Grunde gegenwärtig nur zwei Daten vor: die Ergebnisse visueller Beobachtungen von H. C. Vogel, die gelegentlich der berühmten Untersuchungen über die Spektren der Planeten auf der Berliner Sternwarte angestellt worden sind, und die kurzen Einwirkungen von Sipher, die auf photographischen Aufnahmen zu Ende 1904 basieren. Vogel sah mit einiger Bestimmtheit in den Spektren der Monde zum Abstrahlenspektrum im Roten, die auch im Jupiterspektrum auftreten und von denen der eine das bekannte Jupiterband der Wellenlänge λ 618 ist, woraus zu schließen war, daß die Trabanten ähnliche Atmosphären besitzen wie Jupiter. Siphers Aufnahmen des 31 Trabanten mit rotrefraktischen Platten zeigten dagegen keine Spur des Bandes bei λ 618. Sipher bemerkt allerdings selbst, daß die Aufnahmen zur Entdeckung schwacher Absorptionsspektren nicht gut geeignet gewesen seien. Es scheint jedoch, daß die Atmosphären der Trabanten hinsichtlich sehr wichtig sind. Eine Atmosphäre von der Ordnung und Beschaffenheit wie der irdische, würde aber wohl genügen, um noch viel bedeutendere Veränderungen der Lichtkurven hervorgerufen als die aus den Beobachtungen tatsächlich sich ergebenden.

Nachdem noch andere Möglichkeiten besprochen und widerlegt wurden, gibt Dr. Oultchik selbst einen Versuch die Helligkeitsänderungen zu erklären. Derselbe entspringt der Erkenntnis, daß

die beobachteten späten Helligkeitsänderungen der drei inneren Trabanten durch die bloße Annahme von hellen und dunklen Flecken auf den Trabantenoberflächen bei Gleichheit von Rotations- und Umlaufzeit (in zweifacher Weise teilweise nicht erfüllt) werden können. Die Schwereglanz, die Lichtkurven der gesamten Satelliten durch Annahme von Flecken allein darzustellen, erfüllt besonders eindrucksvoll aus der Betrachtung des Helligkeitsmaximums von Trabant III. Nimmt man nämlich an, derselbe werde durch einen dunklen Fleck hervorgerufen, so daß dieser in Richtung des Beobachters nicht mehr als 90° über das Minimum ausgedehnt sein und außerdem noch eine unmittelbar ein ebenfalls scharfer heller Fleck folgen, der insofern ist, die Wiederherstellung der ursprünglichen Helligkeit zu bewirken. Gilt man aber dem dunklen Fleck die zur Darstellung des Minimums möglichst geringe Gestalt und setzt die Reflexivkraft des Flecks gleich null, so beträgt die durch ihn bewirkte größte Lichtabnahme, wenn er am Rande der Scheibe steht, 99,2 Größenklassen, während die beobachtete Helligkeitsabnahme etwa $\frac{1}{2}$ Größenklassen ausmacht. Nimmt man dagegen an, daß die Oberfläche des Trabanten an zwei Stellen, die der Helligkeit halber auf seinem Äquator liegen müssen, und deren Entfernung voneinander etwa 160° betragen müßte, eine besonders hervorragende Leuchtart besäße, so läßt sich zwar das Minimum und gleichzeitig das Maximum leicht darstellen, aber man ist gezwungen, bezüglich der beiden Oberflächenstellen einen hohen Grad von Eigenleuchtentwicklung zu fordern und diese ist nicht unwahrscheinlich. Es bleibt noch eine dritte Erklärungsmöglichkeit, die nicht leugnet, was nicht von vornherein als wahrscheinlich für die Trabanten gilt, wenn andere die Möglichkeit ausgeschlossen wird, daß die Oberflächen der drei inneren Trabanten stilleschwebende spiegelnde Beschaffenheit haben. Trifft diese An-

nahme zu, so wird das Gesamtbild, das z. B. Teichart II der Erde erscheint, im allgemeinen zusammengepaßt aus aus dem zentral reflektierten und dem aus dem nahe parallelkommenen Spiegelbildchen der Sonne ausgehenden Licht. Wegen der großen Entfernung des Jupiter wird dieses Spiegelbild sehr nahe der Mitte der Scheibe liegen, von der es sich um höchstens 12" entfernen kann. Bewegt sich nun im Verlauf der Rotation über die Scheibe, wo von der Erde aus gesehen das Spiegelbild der Sonne sich befindet, die kleine Oberflächenregion, die keine spiegelnde Eigenschaft besitzt, und das der Körner halber *«loch»* heißen möge, durch ein Viertel, so wird das Spiegelbild der Sonne eine Zirkling verdeckt werden, es verschwindet wegen seines geringen Durchmessers zunächst sehr schnell an der vorderen Grenze des *«loch»* und taucht nachher ebenso schnell wieder auf. Parallel damit muß also eine rapide Helligkeitsabnahme und nach einer Zeit, die von der Ausdehnung der *«loch»* in Richtung des Äquators abhängt, eine ebenso schnelle Wiederherstellung der ursprünglichen Helligkeit gehen. Der gelegentliche Ausfall eines Lichtmessers würde dadurch zu erklären sein, daß bei gewissen Stellungen von Erde, Sonne und Jupiter zueinander, infolge merklicher Neigung

des Trabantenäquators gegen die Ekliptik die *«loch»* an dem Spiegelbild der Sonne vorbeight, ohne dasselbe zu verdecken. Man sieht, daß in diesem Falle die Figur der die Helligkeitsänderungen verursachenden Fläche unter allen Umständen von wesentlichem Einfluß ist, die Beschreibung der periodischen Veränderungen gewisser Helligkeitsphasen wird dann nur bestanden können, ob die Neigungen der Trabantenäquatoren gegen die Ekliptik merkliche Beträge erreichen oder nicht.

Es bleibt noch übrig zu untersuchen, wie groß ungefähr die Helligkeit des Sonnenbildchens sein kann und ob es überhaupt einen merklichen Beitrag zur Gesamthelligkeit zu liefern imstande ist. Diese Frage ist ohne weiteres zu bejahen.

Dr. Gutwich stützt dies vornehmlich, beruht aber schließlich, diese ganze Hypothese solle vorläufig nur als Rechenchema für die Beobachtungen dienen. Ob, sagt er, an sehr großen Instrumenten unter günstigen Umständen das von der Hypothese geforderte Spiegelbild der Sonne direkt wahrnehmbar sein würde, erwidert sich seiner Beurteilung, ich möchte aber glauben, daß es nur dann möglich sein dürfte, wenn die Spiegelung eine sehr vollkommen ist. Vielleicht könnten aber die schwachen Veränderungen der Größen der Trabantenerscheinungen mit der Sache in Zusammenhang stehen.

Periodische Veränderungen der Größe des Lichtfleckes um den Mondkrater Linné.

15 Professor Wilhelm H. Pickering hat neuerdings darauf aufmerksam gemacht, daß der vorerwähnte Lichtfleck, der sich am Ozean des Mondkraters Linné befindet, Veränderungen seiner Größe zeigt, die von der Sonnenstrahlung abhängen und besonders bei Mondfinsternissen sehr auffällig sind.¹⁾

Diese kleine Tatsache hat Dr. W. Wien gelegentlich der Mondfinsternis des 11. April 1903 um großen Reiz für die Straßburger Sternwarte durch eine Reihe vorläufiger Messungen bestätigt.²⁾ Da der Krater Linné auch sonst durch die von Joh. Schmidt zuerst nachgewiesene Veränderung (bei völliger Ver-

¹⁾ Mon. Not. Harvard. Series 1903, S. 40.

²⁾ Vgl. Bulletin 1903, S. 8.

schieden von Mädlers Beobachtungen in den dreißiger Jahren des vorigen Jahrhunderts) zurückführt ist, so hat Prof. Barard ebenfalls am 48-zölligen Refraktor der Verkeiserwerke wiederholt beobachtet, auch die Ausdehnung des hellen Lichtschirms um ihn sorgfältig mikrometrisch gemessen. Aus seinem Bericht*) ergibt sich, daß auch seiner Ansicht gemäß Größenänderungen des hellen Fleckes stattfanden. Prof. Barard gibt die folgende Tabelle der von ihm gemessenen Durchmesser des hellen Lichtschirms am Linné, reduziert auf den Abstand des Mondes am 12. Januar 1903 und geordnet nach Tagen seit dem Neumonde, also nach dem Mondalter:

Mondalter ? Tage	Durchmesser des Fleckes
8	5,0
9	5,4
10	4,8
11	4,3
12	4,6
13	4,7
14	5,4
15	5,3
16	5,8
17	5,5
18	5,8

Hiernach ist die Änderung des Durchmessers ganz unwesentlich und der Fleck um den Vollmond am kleinsten.

Zu Zeiten war der Krater selbst sehr gut sichtbar. Er ist, wie Prof. Barard sagt, durchaus tief und bestrichen mit vulkanischer Asche. Zwei Messungen ergaben dafür 5-6" oder 1,1 bis 1,2 km. Am 1. Sept. 1903 sah der Beobachter einen kleinen weißen Fleck 5,4" vom Zentrum des hellen Fleckes entfernt und ganz von der Größe des Kraters. Am 26. Dezember 1902 erschien der große Fleck wie ein kleiner Nebel ohne bestimmte Grenzen. Mai 4 1903 zeigte sich der Krater klein und schwach, von einer runden, großen, hellen Glorie ohne scharfe Grenzen umgeben. Die Breite der letzteren war

etwa 5", und so groß als der Durchmesser des schwarzen Kraters. Derselbe schien dann östlich vom Zentrum des hellen Fleckes zu stehen und hatte 8,75" im Durchmesser.

Mai 5 war der Fleck vollständig einem kleinen und bei ungünstiger Luft der Krater selbst nicht zu sehen.

Juni 2 erschien der helle Fleck sehr verwaschen, der Krater war sichtbar und etwas östlich vom Zentrum des Fleckes.

Juni 9. Der Fleck ist noch kleiner, besser definiert als früher, aber sehr schwach begrenzt.

Juli 6. Linné ist ein nebliger, weißer Fleck, der am schlechtesten definiert von allen beobachteten Kratern.

Juli 7. Nebelig und schlecht begrenzt wie ein kleiner Nebel. Alle andern Krater in der Nähe erschienen gut definiert und können mit größerer Schärfe gemessen werden. Besonders deutlich in Gestalt von kleinen hellen Fleckchen und sonstigen Markierungen ist in der Nähe sichtbar, aber am Linné kein Detail. Luft gut.

Juli 13. Der Krater ist sichtbar aber mit Unterbrechungen. Er ist sehr klein und von einer nebligen Glorie umgeben. Vielleicht ist letztere nicht so groß als bei den letzten Beobachtungen. Alle andern Krater in der Nähe sind gut sichtbar wie ihre Schatten.

Juli 14. Der helle Fleck scheint auf der östlichen Seite am besten begrenzt und ist heute nicht sehr hart und intensiv. Der Krater steht östlich von seinem Zentrum, ist sehr klein und nicht gut zu sehen.

Sept. 1. Ein sehr kleiner, weißer Fleck ist sichtbar, 5,4" westlich vom Zentrum des großen Fleckes und von derselben Größe wie der Krater.

1904 Januar 26. Schlechte Luft. Der große weiße Fleck ist schlecht begrenzt, gelegentlich wird in seiner Mitte ein kleiner dunkler Fleck sichtbar (jedenfalls die Schatten des Kraters) auf 0,18 im Durchmesser geschätzt.

Nov. 4. Der Krater in Monden

*) Astron. Nachr. Nr. 4075.

ruhiger Luft gut zu sehen, Durchmesser 0.63". Er zeigt einen deutlichen Weiß, dessen westliche Abdeckung beträchtlich heller ist als der umgebende Lichtfleck und der auf der Fläche sich erstreckt. Die Breite des weißlichen Weisses scheint so groß zu sein als der Durchmesser des Kraters. Die Ovale um den Krater nicht groß. Als Schluß, bemerkt Prof. Bernard, würde ich sagen, daß Lind heute tags von sehr kleiner, kleiner, mit Weiß umgebener Krater ist von etwas über eine halbe Meile (0.5) lang im Durchmesser. Er wird umgeben von einer weißlichen Ovale, welche im Durchmesser veränderlich ist, keine scharfe Umgrenzung besitzt und deren Zentrum sich etwas westlich von dem Krater befindet. Nachdem die Sonne über ihm aufgegangen ist, verschwindet

der Krater in dem ihn umgebenden hellen Schein und ist nicht mehr davon zu unterscheiden.

Diese Beobachtungen beweisen die Veränderlichkeit im Durchmesser des hellen Fleckes, was solche auch von Pickering und Wiers konstatiert worden ist, und liefern gleichzeitig einen neuen Beleg für die Richtigkeit der von J. Schmidt vor 40 Jahren aufgestellten Behauptung, daß der Krater Lind in der Form und Größe wie er zu Mölkers Zeiten bestand, nicht mehr vorhanden ist. Wahrscheinlich ist der große alte Krater durch Materie aus dem Inneren des Mondes ausgefüllt worden und auf demselben erhebt sich die kleinere, steile Eruptionskegel, der aber nur zu sehr großen Instrumenten gesehen werden kann.

Astrospektrographische Untersuchung des Sternes „Pegasi“

von Dr. Eduard Haase und Dr. Karl Kesteven¹⁾

Gegenständlich der Auswertung einiger Sternspektren nach der spektralen Methode der Wellenlängenbestimmung²⁾ bemerken Dr. Haase und Dr. Kesteven einen bedeutenden Unterschied im allgemeinen Aussehen der Spektren von „Circus borealis“, „Lacerta“ und „Cygnus borealis“ und „Pegasi“ (s. unten). Während nämlich der kontinuierliche Hintergrund bei den ersten genannten Spektren zwischen den Absorptionsstrahlen von gleichmäßiger Intensität war und für alle drei Spektren entsprechend der Absorption im Apparat und der Empfindlichkeit der photographischen Platte an ziemlich denselben Stellen auftrat oder endete, zeigte die Zwischenräume zwischen den Absorptionsstrahlen bei „Pegasi“ für die verschiedenen Wellenlängen ganz verschiedenen Aussehen, sodaß

von einem gleichmäßigen kontinuierlichen Spektrum hier nicht die Rede sein kann. Es wechselte vielmehr die Intensität in sehr auffälliger Weise, und zwar so, daß man unwillkürlich den Eindruck bekommt, man habe ein Gemisch eines Linienpektrums in Emission und Absorption vor sich. Diese Erkenntnis war der Grund, warum die genannten Forscher dann das Spektrum von „Pegasi“ von ihren Untersuchungen vorläufig ausschloßen, in der Hoffnung, eventuell durch den Vergleich von Aufnahmen aus verschiedener Zeit stürren Aufschluß über die Konstitution des Sternes zu erhalten. Prof. G. E. Hale, damals Direktor des Yerkes-Observatoriums, stellte den beiden Wiener Forschern zwei Originalnegative des Yerkes-Observatoriums zu, die von Prof. Frost und W. S. Adams gelegentlich der Untersuchung von Sternspektren aufgenommen worden waren.

Die Vergleichung dieser Spektren mit den Negativen des Lick-Observatoriums

¹⁾ Aus den Sitzungen d. Kaiserl. Akad. d. Wissensch. in Wien, Mathem.-naturw. Klasse, Bd. CXLV, Abt. II, 2. Jah. 1909.

²⁾ Über diese Art und die Messungsmethode siehe unten 1909, S. 65 und 66.

betrifft die Herren Maschek und Enderle in ihrer Vermutung, daß man es bei γ Pegasus mit einem Spektrum anders als der oben erwähnten Art zu tun habe. Eine Bestätigung ihrer Ansicht stützen sie auch darin, daß da wo über das Spektrum von γ Pegasus in der Literatur abgehandelt wird, divergierende Ansichten über das Spektraltypus geäußert werden und sogar die Vermutung ausgesprochen ist, man habe es bei γ Pegasus mit einem veränderlichen Stern zu tun.

Maschek und Kiselevitz unternahmen nun nach der Analyse des Licht-Observatoriums unter der Voraussetzung des Vorhandenseins von heißen und dunklen Linien das Spektrum zusammenzuordnen und eine Identifikation der Linien vorzunehmen. Dabei ergaben sich zunächst in den meisten Linien Mängel divergierende Urteile darüber, ob es sich um bestimmten Stellen eine Absorptionlinie oder nur der dunkle Zwischenraum zwischen zwei Emissionslinien anzusehen sei. Einer weiteren Schwierigkeit begegnete sie bei dem Versuche, die als Emissionen angenommenen Linien bestimmten Elementen zuzuordnen, hauptsächlich die gewonnenen Resultate aus der Konstitution des Sterns zu erklären.

Auch die Studien der beiden Negativs des Yerkes Observatoriums, lieferte in dieser Richtung zu keinem befriedigenden Ergebnisse. Wohl aber konnten sie feststellen, daß sich jedem der drei Negativs die Inkonsistenz eines des Spektrums an einer andern Stelle liegt, und zwar für das Licht-Negativ von 1886, Jan. 26, bei der Wellenlänge λ 4356, für das Yerkes-Negativ A von 1903, Juli 31, bei λ 4560 und für das Yerkes Negativ B von 1902, August 1, bei λ 4669. Diese Unterschiede lassen sich nur sehr geringfügig aus den Unterschieden in der Lage des Empfängerflächenrezeptions und der verschiedenen Platten und den Absorptionen erklären; die optischen Teile des Aufnahmepunktes erklären; auch spricht

gegen eine solche Erklärung der Unterschiede, daß die Helligkeitskurve beim Licht-Negativ nach geringem Violett und hellem gelbem Rot abfällt, während die Negativs des Yerkes-Observatoriums das entgegengesetzte Verhalten zeigen. «Es scheint, sagen die beiden Wiener Forscher, daraus mit großer Wahrscheinlichkeit zu folgen, daß wir es bei γ Pegasus mit einem veränderlichen Stern zu tun haben, ein Resultat, für das sich auch in den Beobachtungen anderer Forscher Anhaltspunkte finden lassen. Bei dieser Sachlage können wir den Zweck unserer Arbeit nicht in der Feststellung der chemischen und physikalischen Konstitution des Sterns erblicken, auch nicht in einer genauen Bestimmung der Wellenlängen der einzelnen Linien des Spektrums, sondern wir möchten mit unserer Arbeit nur eine weitere Untersuchung des Spektrums von γ Pegasus auf Grund eines möglichen neuen Plattenmaterials anregen. Auch die nachstehend erläuterte Ansicht über die Konstitution von γ Pegasus wollen wir durchaus nicht in dem Sinne der Aufstellung einer Theorie betrachtet wissen, sondern verstehen nur als eine Erklärungsmöglichkeit zur Diskussion stellen.»

«Zur Erklärung des Spektrums nehmen wir an, daß γ Pegasus ein leuchtender Gasball ohne festen oder flüssigen Kondensationskern sei. Es wird dann im Innern höhere Temperatur, positivelektrische Dampfdichte und stärkerer Druck herrschen als in der Hülle, die gegen Energieabgabe nach außen nicht geschützt ist und vom Gravitationszentrum weiter abzieht. Nach dem bisherigen Stand unserer Kenntnisse von der Einwirkung der Gase werden wir dann folgende spektralen Erscheinungen erwarten dürfen. Das Spektrum des Kernes besteht aus einer Reihe von Linien der verschiedenen Metalle, welche Linien infolge des ziemlich hohen im Kern herrschenden Druckes symmetrisch oder doppelte verbrochen sind. Im Spektrum der Hülle

haben wir dieselben Linien, jedoch entsprechend dem geringeren Druck oder der geringeren Dampfdichte wesentlich schwächer. Das ganz kosmische Gebilde ist durchwegs leuchtendes Gas ohne festen oder ständigen Kern, im Gegensatz nur gewöhnlichen Konstellationen der Sterne, so daß mit Ausnahme eines sehr schwachen kontinuierlichen Grundes eine allgemeine Helligkeit über das Spektrum nicht verbreitet erscheint.

Es ist bekannt, daß die Linien eines Linienspektrums, sobald man dasselbe nur in genügender Intensität beobachten kann, sich auf einem schwachen kontinuierlichen Grund erheben, dessen Intensität unabhängig von den Linienverbreiterungen mit der Zahl der leuchtenden Partikeln zunimmt. Da nun im Spektrum unseres Gasbildes an irgend einer beliebigen Stelle der kontinuierliche Grund nicht lediglich von einem Element gebildet wird, sondern in entsprechender Intensität von allen Komponenten des Gasbildes, so ist klar, daß selbst bei relativ geringer Intensität der Linien dieser kontinuierliche Grund eine erhebliche Helligkeit erreichen kann. Es ist dabei natürlich nicht notwendig, daß dieser kontinuierliche Grund denselben Intensitätsverlauf aufweist wie ein solcher, der vom Licht eines fernen oder flüchtigen Körpers geliefert wird. Es ist vielmehr sehr wohl möglich, daß entsprechend der größeren oder geringeren Auflösung von Linien in einzelnen Spektarten auch der kontinuierliche Grund größer oder geringer intensivität aufweist wird.

Entsprechend der höheren Temperatur des Kernes gegenüber der Hülle und dem dadurch, vermittelt auch durch andere Ursachen gesteigerten Einflussesvermögen, erhalten wir auch dem Kirchhoff'schen Gesetz Absorptionsspektren, also ein Linienspektrum, in welchem alle der Hülle und dem Kern gemeinsamen Linien ungehindert entstehen. Nur solche Linien werden als Emissionlinien sichtbar, die

bloß der Hülle oder bloß dem Kern angehören. Die Ursache hiervon kann in einer Ungleichmäßigkeit der chemischen Konstitution liegen, oder auch in denselben Verhältnissen zu suchen sein, die den Unterschied zwischen Bogen- und Funkenspektrum bewirken.

In einem bestimmten Spektralbereiche werden wir nur das sehr geringe Ansehen solcher Emissionlinien erwarten dürfen, besonders sehr werden sie im sichtbaren Teile des Spektrums und am Anfang des Ultraviolets auftreten, da der Unterschied zwischen Bogen- und Funkenspektrum nur bei wenigen Elementen in dieser Gegend ein auffallender ist.

Die Erscheinung, die wir in dem Spektrum sehen, ist also dieselbe, die wir bei höherer Stromdichte im Spektrum des elektrischen Bogens beobachten, bei dem ja auch der Kern aus dichtem und heißem Dampf (mit verbreiterten Linien), die Hülle aus dünnem und kühlerem Dampf besteht. Nur ein Unterschied wird vorhanden sein, nämlich der, daß wir im Stromspektrum entsprechend den vergrößerten Temperaturunterschieden und der bedeutend größeren räumlichen Ausdehnung der leuchtenden Schichten nicht nur sehen, sondern fast alle Linien ausgeleuchtet wahrnehmen. Da die Absorption schon in tiefen Schichten — nahe dem Gravitationscentre — beginnt, wo die Temperatur noch ziemlich hoch wird, werden auch die Umkehrungen leicht sein.

Analytirt man das Spektrum sorgfältig, so findet man eine Reihe von Details, die sich alle ungezwungen mit obiger Anschauung erklären lassen. Mehrere dieser Details werden von Harknely und Kosterlitz sogleich hervorgehoben.

Nur eine Eigentümlichkeit des Spektrumbildes, sagen wir bei den Forster, können wir uns schwer Grundensatzhaft nicht ohne Weiteres erklären und das ist die, daß das Spektrum von γ Pegasi gegen West mit bemerkend größerer

beobachtung zeigt als die andere von uns untersuchten Sternspektren. Während nämlich die andere Spektren bis mindestens zur Wellenlänge λ 4250 im Violet gut ablesbar sind und sehr viel weiter noch erkennbar bleiben, endet sich auf dem Spektrogramme von ϵ Pegasi bei der angegebenen Exposition erst etwa bei λ 4300 ein nicht mehr Eindruck und die Ablesemöglichkeit beginnt noch wesentlich später. Diese Tatsache allein wäre wohl noch vielleicht photographisch erklärbar, aber die rein photographische Erklär. kann das rapide Abnehmen der Intensität wenigstens beim Negativ des Lick-Observatory nicht sein.

Zur Erklärung dieser Eigentümlichkeit machen beide Forscher die Hypothese, daß die Absorption des Violett nicht in der Hülle von ϵ Pegasi selbst stattfindet, sondern auf dem Wege des Lichtes vom Stern zu uns, etwa in einer Wolke kosmischen Staubes. Natürlich, sagen sie, beschränkt man sich nicht bloß an eine Absorption im unmittelbaren Stern zu denken, sondern es ist auch möglich, daß die Schwächung des Lichtes in analoger Weise auch vollzieht, wie in unserer Erdatmosphäre die blauen Farbtöne des Himmels und die Dämmerungsfarben entstehen. Eine Fortbildung dieser Annahme könnte vielleicht aus Beobachtungen des Spektrums von unmittelbar beobachteten Sternen sich ergeben, allerdings nur in dem Falle, als jene Wolke sich, von uns aus gesehen, auch noch auf diese Stern projiziert.

Die Annahme, daß auf dem Stern in der äußeren Schichten chemische Verbindungen existieren, welche die Absorption im Violet hervorrufen, scheint beiden Forschern nicht sehr wahrscheinlich. »Wir müssen, sagen sie, für den Stern eine sehr hohe Temperatur annehmen und die Zahl der Verbindungen, welche dann noch existiert sind, ist beschränkt. Vor allem würde man im Cym denken, das ja auch in der Sonnenatmosphäre nachge-

wiesen ist. Die Absorption des Cym würde aber in der fraglichen Spektralgegend mit der Wellenlänge λ 4215 plötzlich einsetzen und gegen das Ultraviolett langsam abklängen. Andere Verbindungen sind wohl auch aus dem Bogenspektrum bekannt, haben aber zum Teil ihre Erreissensbedingungen in ganz andere Spektralgebieten oder sind schon bei der Temperatur des Bogens in so geringer Menge vorhanden, daß sie gegen das Linienspektrum des Elements sehr in den Hintergrund treten. Auch in der Sternatmosphäre müßten wir diese Verbindungen nur in geringer Menge und in einer sehr dünnen Schicht als vorhanden annehmen, so daß auch hier die Absorption gegenüber der Einstrahlung kaum zur Geltung kommen könnte. Weiter müßten solche Verbindungen in allen Teilen des Spektrums sich kundgeben, aber wegen ihrer geringen Menge nur durch die intensiveren Teile der Erreissensbedingungen, also deren Köpfe in der Absorption in der Ercheinung treten.

Es scheint uns demnach nicht möglich, das rasche Abklingen des Spektrums lediglich durch Absorption in der Sternatmosphäre zu erklären, zumal, wie bereits bemerkt, die Intensitätsmaxima auf dem Licht-Negativ und den Fritsch-Negativen in auffallender Weise differieren.

Man könnte, bemerken Hirsch und Koestler weiter, einwenden, daß das Spektrum eines leuchtenden Gases viel mehr Linien zeigen müßte als das Spektrum von ϵ Pegasi und daß gemäß den Erfahrungen an Bogen- und Funken-spektren ziemlich viele, natürlich schwache Linien in Erreissens-Rang bleiben müßten. Dem gegenüber wäre zu bemerken, daß wir die Laboratoriums-erfahrungen bezüglich der Linienskehr nicht ohne weiteres heranziehen dürfen und daß bei der geringen aufleuchtenden Kraft des zur Analyse verwendeten Spektralapparates ein Verschwinden von Linien sehr wohl möglich ist. Da hier die Überwiegende Zahl dieser

Linien ziemlich schwach ist, so werden diese Linien nicht general wahrnehmbar sein, sondern bloß eine Aufhellung des Hintergrunds und unter Umständen ein Undeutlichwerden der Absorptionen bewirken. Man darf hier nicht vergessen, daß die Beobachtung eine photographische ist und daher unter allen je nach Mängeln leidet, welche der photographischen Technik überhaupt eigenständig sind. Es ist nämlich klar, daß man wegen der enormen Helligkeitskontraste in einem Spektrum mit hellen Linien und tief eingeschnittenen Absorptionen in der Exposition einer gewissen Mäßigkeit wird eintreten müssen, bei dem die hellsten Stellen bereits überexponiert sind, während die dunkelsten noch viel zu wenig Licht bekommen haben. Ein Ausgleich dieser Unerwünschte in der Exposition durch die Entwicklung ist nicht möglich. Überdies werden auf rein photographischem Wege, nämlich infolge stofflicher Ausbreitung des Lichtstrahles in der Schicht, helle Linien, die vollständig der Apparat an sich noch erträgt, zusammenfließen und schwache Absorptionen starkend werden. Auch hierdurch wird die Anzahl der deutlich wahrnehmbaren Linien im Spektrum vermindert.

Eine vollständige Auskunft über alle Details, welche der Spektrophotograph zu liefern vermag, können wir daher bloß durch Selbstaufnahmen mit systematisch veränderter Expositionszeit erhalten. Diese Art der photographischen

Technik müßte sich übrigens einem Erschöpfen auch in vielen andern Fällen der Astrophotographie sehr nützlich erweisen.

Außer der im vorhergehenden erbetenen Ansicht über die Konstitution von γ Pegasi haben wir auch noch andere Möglichkeiten ins Auge gefaßt im Anschluß an die sonst allgemein Annahmen über die Konstitution von Proxima. Aber nur mit denselben sehen wir in unserem Falle diskutierbar, nämlich die Annahme, daß wir es mit einem physischen, oder vielmehr Doppelstern zu tun hätten, von dessen Komponenten die eine die Erdsonne, die andere ein Absorptionsspektrum liefert. Aber auch diese Annahme er scheint uns unhaltbar, da in beiden Fällen die Existenzbeobachtungen von zwei ziemlich kräftigen, kontinuierlichen Grunde sich ableiten müßten und eine große Wahrscheinlichkeit dafür spricht, daß in den kräftigeren Absorptionen auch die entsprechenden Emissionen, nämlich ein starker Doppelstricher Verschiebung, im Spektrum auftreten müßten. Es gelingt uns nicht, unter dieser Annahme die Linien des Spektrums zu interpretieren und plausible Modifikationen der hellen Linien vorzufinden.

Aus den dunklen Meinungen haben Heuvelink und Kuntze für die Linien Verschiebung diesen Wort abgelehnt, der einer Bewegung des Sternes im Volumradius (für die Zeiten der Aufnahme) von —15.3 km entspricht.

Die neu aufgefundenen veränderlichen Sterne.

Die Angaben neu aufgefandener veränderlicher Sterne, deren Lichtwechsel auf Grund photographischer Aufnahmen angenommen wird, sind in den letzten Jahren sehr zahlreich geworden, sowohl allein in den Jahren 1904 und 1905 nicht weniger als 225 Sterne dieser Klasse angegeben wurden.

Von diesen sind jedoch bis jetzt keinem der von der Astronomischen Gesellschaft eingesetzten Kommissen für den offiziellen Katalog der veränderlichen Sterne, nur wenige definitiv als solche beantragt resp. beantragt worden. Dr. E. Hertwig bemerkt hierüber in 4. Heft des Veröffentlichungs-

der A. Q. (1905), daß auch der weitaus größte Teil der Anmerkungen neuer Verleiderlicher auf Sterne von sehr schwacher Helligkeit beruht, von denen entweder auf Grund nur weniger photographischer Aufnahmen moral. Mißtrauen gegen größere Helligkeiten indifferenter abgeleitet oder überhaupt ohne Grund gegeben war. Helligkeitsauswertungen unter Angabe ganz vieler Öfter angeordnet wurden. Das letztere, sagt er, lassen sich am Fernrohr nur mit großem Zeitaufwand in den günstigsten Verhältnissen führen, wenn nämlich die Sterne über die ununter Helligkeitsgrenze der Bonner und Cordoba Sternkarten (9.5 Größe) in ihrem Maximumlicht sich erheben, in den meisten Fällen aber gar nicht einmal identifizieren, während die ersten nach bei Betrachtung der fotografischen Sternklärtchen wegen ihrer oft kaum über die 13. Größe gelangenden Helligkeit nur dem guten Fernstehen erreichbar sind und dann immer noch einen ganz klaren mondlosen Himmel in ihrer Beobachtung verlangen, also

sehr selten nur nachgesehen werden können. Der Umstand, daß die Unsicherheit eines Stern selbst auf einer Kontrolle angewandten photographischen Platten bei schwachen getriebenen Sternen sehr wohl auch durch atmosphärische Verhältnisse bedingt sein kann und daher gegenüber einer ein- oder auch mehrmaligen Sichtbarkeit auf andern Platten noch keineswegs ein Beweis für die Veränderlichkeit ist, rechtfertigt jedenfalls die größte Vorsicht in der Aufnahme unter die zweifellos veränderlichen Sterne, zumal sich schon in verschiedenen Fällen eine ohne diese letztere Vorsicht vorgenommene Aufnahme wichtiger als unberechtigt erweisen hat. Das Entdecken kann durch richtige Anordnungen werden, ihre Anmerkungen auf eine größere Zahl von Aufnahmen zu drücken und besonders auch ihre Entdeckungen noch weiter durch Aufnahmen zu verfolgen, die den periodischen Charakter der Lichtschwankungen zu beweisen geeignet sind.

Planetenbildungen und Eiszeiten.

Auf einer der letzten Sitzungen der deutschen geologischen Gesellschaft zu Berlin vertrat sich Otto Jastrow über die Ursache der Eiszeiten. Er behauptet, die Verruche als Ursache der Eiszeit. Indische Vorgänge zu ermitteln, seien immer noch auf unüberwindliche Bedenken gestoßen, man sei deshalb in unserer Zeit mehr und mehr bemüht, jene Ursache in kosmischen Vorgängen zu suchen. Jeder kommt speciell auf die Idee, daß als solche die Bildung eines Planeten aus den Nebelringen der Sonne anzunehmen sei, daß die Absonderung eines Ringes und dessen Kontraktion zu einem Planeten bei unserer Erde, z. B. bei Entstehung der Venus und des Merkur, vorübergehende, sehr erhebliche Ver-

ringungen der Wärmemenge herbeiführen haben müßte. Da wir nun, sagt er, nach unserer jetzigen Kenntnis zwei große Eiszeiten in der Erdgeschichte feststellen können, so liegt es nahe, die permo-carb. als die Glaberration der Venus, die quartäre als die des Merkur anzunehmen. Indem er nicht ich, führt er fort, dieser Folgerung zunächst keine prinzipielle Bedenken für die obige Hypothese beizulegen, da über die Existenz eines kleinen erdähnlichen Planeten, des Eros, wohl keine Bedenken mehr erheben können, und dieser wahrscheinlich nur ein Trümmer eines größeren zerfallenen Planeten ist, und von astronomischer Seite mit der Möglichkeit geredet worden ist, daß die Sonne auch noch

dem Merkur noch einen kleinen Planeten abgeordnet haben könnte. Nach dieser Annahme wäre unser letzter Eiszeit mit diesem letzten Vorgange und die peruvische mit der Absonderung des Merkur in Beziehung zu bringen. Ist in diesem Falle bei der Bildung von Venus und Erds ununterbrochener Temperaturerhöhungen auf der Erde beschränkt bei deren damaliger Eigenwärme und dichten Atmosphäre keine Verbindung herbeizuführen zu haben, sondern nur eine stärkere Abkühlungsphase, deren Spuren vielleicht in dem Leben und der Entwicklungsgeschichte der Organismen zu erscheidender Bedeutung waren, aber größte Spuren nicht hinterlassen. Indessen würde auch hier daran zu erinnern sein, daß von australischen Geologen die Möglichkeit einer kumbischen Eiszeit betont wurde.

Was den Vorgang selbst anbetrifft, so stelle ich mir vor, daß der Ringbildung allmählich eintret, und die stärkste Abschwächung der Sonnenstrahlung erfolgt, als der starker abgekühlte Ring in keiner Form die Sonne verdeckte. Für die in neuerer Zeit ja für allmählich unerblicklich angesehenen Schwankungen in der Ausdehnung des irdischen Inlandess würden zunächst äußere Faktoren, wie die oben erwähnten, in Betracht zu ziehen sein, die für sich allein das ganze Phänomen zu erklären nicht genügt scheinen. Würde man denselben aber selbst eine erheblich geringe Bedeutung nicht zuschreiben wollen, so würde in Erwägung

zu ziehen sein, ob der Vorgang der Ringbildung an der Sonne und dessen schließliche Konzentration zu einem Planeten nicht auch Phasen haben könnte, die zahllose Verzerrungen des ganzen Störungsphänomens im Gefolge hätten. Die neuen Untersuchungen über den Zustand und die Ausbreitung der Sonne haben so wesentliche Modifikationen der bisherigen Ansichten bedingt, daß ich auch wage, mir ein derartiges ein klares Bild der Ringbildung vorzustellen, aber hoffe, daß die Astrophysiker auch die hier berührte Möglichkeit in den Kreis ihrer Erwägungen ziehen.

Es kann angenommen werden, daß die Absonderung eines Nebelrings und dessen Konzentration zu einem Planeten mit einer Verminderung der Wärmestrahlung der Sonne verbunden sein könnte, ohne daß diese Annahme etwas weiteres als sicher gelten muß, aber was jetzt über die Identifizierung der einzelnen von Ötologes (aber nicht von allernachgekommenen) versuchten Evidenzen mit der Entstehung der Planeten Merkur und Venus verhängt, ist doch nur höchst unsicher. Auch scheint aus seinen Ausführungen hervorzugehen, daß er glaubt, die Bahn des Erdsrings zwischen Venus- und Erdbahn. Die Ursache der Event wird hingegen allerdings nicht in kosmischen sondern in irdischen Verhältnissen gesucht und kann um diesen völlig eckelvoll werden, ebenso die Entstehung mehrerer Evidenzen.

Vermischte Nachrichten.

Die Kometen des Jahres 1905 im vergangenen Jahr sind vier Kometen beobachtet worden, von denen indessen keiner dem bloßen Auge sichtbar wurde. Der erste Komet wurde am 26. März von Giacobini auf der Sternwarte zu Nice aufgefunden. Er gelangte am

4. April in seine Sonnentnähe und war nur vergleichbar einem Stern 12. Größe. Nach der Berechnung von Weizsäcker betrug er eine Umlaufdauer von 27 Jahren.

Der zweite Komet wurde in der Nacht des 17. November von Schurt

zu Gesicht entdeckt. Er zeigte einen runden Kopf von 5 bis 6 Durchmesser mit zentraler Lichtkonzentration. Am 25. Oktober hatte er sein Perihel passiert und entfernte sich rasch von der Erde.

Der dritte Komet wurde von Giacconi am 6. Dezie. entdeckt in der Nähe des Antares. Sein Perihel erreichte er am 14. Januar 1906. Über seine Bahn ist noch nichts Genaues bekannt.

Der vierte Komet zeigte sich auf einer photographischen Platte, die von Sjöber auf dem Lowell-Observatorium am 29. November aufgenommen war. Über ihn verfuhrte außerdem bis jetzt nichts weiter.

Der Komet 1905 b wurde von Kapff auf dem astrophys. Observatorium Kleinschmidt-Heideberg am 3. März entdeckt. Der Komet zeigte einen etwa 30" langen Schweif und scharfen Kern. Nach der vorläufigen Bahnberechnung hätte er 1905 Dezember 25 seine Sonnennähe passiert in einer Entfernung von 1,3 Erdschweifenbrennweite. Sonnennähe gegen die Ekliptik ist sehr gering. Die Helligkeit des Kometen nimmt kontinuierlich ab. März 27 12h mitt. Zeit von Berlin war sein Ort am Himmel: $AR 11^h 28^m$ D + $2^{\circ}9'$.

Personalia. Prof. Dr. Anding in München ist zum Direktor der Sternwarte in Göttinge ernannt worden, und

wird seine Funktionen am 1. April übernehmen.

Ein astronomisches System zu verkaufen. Von einem Leser des *Brenn* wurde uns ein Zeitungsblatt zugesandt, in welchem eine „Astrologie“ ihre Dienste empfiehlt und schließlich das „System“ zum Kauf anbietet. Die Anzeige trägt als Kausum hier Platz finden, wo steht:

Astrologie. Sternkenntnis am Tage der Geburt. Aufschluß über das ganze Leben durch Auswertung eines Horoskops. Amerikanische Astrologie bildet Spezialitäten für Damen und Herren von 2—4 Uhr, Sonntags von 10—6 Uhr. Auf verlangen auch zu andern Stunden. (Auch brieflich mit genauer Angabe des Vornamens, des Geburtsortes und des Geburtsdatums. — Rückporto.) Auch ist das System veräußert.

Die solche schwindelhafte Aussagen in den Tagesblättern Aufnahmen finden, ist auch ein Zeichen der Zeit.

Parasiten für Freunde der Himmelsbeobachtung. Aus dem Laborator des „Stirn“ und mir mehrere größere und kleinere sehr gut erhaltenen Parasiten zum Verkaufe angeboten worden. Freunden der Himmelsbeobachtung, welche die Anschaffung eines solchen Instrumentes beabsichtigen und sich desselben an recht wenden, bin ich zu jeder gewünschten Auskunft gern bereit. Prof. Dr. Klein.

Literatur.

Die Bahnbestimmung der Himmelskörper. Von Julius Baumbach. Mit 16 Figuren im Text. Leipzig 1906. Verlag von Wilhelm Engelmann, Preis 24 Mk.

Für denjenigen, welcher sich mit Berechnungen von Planeten und Kometenbahnen beschäftigt, gibt es mehrere Handbücher, an die wichtigsten Werke von Wapen, Oppolzer und

Kleinham. Jedes derselben besitzt sein eigenständiges Verzeichnis. Besonders das *Lehrbuch* Oppolzers das von dem praktischen Beobachter wohl bevorzugt wird. Wesen ist als neues *Lehrbuch* dieser Klasse interessant überliefert. Besonders wenn es auf den Erfahrungen eines praktischen astronomischen Nachkommen sich aufbaud. Das ist nun bei dem obigen *Lehrbuch* der Fall, dessen Verfasser als Direktor des

ausdrücken astronomischen Rechenwerkzeug in Paris, aber auch viele von Erfahrungen auf diesem Felde geteilt, wie kann es werden. Die Verbindungen zur Rechenvereinerung der Himmelskörper gemäß den heutigen Erkenntnissen der Wissenschaft, können nicht populär sein, aber ihre Darstellungswiese und Anwendung kann in sehr reichhaltigen Maße übersichtlich, prägnant und für den Rechner handlich sein. Darin ist z. B. Oppolzer Lehrbuch merkwürdig. Das neue Werk von Baumbach scheint aus einer noch gelbteren Vorstufe in Bezug auf Disposition und Durchführung zu bestehen, während andere, die von den Erfahrungen eines Vorlesers als populäres astronomisches Rechner vermittelt im 1. Teil besteht in die astronomischen Koordinatensysteme, die Zeitrechnung, die übrigen Lehren aus der Mathematik (Trigonometrie, Algebra) sowie einem Zusammenwirken mit der Koordinatenrechnung. Hierin wird, werden Rechenregeln gegeben. Dieser Teil enthält Beispiele, von den bekanntesten Lehren von Interesse ist. Der 2. Teil beschäftigt sich mit der astronomischen Bewegung (in der Ellipse, Parabel, Hyperbel, Bewegung in parabolischen Bahnen), dann folgt im 3. Teil die Darstellung der geometrischen

Bewegung. Sehr eingehend werden in 4 Teile der astronomischen Methoden der ersten (Himmelskörper) Rechenrechnung dargestellt und für den Anfänger übersichtlich durchgerechnete Beispiele dargestellt. Schließlich gibt der Teil auch eine Zusammenfassung der Rechenrechnung. Der 5. Teil ist der Rechenrechnung gewidmet, Teil 6 der Theorie der optischen Instrumente und der Berechnung der definitiven Werte. Der letzte Teil gibt die Rechenrechnung der Astronomie Rechner und Doppelrechner, darunter auch die Rechenrechnung von den Koordinaten der Vorleser und aus praktischen Rechenrechnungen. Wie man aus dieser geliebten Übersicht des Hauptbuches sieht, besteht das Werk daraus vollständig die vollständige Reihe der astronomischen Rechenrechnungen. Die für die praktische Rechenrechnung notwendigen Hilfswerte hat Dr. Baumbach in einem besonderen Band (Lehrbuch der astronomischen Rechenrechnung) herausgegeben und auch in dieser Beziehung einen eigenen und umfangreichen gezeichnet. Sein neues Werk wird auf lange hinaus das kleine Handbuch für den praktischen astronomischen Rechner bleiben.

Stellungen der Saturnmonde. (Zählung S. 20)

Zeiten der heliographischen Beobachtung im Juni 1905.

Reith. Juni 2. 01^h 5; Juni 3. 21^h 5; Juni 4. 04^h 5; Juni 5. 00^h 5; Juni 6. 02^h 5;
Juni 10. 02^h 5; Juni 12. 02^h 5; Juni 14. 02^h 5; Juni 17. 02^h 5; Juni 20. 02^h 5; Juni 23. 02^h 5;
Juni 25. 02^h 5; Juni 27. 02^h 5; Juni 29. 02^h 5; Juni 30. 02^h 5.

Reith. Juni 2. 01^h 5; Juni 3. 02^h 5; Juni 4. 04^h 5; Juni 5. 00^h 5; Juni 6. 02^h 5;
Juni 10. 02^h 5; Juni 12. 02^h 5; Juni 14. 02^h 5; Juni 17. 02^h 5; Juni 20. 02^h 5.

Reith. Juni 2. 01^h 5; Juni 3. 02^h 5; Juni 4. 04^h 5; Juni 5. 00^h 5; Juni 6. 02^h 5;
Juni 10. 02^h 5; Juni 12. 02^h 5.

Reith. Juni 2. 01^h 5; Juni 3. 02^h 5; Juni 4. 04^h 5; Juni 5. 00^h 5; Juni 6. 02^h 5;
Juni 10. 02^h 5; Juni 12. 02^h 5; Juni 14. 02^h 5; Juni 17. 02^h 5; Juni 20. 02^h 5.

Reith. Juni 2. 01^h 5

Astronomischer Kalender für den Monat Juni 1906.

Jahre Tag	Sonne				Mond			
	Mittlere Berliner Mëßg.				Mittlere Berliner Mëßg.			
	Zögl. M. L. — W. L.	Rektascension	Declination		Rektascension	Declination	Mond im Meridian	
	h m s	h m s	° ' "		h m s	° ' "	h m	
1	— 0 33 13	4 33 32 36	+16 47 44.7	11 47 12 50	+ 0 1 00 9	7 19.1		
2	— 0 33 53	4 37 38 47	12 1 07	12 00 17 03	+ 0 23 01.5	8 17.9		
3	— 0 34 36	4 41 44 47	10 15 45.2	13 04 16 54	— 4 45 37.6	9 16.1		
4	— 0 35 09	4 45 50 50	10 23 18.3	14 08 42 36	— 9 21 46.8	10 14.7		
5	— 0 35 43	4 49 57 14	10 28 55.3	15 00 42 70	— 13 45 43.1	11 12.9		
6	— 0 36 10	4 54 3 45	10 34 17	16 01 38 08	— 17 14 48.9	12 10.6		
7	— 0 36 40	4 58 12 15	10 40 28.9	17 04 30 90	— 20 27 43.4	13 7.8		
8	— 0 37 05	5 0 25 43	10 47 58.6	18 08 18 40	— 23 27 3 4	14 4 6		
9	— 0 37 33	5 0 20 29	10 55 48.9	19 09 19 54	— 26 42 38.9	15 1 3		
10	— 0 38 0	5 10 34 45	10 57 47.4	20 08 54 32	— 29 45 4 8	16 3 7		
11	— 0 38 27	5 15 49 7.6	10 5 48.1	21 06 3 49	— 32 4 40.9	17 10.1		
12	— 0 38 57	5 18 53 30	10 4 48.9	22 03 37 54	— 34 54 5 9	17 42.3		
13	— 0 39 26	5 24 5 57	10 18 38.1	23 00 18 0	— 37 58 5 9	18 28.4		
14	— 0 39 54	5 27 5 44	10 14 47.9	— 0 5 55 36	— 40 48 4 9	19 18.5		
15	— 0 40 20	5 32 38 15	10 17 7.0	0 01 35 36	+ 0 43 37.6	20 10.9		
16	— 0 40 50	5 43 37 52	10 18 43.4	1 00 33 40	+ 4 55 36.3	20 30.6		
17	— 0 41 19	5 50 38 50	10 21 15.4	2 01 42 50	+ 8 44 14.8	21 15.4		
18	— 0 41 50	5 58 45 48	10 23 48.6	3 0 38 36	— 12 38 14.9	22 4.0		
19	— 0 42 21	6 47 45 57	10 26 58.9	4 04 38 56	— 16 35 7.9	22 48.6		
20	— 0 42 50	6 55 5 7.0	10 30 12.9	5 48 5 30	— 17 44 32.9	23 30.9		
21	— 0 43 19	6 58 18 45	10 33 47.6	6 33 47 34	— 18 38 47.8	—		
22	— 0 43 54	7 0 25 00.4	10 38 17.4	7 54 7 56	— 19 15 18.6	0 10.1		
23	— 0 44 28	7 4 34 7.2	10 39 43.9	7 28 9 70	— 20 5 37.9	1 18.9		
24	— 0 45 04	7 10 44 30	10 36 1.4	8 0 36 7.6	— 21 4 16.1	2 10.6		
25	— 0 45 38	7 12 53 44	10 34 58.9	8 0 38 58	— 17 9 49.9	3 10.9		
26	— 0 46 13	7 17 5 1.0	10 33 33.4	9 03 2 18	— 14 11 37.3	4 14.3		
27	— 0 46 41	7 25 7 54.5	10 31 36.9	10 45 8 16	— 10 58 43.4	5 12.6		
28	— 0 47 10	7 28 7 50.2	10 28 27.6	11 54 9 48	— 8 28 1.9	6 22.9		
29	— 0 47 38	7 36 30 43	10 25 54.4	13 33 1 5.2	+ 1 47 48.1	8 10.0		
30	+ 0 48 47	7 45 55 37	+10 23 28.6	15 17 13 17	— 5 0 58.9	7 3.7		

Planetenscheinlagen 1906.

Jun	8	18.1	Venus in Konjunktion mit Merkur. Venus 2° 44' süd.
„	8	19	Merkur in aufsteigendem Knoten.
„	8	22	Saturn in Opposition mit der Sonne.
„	8	3	Merkur in der Sommerlinie.
„	8	14	Merkur in starker Konjunktion mit der Sonne.
„	8	3	Merkur in Konjunktion mit Jupiter. Merkur 1° 36' süd.
„	10	1	Jupiter in Konjunktion mit der Sonne.
„	12	14	Saturn in Konjunktion mit dem Monde.
„	13	17	Merkur in Konjunktion mit Mars. Merkur 1' süd.
„	13	18	Merkur in größter südlicher Entfernung vom Sonne.
„	14	20	Merkur in Konjunktion mit Neptun. Merkur 2° 47' süd.
„	14	22	Venus in größter südlicher Entfernung vom Sonne.
„	16	14	Jupiter in Konjunktion mit dem Monde.
„	22	22	Sonne tritt in das Zeichen des Krebses. Sommeranfang.
„	24	2	Mars in Konjunktion mit dem Monde.
„	26	6	Merkur in Konjunktion mit dem Monde.
„	28	12	Venus in Konjunktion mit dem Monde.
„	28	9	Mars in Konjunktion mit Merkur. Mars 1° 40' süd.
„	29	6	Uranus in Konjunktion mit dem Monde.
„	30	17	Uranus in Opposition mit der Sonne.

SIRIUS.

Zeitschrift für populäre Astronomie.

Centralorgan für alle Freunde und Förderer der Himmelskunde.

Herausgegeben

unter Mitwirkung hervorragender Fachlehrer und astronomischer Schriftsteller

von Prof. Dr. Hermann A. Klein in Köln.

Mai 1906.

„Wissen und Erleben steht der Freude und der
Beseeligung der Menschheit.“ — Kautsky.

Jeden Monat 1 Heft. — Jährlich 12 Mk.

Verlag von EDUARD HEINRICH HAYEN in Leipzig.

INHALT: Zur Physik der Sonne. (Schmidt.) S. 97. — Beobachtungen am Perseidenguss. Stern. Teil VI. S. 99. — Vermut. über die Entstehung der Magnetpole des Mondes. S. 104. — Merkwürdige Doppelstern. S. 105. — Betrachtungen über die Konstellation der Milchstraße. S. 107. — Über die Lage der Milchstraße nach H. v. Hertzs. S. 113. — Yarnachens Pleiaden. S. 115. — Astronomischer Kalender. S. 117. — Notizen der Japlanische. S. 119. — Erscheinungen des Japlanische. S. 120. — Notizen der Saturnische. S. 121.

Zur Physik der Sonne.

Vortrag im Verein für natürl. Naturkunde in Stuttgart.

Von Prof. Dr. Aug. Schmidt.

(Schluß.)

Das Licht nämlich, welches von einem Punkte des Sonnengrundes ausgeht und unter verschiedenen Richtungen die Oberfläche erreicht, teilt sich in drei Gruppen von Strahlen. Die erste Gruppe umfaßt alle Strahlen, welche von der senkrechten Richtung um mehr als 49° abweichen, sie treten gar nicht über die Sonnenoberfläche, sie werden total reflektiert nach dem Gesetz der Spiegelung. Ferner, es dem ganzen Kugel von Strahlen innerhalb des Grenzwinkels der Totalreflexion spaltet sich jeder einzelne Strahl in einen unreflektierten und einen nach unten reflektierten, und zwar ist der abgewinkelte, reflektierte Teil um so

stärker, je näher der Strahl der Grenzrichtung ist. Endlich der ausstretende Lichtkegel zerfällt sich in die sich bei der horizontalen Richtung erweiternden Strahlen und zwei wird nach hier das Gebiet der natürl. unreflektierten Strahlen, weniger, das der der Grenz nahen Strahlen am stärksten von der Zurückweisung betroffen. Die ganze Erleuchtung folgt mathematisch aus dem Gesetz der Lichtbrechung, womit sich auch die allgemeinen Entfernungen verbinden, und da je nach der Farbe bzw. der Wellenlänge des Lichts die Brechungsverhältnisse sich ändern, so muß auch die beobachtete Verschiebung mit Wasser eine Abänderung nachher

oder langwexner Helligkeitsänderung je nach der Wellenlänge ergeben.

Wenn die Sonnenatmosphäre, besonders die Chromosphäre, ein lichtbrechendes Mittel ist, so muß sie einen Teil des Photosphärenlichtes total nach innen reflektieren, nicht in gleicher, sondern in gegebeneren Stufen (zuletztlich ist in die Stufe der Reflexion die Refraktion), so muß auch von den die Sonnenatmosphäre durchsetzenden Strahlen einen im Bogen gleichsam abgelenkten Teil abgeben, d. h. daß die Helligkeit der senkrecht der Atmosphärenschichten durchschneidenden Strahlen am größten, die Helligkeit der Randstrahlen des Sonnenscheibens am kleinsten wird.

In der Tat, wollen wir die Helligkeitsabnahme ganz der Absorption zuschreiben, so könnten wir zu dem Kausalzweck gelangen, fortlaufend von der kältesten Sonnenhülle aufgenommener Energiemenge, daß über den Verbleib dieser Energie eine vernünftige Annahme machen zu können.

Daß die Sonnenhülle auf das sie durchsetzende weiße Licht absorbierend wirkt, soll nicht bestritten werden. Die Spektralanalyse zeigt uns die Wirkung dieser Absorption in den Tausenden dunkler Fraunhofer'scher Linien, welche das Spektrum des Sonnenlichts durchsetzen. Wir finden dieses Licht wieder in dem Eigalicht, welches die Chromosphäre am Rande der Sonnenscheibe aussendet. Es ist aber so schwach, daß es nur bei totalen Finsternissen gesehen, sonst aber vom Glanz der Sonnenscheibe weit überstrahlt wird.

Wenn die Strahlenbrechung in der Sonnenatmosphäre die Hauptursache der Helligkeitsunterschiede zwischen Mitte und Rand der Scheibe ist, so sind die meisten und reichlichsten Messungen Voigt's mit dem Spektrophotometer von wichtigem wertvollem Material, um die lichtbrechenden Eigenschaften und damit die chemische Natur der Sonnenhülle bildendes Gas zu ergründen. Ich erlaube in Kürze das Ergebnis

der von mir angestellten Beobachtung. Das auf dem weitestgehenden inneren Teile der Sonne auflagernde Gas, dem wir schon mit Rücksicht auf das Benennungsgesetz dies als uns bekanntes Gas überbretende Feinheit und Leichtigkeit zuschreiben dürfen sind, besitzt ein ganz eigenartliches, für ein Gas großes Lichtbrechungsvermögen, in Vergleich desjenigen des Wassers vergrößert, und besonders eine große Verschiedenheit dieses Vermögens je nach der Wellenlänge, d. h. ein großes Farbenbrechungsvermögen. Es zeigt immer eine Besonderheit in der Abnahme seines Brechungsvermögens, eine sogenannte anomale Dispersion, welche darauf hinweist, daß dem Gas als Eigenlicht seine Spektrallinie eine Linie im Gasse zukommt. Längst kennt man in der Sonnenatmosphäre einer auch durch eine große Spektrallinie verlaufenden Stoff, dem man wegen seiner Gegenwart in der Sonnenkorona den Namen Koronam gegeben hat. Auf der Erde ist ein Gas mit dieser Spektrallinie noch nicht sicher nachgewiesen. Daß aber auch unter den Körpern der Erde der Wasserstoff nicht das wichtigste Element ist, wissen wir aus den Versuchen über elektrische Entladungen in Glasröhren. Die rotierende Physik erklärt bei diesen Versuchen einen gasartigen Körper von 2000 mal kleinerem Molekulargewicht als derjenige des Wasserstoffs. Eine demartig schmale würde das Koronam sein, welches den überwiegenden Hauptbestandteil der Sonnenatmosphäre zu bilden scheint bis herab zu den weitglühenden Schichten. Alle andern in der Chromosphäre nachgewiesenen Elemente, Wasserstoff, Helium, Leuchtstoffe und Schwermetalle, wären nur in sehr verdünnter Lösung darin enthalten.

Gegenüber den sonst verbreiteten Theorien, nach welchen entweder die Sonne ein flüssiger Körper ist, mit dem die Lichtbrechung so gut wie unbetrachteten Atmosphäre von glühenden

Metallkämpfen und Wasserstoff 3000 bis hoch bedeckt, oder auch weichen die von einer solchen Atmosphäre überlagerte Photosphäre ähnlich unserm Welken aus schwachem Kundenstrahlung von mindestens 6000 Grad Temperatur besteht, schwachenden Metallkämpfen, getragen von Gasen größer Verdichtung. Theorien, nach welchen die Protuberanzen vulkanische Ausbrüche und Sprühbrunnen glühender Gase sind, die sich mit Hunderten von Kilometern Geschwindigkeit in den Kosmos ausbreiten, — gegenüber solchen Vorstellungen führt keine Theorie zu sehr abweichenden Folgerungen, welche besonders solchen Gelehrten sehr gewagt erscheinen müssen, die die für die neuen Vorstellungen in ihren Veröffentlichungen bereits Partei genommen haben.

Die Physik der Sonne wird wohl nie aufhören, der Forschung neue ungeheure Probleme zuhändigen. Der Stand des physikalischen Wissens jedes Zeitalters spiegelt sich in den Hypothesen über die Natur der Sonne wieder. Das größte dieser Probleme ist wohl der Wärmehaushalt der Sonne. Da von der modernen Wissenschaft gegebene Lösung ist die Energieverteilung durch Strahlung ersetzt werden durch Gravitationsenergie, die sich in einer Wärme umwandelt, nach R. Meyer durch die Heranziehung kosmischer Massen auf die Sonne, nach H. von Helmholtz und Lord Kelvin durch Zusammenziehung der Sonnenmasse selbst. Beiderlei Vorstellungen sind berechtigt und erlauben auch Sverest ein an-

weiliger Ersatz des Verlustes ausbleibt, muß der erhaltende Gasball unter Volumenverminderung sich wieder erwärmen. Aber beide Vorstellungen setzen dem Wissenschaftler ein wenn auch noch so fernes Ziel, das Ziel, wo die kleinen Massen des Weltraums von den großen verschlungen sind und wo die großen Massen die Grenzen der Schmelzung erreicht haben. Dieses Ziel ist Lord Kelvins Wärmetod.

Aber diese ganz Anschauung von einem solchen Ziele der Weltentwicklung beruht auf einem vor bald 30 Jahren von dem Wiener Physiker Boltzmann gemachten Fehlschlag, durch welchen die allgemeine Naturvorgang getragener wurde. Die Atmosphären der Himmelskörper erfüllen alle die Aufgabe, unter der Wirkung der Schwere Wärme von ihren kalteren oberen Teilen nach den wärmeren Teilen zu leiten durch die auf- und absteigende Bewegung der kleinsten Teile der Gase. Ich habe in einem früheren Vortrage diese meteorologischen Vorgänge näher besprochen. Die in ihrer Hitze begrenzten Atmosphären werden diese Aufgabe der Wärmetransportation nur sehr unvollständig erfüllen. Sollte es aber eine allgemeine Weltraumatmosphäre geben, noch vielmal heißer als die Kosmos, durch Alerte, wenn auch noch so klein, die Schwere der Massenanziehung nicht ganz entzogen sind, so ist diese Atmosphäre geeignet, alle von der Sonne des Weltraums empfangene Energie aufzunehmen und zu den Zentralkörpern zurückzuführen, von welchen sie stammt.

Mondlandschaften am Fernrohr gezeichnet.

Von Jacob Meier.

(Platte Tafel VI)

Ich Jacob Meier in Niederstadelstein, soll meine Jahre den Lesern durch meine verlässlichen Zeichnungen von Mondlandschaften rüh-

ligst bekannt, gibt auf Tafel VI wieder von Darstellungen einer Mondgegend, die besonders interessant darstellt. Die Zeichnungen sind sämtlich am 24.

volligen Reklutter des Herrn Meier und unmittelbar vor dem Fornehr angeordnet. Zu demselben gibt der Beobachter folgende Erläuterungen:

I Nordwall von Ballhalda und Ringwall Lühmützky mit Umgebung. 1905 Nov. 4 abends 7½ bis 10½ Uhr H. E. Z. Luft gut. Voge 238

Nördlich des Krater F findet sich ein Objekt, welches ich mit Z bezeichne. Es erscheint als runder Hügel mit hellem Nucleus. In einem besonders günstigen Augenblick aber glaubte ich einen dunklen Punkt im Innern zu sehen, suchte ihn aber nicht zu. Die mit X bezeichnete Formation zwischen den Hügeln zeigt sich vollständig einem kugelförmigen Krater, ist aber bei Néson nicht zu finden.

Das Innere von Lühmützky war gleichmäßig dunkel.

Auch als ich das Terrain nördlich Lühmützky aufnahm, trat Bewölkung ein und konnte ich nur noch umgegraben, sonst würde die Zeichnung weitgehender geworden sein. Auf die Hügelsgrube neben den Ringbergen habe ich übrigens besonders Aufmerksamkeit verwendet, auch hoffte ich den Nordwall der Ballhalda nördlich dagegen zu haben.

II Mondlandschaft westlich von Yntrevaas. 1905 December 1, 6½ bis 9½ Uhr. Voge 186. Luft während und schlecht.

Die ganze Gegend war sehr dunkel und bei dem schlechten Lichtstande des Detail war sehr schwer zu sehen. Der Krater a auf der Hochseite im Süden zeigte sich nur schemenhaft als heller. Die ganze Gegend war so grau in grau, daß ich nur unter den größten Schwierigkeiten arbeiten konnte.

III Mondlandschaft nördlich der Riphilen. 1905 December 6, 9 bis 11 Uhr. Voge 183. Luft sehr während

Im oberen Teile der Zeichnung finden sich 4 Objekte, die aufgeführten Namen ähnlich sind. Das westliche derselben scheint in der Mitte eines dunklen Punktes zu haben, doch bin ich nicht ganz sicher, da die Luft zu bewegt war. Die bei Néson mit B.C. bezeichneten Krater fallen alle einem hellen Ring außerhalb des Wals. Krater X war schwer zu sehen und sehr dunkel. Bei Z schien ein Stück des Wals zu fehlen. Die oben erwähnten Aufhebungen waren schwer sichtbar und sie sind jedenfalls nur von ganz geringer Höhe.

IV. Maskelyne und Umgebung. 1905, Decbr. 31, 5 bis 7 Uhr abends Voge 210, Luft gut, aber starker Wind, der das Fornehr so zerfließen machte, daß die Beobachtung vorzeitig geschlossen werden mußte.

Die von Maskelyne nördlich verlaufende Furche erschien mir bekannt als Rille, deren westlicher Rand erhöht und mit einigen niedrigen Hügelsuppen besetzt schien. Der Schüssel einer Kuppe war in der Tiefe der Rille und auf dem östlichen Rande sichtbar.

Die Rille durchschneidet im Norden eine Hügelsgruppe in beiden dunklen Schleiern und nicht weiter in das Innere hinein. Bei Néson ist sie nicht als Rille eingetragene. Südlich von Maskelyne zeigte sich ebenfalls ein rillenförmiges Objekt. Anfangs erschien es mir als ziemlich tief und breite Einsenkung, die aber mit höher steigender Sonne immer schmaler wurde und bis Schluss der Beobachtung als sehr dunkle Linie sichtbar blieb. Von dieser Linie zweigte sich ein Arm ab, der eine kurze Strecke nach dem Nördlichen b. hin verlief.

Die Zeichnung ist etwas heller gehalten, wie sich dem Mondgrund in Wirklichkeit dem Beobachter zeigt.

Versuche über die Bildungswelse der Ringgebirge des Mondes.

Am selben Tage des Jahres (S. 51 bis 56) sind die Versuche beschrieben, welche Robert Schuster in jüngerer Zeit angestellt hat und die ihn zu bemerkenswerten Schlüssen über die Bildungsweise der Mondoberfläche führten. Wie aus Prof. Dr. Eberts in München jetzt veröffentlichten, bei dieser schon vor 16 Jahren ganz gleiche Versuche angestellt und beschrieben, auch zum Apparat konstruiert der den Schmelzschmelzen in mehrfacher Beziehung ähnlich, sowie endlich seine Experimente mit einer Modifizierung angeordnet, die offenbar den geschwundenen Kugelmassen der erlöschenden Mondkugel näher steht. Die Arbeiten von Prof. Ebert sind 1890 in den *Annalen der Physik*¹⁾ unter dem Titel „Ein Vorversuchversuch aus dem Gebiete der physikalischen Geographie (Bildung der Schmelzmassen und der Mondringgebirge)“ erschienen. Es ist daher lediglich eine Pflicht der Gerechtigkeit nachträglich der Versuche Prof. Eberts an dieser Stelle ebenfalls zu gedenken. Der hauptsächlichste Inhalt der erwähnten Abhandlung möge demnach hier Platz finden.

„Wenn eine Flüssigkeit, sagt Prof. Ebert a. a. O., über ihre Umgebung verteilt, so fällt sie, bei nicht zu raschem Zurückgehen, in ihr expandierte Teilchen auf der flachen Oberfläche liegen, oder wenn sie sich im Schmelzfluss befindet, bildet ein Teil von ihr ein erstarren Zustand zurück. Wird der Flüssigkeitspiegel dadurch wieder gehoben, daß an einer Stelle von neuem Flüssigkeit zufließt, so entsteht eine nach der Peripherie vordringende Welle; diese bricht an den liegen gebliebenen festen Partikeln oder den erstarrten Massen an, bei weiteren Zufließ übersteigt die Flüssigkeit die Einweichung und setzt von neuem Material

ab. So entsteht allmählich rings der Ringgebirge ein Wall, der an der inneren, dem See und der Brandung der Flüssigkeit angrenzten Seite eine steilere Böschung, an der äußeren eine sanftere, der Zügelzeit und Kollision der abgelagerten Massen entsprechende Böschung aufweist. Ist insbesondere das Material der festen Begrenzung der Flüssigkeit in dieser mehr oder weniger flüchtig, oder reicht im Falle eines Magnetismus in demselben ausgesprochene Widerstands, die Umrandung zum Teil abzuschneiden, so wird auch die Begrenzung allmählich erweitert. Da alle in die Flüssigkeit hinein einströmenden Partikeln der festen Umrandung rings einer im Verhältnis ihrer Horizontalablenkung langen Linie der umrandenden Einwirkung der Flüssigkeit ausgesetzt sind, so werden diese einströmenden Teile verhältnismäßig schneller abgerundet, und die Begrenzungsbahn selbst auch allmählich immer mehr der Gestalt eines Kreises, dessen Mittelpunkt in die Stelle fällt, in der der Zufluß der Flüssigkeit stattfindet, gleiche Proportionsverhältnisse nach allen Richtungen vorausgesetzt. Diese Erscheinung hat sowohl in geographischer wie in astrophysikalischer Hinsicht ein gewisses Interesse. Kreisförmige, teilweise flache Becken, deren Entstehung auf den angegebenen Vorgang hinweist, treten uns bei den Schmelzmassen entgegen, in ausgedehntester Maße beobachten wir sie ferner auf dem Monde, bei dem sie gewissermaßen den Grundtypus der ganzen Ozeanite darstellen, endlich dürfte für manche noch räthselhafte Erscheinungen des irdischen Vulkanismus der erwähnte Vorgang bei höherem Stadium des Schmelzes treten.

Bezüglich der weiteren Verhältnisse in den Dimensionen der Mondringgebirge sind jedoch nicht ganz zureichende Vorstellungen und Anschauungen vorhanden. Wohl mag es den

¹⁾ Neue Folge Bd. XLII, S. 356 bis 361.

Ansehen erreichen, wenn wir aus der Vogelperspektive auf ein mit Schichten gleichmäßig erfülltes solches Gebirgsgebilde, als müsse sich dessen Inneres in ungeheure Tiefen erstrecken. Indessen und als durch beständigen Benennung, wie «tief Höhlen», «gehobene Schläuche», «hängenflüssige Vertiefungen», die man häufig trifft, «Stratosen», tragen wir dem wahren Verhältnis des horizontalen zu den vertikalen Dimensionen Rechnung, so finden wir, daß diese Gebilde eher sehr flachen Tälern zu vergleichen sind, die bei großer Weite verhältnismäßig nur sehr wenig vertieft sind. . .

Um die geschilderten Formen nachzuahmen und das Zustandekommen ihrer besonderen Eigentümlichkeiten zu Experimente genauer zu studieren, habe ich mich der leicht schmelzbaren Woodhousen Metalllegierung bedient (12,5% Cadmium, 12,5% Zinn, 25,0% Blei, 50,0% Wismut. Schmelzpunkt 66°). Es kam darauf an, geschmolzene Teile der Legierung über bereits erstarre in regelmäßigen Intervallen mitgeteilt gleichförmig «verporungsfähigen und nach raschem Überfließen ebenso wieder zurückfließen zu lassen.»

Prof. Ebert gibt dazu eine schematische Ansicht und eine Beschreibung des von ihm benutzten Apparates, der es ermöglicht mittels einer Luftpumpe, die abwechselnd als Druck- und Saugpumpe wirkt, den Spiegel des geschmolzenen Metalls, welches über eine an dem Rindern aufgesetzten Platte mit rotierender Röhre ausgegossen wurde, zu heben oder zu senken. Damit das Metall in dem rotierenden Rohr nicht vorzeitig erstarrt, ist letzteres noch von einer Wandung umgeben, in der Dampf zirkuliert. Je nach dem Spiel der Luftpumpe hebt sich der Flüssigkeitsspiegel der Lache oder sinkt nach Belieben. Wird allmählich der Zufuß des erwärmenden Dampfes vermindert, so wird das Metall immer höher, erstarrt mehr und mehr, und oft so (den Schlammrindern) und den Hängungs-

gebirgen zu beobachtende Gestalt bildet zurück.

«Die äußere Umgehung, schildert Prof. Ebert, ist in allen Fällen sehr flach, wie auch die Gestalt der ursprünglich vorhandenen Flüssigkeitslache war. Das Innere liegt im allgemeinen tiefer als das Niveau der Umgebung, was für die Hängungsgebirge charakteristisch ist. Nur in den ziemlich seltenen Fällen, wo die Konzentration der noch flüssigen Teile mit dem unterhalb der Platte gelegenen Teilen raschige unterbrocher Entleerung in der Phase abgeschlossen wird, ist die des Magmas emporgedrückt ist, bleibt das Becken gefüllt, unter Umständen bis zum Rande, der Grund dafür, daß das zunächst schon vertieft, liegt darin, daß mit dem Einströmen der Masse zugleich neue Wärmemengen aus der Tiefe heraufgeführt werden; nur dann, wenn schon alles noch flüssige Material so weit abgekühlt ist, daß es gerade zu erstarren im Begriffe ist, kann die zugeführte Wärmemenge ausreichten, um, und der erstarrte Teil tritt die auf dem Rande ist er auch durch Bergste vertieft (das Hängungs Wapstein). Der Wall hat nun an das Becken dieselbe mittlere Höhe, das schließt indessen nicht aus, daß er auf einer ganzen Länge mit kleineren, untergeordneten Kuppen besetzt ist und daß eine zusammenhängender Verlauf vielfach durch kleinere Durchlässe und Scharten unterbrochen ist. Die inneren entsprechen den Stellen, durch die letzt noch Magma nach außen fließt. Die an der äußeren Abdeckung abfließenden und erstarrenden Magma Magmensteine geben oft Veranlassung zur Bildung von Röhren kleiner Erläuterung, welche ruffel von den Hänggebirge aus verlaufen, gerade diese ruffellen Hänggebirge sind für sich Hängungsgebirge sehr charakteristisch (Arnsbach, Eudora, Arnsbach). Die äußere Hängung ist immer sehr flach, die innere viel tiefer. Die erhaltenen Gebilde zeigen im Durchschnitt Y

höher und 34° seiner Böschung. Diese Gräben sind natürlich von der Natur des Materials abhängig, für die Mondringgebirge gilt ja! Schenkt für die äußere Böschung Abgängen von 3 bis 5° für die inneren von 25 bis 50° an.

«Aus dem Durchmesser der reifenen Becken, ihrer Tiefe unter dem Girk des Wulkes und der Höhe desselben über der Umgebung berechnete ich, führt Prof. Ebert fort, das Verhältnis der Volumina der Einklebung unter das mittlere Niveau und des Wulkes; es ergab sich im Mittel 2,5, wobei im allgemeinen das Volumen des aufgeworfenen Wulkes kleiner ist als das der Vertiefung, welche schließlich übrig bleibt, wenn alles erodiert ist, ich werde an einem anderen Orte zeigen, daß die ähnlichen Verhältnisse auch bei den meisten Mondringgebirgen statthaben. Auch im einzelnen ergibt sich eine große Reihe von Eigenlichkeiten, die namentlich in den verschiedenen Mondringgebirgen vollständige Analoge finden. Wird der Bildungsprozeß aus Zeit lang unterbrochen und wird dann das Heben und Senken des Magmas wieder ein, so liegt sich an den schon fertigen Wulk mehr ein zweites an, man erhält so die für die meisten größeren Ringgebirge charakteristischen mehrfachen Wulke. Münster bildet sich der sekundäre, erfüllt u. s. i. Wulk ein unvollkommenes an und ist an manchen Stellen der Peripherie vollkommen unterbrochen; es wird dies die vielfach zu beobachtenden großen Durchlässe in den Umwallungen der Ringgebirge.

Treten Ungleichmäßigkeiten in dem Bildungsprozeß ein, so bildet sich nicht ein einfacher, glatter matter Abhang, sondern derselbe wird treppenförmig, es bilden sich Terrassen. Auf dem Monde kennen wir fast kein Ringgebirge, bei dem solche Terrassen nicht wenigstens angedeutet sind.

Die Reliefgestaltung des Innern der Einsenkung verläuft verschieden, je nachdem bei welcher Phase der Heb-

und Senkewirkung der Prozeß durch Einsetzen der letzten Massen sich selbst abschließt. Ist noch ziemlich viel Magma geschmolzen, so bildet sich ein flach konvexes Becken, oder wenn sich die Hebewirkung noch geltend machen kann, ein flach konvex, beckenartig eingegipftes Innere. Ist der ganze Boden der Einsenkung erodiert und nur in der Mitte ein Kanal noch frei geblieben, so quillt das Magma zu einem kleinen zentralen Kegel an, der bald steiler, bald flacher, doch nie bis zur Höhe der Umwallung emporragt. Münster bildet sich eine zentrale Gruppe kleiner Kegel. Wenn noch genügend viel flüssiges Magma vorhanden ist, werden Entarrungsprodukte weiter ausgewaschen, innerhalb deren der letzte Rest des Magmas auf und ab oxydiert, es bildet sich ein zentraler kleiner Ringgebirge, ein Zentralkegel. Für alle die genannten Entarrungsmodifikationen lassen sich von der Mondoberfläche zahlreiche Beispiele heranziehen.

Prof. Ebert gibt zum Vergleich der erhaltenen künstlichen Gebilde mit den Mondringgebirgen zwei Abbildungen, welche mit ähnlichen von Herrn Schauder erhaltenen übereinstimmen.

«Man kann, bemerkt Prof. Ebert, die Frage aufwerfen: Haben wir denn noch andere Ansichten dafür, daß sich mit dem Monde Prozesse mit einer flüssigen Masse, z. B. Magma, abgespielt haben? Ein Nachrechnen solcher Ansichten würde offenbar sehr für die unsere, geistliche Voraussetzung der durch das Experiment erhaltenen Ringgebirge mit den Mondringgebirgen sprechen.

An den Rändern vieler der großen dunklen Mareflächen zeigen sich deutliche Spuren von Überflutungen, bei diesen Überflutungen hat eine teilweise Zerstörung der bereits vorhandenen Gebilde stattgefunden, denn den Ringgebirgen, welche am Rande liegen, fehlen die nach dem Mare zugehörigen Teile der Wulke, die inneren liegt in demselben Niveau, wie das umgebende

Mare und sagt dieselbe dunkle Färbung es ist also von dem Material der dunklen Mareflächen erfüllt. Besonders schön beobachtet man dies am westlichen Rande des Mare serrenit, wo das Mare ganz normale Ringgebirge Le Monnier zu einer solchen Höhe verwandelt worden ist, oder es dem am Mare nördlich gelegenen Pico de Dese von allen Schenographen so gedeuteten Beobachtungen gestatten in-
desseu noch keine Schluss auf die Natur des färbigen Materials, dessen Inwesen wir hier vor uns haben. Besonders hat man vielfach an einer Entdeckung in den grauen Mareflächen gedacht, man glaubt große „Erweiter“ vor sich zu haben. Zöllner³⁾ wies darauf hin, daß sich das Wasser hier in der Tat selbst unter dem Einflusse der durch keine merkliche Atmosphäre gedämpften Sonnenstrahlung in freien Zustande erhalten könnte und nach Langley's Bestimmung der Mondtemperatur eben zu 9° C. würde hierin übereinstimmen.

Zur Entscheidung dieser für die physische Beschaffenheit des Mondes so wichtigen Frage über die Natur des Materials der dunklen Mareflächen können Beobachtungen herangezogen werden, welche in unserer Zeit von Landers⁴⁾ über den Polarisationseffekt des Mondes veröffentlicht wurden und Landers zeigt, daß dem Oberflächenmaterial der dunklen Mareflächen, ein Polarisationseffekt $P=33^{\circ}17' (+7)$, von der Oberfläche an gedrückt, zukommt. Dies entspricht nach dem Brewsterschen Satz einem Brechungsindex $n=1,5230$; dies ist aber ziemlich genau der Brechungsindex der Opale oder der Obsidiane. Andererseits schließt das von Landers gefundene Resultat die Möglichkeit einer Entdeckung vollkommen aus. Dem entsprechend dem viel kleineren

Brechungsindex des Eises (eben 1,312) müßte jener Polarisationseffekt sich im 17° 18' ergeben haben, also weit größer, als die Grenze der möglichen Beobachtungsfähigkeit zuläßt.

Wir werden demnach mit ziemlicher Bestimmtheit auf ein Material hingewiesen, welches in optischer Beziehung unseren beschriebenen Lava sehr ähnelt, dabei ist nicht ausgeschlossen, daß dieses Material ebenso wie unsere Opale und Obsidiane in hohem Grade polkoidal ist, und daß sich hierin vielleicht das eigentümliche Verhalten der zentriert reflektierenden Kraft (Albedo) dieser dunklen Mareflächen bei verschiedenen Sonnenständen erklärt. Jedenfalls dürfte der Hinweis auf ein aus Kiesigen Magn. das wir hier erhalten, eine weitere Stütze für die Beschäftigung sein, die Ergebnisse der oben geschilderten Versuche auf das Mare anzuwenden.

Zum Schluß verheißt sich Prof. Ebert noch kurz über die verschiedenen Theorien, welche man über die Natur und Entstehung der Mondgebirge aufgestellt hat. Er sagt:

„Bei den Versuche, die Entstehung der für die Mondoberfläche so charakteristischen Ringgebirge kennen zu erklären, hat man zuerst zum Teil sehr hypothetische und viel begründete Annahmen gemacht. Bald nahm man seine Zuflucht zu eingeborenen Gesteinen, welche aus dem Mondinnern hervorbrechend, das betr. alte Oberflächenmaterial des Mondes in gewaltigen Massen aufgebildet haben sollten, bald zu massigen Meteoriteneinschlägen, welche die Mondkruste durchschlägen, rings um die Durchbruchstellen das zur Seite gedrückte Material weiterhin aufhäufen, der Zentralkegel sollte dann über den verbleibenden Massen zusammenstührenden feuerflüssigen Innerelementen seine Entstehung verdanken. Endlich dachte man sich Meteoriten auf die staubförmige Mondoberfläche fallen und sah in den Ringgebirgen die Figuren dieser kos-

³⁾ Fr. Zöllner, Physikalische Untersuchungen p. 252 f. 1895

⁴⁾ Landers, Compt. rend. 1899 p. 286 1898

machen Staubmassen. Gegen alle diese Erklärungsmacht läßt sich einwenden, nämlich, daß die herbeizugewogene Äquation zu Belästigen geführt haben würden, die, abgesehen etwa von der kreisförmigen Bewegung, in allen Einzelheiten nur eine höchst geringe Ähnlichkeit mit den wirklichen Ringgebirgen haben, vor allem aber, daß die Ausläufer machen, die nach dem heutigen Stand unserer Kenntnisse wenigstens durchaus nicht beobachtet werden.

Das Einzige, was wir auf Grund notwendiger Erfahrungen mit einiger Sicherheit annehmen können, ist

1. daß der Mond einst eine glühend flüssige Masse gewesen ist, die durch Ausdehnung in den kalten Weltraum allmählich ihre Wärme verlor und daher erstarrte, und zwar an der der Strahlung ausgesetzten Oberfläche zuerst,

2. daß der Mond, ehe er in seinen jetzigen Bewegungszustand überging, eine Periode durchgemacht hat, in der er eine selbständige Rotationsbewegung um seine Achse hatte, der vollendet eine Periode folgte, in der er, wie auch heute der Merkur, eine periodische Bewegung auslieferte. Die Bewegung beim Monde geschah um eine Achse, welche nahezu senkrecht stand zu der Verbindungslinie von Erd- und Mondschwerpunkt.

Es läßt sich aber zeigen, daß diese beiden Annahmen auch vollkommen harmonisch sind, um die Entstehung der Mondringgebirge zu erklären.

Denken wir uns einen glühend flüssigen Weltkörper der Abkühlung durch allseitige Strahlung unterworfen, so werden sich allmählich auf seiner

Oberfläche feste Erstarrungsschalen bilden, die in dem noch flüssigen Magna schwimmen. Beim Monde trat nun hierzu die Anziehung der Erde, welche eine große Flutwelle der flüssigen Bestandteile erzeugte, rollende der Mond unter dieser Flutwelle hinweg, so wurde in jedem Teile seiner Oberfläche das flüssige Magna abwechselnd erporphorisiert und gesenkt, es quoll bei jeder Flut über die festen Schollen empor, überflutete diese, zog sich dann bei eintretender Ebbe zurück und wiederholte das Spiel bei der nächsten Flut. Dabei war die feste Magna insofern, entgegenstehende Ecken und Kanten der umgeworfenen Schollen abzuscheiden und auch die Ausdehnung kreisförmig auseinander. Wir haben hier ganz denselben Vorfall wie im großen, wie in dem oben beschriebenen Experiment im kleinen. Daß unter diesen Bedingungen sich Gebirge erheben müssen, welche mit den Mondringgebirgen tatsächlich eine außerordentlich große Ähnlichkeit haben, zeigen die Versuche. . .

Nach dieser Vorstellung über die Entstehung der Ringgebirge müßten diese Formationen an dem Mondpolen stehen, ob dies der Fall ist, läßt sich nicht entscheiden, da wir nicht wissen, wo die Mondpole vor dem Eintreten des jetzigen Bewegungszustandes gelegen haben, und ob der Mondkörper nicht, nachdem er seine freie Ausdehnung verloren hatte, eine Kippung um eine Achse erfuhr, die nicht mit seiner Rotationsachse zusammenfällt, in der Tat sprechen hierfür einige Anzeichen.

Merkwürdige Doppelsterne.



Es sind einige sehr merkwürdige Doppelsterne, deren Begleiter zu Zeiten unsichtbar waren wegen Umstände, wo sie hätten wahrgenommen

werden können, trotz R. G. Allen die Aufmerksamkeit. Es sind folgende, deren angegebenster Ort für 1903 gilt.

95 Ceta

(AR 15 13.3m D = 1° 17')

Der Stern wurde von Alena Clark 1853 als doppel- erkannt und im folgenden Jahre von Dawen gemessen. Burnham beschreibt ihn als den schönsten Doppelstern am Himmel. Ich habe ihn, sagt er, hunderte Male mit Instrumenten von 6 bis 36 Zoll Öffnung untersucht ohne eine Spur des Begleiters wahrzunehmen, dagegen wurde dessen Stellung 1888 in zwei Nöthen gemessen. Alfken stimmt Burnham in Bezug auf das schwache Vorhanden des Begleiters bei. Er teilt folgende Beobachtungen mit:

1888,15. Der Hauptstern 6, der Begleiter 8. Größe. Distanz 0,51" Positionswinkel 136,7°. (13- und 36-zölliger Refraktor).

1900 und 1901. Der Begleiter konnte in vier Nöthen bei sehr guter Luft am 36-Zöller nicht gesehen werden.

1904,93. Der Begleiter unsichtbar am 36-Zöller bei guter Luft.

1904,014. Hauptstern 6, Begleiter 8. Größe. $d = 0.48''$ $p = 155.4^\circ$. (36-zölliger Refraktor)

83 Tauri

(AR 45 24.4m D = 15° 28')

Von W. Struve 1832 als Doppels- stern erkannt (2154). Der Hauptstern 5. Größe der Begleiter 8. Größe. Struve fand damals $d = 1.7''$ $p = 129^\circ$. Dobrowski 1862 $d = 1.13''$ $p = 96^\circ$. Burnham fand 1879 $d = 0.87''$ $p = 7.4^\circ$. 1890 konnte er den Begleiter nicht mehr sehen.

1904,9. Am 36-Zöller in mehreren Nöthen war der Begleiter nicht zu sehen.

1905,96. Hauptstern 6, Begleiter

9. Größe. $d = 0.57''$ $p = 169^\circ$ (36-Zöller).

1904,51. Bei mäßiger Luft wurde der Begleiter am 36-Zöller gesehen und gemessen.

185 Draconis

(AR 18 44.4m D = 49° 18')

Der Hauptstern 6.5, der Begleiter 6.5 Größe, von Burnham 1879 entdeckt. Die Distanz war damals 0.94". In den Jahren 1900 und 1902 konnte Alfken den Begleiter auch bei mäßig guter Luft am 36-Zöller sehen und seine Position messen, aber im Jahre 1904 war derselbe auch in 1500facher Vergrößerung unsichtbar. Zu Anfang 1906 erschien er wieder, war aber später auch bei guter Luft nicht zu sehen.

β 163

(AR 30 12.8m D = 11° 4')

Der Hauptstern ist 7., der Begleiter 8. Größe und von Burnham am 6-Zöller zuerst doppelt gesehen. Im Jahre 1898 ist der Begleiter am 13-Zöller der Lichtstärke gemessen worden: $d = 0.62''$ $p = 253.2^\circ$.

1905. Im Juli und August konnte Alfken am 36-Zöller auch in den besten Nöthen keine Spur des Begleiters wahrnehmen.

Die Unsichtbarkeit des Begleiters zu gewissen Zeiten kann, wie Alfken betont, schwerlich dem Umstände zugeschrieben werden, daß die angewandten Instrumente oder die Luftstille nicht ausreichend gewesen seien, was muß vielmehr an eine merkliche Lichtablenkung derselben denken. In der Tat liegt kein Grund vor, weshalb nicht auch der Begleiter eines Doppelsystems veränderlich sein sollte. Jedemfalls sind die von von Alfken angegebenen Doppelsysteme der Überwachung an großen Teleskopen sehr zu empfehlen.

Betrachtungen über die Konstitution der Milchstraße.

Eine vor einigen Jahren bei Paris (im Sémin 1903 S. 87 ausführlich mitgeteilt wurde) Prof. Wolf in Heidelberg auf die Tatsache hingewiesen, daß gemäß seinen photographischen Aufnahmen, kosmische Nebelflecke häufig in Beziehung zu auffallend sternenreichen Umgebungen stehen, demer, daß diese Nebel von Sternkreuzen umschlossen sind, die sich besonders nach einer Seite hin weit ausdehnen. Der Umstand, daß die Sternkreuze in der Nähe der großen Milchstraßenarme die letzteren nicht vollständig umschließen, sondern meist nur auf einer Seite begrenzen, hat L. Courvoisier veranlaßt, darauf hinzuweisen, daß die Verbindungsgeraden von Nebeln und Sternkreuzen bei den danach ermittelten Objekten im Raum eine gemeinsame Richtung zeigen. Aus der Hand eines zahlreichen Materials versucht er vielmehr¹⁾ die Verbindungsgerade einer Gesamtzahlgeheil in der relativen Lage der Sternkreuze zu den Nebeln darzulegen, welche aber in wesentlich andere Verhältnisse über den Ursprung der Sternkreuze führen, weil und welche — bei weiterer Bestätigung — vielfach nachzutheilen ist, was in der Konstitution der Milchstraße unter dem Flammensystem zu führen.

Zunächst gibt Courvoisier folgendes Verzeichnis der von ihm untersuchten Objekte und berechnet dabei die Lage der Sternkreuze gegen den Nebel durch Angabe der Himmelsrichtung:

1. Nebel bei ϵ Perse. »Der Nebel scheint nach SO fortgeschritten zu sein.« Sternkreuz also in NW.

2. Fliegender Nebel. Nebelpartien besonders in N. Sternkreuz S und SW.

3. Nebel in Auriga (δ bei SO + 34.915°). Sternkreuz hauptsächlich in NW.

3a. Der stromende Stern. Derselbe Nebel wie vorher. Sprink. um

Rande einer Sterngruppe, welche vorwiegend nach SO liegt. Sternkreuz in NW und N.

4. Orionnebel. »Der Nebel scheint nach NW fortgeschritten zu sein.« Sternkreuz also SO.

5. Nebel bei ϵ Orionis. Die Nebelstreifen gehen fast genau vom Stern nach S und begrenzen vom Sternkreuz in O, während westlich die Sterne viel zahlreicher sind.

6. Nebel bei γ Eridani. Letzte Station besonders in O resp SO, aber sehr unregelmäßig angeordnet.

7. Nebel in Monoceros. »Die Nebel streifen nach SO oder S fortgeschritten zu sein.« Sternkreuz also NW oder N.

8. Nebel bei δ Monocerotis. Sternkreuz N und W.

9. Nebel bei ν Scorp. Nebel in N, W und SW, Sternkreuz in O.

10. Nebel bei ρ Ophiuchi und südlich von Antares. Sternkreuz besonders in NO, ganz Rand. Der Hauptnebel etwas sprink.

11. Nebel bei θ Ophiuchi. Große Lücken in O.

12. Orionnebel (16° 58' — 15°) Lücken in NO des Nebels, ebenso eine Lücke NO von dem hellen Nebelstern. Ursache, von hellen Sternen ausgehend, nach NO und Lücken oben einer dichten Gruppe von Sternen ebenfalls in NO.

13. Tinknebel, Messier 20 (BO. 17° 54' — 23.0°). Am Rande einer unregelmäßigen nebigen (?) Partie, welche sich hauptsächlich nach NW erstreckt. Sternkreuz besonders in NO. Ähnlichkeit mit Orionnebel.

14. Messier 8 (BO. 17° 51' — 24.4°). Am Rande einer Milchstraßenpartie, von drei Seiten mit Sternkreuzen umgeben, vorwiegend aber gegen O. Diese sprink Struktur erkennen.

15. Amicus-Nebel (ca. 20° 56' + 44.5°). Auf drei Seiten vom Stern-

¹⁾ Astron. Nachr. Nr. 4971.

leben umgeben, besonders nach SW. In NO an die Milchstraße anlehend.

15a. Amerika-Nebel «Der Nebel scheint nach NO Langschritten zu sein». Struktortyp also SW.

16. Nebel in Cygnus (s. 21+30 + 49 f.). Unidentifizierter Nebel. Struktortyp besonders nach NW.

17. Nebel in Cepheus (21+30 + 57 f.). In einer Sterngruppe und am Rande einer Sternreihe, welche besonders in W und SW hervorsticht. Rötliche Sternmassen und Nebel vermischt.

18. Nebel in Cygnus (21+48 + 47 f.). Ein Nebel, von welchem aus sich eine sehr auffällige, bandartige Sternreihe nach W zieht.

19. Nebel in Cygnus. Westlich vom vorigen Nebel. Eine große Nebelmasse, neben welcher in W wiederum eine Reihe von Sternketten liegt.

20. Nebel in Cygnus, NO. 6860 Langgestreckter Schiefernebel, genau am Rande aber nach W gelegenes Sternkreuz.

«Um über die systematischen Verhältnisse der stäubigen Lage von Nebeln und Sternkreuzen klar zu werden, sagt Courvoisier, ergab es, die gemeinsamen Richtungen in eine kleine Skizze der Milchstraße einzutragen. Man erkennt dann — mit entsprechender Berücksichtigung der Unsicherheit der Angaben — eher weiteres, daß

I. ähnliche Verbindungslinien zwischen den Nebeln und ihren Sternkreuzen im wesentlichen parallel sind zur Ebene der Milchstraße.

Nebel sind aber die Richtungen Nebel — Sternkreuz dem Sinne nach nicht überall die gleichen, sondern derselben können sich bei einer bestimmten Stelle der Milchstraße, ungefähr in Cygnus, an und zwar so, daß

II. die Sternkreuze dem Sternbild Cygnus zugewandt erscheinen.

Diese beiden Regeln treten uns so klar entgegen, jederlei einer und diametrischen die Sternkreuze sind, resp. je stärker die Zugehörigkeit derselben zu den Nebeln sich ausprägt. Von der

letzten Regel machen auschließlich nur die Nebel in den Pegasus und in Orion, welche eigentlich nicht mehr der Milchstraße selbst angehören, eine Ausnahme.»

Dieses Tatsachen gegenüber ist ein Erklärungsversuch gerechtfertigt, wenn derselbe sich auch nur auf dem Gebiete der neuen Hypothese bewegen kann. Courvoisier sagt in dieser Beziehung:

«Zunächst scheint mir die oben geschilderte Gesetzmäßigkeit dafür zu sprechen, daß wir es bei der Entstehung der Sternkreuze in der Hauptache mit mechanischen Vorgängen zu tun haben und zwar solchen, welche wiederum mit der Frage der Konstitution der Milchstraße selbst in engem Zusammenhang stehen. Sie gibt einen weiteren Stützpunkt ab für die Ansicht, daß der gewaltige Komplex von Fixsternen, welcher sich dem Auge als «die Milchstraße» präsentiert, nicht nur dem bloßen Anblick nach, sondern tatsächlich ein einheitliches System mit gemeinsamen Bewegungen im Kosmos allgemeinen Bewegungen sind auch den bisherigen Erfahrungen und Anschauungen derartigen unplanbeligen, welche parallel der Ebene der Milchstraße vor sich gehen. Unser Beobachtungsanstrengt weist uns ebenfalls auf derartige Verschiebungen hin und es fragt sich, ob sie nicht Zueg mit einer Hypothese über die Struktur der Milchstraße verknüpft werden können.

Um neuen Vorstellungen in dieser Hinsicht eine bestimmte Grundlage zu geben, will ich die von Ptolemäus aufgestellte Hypothese für die Form der Milchstraße als zutreffend voraussetzen, wonach die letztere als ein Spindelrings gedacht werden muß, dessen Zentrum in der Gegend von Cygnus liegt, während die von diesem ausgehenden spiralförmigen Windungen die Sonne u. T. ganz umschließen und das typische Bild des, bald einfachen, bald verzweigten Streifens der Milchstraße erzeugen. Das für uns Wichtigste dieser Auffassung liegt darin, daß in diesem Falle der

Raum, welchen unser gesamtes Sonnensystem einnimmt, konstante gleichmäßig mit Körpern erfüllt ist, sondern daß derselbe sich in den Spiralwindungen relativ eng zusammenlagert, während zwischen denselben riesige Gegenden verbleiben. Der Ort der Sonne kann man sich — wie ich noch öfter andeuten werde — in einem dieser Spiralarme denken, so daß die um angeordneten Körper der „Sonnenstraße“ den Komplex der hellsten Fixsterne darstellen würden.

Die Ortsveränderungen der Massenpunkte eines solchen Spiralnebels werden bei ausstehenden Kräfteverhältnissen zunächst innerhalb der einzelnen Spiralarme als unregelmäßige (ungeordnete) Bewegungen in der Richtung nach dem Zentrum erfolgen, wozumehr aber auch in einer allgemeinen Rotation um das Wirbelzentrum bestehen können. Fassen wir hier vorläufig nur die ersteren ins Auge, so wird es also möglich sein, sich von unserem Standpunkte aus ein Stück einer benachbarten Spiralwindung, d. h. eines Abschnitts der Milchstraße wie einer ungeordneten Masse von dicht gedrängten, unregelmäßig Teilchen vorzustellen, welche sich alle in einer Richtung bewegen, eben so wie ein Fluß, auf den wir von einer Brücke hinsehen.

Daß die erwähnte große Geschwindigkeit der Milchstraße auch tatsächlich in dem eben besprochenen Sinne zu betrachten zuzulassen ist, scheint Consequenzen mit unmittelbarer Sicherheit beweisen zu können.

1. durch ihre scheinbare Lage zur Milchstraße überhaupt, wo liegen alle entweder am Rande der Milchstraße oder in dieser selbst und zwar bis jetzt am häufigsten da, wo die Milchstraße am dichtesten erscheint, also in Cygnus, Sagittarius usw.

2. durch die Bildung der Sternketten, welche ihre Begleiterscheinung ist und welche — wenn mechanischen Ursprungs — eben nur da denkbar ist, wo sich viele Sterne befinden, d. h. in

unmittelbarer Nähe der großen Sternkomplex der Milchstraße.

Es zeigt sich dem Herne, läßt er fort, daß die in Betracht kommenden Nebel offenbar meist da auftreten, wo innerhalb der Milchstraße am speziellen größtmassenkonzentrationen vorhanden sind, bei denen sie als unmittelbares Medium fungieren (Beispiele: Plejaden, Orionnebel, Auriganebel, γ Ophiuchi, Messier 8 und Messier 20), und daß derselbe andernorts öfters etwas spärliche Struktur erkennen lassen (Beispiele: Orionnebel, Auriganebel, γ Ophiuchi, Messier 8 und 20, Nebel in Cygnus 21) etc.), oder als Lichterflutung erscheinen, wie schon Wolf bei Anlaß der Kollisionsbildung der Sterne bemerkt (als ein sehr markantes Beispiel in dieser Beziehung betrachte ich den Amerikanebel). Endlich sind auch Beispiele dafür da, daß dünne Strahlen von Nebelmaterie die Grenze darüber überschreiten auch mit Strahlen erfüllten Gebiete betreffen (Nebel bei ϵ Orionis nach J. Roberts und besonders Nebel NGC. 6940, weniger deutlich NGC. 6932).

Alle diese Beobachtungen stützen mich sehr zunächst zu der Ansicht, daß im allgemeinen im Bereiche der Milchstraße für uns sichtbar: Nebelmaterie da zu suchen ist, wo entweder in Bezug auf die Verteilung der Massenpunkte oder in Bezug auf ihre gemeinsame Bewegung Anomalien vorhanden sind. Oder mit andern Worten, wenn wir das oben gebrauchte Bild benutzen: Die Nebel sind die Begleiterscheinungen von Wirbeln, Wirbelflächen oder Hinderungen in dem großen Strom der Milchstraße.

Daß tatsächlich Systeme von dicht gedrängten Sternen in Wirbelform auftreten, lehrt uns die Erfahrung. Es ist somit nur ein Analogieschluß, wenn wir annehmen, daß auch innerhalb der Milchstraße selbst Wirbel von Massenpunkten vorhanden sind, zumal die Beobachtungen uns Andeutungen davon geben, und vollends gerechtfertigt er-

spricht die Annahme von speziellen Massenansammlungen im Innern der Milchstraße. (Eine ganz andere und hier zunächst gar nicht in Betracht kommende Frage ist die nach dem Ursprung solcher Sternverbel. Sie ist mit der Frage nach der Natur der uns umfliehenden Cometen überhaupt nahe verwandt und könnte vorderhand zu verschiedenen Vermutungen Anlaß geben. Es stelle sich ebenfalls, unter Zugrundelegung der Kantischen Hypothese, annehmen, daß die in den Spalten der Milchstraße überall vorhandene, im verstreuten Nebelmaterie an gewissen Punkten ungeringfügig schon sich zu Wirbeln verdichtet hat, dadurch uns erst sichtbar geworden ist und nachträglich eine gegenüber der Umgebung größeren Anzicht von Sonnen erzeugt, oder dieselben an sich gebildet hat. Andererseits wäre es auch denkbar, daß zuerst die Sterne den Wirbel gebildet haben und daß die Nebel in ihrer Nähe eine sekundäre Erscheinung sind, entstanden etwa aus den Gasbüden der Sonnen.)

Auf Grund dieser Anschauungen geht Coevertier nun über zur Betrachtung einer Parallelie zwischen den Erscheinungen der Milchstraße und den Wirbelphänomenen innerhalb einer bewegten Flüssigkeitsschicht, für welche Heineke wichtige Untersuchungen geliefert hat. Dieser liegt bei den letzteren die Annahme einer Rotation der homogenen Flüssigkeitsschicht zugrunde und Coevertier untersucht nun, in welchen Einzelheiten man gelangt, wenn man die Analogie auf die Massenbewegungen der Milchstraße ausdehnt. Diese Übertragung der hydrodynamischen Formeln oder populär ausgedrückt der Wirbelbewegungsvorgänge der Massen Teilechen einer kontinuierlichen Flüssigkeitsschicht auf die Bewegungen kontinuierlicher Massenpunkte der Milchstraße ist freilich durchaus nicht ohne weiteres zufällig — und Coevertier gibt dies selbst zu — aber eine Analogie dieser sehr heterogenen Medien ist doch unvermeid-

bar und daher sind die Schlüsse aus den heineke'schen mathematischen Untersuchungen nicht ohne weiteres als ganz überprüfbar anzusehen. Sie gliedert man in folgendem:

«Bei der Milchstraße wird das Gebiet hinter dem Wirbelköpfe, welches analog dem des leeren Wassers ist, gar nicht mit Teilchen erfüllt werden, da hier kommen zu dem Schluß, daß dem Wirbel resp. dem Nebel im Sinne der allgemeinen Stromrichtung der Massenpunkte ein streckenloser Raum folgen muß, ganz ähnlich, wie z. B. auf der Rückseite eines in der Luft nach bewegten kalten Klumpen ein luftverdrängter Raum vorhanden ist.

Eine der typischsten Sternreihen ist diejenige bei dem Nebel $21^{\circ}45' + 47^{\circ}$, Nr. 13 unseres Verzeichnisses, welche von H. Wolf aufgenommen und abgebildet ist. Man wird sich des Eindruckes nicht erwehren können, daß hier zwischen der wirklichen und der hypothetischen Sternreihen ein auffallender Ähnlichkeit besteht, die sich namentlich auch auf die scheinliche Ablenkung der Richtung der Sternreihe von der Stromrichtung erstreckt. Freilich soll dabei nicht übersehen werden, daß im einzelnen Abweichungen vorhanden sind — wie z. B. das sternreiche Band rings um den Nebel herum — welche aber teils in Unvollkommenheiten der Darstellung des Nebels, teils durch Annahmen besonders Art ihrer Erklärung finden können. (Ich will z. B. nur auf die Absorption des Strahlens durch gewisse Nebelpartien hinweisen, eine Erklärungsmöglichkeit für Sternlöcher, welche in einzelnen Fällen gewiß nicht bestritten werden soll.)

Im allgemeinen werden sich auch die Sterne vor dem Wirbeln stauen müssen, sofern sie nicht etwa zum Teil in denselben eindringen. In der Tat findet sich eine Andeutung dergleichen Vorgänge bei manchen Nebeln, indem sie sich auf einer Seite vollständig an die Milchstraße anlehnen und die Zahl

der Stern an dieser Stelle vergrößert erscheint. Beispiele hierfür sind u. a. der Amerikastern, der Aufgabstern, Rosier 3 usw.

Dalß die ständereen Stellen oft less stärlieh frei von den typisehen Mälehstraßenwindungen sind, würde sich daraus erklären, daß eben auch hier der Winkel das ganze, wesentlich in Betracht kommende Merkmal darstellt.

Es ist kaum nötig zum noch besonders anzuführen, daß auch eine als gemeinsame System aufzufassende größere Massenbewegung innerhalb der Mälehstraße ähnliche Erscheinungen von Strahlensystem hervorzuheben besteht, wesptem so lings man annimmt, daß die Bewegungsgröße für alle Körper in einer bestimmten Stelle einer Spiralwindung dieselbe ist, wodurch dann größere Massen relativ geringere Geschwindigkeiten erfahren werden, also wiederum hinter der gemeinsamen Bewegung der Teile zurückbleiben müssen.

Die Enstomische Mälehstraßenhypothese gibt auch ein Mittel in die Hand, die obige Regel II, wiewohl alle Sternketten dem Strahlensystem Cygnus zugewendet sind, in der einfachsten Weise zu deuten. Wenn die Sternketten dadurch entstehen, daß die Winkel mit den sie erfüllenden Nebeln der Strömung der Mälehstraßenwindungen entgegenstehen und wenn wir für die Massenspitze der letzten tangentialen Bewegung nach dem Winkelzentrum zu voraussetzen, so folgt für einen Standpunkt außerhalb des Kaelens der Mälehstraße unmittelbar, daß in zwei verschiedenen Spiralwindungen die Sternketten nach dem Kaelen in gerader Linie müssen, dessen Ort Eason selbst in der Gegend von Cygnuskonstante. Neue Ansichten, sagt Courvoisier, führen also nicht nur dem Sinne der Erscheinungen, sondern auch ihrem Orte nach zu einer vollkommenen Übereinstimmung mit der Hypothese von Eason und sind somit überrecht wieder zustande, die letztere zu unterstützen.

Und weiter: „Um den Sinn einer vorhandenen Rotation des großen Mälehstraßenwinkels kennen zu lernen, genügt es, sich den Sinn der meisten Spiralwindungen anzuwenden wie zu machen. Umso Regel II läßt uns hier ganz im Stich, da in beiden Fällen die Bewegungen in den Spiralarmen nach dem Winkelzentrum in gerader Linie erscheinen werden. Ich nehme jedoch der Anordnung der Windungen, wie sie sich Eason denkt und welche von Norden gesehen auf eine Drehung des Winkels entgegen dem Uhrzeiger deutet, im allgemeinen den Vorrang geben und zwar in Hinsicht auf die nachfolgenden Überlegungen.

1. Zunächst scheint mir die Grund für diese Drehungen in der Mälehstraße in der Tatsache zu suchen zu sein, daß die Nebel in Orion und dem Plejaden anscheinend Aussehen von der Regel II bilden. Ich kommt dabei auf meine im nächsten von der Enstomischen abweichende Vorstellung der Mälehstraßenspiralen zu sprechen.

Ich denke mir unsere Sonne als in einer, vielleicht weniger dichten, Spiralwindung selbst gelagert, und glaube, daß diese verschiedene Bemerkungen, welche in neuerer Zeit gemacht worden sind, eine einfache Erklärung finden können.

Eine derartige Annahme deckt sich nämlich zunächst mit den Resultaten einiger Untersuchungen, wonach die Sterne in der Nähe der Sonne gedulager stehen als in größerer Entfernung; sie findet eine Bestätigung in dem bekannten „galactie belt“ von Quail, ferner in den von Kapteyn gefundenen bevorzugten zwei Richtungen der orbita proprii der Sterne und endlich in der Beobachtung von Campbell, daß die Eigenbewegungen im Violamradius größer sind für die schwächeren als im allgemeinen mittleren Sterne. Die Gesamtheit der Körper dieser „Sonnengürtels“ würde also im wesentlichen unseren Fixsternhaufen darstellen und es ist hierbei besonders hervor-

erhöhen, daß wegen der größeren Ausdehnung der Spiralewindung in der Ebene der Milchstraße, der «Sonnensystem» — wie er sonst wohl genannt wird — in der Tat gegen die Pole der Milchstraße zu abgeplattet erscheinen muß.

Außerdem aber erfüllen sich an zwei Stellen der Milchstraße, nämlich in der Richtung der erwähnten Spirale gegen ihren Ursprung, den Webeknoten und nach ihrem Ende zu — welches von uns aus gesehen von Cygnus nur wenige 1000' abheben muß — da in der bedeckten Sterne schonbar in besonderer Weise anzuzeigen. Auch diese Forderung unserer Anschauung scheint das Tatsächliche zu entsprechen, indem ein deutliches Maximum namentlich der schwachen Sterne der Sommer Durchmusterung in Cygnus, ein zweites in der Gegend zwischen Cassio minor und major vorhanden ist. Dieses Resultat kann freilich kein verlässliches sein, da ja das Material für die übrigen Teile der Milchstraße noch nicht genügend vorhanden ist.

Nach weiterer Voraussetzung wären also in der Richtung der «Sonnensystem» selbst überaus die hellen Sterne der Gruppe Lyra, Cygnus, Aquila, anderseits die von Orion, Cassio major usw. als die uns nächsten Körper anzusehen. Das Ende dieser Spirale wird aber, von der Sonne aus betrachtet, sich etwa in die Gegend der Plejaden und von Orion proprietas. Seine schwache Bewegung wird anzeigen denjenigen der benachbarten Spirale, welche von der Milchstraße von Cygnus nach Osten durch Cassiopea, Perseus, Auriga repräsentiert, welche müssen und seine Lage, ab nicht genau auf der Milchstraße liegend, würde sich leicht durch eine geringe Neigung der Ebene der Spirale gegen die Ebene der Milchstraße im allgemeinen erklären lassen, wie das

sehen durch die Richtung des «galactisch» angedeutet ist, und wie es außer dem durch das Vorhandensein ähnlicher Neigungen bei anderen Spiralkernen, welches in den Zeichnungen der Milchstraße seinen Ausdruck findet, wahrscheinlich gemacht wird.

Man kann auch noch hinzufügen, daß, wenn die Sonne ihren Ort in der Ebene der Milchstraße angenommen wird in der Bewegung ihres Sonnensystems, der Sonnensystem dann wegen der hypothetischen Neigung der Spirale gegen die Ebene der Milchstraße, nicht genau in diese selbst, sondern eher in den «galactisch», also in die Gegend von Lyra fallen muß. Die bisherigen Apocryphenentgegenstellungen dieser Ansicht, es würde aber zu weit führen darüber jetzt noch näher Betrachtungen anzustellen.

Allgemein können wir nun sagen, daß die oben besprochenen und in mancher Hinsicht mit der Erfahrung im Einklang befindlichen Anschauungsergebnisse nur auf Grund des oben erläuterten Drehungssystems, der Umdeutung des allgemeinen Milchstraßenwerts entstehen konnten.

1. Nehmen wir ferner an, die Monatsbewegung der Sonne erfolge auf der Tangente zu der Spiralewindung, welcher sie angehört, so muß, damit der Existenzform der Spiralkern Gerechtigkeit geschieht, dann der Apocryphen vom Kerne der Milchstraße, also von Cygnus liegen, was tatsächlich der Fall ist.

3. Endlich gewinnt der oben besprochene Drehungssinn für den Milchstraßenwaben mehrere im Widerspruch, als er der gleiche ist wie derjenige, den wir im Sonnensystem allgemein sowohl bei Translationen wie Rotationen beobachten.

Über die Lage der Milchstraße nach Ibn al Haitam.

Von Professor Dr. E. Windemann, Erlangen.

In anderer Stelle¹⁾ habe ich einen Auszug aus einem Traktat des großen arabischen Gelehrten Ibn al Haitam mitgeteilt, in dem er nachweist, daß die Fixsterne nicht durch Licht leuchten, das von der Sonne stammt, sondern daß sie Selbstleuchter sind. In dieser Zusammenhang mit dieser Untersuchung steht die Frage von Ibn al Haitam über die Lage der Milchstraße. Dabei handelt es sich darum ob sie in der Luft oder im Himmelsraum sich befindet. Die Frage wird im zweiten Sinne entschieden und zwar durch den Nachweis, daß es ihr keine Parallaxe auftritt. Um das Gedankengang und die uns oft recht unverständlichen arabischen Betrachtungsweise erkennen zu lassen, gebe ich eine wörtliche Übersetzung der arabischen Schrift. Diese Worte der Darstellung entnehmen sie auch das Studium der Optik unserer Gelehrten. Auf dem bedeutendsten astronomischen Werk „Über die äußere Erscheinung des Weltgebäudes“ habe ich später einmal zurück kommen zu können.

Dieser kleine Traktat findet sich handschriftlich in Leyden²⁾ (Katalog Nr. 3685). Er umfaßt vier Seiten. Die Handschrift ist sehr gut, vielfach punktiert. Das arabische $\dot{\text{ا}}$ am Anfang eines Wortes ist manchmal lang gezogen, diese bilden die diakritischen Punkte. Über dem unpunktierten و wird das Poema, ferner das و als Zeichen der Unpunktiertheit benutzt. (Vgl. dazu G. Jacob Annual Report of

the Smithsonian Institution 1900, S. 517 bis 545).

Die Übersetzung lautet

Im Namen Allahs, des Barmherzigen, des Gütigen. Antwort des Schiirich Abū 'Alī al Hasani Ibn al Hasani Ibn al Haitam auf die Frage eines, der fragte, ob die Milchstraße sich in der Luft oder im Himmelsraum befindet.

Da hast, Allah möge dich stärken, über die Milchstraße die Frage gestellt, ob sie sich in der Luft oder im Himmelsraum befindet und die Antwort lautet ist, daß sie sich im Himmelsraum befindet, daß ihre Entfernung von der Erdoberfläche außerordentlich groß ist im Verhältnis zur Hälfte des Erddurchmessers und daß sie höher als die Mondspitze sich befindet und zwar in einer außerordentlich großen Höhe. Der Beweis hierfür ist, daß wenn die Milchstraße in der Luft sich befände oder an einem Ort der nicht außerordentlich weit von der Erdoberfläche ist, so müßte man einen Unterschied im Ausblick³⁾ (eine Parallaxe) finden und zwar müßte man einen Unterschied in ihrem Ausblick im Vergleich zu den Fixsternen, die man in ihr erblickt, sehen, gerade wie man einen Unterschied im Ausblick des Mondes im Vergleich zu dem Körper der Sonne sieht zu den Zeiten der Sonnenfinsternisse (das ist der Fall), weil der Mond der Erdoberfläche nahe ist. Man sieht aber bei der Milchstraße und zwar aus keiner der Ursachen, die ihn bedingen können⁴⁾

¹⁾ Wochenschrift f. Astronomie 1896, S. 126.

²⁾ Herrs Professor De Lalande in Leyden, der so genau wie nur eine Photographie des Textes ausbeutete, Herrs Prof. Dr. Jacob in Erlangen, der die Übersetzung kontrollierte, sowie Herrs Prof. Dr. Hartwig in Kopenhagen, der mir manche Winke gab, sage ich auch an dieser Stelle besten Dank.

Stutt 1896. 21. 2.

³⁾ natürlich im Himmelsbilde (Karte).

⁴⁾ Schiirich al Mansur hat natürlich Untersuchungen (Verschiebung) im Ausblick, in der Perspektive) und beruht sich in seinem Text auf eventuelle Verschiebungen von Sternen gegen die Milchstraße, man könnte also durch Parallaxe überwiegen

einen Unterschied im Ausblick, denn der Unterschied im Ausblick rührt von zwei Ursachen her. Die eine von ihnen ist vorhanden.

Man sieht aber bei der Milchstraße weder keinen der Unterschiede, unter denen er auftreten könnte, einen Unterschied. Ein Unterschied im Ausblick kann unter zwei Umständen eintreten. Erstens, wenn man sich der Milchstraße an zwei verschiedenen Stellen des Himmels von einem Standpunkt auf der Erdoberfläche blickt, zweitens, wenn man von einem beliebigen Standpunkt auf der Erdoberfläche aus auch ihr blickt und auf ihr einen Fixstern sieht und zu derselben Stunde von einem andern, von dem ersten weitestliegenden Standpunkt auch ihr sieht, für denselben Unterschied im Ausblick vorhanden; so sieht man jene Sterne außerhalb der selben und fern von ihr.

Strenge verhält es sich für ersten Fall, falls ein Unterschied vorhanden ist; blickt man nämlich (dann) nach der Milchstraße während sie in der Mitte des Himmels steht und sieht man auf ihr einen Fixstern, so sieht man, wenn die Milchstraße nach dem Horizont kommt, von jenem Standpunkt jenen Stern außerhalb der Milchstraße und in einem Abstand von ihr.

Duß die beiden Ausführungen (richtig auch haben die Sachverständigen (Mathematiker) mit einem Beweise bewiesen, gegen den kein Einwande erhoben werden können und es ist nicht richtig, daß darüber eine Meinungsverschiedenheit besteht).

Dies ist der Fall, weil sie (die Sachverständigen) bei der Erwägung hinsichtlich die Sache zu begründen suchten auf Grund der Erfahrung¹⁾, daß der Mond die Sonne zur Zeit ihrer Verfinsternung verdeckt, denn die Sonne wird für einen Standpunkt der Erde durch den Mond verdeckt und zur gleichen Zeit für einen andern Stand-

punkt verdeckt²⁾. Aus ihrer Erwägung geht klar hervor, daß so oft er (der Mond) der Erde näher steht, der Unterschied im Ausblick von der Erde aus (gesprochen) größer ist. Wenn man nun die Milchstraße beobachtet von jedem Standpunkt der Erde und zu jedem Ort des Himmels zu jeder Stunde von der Zeit (d. h. ununterbrochen) so findet man in ihrem Ausblick keinen Unterschied, d. h. man findet bei keinem der Sterne, die man auf ihr sieht einen Unterschied der Lage im Verhältnis zu den Randern der Milchstraße, auch anders als der Stern, welchen man auf ihrem (auch den Randern) sieht, nicht von seinem Ort von ihnen fort.

Und deswegen der den rechten Weg weist zu der fehlerlosen Erkenntnis von diesem Dingen, der nach Zwerger hat, in Ptolemäus, der den Bau (Hb), der Milchstraße in seinem Buche Abmagnet³⁾ ausmagnetisierte und der die Kenntnis ihrer Orte (d. h. des Ortes der einzelnen Stellen) sich erwarb und den Stern erwähnt, welchen man auf ihr sieht und der die Lage eines jener Sterne, welchen man in ihr sieht, gemessen von den Randern, festlegte. Er sagt nämlich, daß der Stern α (d. h. Kaskabai) befindet im Innern der Milchstraße sich befindet und sein Abstand von dem östlichen oder westlichen Rand der Milchstraße 1° (auf) beträgt und bei einem andern Stern, daß seine Entfernung von ihrem Rand $1/2^\circ$ beträgt und bei einem, daß seine Entfernung von ihrem Rand 2° ist und daß der Stern γ (d. h. Kaskabai) ist (siehe).

¹⁾ d. h. an einem Standpunkt hat man (sagt), zu einem andern partiellen Verfinsternung.

²⁾ Die betreffenden Abschnitte über die Milchstraße haben in Ptolemäus Abmagnet Lib. VIII, 2 (S. 100) sowie in Heiberg Hb. I, 2, 170 ff. Im Kapitel über die Milchstraße hat Ptolemäus für mehrere Sterne die Angaben 1° und 2° (auf) = $\frac{1}{2}$ des größten Abstands nach 21° aber nicht 1° . Der Abstand wird je nach der Distanz der Art seiner Angaben angesetzt.

³⁾ nämlich zweitens bei der Erwägung darüber auf des Grund zu kommen suchen, auf Grund dessen, daß-

der Milchstraße von Osten oder Westen her-
führt, bis daß erst die Sterne, welche sich auf
der Milchstraße befinden und welche
er berühren, aufgeschildert hat. Das alles
hat er in seinem Buche sicher gestellt,
in Listen eingetragen und vermerkt.
Sieht man von jedem Standpunkte der
Erde zu jeder Stunde¹⁾ nach der Milch-
straße, so sind die Sterne, welche da
auf ihr stehen stets an den Orten, welche
Ptolemäus bestimmt und wieder er-
kennbar gemacht hat, also daß sie sich
verändert oder eine Verschiebung er-
fahren haben und wenn ein Erdbeben
war, was auch immer er will, kann
sorgfältig ermittelt, so findet er es ge-
wöhnlich der Angabe des Ptolemäus und
ganz entsprechend findet ein Beobach-
ter, der nach der Milchstraße in einer
Nacht an jedem Ort des Himmels sieht,
die Sterne, welche in ihr stehen, an
den Orten, welche Ptolemäus angibt,
ohne daß sie verändert oder verschoben
sind. Hätte aber an der Milchstraße
eine Veränderung des Aussehens statt-
gefunden, so wäre sie wahrlich von
Ptolemäus, während er sie beobachtete,
bemerkt worden, denn er beobachtete
sie (die Milchstraße) lange Zeit und zu
verschiedenen Zeiten, denn er konnte
sich die vollkommenste Kenntnis der Orte
der ähnlichen Sterne, die in ihr liegen,
nur dadurch verschaffen, daß er sie
(die Sterne) auf ihr (der Milchstraße)
während langer Zeit und zu ver-
schiedenen Orten des Himmels und zu
den Zeiten jeder Nacht beobachtete, wo-
bei sie (die Milchstraße) notwendiger-
weise nach ihrer Lage am Himmel hätte
verschieden müssen. Hätte sie (die
Milchstraße) aber ihre Lage am Himmel
geändert, so hätte er notwendigerweise
diesen Unterschied in ihrem Anblick
(sicherlich eine Verschiebung) bemerkt,
falls eine solche bei ihr eingetreten
wäre.

Ptolemäus gehört aber nicht zu

diesen, die bei ihren Beobachtungen
und Reden Vermutungen²⁾ folgen.
Zeigt daher die Milchstraße eine Ver-
schiebung im Anblick, so wäre sie
Ptolemäus aufgefallen und wider
Ptolemäus irgend ein Unterschied in
dem Anblick der Milchstraße aufgefallen,
als er die Orte der Sterne, welche man
auf ihr sieht, genau bestellte, so hätte
er die Verschiedenheit ihrem Anblicke
erwähnt, wie er den Unterschied in
dem Anblick des Mondes erwähnt, ihn
erklärt und auseinandersetzt³⁾. Aus
allem was wir gesagt haben geht klar
hervor, daß die Milchstraße keinen
Unterschied im Anblick zeigt. Zeigt
sich aber durchaus kein Unterschied im
Anblick, so ist sie nicht in der Luft
und nicht an einem der Erdoberfläche
nahe gelegenen Ort gelegen, und ferner
liegt sie oberhalb der Mondsphäre und
war an einem Orte, der sehr weit von
der Erdoberfläche entfernt ist, und das
ist was wir beweisen wollen.

Und Gott sei Lob und Dank

Die Frage⁴⁾ nach der Natur der
Milchstraße ist auch schon von den
Ältern behandelt worden. Aristoteles
führt an, daß einige Pythagoreer die
Milchstraße für den ehemaligen Säuen-
weg hielten, er macht dabei den Ein-
wurf, daß man dann auch jetzt noch
Wegs der Touristen ein ähnliches Licht
beobachten müßte. Er selbst hält die
Milchstraße für einen Meteor. Dagegen
nimmt Theophrast an, daß sie die Fuge
se, in der die beiden Himmelsphären
zusammengedrückt sind. Er glaubt näm-
lich, daß jenseits des Gewölbes noch
ein helleres Licht stehe, welches nur
durchschimmert etc.

¹⁾ Gerade wird hier in der zweiten Form,
in der von Wagners für die erste Form
gegebenen Bestimmung besteht.

²⁾ Vgl. Ptolemäus Almagest I, 6. V
und II und Hartung Bd. I, S. 464 ff.

³⁾ Vgl. Schubarth, Geschichte der physik.
Astronomie, Göttingen 1802. Aristoteles
Meteor. I, § 7 und Theophrast bei Macro-
bius, Somnium Scipiani I, 15.

⁴⁾ Es ist gewöhnlich von irgend einem Ort
zu irgend einer Stunde.

Vermischte Nachrichten.

Komet 1886a. Am 17. wurde von Ross in Melbourne ein Komet in $AR = 38^{\circ} 54'$ $D = - 7^{\circ} 43'$ entdeckt, der sich nordwärts bewegte. Der Durchmesser der Mittelhälfte beträgt 3', dieselbe zeigte starke Kondensation und war an Helligkeit einem Stern 8. Größe vergleichbar. Aus Beobachtungen zu Niua und Stralsburg liess E. Stenwig eine vorläufige Bahn des Kometen ab, wonach derselbe am 22. Februar in seiner Sonnennähe war und die Helligkeit abnahm.

Der 6. und 7. Jupitermond während der Opposition 1885 bis 1886. C. D. Perrine beschreibt¹⁾ über die Beobachtungen dieser Sateliten auf der Lickobservance. Der 6. Mond wurde während der letzten Opposition des Jupiter zuerst am 24. Juli von Albrecht und E. Smith mit dem Crossley-Refraktor aufgenommen. Er stand $36''$ vom Jupiter entfernt. Der Vergleichung wurden berechneten Ort ergriff, daß die Umlaufzeit 251 Tage beträgt. Der 7. Mond wurde mit dem nämlichen Instrument am 3. August von Albrecht wieder gefunden in $54.6'$ Abstand vom Jupiter. Der Vergleichung mit der Vorüberrechnung von De Ross macht wahrscheinlich, daß die Exzentrizität der Bahn dieses Mondes größer als 0.12 sei und vielleicht noch größer als 0.18 sei. Die Umlaufdauer ist wahrscheinlich nicht sehr verschieden von der des 6. Mondes und beide Trabanten bewegen sich rechtflügig um den Jupiter.

Die Struktur der Meteoriten. Auf Grund des Materials der Meteoritenammlung der Berliner Universität kommt Prof. Klotz (Berlin) zu einigen interessanten Ergebnissen, über die er sich in der Preussischen Akademie ver-

theilte. Er weist nach, daß die Struktur und der Bestand der Meteoriten dem entspricht, was die Technik künstlich darstellt, und es wird der weitere Nachweis geführt, daß die Meteoriten in Struktur und Bestand den irdischen Gesteinen gleichen, in Sonderheit, daß der Aufbau der selben als essentially denselbe im geschwungenen Charakter des radialstrahligen wie bei den Schieferungen der irdischen Gesteine ist. Hieraus geht hervor, daß die Natur auf der Erde und außerhalb derselben den gleichen Gesetzen der Bildung und Zusammenfügung unterworfen ist.

Feuerkugel. Herr Haas schreibt aus Tübingen, Abends am 5. März beobachtete ich im meinem $3\frac{1}{2}$ -Zöller den Mond, als ich um 10h 41m M. E. Z. plötzlich, obwohl ich gerade alle Aufmerksamkeit nur der Mondoberfläche zuwandte, durch einen hellen Schein gezwungen war, die Augen dem Zenith zuzuwenden. Ich bemerkte eine sehr geschweiften Feuerkugel, die nach hellem vom Zenithpunkte zum Stern β Lechis bewegte, wo sie (vielleicht durch Mondhelligkeit etwas verliert) erlosch. Die Erscheinung dauerte etwa 3 Sek. und trachtete auf mich den Eindruck eines Wollfahrs, daß beinahe so groß war wie die halbe Mondscheibe. Farbe weiß. Richtung NS.

Fernrohre für Freunde der Himmelsbeobachtung. Aus dem Linsenkreis des »Sinn«- und nur recht großem und kleiner sehr gut erhaltenen Fernrohr zum Verkauf ausgestellt worden. Freunden der Himmelsbeobachtung, welche die Anschaffung eines solchen Instrumentes beabsichtigen und sich dieselbe an euer wenden, bei ich zu jeder gewünschten Auskunft gern bereit. Prof. Dr. Klotz.

¹⁾ Publ. of Astron. Society of Pacific No. 106.

Astronomischer Kalender für den Monat Juli 1906.

Sonne					Mond				
Pöhlner Berliner Mittag.					Mühlner Berliner Mittag.				
Tag	Zeit M. L. — W. L.	Rektascension	Declination		Rektascension	Declination	Mond im Meridian		
h	m	h	m	s	h	m	h	m	s
1	+ 3 54.36	8 27 47.60	+43 1 23.65		16 11 4.18	— 1 43.100	7	53.8	
2	3 56.77	8 31 50.94	43 1 50.77		16 7 54.70	25 20.050	8	49.9	
3	3 59.11	8 36 3.87	43 2 23.70		16 3 50.96	38 54.000	9	47.1	
4	4 01.50	8 40 11.00	43 2 57.62		17 7 45.16	50 54.000	10	47.8	
5	4 04.30	8 44 18.43	43 3 34.55		17 10 37.18	20 0.000	11	49.1	
6	4 07.14	8 48 30.64	43 4 13.4		17 13 30.03	30 30.070	12	50.4	
7	4 10.04	8 53 38.27	43 4 56.50		17 16 1.15	40 55.0	13	49.9	
8	4 12.50	8 58 36.34	43 5 37.4		17 18 46.70	30 30.100	14	43.7	
9	4 15.56	9 03 42.83	43 6 27.11		17 21 1.30	13 7.000	15	54.8	
10	4 18.50	9 08 49.76	43 7 16.56		17 23 52.07	0 33.070	16	52.3	
11	4 21.39	9 13 56.21	43 8 10.50		17 26 4.070	0 15.070	17	7.5	
12	4 24.33	9 19 10.33	43 9 6.69		17 28 37.70	— 0 44.0	18	50.9	
13	4 27.09	9 24 37.70	43 9 54.00		17 30 31.90	+ 0 37.000	19	53.7	
14	4 29.39	9 30 7.70	43 10 39.00		17 32 47.0	7 55.000	20	50.7	
15	4 32.11	9 35 11.30	43 11 28.00		17 34 58.0	15 53.070	21	50.0	
16	4 34.57	9 40 14.77	43 12 19.1		17 37 50.0	24 54.000	22	45.7	
17	4 37.46	9 45 30.68	43 13 13.0		17 40 5.0	37 5.000	23	55.6	
18	4 40.31	9 50 39.00	43 14 10.0		17 42 57.0	48 55.000	24	51.0	
19	4 43.09	9 55 27.00	43 15 0.0		17 45 37.0	30 4.000	25	50.5	
20	4 45.49	10 00 20.70	43 15 56.4		17 48 12.0	30 10.000	—	—	
21	4 47.70	10 05 31.00	43 16 56.0		17 50 57.0	20 20.0	0	50.0	
22	4 50.19	10 10 30.00	43 18 10.0		17 53 38.0	17 43.000	1	49.0	
23	4 52.52	10 15 30.00	43 19 47.0		17 56 30.0	10 50.0	2	49.0	
24	4 55.28	10 20 35.00	43 21 30.0		18 0 20.0	10 30.070	3	57.4	
25	4 57.58	10 25 30.00	43 23 10.0		18 3 30.0	7 50.0	4	50.0	
26	4 59.58	10 30 34.00	43 24 57.0		18 6 40.0	+ 0 10.000	5	47.0	
27	5 01.50	10 35 30.00	43 26 10.0		18 9 50.0	— 0 47.000	6	50.0	
28	5 03.50	10 40 30.00	43 27 30.0		18 13 0.0	4 50.000	7	49.0	
29	5 05.50	10 45 30.00	43 28 40.0		18 16 10.0	30 10.000	8	49.0	
30	5 07.50	10 50 30.00	43 29 50.0		18 19 20.0	16 47.000	9	50.4	
31	+ 5 10.10	10 55 30.00	+43 30 0.0		18 22 30.0	— 17 10.000	10	50.0	

Planetenkonstellationen 1906.

Juli	1	124	Mars in Konjunktion mit der Sonne.
"	1	10	Jupiter in der Opposition
"	10	0	Saturn in Konjunktion mit dem Monde
"	11	10	Merkur im rückwärtsgangigen Knoten.
"	16	0	Venus in Konjunktion mit der Sonne. Venus 1° 10' südlich
"	18	4	Merkur in größter östlicher Elongation 20° 10'.
"	24	0	Mars in Konjunktion mit der Sonne.
"	27	1	α Tauro in Konjunktion mit dem Monde
"	28	14	Jupiter in Konjunktion mit dem Monde
"	29	10	Mars in Konjunktion mit dem Monde.
"	31	—	Sonnenfinsternis.
"	31	0	Merkur in der Sonnenkorona.
"	31	0	Merkur in Konjunktion mit dem Monde
"	31	11	α Krebs in Konjunktion mit dem Monde.
"	31	0	Venus in Konjunktion mit dem Monde.

Planeten-Ephemeriden.

Mittlere Berliner Mittag.						Mittlere Berliner Mittag.					
Monat- tag	Rektascension			Declination	Observ. Meridian- distanz	Monat- tag	Rektascension			Declination	Observ. Meridian- distanz
	h	m	s				h	m	s		
Merkur.						Saturn.					
Juli 1	0	07	50.15	+00 24 0.0	1.48	Juli 10	10	10	10.00	- 7 44.60.0	30.07
10	0	0	50.48	07 15 5.3	1.04	20	10	0	10.11	- 7 55.50.0	30.17
15	0	20	50.70	04.42.30.0	1.04	30	10	0	10.04	- 8 0 13.0	34.30
20	0	50	50.47	01.10.40.0	1.40	Uranus.					
25	0	40	50.05	00.00.43.0	1.30	Juli 10	10	10	10.10	-23 37.40.0	31.17
30	0	47	50.04	+ 0 17.32.4	1.00	20	10	10	10.07	- 23 50.52.0	30.04
Venus.						30	10	10	10.10	-23 35.40.0	0.30
Juli 0	0	30	50.10	+07 14.50.7	0.32	Neptun.					
10	0	40	50.17	04.10.40.7	0.05	Juli 10	0	40	50.00	-20 10 7.0	30.04
15	00	7	50.10	03 0 27.0	0.00	20	0	40	50.00	- 20 0 20.0	30.07
20	10	30	50.00	00.00 20.0	0.41	30	0	40	49.43	+01 0 10.0	30.10
25	10	40	50.00	0.10.00.0	0.40	Mondphasen 1900.					
30	10	10	50.00	+ 0 0 00.0	0.44						
Mars.											
Juli 1	7	0	20.10	+00 20.07.0	0.20						
10	7	10	20.40	05 0 4.0	0.20						
15	7	30	20.40	03.07.04.0	0.7						
20	7	50	20.40	00 0 01.0	0.4						
25	0	0	21.40	01 00.40.0	00.04						
30	0	17	20.70	+00.40.11.0	00.40						
Jupiter.											
Juli 20	0	40	00.04	+03 0.00.0	30.01						
30	0	30	00.04	03 0.00.0	30.1						
30	0	30	04.00	+00 7.47.0	30.10						

Mondphasen 1900.					
		h	m	s	
Juli	0	17	21.4		Vollmond.
10	10	10	0.4		Letzter Viertel.
20	0	0 7			Neumond.
30	0	40 0			Erster Viertel.
Sonnenfinst.					
	4	0	—		Mond in Erdlinie.
10	0	—			Mond in Erdlinie.
20	00	—			Mond in Erdlinie.

Sternbedeckungen durch den Mond für Berlin 1900

Benennung	Stern	Größe	Erster mittlerer Zeit		Zweiter mittlerer Zeit	
			h	m	h	m
Juli 1	γ Libani	+0	0	30.7	0	44.0
10	γ Tauro	+0	10	17.0	10	11.4

Lage und Größe der Saturnringe (nach Simon)

- Juli 0: Große Achse der Ringe 40 00" kleine Achse 10 00".
 Erhellungswinkel der Ringe über der Ringebene 2° 10' steil.
- Juli 0: Mittlere Schiefe der Ekliptik 23° 30' 0.00"
 Wabers " " 23° 20' 00.00"
 Halbmesser der Sonne 16' 43.00"
 Parallaxe " " 0.00"

Stellungen der Jupitermonde im Juli 1906.



Stellungen am 12^{ten} für den Anblick im astronomischen Fernrohr.

Tag	West.	Ost.
-----	-------	------

Die Jupitermonde sind bis zum 6. Juli nicht zu beobachten.

Tag	West.	Ost.
1		
2		
3		
4		
5		
6		
7		
8		
9		
10		
11		
12		
13		
14		
15		
16		
17		
18		
19		
20		
21		
22		
23		
24		
25		
26		
27		
28		
29		
30		
31		

Ercheinungen der Jupitermonde. Die stündlichen Angaben über die Ercheinungen der Jupitermonde beziehen sich auf mittleren Zeit von Greenwich. Die Trabanten sind der Reihenfolge ihres Absteigens vom Jupiter nach III bis IV bezeichnet. Das vorgrößte Figuren zeigen die Stellung jedes Mondes auf Bezug auf das Jupiter für den Augenblick der Verhinderung (N) oder des Wiedererscheinens (E). Ist r nicht angegeben, so kann der Ausfall aus dem Schatten nicht beobachtet werden. Ferner befindet sich das nachfolgende Zeitangaben.

- Er E des Verschwinden des Trabanten im Schatten des Jupiter.
- Er E des Austritts des Trabanten aus dem Schatten des Jupiter.
- Ge D des Verschwinden des Trabanten hinter der Jupitersehne.
- Ge R des Wiedererscheinens desselben neben der Jupitersehne.
- Tr I des Eintritt des Trabanten vor die Jupitersehne.
- Tr E des Austritt des Trabanten aus der Jupitersehne.
- So I des Eintritt des Trabanten hinter der Jupitersehne.
- So E des Austritt des Trabanten hinter der Jupitersehne.

Es sind nur diejenigen Ercheinungen der Jupitermonde aufgeführt, welche sich ereignen, wenn Jupiter zu Greenwich über und der Sonne unter dem Horizont steht. Um die Momente dieser Ercheinungen nach anderen geographischen Zeit zu finden, ist man nur nötig, t^h zu dem angegebenen Zeitpunkte zu addieren.

Juli 18. II. Er. E. $10^h 21^m 30^s$. Juli 18. I. So. E. $14^h 34^m$. I. Tr. I. $14^h 30^m$.
Juli 18. I. Ge. E. $14^h 37^m$. Juli 18. II. Tr. I. $12^h 37^m$. III. So. E. $12^h 30^m$. III. So. I. $14^h 30^m$. II. So. E. $12^h 32^m$. Juli 18. II. So. I. $12^h 32^m$. III. So. E. $12^h 32^m$. I. Er. E. $14^h 30^m 30^s$.
Juli 21. I. Tr. I. $12^h 37^m$. I. So. E. $12^h 30^m$. I. Tr. E. $14^h 30^m$.
Juli 19. II. Ge. E. $12^h 37^m$.

Stellungen der Saturnmonde. (Erläuterung S. 29)

Zeiten der äthiopischen Chroniken im Jahr 1908.

Tethys. Juli 1. 22^h ; Juli 2. 21^h ; Juli 3. 20^h ; Juli 4. 19^h ; Juli 5. 18^h .
Juli 10. 17^h ; Juli 11. 16^h ; Juli 12. 15^h ; Juli 13. 14^h ; Juli 14. 13^h ; Juli 15. 12^h .
Juli 21. 11^h ; Juli 22. 10^h ; Juli 23. 9^h ; Juli 24. 8^h ; Juli 25. 7^h .
Dione. Juli 5. 18^h ; Juli 6. 17^h ; Juli 7. 16^h ; Juli 11. 14^h ; Juli 12. 13^h .
Juli 13. 12^h ; Juli 14. 11^h ; Juli 15. 10^h ; Juli 16. 9^h ; Juli 17. 8^h ; Juli 18. 7^h .
Rhea. Juli 1. 22^h ; Juli 2. 21^h ; Juli 3. 20^h ; Juli 4. 19^h ; Juli 5. 18^h .
Juli 10. 17^h ; Juli 11. 16^h .
Titan. Juli 1. 7^h W.; Juli 2. 6^h S.; Juli 12. 12^h E.; Juli 13. 11^h I.; Juli 14. 10^h W.; Juli 15. 9^h S.; Juli 22. 2^h E.; Juli 23. 1^h I.
Iapetus. Juli 1. 4^h E.; Juli 11. 4^h I.

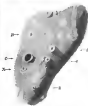
Das photographische Anastigmat. Das erste Anastigmat ist bekanntlich das Doppelanastigmat von Goerz-Lothea genannt, und diese Objektivs haben Weltanerkennung unter den späteren Konstruktionen haben sich auf Grund ihrer Leistung als Anastigmaten von Meyer-Göller ausserordentlich Platz gesichert. Beide Typen werden in der bekannten Union Camera der Firma Bährig & Co., Dresden, Reichenbach, Zürich, ausschließlich montiert und deshalb haben sich diese Apparate sehr seit Jahren eine hervorragende Stellung auf dem Kamera-Markt erworben. Wir soll die Photographie interessiert, findet Näheres in dem Prospekt, welcher dem vorliegenden Heft beigegeben ist.



I.
Zandmal von Bülkitten und Sandmal
Lohndorf, am 2. November 1905.



II.
Muschelstück nordlich Venedig,
am 1. Dezember 1905.



III.
Muschelstück südlich der Rhyden,
am 6. Dezember 1905.



IV.
Muschelstück nordlich Venedig,
am 11. Dezember 1905.

SIRIUS.

Zeitschrift für populäre Astronomie.

Centralorgan für alle Freunde und Förderer der Himmelskunde.

Herausgegeben

unter Mitwirkung hervorragender Fachkennner und internationaler Schriftsteller
von Prof. Dr. Hermann J. Klein in Köln.

Juni 1906.

„Wissen und Erkennen sind die Freude und die
Berechtigung der Menschheit.“ Kleins

Jeden Monat 1 Heft. — Jährlich 12 Mk.

Verlag von EDUARD HEINRICH MAYER in Leipzig.

INHALT: Beobachtungen auf dem Monde. Von Dr. Klein. (Mit 4 Figuren.) S. 131. — Kürzliche Veränderung der Mondoberfläche im Norden. S. 136. — Von einigen Sternen, im großen Orionfeld. (Mit 3 Figuren.) S. 138. — Die große Nebelrinne des Himmels vom α und δ im Stier. S. 142. — Photographische Spiegelbilder von Jupiter. Von Dr. Klein. S. 143. — Verschiedene Nachrichten. S. 147. — Astronomisches Kalender. S. 148. — Stellen der Jahreszeiten. S. 149. — Beobachtungen der Jupitermonde. S. 150. — Stellen der Jupitermonde. S. 151.

Beobachtungen auf dem Monde.

Darlegung und Kritik der bisherigen Beobachtungsergebnisse.

Von Dr. Klein

(Mit 4 Figuren.)

 Es gibt wenig astronomische Probleme im Bezug deren Lösung, je man könnte sagen leidenschaftlicher, gestrebt worden ist, als über die Frage, ob gegenwärtig noch auf der Mondoberfläche Veränderungen stattfinden, die wir mit unsern teleskopischen Mitteln wahrzunehmen vermögen. Beim Mangel eigentl. genügender Kenntnisse der Sache, berufen sich selbst heute noch Astronomen auf Müller und behaupten, daß dieser physische Veränderungen auf dem Monde durchaus in Abrede gestellt habe. Das ist aber tatsächlich gar nicht der Fall, vielmehr sagt Müller

ausdrücklich ¹⁾ „Wir haben nirgends behauptet, daß es auf dem Monde gar keine zufälligen Veränderungen gebe, wir behaupten ebensowenig die Unmöglichkeit, jemals dergleichen wahrzunehmen, nur das müssen wir festhalten, daß die bisherigen und ausschließlich die Schöterschen Beobachtungen uns kein sichere Resultat dieser Art geliefert haben noch liefern können, und daß eine künftige Forschung auf ganz andern Grundlagen beruhen und in ganz anderer Art durchgeführt werden müsse, wenn die Wissenschaft eine solche Aufgabe lösen erwarten soll.“

¹⁾ Beer und Mädler, Der Mond, S. 220.

Die Grundlagen zu solchen Forschungen sind vielfach vorhanden, und zwar in den Arbeiten von Mädler, Schmidt, Neisser und andern, und wir haben in der Tat in einigen Fällen zum Nachweis stätig fortwährender physikalischer Veränderungen auf der Mondoberfläche geführt. In jüngster Zeit ist aber vorwiegend gewisse diese Tatsache wieder als zweifelhaft hingestellt, ja sogar ziemlich abschneidend darüber geurteilt worden. Ich unternehme daher, den Gegenstand nochmals zu erörtern, in der Hoffnung, daß meine Darstellung dazu beitragen wird, unbedenklich Urtheile in dieser Frage fernzulegen zu verhindern.

Eine Uebersicht des gegenwärtigen Standpunktes der Forschung in betreff dieser Frage ist auch deshalb nöthig, weil die Seismographie infolge der Ausbildung welche die edelste Photographic erlangt hat, zu der Schwelle einer ganz neuen Epoche steht. Die Zeit, in welcher die Mondoberfläche durch diese Einsichten aufgenommen und kartographisch in konventionellen Zeichen dargestellt wurde, ist vorüber, die photographische Aufnahme hat die vordringt und es kann fernerhin nur darauf ankommen, diese Aufnahmen richtig zu benutzen. Diese Auswertung knüpft sich aber nicht etwa an die nachträgliche übermäßige Vergrößerung des photographischen Bildes, sondern Darstellungen, wie sie der neue photographische Atlas des Mondes, den die Parker Sternwarte herausgibt, oder wie sie der herrlichen Photographien einzelner Mondlandschaften, die aus der Vorlesungsentwurf erhalten werden, zeigen, genügt vollkommen, um damit ein weiter gehendes Studium der Mondformationen zu begründen. An und für sich enthalten diese Photographien nichts, was man nicht auch an einem 2 $\frac{1}{2}$ -, oder 4-fachen Refraktor direkt sehen kann, allem zu helfen für den scheinbaren und wirklichen Zusammenhang der Formationen untereinander und für die vollständig wohlverstandene, Dokumente von unschätzbarem Werte. Wie sie

am besten auszunutzen sind, werde ich zum Schluß darlegen.

Der Erste, welcher dem detaillirtesten Studium der Mondoberfläche umfassende Aufmerksamkeit zuwandte, war im letzten Viertel des 18. Jahrhunderts Hieronymus Schöner in Lüneburg. Seine Beobachtungen sind lange Zeit über Gelehrte geschüttet worden, tatsächlich besitzen sie nur geringen Wert, der sehr im Gegensatz steht zu der weitestestigen Art der Darstellung, der sich aber schon genügend aus dem sehr rothen Zeichnungen erkennen läßt, welche Schöners zweibändiges Mondwerk ausbreitet enthält. Indessen ist es für den Seismographen immerhin sehr empfehlenswerth dieses umfangreiche Werk genau zu studieren, was, wie erst J. J. Schmidt richtig bemerkte, aber nur von dem wenigsten geschieden ist, der über den Mond geschrieben haben.

Schöner glaubte nicht wenige Veränderungen auf dem Monde konstatairen zu haben, darunter Neubildungen großer Krater. Die Belege, die er für seine Behauptung in jedem einzelnen Falle beibringt, sind aber nicht der Art, daß man sie für genügend halten könnte. Was er von solchen Veränderungen beschreibt, ist lediglich optischer Art, d. h. führt regelmäßig in jeder Lunte wieder. In andern Fällen hält Schöner einen Krater für neu, weil er ihn früher nicht gesehen hatte, am Schluß, der, wie jeder Seismograph aus eigener Erfahrung weiß, gar keine Beweiskraft hat.

2.

Der Zentralkrater des Posidonius in Schöners ganzem Mondwerk habe schwarzen Wolkenmassen gebunden, die sich physische Veränderungen an bestimmten Punkten der Mondoberfläche schreien lassen. Die eine bezieht sich auf den im Innern des großen Ringgebirges Posidonius liegenden, sehr hervorstechenden und sehr hohen Krater A. Schöner sah denselben am 1. November 1791 nahe der Längengrad ohne Schluß und ganz

im Innern, während sieben beobachtete kleine Krater voll schwarzer Schotter waren. Am nächsten Abende, als A weiter von der Lichtgrenze entfernt war, erschien er im Innern nur Hälfte von schwarzem Schotter erfüllt. Am 30. Dezember zeigte der Krater, als er wiederum nahe der Lichtgrenze lag, nur wenigen, schwarzem Schotter. Schon Möller sagte sehr richtig, daß in diesem Falle eine bloß optische Täuschung nicht geteilt sei, und man könne dem Schönen Schröter, daß irgend eines Zufälligen in dem Krater A vor sich gegangen wäre, die gewöhnlichen Bedenken nicht entgegenstellen. Dieser Schluß wird durch die Tatsache unterstützt, daß Jul Schmidt 1849 bei dem nämlichen Krater vorübergehend dieselbe Erscheinung wie Schröter sah. Schmidt bemerkt bezüglich: »1849 Februar 12 (im 1849, bei schlechter Luft und noch tieferem Stand des Meeres, fiel mir auf, daß A in Positionen sich vollständig nur anders als ein heller Fleck darstellte, während die nämlichen Wallkrater bei B, halb beschattet, sehr deutlich als Krater erschienen. Etwas später gleich A einer ganz tiefen Erhebung, die nur selten, gegen Halbesunden hohe in den folgenden 27 Jahren noch ich ähnliches nicht wieder.« Seit 1868 habe ich ungenügende Male bei meinen Beobachtungen nach dem Krater A gesehen, aber niemals etwas Anomales daran wahrgenommen.

3.

Berg = südlich von der Ariadaurilla. Der zweite Fall der bei Schröter vorkommt, betrifft einen Berg südlich von der Ariadaurilla. Den Schotter derselben sah Schröter am 19. Juli 1798 zusammen mit Oßers und bemerkte daraus die Höhe des Berges zu 1849 Fuß. Er machte eine Zeichnung dieser Gegend die in umstehender Figur 1 wiedergegeben ist und in der = den Berg mit seinem Schotter darstellt. Der Hügel selbst schien ihm

von einem Berge aus ununterbrochen zu sein, der über seinen Schotter warf.



Fig. 1.

Schröter erlitt, er habe den Berg = früher niemals gesehen. Leider ist die Zeichnung Schröters nicht leicht zu identifizieren. Jul Schmidt hielt den Berg = für identisch mit dem Berge Selbstschlag / (ca 12° west Länge und 63° nördl Br) und dann ist allerdings die Schrötersche Wahrnehmung lediglich durch den heutigen Zustand bedingt, da Schröters Erklärung, er habe den Berg höher als gesehen, ohne Belang bleibt. Allenfalls die Zeichnung Schröters bezieht sich, nach meiner Prüfung der ganzen Sache, durchaus nicht auf den von Jul Schmidt dafür gehaltenen Punkt, sondern auf einen andern weiter westlich davon (siehe unter 15° west L.) gelegenen, wie aus einer zweiten Zeichnung Schröters (Fig. 46 auf Tafel 7) vom Mondwerke) unzweifelhaft hervorgeht. Dort aber befindet sich kein solcher Berg, wohl aber ein Krater. Fig. 2 gibt die Darstellung dieser Partie nach der großen Schenckschen Mondkarte und B ist der oben genannte Krater. An dessen Stelle sehen und stellen Schröter und Oßers den Schotter des Berges.



Fig. 2.

Wie schwierig die Identifizierung der in Rede stehenden Objekte ist, mag daraus erhellen, daß selbst ein so genauer Kenner des Mondes, wie Jul Schmidt war, seiner Überzeugung nach hinsichtlich der Identität dieser Berührungslücken auch Beobachter welche nur gelegentlich den Mond betrachteten, überkaum nicht gestützt. Nur wer die betreffende Region genau kennt und dazu die Karten und Zeichnungen von Scheller, Crichton, Lohmann, Mädler und Schmidt sorgfältig verglichen hat, kann in dieser Beziehung mitreden. Der Beweisdruck für die Annahme einer Neubildung an der in Rede stehenden Stelle der Mondoberfläche besteht also lediglich darin, daß Schröter selbst sich in der Identifizierung nicht erteilt hat seine Zeichnung der betreffenden Stelle richtig, so hat Neubildung stattgefunden, bezieht sie sich aber auf den von Jul Schmidt damals nichtvermerkten Punkt, so hat sich nichts geändert. Eine andere Entscheidung kann nicht getroffen werden.

4.

Der Krater Linus. Ich komme nunmehr zu dem Objekte, welches vor 40 Jahren die Frage nach etwaigen Veränderungen auf der Mondoberfläche wieder in den Vordergrund des astronomischen Interesses riefen. Es ist der Krater Linus um den es sich handelt und bei dem ich Öttinger als der berühmte Mondkundler Jul Schmidt eine Veränderung gegen früher konstatierte. Er gab die erste Mitteilung in einem Bescheidenen an Heßinger in Wien, das in den Sitzungsberichten der dortigen Kaiserlichen Akademie 1842 (Februar) abgedruckt wurde. Die sehr zahlreichen Beobachtungen des Kraters, die sofort, aber doch meist von Nichtkennern des Mondes, infolge der Schmidt'schen Veröffentlichung angestellt wurden, haben zur Lösung der Frage nichts beigetragen. Mädler, selbst Schmidt der große Kenner des Mondes, der sich aber Hingel von jeder astronomischen

Beobachtungstätigkeit zurückgezogen hatte, sah sich infolge der Schmidt'schen Ankündigung des Linus, 18. Mai 1847, am Helikon der Wiener Sternwarte an und erklärte, er könne keine Veränderung gegen früher erkennen, er sehe ihn vielmehr noch mit demselben Schattenswal wie vor 20 Jahren. An dem nämlichen Abende beobachtete auch Jul Schmidt in Athen und sah am Orte des Linus einen sehr hellen hellen, schattenverlorenen Hügel, halb so breit als der Krater A. δ n 16.5" weiß (Länge und 20.0" nordl Breite) und nach dem Schatten zuschließen, wohl 140 Fuß hoch, südlich daneben zwei kleine helle Punkte. Das gleiche sah ich zum ersten Male am 20. Juni 1848 und wie ich später fand ist das der normale Anblick des heiligen Linus, wenn die Lichtgrenze in seiner Nähe ist.

Der Ausspruch Mädler bleibt unverständlich, denn am 18. Mai 1847 war nach Schmidt positiver Zeugnisse von einem Krater beim Linus überhaupt nichts zu sehen, geschweige denn von einem solchen der 14 Meilen im Durchmesser hätte, wie Mädler 27 Jahre früher gestanden habe. Wenn letzterer daher 1847 sagte, er könne gegen früher keine Veränderung konstatieren, so kann dies nur durch seine gleichzeitige Selbsttäuschung und die Abnahme seiner Augenkräfte erklärt werden. Auch ist bezeichnend, daß Mädler, obgleich er den Krater für ein Aussehen unverändert erklärte, doch befügte, es habe nach den Wahrnehmungen von Jul Schmidt wirklich eine Veränderung im Lichte stattgefunden. Von einem über eine Meile großen Krater ist natürlich nichts zu erwarten.

Schmidt sah zu Stelle desselben 1846 (Dezember 26) bei höchst klarem, ganz stiller Luft und 500facher Vergrößerung einen kleinen schwarzen Punkt, den er für ein weißes Kraterloch von etwa 600 Fuß Durchmesser erklärte und das er auch später bei sehr günstigen Verhältnissen wiederholt sah, wodurch er zu der Überzeugung kam, daß es auf dem

Gipfel eines kleinen Hügels liegt. Sech und Vogel haben in den nächsten Jahren an ihrem großen Instrumenten den kleinen Krater ebenfalls gesehen. Ich selbst sah 1883 Mai 12 den kleinen Kraterhügel nicht seinem Schiffe sehr klar, das Ganze war so schwach, daß es in dem schattenreichen kleinen Krater A wirklich von Land bequem Platz gefunden hätte. Im Jahre 1884 konnte Februar 3 und September 11 diese Wahrnehmung von mir bestätigt werden. Daß der kleine Zentralkrater auf dem Gipfel des Hügels, der sich heute innerhalb des diffusen Lichtfleckes Lindt befindet, gar nicht mit dem ehemaligen großen Krater Lindt, dem Lohmann und Mädler überstehend 1 bis 1,4 Meile Durchmesser gehabt, sondern sehr klein, ist unabweislich. Lohmann und Mädler hätten ihn mit ihrem Instrumenten gar nicht sehen können, dann er ist, wie Prof. Bernard längst reflectirte, ⁹ selbst für den 40-fachigen Verkleinerer kein leuchtendes Objekt. Einem solchen winzigen Objekt würde auch heute niemand ein Instrumente überstehend beilegen, was dies doch Lohmann und Mädler gethan haben. Schon allein dieser Umstand beweist, daß Mädler im Jahre 1831 den Krater durchsichtig gesehen hat, auch hat er seine Vorgänger Lohmann Angabe damals nicht entstehen nachgewiesen, sondern gibt seine eigene Größenschätzung des Kraters, die diesen gekümmert darstellt als bei Lohmann. Endlich hat Mädler bestimmt Namen von Naturforschern nur kraftförmigen Objekten beilegt, aber niemals Hohen Lichtfleckes. Es kann daher für den Sachmann keinerlei Zweifel darüber bestehen, daß zur Zeit Lohmanns und Mädlers am Orte des Lindt ein großer, dunkler Krater vorhanden war, der heute dort nicht mehr vorhanden ist. Alle entgegenstehenden Behauptungen müssen zurückgewiesen werden. Wie leichtfertig vielfach über den Fall Lindt geschrieben

wurden ist, mag die Tatsache beweisen, daß ein Mann wie Bert, der sich doch lebhaft für Mondbeobachtungen interessierte, behauptete, auf einer Rotherfahrschen Mondphotographie östlich neben dem diffusen weißen Fleck Lindt einen kleinen Kraterhügel und eine niedrige Bergspitze zu sehen, die wohl mit dem Krater Lindt verwechselt werden konnte. Das absolute Fehlen der Behauptung Berts wird jeder zu würdigen wissen, der der Rotherfahrschen Mondphotographie kennt. Ueberhaupt ist der Ausspruch Schmidt aus dem Jahre 1878 sehr zureichend: »Über den Krater Lindt ist seit 1867 mancherlei gedruckt worden, darunter verschiedene Unrichtige, besonders von Personen, die sich zum ersten Male mit dergleichen Beobachtungen beschäftigten.«

Wer mit den Tatsachen vertraut ist, selbst den Krater Lindt sehr lang unter den verschiedensten Bezeichnungen beobachtet und von Instrumenten schiffen vernag, kann sich nicht der Überzeugung entschlagen, daß beim Krater Lindt auch den Ziffern Lohmanns und Mädlers eine große Verkleinerung stattgefunden hat. Das Verdienst, diese Tatsache entdeckt zu haben, gebührt Jd. Schmidt. Auch die Deutung des Vorganges, welche Schmidt gegeben hat, ist höchstwahrscheinlich richtig, jedenfalls kann etwas Besseres auch heute noch nicht an ihre Stelle gesetzt werden. Nach Schmidt ist das Dampfoder Aschenexplosion unabweislich, weil sonst ein Schuttke der Pansolo, welche für unsern Anblick den Krater bedeckt, stöcher von unten, was nicht der Fall ist. (Auch müßte eine solche Eruption ununterbrochen bis zum heutigen Tage fortgedauert haben, was eine absurde Annahme wäre.) Wäre der Krater im Boden versunken, so müßte an seiner Stelle eine größere Öffnung vorhanden sein und ihr Schuttke in der Phase sichtbar werden. Wäre die Umwallung des alten Kraters zertrümmert, so müßte die Trümmer Schuttke werden. Wäre der Krater nur bis zum Rande

⁹ Verp. Sinu 700, S. 19.

mit Eruptionenprodukten angefüllt, so müßte der Wall nach außen Schichten verdecken. Das ist die oben erwähnte 1790 von Schröter am Zentralkegel des Pic de la Vierge beobachtete Erscheinung. Wenn aber flüssige Eruptionenprodukte sich über den Rand des Kraters ergießen und den Abhang mit allmählicher Neigung anfüllen, so entsteht die sehr flache Kugel von großer Umfang bei verhältnismäßig geringer Höhe und dann hört aller Schichtenwurf auch außen auf. Das ist nun die Erscheinung, welche Linné mit seinen vorverzeichneten, hellen, rundlichen Flecken darstellt. Dieser Vorgang findet, wie Schmidt bemerkt, auf der Erde ein Analogon in den von Abicht beschriebenen Schlammvulkanen der Halbinsel Tanais. Die Verwitterung der über den Rand abgeflossenen hellen Masse in der dunklen Ebene gibt Anlaß zur Entstehung von beiden kegelförmigen, einem Halo ähnlichen Gebilden und welche sind auf dem Monde in dem Maße sehr häufig.

In den Jahren 1890, 99 und 1902 hat Prof. William Pickering von der Harvardsternearte, den Durchmesser des hellen Fleckens, als welcher sich gegenwärtig Linné darstellt, wiederholt gemessen und ist dadurch zu der Überzeugung gekommen, daß die Größe desselben in Beziehung steht zur Sonnenbestrahlung und besonders bei Mondfinsternissen erhebliche Schwankungen zeigt.¹⁾ Dies hat Dr. C. W. Wirtz veranlaßt, den Gegenstand mit dem großen Reflektor der bayerischen Sternwarte zu verfolgen.²⁾ Während der Mondfinsternis vom 11. April 1903 gelangte ihm 21 Bestimmungen des Durchmessers des hellen Fleckens. Es ergab sich, daß dieser Durchmesser stetig, nachdem der Halbmessers Linné erreicht hatte, rascher begann, dann immer mehr

zunahm, während die Helligkeit abnahm. Die größte Ausdehnung ergab der Fleck bevor der Krater im Karoschatten verschwand. Von 5.2 km war diese Ausdehnung bis auf 8.7 km gewachsen. Als Linné aus dem Schatten trat, betrug der Durchmesser des Fleckens 8.5 km, sank dann auf 8.7 km und nahm schließlich, kurz ehe der Fleck aus dem Halbschatten trat, bis auf 7.8 km zu. Von dem Gebirgen ausgehend, daß das, was während einer Mondfinsternis in wenigen Stunden vor sich geht, auch innerhalb eines vollen Mondlaufes eintrete, nämlich der Wechsel von Licht und Dunkel, von Wärme und Kälte, und daß dann auch analoge Wirkungen nicht ausbleiben würden, sollte man, wie Dr. Wirtz betont, erwarten, daß nach Sonnenanfgang über Linné der hellste Fleck den größten Durchmesser haben müsse und dieser im Laufe des Mondtages bis zum Mondnachte oder etwas früher braun, an Größe abnehme, um bei dem Sonnenanfgang wieder zu wachsen. Um diese Schlußfolgerung zu prüfen, hat Dr. Wirtz den Fleck Linné und einen nördlich davon gelegenen Vergleichskrater (B bei Müller und Neison) während 13 Tagen messend verfolgt. Es ergab sich hierbei, daß der hellste Fleck Linné von seinem ersten Sichtbarwerden, nachdem die Sonne über den aufgetreten ist, bis zu seinem Verschwinden in der Nachtseite, langsam aber unmerklich an Größe zunimmt. Der Krater B zeigte keine Veränderung seiner Größe. Diese Beobachtungen außerhalb einer Mondfinsternis widersprechen also entschieden dem während derselben gemachten. Aber sie widersprechen auch den Beobachtungen Prof. Pickering's in Anconya 1897 und 98. Denn diesen war Linné gleich nach Sonnenanfgang am größten, wiewol bis dazu Tag noch Montag nach an Größe ab und steigt dann wieder allmählich bis zum Verbleiben in der Nachtseite. Dagegen stimmen die von Prof. Pickering während der Mondfinsternis des 16. Oktober 1902 zu Cambridg-

¹⁾ Harvard Coll. Obs. Circular No. 67, Serie 1902, S. 41.

²⁾ *Annalen der Kaiserl. Univers. Sternwarte in Brunn*, Bd. 3, Annot. C, Serie 1902, S. 9.

(N. A.) erhaltenen Größenbestimmungen mit den von De Witte gekannten messen überein, als auch dort ein deutliches Wachstum vor der Perseus und eine starke Vergrößerung des Gefäßes beim Austritt aus dem Endschalengehäuse wurde. Später hat Prof. Bernard am 48-tägigen Vorhandensein die Größe des linken Flöckens am Linsel häufig gemessen und schließlich die Ergebnisse dieser Messungen veröffentlicht.¹⁾ Hiermit findet in der Tat eine Änderung des Durchmessers während des Mondtages in merklicher Weise statt, aber so, daß die Größe des Flöckens vom ersten Sichtbarwerden (am 3. Tage nach Neumond) bis zum 15. Tage ab-, dann langsam wieder zunimmt. Diese Beobachtungen stimmen mit Prof. Pickering's Messungen überein, widersprechen aber denjenigen von De Witte. Ich möchte kein Urteil über den Gang oder über die Ursache dieser Größenschwankungen abgeben und begnüge mich hier lediglich dem ich die Tatsachen der Beobachtung zu registrieren.

5

Hygieus N und Umgebung. Ist bei Linsel des Verschwindens des Mondkorns konstatiert worden, so wanderte es sich bei dem nächsten Felle, der zur Beobachtung kam, um die Sichtbarwerden einer bis dahin nicht beobachteten kraterförmigen Grube. Es ist die solche als Hygieus N bezeichnete Objekt, nordwestlich von dem Krater Hygieus, das ich am 19. Mai 1877 zuerst als großen kreisförmigen von schwarzem Schatzen erfüllten Schlund von etwa 3 bis 4 km Durchmesser. Da ich diese Gegend der Mondoberfläche aus mehrfachen Beobachtungen genau kannte, so war für mich das Sichtbarwerden des Kraters zugleich Beweis einer stattgefunden Neubildung. Indessen prüfte ich zunächst alle vorhandenen Karten und Beschreibungen des Mondes in Bezug auf die Region

um den Hygieus und siehe die Beobachtungen bis zum nächsten Jahre her, die ich die Tatsache der Neubildung verifizierten. Es ist nicht unangebracht diese Veröffentlichung herbeizuziehen. Sie erschien in der Wochenschrift für Astronomie 1878 Nr. 13 und ist daher vom 17. März des nächsten Jahres. Sie lautet:

«Merkwürdige Veränderung auf der Mondoberfläche. Im mittleren und im besten sichtbaren Teile der Mondscheibe, zwischen dem Krater Hygieus und der Ringebene Benetach, befindet sich eine dunkle Fläche, die im Osten eben, im Westen aber von einem Spitzig parallel Hügelfortan durchschnitten wird, die sich im Vollmonds durch eine ungewöhnlich dunkle Färbung auszeichnen. Diese Gegend wird beides von der großen Hygieusfläche begrenzt, an deren westlichen Ufer sich die merkwürdig gewandener Berg oder vielmehr ein Bergsystem befindet, das, wie Müller sehr charakteristisch beschreibt, wie der Schneckenberg aussieht. Schröter hat diese Gegend zuerst gezeichnet und hat die Lage der westlichen grauen Bergkette im allgemeinen richtig angegeben, ebenso den Lauf der großen Hygieusfläche. An Stelle des Schneckenberges zeichnet er einen schalenförmigen Bergzug, selbst einen Krater, woraus man erkennt, daß er den Berg unvollständig sah. Lehrsman zeichnete das ganze Gebiet auf dem ersten Blatte seiner Mondkarte genau, aber die beste Darstellung liefert wenige Jahre später Müller, indem er eine Spezialkarte der Umgebung des Hygieus am 24. fischen Maßstabe seiner großen Mondkarte gab. Diese Spezialkarte stellt die betreffende Gegend im allgemeinen sehr gut dar und enthält eine Anzahl kleiner Krater und niedriger Berggücken, die den früheren Beobachtern entgingen waren. Die große Mondkarte von Schmidt in Athen stimmt mit Müllers Spezialzeichnung sehr schön überein und enthält in der Ebene westlich von Hygieus wiederum einige Krater mehr, die aber Müllers

¹⁾ Vgl. Stern 1878, S. 85

der Sichtbarkeit stand und sich nur sehr selten der Luftgasse in sehr guten Instrumenten verlor. Der in Höhe stehende Bezirk der Mondoberfläche, den man in jeder Location um der Zeit des ersten oder letzten Vorstels in gleicher Deutlichkeit wahrnehmen kann, ist also so gut durchsicht und mappet als das irgendwo möglich war und es kann keinem Zweifel unterliegen, daß, wenn hier ein Krater erscheint, größer und deutlicher als die übrigen der Fläche, alsdann mit einem Grade von Sicherheit auf Beobachtung an dieser Stelle geschlossen werden kann, der sich nicht größer denken läßt. Dieser Fall liegt nun in der That vor. Seit fast 12 Jahren habe ich mich mit besonderer Beobachtung der Monde beschäftigt und dabei ausüßige Male die Gegend um des Hygeas genauer als diese Gegenden zu betrachten, da im Widerspruche mit den Darstellungen der bekannten Karten stand. Am 19. Mai 1837 untersuchte ich, nachdem die Regenwolken vorübergegangen, die Fläche westlich vom Hygea an 15%, 200- und 300facher Vergrößerung und erblickte glücklich hier einen großen schwarzen, schattensartliden Krater ohne Wall, den ich sofort nach meiner genaueren Kenntnis dieser Gegend, als noch niemals gesehen erkannte. Der Mond stellte sich nicht so klar dar als gewöhnlich, und von dem kleinen Krater in der ersten Ebene war nur ein ungeringer sichtbar, südlich von dem neuen, und bedeutend kleiner als dieser. Ungünstige Wetterverhältnisse verhinderten weitere Beobachtungen, aber am 16. Juni bot sich Gelegenheit den neuen Krater etwas zu untersuchen. Die Luft war nicht sehr gut, der Mond schon im Sinken und während Nichtbedeutenderer Vermuthen ich die kleinen Krater in der Fläche westlich vom Hygea gut zu sehen, sogar die Schatten ihrer Wälle stellen sich dar. Der neue Krater erschien als großer, schwarzer, mit einem dunkeln Rande umgebener Fleck. Nur in günstigen Momenten war die scharf

begrenzte Kante zu erkennen, der sich von dem verschatteten Rande unterscheidet. Das Ganze stellt sich her gegen, der lange Erhebung in Bezug auf das Aussehen der Mondgrenzlinie ist, überaus reichhaltig dar und viel dunkler als der dunkle Fleck, den Wälder in einiger Entfernung davon einnimmt. Später glaubte ich südlich von dem großen Krater noch einen kleinen, schillingen bräunlichen Fleck zu erkennen, der am Beginn der Beobachtung nicht sichtbar war. Am folgenden Tage, den 19. Juni, waren die kleinen Krater in der Fläche deutlich und leicht sichtbar, der neue große Krater war dagegen verschwunden. Wollte ich nicht auch an diesem Orte ein unbekannten großer Fleck, der mit einem schwarzen Rande umgeben ist. Es wurde mit 200facher Vergrößerung insgeseht.

Nach einer langen Periode ungünstigen Wetters, wie sie häufig in Laute vieler Jahre nicht vorhanden war, gelang mir am 13. November, 7½ Uhr abends, die Umgebung des Hygea an 300maligen Vergrößerung zu untersuchen. Die Luft war endlich und der Krater des Mondes ist über die Deutlichkeitsverhältnisse constant, wenn ich bemerke, daß die instrumentellen Erweiterungen der Hygeawille sehr gut und selbst zu sehen waren. Am Orte des neuen Kraters erschien ein großer mit unbekannten Rande umgebener Fleck, dessen mittlerer Teil schwarzartig-schwarz war. Auch mit 500facher Vergrößerung war der Fleck auf dem ersten Blick sichtbar und schätzte ich seinen Durchmesser zu 7, von demjenigen des Hygea, also etwa auf 4000 u. Am 14. November war bei angestrichelter Luft keine Spur des Kraters wahrzunehmen. Mit ruhiger Klarheit und Ruhe erschien der Mond am 16. December, aber mit den verschiedenen Vergrößerungen von 135- bis 420fach, zeigte sich von dem neuen Krater nichts als ein kaum wahrnehmbares, rundes, mattschwarzes Fleck. Am 10. Januar 1838 abends ging die

Lichtgrenze über dem neuen Krater, ich mußte leider die Beobachtung abbrechen, als wir dem Westrand desselben fast eben berührten. Das ganze Terrain erschien hier mit außerordentlich zahlreichen, sehr kleinen, meist runden Hügeln oder Trümmern bedeckt.

Am 15. März 84, als die Lichtgrenze zwischen von Herschel und Neumann lag, die mittlere Gegend des Randes also unter ziemlich hoher Betrachtung stand, zeigte sich Hyginus und seine Rille höchst deutlich. Alle Ungleichheiten der Rille waren durch größere oder geringere Lichtreflexionsproben, nach der Lauf der Rille nach der Hygie selbst glatte als ihre Leile. In der ganzen Ebene westlich vom Hygie sah ich an 1400 facher Vergrößerung ähnliche wie bekannte, kleine Krater als kleine Fündchen. Von dem neuen Krater dagegen keine Spur, sein Ort war nicht einmal durch das matte rote Fleck ausgezeichnet.

Der merkwürdige Schwebenberg, dessen bereits oben gedacht wurde, hat gegen Süden eine breite Rille oder sogar ein Tal erhalten. Dasselbe ist sehr leicht zu sehen, bei hoher Betrachtung erscheint es fast genau wie die Hyginusrille. An der Lichtgrenze des westlichen Randes kann man es mit der Hyginusrille verwechseln, wenn diese auch nicht aus dem Schatten hervorgehoben ist. Dieses Beispiel steht bei Schröter, Lohrmann und ebenso auf Müllers Spezialkarte. Herr Direktor Schmidt in Athen hatte die Güte, mir eine Karte des betreffenden Teiles einer großen Mondkarte zu übersenden. Auch hier heißt das Tal vollständig und ebenso der neue Krater. Beide hat Herr Schmidt nach Berücksichtigung seinerseits vollständig gesehen und gemessen.

Ich enthalte mich für den Augenblick jeder Äußerung über die Natur der auch dem Vorberghenden mit dem Monde westlich vom Hygie vollständig bestehenden Veränderungen. Wichtig ist die Rille der Vorgänge dort noch nicht geschlossen. Eingegen

nehme ich die viel kürzeren und kraftvollen Ferngläser versprochen Beobachter anzuzeigen, ihre Aufmerksamkeit den betreffenden Beobachtungen zuzuwenden.

Diese Andeutung erregte natürlich in den astronomischen Kreisen Aufsehen und veranlaßte viele Besucher, nach dem Gieße zu suchen. Allen so groß war damals die tatsächliche Unbekantheit der meisten Astronomen mit der Mondoberfläche, daß die stärksten Verwechslungen stattfanden. Eigentlich geht es zu jeder Zeit nur dem genau Kenner des Randes, nämlich Julius Schmidt in Athen und Edmund Neuen in London. Beide hatten nicht nur viele Jahre hindurch die Mondoberfläche im allgemeinen untersucht, sondern speziell auch Aufzeichnungen über die mittlere Region derselben gemacht, in der sich das neue Objekt befindet. Daß unter diesen Umständen das Urteil letzter Astronomen bezüglich der Neufindung völlig mit dem eigenen übereinstimmen würde, war für mich nicht zweifelhaft. In der Tat stimmten Schmidt und Neuen meiner Schlußfolgerung unbedingt bei und veröffentlichten in ausführlichen Darlegungen die eigenen Beobachtungen über die Neufindung. Das neue Objekt steht der Beschreibung Hyginus (H. Zwanzigsteilchen) Neuen der dem bekannten fremden und seine eigene frühere Beobachtungen der Umgebung des Hyginus.¹⁾ Ich führe dies hier nur mit einem eigenen Worte (in deutscher Übersetzung) an:

1876, Juli 5. Lichtgrenze bei 4-2° Länge. Hyginus H. nicht gesehen. (Neue, Schmidt)

1876, März 28 Lichtgrenze von 4-7° bis 2° L. Keine Spur von Hyginus H. (Schmidt)

¹⁾ Astronomisch Beobacht. Vol. 20, No. 20, 1876, 207. Deutsch im Anhang von Neuen, Der Mond usw. 3. Aufl. Leipzig 1901. Verlag von Vieweg & Sohn.

April 23. Lichtgrenze von -4°
bis -5° L. Keine
Spur von Hygnum N
(Nilsson.)

Mai 25. Lichtgrenze von $+2^{\circ}$
bis $+5^{\circ}$ L. Keine
Spur von Hygnum N
(Nilsson.)

Juni 25. Lichtgrenze von -5°
bis -6° L. Keine
Spur von Hygnum N
(Nilsson.)

Zusammenhang, bei noch
ausgetrocknetem
Kiefern, am 26. Juni,
am 22. September,
21. Oktober und
20. November.

Septbr. & Lichtgrenze von $+12^{\circ}$
bis $+16^{\circ}$ L. Abend-
liche Beobachtung:
Keine Spur von Hy-
gnum N, obwohl die
Gegend sehr ung-
ünstig gewesen sein
sollte. (Beck. Oms-
land.)

Dezbr. 1. Lichtgrenze von $+21^{\circ}$
bis $+19^{\circ}$ L. Abend-
beobachtung. Hyg-
num N nicht gesehen.
(Nilsson.)

1872, Jan. 6. Lichtgrenze von -5°
bis -8° L. (Beck.
Nilsson.) Hygnum N
nicht gesehen. In
dieser Nacht wurde
die ganze Umgebung
ungünstig vermisst.

März 16. Lichtgrenze von $+5^{\circ}$
bis $+6^{\circ}$ L. (Beck.
Nilsson.) Hygnum N
nicht gesehen. Die
Röhre erschien sehr
scharf.

Juni 13. Lichtgrenze von $+1^{\circ}$
bis -1° L. (Beck.
Nilsson.) Hygnum N
nicht gesehen. Deut-
lichkeit nicht sehr
groß.

(Detail folgt.)

Künstliche Herstellung der Mondformationen im Kleinen.

 In einer der Seiten schreibt man
am Meßtafel im Eimer. Zur
Anstellung von Versuchen über Brechung
elektrischer Strahlen stellte ich im
Sommer vorigen Jahres ein Schwefel-
prisma her. Das flüssige Metallbild
wurde in ein mit selbstem unteren Teil
in kaltem Wasser stehendes offenes
Formen mit Pappe gegossen, um dass
zu erhalten. Dabei brach über einem
von der flüssigen Masse unten aus und
entlerte im Wasser, wobei nur die
eigenthümliche, an die Mondgebilde er-
innende Ausbildung des Erleuchtungs-
produktes auftrat. Angeregt durch das
in Bild 3 des „Bris“ veröffentlichten
interessanten Auftrags über „Die Bildung
des Mondoberflächen“ versuchte
ich noch Glück überhaupt mit dem

Schwefel. Ich erhitzte denselben auf
2 bis 300° C und giesste ihn in eine
besonders offene, mit dem unteren Ende
in ein mit kaltem Wasser gefülltes Ge-
fäß stehende Pappform. Die flüssige
Masse brach bald unten aus und rief
mit ihrem Wege Wasser mit. Dieses
gibt dabei in dampfförmigen Zustand
Hör und bringt den noch schließenden
Schwefel zum Aufquellen. (Ähnliches
beobachtet man öfters auch, wenn
man Schwefel zusammen mit Wasser
erhitzt.) Hierbei entsteht nun die Masse
an der Oberfläche zu jenen eigenthüm-
lichen, für das Mond charakteristischen
Krater- und Wallformen. Es dürfte
vielleicht auch interessant sein, den
Vorgang unter anderen Druck- und
Temperaturverhältnissen zu verfolgen,

a, B. bei größerer Hölle der nachbrechenden flüssigen Schwefelsäure, bei Erstarrung derselben in einer Flüssigkeit von anderer Wärmeeleitungsvermöge, von verschiedener Dampfspannung etc.

Ich überlasse daher einige der so erhaltenen Bildungen. Die zerstückelte und unregelmäßige Beschaffenheit der Modelle mit den Furchen und höckerartigen Erhebungen ist bemerkenswert. Fast alle auf der Mondoberfläche vorkommenden Gebirge sind hier vertreten, von den sich über die Umgebung weit hinaushebenden Erasebates, Doppelsteinen und Wallebenen bis zu den schwachen, rückenförmigen Einsenkungen, selbst die «Rillen» sind vorhanden. Wohl zu beachten sind auch die Hohlkäse unter der Oberfläche, durch welche zunächst die Unerleuchtetheit in der Schattigkeit der Abklüftung unsere Aufmerksamkeit bedingt wird. Stimmt dann darauf die oben stehende Decke einseitige Verwitterung oder sonstiger Einflüsse ein, so wird sich aus jenem Unterschied auch ein verschiedenes Verhalten in Färbung, Konsistenz oder dergl. herleiten, und dies schon bei ein und demselben Mineral. — Wenn es nicht möglich die vorerwähnten Nachrichten durch Bestehen der Decke aus solchen Hohlräumen zu erklären? Bei astronomischen Beobachtungen fallen die von einigen «Küder» angegebenen hellere Strichen auf, die leider allmählich undeutlich werden, besonders die dunkle Farbe dieser Modifikation des Schwefels bald wieder in die ursprüngliche übergeht.

Alle oben beschriebenen Modelle habe ich erhalten ohne Rücksicht auch nur im geringsten auszubereiten, und zwar endlich durch schnelle Abkühlung von heißflüssiger Masse (Schwefel ist noch seiner Sprödigkeit wegen unempfindlich). Hierbei spielt eine wesentliche Rolle die Expansion der Dämpfe von mitgedruckten und dann eingeschlossenen, höher verdampfharren Substanzen. Dass denselben Verhältnisse und Umstände können auch bei Bildung der Mondoberfläche mitgegeben gewesen sein. Dazu kommt noch die bildende Faktor die durch Erde und Sonne hervorgerufene, unendlich sehr starke Erschütterung der Gesteine in der noch flüssigen Masse. Dann später die Wirkung der gewaltigen Temperaturschwankungen zwischen Mondtag und -Nacht auf das offenbar spärliche Mondmaterial, Berggüsse, und, bei Annahme einer noch viel höher nur früher vorhandenen, wenn auch noch so dünnen Luftschicht, die Wirkung der Atmosphären, Erden u. s. w.

Hieraus wäre es nicht ganz unmöglich das heutige Aussehen unserer Trabanten als ein natürliches, sich folgerichtig entwickelndes Produkt aus den wahrscheinlich vorliegenden Bedingungen und Verhältnissen zu erklären, und es scheint überflüssig die Entstehung gewisser Mondformen aus dem Aufstehen meteorischer Massen auf der mühsamen Mondkugel oder ähnlichen doch wenig wahrscheinlichen Ursachen mitschreiben.

Von einigen Sternen im grossen Orionnebel.

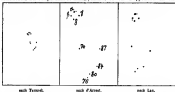
(Mit 2 Figuren.)

 In Beilage zum «Sirius» 1873, Heft 1, wurde eine kleine Darstellung vorgelegt über den mittleren Teil des Orionnebel, gemischt von W. Tempel in Ansicht bei Florenz, und im «Jeune» 1896, Heft 4, hat Herr H. Lue in Kopenhagen durch seine

Abbildung unsere Aufmerksamkeit besonders auf die zentralen Teile dieses prachtvollen Nebels gelenkt. Hier befindet sich nämlich vom Tipser und etwa 2 Bogensekunden von diesem entfernt der Sternchen, welche d'Arrest in seiner Monographie aus dem Jahre

1965 bis 71 mit den Zahlen 76, 80 und 84 bezeichnet. Die gegenwärtige Stellung dieser Sternchen ist, wie man aus dem beiliegenden Skizzen erkennen wird, in allen drei Darstellungen ganz verschieden. Bei Tempel steht 80 mittig

Südlich diese Abweichungen liegen fast auf gleicher Höhe der betreffenden gestirnten Zeichen? Oder dürften sie vielleicht noch große Eigenbewegung andeuten? Bei Tempel scheint 76 ein Doppelstern zu sein,



auf der Linie zwischen 76 und 84, vielleicht ein wenig nördlich von d'Arrest, bei d'Arrest steht 80 ziemlich nahe am Stern 76 und ein wenig südlich, bei Lac steht er noch nördlicher und bildet mit dem Stern 76 und 84 ein dreieckiges Dreieck.

d'Arrest und Lac haben ihn nur als einfach gestrichelt. Derselbe Stern steht bei Tempel und d'Arrest östlich von einer Linie durch die Triangulum α und β , bei Lac steht er westlich

Gröner, Düsseldorf, 20 April 1926
 Theodor Köhl

Ein grosser Nebelfleck in der Nähe von α und β im Skorpion.

(Hierzu Tafel VII.)

Im Laufe des Frühlings und Sommer 1905 hatte Prof. E. E. Barnard auf dem Sternwarteobservatorium der Carnegie Institution auf Mount Wilson in Kalifornien photographische Himmelsaufnahmen gemacht. Er bedachte sich dazu der photographischen Brennpunkte der Verkleinerer und dass war in den Monaten Februar bis September 1905 auf Mount Wilson aufgestellt. Hauptzweck war, dass die bestmöglichen Aufnahmen der Milchstraße, sowohl als nördlich, nach Süden hin zu

erhalten, und es blieb zu seinem Arbeits nur wenig Zeit übrig. Indessen wurden doch einige Aufnahmen gemacht, zum Zweck, schwache, diffuse Nebelflecke aufzunehmen. Die merkwürdigen Nebelmassen, welche Prof. Barnard 1894 in den Sternbildern Ophiuchus und Skorpion entdeckt hatte, ließen ihn diese Region des Himmels als sehr geeignet für weitere Forschungen nach schwachen Nebeln erscheinen. Deshalb wurde versucht, diese Gegenden von γ und α im Skorpion, sowie einige andere, photo-

graphisch aufgenommen. Diese Aufnahmen führten zur Entdeckung eines höchst merkwürdigen, großen Nebels, der sich von α nach δ im Skorpion ausbreitet und Ausläufer entsendet, die mehrere Gradbreite, dem bloßen Auge sichtbare Sterne überstreichen. Prof. Barnard berichtet über diese Entdeckung¹⁾ und gibt eine Darstellung des Nebels, welche hier möglichst getreu in Lichtdruck reproduziert ist.

Er bemerkt, daß mit Ausnahme des großen Orionnebels und einiger anderer Nebelgebirgsen in den Plejaden, dieser weitestverbreitete Nebel im Bezug auf seine Ausdehnung und die Eigentümlichkeiten seiner verschiedenen Zweige einzig da steht. Der Nebel ist optisch nicht wahrnehmbar, also ein sogenannter photographischer Nebel, und die Abbildung wurde mit Expositionen von 8 Stunden 40 Minuten am 29. und 30. April 1903 erhalten. Er ist schwer, sagt Prof. Barnard, die Photographie zu reproduzieren wegen der großen Lichtschwäche einiger Verzweigungen des Nebels, doch kann die Abbildung immerhin eine gewisse Vorstellung von der allgemeinen Struktur desselben liefern. Der Luftverhältniß war in den genannten beiden Abenden wenigstens nicht besonders günstig, während es besser gewesen, so würde nach Prof. Barnard Überzeugung der Nebel noch in größerer Ausdehnung auf der Platte erschienen sein. Der hellste Teil desselben liegt etwa $1\frac{1}{2}^{\circ}$ südlich von α Scorpi, die nördlichste, wei-

ße Masse, die diesen gekrümmten Arm nach dem Stern α hin ausstreckt. Eine große diffuse Masse, die an ihrer Ostseite am besten begrenzt ist, erstreckt sich südwestwärts von α gegen einen Stern 5.7 Größe hin. Prof. Barnard beschreibt noch mehrere andere Nebelströme und bemerkt, daß der Stern 5.5 Größe (3. Scorpi) (der übrigens außerhalb der Abbildung steht) auf dem Platte sehr deutlich als nebelförmig erscheint. Eine merkwürdige Tatsache ist, daß alle hellen Sterne, die mit diesem Nebel in Verbindung stehen und die spektroskopisch beobachtet werden konnten, Spektren des G-Types zeigen.

Prof. Barnard bemerkt, daß Nebel-Becken, wie dieser und andere ähnlich, dem kühnen, Zerkeln an der jetzt im allgemeinen angenommenen Nebeltheorie zu erwecken. Diese Theorie scheint hauptsächlich auf den Anblick von Nebeln mit bloßem Auge zu beruhenden Teleskopen gegründet zu sein und es so dem zweifelhaft, ob sie jemals aufgestellt worden wäre, wenn man damals die Aussehen der Nebel wie solche unsere heutigen Photographen zeigen, gekannt hätte. Neben einigen Nebelbecken, welche nach dieser Theorie entsprechen, gibt es auch viel größere Fragmente der ihr direkt widersprechende. «Es scheint,» schreibt Prof. Barnard, «nicht, daß die Verbindung eines Nebels mit einem Sterne an der Angabe mißfällt, der Stern habe sich aus dem Nebel gebildet.»

Photographische Spiegelteleskope von kurzer Brennweite.

Während für die direkte Beobachtung des Himmels der astronomische Refraktor der Vorzug behalten wird, schon weil er im allgemeinen handlicher und ein Objektivglas in seiner Gestalt dauerhafter als ein

Spiegel ist, haben die großen Spiegelteleskope der neuesten Zeit vor den gleichzeitigen Refraktoren bei den photographischen Aufnahmen des Himmels einen gewaltigen Vorsprung gewonnen. Man braucht nur an die bemerklichen Monde des Jupiter und Saturn zu denken, um astronomische Objekte vorzustellen, die weder im Licht noch

¹⁾ Astrophysical Journal XII No. 3 1900 March p. 141.

am Verzeichniß nicht entdeckt worden sind, ja von denen nur eine oder zwei in günstiger Stellung auch der Entdeckung mit Hilfe gesehen werden konnten. Wendet man sich dem Reich der Nebelflecken zu, so stehen die beiden größten Refraktoren des photographischen Spiegelteleskops bezüglich der Anzahl und der geringen Dürchleuchtung dieser Objekte soweit an, daß kein Vergleich zwischen den Leistungen beider Arten von Instrumenten gezogen werden kann. Dies gilt für die dicken Seelen, aber auch der photographische Refraktor ist dem photographischen Spiegelteleskop in manchen Dingen ungenügend. Prof. H. C. Vogel, der berühmte Director des Astrophysikalischen Observatoriums zu Potsdam, hat nun (vgl. die Preussische Akademie der Wissenschaften wichtige Mittheilungen über die Leistungen eines großen Spiegelteleskops mit vorläufigem kurzer Brennweite vorgelegt und sich dabei gleichzeitig über die Leistungen dieses Spiegelteleskops vertheilt. Wir entnehmen daraus Mittheilungen des folgenden:

„Wie schon aus dem obigen Zitat,“ sagt Prof. Vogel, „eine Art von Wettstreit zwischen Refraktor und Refraktor Platz gegriffen hat und eine Erregung auf dem einen Gebiete bald auch auf dem andern erreicht oder übertraffen wurde, so ist nun auch in neuerer Zeit, nachdem mit der Herstellung großer Refraktoren vor einem Jahrzehnt wohl der Gipfelpunkt der Vollendung erreicht worden war, mit großem Erfolg an die Vervollkommenung der Spiegelteleskope gegangen, und Refraktor und Refraktor wirken heute als gleichwertig nebeneinander. Wesentliche Vervollkommenungen hätten bei keinem der so verschiedenen Instrumente mehr zu erreichen sein, und so wird man dem gelehrt, jedem der beiden

Instrumente die Arbeitszeit zuverleihen, für die es ganz besonders geeignet ist. So werden die Refraktoren von langer Brennweite vornehmlich die Objekte betreffen, wenn es sich um Erlangung eines möglichst großen scheinbaren Gesichtsfeldes handelt. Dergleichen Refraktoren, deren Objectiv aus mehr als zwei Linsen besteht, und welche infolge der relativ kurzen Brennweite, die man ihnen geben kann, besonders geeignet sind, zur Anwendung der Photographie größerer Theile des Himmels abzubilden und ausgedehnte Nebelmassen zu fassen, werden lebhaft zur Ausdehnung von Durchmusterungen, zur Aufnahme von Kometen und kleinen Planeten Verwendung finden. Dagegen haben die Spiegelteleskope für die Beobachtung der Nebelflecken und Sternhaufen von geringerer Ausdehnung gegenüber einem gewissen Vorzug erlangt, den sie unweiblich Gerechtigkeit werden behaupten können, da er mit in dem Eigenschaftlichen des Spiegels begründet ist. Als Beispiel möge der bekannte Ringnebel in der Leier dienen. Er erscheint in einem großen Refraktor als elliptischer Ring, dessen ungleich verteilte Helligkeit und ungleiche Schärfe der Begrenzung, namentlich an den Enden der großen Achse der Ellipse, nicht zutrifft. Ein ganz besonders gutes Auge glaubt auch noch anwärtig einige hellere, sternartige Stellen in dem Ring und wahrhaft am Sternchen in der Mitte des Nebels erkennen zu können, aber mit Sicherheit vermag es nicht diese Details festzustellen. Eine un- bis zweifelhafte photographische Aufnahme mit einem Refraktor, dessen Objectiv für die durchsicht vertheilten Strahlen achromatisirt ist, gibt schon mehr. Im Innern des Nebels ist ein ziemlich heller Zentralstern zu erkennen, der etwas matter, etwas verworrenen Begleiter hat. Die Abschattungen in dem Nebelring sind sehr deutlich wahrnehmbar. Auf einer photographischen Aufnahme mit einem der neuen Spiegelteleskope tritt jedoch bereits bei 10 Mik.

¹ Sitzungsberichte der Preussischen Akademie der Wissenschaften 1900, XIV, S. 323.

Expositionsmitt eine Überföhtung des Nebellichts zu.

Als weiteres Beispiel sei der Orionnebel angeführt. Die ersten Details in den Aufnahmen dieses Nebels, die man bei direkten Beobachtungen in einem guttem Fernrohr nur eben erkennt, und die sich nicht so sicher auffassen lassen, daß man eine Zeichnung davon anfertigen konnte, werden jetzt auf der photographischen Platte mit dem Retriker fixiert, doch nur zu einer Zeit, in welcher unter ungünstigsten Verhältnissen zwischen Refraktor und Reflektor bei Lehrern der Observator schon als eine geschwächte, kaum kennbare Nebelmasse erscheint.

Diese Verhältnisse sind ganz besonders dadurch bedingt, daß in dem Brennpunktsfeld des Spiegels alle Farben vollkommen vermischt werden, während die Achsenmitten eines Fernrohrs mit verschiedenem Objektiv immer viel zu schwachen übrig lassen wird.

Die ersten beiden Fortschritte, welche durch die Spiegelteleskope in neuer Zeit in Bezug auf unsere Kenntnis der Nebelflecke gemacht wurden, sind zu nicht in der Anwendung der Photographie begründet. Man kann sagen, daß durch sie für dieses so interessante Wissensweig eine neue Ära eröffnet worden ist. Objekte, die früher nur mit dem größten Instrumenten sichtbar waren, lassen sich mit kleinen Spiegelteleskopen leicht photographieren, und zwar geben die Bilder einen Detailreichtum, den man bei dunkler Beobachtung kaum sehen kann. Ein weiterer Erfolg ist durch die Fortschritte erreicht worden, die Spiegelflächen vollkommen herzustellen und ihnen die Gestalt eines Rotationsparaboloids anstatt einer Kugelfläche zu geben. Hierdurch wird wenigstens in der Achse eine möglichst vollkommen und in der Nähe derselben eine bessere Verzeichnung der Strahlen erzielt als bei der Kugelfläche, bei welcher selbst in der Achse infolge der sphärischen Aberration kein scharfes Bild entsteht.

Man ist auch erst dadurch in den Stand gesetzt worden, das Verhältnis von Öffnung zu Brennweite zu vergrößern und dadurch eine enorme Vergrößerung der Lichtstärke der Bilder sowohl ungelichteter östlicher Objekte als auch von den schwachen Fixsternen (bei letzteren besonders durch Vergrößerung des Einflusses der Luftströmung) herbeizuführen.

Bei den älteren Spiegelteleskopen von Herschel, Lord Rosse, Lassell und anderen, war das Verhältnis des Spiegeldurchmessers zur Brennweite nicht über 1:8, während in neuerer Zeit beim Großteleskopt (von 91 cm Öffnung) dieses Verhältnis wie 1:58, ja bei einem von Schwabe benutzten Reflektor (von 23 cm Öffnung) wie 1:154 ist. Diese Spiegel sind übrigens Objektiv mit verschiebter Oberfläche und der Silber-schicht bedarf nach einiger Zeit stets der Erneuerung. Der Fehler der Spiegel mit großer Öffnungsverhältnisse besteht darin, daß man in einem vollkommenen parabolischen Spiegel doch nur in der optischen Achse ein vollkommen gutes, rundes Bild eines Sternes erhält, außerhalb derselben aber mit dem Fehler behaftet, so daß bei Teleskopen mit einem Öffnungsverhältnis von 1:3 das beobachtbare Gesichtsfeld nur 20 bis 40° im Durchmesser haben wird. Doch läßt sich freilich auch immer die nötige Abhilfe für solche Instrumente, da die Ausdehnung einer großen Anzahl von Nebelflecken 20 mal übersteigt. Dabei ist aber, wie Prof. Vogel betont, vorzunehmen, daß es gelingt, durch vollkommenes Herstellen des Spiegels die relativ zur Öffnung dazwischen liegenden Bilder, die wiederum den Vorteil großer Lichtstärke genießen, so stark zu erhalten, daß sie mit den Aufnahmen in Spiegelteleskopen von gleicher Brennweite verglichen werden können.

Form ist die Spiegelbildung mit im Verhältnis zum Spiegeldurchmesser sehr kurzer Brennweite für spektroskopische Beobachtungen von Nebelflecken und schwachen Sternen, natür-

Ich von großem Vorteil, da die Intensität mit Verringerung der Ausdehnung der Bilder wächst und die Luftstreuung sich in der Vergrößerung der auf der photographischen Platte erzeugten Sternschatten weniger bemerkbar macht. Diese Tatsachen und der Umstand, daß seit Mitte eines photographischen Spiegelteleskops vor wenigen Jahren die älteste wichtige Entdeckung eines Nebels um den in Lichtbeugung begriffenen ersten Stern im Perseus gemacht worden war, veranlaßten Prof. Vogel, trotz anfanglichen Mißerfolges, ernstlichen Versuchs mit Spiegeln von kurzer Brennweite auf dem Potsdamer Observatorium auszuüben, um dadurch eventuell im allgemeinen den Arbeitsplan des Observatoriums nach dieser Richtung hin zu erweitern und im speziellen daselbst in den Stand zu setzen, derartige wichtige Beobachtungen, zu denen ein Spiegelteleskop besonders geeignet erscheint, auszuführen, die bisher dem Auslande überlassen werden mußten.

Bücher ist also haupt, wie Prof. Vogel selbständig bemerkt, in Deutschland kein Spiegelteleskop von kurzer Brennweite in Gebrauch. Daß Wolf in Heidelberg dem von Will Bruce überreichten Persone, mit welchem er seine schönen Stern- und Nebelaufnahmen macht, das Newtonsche Teleskop befragte, ist wiederholt zu dem Mißverständnis, daß es sich um ein Spiegelteleskop handle, geführt.

Versuchs mit einem Stäbchenschen Spiegel von 34 cm effektiven Durchmesser und 66 cm Brennweite (bei dem also das Öffnungsverhältnis wie 1 : 3,8 war) lieferte glänzende Resultate, noch besser aber als von B. Schmidt hergestellter parabolischer Spiegel von 48 cm Durchmesser und 2 m Brennweite. Infolgedessen schenkte B. Schmidt, auf Veranlassung von Prof. Vogel, einen neuen Spiegel von 42 cm beachtbarer Öffnung und nur 63 cm Brennweite, bei dem auch also das Öffnungsverhältnis nahezu wie 1 : 2,5 vorliegt. Die Untersuchung dieses Spiegels und seiner Leistungen bilden den Hauptteil der

Mitteilungen Prof. Vogels an die Preussische Akademie.

Die parabolische Form der Spiegeloberfläche ist nahezu ganz vollkommen. Die kleinsten Fehler von Sternen in der Nähe der optischen Achse sind etwa 0,015 mm groß, was 3,3' im Winkel-durchmesser entspricht. Vorwiegend von Interesse sind die Angaben, welche Prof. Vogel über die Leistungen des Spiegels im Hinblick im Verhältnis zu anderen Instrumenten macht. Er sagt: „Obwohl Leistungen von Spiegeln mit sehr großen Öffnungsverhältnissen liegen nur wenige Daten vor. Mit dem Spiegel der Sternwarte zu Marston (Durchmesser 1 m, Brennweite 3 m) sind von M. Rabe und A. Aufhäuser einige der bekannten Nebel gemacht worden, über die M. Janssen in den Comptes Rendus berichtet hat. Aus dem nicht weiter ins Detail gehenden Beschreibungens läßt sich kein Anhalt dafür gewinnen, daß die besetzte Instrumente hervorragende Eigenschaften besäßen und im Fortschritt andern Instrumenten gegenüber zu konstatieren sei. Im Gegentheil geben die wenigen, allerdings nicht sehr gut reproduzierten Abbildungen in den Comptes Rendus nur Zeugnis davon, daß entweder die Polarisierung der Platte ungenügend gewesen oder daß der Spiegel nicht schärfer ist. Besonders ist den Bildern vom Sternhaufen im Herkules, die bei verhältnismäßig Capotöffnungsweiten hergestellt worden sind, merkwürdig die Sterne nicht als Schärchen sondern als unregelmäßig elliptische Ringe mit oder ohne sternartigen Kern.“

Der höchst interessante Versuch Schaeberles, einen Spiegel im Öffnungsverhältnis 1 : 1,54 herzustellen, scheint zwar gelungen zu sein, doch konnten aus der geringen Anzahl von Aufnahmen hinter die Vorteile seiner Ansicht auch nicht dahin genug festgestellt werden. Der wichtigste Abwandlung ist die photographische Abbildung des Ringnebens in der Lora häufigste, die jedoch nichts Auffällendes zeigt. Die wohl schon zu starke Vergrößerung

(Platz) der von Vorhau zur Veröffentlichung bezuggebenen Photographie ist durch die Herausgeber leider noch auf das Doppelte vergrößert worden, so daß infolge des stark harmonisierenden Silberkorns fast jedes Detail und jeder Anhalt, sich über die Falschheit der Zeichnung des Spiegels eine Vorstellung zu machen, verloren geht. In zwei weiteren Abhandlungen hat Schuchardt nochmals Beobachtungen über den erwähnten Ringnebel und über den Doppelnebel angestellt. Auch hier sind die Bilder stark vergrößert worden, 25mal bzw. 15mal. Von dem Vorhandensein einer spindigen Struktur, die bei längerer Exposition in dem äußeren Teile dieser Nebel, sowie auch bei den Nebeln in der Nähe von γ Cassiopeja und bei der Cluppierung der Sterne im Sternhaufen des Herkules hervorzu treten soll, habe ich mich nach den Photographien nicht überzeugen können.

Das, was Schuchardt über die auffallend große Lichtstärke seines Instrumentes in Bezug auf Abbildungen schwacher Sterne sagt, wird jedoch durch die hier gemachten Beobachtungen bestätigt.

Da mir sonst nichts weiter über Spiegel mit relativ sehr kurzer Brennweite bekannt ist, bleibe mir übrig, die hier in Potsdam bisher erhaltenen Resultate mit denen von Roberts mit einem Spiegel von 51 cm Durchmesser und dem Öffnungsverhältnis 1:5 mit seinem Privatinstrument und denen von Koller mit dem Großteleskopler mit einem Spiegel von 91 cm Durchmesser und dem Öffnungsverhältnis 1:6 mit dem Lichtechnischen Gewerksamt zu vergleichen.

Der Schuchardsche 41 cm-Spiegel gibt bei voller Öffnung schon bei 2 Minuten Exposition von den Papillenneben des hellsten Partes. Bei 30 Minuten Expositionsdauer tritt alles Detail hervor, welches auf den Aufnahmen von Koller mit dem Großteleskopler in 4 Stunden erhalten wurde, und etwas mehr, als die verminderte Aufnahme von Roberts

gibt. Das brauchbare Gesichtsfeld ist jedoch bei dem 41 cm-Spiegel auf voller Öffnung zu klein, um die Papillen auf einer Platte darzustellen, was es mit Teleskopen von geringeren Öffnungsverhältnissen möglich ist.

Die Nebel von γ Cassiopeja sind bei voller Öffnung in 10 Minuten so deutlich erschienen als bei den Aufnahmen von Roberts 1895 Obj. 25 in 90 Minuten.

Wieder verstellter Nebel bei T Tauri, den Koller mit dem Großteleskopler durch 4 Stunden lange Exposition erhalten hat, ist auf einer Aufnahme mit dem Schuchardschen Spiegel von nur zwei Stunden Expositionsdauer deutlich zu erkennen.

Eine vollständige Aufnahme des Centaurei (N. O. C. 1852) übertrifft die von Roberts in drei Stunden erhaltene. Dem planetarischen Nebel des Nebels, welches nach dem Ausbleik im großen Refraktor (183 cm Öffnung) von Lord Rosse erhalten worden ist, und dem der Nebel des Namen Centaurei verleiht, gleichen die Photographen nicht. Der äußere Teil des Nebels bei der Gestalt eines Rhombus, die äußere Begrenzung ist zwar unregelmäßig und zeigt an einer Stelle eine sehr starke Einkerbung, Ähnliche in der Art der erhaltenen Zeichnung sind jedoch nicht zu erkennen. Die südlichen Sterne in der Nähe des Nebels, welche die Aufnahme von Roberts zeigt, sind alle auf der heutigen Aufnahme zu finden, ja es sind noch einige mehr vorhanden, der Nebel erreicht sich etwas weiter als auf der Aufnahme von Roberts.

Die sehr interessante Nebel von Deneb (N. O. C. 1823 und 2094), wobei auch der ganze Nebelstrahlen, der an einer Stelle ganz scharf gestallt begrenzt und mit einem kreisförmigen, scharf begrenzten Ausbreit versehen ist, und schon auf einer 10 Minuten lang exponierten Platte sichtbar.

Um ein größeres Gesichtsfeld zu erhalten, ist bei Aufnahmen verschiedener Objekte von größerer Ausdehnung der 41 cm-Spiegel auf 24 cm ab-

geblendet wurden. Das Öffnungsverhältnis ist dann 1 : 346. Nach Abzug der von der Vorrichtung zum Halten der Platte beschriebenen Spiegelfläche ergibt sich für den Durchmesser der zur Verzeichnung kommenden Spiegelfläche nur 31,7 cm.

Auf einer einstündigen Aufnahme des Orionnebels sind nun alle Details im Nebel zu erkennen, welche die Aufnahme von Roberts bei 3 Stunden 35 Minuten langer Exposition enthält, auch sind alle Sterne gekommen, die auf der genannten Aufnahme sichtbar sind. Der mittlere hellere Teil des Nebels, die auf der einstündigen Aufnahme etwas überstrahlt waren, konnten auf feinkörnige, weniger empfindliche Platten bei 14 Minuten bzw. 30 Minuten Belichtungszeit trefflich dargestellt werden.

Von dem interessantesten Spindelstern M.33 im Trichterhorn (N. G. C. 546) ist bei zweistündiger Exposition mit dem Öffnungsverhältnis 1 : 346 ein sehr schönes Bild angefertigt worden, das jedoch infolge seiner geringen hellen Ausdehnung in Bezug auf feinsten Detail nicht ganz die in 3 $\frac{1}{2}$ Stunden erhaltene Aufnahme mit dem Großkreisfaktor an Güte erreicht, aber ist doch sehr nahe kommt. Der Aufnahme von Roberts von 3 $\frac{1}{2}$ Stunden Expositionsdauer steht die Potsdamer Aufnahme nicht nach.

Im Herkulesbereich sind bei der Abbildung auf 24 cm in 3 Minuten so viel Sterne gekommen, als auf einer Aufnahme von 60 bis 120 Minuten mit dem 31,7 cm-Objektiv des Potsdamer photographischen Refraktors.

Eine Aufnahme der aufserordentlich

sternenreichen Gegend um γ Cassiopeiae zeigt bei 60 Minuten Exposition viel mehr Sterne, als die Abbildung von Roberts von 17 Jan. 1896 bei 60 Minuten, auch sind die Nebel in der Nähe des Sternes sehr deutlich zu erkennen, die auf dieser Robertschen Aufnahme nicht erschienen sind.

Über die Lichtstärke in Bezug auf die Abbildung schwacher Sterne teilt Prof. Vogel auch folgendes mit:

«Es sind von Hrn. R. H. Taylor auf dem Lickobservatorium von verschiedenen Teilen des Himmels kleine Karten angefertigt worden, auf denen alle Sterne, die mit dem großen Refraktor von 31,5 cm Öffnung bei guter Luft nur eben sichtbar waren, eingetragen sind. Wir haben letzter nur eines dieser Karten (Kopie bei «Oriens») prüfen können und das erwünschte Resultat erhalten, daß bei einer Exposition von nur 16 Minuten bei voller Öffnung des Schmidt'schen Spiegels nicht nur alle die schwächsten Sterne 16. bis 17. Größe, die in dem niedrigsten Lichtstrahlenteile sichtbar sind, erhalten wurden, sondern daß die Zahl der schwachen Sterne eine erheblich grössere ist, obgleich zur Zeit der Aufnahme die Verunstaltung des Spiegels, die oft bemerkt werden muß, schon merkbar gelitten hatte.»

Diese Ergebnisse lassen mit Recht interessante Resultate erwarten und es ist sehr zu wünschen, daß dieses Spiegelteleskop eine eigene Beobachtung erhalte und in Verbindung mit einem geeigneten Spektrographen während dem Instrumentenbesitz des Astrophysikalischen Observatoriums zu Potsdam abverrichtet würde.

Vermischte Nachrichten.

Die teilweise Sonnenfinsternis am 21. Juli d. J. wird nur an südlichen Teil des Atlantischen Ozeans und an der Südspitze Südamerikas sichtbar sein, so daß spezielle Angaben über den Verlauf desselben kein besonderes Interesse besitzen.

Helles Meteor. In der Nacht vom 13. zum 14. April 1906 beobachtete ich um 9 h 30^m eine Sternschuppe von außerordentlich großer Größe. Sie erschien in röthlichem Lichte und war ungefähr so groß wie ein Stern erster Größe. Sie kam vom Sternhübe des Perseus und endigte in den Zwillingen. Die Enderung dauerte 9 Sekunden.

Ziegler, Wien

Ausgedehnte Nebellücke. Herr Prof. Wolf schreibt (A. N., Nr. 4683): „Im vergangnen Jahr fand ich auf zwei mit kleinerm Linien aufgenommenen Platten diese wunderbar schönen und hellen ausgedehnten Nebellücke, der, soviel ich übersehen konnte, bisher unbekannt geblieben war. Er bildet zum größten Theil in Cassiopea, die nördlichen Teile reichen in Monoceros hinein. Der Nebel wurde mehrfach mit kleinerm Apparaten und dann auch mit dem Bruchsdietzapp aufgenommen. Er umschließt, viele Quasidynade bedeckend, die folgenden vier Durchmeßungspunkte:

BD.	Gr.	α 1850.	δ 1850.	α 1900.	δ 1900.
—11 1247	7.5	54 55.5	13°	—12 5.7	
—10 1248	7.5	5 52 55.5	—12 54.4		
—12 1271	6.5	5 56 31.9	—12 55.6		
—11 1280	5.8	5 50 51.4	—11 40		

Besonders bei dem nördlichsten und dem südlichsten dieser Sterne ist der Nebel von unermesslicher Stärke. Das nördlichste Stern umschließt er in hellem Wolken mit der Zeichnung eines Auges. Demgegenüber ist die Helligkeitsvertheilung auch bei diesem Nebelstern weitlich ungleichmäßig, an anderer Stelle eine genauere Beschreibung und eine Abbildung bringen zu können.

Einen ebenfalls sehr ausgedehnten, aber diffus und — wohl wegen der Lichtschwäche — strukturreichen Nebel fand ich mit verschiedenem kleinerm Objektiven im Teleskop. Er ist mindestens drei Grad breit und fünf Grad lang, die lange Achse in der Richtung (Teleskop) auf 2 Posen. Doch eine solche Grad lange Sternschuppe, die sich über 1 Teleskop nach 2 Posen erstreckt, ist die Nebelmasse von dem großen Plejadenhaufen getrennt. Die Mitte der ausgedehnten Wolke kann ganz roh so

$$\alpha = 4^{\text{h}} 35^{\text{m}} \quad \delta = +22^{\circ}$$

angegenommen werden.

Einen dritten ausgedehnten und recht strukturreichen Nebellücke fand ich an der Grenze von Cassiopea und Perseus. Er ist auch viele Quasidynaden groß und überdeckt in unregelmäßiger Weise ein Feld von NW nach SE, wobei er mehrere Sterngruppen vorbeist, dabei aber vielfach von Kanülen durchzogen wird. Die Mitte der Gegend liegt etwa so:

$$\alpha = 2^{\text{h}} 33^{\text{m}} \quad \delta = +60^{\circ}$$

Dieser Nebel ist komplex, aber leider auch sehr schwach. Doch hoffe ich, ihn im Dezember kommenden Aufnahme vom Bruchsdietzapp reproduzieren zu können.

Der kleine Planet Wolf 1858 TG. Dieser am 22. Febr. auf dem astrophy. Observatorium Klingenthal-Heidelberg entdeckte kleine Planet hat sich in den Untersuchungen von Prof. Beyschlag (Berlin) als ein höchst merkwürdiges Glied der Asteroidengruppe erwiesen. Der Sternhaufen schreibt: „Daß der Benennung des Herrn Piazzi in Wien ist es nun möglich geworden, die Bahnellipse des Planeten TG zu berechnen. Das Resultat kann natürlich noch nicht genau sein, da man von einem nur 6^{ten} Tages Bogen, zu dessen Zurücklegung der Planet zwei Monate gebraucht hat,

auf den ganzen Umfang von 360° schließen muß. Am ungewissen dürfte das am meisten interessierende Element, die Umlaufzeit, sein, die sich sich zu 1200 Jahren, fast zwei Monate länger als die des Jupiter, die könnte aber auch dieser gleich oder noch eine Kleinigkeit kürzer sein, was erst durch weitere Beobachtungen zu entscheiden sein wird. Die mittlere Entfernung von der Sonne beträgt 5.25, die kleinste und größte 4.37 und 6.13 Erdbahnhälften (zu 1495 Mill. km). Fünf Jahre während jedes Umlaufs um die Sonne verweilt der Planet TO innerhalb der Jupiterbahn und sieben Jahre lang außerhalb. An den Konjunktionsstellen liegt seine Bahn rund 25 Erdbahnhälften über bzw. unter der Jupiterbahn, der Planet TO kommt also bei etwaigen Begegnungen mit dem Jupiter diesen nicht näher als 70 Mill. km, bei der kleinen Differenz der Umlaufzeiten steigern sich solche Begegnungen allerdings nur in Zwischenräumen von Jahrhunderten, dessen daß aber lange an und können daher die Bahn von TO wesentlich umgestalten. Unter den bekannten Planeten ist nur einer, (279) Thule, dem sich TO stark nähern kann, nach der vorliegenden Beobachtung auf weniger als 10 Mill. km und dies im Intervall von etwa 30 Jahren. Der Durchmesser des neuen Planeten mag 300 bis 380 km betragen; genauer läßt er sich nicht schätzen, da die Helligkeitsangaben, aus denen man den Durchmesser hypothetisch abzulesen gelingt, sich untereinander schlecht stimmen. — Durch dieses seltsame Geseh in der Bahn, daß die Jupiterbahn nicht die äußere Grenze der Planetenzone bildet.

Die Gesamtzahl der Finsternisse schätz Simon Newcomb zu einer vor kurzem erschienenen Publikation auf 125 Millionen. Sie können, nach dem genannten Forscher, sich innerhalb eines kugelförmigen Raumes verteilen, dessen Halbmesser 200 Millionen mal so groß ist als die Entfernung der Sonne von der Erde, also rund 4000 billigen Meilen beträgt. Die Distanz zu durchschnitt bedarf der Lichtstrahl eines Zeitraum von 1000 Jahren, Wiew, sagt Prof. Newcomb, der Raum sei unendlich vielen Himmelskörpern und gleichmäßig besetzt, so würde der Himmel von einer unermesslichen Menge leuchtender Körper völlig erfüllt sein, denn der Lichtstrahl geht niemals verloren. Man könnte dagegen einwenden, daß die dunklen Massen im Weltraum die Lichtstrahlen auffangen, indem glaubt Newcomb, daß diese Massen hierzu nicht genügend groß sind, weil dann die Mächte nicht recht den Anblick gewahren würde, welchen sie tatsächlich darbieten.

Die Lichtstrahlen hat, wie aus einer Mitteilung ihres Direktors an Prof. E. C. Pickering hervorgeht, durch die große Erfindung in Kalifornien bereits einestlichen Schaden erlitten.

Fortschritte der Freunde der Himmelsbeobachtung. Aus dem Leserkreis des „Reis“ und der zahlreich glücklichen und Männer sehr geschulten Freunde zum Verkauf empfohlen werden Freunden der Himmelsbeobachtung, welche die Anschaffung eines solchen Instrumentes beabsichtigen und sich danach zu rich wenden, bei ich zu jeder gewünschten Auskunft gerne bereit. Prof. Dr. Klein

Astronomischer Kalender für den Monat August 1906.

Monat- Tag	Sonne				Mond					
	Merkur Distanz Mittag				Merkur Distanz Mittag				Mond im Merkur	
	Zeitgl. in Z. — W. Z.	Rekt. ascen- sion	Declina- tion		Rekt. ascen- sion	Declina- tion				
1	+	10 55	8 45 48 76	+18 13 38 1	17 47 34 35	-10 41 11 4	6 33 0			
2	+	10 54	8 49 34 64	17 47 20 7	18 48 21 27	10 37 48 0	10 30 0			
3	+	10 53	8 50 20 53	17 44 31 7	19 50 33 30	10 33 34 4	11 37 0			
4	+	10 51	8 54 35 18	17 40 50 4	20 52 5 37	17 34 33 8	12 39 0			
5	+	10 48	8 58 50 40	17 36 39 2	21 54 31 31	14 30 30 0	13 40 0			
6	+	10 45	9 0 0 23	18 34 17 9	22 56 39 43	12 30 3 6	14 39 0			
7	+	10 42	9 0 30 21	18 37 48 0	23 58 50 37	9 30 13 4	15 38 0			
8	+	10 40	9 0 34 78	18 30 9 4	24 59 10 70	— 0 30 47 8	16 37 0			
9	+	10 38	9 0 36 34	18 4 7 5	1 0 30 31	+	1 30 46 7			
10	+	10 35	9 1 32 58	20 49 32 9	1 55 33 49	0 3 37 3	17 37 0			
11	+	10 33	9 20 9 40	20 58 33 0	2 59 39 40	0 0 13 7	17 38 4			
12	+	10 30	9 34 37 58	20 44 27 4	3 58 39 50	33 34 33 0	18 40 0			
13	+	10 28	9 38 34 76	24 58 37 8	4 58 39 70	30 38 30 0	19 39 0			
14	+	10 26	9 52 39 74	24 44 32 0	5 5 39 40	27 38 30 4	20 38 0			
15	+	10 24	9 58 37 58	24 31 30 1	6 55 40 30	24 38 30 0	21 37 0			
16	+	10 21	1 00 3 70	24 18 28 0	7 55 40 30	21 37 30 0	22 36 4			
17	+	10 19	1 43 48 50	24 5 30 0	8 55 40 30	18 37 30 0	23 35 0			
18	+	10 16	1 47 59 48	23 52 30 0	9 55 40 30	15 37 30 0	24 34 0			
19	+	10 14	1 54 13 50	23 39 30 0	10 55 40 30	12 37 30 0	—			
20	+	10 12	2 04 30 11	23 26 30 0	11 55 40 30	9 37 30 0	0 35 0			
21	+	10 10	2 18 34 76	23 13 30 0	12 55 40 30	6 37 30 0	1 34 0			
22	+	10 08	2 32 39 74	22 50 30 0	13 55 40 30	3 37 30 0	2 33 0			
23	+	10 06	2 46 44 72	22 37 30 0	14 55 40 30	0 37 30 0	3 32 0			
24	+	10 04	2 56 49 70	22 24 30 0	15 55 40 30	— 0 37 30 0	4 31 0			
25	+	10 02	3 10 54 68	22 11 30 0	16 55 40 30	— 3 37 30 0	5 30 0			
26	+	10 00	3 24 59 66	21 58 30 0	17 55 40 30	— 6 37 30 0	6 29 0			
27	+	9 58	3 39 04 64	21 45 30 0	18 55 40 30	— 9 37 30 0	7 28 0			
28	+	9 56	3 53 09 62	21 32 30 0	19 55 40 30	— 12 37 30 0	8 27 0			
29	+	9 54	4 07 14 60	21 19 30 0	20 55 40 30	— 15 37 30 0	9 26 0			
30	+	9 52	4 21 19 58	21 6 30 0	21 55 40 30	— 18 37 30 0	10 25 0			

Planetenstellungen 1906.

August	1	— 1	Mercur.
+	10	10	Merkur in Konjunktion mit dem Mond.
+	11	14	Merkur in großer west. Elongation, 18° 11'.
+	12	3	Merkur in inferior Konjunktion mit der Sonne.
+	13	9	Merkur in Konjunktion mit dem Mond.
+	14	7	Venus im südlichen Zenith.
+	15	10	Jupiter in Konjunktion mit dem Mond.
+	16	11	Mars in Konjunktion mit dem Mond.
+	17	12	Mars in Konjunktion mit dem Mond.
+	18	—	Saturnus in Konjunktion mit dem Mond.
+	19	10	Venus in Konjunktion mit dem Mond.
+	20	11	Merkur in großer west. Elongation, 18° 11'.
+	21	12	Merkur in inferior Konjunktion mit der Sonne.
+	22	13	Venus in Konjunktion mit dem Mond.

Planeten-Ephemeriden.

Mittlere Berliner Mittag.						Mittlere Berliner Mittag.						
Jahr 1900	Rektascension			Declination	Ostere- Meridian- distanz.	Jahr 1900	Rektascension			Declination	Ostere- Meridian- distanz.	
	h	m	s				h	m	s			
Merkur.												
Aug. 8	8	36	11 50	+	9 48 4	8 47	Aug. 1 28	8 37 54	—	9 28 12 10	18 58	
10	8	36	23 74	10	3 42 1	8 38	11 28	8 47 55	9 38 54	18 18		
12	8	36	40 77	10	40 38 1	8 37	20 22	8 57 57	—	9 48 1 10	17 28	
14	8	36	48	10	40 30 0	8 31	Venus.					
16	8	36	58	10	3 36 4	8 34	Aug. 8 18	91 40 70	—	97 40 37 0	8 18	
18	8	37	28 71	10	3 36 4	8 34	20 18	91 41 18	98 40 40 0	8 18		
20	8	37	28 71	+	10 17 40 4	8 37	29 18	91 7 50	—	93 41 10 0	7 10	
Venus.												
Aug. 8	11 47	39 50	+	0 1 38 4	8 48	Mars.						
10	11 47	39 50	+	0 10 12 3	8 48	Aug. 8	8 38	44 31	—	10 44 44 7	10 40	
12	11 47	40 43	—	1 39 43 0	8 48	10	8 40	40 51	10	4 10 3	10 39	
14	11 47	40 43	—	1 39 43 0	8 48	12	8 41	40 76	10	44 40 7	10 38	
16	11 47	41 35	—	1 3 10 6	8 48	14	8 42	40 78	10	40 30 7	10 36	
18	11 47	41 35	—	1 3 10 6	8 48	16	8 43	40 80	10	41 40 1	10 35	
20	11 47	41 35	—	1 3 10 6	8 48	18	8 44	40 81	10	41 40 6	10 34	
Mars.												
Aug. 8	8 38	44 31	—	10 44 44 7	10 40	Jupiter.						
10	8 40	40 51	10	4 10 3	10 39	Aug. 8	8 8	27 16	+	10 1 10 6	81 0	
12	8 41	40 76	10	44 40 7	10 38	10	8 10	27 16	10	1 40 0	80 59	
14	8 42	40 78	10	40 30 7	10 36	12	8 20	27 16	+	10 1 10 6	80 57	
16	8 43	40 80	10	41 40 1	10 35							
18	8 44	40 81	10	41 40 6	10 34							
Jupiter.												
Aug. 8	8 8	27 16	+	10 1 10 6	81 0	Saturnus.						
10	8 10	27 16	10	1 40 0	80 59	Aug. 1 28	8 37 54	—	9 28 12 10	18 58		
12	8 20	27 16	+	10 1 10 6	80 57	11 28	8 47 55	9 38 54	18 18			
14	8 30	27 16	+	10 1 10 6	80 57	20 22	8 57 57	—	9 48 1 10	17 28		
Saturnus.												
Aug. 1 28	8 37 54	—	9 28 12 10	18 58		11 28	8 47 55	9 38 54	18 18			
11 28	8 47 55	9 38 54	18 18			20 22	8 57 57	—	9 48 1 10	17 28		
20 22	8 57 57	—	9 48 1 10	17 28		Uranus.						
Uranus.												
Aug. 8 18	91 40 70	—	97 40 37 0	8 18		Aug. 8 18	91 40 70	—	97 40 37 0	8 18		
20 18	91 41 18	98 40 40 0	8 18			20 18	91 41 18	98 40 40 0	8 18			
29 18	91 7 50	—	93 41 10 0	7 10		29 18	91 7 50	—	93 41 10 0	7 10		
Neptun.												
Aug. 8 40	23 56	—	0 0 11	21 42		Aug. 8 40	23 56	—	0 0 11	21 42		
10 40	27 10	0 3 45	21 4			10 40	27 10	0 3 45	21 4			
12 41	28 54	0 47 4	20 55			12 41	28 54	0 47 4	20 55			
Mikroskop.												
Mikroskop.												
Mikroskop.												
Mikroskop.												
Mikroskop.												
Mikroskop.												
Mikroskop.												
Mikroskop.												
Mikroskop.												
Mikroskop.												
Mikroskop.												
Mikroskop.												
Mikroskop.												
Mikroskop.												
Mikroskop.												
Mikroskop.												
Mikroskop.												
Mikroskop.												
Mikroskop.												
Mikroskop.												
Mikroskop.												
Mikroskop.												
Mikroskop.												
Mikroskop.												
Mikroskop.												
Mikroskop.												
Mikroskop.												
Mikroskop.												
Mikroskop.												
Mikroskop.												
Mikroskop.												
Mikroskop.												
Mikroskop.												
Mikroskop.												
Mikroskop.												
Mikroskop.												
Mikroskop.												
Mikroskop.												
Mikroskop.												
Mikroskop.												
Mikroskop.												
Mikroskop.												
Mikroskop.												
Mikroskop.												
Mikroskop.												
Mikroskop.												
Mikroskop.												
Mikroskop.												
Mikroskop.												
Mikroskop.												
Mikroskop.												
Mikroskop.												
Mikroskop.												
Mikroskop.												
Mikroskop.												
Mikroskop.												
Mikroskop.												
Mikroskop.												
Mikroskop.												
Mikroskop.												
Mikroskop.												
Mikroskop.												
Mikroskop.												
Mikroskop.												
Mikroskop.												
Mikroskop.												
Mikroskop.												
Mikroskop.												
Mikroskop.												
Mikroskop.												
Mikroskop.												
Mikroskop.												
Mikroskop.												
Mikroskop.												
Mikroskop.												
Mikroskop.												
Mikroskop.												
Mikroskop.												
Mikroskop.												
Mikroskop.												
Mikroskop.												
Mikroskop.												
Mikroskop.												
Mikroskop.												
Mikroskop.												
Mikroskop.												
Mikroskop.												
Mikroskop.												
Mikroskop.												
Mikroskop.												
Mikroskop.												
Mikroskop.												
Mikroskop.												
Mikroskop.												
Mikroskop.												
Mikroskop.												
Mikroskop.												
Mikroskop.												
Mikroskop.												
Mikroskop.												
Mikroskop.												
Mikroskop.												
Mikroskop.												
Mikroskop.												
Mikroskop.												
Mikroskop.												
Mikroskop.												
Mikroskop.												
Mikroskop.												
Mikroskop.												
Mikroskop.												
Mikroskop.												
Mikroskop.												
Mikroskop.												
Mikroskop.												
Mikroskop.												
Mikroskop.												
Mikroskop.												
Mikroskop.												
Mikroskop.												
Mikroskop.												
Mikroskop.												
Mikroskop.												
Mikroskop.												
Mikroskop.												
Mikroskop.												
Mikroskop.												
Mikroskop.												
Mikroskop.												
Mikroskop.												
Mikroskop.												
Mikroskop.												
Mikroskop.												
Mikroskop.												
Mikroskop.												
Mikroskop.												
Mikroskop.												
Mikroskop.												
Mikroskop.												
Mikroskop.												
Mikroskop.												
Mikroskop.												
Mikroskop.												
Mikroskop.												
Mikroskop.												
Mikroskop.												
Mikroskop.												
Mikroskop.												
Mikroskop.												
Mikroskop.												
Mikroskop.												
Mikroskop.												
Mikroskop.												
Mikroskop.												
Mikroskop.												
Mikroskop.												
Mikroskop.												
Mikroskop.												
Mikroskop.												
Mikroskop.												
Mikroskop.												
Mikroskop.												
Mikroskop.												
Mikroskop.												
Mikroskop.												
Mikroskop.												
Mikroskop.												
Mikroskop.												
Mikroskop.												
Mikroskop.												
Mikroskop.												
Mikroskop.												
Mikroskop.												
Mikroskop.												
Mikroskop.												
Mikroskop.												
Mikroskop.												
Mikroskop.												
Mikroskop.												
Mikroskop.												
Mikroskop.												
Mikroskop.												
Mikroskop.												
Mikroskop.												

Staubbedeckungen durch den Mond für Berlin 1900.

Mondtag	Name	Größe	Entfernt mittlere Zeit		Nahste mittlere Zeit	
			h	m	h	m
August 1	11 Regulus	8 8	7	50 0	8	50 0
4	1 Capricorn	4 0	20	10 0	10	50 0
10	2 Crd	4 0	14	10 0	10	50 0
17	4 Sagittari	4 0	7	50 0	7	50 0
21	8 Capricorn	4 0	21	10 0	10	50 0

Lage und Größe des Saturnrings (nach Struve.)

August 1.	Große Achse der Ringfläche	40 12"	Kleine Achse	14 12"
	Erleuchtungswinkel der Erde über der Ringfläche	1° 40'	abwärts	
August 1	Mittlere Scheibe der Erde:	32° 37'	317	
	Wärme	22° 37'	29 40	
	Hallenscheitel der Sonne	10	40 12"	
	Parallaxe	1 10		

Stellungen der Jupitermonde im August 1908.



Stellungen von 11^h 30^m für den Anblick von astronomischen Fernrohren

Tag	West	Ost
1		Q 4. 17. 12. 2.
2		Q 4. 17. 12. 2.
3		Q 4. 17. 12. 2.
4		Q 4. 17. 12. 2.
5		Q 4. 17. 12. 2.
6		Q 4. 17. 12. 2.
7		Q 4. 17. 12. 2.
8		Q 4. 17. 12. 2.
9		Q 4. 17. 12. 2.
10		Q 4. 17. 12. 2.
11		Q 4. 17. 12. 2.
12		Q 4. 17. 12. 2.
13		Q 4. 17. 12. 2.
14		Q 4. 17. 12. 2.
15		Q 4. 17. 12. 2.
16		Q 4. 17. 12. 2.
17		Q 4. 17. 12. 2.
18		Q 4. 17. 12. 2.
19		Q 4. 17. 12. 2.
20		Q 4. 17. 12. 2.
21		Q 4. 17. 12. 2.
22		Q 4. 17. 12. 2.
23		Q 4. 17. 12. 2.
24		Q 4. 17. 12. 2.
25		Q 4. 17. 12. 2.
26		Q 4. 17. 12. 2.
27		Q 4. 17. 12. 2.
28		Q 4. 17. 12. 2.
29		Q 4. 17. 12. 2.
30		Q 4. 17. 12. 2.
31		Q 4. 17. 12. 2.

Ercheinungen der Jupitermonde. Die stündlichen Angaben über die Erscheinungen der Jupitermonde beziehen sich auf mittlere Zeit von Cassiopeia. Die Trabanten sind der Reihenfolge nach *Abdankes*, vom Jupiter nach mit I bis IV bezeichnet. Die vor gestrichelten Figuren zeigen die Stellung jedes Mondes mit Bezug auf den Jupiter bei der Aufgangzeit der Vorkommung ist oder des Wiedereintrittens α bis ϵ nicht angegeben, so kann der Anschnitt aus dem Schatten nicht beobachtet werden. Ferner bedeutet bei den nachfolgenden Zeitangaben:

Ex D das Verschwinden des Trabanten im Schatten des Jupiter.

Ex R das Ausritt des Trabanten aus dem Schatten des Jupiter.

Ge D das Verschwinden des Trabanten hinter die Jupiterschibe.

Ge R das Wiedereintritten seltlich sehen der Jupiterschibe.

Tr I den Eintritt des Trabanten vor die Jupiterschibe.

Tr E den Ausritt des Trabanten aus der Jupiterschibe.

Sh I den Eintritt des Trabanten in den Schatten auf die Jupiterschibe.

Sh R den Ausritt des Trabanten aus dem Schatten auf die Jupiterschibe.

Es sind nur diejenigen Erscheinungen der Jupitermonde aufgeführt, welche sich ergiebn, wenn Jupiter zu Cassiopeia über und des Sonns wegen dem Horizont steht. Um die Abstände dieser Erscheinungen nach mitteleuropäischer Zeit zu finden, hat man vorzögl. α zu den angegebenen Zeitpunkten zu addiren.

August 3. I Sh. I. 12^h 30^m. I Tr. I. 12^h 30^m. August 4. I Ge. R. 11^h 31^m.
August 5. III Ge. R. 12^h 34^m. August 10. I Sh. I. 10^h 30^m. August 11. I Ge. R. 11^h 40^m 12^h. II Ge. D. 12^h 30^m 12^h. August 12. I Sh. E. 12^h 10^m. August 13. III Ge. D. 12^h 30^m 12^h. II Tr. E. 12^h 30^m. III Ge. R. 12^h 30^m 12^h. August 16. I Ex. D. 12^h 30^m 12^h. August 17. I Sh. I. 12^h 30^m. I Tr. I. 12^h 30^m. I Sh. E. 12^h 30^m. I Tr. E. 12^h 30^m. August 18. I Sh. I. 12^h 30^m. I Ge. R. 12^h 30^m. II Tr. I. 12^h 30^m. II Sh. E. 12^h 30^m. August 20. III Tr. E. 12^h 30^m. August 21. I Sh. I. 12^h 30^m. I Tr. I. 12^h 30^m. I Sh. E. 12^h 30^m. August 22. I Sh. I. 12^h 30^m. I Ge. R. 12^h 30^m. II Sh. I. 12^h 30^m. I Ge. R. 12^h 30^m. II Tr. I. 12^h 30^m. August 23. I Tr. E. 12^h 30^m. August 24. III Tr. E. 12^h 30^m. August 25. I Sh. I. 12^h 30^m. I Tr. I. 12^h 30^m. I Sh. E. 12^h 30^m. August 26. I Sh. I. 12^h 30^m. I Ge. R. 12^h 30^m. II Sh. I. 12^h 30^m. I Ge. R. 12^h 30^m. II Tr. I. 12^h 30^m. August 27. I Sh. I. 12^h 30^m. August 28. I Sh. I. 12^h 30^m. August 29. I Sh. I. 12^h 30^m. August 30. I Sh. I. 12^h 30^m. August 31. III Sh. E. 12^h 30^m. II I Tr. I. 12^h 30^m.

Stellungen der Saturnmonde. (Erläuterung S. 20.)

Zeiten der größten Elongation im August 1906.

Helios. August 1. 17^h 4^m. August 4. 16^h 4^m. August 6. 7^h 4^m. August 8. 4^h 3^m. August 10. 1^h 3^m. August 11. 12^h 3^m. August 12. 10^h 3^m. August 13. 17^h 3^m. August 14. 20^h 3^m. August 15. 16^h 3^m. August 16. 9^h 3^m. August 17. 12^h 3^m. August 18. 10^h 3^m. August 19. 17^h 3^m. August 20. 20^h 3^m.

Deion. August 1. 11^h 3^m. August 4. 12^h 3^m. August 7. 7^h 3^m. August 10. 4^h 3^m. August 11. 10^h 3^m. August 12. 12^h 3^m. August 13. 7^h 3^m. August 14. 1^h 3^m. August 15. 12^h 3^m. August 16. 10^h 3^m. August 17. 17^h 3^m. August 18. 20^h 3^m. August 19. 16^h 3^m. August 20. 9^h 3^m.

Idaea. August 4. 12^h 3^m. August 6. 1^h 3^m. August 10. 18^h 3^m. August 12. 12^h 3^m. August 13. 12^h 3^m. August 14. 9^h 3^m. August 15. 12^h 3^m.

Thia. August 4. 11^h 3^m. August 5. 12^h 3^m. August 10. 7^h 3^m. August 12. 10^h 3^m. August 13. 12^h 3^m. August 14. 7^h 3^m. August 15. 12^h 3^m. August 16. 10^h 3^m. August 17. 17^h 3^m. August 18. 20^h 3^m. August 19. 16^h 3^m. August 20. 9^h 3^m.

Japetus. August 15. 1^h 3^m W.



Stier 1905

Großer Nebel bei α und β von Skorpion
 Photographiert von Prof. E. E. Barnard.

Tafel VII

SIRIUS.

Zeitschrift für populäre Astronomie.

Centralorgan für alle Freunde und Förderer der Himmelskunde.

Herausgegeben

unter Mitwirkung hervorragender Fachkollegen und wissenschaftlicher Schriftsteller
von Prof. Dr. Hermann J. Klein in Köln

Juli 1904.

„Wissen und Erkennen sind die Freude und die
Bewältigung der Menschheit.“ Kommt.

Jeden Monat 1 Heft. — Jährlich 12 Mk.

Verlag von EDUARD HEINRICH MAYER in Leipzig.

INHALT: Neue Untersuchungen über Polhöhen schwankungen. S. 145. — Beobachtungen auf dem Monte. Von Dr. Klein. (Mit 4 Figuren.) S. 147. — Aussehen der Marsoberfläche bei der Opposition 1903. S. 153. — Die Verteilung der Linsen im Spektrum. S. 154. — Neue spektroskopische Doppelsterne. S. 158. — Die absolute Lichtstärke der Fixsterne. S. 161. — Die Kometenbeobachtungen des Jahres 1903. S. 165. — Die Sonnen- und die Mondfinsternisse im Monat August. S. 166. — Verschieden Nachrichten. S. 168. — Astronomischer Kalender. S. 169. — Störungen der Jupiterbewegung. S. 171. — Entdeckungen des Jupitermonds. S. 175. — Störungen der Saturnbewegung. S. 176.

Neue Untersuchungen über Polhöhen schwankungen.

Die seit 1858 bekannt gewordenes kleine Schwankungen der geographischen Breiten, welche durch Lageänderungen der Erdoberfläche hervorgerufen werden, haben sich allmählich als eine recht komplizierte Erscheinung erwiesen, besonders nachdem der japanische Astronom KIKUCHI zeigte, daß neben der Hauptschwankung noch eine sehr viel kleinere Schwankung besteht, die ebenfalls eines Jahres (Jahr Zyklus) vollendet. Sie wird kurz als „Kometische Glied“ der Polhöhen schwankung bezeichnet und ihre Ursache ist ebenso wenig sicher nachgewiesen als die Ursache der Polhöhen schwankung überhaupt. Innerhalb dieses die Beobachtungen und darauf gestützten rechnerischen Untersuchungen über den Gegenstand fort und kürzlich ist eine Arbeit von Prof. Dr. R. Schumann (Aachen)

unter dem Titel „Numerische Untersuchung über Polhöhen schwankung und Aberrationskonstante“ erschienen die besonders beachtenswert ist? In der Einleitung lautet nach Prof. Schumann wie folgt:

„Bei der unter dem Namen „Polhöhen schwankung“ bekannten Erscheinung sind bisher hauptsächlich zwei Perioden hervorgehoben, eine von jährlicher und eine von etwa mehr als 14-monatlicher Dauer; außerdem scheint ein Zyklus von rund sechs Jahren zu bestehen. Für die Dauer der im zweiten Satz genannten Periode gelten im besonderen die Werte nach Chandler 427 Tage, nach Bakhuyzen 431 Tage

3. Jede Abhandlung als Beilage geht an den Adr. Verleger Herrn J. Mayer, von Prof. Dr. H. Krutz, Nr. 11, Kiel 1904.

Neubildungen auf dem Monde.

Übersicht und Kritik der bisherigen Beobachtungsproben.

Von Dr. Riets.

(Mit 4 Figuren.)

(Fortsetzung.)

1871, Aug. 23. Lichtgrenze von $+ 2^{\circ}$ bis $+ 3^{\circ}$. Ich stelle ich eine große Anzahl von Beobachtungen dieser Gegend an und es wurden dabei nicht weniger als fünf dunkle Flecke in der Nähe des Hyginus entdeckt. Im ganzen Tage, in welchem eine Beobachtung überhaupt möglich war. Waren irgend ein Fleck in dieser Gegend etwas stationärer befestigt worden, so würde er mir wohl nicht entgangen sein, denn ich hatte gerade die Untersuchung nach dieser Richtung bis untenommenen Zwei Flecke, welche in der Tat eine geringe Veränderung dieser Art vermuten lassen, wurde untersucht und sorgfältig zwei Jahre hindurch überwacht. Das Detail dieser Beobachtungen kann hier nicht Platz finden. Die gegenwärtige Liste beschränkt sich auf diejenigen Beobachtungen, welche angestellt wurden, um Kater oder andere Details zu entdecken, die nicht in Beer und Mädler's Mondkarte enthalten sind.

1872, Dec. 7. Lichtgrenze von 0° bis $- 2^{\circ}$ L. (Schmidt)
Hyginus N nicht gesehen.

1873, Jan. 2. Lichtgrenze von $+ 4^{\circ}$ bis $+ 3^{\circ}$ L. (Schmidt)
Hyginus N nicht gesehen.

1874, Jan. 24. Lichtgrenze von $+ 5^{\circ}$ bis $+ 4^{\circ}$ L. (Pulson)
Hyginus N nicht gesehen.

Jan. 25. Lichtgrenze von $- 5^{\circ}$ bis $- 7^{\circ}$ L. (Sinnott)
Hyginus N nicht gesehen.

Sehr große Klarheit, viele neue Objekte wurden wahrgenommen und die ganze Region sehr sorgfältig untersucht.

1875, April 23. Lichtgrenze von $+ 2^{\circ}$ bis $+ 1^{\circ}$ L. (Hansen)
Hyginus N nicht gesehen. Gradbogen scheint in derselben Nicht eine Zerkümmung gemacht zu haben, aber auch kein Licht N.

Jan. 21. Lichtgrenze von $+ 2^{\circ}$ bis $+ 1^{\circ}$ L. (Hansen)
Hyginus N nicht gesehen.

Dez. 15. Lichtgrenze von $+ 3^{\circ}$ bis $+ 2^{\circ}$ L. (Hansen)
Hyginus N nicht gesehen.

1875, März 14. Lichtgrenze von $+ 1^{\circ}$ bis $+ 2^{\circ}$ L. (Schmidt)
Hyginus N nicht gesehen.

August 8. Lichtgrenze von $+ 5^{\circ}$ bis $+ 3^{\circ}$ L. (Schmidt)
Hyginus N nicht gesehen.

Während des Jahres 1875 und in dem ersten Teile 1876 gab ich es auf, Spezialzeichnungen des Mondes auszuführen und beschaffte mich auf sorgfältige Vergleichung meiner Karte mit dem ägyptischen Zustande der Mondoberfläche, wobei ich überall, wo nötig, die von mir neu entdeckten Objekte nachdrücklich eintrug und einseitig besonders in der Zeichnung der Oberfläche veranordnete. In etwa 18 oder 19 Nächten beschäftigte ich mich sorgsam mit dem Detail zwischen Agrippa, Rhekon, Bede und Hankas, also einer Gegend, in deren Mittelpunkt Hyginus liegt. Bei einigen dieser Beobachtungen stand die Sonne allerdings hoch, so daß N hätte unsichtbar sein müssen. Das einzige Dokument, was ich über diese Beobachtungen besitze, besteht in den Verzeichnungen, die ich an den Skizzen

erleichte, welche ich damals mit dem Monde verglich. Aus meinen Aufzeichnungen finde ich, daß die in Rede stehende Gegend zu dem folgenden Tage beobachtet wurde, als sie sich genau bei der Lichtgrenze befand:

1876, März 14 Lichtgrenze von + 2°
bis + 1° Länge.

April 12 Lichtgrenze von + 5°
bis + 3° Länge.

April 13 Lichtgrenze von — 3°
bis — 2° Länge.

Mai 12. Lichtgrenze von + 2°
bis + 1° Länge.

Juli 15. Lichtgrenze von + 1°
bis + 0° Länge.

Aug. 22. Lichtgrenze von + 14°
bis + 12° Länge.

(Abendbeobacht.)

Septbr. 3. Lichtgrenze von + 0°
bis — 1° Länge.

Oct. 16. Lichtgrenze von + 13°
bis + 12° Länge.

(Abendbeobacht.)

Dezbr. 5. Lichtgrenze von — 4°
bis — 5° Länge.

1876, Febr. 2 Lichtgrenze von — 2°
bis — 3° Länge.

Bei Gelegenheit dieser Beobachtungen entdeckte ich eine Anzahl sehr kleiner Krater, schöner Hügel und niedriger Hügel in der unendlichen Nachtansicht des jungen Hygieus N, so daß ich wohl nicht dieses letztere hätte übersehen können, wenn es damals so ungenügend gewesen wäre als heute. Während des letzten Teiles von 1876 und während des ganzen Jahres 1877 war meine Zeit von ständiger Tätigkeit in Anspruch genommen und keine Himmelsbeobachtungen wurden angestellt. Aus dem vorhergehenden ist ersichtlich, daß der in Rede stehende Teil des Merkurs außerordentlich sorgfältig untersucht wurde bei jeder der zwanzig Geführgänge, wenn Hygieus N sich als großes, schwarzes, kreisförmiges Objekt mitten zeigen schienen und zwar als einer der auffälligsten Gegenstände in dem ganzen Bereiche. Gleichwohl ist er niemals wahrgenom-

men worden, obgleich verschiedene wohl kleiner und ungleich weniger bestimmte Objekte gesehen und selbst von entdeckt wurden. Außer diesen zwanzig verschiedenen Beobachtungsgelegenheiten habe ich noch 14- oder 15mal die Beobacht. unternommen, um nach dunklen Flecken zu spähen, welche irgend eine Variation ihrer Helligkeit zeigen könnten. Wenn daher damals Hygieus N mit seinen großen Veränderungen in Helligkeit umherlief, so ist es schwer zu begreifen, daß ich ihn übersehen haben sollte. Die verhängende Lise enthält 6 Fäden, in welchen der Gegenstand sorgfältig untersucht wurde, als Hygieus N als grauer Fleck mitten sichtbar sein sollte, aber er ist nie gesehen worden. Es würde schwer sein, einen entscheidenden negativen Beweis beizubringen. Manas schenkt mir sehr hervorgehoben, daß innerhalb der Jahre 1870 bis 1876 in ganz Hopen ein großes schwarzes, kreisförmiges Objekt von 3 (engl.) Meilen Durchmesser und eines der auffälligsten dort, wie auch Hygieus N beschrieben wird, nicht existierte.

Das Unglück des Wetters in England gerade um die Zeit des ersten Mercuriids veränderte gerade Zeit hindurch, dass das neue Krater zu sehen. E. Neuman gelang dies erst am 26. April 1878, und diesen Abend brachte zugleich die volle Beschöpfung. Nizza beschickte darüber u. a. folgendes:

«Der Krater wurde in diesem Abend in der hohen Ebene sichtbar werden und falls er wirklich den Charakter besaß, den ihm Dr. Klein zuschrieb, so mußte er sich darstellen als heller, schwarzer, kreisförmiger Fleck, nahe dem Merkur im Durchmesser und viel zu auffällig, um übersehen zu werden.

Der Tag zeigte sich sehr schlecht genug, und als ich gegen 6 Uhr den Horizont anstarrte, fand ich denselben höchst wenig ansprechend. Gegen Abend wurde das Wetter noch schlechter und ich gab alle Hoffnung auf, den Merkur in dieser Nacht zu sehen. Gegen

9 $\frac{1}{2}$ Uhr sah ich zu meinem Entsetzen den Mond hell zurückstrahlen von den Finstern der Mäusen. Später hörte ich, daß die Wölfe kaum 10 Minuten früher sich vorzugs hatten. Angelegt auf meinen improvisierten Observatorium, fand ich, daß mir nur schätzungsweise 1/2 Stunde zur Beobachtung blieb. Ich brachte meine Augen an das Fernrohr, am Ruck in Hülfssekreten und am Druck in Deffinition brachte Hygieas mittel in das Gesichtsfeld des Teleskops. In offener Ebene unmittelbar nördlich vom Hygiea, da lag nun ein großes, schwarzes, kreisförmiges Objekt, fast so groß wie Hygiea selbst und viel zu unregelmäßig, um übersehen werden zu können. Es stand gerade mitten in einer Region, in welcher ich sicher war, daß kein solches Objekt bei meinen zahlreichen früheren Beobachtungen sichtbar war.

Hier konnte kein Mißverständnis obwalten; das Objekt war so unregelmäßig, daß es völlig unmöglich ist, dasselbe zu beschreiben, während man die klarere Gegenstände in seiner Nachbarschaft wahrnimmt. Es stimmte völlig überein mit der Beschreibung von Dr. Klein, indem es ganz das Aussehen einer schwarzen Kiste hatte, umgeben von einem schmalen Kanale, und einem Typus angehörte, mit dem ich vollständig bekannt bin aus meiner Beobachtung einer ähnlichen Formation im südwestlichen Quadranten des Mondes. Ich erlaube mir daher das Aussehen dieser Region, aber ich bitte keine Zeit, meine Zeichnung zu vollenden, denn der Mond sank nun meinem Gesichtskreise. Einige Tage später besuchte ich die König. Astronomische Gesellschaft und traf dabei die Herren Kapitan Nobbe, Sailer und, wie ich nicht, auch Herr Goss. Ich zeigte ihnen meine Zeichnung, keiner von ihnen hatte in jener Nacht den Mond beobachtet, da es außerdem die Nachforschung aufgegeben hatten. Während dessen kam Herr Goss und brachte eine Zeichnung mit, die er in dieser

Nacht des 28. April angefertigt hatte. Herr Sailer, Herr Goss und ich schenken verglichen die Zeichnungen, und es stimmten vollkommen überein. Herr Goss pflichtete mir bei, daß der Krater viel zu unregelmäßig sei, um übersehen werden zu können. Später versuchte ich, daß Herr Dr. Klein in derselben Nacht beobachtet habe und daß seine Beobachtungen ebenfalls vollkommen mit denjenigen von Herrn Goss und mir übereinstimmen.

So kann also kein Zweifel sein in dieser Sache. In der That stimmt nördlich vom Hygiea ein solches Objekt heute die große, schwarze, unregelmäßige Objekt, welches nicht könnte übersehen werden sein und dennoch nicht gesehen worden ist von irgend einem der Astronomen, die den Mond vor dem Jahre 1877 beobachtet haben.

Beachten wir jetzt, was dies bedeutet. Das gesamte Regio ist wiederholt untersucht worden von einer Anzahl der erfahrensten Beobachter, und wir besitzen Zeichnungen und Karten darüber von Scherler, Graßmann, Lehmann, Schmidt, Kraus, Müller, Schmidt und Neesen. Das Objekt ist wiederholt beobachtet worden mit der südöstlichen Abseht, aus Formationen von der Art wie Hygiea N zu entdecken, falls sie dort existierte; alle Wahrnehmungen aber stimmten dazu überein, daß vor 1877 keine solche Formation dort existierte. Meist eigenen Beobachtungen sind sehr zahlreich gewesen und unter allen Beobachtungsverhältnissen angestellt worden, aber in den Jahren 1878 bis 1879 war keine Spur einer solchen Formation zu entdecken. Es ist sicher, daß ein so unregelmäßiges Objekt nicht übersehen worden konnte, während gleichzeitig mit Mikroskopen Detail nachgesehen gesehen und gemacht wurde, was es wirklich der Fall ist bei den obengenannten Beobachtern. Sicherlich, während dieses längeren Detail gesehen wurde, konnte das größere Objekt nicht vorhanden sein und trotzdem die Be-

beobachtung entgegen. Öffentliches Interesse ist außerdem die in Rede stehende Region eine solche, für die der Einfluß der Libration auf das Aussehen eines Objektes wie Hygieus N völlig gleich Null ist. Dies ist eine sehr wichtige Tatsache, und es darf keinen Augenblick vergessen werden, daß die Wirkung einer veränderlichen Libration auf eine kriteriellische Verlebung in der Lage von Hygieus N völlig unerklärlich sein muß. Folglich kann jede Veränderung im Aussehen von Hygieus N nur allein herrühren von der wechselnden Beleuchtung, so daß dieses Objekt in jeder Libration einmal jedes Aussehen gewinnen muß, welches es überhaupt darbieten kann. Man wird nur nötig haben, die Formation auseinanderbrechen in aufeinanderfolgende Tage nach Sonnenzeitung hindurch zu überweisen und dann jedes überhaupt mögliche Aussehen derselben wahrnehmen. Wenn folglich vor dem Jahre 1876 in dieser Region ein kriteriellisches Objekt wie Hygieus N vorhanden war, so scheint es sicher, daß es hätte wahrgenommen werden und seine Existenz aufgespürt sein müssen. Andererseits ist es gleichfalls sicher, daß nun in dieser Region eine große, schwarze, kriteriellische Formation existiert, die viel zu augenfällig ist, um übersehen worden zu können. Welchen Schluß sind wir gezwungen aus der Betrachtung dieser zwei Thatsachen zu ziehen? Entweder den, daß während der Jahre 1876 und 1877 eine gewisse Veränderung auf diesem Teile der Mondoberfläche stattgefunden haben muß.

Aber, hat man gesagt, bildet nicht noch eine andere Möglichkeit? Wir werden keine Vorladung auf der Mondoberfläche zugehen, wenn es möglich ist, auf irgend eine andere Weise der Beobachtung Rechnung zu tragen. Im der Tat findet sich, daß auch auf eine andere Weise die Beobachtungen in Überemstimmung gebracht werden können, ohne die Existenz einer Veränderung in der Mondoberfläche an-

zunehmen. Nehmen wir an, daß der kriteriellische Fleck Hygieus N aus von jenen Partikeln sei, die nur wenige Stunden nachher sichtbar bleiben, indem er bloß augenblicklich ist unter nach vorübergehenden Beleuchtungsverhältnissen, dann schnell abbläst und verschwindet. Wenn auch dies wirklich so verhält, so ist es sehr leicht möglich, daß keiner der Beobachter, welche die Region vor 1876 untersuchten, im richtigen Moment beobachtete, während des Abfluges nach 1876 der Fall war.

Betrachten wir nun von diesem Gesichtspunkte die Frage, um zu sehen, wie wohl diese Hypothese haltbar ist. Das kleinste Detail in der genannten Region kann nur 48 Stunden nach Sonnenzeitung beobachtet werden und da bei alle Zeichnungen und Karten solchen kleinen Detail enthalten, so müssen wir innerhalb dieser Periode von 48 Stunden entwerfen werden als. Wenn ein Astronom diese Region nach Sonnenzeitung untersucht, so ist gleich wahrscheinlich, daß er innerhalb jedes Abschnittes dieser Periode von 48 Stunden beobachtet, so daß, wenn er eine große Anzahl von Beobachtungen angestellt, es sehr wahrscheinlich erscheint, daß diese Beobachtungen sich nicht über diesen ganzen Zeitabschnitt von 48 Stunden ausdehnen. Man ist Hygieus N als ein augenfälliges Objekt während dieser Periode wahrbar und aus den sehr wichtigen Beobachtungen, die am 28. April 1879 gemacht wurden, scheint mir, daß er als ein augenfälliges Objekt sichtbar bleibt während der 8. bis zur 14. Stunde nach Sonnenzeitung. Die oben genannte Hypothese führt uns also zurück auf die Folgerung, daß während der ganzen Zeit des zwei Jahre 1876 zufällig kein einziger Astronom zwischen 8 und 14 Stunden nach Sonnenzeitung beobachtet habe. Diese Folgerung ist im höchsten Grade unannehmlich, je noch mehr, so ist völlig richtig, denn es sind Zeichnungen vorhanden von Großherzen, Schaefer und mir selbst,

die gerade aus dieser Periode herkommen. Damit fällt die ganze Hypothese zusammen. Um sie völlig zu widerlegen, würde es wohl nötig sein, zu zeigen, daß Hyginus N so weit davon entfernt ist, eine von diesen ausnehmendsten Formationen zu sein, die nach der deutlichen Aussehen verläuft, daß er vielmehr zu denjenigen Formationen gehört, die bis zu 24 Stunden nach Sonnenanfang bestimmt sichtbar bleiben, so daß er deutlich sehr stark bei jeder Beobachtung, die gemacht wurde, wenn die Lichtgrenze überhaupt in der Nähe lag. Wenn nachgewiesen werden kann, daß dies wirklich der Fall ist, so muß der obige Einwurf völlig fallen und wir müssen annehmen, daß eine wirkliche Veränderung der Mondoberfläche zu einer gewissen Zeit während der Jahre 1876 und 1877 stattgefunden hat.

Dieser Beweis ist dann durch die Beobachtungen von Neesen, Schmidt und anderen, auch durch meine eigenen, geliefert worden. Bei nachsichendem Monde ward Hyginus N sichtbar, sobald die Lichtgrenze darüber hinwegschreitend bis höchstens ungefährige Objekt in dieser Gegend, bis die Lichtgrenze über den Krater Timaeus herkam ist. Schmidt ist weiter entwickelt, so bleibt N als dunkler, sofort in die Augen fallender Fleck noch sichtbar, wenn der Krater Timaeus bereits aus der Mondsicht herausgekommen ist. Rödt die Lichtgrenze noch weiter, erreicht also die Sonnenhöhe über dem Krater mehr als 17°, so blüht der dunkle Fleck ab, und wenn die Lichtgrenze zu 26° südlicher Länge liegt (die Sonnenhöhe über N also 26° beträgt), ist nichts mehr davon zu sehen. Der Objekt tritt also dann am deutlichsten und jedesmal beträchtlich hervor, wenn die Lichtgrenze in seiner Nähe liegt, d. h. zu der Zeit, wenn überhaupt jene Region vorzugsweise beobachtet.¹⁾

Ich komme jetzt zu den Untersuchungen von J. Schmidt über die Mondlandschaft Hyginus N, die er in seinem Buchchen an mich veröffentlicht hat.²⁾ Dort heißt es u. a.:

«Die Ansicht aus den Handzeichnungen zu den Ortsplanzeichnungen wird schon 1877 begonnen, bald nachdem Sie mir geschickt kamen, was Sie in gedachter Gegend gesehen, und die Gebirge dargestellt haben, aus denen mit Wahrscheinlichkeit auf eine Neubildung geschlossen werden durfte. Ich glaube jedoch, mit der Veröffentlichung meiner Angaben nicht allein zu müssen, sondern läßt es für besser, das eigene Urteil von den Beobachtungen der folgenden Jahre abhängig zu machen. Inzwischen geht das nächste Jahr mit ihrer Entdeckung bald zu Ende, und ich glaube, daß es nun an der Zeit ist, durch Mitteilung meiner, 42 Jahre umfassenden Beobachtungen, sowohl die älteren, als auch Ihre und Neesens Beobachtungen in wesentlichen zu bestätigen, daher bestat, «daß es auch in der Tat mit großer Wahrscheinlichkeit um eine Neubildung handelt», wobei ich es aber vermeiden, mich des Ausdruckes «Kratere» bedienen. Denn in dem bestimmten Sinne, in welchem ich die Charakteristik des kleinen schalenförmigen Mondkraters auffasse, ebenso wie Scheller, Löwenau und Müller, handelt es sich bei ihrem N Hyginus (so weit ich ihn selbst kenne) nicht um ein derartiges, durch die Schale und Vollständigkeit des erhöhten Randes ausgezeichnetes Gebilde, sondern um eine hinsichtlich der Ausdehnung Verteilung in schwach kuppeligen Boden, die 1877 noch als sehr auffallendes schwarzes Senkungsgebiet, als dunkler Kraterloch gezeigt hat, was die Zeit, wenn dort die Sonne stehen aufgingen war. Diese Lokalität nun, die den früheren Beobachtern unbekannt war, da 1877 ich ihnen, mit und wenigen andern Beobachtern, die, wie Neesen, völlig ver-

¹⁾ Klein, Handbuch d. allgem. Mondbeobachtung, Braunschweig 1891, 3. Aufl. S. 124.

²⁾ Bohn 1893, S. 1 u. ff.

trast mit der Topographie des Mondes waren, in auffälliger Weise gezeigt hat, ist jetzt (1884) insofern verändert, daß es keinen Randigen Blick auf sich heben würde, wenn nicht anderwärts die Aufmerksamkeit darauf gerichtet wäre. Man darf noch schließen, daß Nilhyman, und auch wohl die flache grünländ. Mittelst. T. zwischen dem Schneckenberge und Hymanus, von dem Jahre 1877 sich merklich verändert habe, wenn man die Zeichnungen vergleicht, die bald nach dem dortigen Sonnensturm aufgenommen wurden. Nilson hat sehr klar die Gründe dargelegt, weshalb an dieser Stelle des Mondes am wenigsten von Täuschungen und Irrungen zu fürchten ist. Indessen sind diese Darlegungen an Unklarheiten und Anlässen gerichtet, denn es wäre nur mit einem kurzen Ausdruck zu bezeichnen, wollte sich irgend ein Universalien sehen Nilson anhängen, wie schon gesehen, solche einen verlässlichen Beobachter in Erinnerung zu bringen. Die vorerwähnten noch wirkenden Änderungen können temporäre dampfartige Bedeckungen sein, oder Erhebung des Bodens von N, oder zeitweilige Aufkühlung des Bodens, wie wahrscheinlich ebenfalls in dem Krater Lland. Durch solche Wirkungen kann bei aufgehender Sonne Gestalt und Deutlichkeit von N, besonders die Dunkelheit des Schattens, modifiziert werden.

Schmidt will an einzelne Beobachtungen von nicht weniger als 44 Abenden von dem Jahre 1842 bis 1878 mit, an welchen die Gestalt von Hymanus N von ihm untersucht wurde und der Krater hätte sichtbar sein müssen, wenn er vorhanden gewesen wäre, aber nichts dergleichen ergab sich. Dagegen sah Schmidt das Objekt am ersten günstigen Abende nach Erwachen neuer Beobachtung, nämlich am 7. Juli 1877 sofort und sofort sich, wenn es überhaupt sichtbar sein sollte. Wer sich mit den verschiedenen Ausführungen vertraut

macht, kann denn von nur 1877 gezogener Schärfe, des J. Schmidt und E. Mauou, die beiden damals lebenden Krater des Mondes, bestätigen, nur bestätigen. Aber auch die von Schmidt und mir gesuchte weitere Schlussfolgerung, daß die Veränderungen in der Umgebung des Kraters Hymanus N noch nicht ihren Abschluß gefunden, hat eine völlige Bestätigung erfahren. Das Objekt selbst wurde um 1878 unzählige Male von den verschiedensten Beobachtern und auch an sehr kostbaren Instrumenten beobachtet, so daß die unmittelbare Umgebung desselben zu dem am besten bekannten Grade der Beobachtlichkeit steht. Wenn dort also später noch ein Krater sichtbar wurde, den man bis dahin nicht gesehen hatte, so könnte man, selbst wenn dessen Objekt an und für sich sehr klein wäre, mit Bestimmtheit auf Beobachtung schließen. Dieser Fall hat sich wirklich ereignet. J. N. Krüger, der an seinem fünfzigsten Jubiläum die Umgebung des Hymanus N schon lange genau studiert hatte, entdeckte am 12. April 1884 östlich neben N eine runde, mit schwarzem Schatten erfüllte, kesselartige Vertiefung, viel kleiner als N, aber runder als die Hauptbekannte Krater südlich von N. Das neue Objekt, welches die Bezeichnung Hymanus N erhielt, ist dann später von mir und andere Beobachtern ebenfalls gesehen worden. Wäre es 1877 und in den nächsten Jahren dasselbe schon vorhanden gewesen, so hätte es mir sofort wohl entgehen können, da es nicht neben N steht und zur gleichen Zeit gut dessen von Schatten erfüllt ist. Übrigens ist N ein kleiner Kraterhügel, während N eine wallartige Vertiefung bildet.

6.

Dunkle Krater im Mars Nectarius. Die beiden Krater, um die es sich handelt, liegen nahe bei 30° westl. Länge und 14° nördl. Breite. Auf der hier gegebenen Orientierungskarte

Fig. 3 sind sie mit H und K beschriftet. Dieses Mars gehört zu den Moosflächen, die in jeder Lunation gut sichtbar werden. Es ist von Lohmann und Mäler, später von J. Schmidt, in ihren Mooskarten vielfach dargestellt worden und diese Karten zeigen stets und immer dasselbe.

Schmidt hat diese Gegend des Mars nicht speziell behandelt, aber Mäler vermerkte das Mars Nocturn sehr häufig mit der größten Aufmerksamkeit, weil es ihm in gewissen Stadien vorzüglich vorkam. Er hat infolgedessen eine beträchtliche Anzahl kleiner Karten in dieser grossen Ebene entworfen und ebenso mehrere schwache Helligkeits- oder Leuchtstellen, zwischen denen der grösste in Rede stehende Krater



Fig. 3.

Abbildungen, im allgemeinen $1\frac{1}{2}^{\circ}$. Die Bergkette haben 3° , je einige 4° und 5° Licht, wogegen auch Seifen von nur 2° Licht vorkommen.

sich gegenüber befindet. Wie auf mehreren Bildern auf diese Gegend der Marsoberfläche war, ergibt sich am besten aus einem eigenen Werke. Ich entlehne zu diesem Werke „der Mars“, wo er sich in folgender Weise über das Mars Nocturn äußert:

„Dieses auf Heron Charles mit Simon Estreman Poell beschriftete

Mars erstreckt sich vom Thophas A und der Berggruppe des Nocturn an bis gegen die merkwürdigen Procelles

Sowohl die ist das höchste Gestein in manigfachen, aber schwer zu bestimmenden

Abbildungen, im allgemeinen $1\frac{1}{2}^{\circ}$. Die Bergkette haben 3° , je einige 4° und 5° Licht, wogegen auch Seifen von nur 2° Licht vorkommen.

(Pictorial light)

Ansichten der Marsoberfläche bei der Opposition 1903.

(Herausg. Teil VII.)

Die hier wiedergegebenen Darstellungen sind nach den Beobachtungen auf dem Lowell Observatorium dort am 24. August 1903 und in 3 Stunden der Apsiden desselben publiziert worden. Sie enthalten das nämliche bei dieser

Opposition des Mars am 24. zolligen Refraktor dort beobachtete Detail. Doch ist, für den Nachtbeobachter, zu bemerken, daß diese Details nur zum Teil gleichzeitig auf dem sichtbaren Teile der Marsoberfläche zu sehen waren, sondern

sich nur Teile davon. Aus diesen einzelnen Wahrnehmungen sind die vier Ansichten, welche der Tafel entbehrt, zusammengefügten worden. Während der Opposition von 1903 war hauptsächlich der Nodopet des Mars der Erde zugewandt und der Planet konnte auf dem Lowell-Observatorium vom 21. Januar bis 26. Juli anhaltend unter Beobachtung bleiben. Der größte scheinbare Durchmesser des Mars in dieser Opposition war $14.4''$. Die Abbildungen beziehen sich auf 4 um je 90° voneinander entfernte Positionen

der Marschale gegen den Beobachter auf der Erde hin, nämlich auf die Zeiten, in welchen der über die Mitte der Sonne gehende Meridian (2) der Marszeit 0° , 90° , 180° und 270° betrug. Der Null-Meridian oder Anfangspunkt der Zählung geht über dem gegen Norden hin sehr ausstehenden dunklen Fleck der von Schiaparelli den Namen Fingrum Argo erteilt hat. Dieser und die Namen der übrigen Flecke und Kanäle, die zum Teil von Lowell herühren, sind in die vier Ansichten eingeschrieben.

Die Verschiebung der Linien im Spektrum.

Die Verschiebung der Linien im Spektrum aus ihrer normalen Lage, wird nach dem meist von Doppler ausgesprochenen Prinzip, durch die Bewegung der Lichtquelle in der Richtung vom oder zum Beobachter hin, erklärt. Auf diesem Grundsatz beruht bekanntlich die Berechnung der sogenannten Radialgeschwindigkeit der Sterne. In jüngster Zeit sind gegen die unbedingte Zulänglichkeit dieses sogenannten Dopplerschen Prinzips von verschiedenen Seiten Bedenken erhoben worden. Speziell beschäftigt sich eine kürzlich erschienene Arbeit von Paul A. Schmidt (Sonnegg) mit diesem Gegenstande.¹⁾ Aus derselben haben wir, mit Fortlassung der mathematischen Entwicklungen folgenden hervor:

„Der Schluß, sagt Paul Schmidt, aus der Verschiebung von Spektrallinien gegen die Seite längerer oder kürzerer Wellen auf die Geschwindigkeit der Lichtquelle in Richtung des Beobachters, ist nicht mehr unbedingt haltend. Die Linsenverfälschungen, die Veränderungen der Wellenlängen von Lichtstrahlen, können nach anderen Ursachen haben, als Bewegungen entweder der Lichtquelle oder der Beobachtungspunkte.“

So hat ab und zu H. Poincaré²⁾ gezeigt, daß in dem von einem Planeten gegen unser Auge diffus reflektierten Sonnenlicht infolge der Änderungen der beiden Entfernungen und des Planeten von der Sonne und des Planeten von der Erde, sich die Schwingungszahlen einzelner Lichtwellen in eine andere umgestaltet haben, und unter Benützung dieses, neuen Prinzips hat Bertrand³⁾ die Äquationsgeschwindigkeit gemessen, mit welcher der Planet Jupiter rotiert. Die Linie und zweite Seite des Planeten während zur Zeit der Opposition eine relative Linsenverfälschung aufwies, welche dem vierfachen Betrag der Äquationsgeschwindigkeit des Jupiter (124 km) entsprach, was wir wenn jede Seite des Durchmessers selbstbeachtend wäre und die eine mit $2 \cdot 124$ km gegen die Erde, die andere mit ebensolcher Geschwindigkeit von der Erde weg sich bewegte.

Ebenso ist Schuster⁴⁾ und Michelson⁵⁾, indem er zeigt, daß jede stetige Änderung der optischen Länge des Weges der Lichtstrahlen von ihrer Quelle bis zum Beobachter von einer Veränderung der Schwingungszahl (bzw. Schwingungszahl und Wellenlänge) begleitet sein müsse.

¹⁾ Die Grundlagen des Dopplerschen Prinzips. Phys. Zeitschrift 1905, Nr. 9 S. 105.

²⁾ C. R. 188, 475, 1888.

³⁾ C. R. 189, 471, 1890.

⁴⁾ Astrophys. Journal 19, 102, 11, 1902.

Prof. Schmidt bei der Anwendung, welche Michelson von seinem allgemeinen Goniometer in einem speziellen Falle macht, genauer untersucht und indem er ein ihm aufstehendes principielles Bedenken wegweist, kommt er zu dem Ergebnisse, daß unter gewissen Verhältnissen die Erklärung einer Linienverschiebung als Wirkung einer Brechung an einer bewegten Fläche mindestens gleichberechtigt erscheint mit der Erklärung nach Doppler.

Unter gewissen Verhältnissen kann man eine beobachtete Linienverschiebung durch Brechung mittels einer 48-mal kleineren Geschwindigkeit erklären als durch Bewegung der Lichtquelle. Dabei ist nur eine annähernde Brechung vorausgesetzt. Der Lichtstrahl, welcher eine in der Längsrichtung nach oben gewandte Gabeln schneidet (sicher ebenfalls einigende Glasmasse durchdringt), wird beim Eintritt und Austritt wie in einem Prisma gebrochen, alle Linien der neuen Erklärung verdoppeln sich bei der Annahme solcher Vorgänge. Eine spezielle Anwendung hiervon macht Prof. Schmidt auf die Sonne. Er sagt:

«Im Anschluß an die Deutung des Randes in Scheitelhöhe der Sonne als des Produkts der Strahlbrechung in der Sonnensatmosphäre habe ich versucht, auch die Mehrzahl der außerordentlichen Erscheinungen außerhalb des Sonnenrandes des Scheins zu erklären, als ob es sich um bewegende Objekte in dem betreffenden Abstände von der Sonne handelte. Entweder, (und das scheint mir das plausibelste) ganz Unwahrscheinliches) sind die hochaufliegenden Protuberanzen glühende Gasmassen, deren ungeheure, teilweise über 800 km betragende Geschwindigkeiten des Aufsteigens ihnen keine Zeit zur Ausdehnung und schließlichen Abkühlung lassen, oder es sind Produkte der Rotation in rasengetriebenem, nicht selbst leuchtendem, von Schichten wechselnden Brechungsvermögens, (Schichten) durchströmten Gasraums, welche uns das Licht des innersten

Saumes des Sonnenrands, der Chromosphäre, widerspiegeln.

Die Durchführung des letzteren Gedankens¹⁾ erfordert das Nachweis, daß in sehr verdünnten Gasen es möglich sei, daß Ablenkungen der Lichtstrahlen abhänden von beispielsweise über 50° aus der ursprünglichen Richtung. So große Ablenkungen müßten stattfinden, um Protuberanzen in Höhe von beispielsweise $\frac{1}{2}$ des Sonnenradius als möglich zu erklären. Zugleich war zu begründen, warum durch ebensolche starke Ablenkungen nicht auch das Licht der weißen Sonnenscheibe wiederspiegelt werde.

Die Erklärung gelingt durch die Annahme von Gasdrühten und anderen horizontalen hohlen, wenig geneigten Lagern, bei nach oben abnehmender Dichte, deren wechselnde Abweichungen von der horizontalen Lagerung in dem höheren Gebieten größer sind, als in den tieferen. Eine solche Annahme dürfte ihre tiefere Begründung haben im Unterschied der barometrischen Gendrucke für schwere Gase der tieferen, von denjenigen für leichte Gase der höheren Gebiete der Sonnensatmosphäre.

In solchen Schichten und Schären beschreiben Strahlen, welche genügend kleine Winkel mit der Richtung der Lagerung einschließen, nach unten bestimmte Wege. Insbesondere habe ich auf den Unterschied der mehr runden und der hochaufliegenden natürlichen Protuberanzen hingewiesen und die letzteren, deren Licht infolge der ungleichen Schichten der Chromosphäre abstrahlen muß, durch die Annahme von Schären erklärt, welche als mächtige aus der Sonnenscheibe austretende Wellen sich nach oben kopfstecken.

Diese Vorstellungen und die eine von Michelson eingeführte Erklärungsart für die Verschiebung der Spektrallinien können einander aufs schärfste entgegen. Insbesondere gewinnen wir für die Wellenlängenveränderung noch eine

¹⁾ Zeitschrift Physik, Mai 1905.

sehr bekannte weitere Ursache in dem Vorgang, den ich früher als große Refraktion von der Sonne, dem nächsten Übertritt der Strahlen über die Grenzfläche, ausrichtend habe, nämlich in dem Eintritt und Wiederaustritt aus derselben Schicht nach erfolgter Umlenkung des Strahls durch eine Art Totalreflexion.

An einer Schicht von fast schalenförmiger Gestalt wird ein Strahl verschoben und entgegengesetzte Änderungen seiner Wellenlänge erhalten, je nachdem er die Schicht auf ihrer konvexen Seite nur durchschneidet, oder auf der konvexen oder konkaven Seite ein- und austretend, gespiegelt wird.

Bei diesen Refraktionsen in sehr scharfer Richtung tritt zugleich eine sehr starke Dispersion ein, besonders in schrägen und unter Schichten werden Spaltungen der Strahlen in zwei getrennte Gruppen stattfinden können. Die eine schwächer brechbare Gruppe durchdringt die Schicht mit kleiner Refraktion, die andere stärker brechbare erleidet die große Refraktion, verhältnismäßig kleine Unterschiede der Brechungsverhältnisse können sehr große

Differenzen der Wellenlängenänderung zur Folge haben, und werden Untersuchte in der Zusammenstellung des Photospektrums und des Chromosphärenspektrums zwingen müssen, trotz übereinstimmenden Ursprungs.

Nach meiner Untersuchung⁷⁾ dürfte das Gebiet des Orin vorzugsweise von starken Störungen schon lange betroffen werden.

Eine der unerwartetlichsten Annahmen, welche auch Mithras noch nicht zu überwinden in der Lage war, die aber besonders der Doppelsternen Erkennungswiese schadet, ist die Annahme einer örtlichen Schädigung der chromatischen Elemente in derselben Proportion, demselben Sonnenfleck, auf welche Schädigung man nun der die meisten Spektrallinien sehr veränderten befindlichen Lichtverschönerung schreibes mußte. Diese Voraussetzung erscheint als natürliche Folge sowohl der Dispersion als der mannigfaltigen, teils sich summierenden, teils sich aufhebenden Wirkungen mehrfach aufeinanderfolgender Brechungen in unregelmäßig beschafften Schichten.

Neue spektroskopische Doppelsterne.

74 ist der Lichtsterne und auf dem Vorüberstreifen ist wiederum bei mehreren Sternen durch spektroskopische Aufnahmen eine veränderliche Bewegung in der Geschwindigkeit zur Erde nachgewiesen worden, wozu diese Sterne in die Reihe der spektroskopischen Doppelsterne treten folgende wurden auf der Lichtsterne von J. G. Meier nachgewiesen.⁷⁾

+ Ursa majore.

($AR = 10^6 2.74$, $D = + 10^6 35'$)

Am 3 in der Zeit vom 22. Januar 1880 bis zum 24. Januar 1881 aufgenommenen Platten ergaben sich solche

Geschwindigkeiten die zwischen $- 1$ und $- 14.2$ km pro Sekunde schwanken.

2 Hydræ

($AR = 10^6 5.34$, $D = - 11^6 51'$)

Die spektroskopischen Aufnahmen geschahen zwischen 1880 März 30 und 1881 März 31 und lieferten Resultatsgeschwindigkeiten zwischen $+ 17.6$ und $+ 24.1$ km pro Sekunde. Das Spektrum gehört zum Typus K, der Harvard-Spektren.

μ Ursa majore

($AR = 10^6 15.44$, $D = + 42^6 0'$)

Der 5 Aufnahmen des Spektrums geschahen zwischen dem 24. Februar 1887 und dem 4. Januar 1888. Das

⁷⁾ Astrophysical Journal 1906, April 1916, No. 3, p. 265.

⁷⁾ Pape-Zeitschrift 1906, S. 541.

Spektrum gehört zum Typus M und die Geschwindigkeitskomponenten liegen zwischen $+16$ und -374 km.

Die identischen Aufnahmen der verschiedenen drei Sterne geschahen mit dem Mittelspektrographen. Eine Ableitung der Umlaufzeiten dieser spektroskopischen Doppelsterne ist aus den bisherigen Messungen nicht möglich.

V. Optiadi

(AR = 17° 47' 30"; D = — 4° 11')

Der Charakter dieses veränderlichen Sterns als eines spektroskopischen Doppelsterns, wurde von S. Adamič (Lick-Sternw.) aus einer Reihe von Ausnahmen mit dem Ein-Prismen-Spektrographen in der zweiten Hälfte des Jahres 1905 erkannt. Die Umlaufperiode läßt zusammen mit der Periode des Lichtwechsels und beträgt 17 12 Tage.

Die folgenden vier Sterne wurden auf der Verleihenreise von Prof. E. von B. Frost als spektroskopische Doppelsterne nachgewiesen:)

BD = — 1° 1094 51 Größe.

(AR = 34° 30"; D = — 7° 13')

Das Spektrum ist dasjenige der Sterne des Orszulyns und die Linien sind breit. Die Helligkeits 2 4358, die der im besten äußeren Linsen in diesem Spektrum, ist eine von den Verschleppungen der äußeren Linien verschobene Grünschlebung von ihrer normalen Lage zu besitzen, was auf einen zweiten Begleiter zu deuten scheint. Das vier spektroskopischen Aufnahmen geschahen zwischen 1905 Februar 13 und 1906 Februar 16. Die Geschwindigkeiten variieren zwischen -34 und $+132$ km in der Sekunde. Es scheint, daß die Periode des Umlaufs kurz ist.

29 Größe entspricht 4.8 Größe.

(AR = 7° 14"; D = — 24° 23')

Von dem Spektrum dieses Sterns liegen vier photographische Aufnahmen vor, aus den Monaten Januar und Februar 1906. Sie zeigen Geschwindigkeiten, die zwischen -3 und $+243$ km in der Sekunde betragen. Die erste und dritte Platte, welche die sehr großen Geschwindigkeiten andeuten, sind überexponiert und daher die Resultate unsicher. Die Lichtverschlebung ist solche ist indessen sicher und die Periode anscheinend kurz.

α Orionis, 4.3 Größe.

(AR = 54° 57"; D = + 1° 39')

Von 1905 Nov. 34 bis zum 8 Febr. 1906 wurden 7 spektroskopische Aufnahmen dieses Sterns erhalten, welche mittlere Geschwindigkeiten von $+31$ bis $+715$ km erkennen lassen. Das Spektrum ist nicht sehr von demjenigen des Sterns α Cygni verschieden und zu Messungen der Lage der Linien sehr geeignet. Die Aufnahmen vom 5. und 6. Januar 1906 deuten an, daß die Periode nur kurz ist. Einige Platten geben schwache Andeutungen von Licht eines zweiten Begleiters, doch müssen hierfür weitere Aufnahmen entscheiden.

V. Minoretti

(AR = 5° 20"; D = + 7° 8')

Ein veränderlicher Stern, dessen Helligkeit zwischen 6. und 8 Größe schwankt. Sein Spektrum ist dem Sonnenspektrum ähnlich. Die Lichtschwäche machte lange Exposition der Platten erforderlich. Die Rotationsgeschwindigkeit verliert sich nicht sehr, aber es ist doch unvollständig. Die Periode des Lichtwechsels beträgt 37 Tage.

Die absolute Lichtstärke der Fixsterne.

Die Frage nach dem Verhältnisse, in welchem die wirklichen Lichtstärken der Fixsterne zu einander

und zur Lichtstärke unserer Sonne stehen, ist von großem astrophysikalischen und kosmologischen Interesse. In der Tat begreift man leicht, daß es wissenschaftlich bedauernd ist zu

wissen, ob diese unsere Sonne die Flammen von unbegrenztlich starker Lichtentwicklung ist, oder ob sie in dem schwachleuchtenden Sonnen im Weltall gehört oder endlich zur Mittelklasse derselben zu zählen sein möchte. Die Frage lautet aber bezüglich ihrer Beantwortung große Schwierigkeiten, denn es handelt sich dabei um die Kenntnis der wirklichen Entfernungen der Fixsterne und außerdem um photometrische Bestimmungen der scheinbaren Helligkeiten derselben gegenseitig und im Verhältnis zur Sonne. Eine von Astronomen wie Hül, Kapteyn und Newcomb unter verschiedenen Formen vorliegender Ansicht laßt darauf lauten, daß es wahrscheinlich Fixsterne gibt, welche unsere Sonne an absoluter Leuchtkraft um das Zehntausendfache übertrifft, und der Stern Canopus ist als Beispiel solcher ebenso leuchtenden Sterne aufgeführt worden. Georg C. Comstock hat nun kürzlich eine Untersuchung veröffentlicht¹⁾ in der er die Größe für diese Annahme kritisch beleuchtet.

Es bezug auf Canopus liegt die Sache im wesentlichen wie folgt. Die von Hül für diese Sterne gebundene Parallaxe ist 0.012", während die Parallaxe von α Centauri gleich 0.362" gemessen worden ist. Andererseits ergaben die photometrischen Bestimmungen, daß Canopus um 35 mal so viel Helligkeit zeigt als α Centauri. Bei gleicher Entfernungswerte, würde demnach Canopus den Stern α Centauri 3.5 mal an absoluter Leuchtkraft übertrifft. Da er aber weiter als dieser von uns entfernt steht und die Lichtstärke mit dem Quadrat der Entfernung vermindert, so ist die wirkliche Leuchtkraft des Canopus $3.5 \cdot \left(\frac{0.762^2}{0.002^2}\right)$ oder ungefähr 20000 mal größer als die Leuchtkraft von α im Centauren. Letzterer Stern hat eine nahezu gleich große Masse und den

gleichen Spektrum wie unsere Sonne und sendet daher wahrscheinlich die gleiche Menge Licht aus wie diese. Schachwürde sich ergeben, daß Canopus etwa 20000 mal unsere Sonne an absoluter Leuchtkraft übertrifft. Auf ähnliche Weise hat Comstock für eine Anzahl der hellsten Sterne deren absolute Leuchtkraft berechnet und gibt darüber eine Tabelle die ihrem hauptsächlichsten Inhalt nach in folgendem wiedergegeben ist:

Star	Parallaxe	Leuchtkraft im Verhältnis zur Sonne
α Centauri	0.362"	35
α Persei	0.005"	43
α Tauri	0.112"	34
Capella	0.058"	151
Rigel	0.005"	13000
β Bootis	0.007"	58
α Centauri	0.362"	498
Canopus	0.008"	20000
Sirius	0.205"	21
Castor	0.025"	285
Procyon	0.340"	8
Polaris	0.084"	47
Rigel	0.072"	267
α Ursa Majoris	0.405"	38
α Centauri	0.362"	173
β Centauri	0.384"	30
γ Ursa Majoris	0.285"	22000
β Centauri	0.354"	191
Antares	0.021"	990
α Centauri	0.362"	4.2
Antares	0.070"	525
Wega	0.050"	130
Altair	0.240"	1
α Centauri	0.362"	490
α Perseus	0.117"	21

Im Durchschnitt ergibt sich, daß diese Sterne erheblich stärker leuchtend als unsere Sonne bestehen, im Mittelwert sogar 3600 mal dem übertrifft. Aber ist dieses Ergebnis wirklich ein Ausdruck der Tatsache? Zwei Umstände, bemerkt Comstock, sind geeignet dieses Resultat mit Mißtrauen an sehen zu lassen.

Zunächst erschienen unter 25 Sternen nicht weniger als 22, deren berechnete Leuchtkraft unter dem Durchschnittswerte liegt. Eine solche Verteilung ist an und für sich nicht wahrscheinlich. Dann wird der Mittelwert viel zu groß

¹⁾ Astrophysical Journal, XII, 9 April 1900, S. 248.

infolge der drei abnormen Fälle (Rigel, Canopus und α Ursae majoris) und diese sind an und für sich wissenschaftlich. Die schwachen Helligkeiten dieser drei Sterne sind photometrisch mit genügender Genauigkeit festgestellt, das letzterste Resultat bezüglich der absoluten Leuchtkraft kann also hauptsächlich nur an der fehlerhaften Annahme für die Parallaxe dieser Sterne liegen. Coudélock untersucht vor großem Fehler in der Annahme für die Parallaxe anderer dieser Sterne sein Wissen, unter Voraussetzung, daß die absolute Leuchtkraft derselben 100mal größer als die der Sonne ist und findet für Rigel 0.007, für Canopus 0.003, für den Stern β Crabs 0.015. Die Annahme, sagt er weiter, daß Fehler von dieser Größe in den Angaben für die Parallaxe nicht möglich sind, führt zu dem Schlusse, daß im Wertem für Parallaxe enthalten, deren absolute Leuchtkraft demgegenüber der Sonne 1000mal übersteigt. Dies lautet aber Coudélock durchaus und wie es uns scheint mit Recht. Ebenso unglücklich scheint ihm die Schlussfolgerung, welche Fred-

Kaplan aus seiner Untersuchung über die Lichtstärke der Fixsterne gezogen hat, nämlich daß in dem Raume, welcher zwei millionen Sterne von der gleichen Lichtstärke wie unsere Sonne enthält, 1 Stern mit 100 000mal größerer, 1000 mit 1000 mal größerer und 12 Millionen Sterne mit geringerer Leuchtkraft als die Sonne enthalten sind. Er glaubt vielmehr, daß die Maximum der Leuchtkraft irgend eines Sterns im Vergleich zur Sonne als Einheit, keinesfalls aus Ziffer mit mehr als 3 Stellen erfordert.

Auch dann kann man ihm wohl nur bestimmen, ja vielleicht noch eine Stelle festsetzen. Es ergibt sich nämlich, daß bei den Sternen mit großen und daher ungenauem charakteristischen Parallaxen, die im obigen Verhältnisse vorkommen, (Sirius, Procyon, α Centauri, Aldeh, α Pictis Austrinae) die Leuchtkraft durchschnittlich nur 12- bis 13mal größer ist als bei der Sonne und diese Bestimmungen haben ungefähr mehr Gewicht als die Berechnungen, welche sich auf die angebliche Parallaxe von 0.0007 gründen.

Die Kometenerscheinungen des Jahres 1905.

Eine knappe Zusammenstellung der Kometenbeobachtungen während des vergangenen Jahres gibt Prof. H. Kreutz (Kitt¹). Wir entnehmen derselben unter Fortlassung der kürzeren Notizen die folgende:

Komet 1904 I (1904 a). Der Komet hat im Jahre 1905 bis langsame Lichtabnahme noch 3 Monate hindurch beobachtet werden können; die letzte Ordinationen: in 1905 Juni 3 von Howe in University Park (Calo.) angestellt worden, so daß die gesamte Sichtbarkeitsdauer 115 Tage betragen hat. Eingehende physikalische und photometrische Beobachtungen sind von Witt und von Heintschek veröffentlicht worden.

¹ Verhändlungsprotokoll der Astronomischen Gesellschaft 1906, 41. Jahrg., 1. Heft.

Komet 1904 II (1904 d). Die letzte Beobachtung ist 1905 Mai 2 auf der Sternwarte in Nizza angestellt worden. In der letzten Zeit der Sichtbarkeit betrug der Komet die Helligkeit eines Sterns 14 Größe.

Zweiter Trappistischer Komet 1904 III (1904 c). Der sehr schwache Komet hat auf der Sternwarte University Park (Calo.) bis 1905 Jan 2 verfolgt werden können.

Komet 1905 II (1904 c) (Kreutz). Der Komet war von Mitte März 1905 an außerordentlich hellsehend, konnte aber doch noch in Wien bis April 26, in Stralsburg bis Mai 9 und auf dem Naval Observatory in Washington bis Mai 24 verfolgt werden. Außer den Elementen von Papez liegen noch aus der gleichen Zwischenzeit Dez. 24 bis

von 27 abgeleitete Elementensysteme von Wodanayer und Arken war, zu weit gingen, zur Vergleichung die aus dem drei Systemen sich ergebenden Werte der Umlaufzeit hier anzuführen.

Perhel 7.04, Wodanayer 7.20, Arken 7.30 Jahre.

Eine vollständige Dehausee der Erscheinung 1904 bis 95 wird voraussichtlich die Umlaufzeit u noch bestmöglich engere Grenzen einschließen, so daß man auf eine gute Vorausschätzung der Erscheinung 1902 hoffen kann.

Komet 1905 III (1905 c), entdeckt

Durchgang durch den Perihel $T = 1905$ April 4 0519 in Z. Berlin

Argument des Perihels	$\omega = 368^\circ 12' 17.0''$	in Ära 1900 0
Lage des reht. Knotens	$\Omega = 151^\circ 27' 41.8''$	
Näigung der Bahn	$i = 40^\circ 11' 30.6''$	
Excentricität	$e = 0.697485$	
Perihelion	$q = 1.1115$	
Umlaufzeit	$U = 206.62$ Jahre.	

Auf der gleichen Zwischenzeit, wenn auch auf etwas weniger sicheren Grundlagen beruhen die Elemente von Wodanayer, welche $U = 239$ Jahre ergeben.

Komet 1905 IV (1905 b), entdeckt von Scharr in Gred am 17. Nov. in unmittelbarer Nähe des Pols, 5.54° A. R. und $+80^\circ$ Dekl., als ein heller Nebel 7 Grade mit einem sehr schwachen Kern 10 bis 11 Grade. Die ungewöhnlich große tägliche Bewegung von 6° in Dekl. deutete auf eine große Annäherung an die Erde hin, was auch später durch die Rechnung bestätigt wurde. Das Maximum der Entfernung von der Erde, 4.24 , hat einige Tage später, am 26. Nov., stattgefunden, die damit nach Süden gerichtete Bewegung stieg an diesem Tage auf 4.8° täglich. Der weitere Verlauf der Erscheinung hat gezeigt, daß die große Helligkeit des Kometen in den ersten Tagen der Sichtbarkeit — am 30. und 31. Nov. kamte er von Wall auf dem Königstuhl mit bloßem Auge erkannt werden — im wesentlichen von der großen Erleuchtung herrichte. Mit zunehmender Entfernung nahm sie sehr much ab,

von Glacchini in Neut 1905 März 26 in A. R. 98° , Dekl. $+11^\circ$, als ein Nebel 11. bis 12. Gr. von 1 Durchmesser mit einer $5'$ bis $6'$ großen Verdichtung. Der ruhe am Perihel, im Maximum der Helligkeit entdeckte Komet nahm nach an Lichtstärke ab, konnte aber trotzdem, in gleichger Stellung am Abendhimmel, verhältnismäßig lange, bis zum 22. (Nov.), verfolgt werden.

Die Bahn des Kometen ist elliptisch; die Elemente, welche Beneschewski aus drei Normalorten März 21, April 7 und 23 abgeleitet hat lauten:

Ende November war der Komet von der 9. Mitte Dezember nur noch von der 12. Größe. Wie weit die Beobachtungen haben fortgesetzt wurden können, steht noch nicht fest; nach den bisher publizierten Orbitschneidungen zu urteilen, scheint es, als ob es noch vor Jahresanfang mit Nordfeld Des. 26, die Erde gefanden hätte. Jedenfalls ist am 14. Januar der Komet im großen Refraktor der Straßburger Sternwarte ausichtlich gewesen.

Dem Auge erschien der Komet noch zur Zeit der größten Helligkeit schwach; dagegen war auf einer Königsstuhlplatte vom 21. Nov. ein langes, dünnes, schwach gebogener Schwanz zu erkennen.

Aus drei Beobachtungen, Nov. 18, Des. 1 und 13 hat Wodanayer die folgende Perihel abgeleitet:

$T = 1905$ Okt. 25 32124 in Z. Berlin	$\omega = 130^\circ 42' 46.0''$
$\Omega = 222^\circ 56' 3.1''$ in Ära 1900 0	$i = 140^\circ 34' 51.6''$
$e = 1.0522$	

Komet 1905 11905 c), entdeckt 1905 Dez. 6 von Glacchini in

Nizza am Morgenhimmel in 145, +215.
Der Komet war erst rund, korniges
Nebellum 10 GröÙe von 1° bis 2°
Durchmesser. Da er in der nächsten
Zeit sich der Sonne und der Erde
näher, nahm er nach an Helligkeit zu.
Ende Dez. war er schon 4 bis 5 GröÙe
mit einem scharf definierten Kern und
einem Schweif von 1° Länge. Leider
aber allierte der Komet bei zunehmender
Helligkeit sich immer mehr dem Tages-
lichte, so daß er gegen Mitte Januar
nur noch in der Morgenröte nur noch
eindeutige am Horizont gesehen werden
konnte. Soweit die Beobachtungen
publiziert sind, hat Hultsen in Bamberg
die letzte Ortsbestimmung am 14. Jan.
1906 in 2^h 11^m Höhe angestellt.

Über die Schöbcherst in unseren
Breiten nach dem Perifel wird erst der
nächste Jahresbericht Aufschluß geben
können.

Die folgenden Elemente sind von
Wachsmuth aus an drei Normalorten
unabhängig voneinander beobachtet worden
Dez. 6 bis Jan. 1 abgeleitet worden

$T = 1905 \text{ Jan. } 22.42319 \text{ in } 2 \text{ Berlin}$
 $\omega = 190^\circ 18' 27.7''$
 $\Omega = 92^\circ 4' 38.3'' \text{ in } \text{Äq. } 1905.0$
 $i = 43^\circ 39' 15.7''$
 $q = 0.21545$

Auf einer photographischen Auf-
nahme vom 29. Nov. 1905 auf dem
Lowell Observatory, Flagstaff, und nach-

träglich am 14 resp. 23. Dez. von
Saghar resp. Lowell zwei Kometen-
spuren aufgefunden worden, die die
Berechnung Komet 1905-1 resp. 1905-2
erhalten haben. Alle Nachforschungen
nach diesen Kometen sind vergeblich
geblieben, so daß es zweifelhaft bleiben
muß, ob es sich bei dieser Spuren han-
delt um rechte Kometenobjekte ge-
handelt hat.

Der erste Tempelische Komet, der
nach der Voransberechnung von R.
Carrster am 20. April 1905 aus Perifel
passieren sollte, ist diesmal eben-
falls wie 1885, 1902 und 1896 auf-
gefunden worden. Seit der großen
japaneisichen zwischen 1879 und 1885
sind die Sichtbarkeitsberechnungen so un-
günstige geworden, daß sich die Mitte
williger Voransberechnung wohl kaum
mehr treffen wird.

Auch nach dem Welches Kometen
ist in der sehr ungünstigen Erscheinung
1905 gegeben gemacht worden.

Der war in einer Erscheinung be-
obachtete periodische Komet 1902-V
(Barnard) sollte am Schluss des Jahres
1905 in eine glänzende Opposition
kommen. Leider haben die von Carrster
berechneten Erscheinungen nicht zur Auf-
klärung geführt, die durch mehrere
Stärker gebrachte Note, daß der Komet
in La Plata gesehen worden sei, beruht
auf einem Irrtum.

Die Sonnen- und die Mondfinsternis im Monat August.¹⁾

1. Totale Mondfinsternis 1906
August 4, unsichtbar in Berlin.

nach Berl. Z.

Anfang des Finsternis über-	h	m
haupt- Aug. 4	0	4.1
Anfang der totalen Ver-		
finsternis	1	2.8
Mitte der Finsternis	1	53.5
Ende der totalen Verfinsternis		
.	2	44.3
Ende des Finsternis über-		
haupt	3	43.5

Der Mond steht um diese Zeiten
im Zenit der Orte, deren geographische
Lage bezüglich ist:

	alt. Br.
152° 50' östl. Länge v. Greenwich	17° 41'
178 41	17 35
166 36	17 29
154 11	17 23
148 3	17 17

Polhöhenwinkel des Eintritts vom
Nordpunkt gezählt = 82°.

Polhöhenwinkel des Austritts vom
Nordpunkt gezählt = 237°.

¹⁾ Nach dem Berliner Jahrbuch
des 1906. Band V.

Größe der Verfinsterung in Teilen
des Monddurchmessers = 1765.

Die Finsternis wird demnach in der
westlichen Hälfte Nordamerikas, im
Großen Ozean, in Australien, in der
nördlichen Hälfte Asiens, im Indischen
Ozean und auf Madagaskar zu sehen sein.
2. Partielle Sonnenfinsternis 1908.

August 19, umschärft in Berlin
Mitt. Zeit. O.L.G. Seite
Beginn der Finsternis 12-43,3m 47° 3' + 71° 17'

Mitt. Zeit. O.L.G. Seite
Berlin.

Ende der
Finsternis 12-46,3m 267° 31' + 46° 24'

Größe der Verfinsterung in Teilen
des Sonnendurchmessers = 0,320

Die Finsternis wird in dem west-
lichen Teil der Nordküste Asiens, im
nordwestlichen Teile Nordamerikas und
in den nördlichen Polarregionen zu
sehen sein.

Vermischte Nachrichten.

Untersuchungen über die Ge-
stalt der Sonne hat Hr. Charles Lase-
Pier angestellt und ist darüber auch
im „Séance“ berichtet worden. Dabei
hat Jacobie nach auf der Heliofoto-
messungen von Prof. Scher und Prof.
Andreas auf der Göttinger Sternwarte
zurückgegriffen und lautet diese be-
sonnend für seine Behauptung einer
periodischen Änderung der Gestalt der
Sonne. Prof. Andreas ist nämlich
dieser Schlussfolgerung bezüglich der
Göttinger Messungen entgegengetreten.¹⁾
Er weist nach, daß diese letzten uns
etwaige Periodizität nicht ausweisen und
bemerkte, daß alle diese Fragen über
etwaige Periodizität in den Worten des
Sonnendurchmessers und die Randern
darauf mit andere ähnlichen Er-
scheinungen von ihm jähling erweisen
und durch sehr zahlreiche Zusammen-
stellungen geprüft worden seien, also
daß er in den Göttinger Messungen
dafür eine sichere Bestätigung gefunden
habe.

Die Sichtbarkeit des Erdschattens
während der Mondschattenverfinsterung
der Mondfinsternis des 14. August
1908 ist von Dr. C. W. Wirtz auf der
Sternwarte zu Stralburg beobachtet
worden.²⁾ Die Beobachtungen, sagt
Dr. Wirtz, erstrecken sich über Schatten-

gestalt und Größe und über das Ver-
halten des Kernes Lina. Das Wetter
war sehr gerade günstig; häufig blieb
kleines Gewölke vor dem Mond vor-
über und ein feiner Cirrusdunst wich
fast nie während der ganzen Erscheinung.

Der Erdschatten bot eine zur Messung
höchstlich scharfe Begrenzung und die
verfinsterte Mondschale blieb bis Tages-
anbruch sehr sichtbar, dinst, daß die
Grenze des verfinsterten Teiles sich
nicht einstellen ließen. Der Halbschatten
schien sehr dunkel, denn während der
Kernschatten um 11-41^m Sternzeit die
Schale erreichte, sah man schon 11-24^m
an der Eintrittsstelle einen dunklen
schleierigen Ton. Um 11-50m Sternzeit
zeigt sich in der Mitte des verfinsterten
Segmentes das erste Rötung und um
11-12^m liegt die stärkste Rötung, der
Brennst, am stärksten Ende der
Schale, um 11-30m nimmt der ganz
verfinsterte Teil eine gleichförmige rot-
braune Färbung an. Kurz darauf
(11-40^m) tritt ein von selbst der Sicht-
barkeit des Erdschattens außer-
halb des Mondes auf, und zwar sieht
ich der Schattenbrennst noch auf etwa 1'
bis 2' über die Mondschale hinaus in
einem leicht rot gefärbten hellen Schatten-
grün. Dieses Phänomen tritt indes nur
wenige Minuten an, auch dann nur
abnehmend, während immerzu kleine
Wolkenströme vorbeiziehen. Später

¹⁾ Ann. Nachr. N. 4099.

²⁾ Ann. Nachr. Nr. 4202.

und vorher oftmals ich nicht von der solken Erscheinung, trotzdem ich häufig danach Ausschaue.

Messungen des hellen Fleckes am Linné während der totalen Mondfinsternis am 1. Februar 1896 sind von H. R. Frost auf der Arequipa-Station mit dem Königlich-Boydellienkopf ausgeführt worden.¹⁾ Der Rechnung nach tritt der Mond in den Halbschatten um 16^h 54.1m, in den Kernschatten um 17^h 57.0m, die totale Finsternis beginnt 18^h 57.3m und endet 20^h 56.2m, der Mond tritt aus dem Kernschatten um 21^h 57.0m und aus dem Halbschatten um 22^h 56.0m. Die Luft war, nicht glühend, sondern hundert Wollen die Beobachtungen. Die Messungen ergaben, daß der Durchmesser des weißen Fleckes sich vergrößerte, nachdem er in den Schatten eingetraten war sich aber mit zunehmendem Sonnenschein wieder verminderte. Die Messungen von 18^h 45m bis 18^h 50m ergaben dafür im Durchmesser 1.67, diejenigen von 17^h 0m bis 17^h 5m im Mittel 1.22, diejenigen 18^h 5m bis 18^h 24m ergaben 3.77, nach der Totbreite zwischen 21^h 18m und 21^h 30m fand sich 4.05²⁾ und von da bis 21^h 45m im Durchschnitt 3.07. Dies, sagt Prof. Edward C. Pickering, nicht in Übereinstimmung mit der von W. H. Pickering aufgestellten Hypothese, daß die Erscheinung durch die Bildung und Schmelzung von Reif in der Umgebung des Linné zu erklären ist.

Die radiale Geschwindigkeit des Sirius. Prof. Campbell, Direktor der Licksternwarte, gibt eine Zusammenstellung der spektroskopischen Beobachtungen der Bewegung des Sirius in der Richtung der Geschwindigkeit zur Erde. Als Basis des Doppelsystems, welches Sirius und sein Begleiter bildet, nimmt er folgende an die De Zeeuw berechnet hat. Umrechnung 48.6431 Jahre, hatte große Arbeit 3.994, Everettstärke

2.5875, Durchgang durch den Periastron 1884.06. Nach Dr. G. B. beträgt die Parallelung des Sirius 0.37', die Masse der beiden Sterne 2.20 und 1.04, wenn die Sonnenmasse = 1 angenommen wird. Wenn man beachtet, daß die beiden Körper, welche das Siriusystem bilden um ihren gemeinsamen Schwerpunkt kreisen, so ist bemerkend, daß ihre radiale Geschwindigkeit mit Bezug auf uns ihren größten Wert erreicht, wenn sie in dem gleichen Abstand vom Beobachter sich befinden, also in dem Moment ihrer Bahn. Auf der Licksternwarte sind seit 1884 zahlreiche Spektrogramme des Sirius aufgenommen worden in dem Zwecke aus der Verschiebung der Linien im Spektrum die Größe der Eigenbewegung in der Geschwindigkeit zur Erde festzustellen. Nachstehend folgt eine Zusammenstellung dieser Beobachtungsergebnisse, wenn der früher in Potsdam und Paris erhaltenen. Das Vorzeichen — bedeutet Annäherung an die Erde.

Beobachtungsort	Jahr	Werk.	Geschwindigkeit
Potsdam	1886.99	—	13.9 km
„	1888.06	—	17.6 „
Paris	1886.17	—	1.2 „
Potsdam	1886.20	—	14.9 „
„	1886.21	—	4.1 „
Lick	1886.97	—	3.2 „
„	1886.74	—	3.6 „
„	1889.92	—	4.6 „
„	1891.93	—	4.8 „
Verbes	1902.06	—	6.9 „
Lick	1903.07	—	6.9 „
„	1904.05	—	5.1 „
„	1905.12	—	7.4 „

Als diese Beobachtungen ergibt sich, daß der Schwerpunkt des Siriusystems in der Geschwindigkeit zur Erde, sich um pro Sekunde um 7.4 km nähert, also täglich um 639380 km oder das 17fache der Entfernung des Mondes von der Erde. Die beobachtete Geschwindigkeit ändert sich, weil die beiden Hauptkörper des Siriusystems in 48.6 Jahren um ihren Schwerpunkt kreisen, in einer 48^{ten} geringeren Ebene. Der Hauptkörper des kleineren Sirius

¹⁾ Harv. Coll. Obs. Circulars, No. 113

selbst erstens sich seit 1891 von der Erde, aber mit abnehmender Geschwindigkeit infolge seiner Bewegung um den Schwerpunkt des Systems.

Das Spektrum des Sterns Pleione. Dieser Stern, einer der hellen Sterne der Pleiaden-Gruppe, ist seit 1888 auf dem Astrophysikalischen Observatorium zu Potsdam und ebenso auf der Harvard'stenschen Cambridge spektroskopisch aufgenommen worden. Derselbe zeigte die hellen Wasserstofflinien sehr deutlich, wesshalb auch Prof. Edwin E. Frost die Meinung, daß auf einem jüngst gemachten Aufnahmen mit dem vorerwähnten Brennpunktograph der Yerkesobservator, diese hellen Linien verschwinden und¹⁾ Diese Sätzeber-richt war zuerst 1898 von Prof. E. C. Pickering als Ergebnis einer Untersuchung der Harvardplatten durch Miss Maury veröffentlicht worden.²⁾ Platten, welche auf dem Potsdamer Observatorium 1888 und 1892 exponiert wurden, zeigen die hellen Linien ebenfalls sehr klar. Die Aufnahmen am Yerkes-observatorium fanden statt 1903 Nov. 16, Debr. 4, Debr. 25, 1906 Januar 28, Januar 26, Febr. 19. Prof. Frost teilt ferner mit, daß nach Mitteilung von Prof. Pickering die Linie $H\beta$ im Spektrum des Sterns 1888 Debr. und 1896 Debr. 11 hell erschien und daß die Untersuchung von 22 Platten, die in 13 Nächten während des Herbstes 1896 aufgenommen waren durch Miss Cannon bemerkte Variation in der Intensität der hellen $H\beta$ -Linien auf diesen Platten an-nehmen ließ. Dagegen schreibt Prof. Pickering unter dem 20. Februar 1900: „Die Linie $H\beta$ erscheint nicht mehr hell auf unseren Photographien von Pleione.“ Sie ist nicht zu sehen auf dem Abdruck eines Negatives, welches 1906 Januar 30 mit dem ähnlichen Apparat wie die früheren, erhalten wurde. So ist also die Tatsache, daß die hellen

Wasserstofflinien im Spektrum der Pleione verschwunden sind und nur die dunklen Absorptionallien allen sichtbar bleiben, nicht zu bezweifeln. Weitere Aufnahmen des Spektrums dieses Sterns müssen zeigen ob und welche Periodizität in diesem Vorgange sich andeutet. Jedenfalls ist dieser Stern den veränderlichen Sternen anzuzählen, auch wenn eine Heliumbe-schwingung desselben nicht nachweis-bar ist.

Neben der Hamburger Stern-warte. In ihrem heutigen Zustande entspricht die Hamburger Sternwarte nicht mehr den Anforderungen der modernen Wissenschaft, auch ihre Lage ist nicht der Art, daß größtes Instrumente dorthin mit Erfolg in Benutzung genommen werden könnten. Schon längst war es daher das Be-streben des gegenwärtigen Direktors Prof. Dr. Schum, den Bau und die Ausrüstung eines neuen, mit großen, besonders auch astrophysikalischen In-strumenten versehenen Observatoriums durchzuführen. Neben in diesem ge-lungen und nachdem schon die sehr gezeigte große Grundstücke auf dem Götzenberge südlich von Hamburg an-gekauft worden, hat jetzt der Senat auch die Mittel zum Bau und zur instrumen-tellen Ausrüstung des Observatoriums im Betrage von 1 Million Mark be-willigt. Das neue Werk wird als Haupt-instrument eines Refraktor von 50 cm Öffnung für visuelle Beobachtungen, einen photographischen Doppelrefraktor und ein Spiegelteleskop von 1 m Durch-messer erhalten. Besonders dieses letztere Instrument dürfte für die photographische Aufnahme von Nebelflocken, Fixsternen und Planeten sehr nützlich sein, denn es wird aus der größten und kräf-tigsten sein, die zurzeit überhaupt existieren. Für den Aufbau des neuen Observatoriums und dessen Instrumen-tierung, bei zur Beendigung ist ein Zeitraum von 4 Jahren vorgesehen.

¹⁾ Astrophys. Journal 1906, p. 266.

²⁾ Astr. Nachr. 86, 171, p. 25 (1899).

Planeten-Ephemeriden.

Wetterer Berliner Mittag					Müllerer Berliner Mittag						
Jahr M.	Rechnungen			Obe- rer Meridian- distanz	Jahr M.	Rechnungen			Obe- rer Meridian- distanz		
	h	m	s			h	m	s			
Mars.					Saturn.						
1688					1688						
Sept. 1	9	24	4 38	+14 20 31 9	10 37	50	54	38 40	— 5 34 4 4		
7	10	20	7 08	10 20 33 0	13 11	50	52	43 44	5 50 38 9		
14	10	18	17 50	9 50 33 0	20 38	50	48	5 46	— 5 47 5 1		
21	11	10	8 40	9 9 5 0	27 49						
28	12	8	56 44	8 38 5 0	34 46						
30	12	18	17 11	+ 9 48 31 9	0 7						
Venus.					Uranus.						
Sept. 1	18	28	38 74	+11 33 33 7	9 48	18	13	47 39	— 13 43 33 1		
7	19	30	46 44	11 9 11 9	16 34	18	17	43 37	10 40 38 9		
14	19	19	9 40	10 57 47 4	23 48	18	10	9 19	— 10 48 4 1		
21	18	34	39 44	10 38 30 1	30 45						
28	18	38	54 50	10 23 33 1	37 44						
30	18	10	47 54	+10 38 31 0	9 48						
Mars.					Neptun.						
Sept. 1	9	30	10 41	+14 20 31 9	10 37	9	47	38 40	— 5 34 4 4		
7	10	20	7 08	10 20 33 0	13 11	9	47	38 40	5 50 38 9		
14	10	18	17 50	9 50 33 0	20 38	9	47	38 40	— 5 47 5 1		
21	11	10	8 40	9 9 5 0	27 49						
28	12	8	56 44	8 38 5 0	34 46						
30	12	18	17 11	+ 9 48 31 9	0 7						
Jupiter.					Mondphasen 1688						
Sept. 1	9	30	10 41	+14 20 31 9	10 37	9	47	38 40	— 5 34 4 4		
7	10	20	7 08	10 20 33 0	13 11	9	47	38 40	5 50 38 9		
14	10	18	17 50	9 50 33 0	20 38	9	47	38 40	— 5 47 5 1		
21	11	10	8 40	9 9 5 0	27 49						
28	12	8	56 44	8 38 5 0	34 46						
30	12	18	17 11	+ 9 48 31 9	0 7						

Stellungen der Jupitermonde im September 1903.



Stellungen von 14^h für den Abdruck im astronomischen Almanach.

Tag	West.	Ost.
1	10° 12' 12" O	4°
2	10° 12' 12" O	4°
3	10° 12' 12" O	4°
4	10° 12' 12" O	4°
5	10° 12' 12" O	4°
6	10° 12' 12" O	4°
7	10° 12' 12" O	4°
8	10° 12' 12" O	4°
9	10° 12' 12" O	4°
10	10° 12' 12" O	4°
11	10° 12' 12" O	4°
12	10° 12' 12" O	4°
13	10° 12' 12" O	4°
14	10° 12' 12" O	4°
15	10° 12' 12" O	4°
16	10° 12' 12" O	4°
17	10° 12' 12" O	4°
18	10° 12' 12" O	4°
19	10° 12' 12" O	4°
20	10° 12' 12" O	4°
21	10° 12' 12" O	4°
22	10° 12' 12" O	4°
23	10° 12' 12" O	4°
24	10° 12' 12" O	4°
25	10° 12' 12" O	4°
26	10° 12' 12" O	4°
27	10° 12' 12" O	4°
28	10° 12' 12" O	4°
29	10° 12' 12" O	4°
30	10° 12' 12" O	4°



80a



80b

Table VIII

SIRIUS.

Zeitschrift für populäre Astronomie.

Centralorgan für alle Freunde und Förderer der Himmelskunde.

Herausgegeben

unter Mitwirkung hervorragender Fachmänner und astronomischer Schriftsteller
von Prof. Dr. Hermann J. Klein in Köln.

August 1906.

„Wissen und Erheben sind die Frucht und der
Erntedank der Menschheit.“ — Schopenhauer

Jeden Monat 1 Heft. — Jährlich 12 Hft.

Verlag von EDUARD HEINRICH MAYER in Leipzig.

INHALT: G. H. Darwin über die Entwicklungsgeschichte des Sonnensystems. S. 175. — Ein neue Methode der photographischen Auszeichnung von Himmelsbildern. S. 175. — Beobachtungen auf dem Merkur. Von Dr. Klein (Mit 4 Figuren.) S. 179. — Verschiedene Meteoriten. S. 184. — Astronomischer Kalender. S. 188. — Beiträge der Japaner. S. 191. — Beobachtungen der Jupitermonde. S. 192. — Beiträge der Saturnmonde. S. 193.

G. H. Darwin über die Entwicklungsgeschichte des Sonnensystems.

Kosmologische Studien erfreuen sich in unserer Zeit des besonders lebhaften Interesses, sowohl auf mathematisch-physikalischem Gebiete hervorragender Fachmänner und dank diesem Umstände sowie der fortgeschrittenen Kenntnis der Tatsachen, welche wir besonders der Himmelsphotographie verdanken, können wir gegenwärtig mit unvergleichlich größerer Bestimmtheit über die Vorgeschichte des Sonnensystems urteilen, als zur Zeit da Laplace sein berühmtes System der Planetenbildung aufstellte. Im Gegensatz sind die bezüglich neueren und neuesten Forschungen wiederholt dargelegt worden. Als Ergänzung desselben mögen nun die Anschauungen über die Entwicklung der Welt hier

wiedergegeben werden, welche Prof. G. H. Darwin im vergangenen Jahre auf der Versammlung der British Association in Johannesburg vorgelegt hat.

Er wies zunächst auf die alte von Bode angenommene Regel über die Abstände der Planeten hin und bemerkte, daß diese der Wirklichkeit so weit entspricht, daß man annehmen dürfte es entspräche in irgend einer Weise dem ursprünglichen Zustande des Planetensystems. Die Erklärung der Ursachen dieses einfachen Gesetzes der Abstände der Planeten, sagt Prof. Darwin, bildet ein interessantes Problem, und obwohl es noch ungeklärt ist, können wir einige Einsicht darüber erhalten durch ein Modell von starker Einwirkung

Stellen wir uns nämlich eine Sonne vor, um welche sich ein einiger großer Planet in einer Kreise bewegt. Dessen Planeten wollen wir Jupiter nennen, und er als Repräsentant unserer größten Planeten (Jupiter) dargestellt werden kann. Wir setzen ferner voraus, daß ein Meteoriten oder ein kleiner Planet in vollkommen willkürlicher Art in dieselbe Ebene geschicket ist, in der Jupiter sich bewegt. Wie wird dieser kleine Körper sich bewegen? Unter der kombinirten Anziehung der Sonne und des Jupiter muß derselbe im allgemeinen eine Bahn von außerordentlich komplizirtem beschreibbar Bild wird er sich langsam bewegen in großen Abständen von Sonne und Jupiter, zu anderen Zeiten dagegen sehr rasch. Nahe am Jupiter oder der Sonne wird er oft einer Katastrophe entgegen, aber schließlich muß eine Zeit kommen, wo eine Kollision unvermeidlich ist. Der Laufbahn des Meteoriten wird dann durch Absorption beendet und zwar wahrscheinlich in der Sonne.

Nehmen wir jetzt an, daß sich ein Meteoritoid oder kleiner Planet, beseitigt derselben sich anfangs in allen Richtungen bewegt. Da die der Annäherung ganz sehr klein wird, wird ihre gegenseitige Anziehung unbedeutend sein, und jeder wird sich fast so bewegen, als wäre er nur von der Sonne und von Jupiter beeinflusst. Die meisten von diesen Körpern werden von der Sonne absorbiert, während die Minderzahl mit Jupiter in Kollision gerathen wird.

Unternehmen wir, was lang die selbstständige Bahn eines solchen Meteoritoiden dauern mag, so finden wir, daß dies abhängt von der Richtung und der Geschwindigkeit seines Laufs. Durch geeignete Disposition kann die schlimmste Katastrophe so lang verschoben werden, als wir wollen. Wenn wir sie unendlich lange aufschoben, so können wir eine Vorstellung eines Meteorites, der sich so bewegt, daß er niemals mit einem der beiden Planetenkörper in Kollision kommt.

Es gibt also gewisse beständige Bahnen, in denen ein Meteoritoid oder ein kleiner Planet sich ewig ohne Zusammenstoß bewegen kann. Wenn aber ein solche Laufbahn für unseren kleinen Planeten gefunden ist, bleibt noch zu untersuchen, ob diese kleine Abweichung von derselben größer und größer werden kann und schließlich zu einer Kollision mit der Sonne oder Jupiter führt, oder ob der Körper in der beständigen Bahn nur hin und her schaukeln wird. Wenn die geringste Abweichung mit der Zeit zunimmt, ist die Bahn labil, wenn sie aber nur zu einem geringeren Schwanken in der beschriebenen Bahn führt, ist sie stabil.

Wir können also zu einer ersten Unterscheidung: es gibt beständige Bahnen, aber diese sind wirklich die meisten, und instabil und besten kann einige Laufbahn für einen Meteoriten, es gibt andere dauernde, welche beständig sind. Wenn also ein System, bestehend aus einer Sonne und einem großen Planeten, gegeben ist, sowie ein Schwarm kleiner Körper, die sich in allen Richtungen bewegen, werden die Sonne und der Planet durch Anlagerung wachsen, indem sie allmählich den Staub und die Trümmer des Systems absorbieren, und bleiben wird eine Anzahl kleiner Planeten und Satelliten, die sich in bestimmten Bahnen bewegen. Das schließliche Ergebnis wird ein Planetensystem sein, in dem die verschiedenen Bahnen nach einem bestimmten Gesetz angeordnet sind.

Es ist hier gesagt, daß, wenn wir unsere Untersuchung bis zum Ende führen können, wir finden würden, daß die Bahnen der Planeten und Satelliten des Sonnensystems stabilen Bahnen sind, und daß wir eine streng mechanische Erklärung von Beides Gesetz der Planetenstabilität erhalten würden.

Die Theorie, die ich auseinander gesetzt, nennt als Ursprung der Sonne und Planeten die allmähliche Ansammlung von Meteoriten zu und nach

keinen Anspruch darauf, hinter die Zeit zurückzuführen, wo bereits eine zentrale Verdichtung oder Sonne existierte, um welche sich andere Verdichtungen oder die Planet bildeten. Aber schon vor mehr als einem Jahrhundert ist der Versuch gemacht worden, die Geschichte einer noch zuffigeneren Vergangenheit zu erschließen, und wie wir wissen werden, ging dieser Versuch von einer ganz andern Voraussetzung über die Konstitution des primitiven Sonnensystems aus. Ich glaube, daß die Theorie, die ich eben skizziert habe, ebenso wie die zu der ich nun komme, beide wichtige Elemente der Wahrheit enthalten und daß die schließlichen Widersprüche auszugleichen werden. Die Theorie, von der ich spreche, ist die berühmte Nebelstarhypothese, zuerst ausgesprochen von dem deutschen Philosophen Kant, später aber, unabhängig und in besserer Gestalt von dem französischen Mathematiker Laplace wieder aufgestellt.

Laplace führte den Ursprung des Sonnensystems auf einen Nebel oder eine Wolke aus verdichtetem Gas zurück, das um eine zentrale Verdichtung angewachsen war, die zuletzt die Sonne bildete. Das Gas kolibriert langsam um eine durch sein Zentrum gehende Achse. Unter dem kontinuierlichen Einfluß der Rotation und der gegenwärtigen Anziehung der Teilchen des Gases, nahm es eine kugelförmige, an den Polen leicht abgeplattete Gestalt an. Der kugelförmige Urnebel war zerstückelt und so entspricht Laplaces Hypothese dem allgemeinen Gesez, die ich zu entwickeln versuchte.

Der Nebel muß sich allmählich durch Strahlung in den Raum abkühlen haben, und daher muß das Gas etwas von seiner Elastizität eingebüßt haben und so trat so ein größerer Grad von Verdichtung des Gases ein. Diese Verdichtung führte unweifelhaft zu zwei Ergebnissen: erstens wurde die zentrale Verdichtung wärmer, und

zweitens wurde die Geschwindigkeit der Rotation schneller. Letzteres führte zu einer Zunahme der polaren Abplattung, und der Nebel nahm im Lauf der Zeit die Gestalt einer Linse an, oder einer Scheibe, die in der Mitte dicker ist als am Rande. Gebt man die Existenz des Urnebels zu, so kann die Hypothese bei weitem als sehr angenommen werden.

Jetzt treten jedoch Schwierigkeiten auf. Es wird angenommen, daß der Nebel so stark abgeplattet wurde, daß er nicht mehr als eine zusammenhängende Masse bestehen konnte, und ein Ring von Materie sich von dem Äquatorgebirge abhob. Die Zentrifuge des Nebels, befreit von dem Anstriche, nahm nun fortwährend eine röhrenförmige Gestalt an die das Ganze vorher gebildet. Während der Abkühlung aber fortwährend, wurde der zentrale Teil durch die Wirkung seiner verstärkten Rotation wirbelnd umgedreht, um seiner Äquatorring Weise sich ab, und der ganze Vorgang wiederholte sich als kräftig. Auf solche Weise wurde der ganze Nebel noch und noch in eine Anzahl von Ringen zerlegt, welche die zentrale Verdichtung umgaben, deren Temperatur aus der Weichheit erreicht haben mußte. Jeder Ring knickte sich um einen Kern, der zufällig irgendwo in einem Umkreise vorhanden war, und bildete nunmehr einen Urnebel. Jedes er war ein Vorläufer einer Reihe von Umwandlungen, durch die, wurde er schließlich in einen Gasen Planeten mit begrenzten Trübsen. Die ganze Vorstellung beruht auf unglücklichen Gemüths der Geschichte unseres Sonnensystems. Aber die geschichtlichen Verhältnisse eines rotierenden Nebels sind so kompliziert, um vorläufig eine vollständige mathematische Behandlung einzuweisen.

Obwohl die Fortschritt der allgemeinen Richtigkeit der Laplaceschen Hypothese zu bestreiten scheint, ist es kaum zu viel, wenn man sagt, daß jedes Stadium in dem angenommenen

Vorgangs liegt die Unmöglichkeit liegt. Der Ring der Sonne scheint die Auslegung zu der Theorie von Laplace gestützt zu haben; aber die als Modell zu nehmen, führt uns direkt zu einer furchtbaren Schwärzung. Wenn ein Ring von Materie sich unter dem Einflusse gegenseitiger Anziehung konzentriert, so kann er das nur an die Gleichförmigkeit des ganzen Ringes. Das einen unendlich gleichförmigen Ring bildende Materie kann daher, wenn sie sich überhaupt konzentriert, nur auf den Mutterplaneten laßen und muß von diesem weiter absondelt werden. Diese Schwierigkeit kann nur durch die Annahme beseitigt werden, daß der Ring schlecht beleuchtet oder überlagert war. In diesem Falle wird, vorausgesetzt daß der Ring das Gleichgewicht erhaltend genug ist, Konzentration um einen Punkt innerhalb des Ringes oder außerhalb des Planeten stattfinden.

Diese Betrachtungen können hier nicht weiter verfolgt werden, das genügt aber genügt, um zu zeigen, daß die Nebelhypothese nicht als die zusammenhängendes vollständiges Ganzes betrachtet werden kann, soviel Wahres sie auch enthalten möge.

In der ersten Theorie über den Ursprung der Sonne und der Planeten, die wir hier geschildert habe, nehmen wir an, daß diese groß werden durch Zuwachs von meteorischen Wanderern aus dem Raume. Diese Hypothese steht offenbar in völligen Widerspruch mit den Vorstellungen von Laplace, der die Umwandlungen eines kontinuierlichen Gases verfolgt. Ich darf nicht dabei verweilen, zu entwickeln, wie diese schwache unrichtigen Anschauungen ausgebelehrenden, ich will nur so viel sagen, daß ich meine, beide Theorien enthalten wichtige Elemente der Wahrheit.

Wir haben gehört, daß, um die Entstehung der Planeten nach der Laplace'schen Theorie zu erklären, die Ringe nicht im Gleichgewicht oder selbst

durchbrechen sein müssen. Wegen der Ring nur einen kleinen Bruchteil des ganzen Unfalles annehmen würde, dass würde der wahre Charakter der Vorgangs bei der Entstehung der Planeten und Trabanten besser repräsentiert sein durch die Vorstellung, daß die kugelförmige Trübe von Materie von Anfang an mehr oder weniger kugelförmig waren, als daß sie ringförmig gewesen. Diese Vorstellung führt uns zu einer anderen Gruppe von Untersuchungen, durch welche die Mathematiker gesucht haben, die Entstehung der Planeten und Trabanten zu erklären.

Untersuchungen dieser Art gehen bis zu Newtons Zeit zurück, der zuerst die Gestalten der Planeten erklärt hat. Die meisten künftigen Planeten, mit denen wir uns beschäftigen wollen, müssen als Arbeitsstoffe aufgestellt werden, und da die Präzision als zusammenfassend vorausgesetzt wird, weichen die Bedingungen merklich von der Wirklichkeit ab. Wenn daher das Problem gelöst ist, bleibt in der Anwendbarkeit unserer Schlüsse auf die wirklichen Himmelskörper noch ein beträchtliche Unsicherheit.

Nehmen wir zwei Planeten, röhrenförmigen Planeten wie die Erde, der die zwei nahe Sprachen unserer Familie ist. Nehmen wir diesem Planeten eine zirkuläre Kette, so liegt sich durch Rechnung, daß seine Widerstandskraft gegen jede Art Störung geringer wird als wir vorher war, mit anderen Worten seine Stabilität nimmt ab umgekehrt wie die Rotation zunimmt. Schließlich erreichen wir ein Stadium, bei dem die Stabilität verschwindet, in diesem Punkte verläßt sich seine Gestalt, es beginnt eine neue Art mit Eigenschaften, verschieden von denen der ersten, und mit einem geringeren Grade von Stabilität. Wenn die Rotation noch weiter zunimmt, nimmt die Stabilität der neuen Art zu, erreicht ein Maximum und nimmt dann ab, bei einer neuen Übergangsform erreicht es, eine neue Art entsteht. So gelangen wir von einer

Art zur andern, in dem Maße als die Rotation wächst.

Die erste oder planetarische Art besteht aus kugelförmigen Agnaten wie die Erde, die zweite Art hat einen zentralen Agnaten, so daß sie einem Ei ähnlich ist, das auf einem Tisch liegend sich dreht, bei der dritten Art besteht aus von dem Enden des Eies umschwebenden und die Anschwellung ward schließlich zu einer deutlich entsprechenden Prolobierne. Schließlich wird diese Hervorragung an ihrem Ende löffelförmig und es mit der Hauptmasse der Flüssigkeit durch einen allmählich dünner werdenden Hals verbunden. Zuletzt zerfällt dieser Hals, und wir erhalten zwei getrennte Massen, die wir Planet und Trabant nennen können.

Bei diesem idealen Problem werden die auf einander folgenden Umwandlungen der Arten durch die allmählichen Steigungen der Rotation der Flüssigkeitsmasse hervorgerufen. Es könnte scheinen, als ob diese Zustände der Rotationsgröße nur willkürlich an und in der Natur kein Gegenstand habe. Aber die Körper ziehen sich beim Abkühlen zusammen und diese Abkühlung kann die nächsten Folgen haben, wie die angenommene Zustände der Rotationsgeschwindigkeit.

Die Gestalten, die ich auf Grund strenger Rechnung von den letzten Stadien dieses Entwicklungsprozesses entwerft, sind so charakteristisch, daß sie an die Erscheinungen des Vorstreckens eines Protoplasmasfaden aus einer Masse lebender Materie erinnern. Ich glaube, daß wir in diesem Prozeß eine Art der Entstehung von Doppelsternen, Planeten und Trabanten sehen können.

Herr Kollege Professor Jones hat diese interessanten Dinge in dem Gegenstande geführt, indem er den weit schwierigeren Fall behandelt, in welchem die rotierende Flüssigkeit ein kompressibles Gas ist. Auch in diesem Falle handelt es sich um eine Familie von Typen, über die Zusammenschrumpfung der

Gase führt zu neuen Beschreibungen über die Übergänge von einer Art zur andern. Das Problem ist so schwierig, daß Professor Jones zuvörderst sich beschränkt mit den mehr qualitativen als quantitativen Resultaten.

Es ist gewiß, daß, wenn die von Laplace angenommene Reihe der Ereignisse beträchtliche Wahrheit enthält, die betrachteten Transformationen sich mehr auf das Detail beziehen. Wahrscheinlich liefern beide Prozeß nur reine Modelle der Wirklichkeit und in einigen Fällen ist das erste, in andern das zweite der Wahrheit näher.

Die Masse des Mondes beträgt $\frac{1}{80}$ der Erdmasse, während die Masse des Titan, des größten Trabanten im Sonnensystem, $\frac{1}{9000}$ von der des Saturn ist. Wegen dieses großen Unterschiedes der relativen Größen aller anderen Trabanten und diejenigen des Mondes, ist anzunehmen, daß die Art der Abkühlung des Mondes von der Erde gänzlich bedeutend verschieden von derjenigen bei den andern Trabanten war. Die Theorie, die ich kurz besprochen werde, will die allmähliche Entfernung des Mondes von einer ursprünglichen Position nahe der jetzigen Oberfläche der Erde erklären. Wenn die Theorie richtig ist, können wir annehmen, daß der Mond das Produkt der Abkühlung eines moltenen Hautens ist und nicht die Verdichtung eines Laplaceischen Ringes.

Wenn ein Planet mit Wasser und Luft bedeckt ist, oder aus geschmolzener Materie besteht, müssen Gangeschwankungen in seinen beweglichen Teilen durch die Anziehungen seiner Trabanten und der Sonne entstehen. Diese Bewegungen müssen Störungen hervorrufen, und die Rotation des Planeten wird durch diese Gangeschwingung langsam verlangsamt, ähnlich wie ein Rad allmählich aufzuhalten wird durch äußere Reibung. Da nun Wirkung und Gegenwirkung gleich und entgegenposit sind, muß die Wirkung des Trabanten auf den Planeten, welche

die Gezeitenreibung verursacht, eine Rotation des Planeten auf die Bewegung des Trabantens herzusetzen.

In einem beliebigen Zeitpunkt können wir das aus dem zusammenen Planeten und dem begleitenden Trabantens bestehende System als stabil betrachten, aber die Reibung der Gezeiten erzeugt Kräfte, die eine kontinuierliche, wenn auch langsame Umwandlung erzeugen. Es ist daher von Interesse, rückwärts in der Zeit die Änderungen zu verfolgen, die durch eine solche kontinuierlich wirkende Ursache erzeugt wurden, und den Anfangszustand zu bestimmen, von dem das System des Planeten und Trabanten langsam abgewichen ist. Wir können auch untersuchen, wobei die Umwandlung steht.

Wir wollen die Bewegung der Erde und des Mondes, die gemeinsam um die Sonne kreisen, unter der Annahme betrachten, daß die Gezeitenreibung auf der Erde die einzige wirksame Ursache zur Änderung ist. Wir wollen also ein ideales Arbeitsmodell des Systems diskutieren, und es wird fraglos, den Hauptzweck veranlassen, soweit er auf den vorliegenden Bezug hat.

Was wir mit »Tag« eine Periode von wechselnder Länge bezeichnen, nämlich die Zeit einer einzigen Rotation der Erde um ihre Achse, und mit »Monat« ähnlich verstanden als absolute Länge, die Zeit, die der Mond in einem einzigen Umlauf um die Erde braucht, so drückt die Zeit der Tage im Monat die Geschwindigkeit der Veränderungen im Verhältnis zur Geschwindigkeit des Mondenlaufs aus.

Je weiter wir nun zurückblicken, finden wir, daß sowohl Tag als Monat kontinuierlich sich verlierten, aber da im ganzen der Monat sich viel schneller verlor als der Tag, nimmt auch die Anzahl der Tage im Monat ab. Wir können fragen: Welches war der Anfangszustand? Es findet sich, daß das Spüren nachverfolgt werden kann bis zu einer Zeit, wo der Tag und der Monat gleich lang waren und beide

nur etwa 4 oder 5 unserer jetzigen Stunden hatten, der Mond also vom denselben Seite der Erde gegenüberstand. Somit bei der Anfang der Erde von derselben Seite dem Monde der, gerade so, wie der Mond jetzt uns die selbe Seite zeigt. Ferner muß, wenn der Monat nur 4 bis 5 unserer jetzigen Stunden umfaßt, der Mond nur wenige tausend Meilen von der Erdoberfläche entfernt gewesen sein, im Gegensatz zu dem jetzigen Abstand von 240.000 englischen Meilen.

Diese Betrachtungen führen können wohl zu dem Schluß führen, daß der Mond sich von der Erde als zusammenhängende Masse getrennt hat zu einer Zeit, die unmittelbar dem Anfangsstadium vorausging, bei dem er verfolgt worden ist. Aber es gibt noch ein viel gewichtigeres Argument für diese Schlussfolgerung. Im Anfangsstadium ist die Schwerkraft der Bewegung verleiht, so daß das System den Charakter einer Übergangsform zeigt, die, wie wir gesehen haben, eine Änderung des Typus oder der Art in einem früheren Zustand zeigt.

Bei Untersuchungen der Umwandlungen eines flüssigen Planeten sehen wir die Tendenz der Masse, sich in zwei zu teilen, und jetzt schwenken wir zu ähnlichen Schlüssen von der entgegengesetzten Seite zu kommen, wenn wir das System nachverfolgen bis zu zwei Massen von ungleicher Größe und in großer Nähe bei einander. In dieser Schlussfolgerung war ich teilweise gezwungen, verschiedene zweifelhafte Punkte zu übergehen.

Die Zeit fehlt, um verschiedene andere Punkte zu betrachten, die sich aus diesem Problem ergeben. Ich beschränke mich darauf, die Tatsache her vorzuheben, daß die Gezeitenreibung auch umstände ist, die spätere Exzentrität einer ursprünglich kreisförmigen Bahn zu erklären, wozu ich noch zurückkommen werde.

Wenn tatsächlich die Gezeitenreibung eine so wichtige Rolle in der

Geschichte der Erde und des Menschen gesagt hat, so kann erwartet werden, daß ähnliches von den anderen Planeten und Trabanten und selbst von den Planeten und ihren Verhältnissen zur Sonne gelten muß. Aber die mathematische Untersuchung beweist, daß dies nicht der Fall gewesen sein kann. Das Verhältnis des Mondes zur Erde ist ein ganz ausschlaggebendes im Sonnensystem, und wir müssen auf Theorien, wie die von Laplace, zurückgreifen, um die Hauptpunkte zu erklären.

Ich habe noch nichts über die Zeit gesagt, welche die Ereignisse in Anspruch genommen, die in den verschiedenen Systemen der Kosmogonie geschildert wurden. Diese Frage ist dornenvoll und voluminös.

Wir besitzen keine Vorstellungen bezüglich der Zeit, die erforderlich ist für die Entstehung des Sonnensystems nach Laplace's Nebularhypothese oder nach der Meteoritheorie. Aber, was wir behaupten können, ist, daß es,

(Zweiter

nach Jahren geschätzt, ungeborener lang sein muß.

Die Theorie der Gegenströmung ist unter diesen Entwicklungsstadien die schwierigste, auch die wir da gewinnen, aber nur während Zeitraße aufzählen können für jedes Stadium des Vorganges. Obwohl der Wert der Zeitraße nach Jahren unbekannt bleibt, ist es dennoch möglich, eine Periode in Jahren zu bestimmen, die länger sein muß als die, welche die ganze Evolution umfaßt. Wenn wir der Entstehung des Mondes die Gegenströmung etwa darwingen wollen, daß sie die größtmögliche Wirkung hervorbrachte, würden 50 Millionen Jahre nicht ausreichen sein. Die wirkliche Zeitdauer muß größer sein, und es ist nicht übertrieben, anzunehmen, daß 500 bis 1000 Millionen Jahre notwendig sein mögen zur Entstehung des Mondes. Diese Schätzung wird den Geologen nicht übertrieben erscheinen, die zu sehr langen Schätzungen der geologischen Perioden geneigt sind. (Zweiter

Eine neue Methode der photographischen Nachforschung nach kleinen Planeten.

Seit December 1905 ist unter dem Entdecker kleiner Planeten nach der Name Joel H. Meeus und der Beobachtungsort Taunton in Massachusetts vertrieben und zwar wiederholt, so daß es dem Träger dieses Namens ein neuer und erlöblicher Forscher auf dem Gebiete der Planetenentdeckung begrüßt werden muß. Da, mit Hilfe der Photographie nach dem Verfahren von Prof. Woll, in den letzten Jahren gemacht zahlreichen Funde von hiesigen unbekannten kleinen Planeten, haben hier und da zu etwa geringfügiger Aufklärung dieser Entdeckungen veranlaßt. Wie Thomas Irving dies ist, haben aber gerade die jüngsten Planetenentdeckungen, gemäß denen die

Zone der Astriden nach unten über die Marthen und nach unten über die Jupiterzone hinaus sich ausbreiten, eine Tatsache von größtem astronomischen und kosmologischen Interesse, die an Wichtigkeit hinter keiner andere astronomischen Entdeckung im Sonnensystem seit Auffindung des Uraus durch Herschel zurückbleibt. Es ist daher freudig zu begrüßen, daß dem unverwundlichen Heidelberger Forscher ein starker Mitarbeiter in Nordamerika gefunden ist, da die Wissenschaft einem Ansehen nach, von großen neuen Aufschlüssen steht, die sich an die letzten Entdeckungen auf dem Gebiete der kleinen Planeten knüpfen werden.

Der neue amerikanische Planeten-

entdecker bedient sich bei seinen Forschungen einer neuen Methode, die genau das umgekehrte Verfahren darstellt, welches Prof. Wolf befolgt. J. H. Metcalf hat sich längst über seine Beobachtungsmethode ausgesprochen.⁵

Die letztergenannte Methode, welche Prof. Max Wolf mit so wunderbaren Erfolge benutzt, besteht darin, die photographische Platte möglichst lange zu exponieren und dabei die Fernstar der täglichen Umdrehung des Himmels entsprechend zu bewegen. Die Finsternisse erscheinen dann als runde Punkte, die Asteroiden dagegen, infolge ihrer Eigenbewegung, als kleine Striche, die zur Zeit der Opposition bei der längsten Exposition der Platten bis zu 30" lang sein können. Dies ist bei Berechnung ihrer Parabeln, auf der Platte ein merklicher Betrag und in dem Verhältnis als der Durchmesser der Linse größer ist, umso mehr der von dem Planeten erzeugte Strich länger, aber unter sonst gleichen Umständen auch unbedeutender. Fernstern von sehr geringer Helligkeit können auf diesem Wege selbst mit kleinen Objektivlinsen photographiert werden, wenn nur die Exposition der Platte entsprechend verlängert wird, denn die schwachen Lichtstrahlen summieren sich, weil sie nicht auf die nämliche Stelle treffen. Anders ist es mit Planeten, bei denen findet eine Verstärkung des Lichtdruckes auf der Platte durch längere Exposition nicht statt, weil sie sich fortbewegen und ihr Bild nicht auf einem bestimmten Punkte der photographischen Platte verliert. Wenn also ein solcher Planet zu schwach ist, daß er innerhalb einer gegebenen kurzen Zeit keine wahrnehmbare Wirkung auf der Platte erzeugt, so kann man exponieren so lange man will und wird doch niemals eine Wirkung wahrnehmen. So er-

wähnt Metcalf, daß mit einem 12-zölligen photographischen Objektiv der schwache Durchmesser, welchen das Bild eines kleinen Planeten auf der Platte besitzt, nach einstündiger Exposition 4" bis 5" beträgt. Ein kleiner Planet bewegt sich nahe seiner Opposition am Himmel um einen Bogen von 4 bis 5" in weniger als 10 Min. Daraus folgt, daß wenn die letztere kleiner Planet vom Bild auf der Platte nicht innerhalb 10 Minuten wahrnehmbar macht, dies mit dem gesamten Objektiv überhaupt niemals der Fall sein wird. Man begreift ferner, daß eine Methode der photographischen Aufnahmen, welche einen kleinen Planeten unbeweglich auf der Platte erhält, so daß längere Exposition von Nutzen wird, sehr viel höherwertigem Objektiv dieser Art zum Vorschein bringen muß. Tatsächlich ist eine solche Methode schon vor Jahren bei der photographischen Aufnahme von Kometen angewandt worden und liegt bei Prof. Bailey vom Harvardobservatorium auf die nämliche Weise den Planeten Erus bald nach dessen Konjunktion mit der Sonne photographiert. Einen allgemeinen Prinzip hat nun J. H. Metcalf mit Erfolg auf die Entdeckung von Asteroiden angewandt, nämlich man bei oberflächlicher Betrachtung glauben sollte, die Methode sei unbrauchbar, weil ja die Größe der scheinbaren Bewegung bei unbekannten Asteroiden eben noch unbekannt ist. Indessen fand Metcalf als er die Fortbewegung der bekannten Planeten, wie solche im Berliner Astron. Jahrbuch angegeben sind, in Betracht zog, daß jene Bedenken gegen die Anwendung der Methode unbegründet sind. Er fand beispielsweise, daß 17 Planetoiden, welche in den beiden ersten Wochen des vergangenen April in Opposition mit der Sonne kamen, je Reihenreihen eine durchschnittliche Bewegung zwischen $-41''$ und $-38''$ besitzen. Der Mittelwert ist $-39''$ und von diesem weichen die äußersten Bewegungen nur

⁵ *Astrophys. Journal* 1908, XIII, No. 4, p. 206.

um 7 bis 8° ab. Daraus folgt, daß wenn die photographische Platte um 34° südlich in der gegebenen Richtung bewegt wird, sämtliche Planetenbilder innerhalb eines Durchmessers bleiben, der kaum etwas größer ist als der kleinste Sternschleifenbogen, den bei dem benutzten Objektiv auf der Platte entsteht. In Deklination bewegen sich die oben genannten Asteroiden bei der dreiwöchigen Opposition durchschnittlich nur um 4-10° südlich und die größten Abweichungen von diesem Mittelwert sind 7° und 10°. Also auch hier bleiben die Bilder bei einseitiger Exposition noch fast alle innerhalb der Grenzen der kleinsten Sternschleifen der Platte.

In Anwendung dieser Methode richtet Metall das mit dem photographischen Fadenkreuz fest verbundene Beobachtungsteleskop auf einen geeigneten, hellen Fixstern nördlich des Sternfeldes, das er photographisch aufnehmen will und hält denselben längs des Mikroskoptisches laufen um die Richtung Ost-West zu bestimmen. Dann wird die Mikroskoptendrehung so weit gedreht, um die Richtung parallel zur Elipse zu erhalten, welche die Bewegungsrichtung des idealen mittleren Asteroiden zu dieser Zeit vorstellt. Nun kann das Exponieren der Platte beginnen.

Nach jeder Minute wird das Mikroskop um den Betrag der berechneten mittleren Bewegung gedreht und mittels der Feinbewegungen in Höhen- und Deklination der Stern von seinem hinter dem Kassetten des Mikroskops verlagert. Nach Verlauf von 28 Minuten Expositionsdauer, welche Metall ausreichend gefunden hat um Asteroiden bis zu 13. Größe und darunter auf der Platte zu erhalten, wird die Klappe des photographischen Teleskops geschlossen, der Mikroskoptisch um 20° oder 30° bewegt und erst nach Aufnahme von genau der

gleichen Zeitdauer angeklippt. Werden nachher die Platten orientiert so liegen sich stadielle Fixsterne auf denselben ab hintereinander befindliche Doppelstriche, deren Länge von der Expositionsdauer abhängt. Fixsterne sich aber auf denselben Platte Planetoiden, so liegen sich diese in Gestalt von zwei hintereinander befindlichen Punkten, die genau ebenso weit von einander entfernt sind als die Sterne der Fixsterne. Der Vorrat dieser Methode steht Metall in dem Umstande, daß die Planetoiden meist rund und scharf sich darstellen und man sehr leicht schwache schon mit verhältnismäßig kleinen Linsen photographieren kann. Im Vergleich zu der bisherigen Methode beträgt der Gewinn, nach einer Schätzung, bei einseitiger Exposition mindestens 2 Größenklassen, was sehr erheblich ist. Auch lassen sich die Störungen der Planeten auf den Platten geringer auswirken, weil es sich dabei jetzt um reine Sternschleifen handelt. Als Proben seiner Aufnahmen gibt Metall mehrere vergrößerte Bilder von Platten, die hier auf Tafel IX reproduziert sind. Jedes Paar von auf diesen Bildern bezeichnet einen Fixstern und jedes Paar Punkte einen Planetoiden. Um letztere deutlicher hervorzuheben sind sie durch die Zeichen > < eingeklammert. Fig. 1 zeigt den stehenden Planetoiden (17) Thela, 12.5 Größe. Fig. 2 zeigt einen am 23. März 1905 von Metall entdeckten neuen Planetoiden, etwa von 13. Größe. Fig. 3 zeigt den Planetoiden 1905 SH, 13.5 Größe. Sein Bild ist nicht ganz rund sondern flach, weil dieser Planet sich damals ungewöhnlich nach nördwärts bewegte (8 pro Tag). Das ist also einer der aussergewöhnlichen Fälle. Nach der alten Methode würde derselbe mit dem benutzten Instrumente nicht darstellbar gewesen sein, weil er zu hell-schwach ist.

Neubildungen auf dem Rande.

Schicht

Gegen den Bergader dieses Mars ist die stärkste und längste die, welche beim Kater Capella B anliegt und westwärts von Fracator endet.

Dies zweite können aber gleichfalls beträchtlich starke Bergader mehr aus der Umgegend des Theophilus A südwestlich, nördlich westlich, und bei 3° hell, je an ihrem Endpunkte 6°; ein runder, verwaschener Lichtfleck zwischen jenem Lichtfleck und dem Kater Capella B aber erstreckt sich ein wenig weiterhinweg, schwer zu erkennenden Formen von 2° Helligkeit, welche dunkle Farbe, sich auch an der Nordgrenze der erhellten hellen Bergader zeigt.

Im Süden der Bergader findet sich dagegen 4° Licht, welches gegen Süden und Südwesten allmählich in 3° und weiter hin in 2½° übergeht. Sehr klein, gerade schwer oder gar nicht mehr wahrnehmbare Landstellen (die Darstellung einiger ist vermehrt worden) geben einem großen Theil des inneren Mars ein gleiches unregelmäßiges Aussehen. Auch zeigen sich hier Kater, über deren Kontur und Lage wir erst der 25. Juni 1834 Gewißheit gab, obgleich wir es schon seit 1833 vermuthet und während dieser Gegend häufig beobachtet hatten.

Unter 15° Breite und +32° Länge erblickt auch das Mars in einer großen Fläche 3° hellen Boden. Weiter ostwärts stehen kleine sehr niedrige Hügel, alle von Norden nach Süden streichend, in einer der letzten Stellen des Mars. Es werden sich so schnell und niedrig, daß ihre Gipfel lange unsichtbar bleiben. In der Nähe der großen östlichen Bergader werden sie besser und etwas deutlicher.

Der südlichste Theil enthält auch einige Kater, unter denen aber nur Fracator E, 6° hell (+32° 32' Breite und +33° 41' Länge) und die drei südlich über ihm liegenden und 5° hellen deut-

lich gesehen werden, die übrigen nach Benennung und Fracator zu geringeren und fast ebenso schwachen Objekten als die vorher erwähnten.

Auch außer den Bergadern zeigen sich im Mars einige Lichtstellen. Vom Südende des Theophilus A aus, wo das Mars ziemlich tief liegt und trübselig zu sein scheint, erstreckt sich ein breiter Lichtfleck, dessen Ränder quer über die Hügelflächen hinziehen und der sich gegen Süden verläuft.

Ein anderer Streich von bedeutender Länge zieht sich von Süden her aus dem westlich vom Fracator gelegenen Gegenden, und zieht, nur sehr wenig gekrümmt, in 2 Meilen Breite auf den gemeinschaftlichen Wall des Theophilus und Cyrillus zu und über diesen, immer mehr, breiter und unregelmäßiger werdend, bis in die Gegend des Almagest hin. Dem bloßen, westlicher Schimmer hat mit dem Licht der vorher erwähnten Bergadern nichts gemein. Aus allem geht hervor, daß diese runde Mondsgestalt einer auffälligen Untersuchung mit dem stärksten Fernglasern noch nicht sehr bedürftig. Nicht der optische Neigungswinkel ist es, der hier die Beobachtung so schwierig macht, die Lage des Mars ist vollkommen günstig, wie die des Mars Transjupiter und Saturnus, und viel günstiger als die des Mars Ceres — sondern hauptsächlich die Feinheit der Objekte selbst, und von Fracator wie das von uns erwähnte dringt hier nicht überall durch. — Quei post hoc, faciat melius potest.

Man erkennt aus den vorstehenden Ausführungen, welche Mühe sich Müller gegeben, die kleinste Detail im Mars Notizen zu heben und so der Tat mit all so ein Kater viele der kleinsten Kater, selbst solche, die später weder Schmidt noch andere Beobachter wiedergegeben haben, der große N aber — fehlt! Gerade oberhalb von der Breite, welche

Mäler eröffnet, steht der große Krater mit seinem Wallrand nur mit schwachem Firnglase da. Beides starrt den Hügeln nicht so sehr voran, kann der Krater gleich nicht blenden. Wäre zu Mälers Zeit dieser Krater mit seinem steilen nachträglichen Ringe versehen gewesen, so würde er diesem sorgfältigen Beobachter nicht entgangen sein, da er auch Pausanias II (Rome) das größte und weiteste deutsche Objekt im offenen Meer und dazu von Rag eine Beschreibung von großer Schönheit ist.

Man kann sowohl auf Mälers Autopsie hin behaupten, daß in den Jahren 1838 bis 37 der in Rede stehende Krater nicht sichtbar war. Dieser Schluß ist für diejenigen, welche Mälers Selensgraphie genauer kennt, um nicht übereinstimmend, nicht zu unterschätzen dürfte es angesehen sein auch noch von anderer Seite eine Bestätigung zu erhalten. Es ist ein glücklicher Umstand, daß eine solche in der Tat gefunden werden kann, durch Lohmanns große, der Mälerschen in jeder Beziehung überlegenste Arbeit. Man weiß, daß beide Selensgraphien völlig unabhängig voneinander arbeiteten und um so wertvoller ist es nun, bei Vergleichung der Mondregion zwischen den Ragnabergen Topographien und besonders eine gute Übereinstimmung der schwachen Hügelsipps im Meer auf den beiden Mondkarten zu finden, aber auch bei Lohmanns fehlt der große Krater vollständig! Die Hügelsipps, an denen er liegt, sind dagegen vorhanden. Lohmanns Arbeit begann 1831 und wurde mit Unterbrechungen im Jahre 1834 vollendet.

Wie genau und aufmerksamen Lohmann diese ganze Gegend des Meeres beobachtet und in seinen Handzeichnungen niedergelegt hat, erhellt noch aus folgenden Umständen. Erinnere dich der deutsche Meilen südlich von dem in Rede stehenden größeren Krater befindet sich der viel kleinere K, der ebenfalls von ganz kreisförmigen Fildern dunkler

Materie umgeben und fast eine Himmelskugel seines größtem Nachbarn ist. Bei solchem Sonnenstand zeigen sich beide als dunkle Flecke. Nun findet sich auf Lohmanns Generalkarte des Meeres der kleine dunkle Fleck am Orte von K vollständig richtig eingetragen, der größere aber fehlt, obgleich er im Perseus unfehlbar sichtbar dem ersten sichtbar ist und dessen Anwesenheit an Augenmäßigkeit überfließt. Wie hätte Lohmann diesen übersehen können, wenn derselbe zu seiner Zeit überhaupt sichtbar gewesen wäre? Daß Mäler den kleinen dunklen Fleck nicht sah, ist keineswegs auffällig, denn derselbe ist nicht bedeutend.

Man ersieht aus allem vorhergehenden, daß weder Mäler noch Lohmann auch nur eine Ahnung von der Existenz des großen Kraters haben, da sie alle kleinen Objekte ausführlich beschreiben, eine jenseit weit größer und durch seinen grossen Ring so bewundernswürdigen Objekten zu gedenken. Dagegen findet sich dieses Krater dargestellt auf der Tafel XI in Neapoli und Caspensis Werk über den Mond. Diese Darstellung des Kraters ist, was dessen Größe anbelangt, sehr charakteristisch und sie liefert ein wertvolles Bestätigungsgutzeugnis der Behauptung, daß dieser Krater zu Lohmanns und Mälers Zeit nicht sichtbar gewesen sein kann. Das gewöhnliche, nachträgliche Ring, der den Krater umgibt, und der fast wie durch einen dunklen Schleier erkannt wird, dessen Neapoli und Caspensis nicht sa. Selbst wenn der in Rede stehende Krater halb so groß wäre, als er wirklich ist, so könnte man aus seinem Fehlen bei Lohmann und Mäler mit Bestimmtheit auf sein Verschwinden nach jener Zeit schließen. Der Krater erscheint durchaus so zugewölbt (aber kleiner) als der Krater Kasse und ist weit leichter erkennbar als der neue Krater beim Hygiea. Wenn die Sonne einen hohen Stand für die betreffende Region der Meer Nekans erreicht hat, erscheint der Krater als ein

schwarzer Fleck, der südlich von einem kleineren Fleck begleitet ist. Der größere Fleck ist außerordentlich zugunflügig und markenartig, auch ist er in jedem Mondstande ungefähr gleich sichtbar als z. B. der neue Krater beim Hygieus. Man kann beide Flecke mit nur 60-facher Vergrößerung und bei dunkler Luft absolut nicht übersehen. Ein 10- bis 15-jähriger Erdensat ist in der am 6. März 1865 von Lewis M. Rathford aufgenommenen Photographie des Mondes gegeben. Derselbe stellt den Mond nahe dem ersten Viertel dar und hat ihr erkennt man selbst die beiden dunklen Flecke, von denen der größere bei keiner Betrachtung des Kraters reproduziert. J. L. Schmidt in Alton,



Fig. 4.

hat die in Rede stehende Mondregion 1843 Juni 13, Aug. 23, Okt. 24, Nov. 8, sowie 1843 März 4 beobachtet, ohne den Krater zu erkennen. 1851 Jan. 9 findet sich bei dem der Krater zuerst erwähnt, mit den Worten: „Südwestlich von Theophilus liegen im März zwei kleine dunkle Flecke wie unvollkommen halbkreisförmige Krater; sie trübten bei hellem Sonnenstande als dunkle Flecke sichtbar und ich habe sie wohl schon früher gesehen. Der westliche ist der größere.“ Schmidt hat Schmidt den Krater häufig gesehen und seine Beschreibung ist im allgemeinen mit der meinigen identisch. Auf der großen Mondkarte von Schmidt findet sich der Krater mit seinem nordöstlichen kleinen

Nachbarn sehr gut und charakteristisch dargestellt und es ist ganz und gar unzweifelhaft, vollständig, daß Leuten und Müller diesen in allen Beobachtungen sichtbaren Krater vollständig übersehen haben, während er die niedrigen Hügel, zwischen denen er sich erhebt (auch von denen er den Blick verfliegt) ist und auf sich leicht richtig ablesen.

Der Krater N und K gehören überhaupt zu den markenartigen Objekten der Mondoberfläche. Der südliche N ist nach meinen Beobachtungen sehr zugunflügig und scharf, mit einem Rande, nach außen schwarz und dunkel, und dem inneren Kraterabhangen weiß und der Krater weiß oder besonders hell, und regelmäßig umgeben von einer granitartigen Gesteine. Der nördliche K ist schwach, aber durch den dunklen Rand, der ihn umgibt, auffällig. Von dem Krater N laufen mehrere Bodenwellen aus, die in den höheren Teilen derselben keine markenartig sind, nach unten aber deutlicher werden. Sie haben die größte Ähnlichkeit mit den Barrenen unserer irdischen Vulkane. Am 19. September 1863 sah ich in dem Zirkum des weißen Kraterstrichens von N ein kleines schwarzes Punkthal. Quabert entdeckte 1866 März 11 im Nordende von N einen sehr kleinen Krater der diesen Rand durchbrochen hat. Ich habe denselben seitdem auch gesehen und trägt in der Ansicht, die er 1863, als ich zuerst die beiden Krater des äußeren Wulles von N erkannte, noch nicht vorhanden war, da er nur sonst durchaus nicht hätte entstehen können. Zudem, der diesen Kraterbau 1869 Januar 8 sah, erklärte er für leicht verwechselbar, trotzdem habe er es früher weiter um 6-fachigen noch um 80-fachigen Vergrößerung im Kopierbogen aufgenommen. Die obenstehende Karte Fig. 4 der Umgebung von N und K zeigt diese nach den Zeichnungen, die ich im Jahr 1861 bis 1869 davon erhielt. Es gibt auf dem Monde noch mehrere dunkle Kraterähnlicher Art, doch keine, die so groß und dunkel sind als N

T

Der Doppelkrater Messier dieses Orbits ist merklich durch die Veränderungen im Aussehen, welche es periodisch darbietet, von denen aber untersuchten Mäcker nichts weiter bemerkt hat, ja, die er unbedingt in Abrede stellt. In seinen großen Mundwunden liegt an ²/ Messier (ist) zu sehen, 2 Meilen im Durchmesser habendes Ringgebirge, dessen schon welchem es in jeder Beziehung völlig gleiches ist (Messier A). Durchmesser, Gestalt, Höhe und Tiefe, Farbe des Innern wie des Ringgebirges, ja selbst die Lage einiger Gipfel auf letzterem, alles stimmt dergestalt überein, daß hier entweder ein sehr vollständiges Bild des Zirkels oder ein um noch unbekannter Naturgegensatz gestrichel haben muß. Nach merkwürdiger aber wird dieses Doppelgebirge durch zwei ebenfalls vollkommen gleiche, schenkbare, schief abgewinkelte, tiefe und große Ovale sich abwechselnd vorherrschende Lichtstellen, die vom südlichen Krater ausgehen und eine dicke Zone zwischen sich lassen, deren Richtung ziemlich mit der Zentralen der beiden Krater zusammenfällt. Wunderschön ist Messier dasjenige Gebirge, welches Scheiter für eine vollständige Lichtschonung zu haben geglaubt steht. Eine Entscheidung über die Vergangenheit Messiers war uns nicht anstehen, wohl aber versichern, daß wir es seit 1829 in mehr als 300 Fällen, so oft diese Gegenstände überhaupt sichtbar war, stets in der beschriebenen Art gesehen haben, obgleich bei einer so schnell wechselnden Gestalt, auch die geringste Veränderung der Größe, Form oder Lichtstärke sich leicht merklich machen müßte und Selbstverwechslung uns überdies nur geringes Aufmerksamkeitsmaß auf diese Stelle verleiht.

Wie diese Ausflüge nun erfolgt und wo, welche Vorrichtungen und Gegenstände Mäcker bei seinen Beobachtungen und bei Beschreibung

der Beobachtungen vollen hat, wird nicht daran zweifeln, daß der beiden Krater Messier und A stets die größte und aufmerksame Aufmerksamkeit im Auge haben. Denn nicht nur, sondern auch selbst 1825 aufmerksam macht. Die zahlreichen Beobachtungen von Jul Schmidt und mir, welche in der Wochenschrift für Astronomie, Jahrgang 1880 und 82, ausführlich mitgeteilt worden sind, haben die Bemerkung von Webb bestätigt und zeigen, daß die beiden Krater nicht nur einander nicht ähnlich sind, sondern ihr Aussehen vollständig verändern.

Prof. Wilhelm Pickering hat den Doppelkrater Messier seit 1861 auch häufig beobachtet, und zwar zum Teil unter ungewöhnlich günstigen atmosphärischen Verhältnissen und an einem (3-fachen Refraktor.¹) Er findet, daß er sich südlich an Messier A hinwender Haltung, welches man nach Sonnenanalogie sehr kann, nicht identisch ist mit einer ähnlichen Stellung die sich vor Sonnenanalogie zeigt, und daß der hellere, hellere nicht unbedeutend Zusammenhang dieser Bildungen Ursache des wechselnden Aussehens ist. Eine Überraschung im Aussehen beider Krater findet auch Prof. W. Pickering nur zwischen dem 5. und 9. Tage nach Sonnenanalogie über denselben steht. Zur Erklärung für die von Mäcker hervorgehobene Veränderung im Aussehen beider Orbits müßte man zunächst annehmen, daß die zahlreichen Beobachtungen Mäckers richtig gemäß in dieser Epoche aufgefunden hätten. Ob diese Erklärung von Wahrscheinlichkeit sich hat, mag dahingestellt bleiben; Tatsache ist, daß Mäcker in seiner großen Monarchie des Messier merklich kleiner darstellt als den Nebenkörper A.

¹ Annals of the Harvard College Observatory, Vol. 32, Part II, Cambridge 1900, Series Vol. LI 1903, Page 568, 1904, 2. 568 u. 5.

Daß auch nicht erst nach Millers Zeit, also nach 1830, das ungleiche und wechselvolle Aussehen des Doppelschlans eingetreten ist, wird durch eine Bemerkung Graftonians bewiesen, der im Bodens Astron. Jahrbuch für 1839 bemerkt: »Das weißliche Gerdichtes verändert sich zu verschiedenen Zeiten auf eine ganz unbegreifliche Weise, während das andere neben ihm zu allen Wolfenzeiten sich gleich bleibt. So war es zu Schellers Zeit größer als das letztere, zu meiner Zeit ist es entweder gleich groß oder kleiner als $\frac{1}{2}$ seines Durchmessers und bald ganz, bald so, bald andern zugedrückt, je nach gegen alle

peripetrische Regel von Osten nach Westen gestrichelt.« Daraus kann man richtig bei der heutigen Stunde. Die Veränderungen sind nach meinen Beobachtungen meistens lediglich optische und bedingt durch die Lage der beiden Kerne auf dem geringen Abstände eines breiten aber nicht hohen Landstriches, durch

die ungleiche Höhe der Hüfte und deren halbachtelartige Abhänge überhaupt. Markwärdig ist, daß man nur selten scharfe Bilder der beiden Monde erhält, was aus der Lage derselben nicht zu erklären ist. Der gegen Osten hin sich erstreckende Doppelschweif zeigt keine Veränderungen im Aussehen und ist sichtbar während der Zeit kurz nachdem die Sonne über ihm aufging bis kurz vor ihrem Untergang. Er bildet keine Bodenerhöhung, sondern stricht leicht über den grauen Mondboden hinweg. In Fig. 5 ist die Gegend nach meinen Beobachtungen in den Jahren 1877 bis 83 dargestellt. Man erkennt mehrere dunkle Stellen, über welche

der Schweif fortzieht, so besonders die dunklen Flecke u und v, und eine ovale, dunkle Stelle w. Hier kann man sich am Fervorste häufig überzeugen, daß die helle Materie des Schweifes und namentlich die beiden schon damals vorhandenen dunklen Flecke überdeckt. Noch deutlicher erkennen wir ferner die unregelmäßige Bedeckung des ursprünglichen Mondbodens durch hellere Materie an einer andern Stelle in 1^a sind Breite und 47^a weit Länge auf dem Monde, wo der ganze Boden des Flaches, nur mit niedrigen Hügeln bedeckten Mars von hellem Lichtstrahlen durchzogen ist. Dort sah ich, selbst bei niedrig stehender Sonne, daß auf

eine Fläche von mehreren Quadratmeilen ein eiförmiger Fleck, gewissermaßen wie eine Oase, den Boden bedeckt und unter ihm die dunklere Oberfläche des Mondes hindurchschimmert. Man könnte an einen kleinen Nebel

denken, allein der Fleck scheint durch sein diametrisch, un-

veränderliche Erscheinung. Eine solche muß entstehen, wenn der Boden von vulkanischen Stein- oder Aschenmassen in sehr dünner Schicht bedeckt wurde. Diese Vorgänge haben aber zu früherer Zeit stattgefunden, durch Beobachtungen ist keinerlei wirkliche Veränderung am Monde oder seinem Doppelschweif nachgewiesen.

4.

Das nördliche der Wallbans Plate. Diese sehr ebene Fläche erscheint bei hoher Beobachtung von mehreren mittels Lichtstrahlen durchzogen, die vollständig deshalb sichtbar werden, weil abwärts der Grachten der ganzen Fläche abge-



Fig. 1.

darstellt ist. Man erblickt auf dieser außer-
dem mit großen Instrumenten zahlreiche
Lichtflecken, von denen manche bei
schärfer Betrachtung Schalen werfen,
also Hügel oder Kirscheipen sind. Die
Anschauungen einer Anzahl britischer
Mondbeobachter, welche seit in die
siebziger Jahre des vorigen Jahrhunderts
setzweise, haben die zu der Über-
zeugung geführt, daß manche dieser Licht-
flecken unrichtige Veränderungen
ihrer Schichten darbieten. Ich habe
diese Schlußfolgerungen sehr skeptisch
gegenüber, da sie auf Wahrscheinungen
beruhen, die von wenig genauen Beob-
achtern herrühren und Massenbeobach-
tungen gerade in diesem Gegenstande
mehr irrthümlich als nützlich. Anders
verhält es sich mit den Beobachtungen,
welche Prof. William Peckering über
die Objekte auf der inneren Fläche des
Plato angestellt hat.¹⁾ Er hat seit 1862
dort 11 der am besten sichtbaren kleinen
Kriater durch Mikroskopmessungen fest-
gelegt und später noch 40 andere ähn-
liche Objekte daraus zusammengesetzt. Von
diesen Kriatern hat nur einer 13' im
Durchmesser (2200 m), 3 andere sind
4,7' bis 5,3' (1340 bis 900 m) groß,
die übrigen kleiner nicht über 0,3
und unter 0,2' aus. Der zweit-
größte Kriaterhügel hat 200 m
Höhe über der Umgebung, ein anderer
höchsten 150, die übrigen kaum 50 m.
Durch Vergleich mit den frühesten An-
gaben der Beobachter der British Asso-
ciation kommt Prof. Peckering zu dem
Schlusse, daß einer der kleinen Kriater
verschwunden sei. Da es sich aber um
ein wenig kleines Objekt handelt, so
kann ich mich dieser Ansicht nicht an-
schließen.²⁾

9.

Rillen. Die mit diesem Namen be-
zeichneten schmale, senkrecht geneig-
te oder nur mäßig gekrümmte,

seiner geneigten Basis der Mond-
oberfläche sind bis auf 50 oder 60
schwer zu sehen. Viele entstehen nur
in besonderer Beleuchtung und werden
deshalb selbst zu großen Instrumenten
als ziemlich vergeblich gesucht, wäh-
rend sie zu gewissen Zeiten sehr deut-
lich sind. Es handelt sich bei den
Rillen um wirkliche Risse in der Mond-
oberfläche, und zwar solche von ge-
wöhnlichen Dimensionen. Die Frage, ob
dennige Bildungen noch heute vor-
zuhanden sind, ist aus den Beobachtungen
nicht mit Sicherheit zu beantworten.
Die Selensynopsen werden vom Kriater
Raman, welches J. Schmidt 1849,
Januar 4 entdeckte, hätte bekannt ge-
wogen sein, weil von Lohmann oder
Mädler gesehen worden können. Es
ist auffallend, daß beide Selensynopsen
dieser nicht aufgenommen haben,
doch möchte ich hierzu nicht unter-
dugt schreiben, daß die Rillen damals
noch nicht vorhanden waren. Mehrere
sehr stark Rillen in der Gegend
nördlich vom Ringelstein Anstich
und mehrere dort befindliche Kriater,
die J. Schmidt im Mai 1853 entdeckte,
hätten auf Mädlers Spezialkarte dieser
Region, und J. Schmidt hat sie im
Mai 1853 am Berliner Refraktor auch
nicht gesehen. Er läßt deshalb Men-
bildung oder „perforirte, lang dauernde
Bedeckung“ für wahrscheinlich. „Wenn
auch, sage ich, unbestritten bleibt, daß
Wechsel der Beleuchtung und der Lagen-
ten den größten Einfluß auf die ver-
schiedenartigen Scharfheit kleiner Ob-
jekte ausüben, so reicht in diesem Falle
meine Erfahrung nicht aus, und ich muss
zugeben, daß die den geringen Bildungen
resp. Widerlegungen, die übrigen nur
den Beobachter vorkommen, nicht aus-
reichend erscheinen.“ Dieser von
Schmidt diskutierte Fall ist in der Tat
merkwürdig. Für gewöhnlich sieht man
bei geringer Beleuchtung die Kriater
und Rillen beim Anstich auch so wie
sie Schmidt zeichnete, bei guter Gelegen-
heit habe ich diese Gegend aber auch
so gesehen, wie sie von Mädler dage-

¹⁾ Voyg. Suisse 1901, S. 170.

²⁾ Man vergesse hierbei die Be-
merkungen von Prof. Peckering bezüglich
meiner Kritik im Sinne, 1883, S. 151 u. d.

steil ist und dieses ganze Wiedergeborene bewahrt.

Amekah liegt die Sache für eine Rille beim Krater Bet (Thiel 8). Flial Niden nördlich von diesem liegt ein Hügel, der von einer tiefen, schmalen Schucht begrenzt ist, die sich als Rille gegen Bet hin durch die Flourschlingelt und östlich von diesem genannten Krater nachswendet. Müller und schon vor ihm Grallhauer haben gefunden, dass etwa 1 Meile nördwest von dem Rille beginnt, da sich ein kleiner meridionaler Krümmung nach 3 Meilen weiter südwärts zieht. Diese Rille ist später weder von Schmidt noch von Neesen weitergeben worden. Ich habe nur die große Mäule gegeben um kurz nach Sonnenanfang über jener Gegend wahrzunehmen, aber ohne Erfolg. Sonach konnte man die Rille für verschwandten halten, als sie plötzlich 1878, August 20, von Neesen in London und Gaudibert zu Vauca (Frankreich) wieder gegeben wurde. Während im Mäulen Zöfchen nur schwach gewesen als 1878, so Rille so dieser nicht sehen können. Zudem kann ich behaupten, dass 1868, Dezember 13 und 1878, März 12 die Rille nicht zu sehen war, weil ich bei hellster glänzender Luft vorzüglich durchsichtig zu erkennen konnte, das Rillen, die Mäule nur sehen konnte, selbst im hellen Tage auf der kleinen Hochtische zeigte. Man könnte hierbei in der Tat an die weiter unten zu besprechenden Bedeckungen gewisser Mondgebirge denken.

12.

Dunkle und helle Flecke des Mondbodens. Diese finden sich nicht über die Mondoberfläche verteilt, doch sind die meisten im nördlichen Bereich selten, häufiger trifft man sie im offenen, hügeligen Terrain. Ihre Verteilung in den Mondbergen von Lehman, Müller und Schmidt ist sehr unregelmäßig, selbst über Objekte, wie der dunkle durchsichtige Fleck im Alphonse, bemerkt keine Überbestimmung.

Wie wenig man aus der Nichtüberbestimmung dieser Selbsteigenschaften auf stoffgeordnete Verteilung im Inneren schließen kann, mag ein Beispiel statt weiter führen.

Östlich und nördlich oben dem Krater Tricentus, nahe der Mitte der Mondoberfläche, befindet Lehman auf Section I einer Mondkarte ein merkwürdiges System dunkler Bogenformate von schifförmiger Gestalt und nordwestlich davon einen großen elliptischen Fleck, in dem ebenfalls konzentrisch ein dunkler Bogen erscheint. Diese ganze Gestaltung ist äußerst charakteristisch, allein sie ist weder auf Müller noch auf Schmidt Mondkarte angegeben, was beweist, dass beide Selbsteigenschaften sie nicht gesehen haben. Auch ich habe viele Jahre vergebens danach gesucht und wurde es zu der Meinung kommen, dieses dunkle Gefilde sei nicht mehr in der alten Gestalt vorhanden. Dennoch ist dieses der Fall, dass am 28. Okt. 1881 zeigte sich ein glühendes als alte Uranus, wie die Lehmanns dargestellt hat.

Von wirklichen Veränderungen der Formen dunkler Flecke des Mondbodens ist völlig Sichern bis jetzt nicht nachgewiesen. Dagegen finden sich mehrere Veränderungen statt, welche in jeder Linsenzeit regelmäßig wiederholen. Auch Müller hat nur drei wenige Beobachtungen vor. Einige davon, die im Flach- und Hügellande zwischen Badewitz, Agrion und Hygiea sich befinden, habe ich wegen ihrer ungewöhnlichen Verhältnisse dem Anschein gemäße Zeit hindurch genauer verfolgt. Dabei ergibt sich, daß diese Veränderungen während jedes Mondumlaufes sich regelmäßig abspielen, geringe Abweichungen von dem normalen Verlaufe bemerkt ich nur als optische.

Daß aber doch gewisse dunkle Flecken bewahren merkwürdige Annahmen der Schärfezeit zeigen können,

1. Das Detail dieser Beob. findet sich Stern 1882, S. 128 u. 13.

letzten zwei kleine runde Fleckchen in der Nähe des Mondrandpols. Am 3. Dezember 1838 abends 8 Uhr sah Graßhagen ungefähr in der Gegend des Merkur nahe beim Nordpol des Mondes »zwei braunschwarze Flecken, als ob sie aus zwei Höhlen kämen«. Er skizzierte diese Flecke in einer Zeichnung mit Bleistift und Korbst, so daß die Färbung rechtlich sehr genau gewesen sein muß. Die Lokalität ist leider wegen der Lage der Flecke beim Mondrand nicht sicher zu identifizieren. Am 4. Septbr. 1841 morgens 4^h sah Graßhagen die Flecke wieder und schreibt: »Ausgesprochen waren die zwei Höhlen oder tiefen Gruben beim Merkur, wegen ihrer tiefen Schattirung in dieser Perlegründ, die schon hier (der tiefe Fleck) ist«. Diese dunklen Punkte (als ein erhöhter Mondbeobachter) Malter im Winter 1852—53 wieder gesehen und sie finden ihn durch ihre schwarze Färbung sehr auff¹). Der ganze Ort darauf war nicht zu bestimmen. Dreyer 6 9¹¹/₁₆, als die Rückgrate mitten im Merkur Ortum lag, sahen auch die Flecke »bräunlich dunkel, sehr beinahe, der nördliche rechtlich doppelt so groß als der südliche, die Färbung dunkler wie die irgend eines anderen Mondfleckes, der Ort unbestimmbar, weil die ganze Umgebung hell und ohne Schatten ist«. Die ungefähre Lage beschreibt der Beobachter, indem er angibt, die Flecke liegen ungefähr in der Mitte zwischen dem Mondrandpol und dem hohen Krater s. südlich bei Goldschmidt auf der Nemesiuschen Karte (im nächsten Volume) (1873 Januar 2) war am Orte der Flecke dunkle Schattirung sichtbar, Januar 3 waren die Flecke deutlich, aber matt, Januar 4 waren sie dunkler geworden. »Beide Flecke, sowohl der Beobachter, besonders der nördliche und schwarz, die Ränder bräunlich«. Der Ort wahrscheinlich beim Ruggenberge Ostschmidt, Januar 5, der große Fleck deutlich zu

letzten Rand des Westendes von Goldschmidt. Farbe dunkel braunschwarz, beinahe dunkler wie alle Schatten, die ganz erschienen im Vergleich zum Fleck«. Daß diese Flecke mit den Graßhagenschen identisch sind, unterliegt keinem Zweifel.

Sehr wenig oder eigentlich nichts weiß man über etwaige Veränderungen der kleinen hellen Flecke, die sich besonders im Vollmond, vor allem in den gelbgrünen Teilen der südlichen Mondhemisphäre zeigen. Manche beschränken das Ort kleinen Krater, bei anderen ist in selbiger Beziehung nichts von bestimmten Objekten wahrzunehmen. Ob einmal dieser letztere hellen Fleckchen soll Mäcken Zeit erst aufgebracht und, darüber ist sich nur Zeit durchaus nicht bestimmtes »aptn. Hartner können nur Vergleichen der photographischen Aufnahmen des Mondes beibringen, wenn ein solches aus einem unguten Zeitraum vorliegen werden

II.

Zeitweises Bedeckungen auf der Mondoberfläche Schröder und Graßhagen haben oft in abgelegenen Gegenden des Mondes erhebliche Überdeckungen wahrzunehmen gehabt. Bei Mäcken sahen solche Wahrnehmungen nicht vor, dagegen hat sie ja! Schmidt keineswegs für gänzlich ausgeschlossen. Ich bin geneigt, dem berühmten Selbigen zustimmen. Da es sich indessen nicht um Objekte handelt, die hoch über der Mondoberfläche schweben, sondern um solche, die unmittelbar auf dem Boden ruhen, und wie es scheint, oft lange Zeit unentdeckt verharren, so ist es schwierig zu einem völlig sichern Schluss zu gelangen. Eine merkwürdige Beobachtung dieser Art machte ich 1878 Nov. 1 am Krater Mauser. Das westliche Halbe nahm Ringwalden vor, sichtbar, ich sah dort nur eine verschwommenen Schatten und nach des Innern des Kraterbogens war ein von Halbescheitern erfüllt. Der dazwischen liegende Krater A war völlig

¹ Vgl. Simon 1881, Nr. 52.

Monat 1888. Heft 6.

scharf und zeigte silberweisse Schatten. Auch noch am folgenden Tage bestand das beschriebene Aussehen des Mondes fort. J. Schmidt sah 1854 Deutlich 26 in der Ebene des Äquators 3 Stunden lang zwei sehr deutliche weisse, schief-astige Punkte, die nicht Erscheinungen waren.

12.

Wichtigkeit der photographischen Aufnahmen des Mondes. Die photographischen Aufnahmen der Mondoberfläche unter verschiedenen Beleuchtungen, wie sie längst auf der Lickobservatorie, dann auf dem Pariser Observatorium, der Harvardsternearte und dem Pulkow auf dem Verzeichnissobservatorium gewonnen worden sind, müssen als theuer wertvolle Dokumente für die Selenographie betrachtet werden. Sie bezeichnen den Beginn einer neuen Epoche der Mondforschung. Das ist aber nicht alles in dem Sinne zu verstehen, daß diese Aufnahmen mehr Detail enthalten als etwa die Mädnersche Mondkarte — von der Schmidt'sche Karte ganz zu schweigen —, sondern deshalb, weil sie Darstellungen der einzelnen Mondregionen geben, die von Irrthümern der Zeichnung und Auslassungen gewisser Details, die auch beim sorgsamsten Inspectiren vorkommen, frei sind. Denn, weil sie den wirklichen Zusammenhang der

Mondformen, wie er sich aus der Vogelperspektive darstellt, in den Schattenwürfen enthalten und festhalten. Es ist daher völlig verfehlt, diese Photographien aus Unkenntnis zu vergrüßeln, in der Meinung, damit mehr Detail herauszubringen, sondern es muß bei möglicher Vergrößerung von Bewundern haben, was bei dergleichen, welche für den geübten Mondkundler des Pariser Observatoriums gewacht wurden ist. Die Verwendung solcher Darstellungen hat jedoch weitere Eindringnis in das Detail der Mondoberfläche so zu geschahen, daß bei gleichem oder ähnlichem Schattenwurf der Objekte, in großen Ferngläsern, die in diesen schärferen Bildern Objekte unmittelbar in die neben dem Fernrohr liegende photographische Karte eingetragen werden. Diese Methode habe ich vor Jahren dem obigen Mondkundler N. Krüger vorgeschlagen und er hat sie höchst erfolgreich angewandt. Leider hat vom letzterem Teil die Veröffentlichung selbst in dieser Weise durchgeführten Mondverleihen bei jetzt verbunden.¹⁾ Meiner Überzeugung nach können sich weitere Fortschritte in der Topographie des Mondes nur an Arbeiten dieser Art anknüpfen. Die Herstellung einer Mondkarte in wesentlich größerem Maßstabe der Schmidt'schen würde keinen Zweck haben.

Vermischte Nachrichten.

Über die Temperatur der Sonne.

Der französische Chemiker Moissan hat gefunden, daß electrische beheizte Metalle im electrischen Ofen verflüchtigt und destillirt werden können. Ferner hat er bereits nachgewiesen, daß Kohle und Kohlenstoff bei der hohen Temperatur des electrischen Ofens und bei Atmosphärendruck in den gasförmigen Zustand übergehen, ohne verflüchtigt zu werden, während Titan unter diesem Bedingungen flüchtig wurde. Wie neuer Versuche von Moissan zeigen, kann je-

doch auch Titan im electrischen Ofen durch einen Strom von 100 Ampere und 110 Volt während 5 Minuten, oder von 1000 Ampere und 56 Volt während 7 Minuten) destillirt werden, so daß mit Hilfe des electrischen Stromes alle auf der Oberfläche der Erde vorhandenen festen zusammengepressten Stoffe im gasförmigen Zustand

¹⁾ Nur Band I derselben ist 1898 erschienen unter dem Titel Mondkarte von J. N. Krüger Leipzig, E. B. Mayer, veranschaulicht durch 1000 Zeichnungen Krügers im Strich und in der Gaze.

übergeführt werden können. Diese Tatsachen veranlassen Massen zu Bemerkungen über die Temperatur der Sonne. Es ist sehr wahrscheinlich, daß die Sonnenmasse nicht nur aus gasförmigen Stoffen besteht, sondern diese haben oder fähiges Kern besitzt. Die maximale Temperatur des elektrischen Bogens, gemessen nach Volta, liegt nahe bei 3000°. Da bei dieser Temperatur alle bekannten Körper auf der Erde wie auf der Sonne gasförmig sind, so kann sich die Temperatur der Sonne kaum über 3000° erheben. Allerdings, indem geübter Drucke dient für unsere Atmosphärendruck gültigen Daten für die Verdichtung der verschiedenen einfachen und zusammengesetzten Körper; doch werden diese Temperaturen kaum viel höhere Zahlen als die bereits angegebenen erreichen und wahrscheinlich zwischen denen von Wilson (8500° C) und von Volta (3000—3000° C) schwanken und diesen letzteren näher stehen?

Bedeckung eines heißen Sterns durch den Planeten Venus. J. Ross bemerkt, daß Ende 9 dieses Jahres der Stern β Scorp. von Venus bedeckt werden wird. Ein solcher Vorgang ist selten und bei der Möglichkeit beider Gestirne kann derselbe möglicherweise wertvolle Andeutungen über die Eigenschaften der Venusatmosphäre geben. Der Zeitpunkt der Konjunktion ist 16.24 M. Z. Berlin. Aus der Stellung der Venus zur Sonne ergibt sich, daß die Beobachtungen am besten von Sonnenröhren auszuföhren sind.

Über die Gattungen und die Konfigurationen der Milchstraße hat Dr. Courvoisier Untersuchungen angestellt¹⁾, deren Resultate im Sinne²⁾ mitgeteilt worden sind. Prof. von Seeliger (München) veröffentlichte unlängst einen Artikel³⁾, in welchem er

den Ausführungen Dr. Courvoisiers entgegensteht. Wir entnehmen demselben folgenden: »Herr Courvoisier hat aus der Beobachtung von einigen Nebeln in der Milchstraße, welche die von Herrn R. Wolf zuerst benutzte Errechnung aufweisen, von rottem sternartigen Gegenstande beginnt zu sein, zwei Sätze abgelesen, nämlich, daß

1. sämtliche Verbindungsgeraden zwischen den Nebeln und einem Sternbogen in wesentlichem parallel zur Ebene der Milchstraße verlaufen,

2. die Strukturen des Sternbogens Cygnus zugewandt sind.

Ob nach dem Satze aus dem bisher verfügbaren Materiale wirklich mit solcher Sicherheit abgelesen lassen, daß sie als Ausdruck eines abgelaufenen Teilbestandes betrachtet werden dürfen, scheint mir fragenswerter zweifelhaft zu sein, denn sicherlich kann die Ercheinung bei einem Teil der von Herrn Courvoisier angeführten Objekte nur mit großer Unsicherheit und nicht ohne Willkür festgestellt werden. Indessen soll die Möglichkeit des Hinweises auf anziehende Geschwindigkeiten nicht gelugnet werden, selbst dann nicht, wenn dasselbe nur andeutungsweise hervortritt. Dergleichen ist nichts dagegen einzuwenden, wenn Erklärungsversuche sich auf vorläufiger Tatsachen zur Debatte aufgestellt werden, und selbst weit hergehende Analogien mögen in einem Gebiete zugelassen werden, wo schon die ersten theoretischen Ansätze den größten Schwankungen begegnen.

Herr Courvoisier hat die Bewegung der Sterne in der Milchstraße mit der Bewegung in einer inkompressiblen Flüssigkeit in Parallel gestellt und eine der möglichen Wirbelbewegungen zur Erklärung für das Vorkommen von Sternknoten in der Nähe von Milchstraßenbogens konzipiert. Dagegen lassen sich zwei Einwürfe, wie noch erörtert werden soll, gewichtige Bedenken erheben. Diese trüben aber als ganz unzureichend gegenüber der Tat-

¹⁾ Gazette math. 1911, 273, 1906 Arch. Math. Scand. 1906.

²⁾ Astron. Nachr. Nr. 4833.

³⁾ 1909, 5, 102.

⁴⁾ Astron. Nachr. Nr. 4894.

sache, daß Herrn Courvoisiers mathematische Entwicklungen gleichfalls verteilt sind und die veranschaulichte Analyse zwischen den vergleichenden Erörterungen gar nicht besteht. Der Erklärungsversuch des Herrn Courvoisier muß demnach als durchaus mangelhaft zurückgewiesen werden.

Die Bewegungen in Ausströmungen sehr vieler dünnster Massen, welche nur Querschnittswirkungen erleiden, läßt Prof. Seeligers fort, haben an sich wenig Ähnlichkeit mit der Bewegung von Flüssigkeiten. Insbesondere wird dies im allgemeinen innerhalb des Flötzensystems der Fall sein, wo die dünnsten Massen auch dort, wo sie sich ausbreiten können, wahrscheinlich durch große Zwischenräume voneinander getrennt sind. Hier treten demnach Zusammenstöße so selten auf, daß von ihnen zunächst wird abgesehen werden können. Die Grundlagen zu einigen Betrachtungen über die auftretenden Bewegungen sind demnach gleichfalls verschieden von denen, welche zur Erklärung hydrodynamischer Bewegungen führen.

In den wenigen Fällen, in denen solche Bewegungen vollständig behandelt werden können, handelt es sich meistens nicht um Querschnittswirkungen, welche bei kinematischen Problemen die Hauptrolle spielen, auch sei es im allgemeinen gleichwohl anzuschließen, daß die für kompressible Flüssigkeiten geltenden mathematischen Ergebnisse zu Analogieschlüssen für inkompressible Flüssigkeiten verwendet werden. Von diesem Gesichtspunkte aus würde es vielleicht einiges Interesse darstellen, gewisse Bewegungen in

kompressiblen Flüssigkeiten zu betrachten und mit denen innerhalb des Flötzensystems, wie ja tatsächlich ähnliche Vorgänge wie z. B. Stößen von Vorwärtsschiebern, zu vergleichen. Man würde sich aber immer hüten müssen, solchen in jedem Fall nur äußerlichen Analogien, wenn sie sich herstellen lassen sollten, eine wirklich erklärende Bedeutung zuzuschreiben. Noch andere verhalte sich das Sachde, wenn man spezielle hydrodynamische Resultate, z. B. die Theorie der Wirbelbewegungen, zum Vergleich heranzieht, wie Herr Courvoisier gütig.

Die Wirbeltheorie, bekannt Prof. von Seeligers, gibt keine Auskunft darüber, wie bekannter Wirbel entsteht und unter welcher wird der Vorhandensein angenommen. Sie würde also auch entsprechenden Falls die Frage nach dem Entstehen gewisser Bewegungsformen, welche in der Flötzenausströmung das hauptsächlichste Interesse beansprucht, ganz offen lassen. In jedem Falle würde es sich bei der Heranziehung der Resultate der Wirbeltheorie nur um sehr entfernte Analogien handeln können, deren Zuhilfenahme um so ungünstiger sein wird, wenn nur derjenige Teil der Wirbeltheorie in Betracht gezogen wird, der sich mit inkompressiblen Flüssigkeiten beschäftigt, wie Herr Courvoisier tat.

Schließlich zeigt Prof. v. Seeligers, daß die mathematische Behandlung, welche Dr. Courvoisier dem Problem angedeihen läßt, nicht richtig ist. Besonders dieses mathematische Teiles muß auf Prof. von Seeligens Artikel selbst hingewiesen werden.

Astronomischer Kalender für den Monat Oktober 1906.

Tag	Sonne						Mond						
	Mittlere Berliner Mitterg.						Mittlere Berliner Mitterg.						
	Zeitgl. M. E. — M. Z.	Rektaascension			Declination			Rektaascension			Declination		
	h m s	h m s	h m s	h m s	h m s	h m s	h m s	h m s	h m s	h m s	h m s	h m s	h m s
1	18 47.8	13 37	8 59	—	8 55 19.4	32 45 35.00	—	8 55 19.4	32 45 35.00	—	8 55 19.4	32 45 35.00	13 37 8 59
2	18 48.0	13 36 30.81	2	13 36 30.81	8 54 39.33	—	8 54 39.33	—	8 54 39.33	—	8 54 39.33	13 36 30.81	13 36 30.81
3	18 48.49	13 35 14.58	3	13 35 14.58	8 53 47.4	+	8 53 47.4	+	8 53 47.4	+	8 53 47.4	13 35 14.58	13 35 14.58
4	18 49.107	13 33 59.43	4	13 33 59.43	8 52 59.27	7	8 52 59.27	7	8 52 59.27	7	8 52 59.27	13 33 59.43	13 33 59.43
5	18 50.74	13 32 44 30.00	5	13 32 44 30.00	8 52 14.4	12	8 52 14.4	12	8 52 14.4	12	8 52 14.4	13 32 44 30.00	13 32 44 30.00
6	18 52.74	13 31 28.64	6	13 31 28.64	8 51 32.9	19	8 51 32.9	19	8 51 32.9	19	8 51 32.9	13 31 28.64	13 31 28.64
7	18 55.04	13 30 13.48 07	7	13 30 13.48 07	8 50 54.4	27	8 50 54.4	27	8 50 54.4	27	8 50 54.4	13 30 13.48 07	13 30 13.48 07
8	18 57.59	13 28 59.41	8	13 28 59.41	8 50 19.9	35	8 50 19.9	35	8 50 19.9	35	8 50 19.9	13 28 59.41	13 28 59.41
9	18 60.307	13 27 46 8 28	9	13 27 46 8 28	8 49 48.7	43	8 49 48.7	43	8 49 48.7	43	8 49 48.7	13 27 46 8 28	13 27 46 8 28
10	18 63.76	13 26 33.61	10	13 26 33.61	8 49 21.1	51	8 49 21.1	51	8 49 21.1	51	8 49 21.1	13 26 33.61	13 26 33.61
11	18 67.04	13 25 20 35.58	11	13 25 20 35.58	8 48 56.9	59	8 48 56.9	59	8 48 56.9	59	8 48 56.9	13 25 20 35.58	13 25 20 35.58
12	18 70.99	13 24 08 30.39	12	13 24 08 30.39	8 48 35.4	67	8 48 35.4	67	8 48 35.4	67	8 48 35.4	13 24 08 30.39	13 24 08 30.39
13	18 75.77	13 22 56 51.07	13	13 22 56 51.07	8 48 16.4	75	8 48 16.4	75	8 48 16.4	75	8 48 16.4	13 22 56 51.07	13 22 56 51.07
14	18 80.43	13 21 45 37.00	14	13 21 45 37.00	8 48 00.7	83	8 48 00.7	83	8 48 00.7	83	8 48 00.7	13 21 45 37.00	13 21 45 37.00
15	18 85.00	13 20 34 38.61	15	13 20 34 38.61	8 47 47.4	91	8 47 47.4	91	8 47 47.4	91	8 47 47.4	13 20 34 38.61	13 20 34 38.61
16	18 89.49	13 19 24 35.93	16	13 19 24 35.93	8 47 36.9	99	8 47 36.9	99	8 47 36.9	99	8 47 36.9	13 19 24 35.93	13 19 24 35.93
17	18 94.86	13 18 15 44 19	17	13 18 15 44 19	8 47 29.1	107	8 47 29.1	107	8 47 29.1	107	8 47 29.1	13 18 15 44 19	13 18 15 44 19
18	18 100.00	13 17 06 52.64	18	13 17 06 52.64	8 47 23.5	115	8 47 23.5	115	8 47 23.5	115	8 47 23.5	13 17 06 52.64	13 17 06 52.64
19	18 105.00	13 16 00 33.71	19	13 16 00 33.71	8 47 19.9	123	8 47 19.9	123	8 47 19.9	123	8 47 19.9	13 16 00 33.71	13 16 00 33.71
20	18 110.00	13 14 54 35.00	20	13 14 54 35.00	8 47 18.4	131	8 47 18.4	131	8 47 18.4	131	8 47 18.4	13 14 54 35.00	13 14 54 35.00
21	18 115.00	13 13 48 36.00	21	13 13 48 36.00	8 47 18.4	139	8 47 18.4	139	8 47 18.4	139	8 47 18.4	13 13 48 36.00	13 13 48 36.00
22	18 120.00	13 12 42 36.00	22	13 12 42 36.00	8 47 19.9	147	8 47 19.9	147	8 47 19.9	147	8 47 19.9	13 12 42 36.00	13 12 42 36.00
23	18 125.00	13 11 36 36.00	23	13 11 36 36.00	8 47 23.5	155	8 47 23.5	155	8 47 23.5	155	8 47 23.5	13 11 36 36.00	13 11 36 36.00
24	18 130.00	13 10 30 36.00	24	13 10 30 36.00	8 47 29.1	163	8 47 29.1	163	8 47 29.1	163	8 47 29.1	13 10 30 36.00	13 10 30 36.00
25	18 135.00	13 09 24 36.00	25	13 09 24 36.00	8 47 36.9	171	8 47 36.9	171	8 47 36.9	171	8 47 36.9	13 09 24 36.00	13 09 24 36.00
26	18 140.00	13 08 18 36.00	26	13 08 18 36.00	8 47 47.4	179	8 47 47.4	179	8 47 47.4	179	8 47 47.4	13 08 18 36.00	13 08 18 36.00
27	18 145.00	13 07 12 36.00	27	13 07 12 36.00	8 47 60.0	187	8 47 60.0	187	8 47 60.0	187	8 47 60.0	13 07 12 36.00	13 07 12 36.00
28	18 150.00	13 06 06 36.00	28	13 06 06 36.00	8 47 75.0	195	8 47 75.0	195	8 47 75.0	195	8 47 75.0	13 06 06 36.00	13 06 06 36.00
29	18 155.00	13 05 00 36.00	29	13 05 00 36.00	8 47 91.9	203	8 47 91.9	203	8 47 91.9	203	8 47 91.9	13 05 00 36.00	13 05 00 36.00
30	18 160.00	13 03 54 36.00	30	13 03 54 36.00	8 48 00.7	211	8 48 00.7	211	8 48 00.7	211	8 48 00.7	13 03 54 36.00	13 03 54 36.00

Planetenkonstellationen 1906.

Oktober	h	min	Planet in Konstellation mit dem Sonne
1	0	0	Neptun in Konstellation mit dem Sonne.
2	0	0	Merkur in Konstellation mit dem Sonne.
3	7	10	Merkur in Konstellation mit dem Sonne.
4	17	10	Merkur in Konstellation mit dem Sonne.
5	0	0	Merkur in Konstellation mit dem Sonne.
6	0	0	Merkur in Konstellation mit dem Sonne.
7	10	0	Merkur in Konstellation mit dem Sonne.
8	17	10	Merkur in Konstellation mit dem Sonne.
9	0	0	Merkur in Konstellation mit dem Sonne.
10	0	0	Merkur in Konstellation mit dem Sonne.
11	0	0	Merkur in Konstellation mit dem Sonne.
12	0	0	Merkur in Konstellation mit dem Sonne.
13	0	0	Merkur in Konstellation mit dem Sonne.
14	0	0	Merkur in Konstellation mit dem Sonne.
15	0	0	Merkur in Konstellation mit dem Sonne.
16	0	0	Merkur in Konstellation mit dem Sonne.
17	0	0	Merkur in Konstellation mit dem Sonne.
18	0	0	Merkur in Konstellation mit dem Sonne.
19	0	0	Merkur in Konstellation mit dem Sonne.
20	0	0	Merkur in Konstellation mit dem Sonne.
21	0	0	Merkur in Konstellation mit dem Sonne.
22	0	0	Merkur in Konstellation mit dem Sonne.
23	0	0	Merkur in Konstellation mit dem Sonne.
24	0	0	Merkur in Konstellation mit dem Sonne.
25	0	0	Merkur in Konstellation mit dem Sonne.
26	0	0	Merkur in Konstellation mit dem Sonne.
27	0	0	Merkur in Konstellation mit dem Sonne.
28	0	0	Merkur in Konstellation mit dem Sonne.
29	0	0	Merkur in Konstellation mit dem Sonne.
30	0	0	Merkur in Konstellation mit dem Sonne.

Planeten-Ephemeren.

Merkur (Mercury) Montag.						Mars (Mars) Montag.							
Rechnung für	Rektascension			Declination	Circulus Meridianus horolog.	Rechnung für	Rektascension			Declination	Circulus Meridianus horolog.		
	h	m	s				h	m	s				
Merkur													
Oct. 4	12	22	42.00	— 7.50.40.0	0.50	Oct. 28	12	49	19.00	— 8.01.14.5	0.50		
	15	12	49	19.00	— 8.01.14.5	0.50		16	12	23	17.00	— 8.02.5	0.50
	16	12	23	17.00	— 8.02.5	0.50		28	12	59	58.00	— 7.58.5	0.50
	28	12	59	58.00	— 7.58.5	0.50		29	12	0	18.00	— 7.54.50.0	0.45
	29	12	0	18.00	— 7.54.50.0	0.45		30	12	25	14.00	— 7.49.58.5	1.0
	30	12	25	14.00	— 7.49.58.5	1.0							
Venus													
Oct. 4	12	23	12.00	— 23.45.18.0	0.40	Oct. 28	12	55	52.00	— 24.29.52.0	1.00		
	15	12	55	52.00	— 24.37.37.0	0.55		29	12	58	48.00	— 24.19.50.0	0.55
	16	12	0	12.00	— 24.38.5	1.00		30	12	59	50.00	— 24.08.18.0	1.10
	28	12	55	52.00	— 24.29.52.0	1.00							
	29	12	58	48.00	— 24.19.50.0	0.55							
	30	12	59	50.00	— 24.08.18.0	1.10							
Mars													
Oct. 4	12	12	42.00	+ 7.13.58.0	10.10	Oct. 28	1	2	27.0	Volcanos.			
	15	12	58	58.00	+ 6.54.0	10.0		10	1	28.0	Little Volcan.		
	16	12	54	54.00	+ 6.48.49.5	11.50		17	1	29.0	Pease Volcan.		
	28	12	59	58.00	+ 6.33.10.5	11.40		26	1	43.0	Great Volcan.		
	29	12	51	51.00	+ 6.17.50.0	11.30		30	1	50.0	Volcanos.		
	30	12	0	50.00	+ 6.02.57.5	11.20							
Jupiter													
Oct. 10	0	48	27.00	+ 28.47.0.0	17.30	Oct. 7	2	0	—	Mars in Saturnus.			
	20	0	47	26.00	+ 28.48.50.0	18.10		18	2	—	Mars in Jupiter.		
	30	0	46	0.00	+ 28.48.00.0	18.15							
Woodhouse.													
h m s													
Oct. 7	1	2	27.0	Volcanos.									
	10	1	28.0	Little Volcan.									
	17	1	29.0	Pease Volcan.									
	26	1	43.0	Great Volcan.									
	30	1	50.0	Volcanos.									
	7	2	0	Mars in Saturnus.									
	18	2	—	Mars in Jupiter.									

Stärkewirkungen durch den Mond für Berlin 1900.

Anstrich	Zinn	Größe	Einheit		Auszeit	
			h	m	h	m
Oktober 4	1 ^o Gold	10	1	10.0	7	11.0
4	2 ^o Gold	10	10	10.0	17	11.0
10	1 Capromal	10	7	10.0	8	10.0

Lage und Größe des Saturnrings (nach Struve)

Oktober 1.	Große Achse des Ringflügels	42.00"	Kleine Achse	4.00"
	Erhöhungswinkel der Erde über den Ringflügel	1° 30' 30"		
Oktober 7.	Mittlere Scheitel des Ringflügels	57° 37'	1.00"	
	Weite	127° 31'	10.00"	
	Halbmesser der Sonne	16'	0.45"	
	Parallaxe		0.54"	

Stellungen der Jupitermonde im Oktober 1906.



Stellungen von links für den Ausblick im astronomischen Fernrohr.

Tag	West				Ost			
1		1	2	3		4		
2			5	6			7	
3			8	9		10		11
4				12		13		14
5				15		16		17
6	18		19	20		21		22
7		23		24		25		26
8		27	28	29		30		
9		31		32		33		
10			34	35		36		
11				37		38		39
12				40		41		42
13				43		44		45
14				46		47		48
15				49		50		51
16				52		53		54
17				55		56		57
18				58		59		60
19				61		62		63
20				64		65		66
21				67		68		69
22				70		71		72
23				73		74		75
24				76		77		78
25				79		80		81
26				82		83		84
27				85		86		87
28				88		89		90
29				91		92		93
30				94		95		96
31				97		98		99
1				100		101		102
2				103		104		105
3				106		107		108
4				109		110		111
5				112		113		114
6				115		116		117
7				118		119		120
8				121		122		123
9				124		125		126
10				127		128		129
11				130		131		132
12				133		134		135
13				136		137		138
14				139		140		141
15				142		143		144
16				145		146		147
17				148		149		150
18				151		152		153
19				154		155		156
20				157		158		159
21				160		161		162
22				163		164		165
23				166		167		168
24				169		170		171
25				172		173		174
26				175		176		177
27				178		179		180
28				181		182		183
29				184		185		186
30				187		188		189
31				190		191		192

Fig. 1

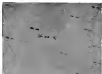
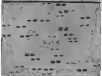


Fig. 2



Fig. 3



SIRIUS.

Zeitschrift für populäre Astronomie.

Centralorgan für alle Freunde und Förderer der Himmelskunde.

Herausgegeben

unter Mitwirkung hervorragender Fachkollegen und auswärtiger Schriftsteller

von Prof. Dr. Hermann J. Eisele in Köln.

September 1906.

„Wissen und Erkennen sind die Freunde und die
Beschützer der Menschheit.“ Kant.

Jeden Monat 1 Heft. — Jährlich 12 Mk.

Verlag von EDUARD HEINRICH MAYER in Leipzig.

INHALT: Die Gestalt und Größe der Erde. Von Dr. Klein. S. 183. — Die Längenbestimmung auf dem Nordpolarweg. S. 191. — Bestimmung der Eigenbewegungen von Fixsternen durch die Sternwarte (Polaris Teil II). S. 205. — Ein Vorschlag zur Durchsicherung des Himmels nach veränderlichen Sternern. S. 204. — J. H. Dreyer über die Lichtverhältnisschwierigkeiten des Sonnensystems. (Jahrbuch). S. 204. — Die Aufgabe des astrophysikalischen Observatoriums in Potsdam 1905. S. 206. — Veränderte Planetenringe. S. 211. — Astronomischer Kalender. S. 213. — Störungen der Jupitermonde. S. 218. — Erscheinungen der Jupitermonde. S. 219. — Störungen der Saturnmonde. S. 224.

Die Gestalt und Größe der Erde.

Von Dr. Klein.

Entdeckungen über die Größe und die Gestalt der Erde stehen immer bei uns Alberten; aber wir sind in jenen entlegenen Zeiten nur äußerst unvollkommen gewesen und wissen heute, entsprechend dem gesteigerten Zustande der Wissenschaften bei den Alten. Es ist nicht meine Absicht hier eine Übersicht der Meinungen über die Gestalt der Erde bei den Philosophen und Schriftstellern des Altertums zu geben, doch will ich hervorheben, daß schon vor Aristoteles die scharfsinnige, unser Zeit in mancher Beziehung weit vorausgegriffene Eudoxos durch Messungen der Winkelabstände von Sternen die sphaerische Krümmung der Erdoberfläche erkannte, wenn er auch, wie Schaubach¹⁾

behauptet, niemals eine bestimmte Theorie über die Gestalt der Erde aufstellte. Aristoteles dagegen gebietet das Verdienst, durch ganz richtige, trotzdem in ihrer ganzen Tragweite von ihm nur nicht erkannt Schätze, die wahre Gestalt der Erde im großen und ganzen erkannt zu haben²⁾. Er gibt sogar, unter allen Umständen, einen Wert für die Größe der Erde an, deren Umfang er — nach den Bestimmungen früherer Mathematiker — auf 400-500 Stadien schätzte³⁾. Schon die Abweichung dieser Zahl beweist, daß sie nichts anderes als ein roher Überschlag sein konnte und daß aus dem Vorhandensein aller Nachrichten über die Messungen, aus denen er hervorgegangen sein soll, nicht ver-

¹⁾ Schaubach, Geogr. d. griech. Alter bis auf Konstantin. Göttingen 1802, S. 227.

Sirius 1886, Heft 9.

²⁾ Arist. de celo II, 4.

³⁾ A. u. O., Kap. 14.

Die Erfindung der ersten Messung zur Bestimmung der Erdkreisumfangs knüpft sich an das Namen von Eratosthenes, der unter Ptolemäus Dargestellter Vordrucker der alexandrischen Bibliothek war. Er muß nach der Angabe am Tage des Sommerwertschaltens die Ziffern der Sonnenstandspunkte zu Alexandria, und fand die gleich $\frac{1}{50}$ des ganzen Perimeters oder gleich $7^{\circ} 12'$. Andererseits wußte er, daß in hohen Breiten zu Syene in Oberägypten die Sonne sich am Mittage desselben Tages auf der Wasseroberfläche spiegelt, folglich dort ebenso wie in Zenträthien steht. Das Resultat der Karawanen legte für die Entfernung beider Städte einen Wert von 5000 Stadien und Eratosthenes schloß daraus auf einen Gesamtumfang der Erde von 25000 Stadien $\frac{1}{5}$.

Wie weit sich dieses Resultat von der Wahrheit entfernt, ist nicht zu ermitteln, da die Länge des Stadiums heute keinen genauen ist. Dagegen ist es allerdings möglich, die Genauigkeit der Bestimmung des Breitenunterschiedes zwischen beiden Städten zu untersuchen, wobei sich ergibt, daß sie nur sehr gering ist.

Die geogr. Breite von Alexandria ist $31^{\circ} 12' 30''$,

die Länge = $18^{\circ} 52' 30''$ ost. von Paris.

Die geogr. Breite von Syene ist

$34^{\circ} 34'$,

die Länge = $25^{\circ} 35'$ ost. von Paris.

Nimmt man die Erde kugelförmig an, so ergibt diese einfache Rechnung den wahren Breitenunterschied beider Städte oder vielmehr den Bogenabschnitt ihrer Parallelkreise an Meridian von Alexandria zu $7^{\circ} 44' 3''$, also den Fehler der Eratosthenischen Bestimmung zu $- 33' 5''$ oder $\frac{1}{15}$ des Ganzen. Nicht minder fehlerhaft sowohl im geographischen als astronomischen Teile — unserer Kenntniss auf einer solchen Schätzung — sind die Versuche von Ptolemäus. Er fand die Differenz der Meridianlängen

des Sterns Kappa zwischen Rhodus und Alexandria gleich $\frac{1}{50}$ des Kreisumfangs oder gleich $7^{\circ} 12'$, woraus bei der angenommenen Distanz beider Orte von 5000 Stadien, sich die Größe des Erdumfangs zu 25000 Stadien ergab $\frac{1}{5}$. Vergleicht man dieses Resultat mit dem von Eratosthenes erhaltenen, so ergibt sich die Mangelhaftigkeit beider Bestimmungen. Die frühesten zuverlässige Größensatzung, welche noch gegenwärtig Wert besitzt, ist dagegen, welche im Auftrage Ludwig XIV. in den Jahren 1733 bis 1744 von Bouguer, La Caille, Godin und Lilius zwischen Tarpa und Carthago auf den Hochbergen der peruanischen Cordillere ausgeführt wurde. Die fast gleichzeitige Messung einer dem Polarschein hat dagegen keinen Wert, so wurde leider nicht dem geordneten schwedischen Astronomen Celsius, sondern Klaproth anvertraut, dem letzterer nur ungenügend, nachher Lilius, spielte die Örtlichkeit und das heißt ihm, die Direction der wichtigsten Triangulation zu erhalten. $\frac{1}{5}$

Die Größensatzungen gestatten gleichwohl zu ermitteln die Größe und die Gestalt des Kugelförmigen unserer Erde. Auf diesem Wege hat Bessel $\frac{1}{5}$ aus 10 Größensatzungen, welche zusammen einen Bogen von $50^{\circ} 34'$ umfassen, folgende Elemente des elliptischen Rotationsquaders der Erde gefunden:

Radius des Äquators 3272 077 1369

„ „ „ 3264 139 3234

Allen in Einheiten der Länge des Meridians zu $+ 13''$ R. Für die Abplattung ergibt sich aus diesen Achsenverhältnissen

$$e = \frac{1}{299.152818}$$

Die minder ausgeprägten und auch theoretisch ungenügenden früheren Bestimmungen hatten fast durchgehends eine weit kleinere Abplattung ergeben. Laplace

$\frac{1}{5}$ Westrich Ann. des. math. 3, 200

$\frac{1}{5}$ Westrich, z. u. O., IV, 149

$\frac{1}{5}$ Astron. Nachr. Nr. 126

$\frac{1}{5}$ Phil. Mag. nat. II, 108.

hied⁷⁾ unter Zugrundelegung der Messungen in Peru, am Kap der guten Hoffnung, in Persien, in Indien und Ostindien, sowie der großen französischen Messung von Dürerich bis

Bombay die Abplattung = $\frac{1}{312}$, die

französische Messung für sich berechnet, lieferte sogar den Wert $\frac{1}{133.8}$, welcher

theoretisch ganz unmöglich ist. Daß aber nicht als Fehler in den analytischen Entwicklungen dieses durchaus unzulässige Resultat bedingt, ergibt sich aus den Untersuchungen von Poissant, welcher aus der sinesischen französischen Messung auch das eigenthümliche

Formeln der Abplattung = $\frac{1}{148}$ fand⁸⁾.

Bei der ungemeinen Sorgfalt, welche auf alle Theile der wichtigen französischen Triangulation verwendet wurde, ist diese Abweichung nur durch lokale Abweichungen, die sich in der Ableitung des Resultats, in der Verschiebung des wahren Zenithpunktes, offenbaren, erklärlich. Die englische Gradmessung geht für sich ebenfalls eine unzulässige Abplattung. Es kann somit nicht auffallen, daß das Bestehen der Astronomen sich darauf stützte, aus ihrer möglichst großen Zahl von Gradmessungen mehrere Werte für die Durchmesser und die Abplattung der Erde abzuleiten.

Beide Rechnungen umfassen, wie bemerkt, einen Bogen von 58° 34'. Sie datiren aus dem Jahre 1848. Seit dieser Zeit sind ungedruckte neue Gradmessungen mit den vorhandenen hinzugekommen, und Colwell junior, der selbst eines heilsuchenden Axters an der englischen Triangulation geworden, geht vor wenig Jahren zu Resultat einer neuen Berechnung⁹⁾ welche sich auf

einen Bogen von 58° 36' stützt, folgende Elemente der Erdoberfläche:

Radius des Äquators = 6178210 m
" der Pole = 6156562 "

Abplattung = $\frac{1}{294.36}$

Eine andere Untersuchung der Ergebnisse der vorzüglichsten Breitenmessungen hat etwas später Kapteis Clarke zugestimmt¹⁰⁾.

Für seinen Zweck wurden die Normalmessungenungen, welche bei den verschiedenen Triangulationen benutzt worden waren, genau mit den englischen Standards in Southampton verglichen. Clarke ging bei seinen Rechnungen von der Voraussetzung aus, die Erde besitze die Gestalt eines dreieckigen Ellipsoids und benutzte 6 Gradmessungen die zusammen einen Bogen von 71° 37' umfassen. Er fand

Große halbe Achse Tollens
des Äquators = 3272537.3

Kleine halbe Achse
des Äquators = 3271548.1

Halbe Polachse = 3261153.8

Polare Abplattung = $\frac{1}{285.97}$

Die Annahme, unsere Erde habe die Gestalt eines dreieckigen Ellipsoids ist zwar an und für sich nicht unzulässig, aber somit spricht doch nichts dafür, und die spätem angegebenen Messungen der Schwerkraft an zahlreichen Punkten müßte das Resultat, indem ergeben, daß die mathematische Erdgestalt sehr nahe die Form eines abgeplatteten Umdrehungsellipsoids besitzt, der Äquator also kreisförmig ist. Unter dieser Voraussetzung fand ich von den von Clarke benutzten Gradmessungen folgende Werte:

Halbmesser des
Äquators = 3272492.2 Tollens

Halbmesser der
Pole = 3261388.4 "

Abplattung = $\frac{1}{294.08}$

¹⁰⁾ Comparison of the Standards of Length of England etc. London 1866.

⁷⁾ Méz. astron. Le. II, chap. 4. S.

⁸⁾ Poissant, Traité de Géodésie, vol. II, 348.

⁹⁾ Proceedings of the Royal Society, vol. XV.

stündige Material hat dann Gehl-
bst Prof. F. R. Helmert zu setzen und
verlassenen Rechnungen benutzt und
im Jahre 1901 der Preuss. Akademie
der Wissenschaften als Ergebnis der-
selben mitgeteilt, daß für die Abplattung
der Erde aus den Messungsergebnissen

für die Schwerkraft $\frac{1}{289.13}$ annehmen
sol.

Dieses Resultat muß also zuerst
als das genaueste aus den Beobach-
tungen direkt abgeleitet angesehen
werden. Gehl-Prof. Helmert hat nun
unter Zugrundelegung dieser Er-
kenntnis eine Berechnung des
Radius des Äquators durchführen lassen,
und die ersten Ergebnisse der Künigl-
Preuss. Akad. der Wissensch. mitgeteilt
vorgelegt.¹⁾ Es wendet dabei an geo-
metrischen Gegebenen der Bessel'sche Ab-
plattungswert $\frac{1}{298.15}$ beibehalten, weil

er von dem eigens nur innerhalb der
mittleren Polhöhenkreise abweicht. Das
Princip dieser Untersuchungen ist also
das gleiche, welches ich vor 30 Jahren
zuerst rechnerisch angewendet habe,
nämlich: Annahme des Abplattungs-
wertes gemäß den Schwermessungen,
Berechnung der Größe des Halbmessers
des Äquators der Erde aus den Grad-
messungen bei Voraussetzung, daß die
Erde nahezu der Gestalt eines abge-
platteten Umdrehungsellipsoids besitzt.
Nützlich sind die Unterlagen, welche
Gehl-Prof. Helmert jetzt benutzt, weit
ausgedehnter und einer früheren Arbeit
hat derselbe nur geschichtlichen Interesse.
Es sind die Ergebnisse mehrjähriger
Untersuchungen, die Prof. Helmert
jetzt selbst, wobei er sich zunächst auf
die deutschen großen Gradmessungen
beschränkt. Sie führen, um dieses Er-
gebnis gleich vorweg zu nehmen, eben-
falls auf eine Vergrößerung des von
Bessel gebildeten Wertes für den Halb-
messer des Äquators und zwar um Be-

trage von etwa 750 m. Die Rechnungen
sind zum größten Teil von Prof. Dr.
Schumann (Jachen) ausgeführt worden.
In erster Linie beruhen sie also auf die
genau nachschonendste Bestim-
mung, welche in der ersten
Hälfte des 19. Jahrhunderts auf An-
regung und unter Mitwirkung von
F. G. W. Struve ausgeführt worden ist.
Die Rechnung von Prof. Schumann er-
gibt, daß diese Gradmessung eine Ver-
größerung des Bessel'schen Äquator-
radius der Erde um 1038 m fordert.
«Göteborg» sagt Prof. Helmert: «Für die
Kürzung des russisch-englischen Meridian-
triefens ist ohne Zweifel der
Ursache, daß er sich durchaus in ebenen
Oegenen fast von Göttingen hält, und
daß auch das an den nördlichen Bogen-
mit ungenügender Entfernung nur die
geringe Tiefe von etwa 300 m anwächst.»

«Zerlegt» läßt Prof. Helmert fort,
«der russisch-englische Meridian-
bogen das europäische Festland in zwei
Teile, von währernd gleicher Aus-
dehnung in geographischer Länge, so
hat der bekannte große westeuropäische
Bogen nahe dem Pariser Meridian mit
seiner Verlängerungen nach Norden
durch England und Schottland bis zu
den Shetlandinseln, und nach Süden
durch Spanien und Algierien, eine
wesentlich andere Lage, indem er sich
dem westlichen Abfall der kontinentalen
Küste am Atlantischen Ozean auf 150
bis 1800 km (je nach westwärts) abhebt.
Auch hat die physische Erdoberfläche
im Gebiete dieses Bogens eine weit
weniger günstige Gestaltung, namentlich
in der südlichen Hälfte, infolgedessen
auch der Anschluß der berechneten
an die beobachteten ungenügender aus-
fällt. Die Messungen für dieses, gegen-
wärtig auf 27° Amplitude (von 13°
45' bis 60° 30') ausgedehnten Bogen
erstrecken sich über mehr als ein Jahr-
hundert bis zur Gegenwart».

Bei der Berechnung wurde sowohl
der ganze Streifen behandelt, wie auch
der nördliche und südliche Teil der

¹⁾ Sammlungen d. Kgl. Preuss. Akad. d.
Wissensch. 1901. XXVII, S. 128.

Ordnungsmasse. Der Querschnitt einer Vergrößerung des Äquatorradius um 108 m gegen Radius Mittel. Der nördliche Teil ergab eine solche von 186 m, der südliche von 145 m. Hiermit besteht die beiden Teile eines beträchtlichen Unterschied im äußeren Krümmungsradius, nämlich 643 m, dessen mittlerer Fehler aber rund ± 500 m ist. Die Richtigkeit der Bestimmung ist also nicht besonders sicher.

Dem charakteristischen großen Unterschied entspricht nun auch eine stark abweichende Sondernormierung des Straßens. Prof. Holmström findet diese 1 361,4. Der stark vergrößerten Abplattung entsprechend ergibt sich für den Äquatorradius ein Zuwachs von 1058 m gegen Mittel.

«Vergleicht man», sagt Prof. Holmström «die Ergebnisse (für die Vergrößerung des Äquatorradius um 108 m) der russisch-asiatischen Meridianbogen und des westeuropäisch-afrikanischen Meridianbogens miteinander, so fällt der große Unterschied auf: 1058 gegen 135, der die mehrungsmäßige Unterschied von rund ± 280 m erheblich überschreitet und einen wirklichen Unterschied in der äußeren Krümmung der betreffenden meridionalen Oberfläche darstellt dürfte. Der Unterschied von 100 m verliert allerdings etwas von seinem überraschenden Charakter, wenn man bedenkt, daß schon der westliche Strahlen in sich einen Unterschied von noch größerem Betrage zwischen der nördlichen und südlichen Hälfte aufweist.

«Es handelt sich hier um Einflüsse geographischer Massenverteilungen kontinentalen Charakters, schon 1889 wurde eine solche durch die Berechnung der großräumigen Verbindung beider Meridianbogen erkannt, welche Börsch Meyer und Sohn im Zentralbüro der internationalen Erdmessung ausführten, wobei sich zeigte, daß der russische Bogen unter positiven Lotabweichungen steht, wenn man vom englisch-Asi-

atischen Bogen (in der kleinen Ausdehnung) ausgeht. Dies konnte ich damals (1893) so deuten, daß von der kontinentalen Masse Europa ein gewisser kleiner Teil nicht von der unterirdischen Kompensation, die die Ozeanisch-massenträger der Erdkruste voraussetzt, betroffen wird und also nur Wirkung zeigt. Der Vorzeichen (der Vergrößerung des Radius) liegt einem Teilchen, der der Kräfte ebenfalls ungefähr gleich nahelegt, wie in West-europa-Meridian, zeigt aber, daß Massenverteilungen gleichen Betrages wie jene Kompensationsanordnungen doch auch nach auf andere Art entstanden sein mögen. Zu einer Untersuchung derselben auf Grund der Schwerstörungen fehlt es an Material, ausgedehnte negative Anomalien (die schon bei geringen Beträgen für die Figur der Erde bedeutungsvoll sind) können nicht ohne eingehende Untersuchungen von dem lokalen und wenig ausgedehnten Anomalien regionalen Charakter getrennt werden.

«Was großes Interesse ist nun die Bestimmung der Ergebnisse der ausgeführten europäischen Längengradmessung in 52° Br. Sie umfaßt bereits 69 Längengrade, was etwa 42 Breitengrade entspricht. Da die von dieser Messung berührte Gebiet zur Ausnahme der deutschen Mittel-gebiets und der Gegenden in Wales und Südwalesland als schon eben angenommen ist, so mußte man interessante Aufschlüsse erwarten. Leider ist die Genauigkeit der letzten Hälfte der Vermessung nicht befriedigend.

«Nach der europäischen Längengradmessung in 52° Breite wurde auf Anregung von W. Struve unternommen; da er aber zu dieser Zeit, im Jahre 1857, schon hoch betagt war, mußte er das weitere Fortgehen der Sache seinem Sohne Otto Struve überlassen, dem es auch gelang, die Regierungen der in Betracht kommenden Länder zur Ausführung der erforderlichen Arbeiten zu bewegen. In Preußen übernahm General

Bayern die Vermessung. Der ganz westliche Teil von Island ist Warschau wurde im Zentralbureau zusammenfassend bearbeitet.

Der gesamte Bogen ergibt schließlich eine Vergrößerung des Russischen Äquatorhalbmessers um etwa 140 m, der westliche Teil für sich das selbe um 475 m, der östliche um solche um 1235 m, doch ist letzterer Wert recht unsicher. Die in Rede stehende Längen-

gradmessung bildet den Anfang einer solchen, die sich durch ganz Europa erstrecken sollte, von der aber der westliche Teil noch verschiedenen Lücken aufweist.

Über die Messungen in Nordamerika und Indien, wo sich noch ausgedehnte Bogen vorlagen, gesteht Prof. Holmström demächst weitere Mitteilungen zu machen.

Die Längenbestimmung auf See durch Mondabstände.

Die Seefahrer bedienten sich um die geographische Länge unter der sich die Schiffe befinden, zu ermittelt, seit der zweiten Hälfte des 18. Jahrhunderts einer Methode, welche unter der Bezeichnung »Längenbestimmung durch Mondabstände« in der Geschichte der Astronomie und der Nautik eine große Rolle spielt. Sie besteht darin, mittels des Sextanten den scheinbaren Abstand des Mondes von der Sonne, einem hellen Fixstern oder einem Planeten zu messen und aus dem Vergleich desselben mit dem Winkelabstand, wie ihn der Nautikal Almanach für die entsprechende Zeit vorausberechnet enthält, den Zeitunterschied zwischen Schiff und Greenwich, damit die geographische Länge des Ortes zu ermitteln und den Gang des Schiff-Chronometers zu kontrollieren. Die erforderliche Berechnung ist leicht, die nötigen Beobachtungen aber auch schwer, letzteres hauptsächlich wegen der Bewegung des Schiffes und der oft ungenaueren Lage des Beobachters. Die Seefahrer waren deshalb meistens besondere Freunde jener Art von Längenbestimmung, aber es blieb ihnen meist nichts anderes übrig als sich denselben zu bedienen, vor allem auf sogenannten großen Fahrten. Gegenwärtig wird die Methode aber mehr und mehr verlassen und was die Praxis anbelangt, dürfte sie bald nur noch der Vergangenheit angehören, da sie

heutzutage überflüssig zu werden beginnt. In einer jüngst erschienenen Darstellung¹⁾ heißt es hierüber:

Die Mondabstände spielen solange eine Rolle, als man aus verschiedenen Gründen glaubte, in die Lage versetzt werden zu können, sich auf den Chronometer nicht verlassen zu können. In den ersten Zeiten der Chronometer wurde man diesem heiklen Instrumente nicht sehr, es gab viele sehr bedeutende Seefahrer, welche insbesondere, wenn es sich um die Bestimmung der geographischen Länge aus unbekannter oder noch nicht genau bestimmter Positionen handelte, den Mondabständen den Vorzug gaben. Da aber doch sehr früh bekannt war, daß der Vorlässigkeitsgrad der Mondabstände zu wünschen übrig ließ, so wurde unglücklicherweise geleugnet, um ja gewisse Resultate zu erzielen. Als Beispiel davon möge Admiral Kruzenscherz angeführt werden, welcher zur Bestimmung der Länge nach Pankin bei Nagasaki 1838 Mondabstände beobachtete und berechnete hat. Noch im Jahre 1864 führte Preußen in seinem Lehrbuche der Navigation an: »es liegt die grösste Erfahrung der Seefahrer, daß, wenn man sein Chronometer durch längeren Gebrauch korrigiert hat, man es wohl

¹⁾ Ungerl, *Deutsche Seefahrt* I. Geographie, Bd. 24, S. 411.

wagen darf, dem z. B. am Schluß einer 24stündigen Reise, etwa von New-York oder Washington, bis auf 2 Minuten in Zeit, oder der Länge bis auf 30 Sek. zu trauen, während man einem sogenannten Chronometer nicht unter der Minute in Zeit oder der Länge nicht unter 1" trauen sollte. Er bemerkt dann: »wie aus alledem hervorgeht, wie sehr notwendig und für uns schwer, bewachte Schiffsführung es erforderlich ist, das Chronometer wenn möglich auf See durch besondere Mittel zu kontrollieren — wenn vor allem gerade die Mondstationen dieses.« Hauptanliegen ist man nicht mehr dieser Ansicht, denn wenn man nicht korrespondierende Mondstationen beobachten und berechnen will, was außerordentliche Mühe verursacht, bedarf Mondstationen kein besondres Mittel für die Chronometerkontrolle.

Was die Chronometrie in den letzten Jahren geleistet hat, dürfte auch in weiteren Kreisen bekannt sein. Die deutsche Seewarte in Hamburg bekommt zu dem jährlich von ihr veranstalteten Konferenzspülungen jährliche Längemessern, welche, gehörig behandelt, sofort Genauigkeit ermöglichen, aus denen man leicht eine Wellenreife entnehmen kann. Und doch, trotz der Vervollkommenung dieser Instrumente, hat man noch lange und mit einer gewissen Zögerlichkeit die Mondstationenmethode in den Lehrbüchern weiter geführt. Man hat doch mit den vielen Hysterien gerechnet, welchen ein Schiff auslief, was zum Schiff und zu dessen Zu- und Ausrüstung gehört, unterworfen ist, man hat sich gedacht, daß das Chronometer Sprünge machen kann, die nicht leicht entdeckt werden und zu falschen Irrungen führen können. Es ist schließlich doch, daß durch irgendwelche schweren Havarien, durch Blitzschlag z. B., der Chronometerkasten vernichtet wurde, es könnte vorkommen, daß die Längemessern stünde — man müßte für diese Fälle gründenmalen eine Reservemethode in Vor-

sehen. Heute will man mit allen diesen Sorgen brechen oder man hat eigentlich mit denselben schon gebrochen. — Gegen veralteter Sprünge, gegen die Gefahr des Stößenöffnens schütz man sich durch die Mithode von drei Chronometern und durch die Führung des Chronometerjournals, welches die Abweichungen einer einzelnen Uhr vom normalen Gang sofort anzeigt. Drei Uhren können nicht durch Zufall stören bleiben, man müßte sehr ungünstig haben, die zu beobachten. Ein solcher Fall kann nicht leicht eintreten, da die Behandlung der Chronometer durch die Kontrolle mehrerer Personen überwacht wird. Die Richtigkeit des Ganges aber durch Mondstationen zu prüfen, heißt sich schon sehr langen niemand mehr anstellen. Man richtet es sich auf jeder transatlantischen Fahrt damit ein, daß man im geeigneten Moment Ortszeiten bekommt, diese Operation in anderer Weise, und zwar durch eine Stundenwinkelberechnung in nicht irreversibler Möglichkeit auszuführen. So blieb nur der Fall noch in Betracht zu stehen, daß durch äußere selten vorkommende Havarien, sagen wir durch einen Blitzschlag, die Chronometer vernichtet wurden. Und für diesen seltensten Fall sagt man eben dadurch, daß man den Termin liest oder ihm folgt, wie er sich die Chronometer Zeit der Ortsbeobachtung selbst berechnen kann.

Allein wir glauben, daß die bisher angestellten Betrachtungen an und für sich nicht ausschlaggebend waren, daß noch andere Momente für die Abschaffung der Mondstationen aus den astronomischen und nautischen Jahrbüchern entscheidend wirken.

Beobachtung und Rechnung sind bei der Mondstationen sehr mühsam und lang. Trotzdem Lehrbuch ist zwar bereits in Vergangenheit gerieten, aber die goldenen Wahrheiten, die dieselben enthalten, bestehen noch fort. »Man kann in einem Monat — sagt er — eine höherer Rechnung vermeiden

lassen und begreifen und bei jeder
Leistung nötig, um zu einiger Sicherheit
in der Beobachtung zu gelangen. Die
Beobachtung (der Mondstationen) ist
bei verschiedenen Lagen des Körpers
und des Sehtastes vorzunehmen, der
Beobachter muß alle Funktionen des
Auges des nicht so ganz einfachen In-
strumentes zu benutzen wissen, er muß
Korrekturen gewisser Wahrheiten der
Optik mit mechanischer Gewandtheit
und schärfem Blick verbinden, muß
gibt es keine andere Beobachtung auf
See, bei welcher Fehler auf so empfind-
liche Weise bestraft werden. Man kann
deshalb in Vorlesungen gehen, ob man
schon mehr über Admiral Kruzenstern
wundern darf, welcher die Länge eines
Punktes im Pazifik durch 1000
Distancen bestimmte, oder ob man
Admiral Smith entschuldigt haben darf,
welcher in seinen „Nachrichten“ aus-
drücklich zur Bekräftigung der Treue
seiner Längsberechnungen anführt,
daß keine einzige Länge durch Mond-
distancen ermittelt sei. Jedenfalls ist
wohl gewiß, daß wenn erst 1000
Distancen eine verlässliche Länge geben,
Tobias Mayer im Grunde war, als er
den Sehtasten die Längsberechnung
durch Mondstationen empfahl, und daß
der erste schmerzende Nahe der Welt
für Parlament der Vorschauung an-
klagen konnte, als derselbe Hansen für
die Verbesserung der Mondkarte mit
englischer Fragebogen dankte.

Diese Übung im Beobachten, die,
wie Fresnel sehr richtig sagt, unbedingt
nötig ist, um aus einer Mondstation
eine halbwegs gute Länge zu erhalten,
hat heute kein Seemann mehr. Zur
Zeit der Segelschifffahrt gab es viel
Langgewandte Lotsen, Kapitäne und
Schiffsführer, welche damals den
Sehtasten oft als eine Erleichterung
betrachtet haben, da gab es Zeit und Ge-
legentlich sich im Meeres von Mond-
distancen zu über. Heute sind die
Schiffsführer durch die großen Ge-
schwindigkeit, durch die untrüglichen
Sensoren, durch die Mast des Lan-

zettes und des Lösens der Ladung
sehr angezogen, daß sie in den
wichtigsten Fällen mehr beobachten und
rechnen dürfen, als es die Sicherheit
der Navigation erfordert. Dennoch war
das Beobachten und Rechnen fast bei
allen Seemanns aus Leidenschaft, heute
ist es eine Pflicht, die man zwar ge-
wissenhaft erfüllt, aber niemand mehr
als Sport betreibt. Kommt die Fall-
we, wo eine Mondstation am Platz
wäre, so entstehen allerlei Bedenken.
Fehl man bei der Distanzmessung nur
um eine halbe Meile, so ergibt dies
schon einen Fehler von 4-15 Minuten
in der Länge. Dazu die lange Rechnung,
die wieder kopflos macht. Weiß
aber der Fehler in der Distanzmessung
denselben vergrößert in die Resultate
übergeht, hat mancher Auser gelacht,
er könne sich auch die Mühe nicht, er
als jene Funktionen Rücksicht zu nehmen,
welche gerade bei Mondstationen am
unvermeidlichen sind. Der eine
sagt, die Rechnung ist so weit so un-
vermeidlich, aber wenn Barometer und
Thermometer bei der Höhenbestimmung
beschädigten, der andere, der sei-
schonliche Fehler den Sehtasten über-
steigt 10 Sekunden, wenn dann also die
Verrückung der Höhenwerte beachten;
dann drückt er bald das, bald jenes in
der Rechnung zu viel aus. Und was
denkt sich man Schläge der ausübende
Kaufher? Wenn ich mich auf meine
Gewandtheit im Beobachten nicht ver-
lassen kann, wenn ich gleichfalls mit
einem Fehler von 4-10 Sekunden bei
der Messung rechnen muß, wenn
unmöglich die Formel selbst, die man
mir vorschreibt, eine beiläufige ist, dann
verstehe ich auf die ungenaue Länge
ganz und werde es, wenn die Chrono-
meter versagen sollten, so das, was man
es zu dem besten Cooks, Dampers,
De Bougainville usw. ist. Und es
andererseits bekannt ist, daß niemand
mehr Mondstationen beobachtet, so
haben die Astronomen ganz recht ge-
habt, wenn sie schließlich auf die Idee
gekommen sind, sich die lange Mühe

und des Kordausfalls zu erzeugen, der ihnen die Voraussetzung der Grenzweiser Zeiten der Mondphasen verursacht.

Was wird man also tun, wenn die Grenzweiser doch realisiert oder strömen sollten? Auf einem Segelschiffe oder auf einem kleinen fahrenden »Coller« wird man vielleicht, aber nur vielleicht, die Grenzweiser Zeit selbst rechnen, auf dem schnellfahrenden Post-

und Passagierschiffe gewiß nicht. Man wird sich mit einer möglichst genauen Ermittlung der Breite begnügen und zur Kritik des astronomischen Schiffbores greifen, wie es naturgemäß von dem bereits genannten Douglar geübt wurde und heute durch genaue und bessere Richtungs- (Kompaß) und Distanzmessungen (Logg) noch wesentlich erleichtert wird.

Bestimmung der Eigenbewegung von Fixsternen durch das Stereoskop.

(Hesss. Tafl. X).

Eine früher im »Stern« ausführlich dargestellt worden ist*) kann das Stereoskop mit Vorteil zur deutlichen (plastischen) Darstellung gewisser astronomischer Erscheinungen benutzt werden und Prof. Paltrich (Jena) hat zu diesem Zwecke einen besonderen Apparat konstruiert, der dem Namen Stereoskoparion heißt. Mittels desselben lassen sich, wie Prof. Paltrich und Prof. Wolf gezeigt haben, auf photographischen Platten veränderliche Sterne mechanisch auffinden, ebenso ist er aber auch geeignet Eigenbewegungen von Fixsternen zu offenbaren und nicht minder kann er zur Ermittlung von Fixsternparallaxen benutzt werden. Uebrigst hat nun Prof. Wolf mit dem Stereoskop die Eigenbewegungen eines Fixsternes ausgemessen und darüber in den Astron. Nachrichten (Nr. 4164) berichtet. Die dort gegebene Abbildung ist jedoch durch Schuld des Lithographen im Abdruck verfehlt, die rechts und links vorstehend erschienen. Der Ufä des Herrn Prof. Wolf verdanke wir einen Abzug dieses ersten am Stereoskop entdeckten Sternes mit Eigenbewegung, welcher auf Tafl. IX, Fig. 1 in richtiger Lage wiedergegeben ist. Zur Erläuterung möge aus der er-

stehenden Abhandlung des Herrn Prof. Wolf folgendes hier Platz finden:

»Man habe ein Plattenpaar, auf jeder Platte in einem Himmelsstern in einem Abstand von einander zwei Punkte. Man betrachte das Plattenpaar im Stereoskop. Sind auf beiden Platten die Abstände der zwei Punkte voneinander gleich, dann sieht man im Stereoskop zwei Punkte in einer Ebene schwimmen, die unkräftig zur Visielline steht. Ist aber die Distanz der beiden Punkte auf einer Platte nur eine Spur verschieden von jener auf der andern Platte, dann hat man im Stereoskopbild den Eindruck, als ob der eine Punkt dem Betrachter näher, der andere entferntere liegt. Man glaubt in den Raum hineinzusehen, in dem der eine Punkt näher, der andere ferner zu schwimmen scheint.

Durch das stereoskopische Betrachten zweier Himmelsausdehnungen aus verschiedenen Jahren findet man zum natürlichsten leicht alle Sterne heraus, die im Laufe der Zeit ihrem Abstand von Nachbarsternen merklich verändert haben. Jeder Stern, der sich verschoben hat, scheint vor oder hinter der Ebene, die sich aus dem Durchschnittsbild der unbewegten Sterne erregt. Platten verschiedener Jahreszeiten in dem Stereoskoparion gebrauchte Linsen willkürlich-

*) Stern 1892, S. 8, 96, 107.

schien eine große Anzahl mehr oder weniger bewegter Sterne erkennen.

Einen Eindruck von dieser plastischen Wirkung der Eigenbewegung erhält man, wenn man das direkte Aufsteckbildgebende Fächchen im Stereoskop — vorwiegend mit starker Vergrößerung — blickt. Der Stern in der Mitte scheint weit vor dem gemeinsamen Grund zu schweben. Der Stern besitzt eine starke Eigenbewegung, besonders in Deklination. Die beiden Einzelbildchen sind deshalb in der Deklinationsrichtung unverschiebbar. Zwischen beiden ist nur 14 Jahre zueinander liegender Aufnahmen ist sich der Stern um mehr als 19 Bogensekunden nach Süden geschoben. Auf den Bildern entsprechen 37 Bogensekunden einem Millimeter. Die Bilder sind sicherheitlich von dem Originalplatten vergrößert. Der Stern steht im Himmel südlich von der Verbindungslinie von α und ϵ Lyrae.

Dies war der erste neue Eigenbewegungssystem, den ich im vorigen Jahr mit dem Stereoskop auffand — in der Folge habe ich dann im verfloßenen Winter eine große Zahl von Sternen mit merkwürdigen Eigenbewegungen auf meinen Platten auffinden können.

Der Stern ist 63 Größe und steht im Himmel in A.R. 11^h 29^m 19^s, D + 8° 6' 1" für 1906.3. Er bildet mit einem wenig helleren Stern, der in etwa 1' Distanz südlich hervorgeht, ein Paar. Ein schwächer Stern 13. Größe folgt südlich in etwa 1' Distanz. Prof. Wolf bemerkt in seiner Abhandlung u. a. noch folgendes:

„Nach einer andern Anwendung von ebenso großer Tragweite verspricht die Methode. Das Anzeigebild der kleinen Nebelflecke auf meinen Platten zum Zwecke der Veranschaulichung für meine Kataloge verfügte ich nun im Stereo-

komparsien. Die spektroskopische Vergleichung zweier Aufnahmen bietet die Möglichkeit, daß man zum hiesigen Objekt markiert und in den Katalog einträgt. Dabei zeigte sich, daß ein großer Teil der Nebelflecke in anderer Tiefe erschien als der beschriebene Stern. Das ist selbstverständlich eine Wirkung des Spektrums in Verbindung mit der Refraktion oder der Beugungsverzerrung der Linse. Hat man nun einen sich als Nebelfleck präsentierenden kleinen Sternhaufen, der aus Sternen mit Durchschnittpunkten zusammengesetzt ist, so muß das Objekt in derselben Tiefe wie die kleinen Nachbarsterne erscheinen, ist es aber ein größerer Nebelfleck von eigenartigem Spektrum, so tritt es aus der Ebene des Grundes wahrnehmbar hervor. Wenn es sich also um schwache Objekte handelt, um die das Spektroskop nicht klärt, dann bietet die Stereoskop die Möglichkeit Gansel von Sternhaufen unterscheiden.“

Herr Prof. Wolf hatte die Güte für den »Stern« auch das Abbild von Aufnahmen des Doppelsterns 61 im Schwanz einzusenden. Diese Aufnahmen stammen aus den Jahren 1901 und 1906 mit einer Zwischenzeit von 4½ Jahren. Sie sind auf der Tafel unter Fig. 2 wiedergegeben. Dieser Doppelstern zeigt sowohl einen komplexen Sattlung die Erscheinung sehr schön. Die Bilder sind im Positionswinkel von 151° nebeneinander gestellt.

Um den Besitzer solcher Stereoskope die Möglichkeit zu bieten, die Ercheinung zu sehen ohne die zum Stern gehörige Tafel zu opfern, ist diese letztere doppelt beigegeben, so daß ein Exemplar derselben zum Einstecken in ein Stereoskop urrichteten werden kann.

Ein Vorschlag zur Durchmusterung des Himmels nach veränderlichen Sternen.

Die Zahl derjenigen Sterne, bei denen man Veränderlichkeit ihres Lichtes sahen oder mit Wahrscheinlichkeit schon hatte, betrug um die Mitte des vorigen Jahrhunderts weniger als 50. Sir John Herschel schätzte damals 45 auf, während die Zahl derjenigen, für welche angemessenen bedrückenden bekannten Perioden des Lichtwechsels vorliegen, sich nur auf 24 belief. Sie finden sich aufgeführt in der Tabelle, welche der damalige hess. Kaiser der Veränderlichen, Fr. Argelander zu Bonn, aufgestellt hat und die in 3 Bände von Humboldt's Kosmos abgedruckt ist. Mehr als die Hälfte davon besteht aus 24 Sternen, die wenigstens im Maximum ihrer Helligkeit dem bloßen Auge sichtbar sind, 4 blieben im Maximum unter 7. Größe, 3 davon erreichen zudem nur etwa 8. Größe. Was die Helligkeit im Maximum anbetrifft, so wurden in der Argelander'schen Tabelle 12 Sterne aufgeführt, die bis unter 10 Größe herabsinken, es sind namentlich solche von langer, unregelmäßiger Periode und starken Schwankungen der Helligkeit, die man nach dem bekannten Replikanten dieser Klasse (Mira im Wal-Fisch) heute als Veränderliche des Miratypus zu bezeichnen pflegt. In den nächsten Jahrzehnten, die seit Argelander folgten, vergrößerte sich die Zahl der Veränderlichen durch die fleißigen Nachforschungen von Hind, Schmidt und anderen, und in dem von Schmidt und Wincke 1866 herausgegebenen Normal-Katalog wurden bereits 126 veränderliche Sterne aufgezählt, einschließlich 5 sogenannter neuer Sterne. Schon damals wurde die Ansicht ausgesprochen, die Zahl der tatsächlich veränderlichen Sterne dürfte sehr erheblich größer sein, als der spezielle Nachweis verschweigt, weil geeignete Beobachtungsmittel fehlten. Die Anwendung der Photographie auf astronomische Aufnahmen des Sternenhimmels hat seitdem Wandel

geschaffen, und infolge der Arbeiten, welche mittels dieses Hilfsmittels besonders auf dem Sternwarten zu Cambridge (H.-A.), Heidelberg und Moskau ausgeführt worden sind, können wir heute vielleicht 3000 Sterne, deren Veränderlichkeit mit Sicherheit annehmen oder doch höchst wahrscheinlich ist. Diese photographischen Aufnahmen sind aber nicht systematisch zum Zwecke der Entdeckung ständlicher Veränderlichen innerhalb des Bereichs der instrumentellen Hilfsmittel, angestellt worden, so daß gewisse Regionen des Himmels in dieser Beziehung weniger durchsucht wurden als andere. Es wäre aber von der größten Wichtigkeit, daß eine solche systematische Durchmusterung des Himmels nach veränderlichen Sternen vorgenommen würde. Prof. John J. Bailey, dessen wichtige Arbeiten auf diesem Gebiete bekannt sind, hat jetzt einen Plan zu einem solchen Unternehmen veröffentlicht¹⁾ und der Prüfung der Fachgenossen unterbreitet.

Die Zeit, sagt er, ist gekommen, in welcher durch übereinstimmende Arbeiten vieler einer Anzahl von Astronomen eine systematische Untersuchung des ganzen Himmels unternommen werden sollte, um Zweck: Anzahl und Verteilung aller veränderlichen Sterne bis zu den lichtschwächsten herab festzustellen. Nur auf diese Weise werde wirksame Doppelarbeit in der Nachforschung und Verhinderung von Arbeitsleertum vermieden. Man könne freilich einwenden, daß bei solcher Ausdehnung der Nachforschung die Anzahl der Veränderlichen so sehr zunehmen würde, daß deren sorgfältige Beobachtung unmöglich werde. Dies, sagt Prof. Bailey, sei allerdings richtig, indessen würde die vorgedachte Arbeit für

¹⁾ Harvard College Observatory Circular Nr. 118.

die Untersuchung über die Verteilung der veränderlichen Sterne von größter Wichtigkeit sein und zur Kontrolle der Hülle dienen können, welche diesen Sternen im Fall des Untersuchens angeschlossen ist. Da alle Veränderlichen sich in wenigen wohlbestimmten Klassen unterbringen lassen, so würden für den größten Teil derselben nur so viele Beobachtungen nötig sein, um sie richtig zu klassifizieren, gewisse Untersuchungen können sich lediglich auf die Hauptrepräsentanten dieser Klassen, sowie auf einzelne Objekte von ganz besonderem Interesse beschränken. Daher sei die von ihm vorgeschlagene systematische Durchmusterung des Himmels nach Veränderlichen ein Werk, dessen Durchführung der gegenwärtigen Concentration der Beobachter wohl würdig erscheinen. Selbstverständlich kann es sich nur um eine mit photographischen Hilfsmitteln durchgeführte Untersuchung handeln, vor allem in Bezug auf die dicht gedrängt stehenden und die lichtschwachen Sterne. Zu diesem Zwecke empfiehlt Prof. Bailey Aufnahmen mit Instrumenten, wie die bekannten photographischen Doublets, da diese gut definierte Bilder auf großen Flächen liefern, wobei für Beobachter, die über andere Instrumente verfügen, ein großer Feld der Tätigkeit in Aufnahmen von Sternhaufen, kleinen nebelförmigen Regionen und anderen spezieller Objekte, gewahrt bleibt.

Eine Verteilung bestimmter abgegrenzter Flächen der Himmelskugel, eine durch ein Komitee, unter der verschiedenen Sternwarten und Beobachter, welche sich an dem Unternehmen beteiligen wollen, hält Prof. Bailey nicht für wünschenswert. Das Comité, sagt er, ist so umfassend, daß es wahrscheinlich genügen wird, wenn jeder Beobachter diejenigen Regionen des Himmels selbst besichtigt, die er untersuchen will. Wenn sich daher Doppelbeobachtungen durch mehrere Beobachter herzustellen sollten, so würde dies den Vorteil gewähren eine Auswahl unter den Ergebnissen zu treffen.

Bezug der Untersuchung über die Verteilung der veränderlichen Sterne an der Himmelskugel hält es Prof. Bailey für unangenehm notwendig, daß alle Sterne, die hierzu gehören, einer Aussonderung ausgesetzt werden. Keiner derselben dürfte ausgeschlossen werden, weil eine die Größe seiner Lichtschwankung zu unbedeutend ist. Einzelne Sterne die innerhalb des oben genannten Areals auf dem Platten erscheinen, müssen geprüft werden und die zu veröffentlichten Ergebnisse sollten nicht nur die Zahl der beobachteten Veränderlichen, sondern auch, wenigstens näherungsweise, die Anzahl der überhaupt untersuchten Sterne enthalten. Nicht der Auffindung neuer Veränderlicher, ist der Maßstab des Fortschritts von solchen zu bestimmten Stellen des Himmels am wichtigsten, denn bei Untersuchungen über die Verteilung der Veränderlichen würde diese Region des Himmels, in welcher solche häufig finden, fast den ständigen Interesse breiten als nur an Veränderlichen so reiche Gegenden, wie die kleine Magellansche Wolke, die meisten Veränderlichen enthält.

Prof. Bailey hofft, daß eine Expositionsliste von einer oder besser von zwei Stunden, an einem photographischen Teleskop von 8 Zoll Öffnung oder darüber, ausreichen wird, da bei dieser Stern bis zur 14. Größenklasse sich auf den Platten durchziehen. Es ist ferner wünschenswert, daß von jeder Region des Himmels verschiedene Platten untersucht werden, um die Nachforschung möglichst vollständig zu machen. Auch sollte eine etwaige Veränderlichenliste durch einen zweiten Beobachter bestätigt werden, wobei es jedem darüber überlassen bleibt, welche Methoden der Untersuchung und Publikation zu benutzen, die ihm am geeignetsten scheinen. Mit Erfolg sind bisher verschiedene Vergleichsmethoden der Bilder, welche die Sterne auf verschiedenen Platten zeigen, angewendet worden. In kugelförmigen Sternhaufen,

wo die Sterne so eng zusammengeklümpert erschienen, daß die Methode der Überlagerung zweier Platten bei der Prüfung nicht ausreichte, so, werden am besten alle Sterne, die auf einer bestimmten kleinen Fläche stehen, in einer fortlaufenden Reihe nach ihrer Helligkeit geordnet, und dann hintereinander, wie sie sich für etwa 10 Platten eignen, miteinander verglichen. Von dem am Durchsichtspost erhaltenen Platten die Negativplatten erhalten wurden auf dem Harvard Observatorium ein Projektionsapparat, der mit einem andern Negativ überdeckt wurde, sodat beide und starke Bilder desselben Sterns zusammengefaßt werden. Diese Untersuchungsmethode hat sich in der Praxis sehr bewährt. Auf einigen Observatorien benutzt man bei Untersuchung der Platten auch den Stereoskopapparat. Um Verwundungen von langer Periode des Lichtwechsels aufzufinden, müssen sich die photographischen Aufnahmen mindestens über einen Zeitraum von mehreren Monaten erstrecken, andererseits um Verwundungen von sehr kurzer Periode aufzufinden, erforderlich, daß

Aufnahmen zu verschiedenen Stunden der Nacht oder nach langen Zwischenräumen gemacht werden.

Die Anzahl starrer Sterne des Himmels hat ausschließlich derjenigen der 14. Größenklasse, schätzt Prof. Bailey auf etwa 10 Millionen. Die Untersuchung einer so großen Zahl von Sternen auf verschiedenen Platten ist ein so ungeheures Unternehmen, daß es zunächst unersichtlich erscheint. Jedoch heißt es doch, daß bei geeigneten Methoden und Vereinigung doppelter Arbeit die jetzige Generation der Beobachter vollständiger Sterne des Unternehmens durchführen könnte, jedenfalls würden die zu diesem Zweck erhaltenen photographischen Aufnahmen des Fixsternbereichs auch für andere Zwecke astronomischer Forschung ihren großen Wert besitzen. Die Harvard-Sternkarte würde sich, falls der Vorschlag zu einem systematischen und kooperativen Vorgehen in der kosmischen Richtung zutreffendes Beifall findet, an dem Unternehmen beteiligen.

G. H. Darwin über die Entwicklungsgeschichte des Sonnensystems.

(cont.)

 zweifelslos könnte nicht, würde ich sagen, daß die erste Geologie wie eine Periode zwischen 50 und 100 Millionen Jahren hinwies, und zwar ist die obere Grenze zweifelhafter als die untere. So weitläufig wie nicht, was die Resultate der Geologischen in der Entwicklung abschneidet.

Aber die Physiker haben Schätzungen auf anderen Wegen angestellt, welche bei vor kurzem nur weit niedrigeren Zeitabschnitt zu fordern schienen. Nach alten kosmogonischen Theorien ist die Sonne ein Stern, der bei seiner Verdichtung aus einem Zustande voller Zerstreuung sich erhebt, Wenn ein

Meteoroid auf die Sonne fällt, erzeugt dieses Aufstoßen Wärme, wie der Schlag eines Flintenkeils gegen einen Stein Funken erzeugt. Der Herrscheur militärischer Meteorologen sehen die Verdichtung eines verdichteten Gases werden sich als die einzigen Ursachen der hohen Temperatur der Sonne angenommen.

Da die Masse der Sonne bekannt ist, so kann die Gesamtmenge der in ihr erzeugten Wärme, wie sie auch entstanden sein mag, mit beträchtlicher Genauigkeit abgeschätzt werden. Da der Eck von der Sonne ausgestrahlte Wärme kann gleichfalls mit ziemlich hoher Genauigkeit gemessen werden, und so

mit es nicht schwierig, zu bestimmen, wieviel Wärme die Sonne in einem Jahre ausstrahlt. Das gesamte Wärme, welche auf der Sonne überlagert nur erzeugt sein kann, dividiert durch die jährliche Ausstrahlung, gibt einen Quotienten von etwa 20 Millionen. Daher scheint es unumgänglich, daß die ganze Geschichte des Sonnensystems in einem Zeitraum von 20 Millionen Jahren eingeschlossen ist.

Diese Schlußfolgerung, die Helmholtz gezogen habe, schien absolut überwiegend, und in den letzten 40 Jahren hatten die Physiker sich daran gewöhnt, die Geologen zur Aufhebung ihrer Ansichten in Bezug auf die Zeitdauer der Erdentstehung zu zwingen. Ich habe meistens sehr geglaubt, daß die Geologen der Wahrheit mehr nahe seien als die Physiker, trotzdem ihr Schein sehr stark gegen sie war.

Schließlich haben die jüngsten wunderbaren Entdeckungen in der Physik gezeigt, daß die Verdichtung der Materie doch wohl die einzige Quelle ist, von der die Sonne ihre Wärme beziehen kann.

Nachdem ich die Sonne, die vielleicht willkommener kühler ist als Dynamit. Man schätzt, daß eine Unze Natrium genug Energie enthält, um 18000 Tonnen aus Kohle über die Eisenerfläche zu heben. Ein anderer Weg dieser Schätzung ist folgender. Die Energie, welche notwendig ist, um ein Schiff von 12000 Tonnen eine Entfernung von 8000 Seemeilen weit mit 15 Knoten Geschwindigkeit zu schleppen, ist in 22 Unzen Natrium enthalten. Das *Sonnens* verbrennt wahrscheinlich 5000 oder 6000 Tonnen Kohle auf einer Fahrt von unsterblich derselben Länge. Andere Berechnungen führen zu ähnlichen Resultaten.

Man wissen wir, daß die Erde radioaktive Materie enthält, und es ist anzunehmen, daß sie in gewissem Grade die Materialien des Sonnensystems repräsentiert, daher ist es fast sicher, daß die Sonne gleichfalls radioaktiv ist.

Unser Wissen darüber ist noch erst in seiner Kindheit, aber wir schon bereits, wie wichtig es ist, über die Kaskadenkette der Materie dogmatisch abzurufen. Es scheint also, daß das physikalische Argument keinen höheren Grad von Sicherheit besitzt als das der Geologen und die Skala der geologischen Zeit bleibt in hohem Maße unbekannt.

Vom Sonnensystem zu dem weiten Gebiet des Sternensystems übergehend kühnte sich Prof. Dorets wie folgt.

Nur wenige tausend Sterne sind dem unbewaffneten Auge sichtbar, aber die Photographie hat eine unermesslich größere Zahl von Sternen und Nebeln enthüllt, und jede Verbesserung dieser Kunst scheint noch immer mehr zu erschließen. Es ist nutzlos, zu sagen, ob die Zahl der Sterne des Cosmos hat, denn die Unendlichkeit in Raum und Zeit übersteigt unser Vorstellungsspiel. Wir müssen daher unsere Aufmerksamkeit auf solche mehr begründete Vorstellungen beschränken, die innerhalb der Grenzen unserer Kräfte liegen.

Eine Photographie des Sternensystems sieht aus, wie ein dunkles Blatt Papier, das mit weißer Farbe besprüht ist, aber die schärfere Prüfung zeigt, daß in der Anordnung der weißen Flecke Methode ist. Sonach erfordert eine genaue Ordnung am Himmel, und obwohl kein Grund für die tatsächliche Anordnung in irgend einem besonderen Falle angegeben werden kann, so ist es doch möglich, allgemeine Vorstellungen über die Aufeinanderfolge der Ereignisse in der Entwicklung der Sterne zu erlangen.

Neben den Sternen gibt es zahlreiche Anhaltungen von Nebelmassen, von der wir wissen, daß ihr Licht von Gasen ausgeht. Ihre Helligkeit ist sehr ungleich, und es ist selten, wenn Sternhaufen der Nebelmassen eingebettet, während in anderen Fällen jeder einzelne Stern eines Planeten klar und reibhaftig hervortritt. Solche und andere Tu-

wollen zwingen uns die Überzeugung auf, daß die zusammengeballten Wolken das früheste Entwicklungsstadium repräsentieren, die mehr oder weniger Nebel im späteren Stadium und der Stern selbst das letzte. Diese Anschauung ist auch in Übereinstimmung mit der Nebelsternhypothese von Laplace.

Offenbar gehen überall Änderungen vor sich, sowohl in jedem einzelnen Nebel und Stern, wie in den Stellungen dieser Körper zu einander. Aber wir sind nicht imstande, auch nur Vermutungen aufzustellen über die Tendenz der Entwicklung. Deshalb können wir nicht erwarten, durch Erklärung und Verfolgung der Sterne und Nebel voll über die allgemeinen Entwicklungsstadien zu erfahren, von denen ich gesprochen habe. Daher muß ich mich auf die wenigen Fälle beschränken, in denen wir wenigstens glauben, tätig zu sein, um Vorstellungen zu bilden über die Stadien, durch welche die gegenwärtigen Zustände erreicht worden sind.

Sei vor wenig Jahren habe man keinen Grund dafür, daß das Gassystem eines Sterns sich auf die Sterne erstreckt, und selbst jetzt existiert nicht, was die Übertragung der Schwerkraft von Stern zu Stern beweisen kann. Aber in der Nachbarschaft vieler Sterne ist die Existenz der Schwere jetzt ebenso klar erwiesen wie im Sonnensystem selbst. Das Teleskop hat die Doppelsterne einer großen Zahl von Sternen entdeckt, und die relative Bewegung solcher Paare ist mit demselben Beharrlichkeit beobachtet worden, wie die der Planeten. Wenn die relative Bahn der Glieder eines Doppelsterns geprüft wird, findet man, daß die Bewegung genau übereinstimmt mit den Gesetzen von Kepler, welche beweisen, daß die Planeten um die Sonne kreisen unter der Wirkung der Sonnenanziehung. Ein Charakteristik der Doppelsterne ist, daß die beiden Komponenten nicht bedeutend an Masse von einander verschieden sind. In dieser Hinsicht bil-

det diese Systeme einen stark ausgesprochen Gegensatz zum Sonnensystem.

Ist zeigte früher wie die Theorie andeutet, daß ein rotierender, flüssiger Körper, während er abkühlt, sich in zwei getrennte Massen teilt nach. Die Mathematiker sind noch nicht imstande, die relative Größe der beiden Teile zu bestimmen, aber so viel wir wissen können, deutet die Resultate auf die Entstehung eines Satelliten, dessen Masse ein beträchtlicher Bruchteil von derjenigen seines Erzeugers ist. Sir, Alexander Roberts und andere, glauben daher, daß, was im Himmel beobachtet wird, in Übereinstimmung mit den Andeutungen der Theorie ist. Es scheint somit Grund vorhanden, zu behaupten, daß die Doppelsterne entstehen sind durch die Teilung von primitiven und mehr zusammenhängenden Sternen.

Wenn diese Theorie richtig ist, müssen wir aber erwarten, daß die Bahnen eines Doppelsterns allmählich kreuzförmig ist. Dies ist aber so wenig der Fall, daß die Existenz der Bahnen einer Doppelsterne bei weitem die Existenztheorie der Planetenbahnen im Sonnensystem übertrifft. Man hat Sir darauf aufmerksam gemacht, daß, wenn zwei Körper von nicht sehr ungleicher Masse in großer Nähe von einander kreisen, die Umstände darauf sind, daß die Gravitationskraft so wirksam wie möglich für die Umformung der Bahn wird. Wir scheinen somit in der Überzeugung eine Ursache zu besitzen, welche genügt haben mag, nicht allein die beiden Sterne eines Doppelsterns von einander zu trennen, sondern auch die Bahn kreuzförmig zu machen.

Diese kurze Behandlung der verschiedenen Annahmen muß hier genügen, da die Richtung der Entwicklung der Materie im Weltraum zu beobachten ist, um es einer beschreibenden Theorie zu fähig.

Wir haben gesehen, daß es möglich ist, die Entwicklung des Sonnensystems mit einem gewissen Grade von

Sicherheit bei in das Stadium eines Unseheils zurückzuverfolgen und daß wir Grund zu der Annahme haben, die Sterne seien im allgemeinen in ähnlicher Weise entstanden. Aber nun erhebt sich die Frage nach der Entstehung der Ursubstanz und wir erkennen, daß, wenn selbst unsere Theorien richtig sind, doch für die Erklärung des Universums sehr wenig gewonnen ist. Der Mensch ist mikroskopisch klein, verglichen mit dem astronomischen Raum, und er lebt auf einem unbekannten Planeten, der von einem Stern anderen Rauges kreist. Scheint es da nicht etwas leicht, sich

denken, daß er den Ursprung und das Ziel des Universums entdecken würde, als zu erwarten, daß eine Fliege uns belehren würde über die Theorie der Flusenbewegungen? Dennoch aber wird der Mensch sein Nachdenken fortsetzen und wird zweifellos manche wunderbaren Dinge entdecken, die uns verborgen sind. Aber eine unmittelbare Menge des Unentdeckten wird sein übrig bleiben, um den menschlichen Geist zu nötern. Unsere Kinderkinder werden das Sternchenmal anheben und bewahren, aber sein Rätsel wird niemals gelöst werden.

Die Tätigkeit des Astrophysikalischen Observatoriums in Potsdam im Jahre 1905.

In Nachfolgende ist dem Jahresbericht bekanntzugeben, den Oskar Vogt, Direktor des Astrophysikalischen Observatoriums in Potsdam, über die Arbeiten dieser Anstalt während des Jahres 1905, füglich mitzuteilen.

Die Unterhaltung und Instandhaltung der Gebäude, besonders des Hauptgebäudes, erforderte im Berichtsjahre einen sehr erheblichen Kostenaufwand. Eine Störung der Beobachtungen hat durch die Arbeiten jedoch nicht stattgefunden. Die Vervollendung der Vorbereitungsarbeiten, die Herr Dr. Scheibel am Kaiser-Observatorium des großen Refraktors ausgeführt hat, wurde schon im vorigigen Berichte erwähnt. Das Observatorium wurde unter der Leitung von Prof. Hartmann am 24. März wieder in Betrieb gesetzt, und zahlreiche Untersuchungen, die seitens von Prof. Hartmann mit demselben vorgenommen wurden und, haben das vorzügliche Resultat der Korrekturen beizubringen können.

Für die leichtere Auswertung bestimmter Spektren hat Prof. Hartmann einen einfachen Apparat konstruiert, der in wesentlichen darauf beruht, Spektren, komponiert solche der H-Spektallinien, mit dem Sonnenspektrum zu vergleichen,

und zwar so, daß auf einem größeren Teile beider Spektren zum Vergleich kommen und von dem Sonnenspektrum entsprechende Linien oder Liniengruppen des Sternspektrums sofort auffallen. Wenn es sich um Verschiebungsmessungen handelt, so folgt der Radialbewegung des betrachteten Sterns hinreichend, würden diese Linien ausgeschlossen sein, handelt es sich dagegen um Untersuchungen der Zusammensetzung der Atmosphären der Sterne, so sind die Abweichungen vom Sonnenspektrum des Beobachters. Der Apparat ist auch den Angaben von Prof. Hartmann von der Firma Carl Zeiss in Jena zugeführt worden. Eine eingehende Beschreibung des Spektrokomparators wird in den Publikationen des Astrophysikalischen Observatoriums im Laufe dieses Jahres gegeben werden.

Die guten Resultate, welche mit einem von Dr. Scheibel geleiteten Spiegel von 90 cm Brennweite und dem Öffnungsverhältnis 1:36 von Dr. Oberhard und Dr. Luedersdorf erzielt worden waren, haben Oskar Vogt Veranlassung, mit dem Öffnungsverhältnis noch weiter zu gehen, und es gelang Dr. Scheibel, einen Spiegel von 40 cm Öffnung und 90.7 cm Brennweite (also 1:226) herzustellen.

Der mechanische Teil für beide Teleskope, sowohl für den Scheitelteleskop als auch für den Scheitelschen Spiegel, wurden in der Werkstatt von O. Töpfer & Sohn in Potsdam ausgeführt. Die kleinen Instrumente sind ebenfalls mit dem Rohen des photographischen Refraktors von 32 cm Öffnung verbunden worden, selbst aber später eine eigene Montierung erhalten. Geh. Rat Vogel hat einen eingehenden Bericht, besonders über den Scheitelchen Spiegel, gegeben, der in den Sitzungsberichten der Königl. Akademie der Wissenschaften in Berlin unter dem Titel »Über Spiegelteleskope mit sehr kurzer Brennweite« zum Ausdruck gelangt ist¹⁾.

Bezüglich der wissenschaftlichen Arbeiten sei hier folgendes aus dem Bericht hervorgehoben. Am 20. im Refraktor hat Prof. Hartmann, meist unterstützt von Dr. Müntz, an insgesamt 55 Abenden 53 Spektroskopnahmen mit Spektrograph I, 26 Aufnahmen mit Spektrograph II und 28 Aufnahmen mit einem Querspektrographen erhalten. Letztere, nach Art der Objektspektrokope konstruiert, war während der Abwesenheit des 50-cm-Objekts am großen Refraktor angebracht.

Die Auswertung der Spektre erhielt eine durchgreifende Umgestaltung durch die Ersetzung des oben erwähnten Spektrokomparators. Während nach der früheren Methode eine wirklich vollständige Auswertung kontinuierlicher Spektre nur mit einem Arbeitsaufwande von vielen Tagen möglich war, gelang es jetzt einige Stunden, um je ein noch so intensives Spektrum zusammenzu- und den definitiven Wert der Radialgeschwindigkeit des Sterns abzulesen. Es war daher möglich, zunächst mit Spektrograph II erhaltene Platten zu bearbeiten, so daß eine weitere Anstellung unbearbeiteter Plattenmaterial nicht nötig gefunden hat.

Derselbe Beobachter hat mit Hilfe eines von der deutschen Südpolexpedition für das Observatorium er-

worbenen Spektrographen eine Bestimmung der Wellenlängen des Chemischen Elementars vorgenommen. Es ist auch Ansicht von Prof. Hartmann von Interesse, daß dieser bei niedriger Temperatur ohne äußere Energiereserve leuchtende feste Körper im Spektrum hat, welches nicht nur äußerst scharfe Linien, sondern auch die im Ultraviolet gelegenen Intensitätsmaxima besitzt. Ferner gelang mit demselben Apparat die Aufnahme des Bismutspektrums.

Die Sonnenpektroskopnahmen mit Spektrograph IV haben Dr. Eberhard und Dr. Landerdorff an photographischen Refraktör von 32,5 cm Öffnung festgestellt, an 14 Abenden wurden 132 Aufnahmen erhalten. Die Platten von Eberhard (32) wurden ausgemessen und reduziert, und die Resultate unter dem Titel »Über eine merkwürdige Veränderung im Spektrum von γ Bootis« veröffentlicht. Zu einer Untersuchung über die Radialbewegung von γ Aurigae hat Dr. Landerdorff eine Auswertung der von diesem Stern vorhandenen Spektrogramme vorgenommen; von den 26 vorliegenden Platten waren am Schlusse des Jahres bereits 20 verwertet.

Mit dem im Keller der photographischen Kuppel aufgestellten Objektspektrographen sind schon 50 Aufnahmen gemacht worden. Durch Vermessung aller Linien der Spektre auf 5 Platten von je 85 cm Länge (18300 Linien und 1500 Linien des Vergleichsgebietes) und Untersuchung einer Anzahl weiterer Aufnahmen konnte Dr. Eberhard das Nachweis führen, daß in gewissen Präparaten von Dr. Urbain in Paris ein wohl bekanntes, bisher nur dem Namen nach bekanntes Element, Terbium, vorliegt. Die Resultate dieser Untersuchungen wurden der Königlich Akademie der Wissenschaften in Berlin vorgelegt. Auch die Existenz des hitherto unbekannten Dysprosiums konnte erkannt werden; die Messungen des Bogenspektrums dieses Elements haben bereits begonnen.

Prof. Müller hat die Arbeiten mit dem großen Objektspektrographen zu

¹⁾ Siehe Nachrichten 1906 Heft 4, S. 179.

Untersuchungen über die ionisierendes
Licht im Sonnenspektrum unter Aus-
sicht von Dr. Münch fortgeführt. Es
wurden an 33 Tagen im gesamt 82 Auf-
nahmen erhalten. Das Hauptaugenmerk
wurde dabei auf die roten Partien des
Spektrums gerichtet. Mehrere neue Farb-
stoffe in Verbindung mit verschiedenen
Plattensorten wurden geprüft, und es ge-
lang, die Empfindlichkeit in der Mitte
der B-Gruppe bis auf wenige Maseren
herabzusetzen. Die Untersuchungen
sollen weitergeführt werden.

Ende Februar konnte Prof. Wising
die Aufnahmen an dem großen Spektral-

apparat für ionisierende Untersuchungen
mit Anwendung des Kienker-Schubers
Induktionsausbaugesam, nachdem die
wegen der Stärke der Entladungen er-
forderlichen Vorkehrungen zur Sicherung
des Beobachters und des Druckbilders
getroffen worden waren. Es wurden
12 Platten mit je 3 Aufnahmen des
Fluoreszenzspektrums erhalten, worin die Auf-
nahmen vorläufig zu einem Abschluß
geführt sind, bei der Bearbeitung sollen
Überblick über die Ergebnisse gewährt.
Hierbei wird zunächst die Untersuchung
der Absorptionsspektren durchgeführt.

(Schulz folgt)

Vermischte Nachrichten.

Ein unbekannter Stern in der
Nähe der Venus. Prof. Baumbach leitete
eine längere Beobachtung von dem Stern mit
die jetzt infolge der neuesten Asteroiden-
entdeckungen von besonderem Interesse
erscheint. In den Morgenstunden des
13. August 1902 sah er an 36 stelligen
Licht-Rechnungen, gleichzeitig im Gesichtsfeld
mit der gleichförmigen Venus und
etwa 1° nördlich von derselben einen
Stern von ungefähre 7. Größe. Eine ge-
nauere Ortsbestimmung desselben konnte
er wegen der Stellung des Fernrohrs
nicht ausführen, doch stellte er fest, daß
die Position des Sterns nahezu $AR =$
 $5h 52.5m D = + 17^{\circ} 15'$ gewesen
sein muß. An diesem Orte findet sich
aber am Himmel kein Stern 7. Größe,
auch konnte es sich nicht um einen der
hellen Asteroiden (Ceres, Pallas, Juno
oder Vesta) handeln. Venus stand da-
mals in 38° Elongation von der Sonne,
so daß das Objekt auch kein intraur-
baner Planet gewesen sein kann, doch
schließt dies nicht die Möglichkeit eines
Planes innerhalb der Venusbahn aus,
obgleich solches nicht wahrscheinlich
ist. Eine Täuschung aber durch Be-
leuchten des Venusbildes an der Ober-

fläche der Linse im Refraktor ist aus-
geschlossen.

Die Bahn des 7. Jupitermondes
ist von Frank E. Ross auf Grund der
Beobachtungen während der beiden letz-
ten Oppositionen des Jupiter neu be-
rechnet worden. Er findet die Umlauf-
zeit 2947 Tage, die mittlere Ent-
fernung vom Zentrum des Jupiter
107845 Halbmesser der Erde, die
Exzentrizität = 0.208, die Neigung der
Bahnebene gegen die Ebene der Erd-
bahnebene = $22^{\circ} 28'$, die Länge des
schwarzen Knotens = 291° , die Länge
des Perihels = 118° . Dieser Satellit
steht nur um sehr wenig weiter vom
Jupiter entfernt als der 6. Jupitermond,
nämlich um etwa 2 g. oder 178 000 engl.
Meilen. Beide Bahnen sind 28.1° gegen
einander geneigt und wegen der großen
Exzentrizitäten derselben kommen diese
beiden Monde öfters ziemlich nahe
einander auf etwa 2 Millionen engl. Meilen).

Der Komet Finlay (1900 VII) ist
bei seiner demnächstigen Rückkehr am
10. Juli von Kopf auf dem astrophysik-
alischen Institut Kienigstuhl Heidelberg
photographisch aufgenommen worden.
Er stand in $AR 20h 38.1m, D = 14^{\circ} 5'$,

also nahe an dem Orte, wo er nach der Voransberechnung von Schallhof stehen mußte. Der Kometa erschien am 21. Juli als milder Nebel mit schwachen Grenzen und zentraler Verdichtung gleich einem Stern 12. Größe.

Das Komitee für Bibliographie und Studium der Astronomie am Königlich Belgischen Observatorium hat die Veröffentlichung eines Verzeichnisses der Observatorien und Astronomen der ganzen Welt unternommen.

An sämtliche Direktoren von Observatorien wurde eine dreiseitige Anfrage gerichtet, in Form eines Fragebogens mit beigefügter Musterantwort bezüglich des astronomischen Dienstes des Observatoriums von Uccle (Belgien).

Das Verzeichnis wird auch die unabhängigen Astronomen (Universitätsprofessoren, Privatgelehrte usw.) umfassen, die eine im Dienste irgend eines Observatoriums zu stehen, sich mit der Himmelskunde aktiv beschäftigen.

Die herabgelassenen Komets dagelannten Mitteilungen umfassen nicht bloß die Aufstellung eines Verzeichnisses der Observatorien mit Angabe ihrer geographischen Lage und der Mitglieder ihrer Besätze, sondern geben auch ein richtiges Bild von der astronomischen Tätigkeit in der ganzen Welt, dank den Angaben über die Instrumente, die jede Anstalt besitzt, über die Nachforschungen, die sie anstellt, und die Arbeiten, die sie verrichtet.

Wir werden uns an die Leiter von Observatorien, an die eine Anfrage nicht gelangt sein sollte, oder welche ihre Antwort noch nicht eingewandt haben, sowie an dieselbenladigen Astronomen mit der Bitte, sobald als möglich die erzielten Angaben einzuwenden und uns auf dem nicht berücksichtigte Anstalten und Gebiete aufmerksam zu machen.

Einreichungen sind zu richten an den Direktor des Komitees Herr Prof. Dr. P. Stroobant, Astronom am Königlich Belgischen Observatorium in Uccle (Belgien).

Die Versammlung der Astronomischen Gesellschaft findet in diesem Jahre in Jena statt. Folgendes ist das vorläufige Programm: Dienstag, den 11. September, abends 8 Uhr: Begrüßungsversammlung im Gasthof zur Mue. Mittwoch, den 12. September, vormittags 10 Uhr: Erste Sitzung im kleinen Saale des Volkshauses. Nachmittags 3 bis 5 Uhr: Besuch der optischen Werkstätte von Carl Zeiss. Hierauf Spaziergang oder Spaderfahrt nach dem Puschhausrestaurant und fröhliches Abendessen darauf. Donnerstag, den 13. September, vormittags 9 bis 10¹⁵ Uhr: Besuch des Observator von Scheff & Gen. Vormittags 11 Uhr: Sitzung im kleinen Volkshaus. Abends 7 Uhr: Festessen, gegeben von der Großherzoglich-Sächsischen Staatsregierung, im großen Saale des Volkshauses. Freitag, den 14. September, vormittags 10 Uhr 23 Min.: Ausflug nach Weimar zum Besuch der dortigen Sternwächterstiftung. Sonntabend, den 15. September, vormittags und nachmittags Sitzungen. Abends: Gesellschaftliches Zusammensein im Hotel zur Sonne.

Fernrohr für Freunde der Himmelsbeobachtung. Aus dem Leuckert'schen «Serius» sind mir mehrere grünen und kleinen sehr gut erhalten Fernrohre zum Verkaufe angeboten worden. Fernrohr der Himmelsbeobachtung, welche die Anschaffung eines solchen Instrumentes beabsichtigen, und sich darüber zu erkundigen wollen, lasse ich zu jeder gewünschten Auskunft gern bereit. Prof. Dr. Kötter

Astronomischer Kalender für den Monat November 1906.

Sonnen				Mond			
Mittlerer Berliner Mittag.				Mittlerer Berliner Mittag.			
$\frac{h}{m}$	Zeitgl. M. Z. — W. Z.	Rektascension	Declination	Rektascension	Declination	Mond im Meridian	
$\frac{h}{m}$	$\frac{s}{s}$	$\frac{h}{m}$	$\frac{s}{s}$	$\frac{h}{m}$	$\frac{s}{s}$	$\frac{h}{m}$	$\frac{s}{s}$
1	— 57 58.55	14 28 07.97	— 14 10 28.5	1 40 47.98	+14 28 48.8	15 58.1	
2	55 58.95	14 29 11.52	14 20 32.0	1 37 49.71	15 54 53.9	59 5.8	
3	53 59.44	14 30 59.98	14 31 39.9	1 35 44.98	16 48 23.7	23 54.8	
4	51 59.99	14 32 48.99	14 32 33.9	1 33 39.98	17 42 53.8	34 41.8	
5	49 59.59	14 33 44.58	14 33 39.9	1 31 35.73	18 38 40.9	45 29.8	
6	47 59.95	14 34 43.68	14 43 34.5	1 29 32.02	19 33 35.5	56 18.8	
7	45 59.55	14 35 47.93	15 5 28.5	1 27 28.38	20 28 3.8	67 1.7	
8	44 59.94	14 36 47.98	15 20 3.2	1 25 25.07	21 23 59.4	77 45.4	
9	43 59.51	14 36 48.98	15 45 51.5	1 23 21.96	22 18 54.8	88 44.8	
10	42 59 2.35	14 36 49.67	15 59 44.8	1 21 19.09	23 13 51.8	99 33.7	
11	41 59.94	15 0 49.54	16 24 40.1	1 19 16.38	24 8 58.8	90 21.8	
12	40 59.97	15 0 49.85	16 31 37.4	1 17 13.85	25 3 55.9	81 11.7	
13	39 59.48	15 18 50.64	16 47 37.9	1 15 11.40	+ 8 11 4.7	72 1.8	
14	38 59.95	15 14 50.55	16 3 39.8	1 13 9.58	— 4 33 3.8	63 8.8	
15	38 59.94	15 15 49.45	16 20 31.4	1 11 8.05	5 34 3.5	54 14.4	
16	38 59.48	15 25 51.15	16 54 44.8	1 9 6.00	16 28 58.8	—	
17	38 59.48	15 37 38.75	17 40 59.5	1 7 53.54	17 31 4.5	5 31.4	
18	38 59.95	15 50 57.15	18 3 33.8	1 7 50.84	18 2 50.4	1 57.8	
19	38 59.44	15 58 58.55	18 16 54.1	1 7 47.99	19 52 25.1	9 59.6	
20	38 59.55	15 59 49.42	18 32 58.5	1 7 44.74	20 43 44.8	18 45.8	
21	38 59.55	16 13 57.98	18 49 30.8	1 7 41.79	21 35 4.5	28 3.2	
22	38 59.98	16 44 9.95	19 10 58.4	1 7 40.54	22 27 59.8	38 50.7	
23	38 59.58	16 55 51.59	19 23 59.9	1 7 39.77	23 19 18.5	48 40.8	
24	38 59.94	16 58 54.81	19 38 37.8	1 7 38 58.65	24 10 29.8	58 37.1	
25	38 59.48	16 5 49.44	19 57 38.8	1 7 37.97	— 5 34 43.4	68 31.7	
26	38 49.82	16 5 57.14	20 47 37.8	1 7 37.81	+ 1 5 59.8	78 24.1	
27	38 59.55	16 5 58.95	21 5 52.8	1 7 38 28.85	2 10 52.7	88 16.8	
28	38 59.94	16 41 54.75	21 15 51.4	1 7 38 59.8	3 3 2.8	98 9.4	
29	38 59.58	16 17 53.94	21 33 58.8	1 7 38 59.8	4 5 57.4	10 8.8	
30	— 37 59.51	16 38 5 58	— 21 33 45.7	1 7 38 58	+14 5 12.3	11 57.8	

Finsternisereignisse 1906.

November	$\frac{h}{m}$	$\frac{s}{s}$	Art der Konjunktion mit dem Monde.
"	6	4	Merkur in Konjunktion mit dem Monde, Bedeckung
"	7	18	Merkur in größter südlicher elongation
"	8	8	Merkur in Konjunktion mit Jupiter, Merkur 1° 52' süd.
"	9	10	Merkur in größter südlicher elongation 32° 5'
"	12	22	Mars in Konjunktion mit dem Monde.
"	14	25	Merkur in Konjunktion mit Venus, Merkur 1° 58' süd.
"	17	4	Venus in Konjunktion mit dem Monde.
"	21	7	Merkur in Konjunktion mit dem Monde.
"	22	4	Uranus in Konjunktion mit dem Monde, Bedeckung
"	24	15	Merkur in südlicher elongation, Merkur
"	25	14	Venus in weiterer Konjunktion mit der Sonne
"	26	18	Merkur in weiterer Konjunktion mit der Sonne.
"	30	12	Merkur in Konjunktion mit Venus, Merkur 1° 28' süd.

Stellungen der Jupitermonde im November 1906.



Stellungen von III für den Ablick im astronomischen Perpetuum

Tag	West	Ost
1	-4	1, -8
2	-1	-4 2' 3
3	8'	1' 2' -4
4	12 2'	-8
5	12 1'	-8
6	-8	-12'
7	2' 1'	6'
8		1, -2 2'
9	1	2' 3
10	3 1'	2' 1'
11	4' -2	-1 2'
12	-4	2' 3
13	-8	-2
14	-4	1, 3
15	12 1'	-4
16	2	1' 2 4
17	-8	2' 3
18	3	-1 2'
19	12 1'	2' 3
20	-8	2' 3
21	2	-4
22	12 1'	2' 3
23	2	1' 2 4
24	-8	2' 3
25	2	-4
26	12 1'	2' 3
27	-8	2' 3
28	2	-4
29	12 1'	2' 3
30	-8	2' 3

Erscheinungen der Jupitersonde. Die scheinbaren Angaben über die Erscheinungen der Jupitersonde beziehen sich auf mittlere Zeit von Greenwich. Die Teichanten sind der Reihenfolge nach Abwärts vom Jupiter nach mit I bis IV bezeichnet. Die vier größten Figuren zeigen die Stellung jedes Mondes mit Bezug auf den Jupiter bei dem Ausgange der Verhinderung (S) oder des Wiedererscheinens (E). Ist r nicht angegeben, so kann der Austritt aus dem Schatten nicht bestimmt werden. Ferner bedeutet bei den nachfolgenden Zeitangaben:

- Re D den Verschwinden des Teichanten im Schatten des Jupiter.
- Re E den Austritt des Teichanten aus dem Schatten des Jupiter.
- Co D das Verschwinden des Teichanten hinter der Jupiterscheibe.
- Co E das Wiedererscheinen scheinbar neben der Jupiterscheibe.
- Te I den Eintritt des Teichanten vor die Jupiterscheibe.
- Te E den Austritt des Teichanten aus der Jupiterscheibe.
- Sh I den Eintritt des Teichantenschattens auf die Jupiterscheibe.
- Sh E den Austritt des Teichantenschattens aus der Jupiterscheibe.

Es sind nur diejenigen Erscheinungen der Jupitersonde aufgeführt, welche sich ereignen, wenn Jupiter am Greenwich über und die Sonne unter dem Horizont steht. Um die Momente dieser Erscheinungen nach mittellochzeitlicher Zeit zu finden, ist man vor nötig, 15 zu den angegebenen Zeitangaben zu addieren.

November 1. I. Co. D. 14^h 30^m 00^s. II. Co. E. 14^h 17^m. November 2. I. Co. D. 12^h 22^m 15^s. November 3. II. Te. E. 14^h 17^m. I. Sh. I. 14^h 20^m. I. Te. I. 14^h 24^m. I. Sh. E. 12^h 22^m. I. Te. E. 14^h 21^m. November 4. I. Sh. I. 12^h 20^m 30^s. I. Co. E. 12^h 20^m November 5. I. Sh. I. 14^h 21^m. I. Te. E. 14^h 21^m. I. Sh. E. 12^h 19^m. I. Te. E. 12^h 19^m. November 6. I. Co. E. 14^h 17^m. II. Sh. I. 14^h 21^m. II. Te. I. 14^h 24^m. November 7. I. Te. E. 12^h 19^m. II. Co. E. 14^h 17^m. II. Sh. I. 14^h 21^m. II. Te. I. 14^h 24^m. November 8. I. Co. E. 14^h 17^m. II. Sh. I. 14^h 21^m. II. Te. I. 14^h 24^m. November 9. I. Co. E. 14^h 17^m. II. Sh. I. 14^h 21^m. II. Te. I. 14^h 24^m. November 10. I. Co. E. 14^h 17^m. II. Sh. I. 14^h 21^m. II. Te. I. 14^h 24^m. November 11. Co. E. 14^h 17^m. II. Sh. I. 14^h 21^m. II. Te. I. 14^h 24^m. November 12. I. Co. E. 14^h 17^m. II. Sh. I. 14^h 21^m. II. Te. I. 14^h 24^m. November 13. I. Co. E. 14^h 17^m. II. Sh. I. 14^h 21^m. II. Te. I. 14^h 24^m. November 14. I. Co. E. 14^h 17^m. II. Sh. I. 14^h 21^m. II. Te. I. 14^h 24^m. November 15. I. Co. E. 14^h 17^m. II. Sh. I. 14^h 21^m. II. Te. I. 14^h 24^m. November 16. I. Co. E. 14^h 17^m. II. Sh. I. 14^h 21^m. II. Te. I. 14^h 24^m. November 17. II. Sh. I. 14^h 21^m. II. Te. I. 14^h 24^m. November 18. I. Co. E. 14^h 17^m. II. Sh. I. 14^h 21^m. II. Te. I. 14^h 24^m. November 19. I. Co. E. 14^h 17^m. II. Sh. I. 14^h 21^m. II. Te. I. 14^h 24^m. November 20. I. Co. E. 14^h 17^m. II. Sh. I. 14^h 21^m. II. Te. I. 14^h 24^m. November 21. I. Co. E. 14^h 17^m. II. Sh. I. 14^h 21^m. II. Te. I. 14^h 24^m. November 22. I. Co. E. 14^h 17^m. II. Sh. I. 14^h 21^m. II. Te. I. 14^h 24^m. November 23. I. Co. E. 14^h 17^m. II. Sh. I. 14^h 21^m. II. Te. I. 14^h 24^m. November 24. I. Co. E. 14^h 17^m. II. Sh. I. 14^h 21^m. II. Te. I. 14^h 24^m. November 25. I. Co. E. 14^h 17^m. II. Sh. I. 14^h 21^m. II. Te. I. 14^h 24^m. November 26. I. Co. E. 14^h 17^m. II. Sh. I. 14^h 21^m. II. Te. I. 14^h 24^m. November 27. I. Co. E. 14^h 17^m. II. Sh. I. 14^h 21^m. II. Te. I. 14^h 24^m. November 28. I. Co. E. 14^h 17^m. II. Sh. I. 14^h 21^m. II. Te. I. 14^h 24^m. November 29. I. Co. E. 14^h 17^m. II. Sh. I. 14^h 21^m. II. Te. I. 14^h 24^m. November 30. I. Co. E. 14^h 17^m. II. Sh. I. 14^h 21^m. II. Te. I. 14^h 24^m.

Stellungen der Saturnsonde. (Erklärung S. 20.)

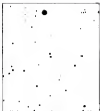
Zeiten der scheinbaren elongation am November 1893.

Tithys. November 1. 14^h. November 3. 14^h. November 4. 14^h. November 6. 14^h. November 8. 14^h. November 10. 14^h. November 12. 14^h. November 14. 14^h. November 16. 14^h. November 18. 14^h. November 20. 14^h. November 22. 14^h. November 24. 14^h. November 26. 14^h. November 28. 14^h. November 30. 14^h.

Rima. November 1. 14^h. November 3. 14^h. November 4. 14^h. November 6. 14^h. November 8. 14^h. November 10. 14^h. November 12. 14^h. November 14. 14^h. November 16. 14^h. November 18. 14^h. November 20. 14^h. November 22. 14^h. November 24. 14^h. November 26. 14^h. November 28. 14^h. November 30. 14^h.

Elia. November 1. 14^h. November 3. 14^h. November 4. 14^h. November 6. 14^h. November 8. 14^h. November 10. 14^h. November 12. 14^h. November 14. 14^h. November 16. 14^h. November 18. 14^h. November 20. 14^h. November 22. 14^h. November 24. 14^h. November 26. 14^h. November 28. 14^h. November 30. 14^h.

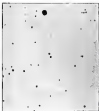
Tham. November 1. 14^h. November 3. 14^h. November 4. 14^h. November 6. 14^h. November 8. 14^h. November 10. 14^h. November 12. 14^h. November 14. 14^h. November 16. 14^h. November 18. 14^h. November 20. 14^h. November 22. 14^h. November 24. 14^h. November 26. 14^h. November 28. 14^h. November 30. 14^h.



Stern 1906

Tafel X

Stereoskopische Bestimmung der relativen Eigenbewegung von Fixsternen
nach Professor M. Wolf



Seite 1908

Tafel X

Stereoskopische Bestimmung der relativen Eigenbewegung von Fixsternen
nach Professor H. Wolt.

SIRIUS.

Zeitschrift für populäre Astronomie.

Centralorgan für alle Freunde und Förderer der Einzelstudien.

Herausgegeben

unter Mitwirkung hervorragender Fachlehrer und wissenschaftlicher Schriftsteller

von Prof. Dr. Hermann J. Klein in Köln.

Oktober 1906.

„Wissen und Erleben sind die Freude und die
Bestimmung der Menschheit.“ — *Riemer*

Jedes Heft 1 Mark. — Jährlich 12 Mk.

Verlag von EDUARD HEINRICH MEYER in Leipzig.

INHALT: Der Spektralkomparator. S. 117. — Sonnenfleckenperioden. Von Arthur Schuster. S. 119. — Die veränderte Himmelsdecke während der Sonnenlaufperiode am 26. August 1905. S. 122. — Die Verteilung der dunklen Mondflecken auf dem Monde. S. 123. — Historisch-kritische Bemerkungen über 4 hellere Saturnringe. S. 124. — Das Meteor vom 14. März 1905. S. 126. — Beobachtungen über die Helligkeit der Nove in der Dodekagon. S. 128. — Die Verteilung der atmosphärischen Ozonegehalte in Potsdam 1915. (Schluß). S. 129. — Vermehrte Meteoriten. (Klein, Teil II.) S. 134. — Notizen der Saturnringe. S. 135. — Astronomischer Kalender. S. 137. — Notizen der Jupitermonde. S. 140. — Erscheinungen der Jupitermonde. S. 140. — Druckfehler S. 140.

Der Spektralkomparator.

In genauer Messung der Verschiebungen aus der normalen Lage, welche die Linien in den Spektrogrammen der Gestirne zeigen, ist besonders von großer Wichtigkeit, weil daraus auf gewisse physikalische Zustände jener Himmelskörper, in erster Linie aber auch auf die Bewegung ihrer Licht aussendenden Materie in der Gegend um die Erde, geschlossen werden kann. Die Bestimmung dieser Selbstbewegung spielt gegenwärtig eine besonders wichtige Rolle, ja sie hat zur Aufklärung einer bis dahin unbekannten Klasse von Doppelsternen geführt, die den Namen spektroskopische Doppelsterne erhielten, weil sie unmittelbar am Fernrohr nicht getrennt gesehen werden können. Unter diesen Umständen ist die möglichste Verfeinerung der Messungsmethoden

dieser Linienverschiebungen erwünscht, sowohl in bezug auf größtmögliche Genauigkeit als bequeme Ausführung desselben. Prof. J. Hartmann in Potsdam hat nun endlich ein neues Verfahren zur Messung dieser Linienverschiebungen auf Spektrogrammen mitgeteilt,¹⁾ das beiden Erdhemisphären in sehr hohem Maße gerecht wird. Es gründet sich auf das Prinzip des Spektalkomparators und Prof. Hartmann hat deshalb seinem neuen Meßapparat den Namen Spektalkomparator gegeben. Im folgenden ist das Wichtigste über Zweck, Einrichtung und Anwendung dieses Apparates aus der Darstellung, welche Prof. Hartmann darüber in der Zeitschrift für Instrumentenkunde gegeben hat, kurz mitgeteilt.

¹⁾ *Zeits. des Astr. phys. Obs. zu Potsdam* 1906, 18, Nr. 12.

Das bisherige Verfahren, sagt Prof. Hartmann, zur Messung der Linienverschiebung in Sternspektren bestand darin, daß man den Faden eines Mikroskops der Reihe nach auf die einzelnen Linien des Sternspektrums und des neben ihm aufgeworrenen irdischen Vergleichspektrums, in der Regel des Eisenpektrums, einstellte. Um aus den hierbei erhaltenen Ablesungen der Mikschraube die Linienverschiebungen und somit die Werte der Geschwindigkeit des Sterns berechnen zu können, mußten die Wellenlängen der gemessenen Linien als bekannt vorausgesetzt werden. Dieses Verfahren hat sich bei den kometarischen Spektren vom ersten Sternstypus so vollkommen bewährt, daß wohl kaum etwas Besseres an seine Stelle zu setzen ist. Doch die wenigen Linien dieser Sternspektren können ohne großen Zeitaufwand nicht ständig gemessen werden, und ihre Wellenlängen sind, da sie wenigen Gasen, in erster Linie dem Wasserstoff und Helium angehören, genau bekannt. Die vollständige Ausmessung und Reduktion eines solchen Spektrens ist (bei Anwendung des bisherigen, von Prof. Hartmann früher beschriebenen Verfahrens) in etwa zwei Stunden zu erledigen. Ganz anders liegen jedoch die Verhältnisse bei den kometarischen Spektren der andern Sternstypen. Erstens sind die Linien in diesen Spektren so schwach, daß ihre vollständige Ausmessung und Reduktion viele Tage in Anspruch nehmen würde, zweitens aber war die strenge Reflexion einer solchen Messungsreihe bisher überhaupt nicht möglich, da die Wellenlängen der Linien nicht mit genügender Sicherheit bekannt sind. Man hat sich deshalb bis jetzt immer auf eine nur teilweise Bearbeitung der kometarischen Spektren beschränkt, indem man nur eine kleine Anzahl der Linien am Mikroskop einstellte, wobei also der größte Teil des reichen, in der Spektralanalyse vorhandenen Beobachtungsmaterials unberührt blieb. Zu dem aus

diesen Messungen abgeleiteten Geschwindigkeitswerte mußte man dann stets noch die Bemerkung setzen, daß er, wenn später definitive Werte der benutzten Wellenlängen bekannt würden, noch eine kleine Änderung erleiden könnte. Die Schwierigkeit, wichtige Wellenlängen für diese Sternspektren zu ermitteln, hat ihren Grund zum Teil darin, daß die zu den Aufnahmen benutzten Sternspektrographen nicht einstante sind, alle die nun zusammenstichendes Linien völlig voneinander entfernen, so daß diese im Spektrogramm häufig gruppenweise zusammenfallen. Doch auch für die wirklich isoliert stehenden Linien ist ihre genaue Wellenlänge. Man mußte früher aus den kometarischen Tafeln des Sonnenspektrums entnehmen, dessen Wellenlängen bisher noch nicht in einerseits jeder Weise an das irdische Eisenpektrum angeschlossen worden sind, so daß der systematische Unterschied der beiden Wellenlängensysteme früher in alle spektroskopischen Geschwindigkeitsmessungen vollständig eingegraben mußte. Dazu kam auch, daß die wirklich isolierten Linien häufig so kurz waren, daß ihre Einstellung mit dem Mikroskopischen Schwenkgerät möglich, und daß man immer erst am Schluß der Rechnung aus der Übereinstimmung der verschiedenen für die Geschwindigkeit gefundenen Werte in einer von Willeit nicht freien Weise inspektieren konnte, ob man nicht für manche Linien stark abweichende Wellenlängen angenommen hätte.

Alle diese Schwierigkeiten werden nun durch die neue Mißverfahren beseitigt. Dasselbe ermöglicht es, die vollständige Ausmessung und Reduktion jedes auch so kometarischen Spektrens und die Ableitung der definitiven Geschwindigkeit in bis zu zwei Stunden zu erledigen. Dieser große Vorteil wird dadurch erreicht, daß nicht mehr die Einstellung eines Fadens auf die einzelnen Linien, sondern die gleichzeitige Koordinateneinstellung mehrerer Linien

tracht Spektren auf die entsprechenden Linien eines anderen Spektrums verglichen wird.

Die Anfertigung der Spektrogramme mit dem Sternspektrographen erfolgt genau in der bisherigen Weise, es befinden sich also zu beiden Seiten des Sternspektrums die Linien des irdischen Vergleichspektrums, also gewöhnlich des Eisenpektrums. Auf den mit dem Potsdamer Spektrographen III aufgenommenen Platten ist das Sternspektrum 0,25 mm breit, und zu beiden Seiten liegen, durch 0,25 mm breite Zwischenräume von ihm getrennt, zwei 0,60 mm breite Eisenpektren. Mit demselben Spektrographen nimmt man nun auch ein Sonnenspektrum auf, welches aber 0,55 mm breit gemacht wird, so daß zwischen ihm und dem Eisenpektrun beiderseits nur 0,1 mm Zwischenraum bleibt.

Der zur Anfertigung der Platten dienende Wellapparat wurde auch Prof. Hartmann von der Firma Carl Zeiss in Jena unter der besonderen Leitung von Herrn Dr. Patzsch ausgeliefert.

Prof. Hartmann gibt Zeichnungen und Beschreibung desselben, wegen deren Detail auf eine Abhandlung verwiesen werden muß. Hier genügt die Bemerkung, daß bei den Nacharbeiten des Spektrogramms der Sonne auf einer, die des Sterns auf einer zweiten Platte, jedes unter einem Mikroskop belichtet wird. Sind beide Spektren richtig gelagert und justiert, so trifft die eine beim Sehen durch das gemeinsame Okular Teile des Sternspektrums beziehungsweise seines Vergleichspektrums, während das übrige Gesichtsfeld vom Bilde des unter dem durchs Mikroskop liegenden Sonnenspektrums ausgefüllt wird. Dieses bei der Ausmessung der Sternspektren unter der Mikroskop zu legenden Sonnenspektrum bezeichnet Prof. Hartmann als das Fundamentalspektrum, weil auf ihm alle gemessenen Geschwindigkeiten beruhen. Mit dem Komparator wird nämlich dieselbe Differenz der Linsenveränderungen,

also auch die Differenz der Geschwindigkeiten zwischen dem Sternspektrum und dem Fundamentalspektrum, gemessen; da man nun die Geschwindigkeit der Sonne in die Geschwindigkeit beiderseits kann, so ist damit auch die Geschwindigkeit der Sterne gefunden. Natürlich kann man an Stelle des Sonnenspektrums auch beliebige Sterne für das Fundamentalspektrum verwenden.

Die eigentliche Messung besteht nun lediglich darin, daß man nebeneinander das Sternspektrum mit dem überlagerten Sonnenspektrum und dann die Eisenpektren zur Koinzidenz bringt. Da die Spektren in ihrer ganzen im Gesichtsfeld sichtbaren Länge genau koinzidenten, so erkennt man auf einem Blick, welche Linien in beiden genau übereinstimmen und also zur Herleitung der Koinzidenz zu verwenden sind. Dabei beachten dies durchaus keine sehr begrenzten oder symmetrischen Linien zu sein, auch breite Gruppen, Ranten von Banden und selbst die im Negativ dunklen Zwischenräume zwischen Linien sind gleich gut verwendbar. Die Beobachtung ist durch diese teilweise über Vergleichung der Spektren sehr erleichtert und geht so nach und nach, daß die vollständige Ausmessung aller Linien eines heliostatischen Spektrums in etwa einer halben Stunde erledigt ist.

Ebenso einfach wie die Messungen und die Reduktionsrechnungen, wie Prof. Hartmann in einem Beispiel zeigt, so daß zur vollständigen Auswertung eines Sternspektrums, das früher viele Tage in Anspruch genommen hätte, jetzt höchstens zwei Stunden gebraucht werden. Dabei ist das neue Verfahren vollkommen streng, weil bei demselben keinerlei unzulässige Annahmen gemacht oder Vernachlässigungen begangen werden.

Auch die Genauigkeit des neuen Meßverfahrens ist wegen der außerordentlich großen Zahl der benutzten Koinzidenzen größer, als die der früheren Messungen, trotzdem aber wird der

genaueste Wert der Geschwindigkeit wegen der Ausschaltung aller Fehler, die früher durch unrichtige Annahmen über die Wellenlängen der beobachteten Linien in das Resultat hineingebracht wurden, erheblich sicherer und definitiver als der oben erwähnte Abhandlung hat Prof. Hartmann diese seltene Untersuchung über die Genauigkeit des Verfahrens auf Grund eines größeren

Beobachtungsmaterials ausgeführt. Das Ergebnis derselben ist, daß während keiner bei den besten Beobachtungsverfahren der wahrscheinliche Fehler einer aus einer Platte abgelesenen Geschwindigkeit nicht unter 0.25 des Betrag, an bei der Messung mit dem Komparator leicht gelangt, die Bewegung auf 0.1 so genau zu bestimmen.

Sonnenfleckperioden.¹⁾

Von Arthur Schuster

Erdmanns Kunst zeigt die Darstellung der Strahlungsintensität durch Kurven, deren Abscissen die Wellenlängen bezeichnen, und schenkt dem Wert dieser Darstellungen. Sie läßt uns seltene Linienperioden von einem Banden- oder kontinuierlichen Spektrum unterscheiden und legt Constantitätsbedingen nahe, die ohne diese Methode schwer zu erkennen wären.

In der Praxis liefert uns aus dem Spektroskop die Daten, mittels deren wir die Intensitätskurve konstruieren können, was aber für die Lichtquelle des Spektroskops, das kein der Hockung für jede Größe besitzt, die um deren Mittelwert schwankt. Sind wir doch in jedem Falle zureichend, um in jeder Beziehung der Strahlungskurve analoge graphische Darstellung zu geben, aus der der Zusammenhang zwischen der Periode und der Intensität hervorgeht. Diese Kurve nennt ich Periodographen, ihre Darstellung Periodogramme. Es gibt ein Periodogrammen des Regens, der Barometernschwankungen usw. und ich glaube, daß solche Kurven — wenn man sie nur für verschiedene Orte zeichnen würde — eine wichtige und charakteristische klimatologische Aufschlüsse geben würden.

Während der letzten drei Jahre habe ich mich damit beschäftigt, die Periodogramme der Sonnenfleckenzahl zu berechnen. Die Resultate dieser

Untersuchung habe ich der Royal Society mitgeteilt, das Folgende ist ein Auszug aus der Publikation. In der ersten Abhandlung beweise ich die Analogie zwischen der Spektralanalyse durch ein Gitter und dem Prozeß einer rechnerischen Analyse. In der zweiten Arbeit teile ich die Anwendung der Methode auf die Statistik der Sonnenflecke mit.

Als Daten wurden die Sonnenfleckenzahlen von Wolf und Wolfer verwendet, die bis zum Jahre 1749 zurückreichen. Außerdem habe ich noch, wo war möglich, die Zahlen verwendet, die die «Solar Physics Committee» und die «British Board of Education» vom Jahre 1832 an für die Fleckenzahlen bei einer periodischen Untersuchung ergab. Auch die vom Greenwich-Observatorium photographisch aufgenommenen Fleckenzahlen für jeden Tag des Jahres. Im Jahr 1. Januar 1883 wurde endlich berücksichtigt.

Erstens wurden sämtliche Beobachtungen zu einer Reihe von 150 Jahren zusammengefaßt, zweitens wurde die Reihe in zwei gleiche Teile geteilt, von denen jeder einer der Untersuchung unterworfen wurde.

Beim ersten Anblick wirkt die Be-

^{1) Mathematische Zeitschrift 1886, S. 108, Übersetzt aus Nature 15 (1894), 335 (1895) von V. Cornu.}

bedeutung der zum 15-jährigen Rehen-
verweilen. Während die Beobach-
tungen, die mit 1826 beginnen, das
sichere geschlossene Periode von
11,125 Jahren aufweisen, scheint des-
selben das Jahre 1749 bis 1826 betref-
fend als fehlen. An ihre Stelle
treten während dieses Zeitraumes zwei
Periodengruppen, eine von 9-25 Jahren,
die andere von etwa 13,75 Jahren.
Letztere Periode ist mehr dadurch
charakterisiert, was man in der Spek-
tralanalyse mit „Band-“ bezeichnet, indem es
sich zwischen 1826 bis zu 1835 Jahren
bewegt, doch mag nach mancher Meinung
in dem Beobachtungsanstreng an diesem
Umstande schuld sein. Einige Zeit
neigte ich der Ansicht zu, daß die von
uns beobachteten Periodendauern karak-
teristisch sind und von einer Anzahl anderer
abgeleitet werden, die dann auch bald
wieder verschwinden. Eine genaue
Untersuchung übertrug mich jedoch
davon, daß die Periodendauern in Be-
ziehung auf die Zeit, die von einem
Maximum zum andern verläuft, fast
regelmäßig variieren — nahezu mit
atomarischer Bestimmtheit. Den
Schlüssel zu diesem Problem glaube
ich in folgenden gefunden zu haben:
Eine Anzahl Perioden greifen über-
einander, welche der Dauer nach sehr
regelmäßig sind, der Intensität nach
aber stark variieren; so kommt es, daß
die eine oder andere Periode eine An-
zahl von Jahren hindurch nicht zum
Ausdruck kommt. Die wirkliche Existenz
der Periode ist aber dadurch erwiesen,
daß, wenn immer sie nach einer ge-
wissen Zeit wiederkehrt, die in ihrer
Phase eine Fortsetzung der früheren
Periode bildet.

Eine Periode von 475 Jahren tritt
nicht durch die ganze Beobachtungs-
reihe. Die Amplitude derselben beträgt
 $\frac{1}{2}$ der 11-jährigen und ist so groß, wie
diese Periode als zufällig erscheinen zu
lassen. Sie erscheint sowohl in den
Wolfen Zahlen, die von 1749 bis
1826 reichen, als in den Rehen von 1835
bis 1890, je auch in den durch Aus-

messung der Periodendauern gewonnenen
Zahlenreihen. Die Phasen dieser Periode
werden aus den genannten Serien er-
rechnet und zeigen eine gute Über-
einstimmung. Während ich übrigens noch
gar nicht in die Beständigkeit der
11-jährigen Periode glaube, zweifelte ich
an dem, daß die 475-jährige Periode
während der ganzen 156 Jahre als legiti-
miert zu betrachten sei. Für die
Periodendauer erhält man als gewöhn-
lichen Wert 480 Jahre, doch zweifle ich
nicht, daß dieser Wert etwas reduziert
wäre, wenn man die neueren und voll-
ständigeren Beobachtungen in größerem
Gewicht ansetzen würde. Die Haupt-
periode, welche der Sonnenflecken-
forschung im letzten Jahrhundert den
Sinngehalt ausdrückt, habe ich zu
11,125 Jahren gefunden. Dies stimmt
gut mit der Wolfen Zahl 11,124 und
der Neuenbachs 11,13 überein.

Betrachtet man jedoch mit den bis
1832 zurückreichenden gemessenen Flächen-
zusammensetzungen der Flecken, so kommt
man zur völligen Eliminierung der Haupt-
periode und findet ganz ausgesprochene
Maxima innerhalb der Jahre 1834, 1845,
1855, 1862 und 1879, die Intervalle
alternieren also zwischen 9 und 8 Jahren,
was ein Mittel von etwa 8,5 Jahren er-
gibt. Das Periodogramm, welches auf
den Wolfen Zahlen für die ganze
Reihe von 1749 bis 1890 basiert ist,
zeigt ein ausgesprochenes Intermit-
tanzmaximum für die Periode von 8-25 Jahren,
indem wir aber Rücksicht auf die Be-
obachtungen auf 1826 und nur auf
Benutzung der Wolfen Serie die in
Frage stehende Periode brechen,
können wir dann für das folgende Inter-
vall die Eliminierung der Maxima ver-
messen. Wir erhalten dann folgende
Zeiten: 1838,3, 1844,2, 1852,9, 1861,2,
1869,4; dies ist wohl eine genügende
Übereinstimmung mit den obigen Zahlen.
Die kleine Divergenz der Phasen könnte
durch die Annahme einer Perioden-
dauer von 8,32 Jahren korrigiert werden.

Eine Periode von 135 Jahren
zeigt im Periodogramm der ganzen

Reihe ein Maximum der Intensität. In Verbindung mit dem Folgenden scheint dies eine sehr merkwürdige Tatsache zu sein. In den Wolfischen Zahlen findet man drei Fälle, in denen zwischen dem Eintritte der Maxima 13 bis 14 Jahre liegen: 16340—16396, 18184—18299, 18706—18818. Auch das Intervall 16395—18184 beträgt um 13mal 1741 Jahre und das Intervall zwischen 18299—18706 um 3mal 1347 Jahre. So also passen die Maxima in eine Periode von 136 Jahren hinein, welche auch mit wechselnder Intensität, sich durch die ganze Reihe hindurchzieht. Ich möchte auf solche Verhältnisse nur numerische Zufälligkeiten sein zu großen Gewicht legen und kehre zu den drei Perioden zurück, welche mit einiger Genauigkeit festgestellt sind. Nachdem nämlich die Periodenzeiten voneinander unabhängig bestimmt worden waren, stelle ich eine merkwürdige Zahlenbeziehung heraus, die respective Werte der Periodenzeiten ergeben würde:

$$\frac{1}{11.175} = 0.089489$$

$$\frac{1}{8.32} = 0.12019$$

addirt finden wir

$$\frac{1}{4.76} = 0.21030$$

Die Summe der reciprocalen Werte dieser beiden Perioden stimmt also voll-

kommen mit der Frequenz der dritten Periode überein. Es läßt sich aber auch zeigen, daß die ersten zwei Zahlen nahezu in dem Verhältnisse von 3:4 stehen, so daß wir also die drei Perioden als Subperioden einer Periode von 33.375 Jahren bezeichnen können, denn

$$\frac{3}{4} \cdot 33.375 = 25.031$$

$$\frac{3}{4} \cdot 33.375 = 25.031$$

$$\frac{1}{4} \cdot 33.375 = 8.344$$

$$\frac{1}{4} \cdot 33.375 = 8.344$$

Wie weit diese Beziehung genau oder ungenau ist, kann man momentan nicht sagen, doch scheint es mir notwendig, darauf hinzuweisen, daß diese drei doch mit einem hohen Grade von Sicherheit gefundenen Perioden vielleicht in einem einfachen Verhältnisse zueinander stehen.

Wenn wir nun noch eine Periode von doppeltem Betrage der höheren annehmen würden, so könnte wir leicht auch in der vierten Periode gelangen, denn $\frac{1}{5} \cdot 66.75$ würde 13.35 Jahre in

hinführender Übereinstimmung mit der früher ermittelten Periode von 13.57 Jahren stehen. Die Differenz ist jedoch größer als es sein sollte, und so will ich mich über diesen Gegenstand nicht weiter verbreiten.

Das zerstreute Himmelslicht während der Sonnenfinsternis am 30. August 1905.

 Prof. Dr. J. Wenzel hat¹⁾ gelegentlich der Sonnenfinsternis am 30. August 1905, zu welcher Zeit er sich in Triest (Kroatien) befand, vor, nach und während der Sonnenfinsternis vergleichende Beobachtungen über die Helligkeit des direkten Sonnen- und des diffusen Himmelslichtes nach

einer von ihm angegebenen Methode angestellt.

Ich gelangte hierbei²⁾ berichtet zu dem überraschenden und mir geradezu paradox erscheinenden Resultate, daß die Intensität des diffusen Himmelslichtes während der Sonnenfinsternis stärker abnimmt, als jene des direkten Sonnenlichtes.

Von anderer Seite vorher angestellte

¹⁾ Wiener Anst. Anzeiger 1906, S. 312

Beobachtungen über diese Verhältnisse waren nur sehr bekannt und gerade die Meinung, dasselbe Beobachtungen seien bisher noch nicht gemacht worden, haben mich bewogen, die genannten Versuche durchzuführen.

Ich begnüge mich mit der empirischen Feststellung der Tatsache, da eine kritische Behandlung dieser Frage in das Gebiet der kosmischen Physik einschlägt und sich einer Komplexität entzieht.

Die Bearbeitung meiner Beobachtungen hat Herr Dr. Fritz M. Eiser übernommen, welcher später über dasselbe berichtet wird. Die inzwischen angekauften Literaturstellen haben ergeben, daß bereits bei der totalen Sonnenfinsternis am 18. August 1905 (beobachtet von John Herschel zu Jankhede in Indien) und bei der gleichfalls totalen Sonnenfinsternis am 22. Dezember 1879 (beobachtet von H. E. Roscoe und E. Thorpe zu Catania) auf das beschränkte Verhältniß Rücksicht genommen wurde. Es haben die genannten Forscher die merkwürdige Tatsache konstatiert, daß am Anfang und am

Ende der totalen Finsternisse eine stärkere Abnahme des diffusen Himmelslichtes als der direkten Sonnenstrahlung eintrat.

Meine Beobachtungen beziehen sich auf eine partielle Sonnenfinsternis (in Posen waren zwei Drittel der Sonnenscheibe voll bedeckt). Bei denselben schien während der ganzen Dauer jenes Verhältniß von diffusor zur direkten Strahlung zu herrschen, welches bei der totalen nur am Anfang und Ende sich zeigte.

Inwiefern direkt nicht wahrnehmbare Zustände der Atmosphäre auf das gesamte Verhältniß Einfluß haben, läßt sich auf Grund der wenigen Beobachtungen, welche ich angestellt habe, nicht abschätzen. Jedenfalls gilt aber der wesentlich gemachte Wahrnehmung, daß bei Sonnenfinsternissen das Verhältniß der chemischen Intensität des diffusen Tageslichtes zu der direkten Sonnenstrahlung gegenüber der direkten Strahlung ansteigt, die Abnahme, bei späteren Sonnenfinsternissen dieses Verhältniß steigend zu studieren.

Die Verteilung der dunklen Mareflächen auf dem Monde.

Wenn man eine Photographie des Vollmondes aufmerksam betrachtet, so erkennt man, daß die dunklen Flächen, welche die ersten Beobachter für Meeresbecken hielten, nicht regellos über die Mondoberfläche verteilt sind, sondern im allgemeinen in Gestalt eines großen Bogens nebeneinander gestellt erscheinen. Dieser Bogen erstreckt sich vom Mars Franciscus nahe dem Westrand des Mondes über die Mare Tranquillitatis und Mare Serenitatis gegen Norden, überschneidet dann den mittleren Meridian der Mondoberfläche und wendet sich im Mars Imbrius nach dem Oceanus Procellarum auf den Ostend der Mondoberfläche zu fort. Prof. J. Franz in Breslau hat sich neuerdings mit der

genauen Festlegung dieses großen Marebogens beschäftigt und die Verteilung der Mondmare genauer untersucht.¹⁾

Die wichtigsten Untersuchungen, sagt er, die jetzt die Mondoberfläche ergie, beziehen sich dem Gegenstand zwischen den kontinentalen hohen Gebirgsgebirgen und den kontinentalen dunklen Flächen, den sogenannten Maren. Die Maren bilden meist Flächen, die einander von außen berühren. Sie bilden also eine Reihe nebeneinanderliegender Flächen. Luyvy und Piffenus haben darauf aufmerksam gemacht, daß oft in den Maren, besonders in den mar-

¹⁾ Sitzungsber. d. Kgl. Preuss. Acad. d. Wissensch. 1898, S. 375.

gedehnten auf der Ostseite des Meeres, teilweise versunkene Krater vorfinden. Außer den großen Meeressüßlingen kommen einzelne Krater vor, deren Inneres mit dunkler Meeressüßbelegung ist. Meist bemerkt diese als »Kratereisen«. Von solchen finden sich auf der Ostküste nur Plato, Delly und Krüger. Sie sind aber nahe dem Westrand sehr häufig. Hier besteht, wie man bei glänzender Libration sieht, das Mare Squarum, Mare Undarum, Mare Anguin und ein kleines kammförmiges Meer von $+44^{\circ}$ Länge, $+30^{\circ}$ Breite, ganz von Kratern umgeben, das Mare Australe das ganz, das Mare Marginum zum Teil Flanco, Clavi, Hadrian I, Abel, Apollonius, Punicus, Niger, Transiens, Plinius, Saxon, Franklin und Endymion sind für dunklen Trümmerschutt wegen gleichfalls an den Kratern zu erkennen. Außerdem finden Krater auf, deren Inneres nur zum Teil mit dunkler Meeressüßbelegung ist. Von solchen perfekten Kratern nur hat die Ostseite des Meeres Schildkr, Gernold und Rorsch, die Westseite W. Humboldt, Condorcet, Mercator und das Mare Humboldtianum. Letzteres liegt in einer großen kraterförmigen Depression, die weit über den Mondrand hinausgeht. Wenn man die Meeresfläche ihrer dunklen Farbe dehnert, so muß man auch die Kraternere zu ihnen rechnen. Sie schließen sich auch ihrer Lage nach den Flächen der Meere so an, daß sie die Reihe der Flächen erweitern und vervollständigen.

Frd von Meeren ist dagegen ein großer Teil der Ostküste des Meeres. Aber auch sein Nordrand ist dem ungedehnten und nur durch die orthographische Projektion perspektivisch veränderten Ostende jenseits des Mare Proportus und des Sinus Roris folgt sich völlig bei von Meeren. Wären solche dort vorhanden, so würden sie ebenso deutlich sichtbar werden wie beispielsweise das Mare Smythi am Nordrand am Äquator. Denn bei Vollmond stehen alle Randspalten unter gleichem Blickwinkeln der Sichtbarkeit.

Man kann also die sichtbaren Umgehungen beider Pole als Teile von Polarkappen betrachten, die das Meer selbstwunderbar umgeben.

Dal ein solcher Gürtel der Meere wirklich vorhanden ist, erkennt man leicht, wenn man den Mond in der orthographischen Projektion zeichnet. Er zeigt sich höher und dicker auf dem Mondglobe. Nach unten, aber wirklich überwindend deutlich, würde er in Mercators Projektion erscheinen. Nur die orthographische Projektion hat die Funktion des Gürtels der Meere besser dadurch veranschaulicht, daß an der Meeres des Nordens und Südens es nicht an den Rand bracht.

Der Gürtel ist keineswegs regelmäßig. Er ist vielfach unterbrochen und wird an seiner Nord- und Südseite von mehr oder minder isolierten Meeren begrenzt. Er liegt auf der südlichen Seite des Mondes mehr nördlich als nördlich vom Äquator.

Seine Breite wird noch mehr vergrößert durch die Ausfüllung von Meeren in den Äquatorgebieten des Mondrandes und in den benachbarten Ecken der Rückseite des Meeres, die in Breiten dem Vorhanden bei der Ausmessung der Randpartien bei glänzender Libration gelang. Denn diese Meere setzen den Gürtel besonders weiter fort. Erwähnt seien hier nur vorfindigen oder neuen Beobachtungen ein Mare Marginum zwischen $+90^{\circ}$ und $+182^{\circ}$ orthographischer Breite und von $+75^{\circ}$ bis über $+85^{\circ}$ Länge hinaus, ein Mare Inna Hain zwischen $+180^{\circ}$ und $+196^{\circ}$ Breite, welches nördlich bei $+82^{\circ}$ und nördlich weiter $+96^{\circ}$ Länge beginnt. Am Grunde liegt ein großes, sehr dunkles Mare Crustale zwischen -241° und -127° Breite, das an seiner Südseite weit länger -984° Länge, an seiner Nordseite noch weiteren beginnt.

Es ist von Wichtigkeit, zu untersuchen, wo sich der durchschnittliche Lage des Gürtels der Meere befindet, und wo seine Pole liegen, bevor es

der Gürtel eines größten oder klein-
kleinen Kugelschnitts umgibt. Hierin hat
Prof. Franz die Mondoberfläche in
rechtwinklige Triangeln von je 20° Länge
und 30° Breite geteilt, die von den
Längen- und Breitengraden von $\pm 10^\circ$,
30°, 50°, 70° begrenzt werden, und
wählte nach Procenten der Triangeln,
die in ihren enthaltenen Meeres-
flächen sowie ihren Schwerpunkten. Die
Schätzungen geschahen mit Hilfe von
gezeichneten mit Gipsdruck verschorene
Mondkarten auf Photographen des
Mondes, indem er erlangte die Triangeln
auf den Photographen durch Papier-
streifen abtrennte, und später, indem
er das Gipsnetz in die Photographie
einschob. Sie beruhen einige
Schwermoment dort, wo die Meere noch
scharf begrenzt sind, wo halbkugelige
Meere, wie die Polaree, auftreten und
in Gegenden, wie westlich von Langren,
die nach manchen Karten noch
Meere sind, nach anderen nicht. Um
ein einheitliches Kriterium zu haben, wählte
er nur die sogenannte Farbe, also die
Dunkelheit als solches an, und so
erhielten die weniger dunklen Flächen
bei den Schätzungen von vornherein
weniger Gewicht, so wurden hell-
Kreter in den Meeren (wie Kaperkranz,
Kopler und Adirondik) nicht zu den
Meeren gerechnet, demgegenüber aber
helle Umrisshügel, obwohl diese
als über den Meeren liegend offenbar
später entstanden sind. Aber dieses
Moment ist für den Gesamtzustand
ohne erheblichen Einfluß, weil die Um-
risshügel nahezu in der Mitte des
Gürtels liegen. Für die Meere, die am
Mondrande liegen oder gegen den-
selben, wurden Zeichnungen in Band II
der Breunner Mitteilungen und nach
unveröffentlichte Breunner Messungen
zu Hilfe gezogen.

Die gesamten Schätzungen wurden
wiederholt angeführt, so daß im ganzen
3 Reihen von Schätzungen sich über
den Mond erstrecken.

Auf Grund dieser Bestimmungen
und dann abschließender maßstabmäßiger

Berechnungen findet Prof. Franz, daß
der Pol des Mondgürtels zwischen
Marebus, Graenberger und Kapprol
liegt. Der Gürtel ist 20° 55.3' gegen
den Äquator geneigt und sein auf-
steigender Knoten auf dem Äquator
liegt in 74° 13.8' Länge bei Marebus,
südlich vom Mare Siegentil. Die Ver-
dünnung des Gürtels liegt im Mare
Spartacus, südwestlich von Apollonius.
Seine Ausdehnung liegt zwischen
Euler und Mayer im Oceanus Procel-
lorum. Jedoch sind die beiden letzten
Stellen unter der Bedingung bekannt,
daß sie 90° voneinander stehen.

Der Gürtel der Meere fand sich
innerhalb als ein kleiner Kugelschnitt, 88° 40'
vom Südpol des Gürtels also wenig
vom größten Kugelschnitt entfernt.

Von Interesse ist die Frage nach
der Gesamtfläche der Meere auf der in
mittleren Längten der Erde zugekehr-
ten Hälfte der Mondoberfläche. Diese
berechnete Prof. Franz zu 32.585%.
Dieser Betrag ist die Summe aller Meere,
Seen und Kraterseen und enthält zum
Teil die halbkugelige Polaree. Hiernach
kann man sagen, die sichtbare Mond-
oberfläche enthält ein Drittel dunkle
Meeresflächen und zwei Drittel helles,
kraterreiches Gebirgsland oder Hochland.
Die Zone der Meere ist nach Franz
durchschnittlich 38° 56.5' breit. Doch
liegen ohnehin viele Meere außerhalb
dieses Gebiets von hellen Flächen unter-
halb desselben.

Wie die unmittelbare Beobachtung
andere und die gesamten Unter-
suchungen bestätigen, liegen die so-
genannten Meere des Mondes durch-
schnittlich tiefer als das helle Gebirgs-
land. „In diesem sagt Prof. Franz
besonders im Oceanus Procellarum
finden sich viele halbversenkene oder,
wenn man es so sagen will, über-
schwemmte Krater. Am Staude an-
scheinend als die Regen, die nach der
Flutzeit fließen und, weil diesen
für dieselben, daß das Meer (Mare)
selbst eine eingestrichene Fläche ist.
Sie haben dann die Gestalt von Meer-

basen wie der bedeckende Stein bilden aus Nordseite des Mass lebrom. Von weiteren Kratern ist fast nichts, im Mass lebrom. Im Oceanus Procellarum finden wir Harbinger, als Halbkreis, Sadrus, hat ganz runden, Fm Mauro größtenteils, die Rhyssa, sind Reile von 3 Kratern, Beapland ist an der Südseite vorhanden, in — 52° Länge — 4° Breite, — 44° Länge — 2° Breite, und — 36° Länge — 2° Breite. Eingestülpt-verankerte selbstständiger Krater,

von Leiranne ist der Nordseite vorhanden, in — 17° Länge — 17° Breite liegen drei Halbkreis. Am Rande des Mass Humorum und Apollarchus, Hippalus, Lee und Doppelreiner Krater sind, im Mass Tranquillitatis die Übergang von Janus, am Mass Scordis La Mondus. Die Meere selbst machen den Eindruck ausgehöhlter Erdbeckengebiete, zum großen Teil mit steilgehenden Hochländern.

Photometrische Beobachtungen der 6 hellern Saturnmonde.

 Von den 8 hellern Saturnmonden sind nur Enceladus, Tethys, Diana, Rhea, Titan und Iapetus hell genug, um deutlich an Fernrohren von mäßiger Größe bequem beobachtet zu werden. Titan ist schon an kleinen Instrumenten zu sehen, da er 8,5 Größe ist, Tethys, Diana, Rhea und Iapetus erfordern einen 3½ Zolligen Refraktor. Enceladus kann nur sicherst wohl nur an einem 2 Zolligen Instrument beobachtet werden. Schon Dom. Cassini fand, daß der von ihm (am 26. Okt. 1671) entdeckte Iapetus Schwankungen seiner Helligkeit zeigt, die mit der Periode seiner Umdrehung zusammenhängen, indem er in der Nähe seines größten hellichten Abstands vom Saturn unsichtbar war, dagegen in der Nähe des größten westlichen Abstands am hellsten erschien. W. Herschel hat um 1792 diese Wahrnehmung bestätigt und fand, daß der Helligkeitsunterschied bei 3 Größenklassen beträgt. Schröter fand ähnliches und bemerkt, daß auch die Trabanten Tethys, Diana und Rhea Helligkeitsveränderungen zeigen, die jedoch nur gering sind. Im Jahr 1877—78 hat Prof. Edw. Pickering in Cambridge sorgfältige photometrische Beobachtungen der sämtlichen damals bekannten 8 Saturnmonde angestellt. Er konnte indessen nur bei Iapetus mit Sicherheit

einen regelmäßigen Lichtwechsel finden und erklärte diesen dadurch, daß derselbe in verschiedenen Teilen seiner Oberfläche das Sonnenlicht ungleich stark reflektiert und möglicherweise auch vom Gestalt von der Kugelform merklich abweicht, so daß er während jedes Umlaufs um den Saturn um periodisch die verschiedenen große Schiefe darbietet. Im Sommer und Herbst 1895 hat Dr. Paul Gauthier eine Anzahl photometrischer Messungen der 5 hellern Saturnmonde am 11 Zolligen Refraktor der Reichsanstalt Sternwarte angestellt, um die älteren Angaben über den Helligkeitswechsel zu prüfen. Er verglich die Helligkeit der Trabanten mit derjenigen von 4 benachbarten Sternen, die von Prof. Pickering bestimmt worden sind und für welche die Größen 8,46, 10,52, 11,95, 11,79 von letzteren angegeben wurden. Zu jedem wurde auch ein 5 Zolliger Refraktor benutzt, für welchen Tethys und Diana selbst bei Mischern leichter Objekte waren, während Enceladus damit nicht wahrgenommen werden konnte.

Die Beobachtungen von Dr. Gauthier ergaben ½, abgesehen von Iapetus, auch für Tethys, Rhea, Diana und Tethys die Wahrnehmbarkeit von Helligkeitsveränderungen, die mit den Umlaufzeiten

periodisch sind. Jedoch ist die Zahl der Beobachtungen in Anbetracht der naturgemäß ziemlich großen zufälligen Fehler der Messungen infolge der fast vollständig ungenügenden Witterung der zweiten Hälfte des vergangenen Jahres, bei weitem nicht groß genug geworden, um dem Resultat die gewünschte Sicherheit zu geben. Die mittleren Helligkeiten sind dagegen mit genügender Genauigkeit ermittelt. Die folgende kleine Übersicht gibt in der ersten Kolonne die Nummer des Beob. in der zweiten die mittlere Oppositiongröße nach den Berliner Messungen, in der dritten dieselben Größen nach Pickering.

Trab.	Beob.	Pick.
II	11.109	11.300
III	10.75	11.00
IV	10.71	11.51
V	10.12	10.83
VI	8.51	9.50
VII	10.20	11.74

Die Helligkeit von Eosidas (II) beruht auf nur zwei bedeutend gelungenen Messungen im Juli und gilt für die helle Elongation; weitere Messungen, welche sehr klar und ohne zu wesentliche Luft erforderlich, sind später noch mehrmals versucht worden, aber stets an der Unkunst der Witterung gescheitert.

Aus dieser Zusammenstellung ergibt sich, daß Da. Gutnick die 5 Trabanten ziemlich heller findet, als Prof. Pickering und zwar im Durchschnitt um 2-3 Größenklassen, was ähnlicher aber nur halb so großer Unterschied heißt sich früher bei Vergleichung seiner Messungen mit denjenigen in Cambridge für die Jupitermonde gezeigt. Was den Lichtschwäch der Monde anbelangt, so findet Da. Gutnick, daß Jupiter sehr große Helligkeit (9.83 Größe) in 280° Länge in seiner Bahn erreicht; die geringste (10.63 Größe) in 75° Länge. Im allgemeinen stimmt dies mit dem Befunde Pickering's überein, doch zeigen beide Messungen Vorzeichenbesten der Lichtkurve, deren Ursache noch zu ermitteln bleibt.

Titan zeigt die größte Helligkeit (8.9 Größe) wenn er sich mit Saturn

-label="Text">

in oberer Konjunktion befindet, wird dann heller bei 75° Länge in seiner Bahn (bis zu 8.4 Größe) tritt abermals bei 180° Länge (auch auf 8.65 Größe) und steigt in 225° Länge bei der größten Helligkeit (8.25 Größe), um dann in 280° Länge, also nahe der westlichen Elongation, wieder (auf 8.65 Größe) abzunehmen.

Bei Rhea ist der Verlauf der Helligkeitsschwankung noch einfacher, da die Beobachtungen nicht bedeutend übereinstimmen. Im Minimum ist der Trabant 10.6 Größe, in der hellsten Elongation erreicht er 9.8 Größe, kommt dann bei der unteren Konjunktion bis auf 10.8 Größe ab und wird auf der Westseite der Bahn abermals bis zu 10.1 Größe heller.

Diesem trägt in den Lichtschwankungen große Ähnlichkeit mit Rhea. Am schwächsten (11.2) Größe tritt nahe der oberen Konjunktion, steigt dann gegen die hellste Konjunktion bis zu 10.3 Größe, sinkt nahe der unteren Konjunktion bis 11.1 Größe und steigt auf der Ostseite ihrer Bahn bis 10.7 Größe, um nun wieder abzunehmen.

Tethys. Hier sind die Helligkeitsschwankungen ähnlich und die Abstände nach Ostwärts durch die Annahme erfüllt werden, daß dieser Trabant eine stark ellipsoide Gestalt besitzt und die Verlingerung gegen den Saturn hin gerichtet ist. Die Entscheidung über diese Hypothese muß künftigen Beobachtungen vorbehalten bleiben.

„Was,“ sagt Dr. Gutnick, „von den Lichtkurven der Saturnsatelliten ebenso wie an denen der Jupitertrabanten besonders auffallen muß, ist die offensichtliche Burchung der Helligkeitsbewegungen zu den Konjunktionen. Diese Burchung erscheint um so stärker ausgeprägt, je kleiner der Abstand vom Planeten ist. Während bei Tethys, Dione und Rhea mit jeder Konjunktion und Elongation ein Maximum bzw. Maximum einhergeht, ist zunächst bei Titan das Minimum in der unteren Konjunktion nur noch schwach angedeutet, bei Jupiter ist über-

knapp kein Zusammenhang mehr erkennbar. Ähnlich verhalten sich die Jupiter-inkonten, indem bei dem Jallenten das Maximum in der äußeren Komparten kaum angedeutet ist. Jedoch tritt bei den Jupiterinkonten das Schwächerwerden der Beziehung mit der wachsenden Entfernung vom Zentralkörper nicht so deutlich zutage als bei den Saturninkonten, indem Trabant II sich etwas abweichend verhält, es ist be-

merktwerth, daß seine Dichtigkeit bei weitem die größte unter den Jupiter-inkonten ist. Dieser Sachverhalt legt die Vermuthung, daß die Helligkeitsänderungen der inneren Seleniten des Jupiter und Saturn zum Theil von einer stark ellipsoidischen Gestalt derselben herrühren könnten, welche Vermuthung ich durch die Beobachtungen der Jupiter-inkonten allzu nicht glaubig stützen zu können, doch wieder ablehne.

Das Meteor vom 14. März 1906.

Bereits auf S. 60 dieses Jahrgangs des Sinus sind die Hingangehen der Hinkelsteinung mitgeteilt worden, welche Prof. O. v. Nissel in Brünn an seiner verlassenen Untersuchung aller über dieses Meteor gesammelten Beobachtungen abgeleitet hat. Da diese Feuerkugel in mehrfacher Beziehung ein besonders interessantes Gegenstandes darl, so ist aus der pittoresken Detail vorliegenden Arbeit Prof. von Nissel's) auch noch etwas darüber nachzutragen.

Aus den Beobachtungen fand Prof. Nissel, daß dieses Meteor von der größten Mehrzahl der Beobachter erst wahrgenommen wurde, als es bereits in der relativ geringen Höhe von 60 km und nur mehr 70 km von dem 32° S. des hoch gelegenen Aufbruchspitze entfernt sich befand. Damit hängt es, wie er hervorhebt, zusammen, daß das Meteor schon bei der ersten Wahrnehmung fast allgemein sich als völlig eiförmige Feuerkugel, wenn auch nicht von größter Ausdehnung, darbot. Nur in einer einzigen Beobachtung heißt es »als schwache, bläuliche Sternschuppe beginnend, plötzlich zu großer Leuchtfähigkeit erwachend«, und etwas ähnlich ist die Äußerung in einem Berichte aus Weißkirchen.

In dem möglichen Zustande wird das Meteor entweder als kugelförmig, mit einem gegen das Ende spitzwinkligem röhrenförmigen Schwanz oder auch in der Zusammenfassung als beiförmig bezeichnet. In zwei Angaben wird es im Umriss dennoch genau in den Formen der Eiförmigkeit, in der charakteristischen Form eines langgestreckten Tropfens verstanden, in solchen Fällen wird auch ein vom sphärischen abgegrenzter, röhrenförmig kugelförmig zugespitzter Zylinder gemeint.

In einem Bericht aus Wien (Pulay) wird das Meteor als »grüne, schlangenförmige Sternschuppe« bezeichnet und der Beobachter in Gmünd berichtet ebenfalls, daß es schien, »als ob sich sternartige Zacken gebildet hätten«. Eine in Tropfen entwerfene Skizze stellt die Vorderseite der Feuerkugel wie eine Sternschuppe mit sechs Zipfeln dar. Ob ungefähr dasselbe gemeint ist, wenn ein Beobachter in Jondorf das Meteor einer Sternschuppe mit weißen Randlinien ähnlich fand, möchte Prof. Nissel nicht behaupten, es muß aber doch durch einen der erwähnten Anlaß zu solchen Vergleichungen gegeben worden sein.

Die sehr kurze Größe der Feuerkugel wurde in Wien mehrfach und sehr verschieden geschätzt. Zunächst besonders einige Angaben, dass nur beiförmig und als nicht sehr bedeutend. Zwar die-

) V. Nissel's 4 K. Akad. Wien Bd. CXXV, Abt. II.

destand größer als eine gewöhnliche Sternschnappe, aber nicht von Betrachterssehe. Auch gleich oder größer als Venus wäre sie angegeben. Es fehlte jedoch auch nicht an beachtenswerten Vergleichungen mit dem schwebenden Durchmesser des Mondes. Die niedrigste Angabe ist die Zehnfel, dann kommt dreimal vier im Viertel, endlich einmal dem Maße an Größe gleich, was wohl sicher weit überschätzt ist. Schließlich, sagt Prof. Nüssl, letztere aus, es könnte als Mittel der vier anderen Schätzungen für den scheinbaren Durchmesser der Feuerkugel in einer Entfernung von etwa 140 km 67 in Richtung gezogen werden, wozu sich also nach diesen Wiener Beobachtungen der wirkliche Durchmesser der leuchtenden Sphäre zu 370 m ergeben würde.

Die Angabe 4' am Zenith würde bei etwa 90 km Distanz für den wahren Durchmesser nur 112 m betragen. Für Elsendorf dürfte ungefähr dieselbe Entfernung gelten. Der Durchmesser ergäbe sich für W. zu 450 m. Eine Schätzung in Tyrnau würde sogar zu 600 m führen. »Es sind das selbstverständlich nur sehr Näherungen, weil basieren auf der kürzesten Entfernung. Wird das Resultat aus den vier Wiener Angaben auch mit vortheilhaftem Gewichte in Rechnung gebracht, so würde der Mittelwert 370 m geben. Demnach gehörte das Meteor nicht zu den größten Erscheinungen dieser Art.« Prof. v. Nüssl gibt bei dieser Gelegenheit die nachstehende im zehnjährigen Sinne geschätzte Zusammenstellung des Durchmessers von 79 im Verlaufe vieler Jahre von ihm besprochenen Feuerkugeln des in relativer Beziehung nicht ohne Interesse sein dürfte.

Datum	Durchmesser der Feuerkugel in Metern
7. Juli 1852 . . .	118
27. Februar 1861 . .	360
22. Oktober 1866 . .	300
23. Oktober 1869 . .	310
18. Oktober 1872 . .	314
14. März 1885 . . .	370

Datum	Durchmesser der Feuerkugel in Metern
* 2. April 1881 . . .	358
*16. Januar 1895 (I.)	370
22. April 1898 . . .	453
*17. Jänner 1899 . .	490
*16. Jänner 1896 (II)	500
*10. Februar 1899 . .	530
11. März 1900 . . .	540
*25. Jänner 1895 . . .	816
*16. Jänner 1895 (III)	900
*25. Oktober 1887 . .	1000
20. November 1898 .	1100
* 3. Oktober 1901 . .	1250
2. November 1903 . .	1880

Bei den mit * bezeichneten Fällen wurden Detonationsgeräusche nachgewiesen.

Das Meteor vom 2. Juli 1892 bewegte sich in den höchsten Regionen der Atmosphäre. Das Phänomen war noch 60 km über der Erdoberfläche und von da an war die weitere Bahn abhängig?

Die Länge des kosmischen Schweifens, welches die Feuerkugel vom 14. März 1900 bis zum Endpunkt nachgezogen wurde in den Angaben aus Wien dreimal vom zweifachen Durchmesser der Kugel, dreimal dem zwei- bis dreifachen Durchmesser darüber und einmal dem Durchmesser des Mondes gleich geschätzt, daher im Mittel rund 20, welches einer Länge von 800 bis 1000 m entsprechen würde. Im Zenith würde die Länge jedoch das zwei- bis dreifache Monddurchmesser gleich ansetzt, was, umgerechnet der größeren Höhe, mehr als 1600 m Länge geben würde. Eine Angabe aus Bernschwil (jaktische Länge des Kugeldurchmessers), welche gleich nach zahlreichen anderen Stützen wohl zu hoch gegriffen ist, würde ungefähr auf 1800 m führen. Hiernach würde nach Prof. v. Nüssl eine Länge von etwa 1500 m im Mittel ungefähr die Action des Schweifens beschreiben.

Außerdem wird in vielen Beobachtungen ein ferner heller Lichtstrahlen

*) Schönguber d. W. Ab., 102. Bd., II., p. 366.

erwiesen, welcher bei Mags der ganzen Bahn, jedoch nur flüchtigen Augenblicke oder doch für sehr kurze Zeit am Himmel zurückgeblieben war.

Häufigste der Lichtstärke wurde in mehreren Beobachtungen erwiesen, daß es «mammian blanchend», groß, intensiv war, allein doch abged. auch nicht aus den nächsten Beobachtungs-orten berichtet, daß die Umgebung taghell erleuchtet wurde, welcher Ausdruck sonst in Berichten über größere Erscheinungen dieser Art nicht selten vorkommt.

Das Licht der Feuerkugel wurde teils als matten als silberweiß oder auf der Grenze bläulichweiß oder gelblich-weiß (21 mal unter 50 Angaben) bezeichnet, dann als blau oder grün mit den Überflügen (zwei mal), ferner oder mal als gelb, dreimal als gelblich und nur viermal in roten Nuancen, wahrscheinlich gegen Ende der Bewegung.

Die Farbe des Schweifes wird fast allgemein als rotlichrot, teils jedoch auch ausgedr. als orangefarben. Die Partikel, welche ihre Geschwindigkeit größtenteils oder ganz verloren hatten, sind dann im Stillen zurückgeblieben und haben abwärts zu Irachen aufgehört. Einige noch stärker erleuchtete Teilchen erschienen als Punkte Mags der Bahn.

Von einer Teilung sowie von der schließlichen sprungweisen Lichterentwicklung, welche gewöhnlich als «Explosion» bezeichnet wird, ist nur in zwei Berichten die Rede. Es heißt nämlich in einer Mitteilung aus Hildesheim, «daß der hellste Stern auf den Scharburg niederfiel», was mit Rücksicht auf die vielen anderen Beobachtungen so natürlich erscheint, daß Prof. v. Neesel hier an der Identität

zweifel nicht, wenn nicht Zeit und Richtung mit den tatsächlichen Verhältnissen so gut übereinstimmen würden. Somit kommt nur in einer Nachricht aus Wien die Wiedung vor «und zerfiel, als es verschwand, in mehrere Teile». Dagegen heißt es in vielen anderen Berichten, daß die Feuerkugel ohne Explosion oder Teilung plötzlich verschwunden ist. Ein Beobachter in Osnabrück, dem der Endpunkt am nächsten lag, hat, daß er vor dem Schenken zu platten sah.

Über Demonstration wird nichts berichtet. Auch diesmal hat die Supposition, daß Beobachter verstanden, durch die Gedächtnis auf die Lichterscheinung aufmerksam gemacht worden zu sein, das selbstverständlich mit dem Meteor nicht im entferntesten zusammenhängen konnte.

Auffallend ist, bemerkt Prof. v. Neesel, daß über diesen Meteor, welches sich fast im ganzen nördlichen gewordenen Teil seiner Bahn über nördlichem Gebiet befand, gerade von da so wenig Beobachtungen zu erlangen waren. Abgesehen davon, daß vielfach, namentlich im nördlichen Mitteleuropa, der Himmel ziemlich stark bewölkt war, dürften diese Lücken auch dadurch ihrer Erklärung finden, daß hier die scheinbare Bahn ebenfalls sehr hoch am Himmel verlief. In Berlin z. B. lag der mit den übrigen Beobachtungs-orten nachgewiesenen Bahnzeit ebenfalls höher als 45°, wobei der Blick unter gewöhnlichen Umständen schon gehindert ist. Da überdies die Lichtstärke nicht sehr groß war, konnte die Erscheinung im Zusammenhang mit der teilweisen Bewölkung auch für sichtbar gehalten worden sein.

Beobachtungen über die Helligkeit der Nova in den Zwillingen.

Hinter Stern wurde von Prof. H. Turner auf einer im Oktober am 18. März 1903 aufgenommenen Photo-

graphie, als Nova erkannt! Prof.

*) Vgl. Stern 1903, S. 100 und 202.

E. E. Barnard hat denselben seit dem letzten Drittel des März bis zum November letzten Jahres in Bezug auf Helligkeit und Stellung zu benachbarten Sternen beobachtet. Der Stern war zuerst rot, doch während die Färbung allmählich vollständig. Anfangs war die Nere in der gleichen Stellung des Oskars wie jeder andere Stern am schwächsten, aber in der letzten Hälfte des April schien es Prof. Barnard, daß der Stern am schwächsten sich darstellte wenn das Oskar etwas über die Stellung hinausgegangen wurde, in welcher gewöhnlich Fixstern der schiefste Bild zeigen. Am 31. August zeigt die Nere etwas nebeliges Aussehen. Am 31. September erschien sie bei 70facher Vergrößerung am deutlichsten, wenn das Oskars etwas weiter umgegangen wurde als bei andere Sternen und zwar im Vergleich mit einem Stern 16 Größe um 0.29 Zoll. Als Prof. Barnard am 30. März der schiefste Einstellung für die Nere, anprobte, fand er zu seiner Überraschung, daß dies für zwei verschiedene Stellungen des Oskars stattfand. In der einen erschien die Nere von einem schwachen rötlichen Halo umgeben, in der andern mit einem graublauen Halo von 48" Durchmesser während der Stern selbst rötlich war und ein Schiebchen von 6.1" Durchmesser zeigte. Am 6. April war das rötliche Bild noch richtiger aber weniger auffällig, am 27. August dagegen völlig verschwunden. Eine 1903 Febr. 20 von Perkhurst an

ihrem zwölfjährigen Tochter aufgenommen Photographie der Gegend in der später die Nere sichtbar wurde, zeigt äußerst nahe bei dem Orte derselben ein sehr lichtschwaches Sternchen, von dem man annahm, daß es tatsächlich die Nere vor ihrem Aufleuchten sei. Als letztere indessen wieder an Helligkeit abgenommen hatte, sah Prof. Barnard am 1. Septbr. 1904 das kleine Sternchen dicht neben ihr, wozu also bewiesen ist, daß die Nere nicht damit identisch ist und am 31. Febr. 1905 lichtschwächer war als dieses. Was die Helligkeit der Nere anbelangt, so gibt Prof. Barnard dafür eine Reihe von Schätzungen. Gemäß diesen war der Stern 1903 am 27. März 8 Größe, am 3. April 6. Größe, am 18. Mai 10. Größe, am 31. August etwa 12 Größe, im Dezember 12.3 Gr., 1904 im April und Mai 12.1 Gr., Ende November 14.4 Gr., 1905 im Februar und Ende 14.3 Gr., am 27. Febr. 1906 14.8 Größe. Nachdem erschien die Nere nur wenig heller als der oben erwähnte Stern dicht neben ihr und bei schlechter Luft vermochte sich ihr Licht mit diesem. Die Vergleichung der Position der Nere mit einer Anzahl benachbarter Sterne ergab für Prof. Barnard die Überzeugung, daß sie völlig unbeweglich blieb und auch keine Spur einer jährlichen Parallaxe erkennen läßt.

Die Tätigkeit des Astrophysikalischen Observatoriums in Potsdam im Jahre 1905.

(Fortsetzung.)

Nachdem Prof. Wöllig in Gemeinschaft mit Prof. Scheiner auf Prof. Vogels Anregung hin eine umfangreiche Untersuchung zur Bestimmung der Temperatur der äußeren Fixsterne in Angriff genommen. Die Arbeiten bestehen in

photometrischen Messungen der Intensitäten einzelner Teile der Strahlungsspektren in Bezug auf die entsprechenden Teile des Spektrums einer Normallichtquelle, sowie in der Ermittlung der Strahlungsenergien, welche dem betreffenden Stoffe

des Spektrometers entsprechen. Während der erste Teil der Arbeit am 80 cm-Spektroskop mit dem von Vogel konstruierten Spektrophotometer ausgeführt und für sich die abgezeichneten Quoten bilden wird, ist der zweite Teil der Untersuchungen, der die Bestimmung der effektiven Temperaturen der Sterne ermöglicht, ausschließlich auf Arbeiten im Laboratorium beschränkt. Nachdem im Juni und Juli an 10 Abenden Beobachtungen zur Orientierung ausgeführt worden waren, wurden die definitiven Beobachtungen am Refraktor im Herbst begonnen. Hierzu wurden die Sterne der nördlichen Hefligkeit bis zur Größe 4.2 in 4 Zonen zusammengefaßt. Jeder Stern wird von beiden Beobachtern im allgemeinen an 2 verschiedenen Abenden beobachtet. Prof. Wising hat an 34 Beobachtungsnächten von 72 Sternen 72 Beobachtungspolize erhalten, Prof. Schinner an 25 Abenden von 51 Sternen 42 Beobachtungspolize. Die Arbeiten im Laboratorium wurden gleichzeitig begonnen, Prof. Wising hat an 28, Prof. Schinner an 41 Tagen Messungen ausgeführt.

Beobachtungen an großen Planeten. Prof. Lohr hat den Planeten Jupiter in den Wintermonaten an 20 Abenden beobachtet, den Planeten Mars in den Monaten April bis Juni an 18 Abenden Phosporus.

Photometrie. Von der photometrischen Durchmusterung des nördlichen Himmels, welche Prof. Müller und Prof. Kropf gemeinschaftlich ausgeführt haben, wurde im Jahre 1905 der viele Teil, die Zone $+ 90^{\circ}$ bis $+ 90^{\circ}$ Deklination umfassend, vollständig damit die ganze Arbeit zum Abschluß gebracht, am 31. Dezember 1905 ist die letzte Zone beobachtet worden. Der Druck konnte bereits im Herbst begonnen werden, und der Band ist Mitte Juni dieses Jahres zur Vervendung gelangt.

Da es sich gezeigt hatte, daß zwischen den mit den verschiedenen Photometern ausgeführten Messungen kleine Differenzen systematischer Natur bestanden, sowie Ernst, daß auch bei den Farben-

schätzungen Unterschiede zwischen den einzelnen Instrumenten eintreten, welche der Einseitigkeit des gesamten Materials etwas berücksichtigen, wurden durch spezielle Untersuchungen und eigene kleine angefertigte Messungen die Bedingnisse dieser Differenzen genau festgestellt, so daß es nunmehr möglich ist, alle Messungen und Schätzungen auf ein so weit homogenes System zu bringen. Es ist deshalb beschlossen worden, dem vierten, jetzt im Druck erscheinenden Teile der Durchmusterung noch eine weiteren Band folgen zu lassen, welcher einen Gesamtkatalog aller Beobachtungen, in der ursprünglichen Weise verfaßt, enthalten wird. Die 14199 Sterne, die dieser Katalog umfaßt, werden nicht mehr nach der Deklination geordnet, sondern nach der Rektaszension fallendend geordnet sein.

Nach Abschluß der Beobachtungen für die Durchmusterung wurde noch eine Anzahl von Sternen weiterbeobachtet, die sich bei den Zusammenstellungen als der Heftigkeitsabweichungen verdächtig gezeigt hatten. Dabei sind zwei neue Verändliche gefunden worden, die bekannt gemacht werden sollten, sobald Genesens über die Art des Lichtwechsels mitgeteilt werden kann. Die Beobachtungen dieser Verändlichen, sowie anderer der Verändlichkeit verdächtiger Sterne der Durchmusterung, sollen nach dem Zerfall fortgesetzt werden.

Der Verändliche X Persei ist im verflossenen Jahre weiter beobachtet worden, er befindet sich noch immer, namentlich bereits seit vier Jahren, im Maximum der Heftigkeit.

Der Katalog der verändlichen Sterne, den Prof. Müller im Auftrage der Astronomischen Gesellschaft mit einer Anzahl von Mitarbeitern bearbeitet, hat im Jahre 1905 gute Fortschritte gemacht. Gegenwärtig sind etwa 200 Veränderliche erledigt.

Die von Dr. Lohndorff unternommene Bearbeitung aller vorhandenen Beobachtungen des Verändlichen R Coronae borealis ist sehr gefördert wor-

den. Am Schluss des Jahres war das gesamte publizierte Material bearbeitet, und von den nicht veröffentlichten Beobachtungsergebnissen waren nur noch wenige zu publizieren.

Somit ist die für die Statistik der Sonnenflecke, welche von Prof. Loeb im ganzen 133 Aufnahmen von 10 cm Durchmesser am Heliographen hergestellt, wozu die Zahl dieser Aufnahmen auf 3004 gestiegen ist. Ferner wurden im Juli gelegentlich des Vorhandenseins größerer Flecke noch 10 Aufnahmen mit starker Vergrößerung erhalten.

Mit dem Spiegelheliographen in Verbindung mit dem Größtlichen Refraktor hat Prof. Kämpf von Ende März bis Anfang November mit Einschluß der für die Justierung des Apparats erforderlichen Proben, 256 Aufnahmen angefertigt. Die Sonnenstätigkeit war während der ganzen Zeit sehr lebhaft. Unterstützt wurde Prof. Kämpf von Dr. Mäsch, der auch während der Abwesenheit des ersteren im Sommer, sowie bei Veränderung desselben die Aufnahmen selbstständig ausgeführt hat.

Photographische Himmelskarten. Wie bereits im vorigen Bericht erwähnt, wurde das Manuskript für den zweiten Band des Katalogs zum Druck fertiggestellt. Die Drucklegung wurde jedoch noch etwas hinausgeschoben, da beschlossene worden war, die Beschaffenheit des Katalogs dadurch zu erhöhen, daß für jede Platte zur Reduktion der rechtwinkligen Koordinaten auf Rektaszensionen und Deklinationen zu benutzende Konstanten gegeben werden sollten. Die hierfür erforderlichen Rechnungen sind von Prof. Biehl und Dr. Mäsch ausgeführt worden.

Mit dem Manuskript für den dritten Band des Katalogs hat Dr. Mäsch nach Daguerre Einstellung, die sich besonders auf den Anschluß der Ortsbestimmungen an diejenigen der früheren Beobachter bezog, gegen Ende des Jahres begonnen und zunächst zwei persönliche Eintragungsfelder erstellt.

Vermischte Beobachtungen und Untersuchungen. Am 30 cm Refraktor hat Prof. Loeb an 64 Abenden 71 Doppelsterne beobachtet, 78 Objekte wurde wiederum andersweit verfolgt, und es konnten von diesen Sternen, in denen Hubsbewegung Anzeichen angedeutet sind, 39 Merkwürdigkeiten erhalten werden.

Von neuem wurden von Prof. Loeb Beobachtungen in Angriff genommen, die vor 20 Jahren mit einem photographischen Apparat, der ausser der Photosensibilisierung im Refraktor angebracht worden kann, ausgeführt wurden, und die sich auf photographische Fixierung der Beugungsbilder von Doppelsternen und Planeten unter Anwendung von Gelfascheiben zur Zurückhaltung der brechbaren Strahlen, für welche das Objekt nicht schmerzhaft ist, bezogen. Schöne Bilder konnten erhalten werden bei Anwendung einer mit Aertzen sehr intensiv gefärbten Gelfascheibe.

Eine von Dr. Ladendorff unternommene Untersuchung über die richtige Distanz der Aufhängungen durch die Objektiv des photographischen Refraktors von 325 cm Öffnung ergab als vorläufiges Resultat, daß die Distanzen jedenfalls außerordentlich klein ist.

Dr. Eberhard hat eine Reihe von kleineren Arbeiten ausgeführt, die sich auf Untersuchungen zweier Apochromatplanen von Karl Zeiss in Jena bezogen, von denen eines für das Observatorium erworben worden ist, sowie auf die Untersuchung zweier Spiegel von Schmidt in Hildesheim. Ferner sind von ihm im Verein mit Dr. Ladendorff in 15 Nächten zahlreiche Aufnahmen von Sternhaufen und Nebelflecken mit dem Schmidt'schen Spiegel von 41 cm Öffnung ausgeführt worden.

Bei der letzten Sonnenkonkurrenz am 30. August 1905 hat sich Prof. Hartmann an den Beobachtungen der von der Leidenerwards entdeckten Station in Alabama die Augen mit Erfolg beteiligt, indem ihm Aufnahmen von 4 Spektren des Flecks und der Korona gelungen sind.

Vermischte Nachrichten.

Stroboskopische Mondlandschaften. Herr Gymnasiallehrer Dr. Ernst Dürick in Wifingen (Süddeutschland) schreibt uns:

„Photographen derselben Mondlandschaft haben wir der Reihe nach auf einem Strifen, so daß das Ende am Strifen der Zeit der Aufnahme proportional ist. Den Strifen bestreuen wir dann als stroboskopische Bilder vor. Im Stroboskop werden wir nun die Landschaft schnell aufeinander beschießen, bei jeder und höher steigender, schließlich bei unregelmäßiger Sonne sehen. Dieses Spiel wird sich weiter und weiter vor unseren Augen wiederholen.“

In eine großformatige Photographie der Alpen oder Apenninen können wir uns nicht gut das Relief vorstellen. Wenn wir aber im Stroboskop nach die Schatten der Berge von West nach Ost herumlaufen sehen, ist es nicht unmöglich daß unser Auge das wirkliche Relief der Berge erfährt.

Gelänge der Versuch, so könnte man durch Verwendung der langen Bilderreihen des Kinetographen auch noch die Linsen für das Studium des Reliefs ausbilden.

Der Holmes'sche Komet ist am 28. August auf dem Astrophys. Institut Kleinscheldt-Heldberg sehr nahe an dem vorausberechneten Orte photographisch aufgefunden worden. Er erschien in 15^h 5^m Gerade in A.R. = 64° 51' D. = + 42° 25'.

Der 5. Mond des Jupiter ist während des letzten Winters auf der Yerkes-Steinwerk beobachtet worden. Der Trabant ist für den 48wöchigen Reaktor ein trübes Objekt, doch vorhanden die schlechte Wetter häufiger Wahrnehmung desselben. Am 27. Febr. wurde er in Helligkeit gleich einem Stern 14. Größe gesehen, am 28. März 14.5 Größe. Der Ort des Trabanten stimmt mit der Voraussageberechnung durch Dr. Hoff vortrefflich überein.

Eine Bestimmung der Masse des Holmes'schen Kometen hat J. v. Hopperger angestellt.¹⁾

Unter der Voraussetzung, daß die Komponenten eines Kometen einem gemeinsamen Ausgangspunkt besitzen, lassen sich die Normalörter aus dem Jahre 1846 nicht mit befriedigender Genauigkeit darstellen, wenn die Massensumme als verschwindend klein angenommen wird. Hopperger hat deshalb die Summe der Kometenmassen als neue Unbekannte in das Bahnbestimmungsproblem aufgenommen und findet hierfür den Mäßenungsquotient 1:2400000 der Erdmasse. Von einem der beiden Kometen werden hiernach alle Orte sehr gut dargestellt, von dem andern alle Orte aus dem Jahre 1846, wegen der zwei Orte aus dem Jahre 1852 Abweichungen zeigen, die nur zum Teil den Beobachtungen zur Last gelegt werden können und es wahrscheinlich machen, daß in dem Zeitraum 1846 bis 1852 ein kleiner Massenverlust eingetreten sei. Wäre die Annahme, daß die Lichtmengen, welche Kometen in gleichem Entfernungs von Sonne und Erde uns erreichen, den Massen der Kometen proportional sind, richtig, so würde die Masse des Kometen 1770 etwa 40mal kleiner gewesen sein als die von Laplace angegebene obere Grenze $\frac{1}{1000}$ der Erdmasse und die Masse des Kometen vom Jahre 1778, der als die größte gelten kann, ungefähr gleich sein $\frac{1}{1000}$ der Erdmasse.

Der in Aussicht genommene offizielle Katalog der Veränderlichen Sterne. Die von der Astronomischen Gesellschaft zu diesem Zwecke eingesetzte Kommission, bestehend aus den Herren Danne, Harwig und Müller, gibt in Nr. 4182 der Astron. Nachschau die Grundsätze kund, von denen sie sich bei Herbeileitung des Katalogs leiten läßt. Es heißt dort:

¹⁾ Wiener Anst. B. 1906, S. 270.

«Die Kommission hat nach dem Vorgehen Chandlers als erste Regel aufgestellt, diejenigen von anderen Variablen abzuheben, die die Liste der als gesichert betrachteten Veränderlichen aufzunehmen und in der üblichen Weise zu beschreiben, deren Lichtwechsel von mindestens zwei Beobachtern durch unabhängiges Schätzungs- oder Messungsmittel (photographisch oder visuell) bestätigt ist. Dabei ist es im allgemeinen gleichgültig, wie groß der Betrag der gesuchten Helligkeitsveränderung ist, sofern derselbe nur nicht unter 0.50 (oder (zunehmender) unter 0.40) herabsteigt. Abweichend von dieser strengen Regel wird (auch ohne Bestätigung durch einen zweiten Beobachter) ein von einzelner Veränderlicher auch dann abgelesen aufgenommen, wenn die Beobachtungen der Entdecker in solcher Ausführlichkeit mitgeteilt sind, daß eine sichere Einsicht in denselben keinen Zweifel an der Art der Lichtänderung übrig läßt.

In allen denjenigen, wo sehr zahlreichen Fällen, wo bei der Annahme der Entdeckung nichts weiter mitgeteilt ist als der ungefähre Betrag der Differenz zwischen der beobachteten größten und kleinsten Helligkeit, hat sich die Kommission das Recht einer etwas strengeren Prüfung vorbehalten. Im allgemeinen erfolgt dann die Aufnahme nicht sogleich, auf keinen Fall aber wenn die angegebenen Angaben bei visuellen Beobachtungen kleiner als 0.5, bei photographischen kleiner als 1.0 ist. Es muß obzueigen ausdrücklich betont werden, um etwaigen ungenauen Auffassungen zu begegnen, daß die vorläufige Zurückstellung eines neu entdeckten Veränderlichen keineswegs dessen vorläufige Veranschlagung oder Nichtbeachtung bedeutet. Es wird über jeden neuen Veränderlichen (ohne Ausnahme) an zwei Orten (z. B. Bamberg und in Potsdam) genaue Kontrolle geführt und alles Material, welches bekannt wird, sorgfältig gesammelt, um die Selbstkontrolle zu können, sobald die Veränderlichkeit genügend vollständig erscheint. Die Kom-

mission verheißt sich keineswegs, daß die Ansicht über den Grad der Zuverlässigkeit, der einer bloßen statistischen Aussage von Helligkeitsänderungen zukommt, sehr verschieden sein können, aber sie glaubt das Vertrauen beanspruchen zu dürfen, daß es in jedem Fall mit der größten Unparteilichkeit und Objektivität verfährt. Sie ist überzeugt, im Sinne der meisten Astronomen zu handeln, wenn sie große Vorsicht bei und von einem neuen Variablen lieber erst genaues Material abwartet, als es die in die Liste der sicheren Veränderlichen bringt. Trotz der äußersten Vorsicht haben sich in die Chandlerschen Kataloge einzelne Sterne eingeschlichen, deren Veränderlichkeit jetzt fraglich, und daß dies auch bei dem Verfahren der Kommission nicht ganz ausgeschlossen ist, beweisen einige Fälle, in denen schließlich die Zugehörigkeit zu den veränderlichen Sternen mit Recht abgesprochen werden mußte.

Nicht oft und dennoch genug kann es die Entdecker neuer Veränderlicher der Bitte gestrichet werden, die von ihnen gefundenen Sterne selbst weiter zu verfolgen und die Beobachtungen in voller Ausführlichkeit möglichst bald zu veröffentlichen, damit die Kommission in der Lage ist, sich ein Urteil über die Art der Lichtwechsel zu bilden.»

Partie der Milchstraße im Cepheus. (Hierzu Tafel XI.) Prof. Bernard hat mit dem 10-zölligen Objektiv des photographischen Brennpunkts der Yerkesmerzente u. a. eine sehr interessante Partie der Milchstraße im Sternfeld des Cepheus aufgenom- men. Die Aufnahme geschah am 6. Oktober 1904 mit einer Belichtung von 5^h 21^m. Tafel XI ist eine Wiedergabe der Aufnahme in Lichtdruck. Das Zentrum der Darstellung bezieht sich auf einen Punkt des Himmels von $AR = 21^{\text{h}} 34^{\text{m}}$ $D = +56^{\circ} 50'$. Dort liegt sich besonders hervorstechend eine räumliche Nebelmasse von etwa 2' im Durchmesser, die von mehreren dunklen Kernen durchsetzt wird und eine Gruppe stellig

äußerer Sterne anschließt. Sie liegt nahe der Grenze von zwei Regionen des Himmels, von denen die eine sehr sternreich, die andere sehrsternarmig wie im Norden ist. Diese Anbahnung ist noch doch aus einem andern Grunde sehr merkwürdig. Wenn man die Sternpunkte, mit denen der dunkle Hintergrund besetzt ist, öfter im Auge faßt, so findet man, daß sehr viele von ihnen in bogenförmigen Linien angeordnet sind, ja oftmals in Kreisen, die nur auf kurze Strecken des Umfanges unterbrochen sind. Diese scheinbar vollkommenen Gruppenreihen der Sterne im Bogen würde man an und für sich schwerlich als zufällige Gruppierungen auffassen wollen, sondern eher an einen göttlichen Zusammenhang der Sterne solcher Gruppen denken. Dennoch ist letzteres im höchsten Grade unwahrscheinlich, weil die Sterne entsprechend ihrer sehr verschiedenen Helligkeiten sich in sehr ungleichen Entfernungen voneinander befinden.

Feuerkugel. Aus Solingen, 17. Juli 1906, schreibt Herr W. Kaiserberg: Gestern Abend um 11 Uhr 42 Minuten habe ich Gelegenheit, eine Feuerkugel vom außerordentlichen Helligkeit zu beobachten. Leider aber waren die

äußeren Umstände nur recht bescheiden günstig, denn ich befand mich in einem ziemlich erhelltem Zimmer, als ich plötzlich das Meteor durch die Vorhänge wahrnahm. Meine Bemerkung, die Feuerkugel sei fast genau nach nördlichlich fortzuziehen, wurde durch kurz darauf eintreffende Beobachtung bestätigt, jedoch kann ich nicht sagen, daß es vollständig durch den Stern-I der Schlangengrube oder doch dicht vorbei und 12—15° nördlich unterhalb etwa auf der Grenze von Schlangenträger und Schütze entsprang, hier war noch für mich die Grenze der Sichtbarkeit. Die für mich sichtbare Bahn begann etwa bei α des Herkules oder γ des Schlangenträgers. Die Farbe war weißgrün, Schattigheit 40—45° in 5—6 Sekunden.

Feuerkugel für Freunde der Himmelsbeobachtung. Aus dem Lesekreise des „Sterns“ sind mir mehrere größere und kleinere sehr gut erhaltene Feuerkugel zum Verkauf angeboten worden. Freunden der Himmelsbeobachtung, welche die Anschaffung eines solchen Instrumentes beabsichtigen, wird sich sicherlich an mich wenden, bin ich zu jeder gewünschten Auskunft gern bereit. Prof. Dr. K. G. H.

Stellungen der Saturnmonde. (Erdkrage S. 26.)

Zeitra der seitlichen Eklipsen im Dezember 1906.

Tithys. Dezember 1. 7^h 5, Dezember 1. 8. 1^h, Dezember 1. 9. 4, Dezember 1. 10. 2^h, Dezember 1. 11. 3^h, Dezember 1. 12. 3^h, Dezember 1. 13. 3^h, Dezember 1. 14. 3^h, Dezember 1. 15. 3^h, Dezember 1. 16. 3^h, Dezember 1. 17. 3^h, Dezember 1. 18. 3^h, Dezember 1. 19. 3^h, Dezember 1. 20. 3^h, Dezember 1. 21. 3^h, Dezember 1. 22. 3^h, Dezember 1. 23. 3^h, Dezember 1. 24. 3^h, Dezember 1. 25. 3^h, Dezember 1. 26. 3^h, Dezember 1. 27. 3^h, Dezember 1. 28. 3^h, Dezember 1. 29. 3^h, Dezember 1. 30. 3^h, Dezember 1. 31. 3^h.

Phoebe. Dezember 1. 1^h 5, Dezember 1. 12. 4^h, Dezember 1. 13. 4^h, Dezember 1. 14. 4^h, Dezember 1. 15. 4^h, Dezember 1. 16. 4^h, Dezember 1. 17. 4^h, Dezember 1. 18. 4^h, Dezember 1. 19. 4^h, Dezember 1. 20. 4^h, Dezember 1. 21. 4^h, Dezember 1. 22. 4^h, Dezember 1. 23. 4^h, Dezember 1. 24. 4^h, Dezember 1. 25. 4^h, Dezember 1. 26. 4^h, Dezember 1. 27. 4^h, Dezember 1. 28. 4^h, Dezember 1. 29. 4^h, Dezember 1. 30. 4^h, Dezember 1. 31. 4^h.

Epimetheus. Dezember 1. 11. 4^h, Dezember 1. 12. 11. 4^h, Dezember 1. 13. 11. 4^h, Dezember 1. 14. 11. 4^h, Dezember 1. 15. 11. 4^h, Dezember 1. 16. 11. 4^h, Dezember 1. 17. 11. 4^h, Dezember 1. 18. 11. 4^h, Dezember 1. 19. 11. 4^h, Dezember 1. 20. 11. 4^h, Dezember 1. 21. 11. 4^h, Dezember 1. 22. 11. 4^h, Dezember 1. 23. 11. 4^h, Dezember 1. 24. 11. 4^h, Dezember 1. 25. 11. 4^h, Dezember 1. 26. 11. 4^h, Dezember 1. 27. 11. 4^h, Dezember 1. 28. 11. 4^h, Dezember 1. 29. 11. 4^h, Dezember 1. 30. 11. 4^h, Dezember 1. 31. 11. 4^h.

Atlas. Dezember 1. 11. 4^h, Dezember 1. 12. 11. 4^h, Dezember 1. 13. 11. 4^h, Dezember 1. 14. 11. 4^h, Dezember 1. 15. 11. 4^h, Dezember 1. 16. 11. 4^h, Dezember 1. 17. 11. 4^h, Dezember 1. 18. 11. 4^h, Dezember 1. 19. 11. 4^h, Dezember 1. 20. 11. 4^h, Dezember 1. 21. 11. 4^h, Dezember 1. 22. 11. 4^h, Dezember 1. 23. 11. 4^h, Dezember 1. 24. 11. 4^h, Dezember 1. 25. 11. 4^h, Dezember 1. 26. 11. 4^h, Dezember 1. 27. 11. 4^h, Dezember 1. 28. 11. 4^h, Dezember 1. 29. 11. 4^h, Dezember 1. 30. 11. 4^h, Dezember 1. 31. 11. 4^h.

Janus. Dezember 1. 11. 4^h, Dezember 1. 12. 11. 4^h, Dezember 1. 13. 11. 4^h, Dezember 1. 14. 11. 4^h, Dezember 1. 15. 11. 4^h, Dezember 1. 16. 11. 4^h, Dezember 1. 17. 11. 4^h, Dezember 1. 18. 11. 4^h, Dezember 1. 19. 11. 4^h, Dezember 1. 20. 11. 4^h, Dezember 1. 21. 11. 4^h, Dezember 1. 22. 11. 4^h, Dezember 1. 23. 11. 4^h, Dezember 1. 24. 11. 4^h, Dezember 1. 25. 11. 4^h, Dezember 1. 26. 11. 4^h, Dezember 1. 27. 11. 4^h, Dezember 1. 28. 11. 4^h, Dezember 1. 29. 11. 4^h, Dezember 1. 30. 11. 4^h, Dezember 1. 31. 11. 4^h.

Astronomischer Kalender für den Monat Dezember 1906.

Tag	Sonnen				Mond			
	Mittlere Berliner Zeit				Mittlere Berliner Zeit			
	Zeit M. Z. — W. Z.	Rektension	Declination		Rektension	Declination	Mond im Meridian	
1	— 11 7.45	18 39 37.59	— 31.48 34.9	4 33 30.34	— 48 38 17.6	13 34.9	13 34.9	
2	10 49.53	18 39 40.17	31.51 37.8	5 41 33.56	50 33 49.7	13 35.0	13 35.0	
3	10 53.77	18 39 41.88	31.54 40.5	6 51 37.40	52 29 7.9	13 34.4	13 34.4	
4	9 57.79	18 39 39.90	31.57 39.4	7 23 49.90	53 49 30.0	13 34.7	13 34.7	
5	9 51.41	18 39 40.44	31 37 37.1	8 33 49.31	54 41 34.3	13 33.7	13 33.7	
6	9 5.96	18 39 41.94	31 55 38.8	9 4 15.59	57 40 7.6	13 30.0	13 30.0	
7	9 44.83	18 39 50.79	31 53 34.9	9 34 39.87	54 48 33.3	13 30.5	13 30.5	
8	9 38.64	18 39 53.14	31 50 33.1	10 43 39.68	53 38 47.6	13 31.9	13 31.9	
9	7 57.90	18 3 54.53	31 44 40.6	11 55 38.97	5 0 8.4	13 31.3	13 31.3	
10	7 31.48	17 5 54.99	31 51 41.9	12 39 34.34	— 3 18 36.6	13 31.6	13 31.6	
11	9 58.16	17 16 1.36	31 57 5 7	13 14 34.78	— 3 37 33.7	13 31.4	13 31.4	
12	9 56.40	17 14 56.44	41 5 31.1	14 0 39.80	7 54 38.8	13 30.8	13 30.8	
13	9 3.23	17 17 51.30	31 9 49.31	14 9 4.74	12 18 38.6	13 30.3	13 30.3	
14	6 33.66	17 33 18.33	31 38 51.7	14 9 3.63	18 17 38.4	13 30.9	13 30.9	
15	6 8.60	17 37 45.35	31 34 30.4	17 4 17.07	19 15 39.0	—	—	
16	6 59.04	17 40 1.39	31 37 43.7	18 33 48.34	20 38 7.6	0 30.7	0 30.7	
17	6 4 7.6	17 39 33.33	31 30 34.9	19 39 15.93	20 52 42.0	1 40.9	1 40.9	
18	6 57.54	17 40 33.88	31 29 36.6	20 31 34.98	19 58 18.6	3 43.6	3 43.6	
19	6 7.99	17 43 39.40	31 54 39.0	21 52 39.93	19 20 39.9	5 43.8	5 43.8	
20	6 37.30	17 45 50.74	31 39 40.7	22 37 0.43	18 18 38.7	4 34.4	4 34.4	
21	6 1.99	17 44 18.17	31 34 30.9	23 0 14.38	6 17 47.0	6 30.0	6 30.0	
22	1 37.99	17 44 46.60	31 46 37.9	24 36 37.96	6 47 48.6	8 1.3	8 1.3	
23	1 3.04	18 0 13.17	31 58 43.3	0 40 34.94	— 0 17 50.1	9 33.6	9 33.6	
24	0 56.90	18 7 37.55	31 36 38.0	1 48 31.6	+ 4 4 38.8	7 57.1	7 57.1	
25	— 0 4.21	18 29 4 13	31 39 18.9	2 17 47.95	6 39 15.4	8 30.0	8 30.0	
26	+ 0 30.90	18 36 30.49	31 33 46.3	3 0 33.76	10 0 41.8	9 1.6	9 1.6	
27	0 47.98	18 30 30.76	31 25 48.1	3 48 48.74	11 30	— 7	— 7	
28	0 39.95	18 36 30.48	31 35 17.4	4 38 38.95	17 57 38.0	10 54	10 54	
29	0 50.33	18 36 41.70	31 18 33.4	5 29 33.89	18 53 37.9	11	11	
30	0 39.48	18 34 31.53	31 13 33.0	6 18 33.63	20 54 38.1	12	12	
31	+ 2 44.97	18 36 40.98	— 31 8 7.6	7 16 3 17	+ 20 54 38.1	13	13	

Planetensichtbarkeiten 1906.

Dezember	1	4.5	Merkur im Perihel.
"	1	6	Saturn in Opposition mit dem Sonne
"	5	6	Jupiter in Konjunktion mit dem Monde.
"	7	10	Neptun in Opposition mit dem Monde, Bedeckung.
"	8	7	Mars in Konjunktion mit J. Neptun, Merkur 1° 37' westl.
"	9	4	Venus im südlichsten Knoten.
"	9	7	Venus in Konjunktion mit J. Neptun, Venus 12° 43' westl.
"	11	11	Merkur in größter westl. Elongation, Venus.
"	11	11	Mars in Konjunktion mit dem Monde.
"	13	5	Merkur in Konjunktion mit Venus, Merkur 4° 41' westl.
"	17	26	Venus in Konjunktion mit dem Monde.
"	18	20	Merkur in Konjunktion mit dem Monde.
"	18	6	Merkur in größter westl. Elongation, 21° 35'
"	20	24	Saturn in Konjunktion mit dem Monde, Bedeckung.
"	22	7	Sonne tritt in die Zeichen des Steinbocks, Winteranfang.
"	26	4	Jupiter in Opposition mit dem Sonne.
"	26	6	Jupiter in Konjunktion mit dem Monde.
"	30	24	Neptun in Konjunktion mit dem Monde, Bedeckung.

Planeten: Epheemeriden.

Mittlere Sonnen Zeit.							Mittlere Sonnen Zeit.																				
$\frac{1}{2}$ 12 30	Rektascension			Declination			Greenwich daring	$\frac{1}{2}$ 12 30	Rektascension			Declination			Greenwich daring												
	h	m	s	°	'	"			h	m	s	°	'	"													
Mercur.																											
1899														1899													
Dec. 1	22	52	52.32	—19	54.1	16.4		Dec. 1	22	48	52.28	—19	52.0	16.28													
15	23	55	48.55	—17	23.27.1	15.27		15	23	47	52.15	—19	47.54.5	15.15													
28	24	55	48.28	—16	52.0	13.27		28	23	46	52.01	—19	46.1	15.1													
30	24	55	50.00	—16	46.38.5	14.17																					
31	24	54	48.40	—16	39.44.7	13.52																					
31	24	53	48.22	—16	31.34.8	13.22																					
31	24	53	48.22	—16	31.34.8	13.22																					
Venus.																											
Dec. 1	24	4	52.00	—21	0	1.1	33.14																				
15	23	58	50.53	—20	24.57.4	59.48																					
24	23	58	57.54	—17	51.59.4	75.35																					
29	23	55	48.09	—17	0	13.8	31.38																				
30	23	54	5.17	—16	53.50.0	41.48																					
31	23	5	4.41	—16	45.4	13.29																					
Mars.																											
Dec. 1	22	58	57.45	—7	45.54.8	59.48																					
15	23	58	57.55	—6	51.10.5	59.56																					
28	23	48	58.75	—5	55.57.9	59.14																					
30	24	4	57.95	—5	5.48.4	59.4																					
31	24	11	54.79	—5	7	12.3	30.4																				
31	24	18	47.93	—10	4.58.0	34.48																					
Jupiter.																											
Dec. 1	4	52	53.34	+15	0	50.4	53.56																				
15	4	52	50.55	—10	3.41.4	39.49																					
30	4	55	35.54	+15	32.53.0	51.54																					

Mittlere Sonnen Zeit.							
$\frac{1}{2}$ 12 30	Rektascension			Declination			Greenwich daring
	h	m	s	°	'	"	
Saturn.							
Dec. 1	23	48	52.28	—19	52.0	16.28	
15	23	47	52.15	—19	47.54.5	15.15	
28	23	46	52.01	—19	46.1	15.1	
Uranus.							
Dec. 1	23	48	52.28	—19	52.0	16.28	
15	23	46	52.01	—19	46.1	15.1	
30	23	47	52.15	—19	47.54.5	15.15	
Neptune.							
Dec. 1	4	45	56.77	+45	0	48.1	56.48
15	4	45	56.77	+45	0	48.1	56.48
30	4	45	56.77	+45	0	48.1	56.48
31	4	45	56.77	+45	0	48.1	56.48

Mittlere Sonnen Zeit.						
Dec.	h	m	s	Longitude		
				°	'	"
1899						
1	22	58	57.45	—7	45	54.8
15	23	58	57.55	—6	51	10.5
28	23	48	58.75	—5	55	57.9
30	24	4	57.95	—5	5	48.4
31	24	11	54.79	—5	7	12.3
31	24	18	47.93	—10	4	58.0
Jupiter.						
Dec. 1	4	52	53.34	+15	0	50.4
15	4	52	50.55	—10	3	41.4
30	4	55	35.54	+15	32	53.0

Mondphasen.

Dec.	h	m	
1	11	54.7	Letztes Viertel.
10	7	47.6	Neumond.
20	2	37.5	Erstes Viertel.
28	7	57.4	Vollmond.
1	7	—	Mond in Erdferne
10	2	—	Mond in Erdnähe
20	7	—	Mond in Erdferne.

Sonnenbedeckungen durch den Mond für Berlin (1900)

Monatstag	Zeit	Ort	Beginn		Ende	
			h	m	h	m
December 1	2 ^h 00 ^m 10 ^s	1.1	4	38.6	7	4.4
1	2 ^h 00 ^m 10 ^s	1.1	12	37.9	12	38.3
16	7 ^h 00 ^m 10 ^s	1.1	4	38.6	7	38.9
26	2 ^h 00 ^m 10 ^s	1.1	12	37.9	12	38.3
26	7 ^h 00 ^m 10 ^s	1.1	4	38.6	7	38.9
30	2 ^h 00 ^m 10 ^s	1.1	12	37.9	12	38.3

Lage und Größe des Saturnrings sind im Monat December nicht zu beobachten.

December 1.	Mittlere Länge des Elipsen	127° 27' 1.32"
	Wahrer	127° 26' 30.27"
	Halbmesser der Sonne	26' 14.55"
	Parallaxe	0.92"

Stellungen der Jupitermonde im December 1906.



Stellungen am 12^h für den Aufblick im astronomischen Periscope.

Tag	West.	Ost.
1	4	0 1- 1-
2	1- 1- 1- 1-	0 1-
3	-4 1-	0 1- 1-
4	1- 1- 1- 1-	0 1-
5	1- 1-	0 1-
6	1-	0 1- 1-
7	1	0 1- 1- 1- 1-
8		0 1- 1- 1- 1-
9	1- 1-	0 1-
10	1-	0 1- 1- 1- 1-
11	1- 1- 1-	0 1- 1- 1- 1-
12	-4 1-	0 1- 1- 1- 1-
13	1-	0 1- 1- 1- 1-
14	1- 1-	0 1- 1- 1- 1-
15	1-	0 1- 1- 1- 1-
16	1- 1- 1-	0 1- 1- 1- 1-
17	1- 1- 1- 1-	0 1- 1- 1- 1-
18	1- 1- 1-	0 1- 1- 1- 1-
19	1- 1-	0 1- 1- 1- 1-
20	1-	0 1- 1- 1- 1-
21	0 1-	0 1- 1- 1- 1-
22		0 1- 1- 1- 1-
23	1- 1-	0 1- 1- 1- 1-
24	1-	0 1- 1- 1- 1-
25	1- 1-	0 1- 1- 1- 1-
26	1-	0 1- 1- 1- 1-
27	0 1-	0 1- 1- 1- 1-
28	1-	0 1- 1- 1- 1-
29	1- 1-	0 1- 1- 1- 1-
30	1-	0 1- 1- 1- 1-
31	1- 1-	0 1- 1- 1- 1-

Erleuchtungen der Jupitermonde. Die klassischen Angaben über die Erscheinungen der Jupitermonde beziehen sich auf mittlere Zeit von Greenwich. Die Tabellen sind der Reihenfolge ihres Abwandes vom Jupiter nach III bis IV benannt. Die vor größten Figuren zeigen die Stellung jedes Mondes mit Bezug auf den Jupiter für den Augenblick der Verfinstörung (M) oder des Wiederaufgehens (A). Ist τ nicht angegeben, so kann der Augen aus dem Schatten nicht beobachtet werden. Ferner bedeutet bei den nachfolgenden Zeitangaben:

- Er D den Verschwinden des Trabanten am Schatten des Jupiter.
- Er R den Eintritt des Trabanten aus dem Schatten des Jupiter.
- Co D den Verschwinden des Trabanten hinter der Jupitersehne.
- Co R den Wiederaufgehens endlich neben der Jupitersehne.
- Tr I den Eintritt des Trabanten vor der Jupitersehne.
- Tr E den Austritt des Trabanten von der Jupitersehne.
- St I den Eintritt des Trabanten auf die Jupitersehne.
- St E den Austritt des Trabanten von der Jupitersehne.

Es sind nur diejenigen Erleuchtungen der Jupitermonde aufgeführt, welche sich ereignen, wenn Jupiter in Greenwich über und die Sonne unter dem Horizont steht. Um die Mangel dieser Erleuchtungen nach astronomischer Zeit zu heben, hat man nur nötig, 12 zu den angegebenen Zeitangaben zu addieren.

December 1. II St I 12^h 31^m. II Tr I 14^h 32^m. II St E 16^h 41^m. II Tr E 17^h 41^m.
 December 2. III St I 1^h 36^m. III Tr I 3^h 34^m. III St E 5^h 40^m. December 3. II Co D 2^h 31^m 32^s. II Co R 2^h 36^m. I St I 1^h 36^m. I Tr I 1^h 36^m. I St E 1^h 36^m.
 December 4. I Co D 1^h 36^m 32^s. I Co R 1^h 36^m. December 5. II St I 2^h 36^m. II Co D 2^h 36^m 32^s. II Tr E 2^h 36^m. II Co R 2^h 36^m. II Tr I 2^h 36^m. II St E 2^h 36^m.
 December 6. I Co D 1^h 36^m 32^s. I Co R 1^h 36^m. December 7. I St I 1^h 36^m. I Tr I 1^h 36^m. I St E 1^h 36^m. I Tr E 1^h 36^m. December 8. I Co D 1^h 36^m 32^s. I Co R 1^h 36^m. December 9. I St I 1^h 36^m. I Tr I 1^h 36^m. I St E 1^h 36^m. I Tr E 1^h 36^m.
 December 10. I Co D 1^h 36^m 32^s. I Co R 1^h 36^m. December 11. I St I 1^h 36^m. I Tr I 1^h 36^m. I St E 1^h 36^m. I Tr E 1^h 36^m.
 December 12. I Co D 1^h 36^m 32^s. I Co R 1^h 36^m. December 13. I St I 1^h 36^m. I Tr I 1^h 36^m. I St E 1^h 36^m. I Tr E 1^h 36^m.
 December 14. I Co D 1^h 36^m 32^s. I Co R 1^h 36^m. December 15. I St I 1^h 36^m. I Tr I 1^h 36^m. I St E 1^h 36^m. I Tr E 1^h 36^m.
 December 16. I Co D 1^h 36^m 32^s. I Co R 1^h 36^m. December 17. I St I 1^h 36^m. I Tr I 1^h 36^m. I St E 1^h 36^m. I Tr E 1^h 36^m.
 December 18. I Co D 1^h 36^m 32^s. I Co R 1^h 36^m. December 19. I St I 1^h 36^m. I Tr I 1^h 36^m. I St E 1^h 36^m. I Tr E 1^h 36^m.
 December 20. I Co D 1^h 36^m 32^s. I Co R 1^h 36^m. December 21. I St I 1^h 36^m. I Tr I 1^h 36^m. I St E 1^h 36^m. I Tr E 1^h 36^m.
 December 22. I Co D 1^h 36^m 32^s. I Co R 1^h 36^m. December 23. I St I 1^h 36^m. I Tr I 1^h 36^m. I St E 1^h 36^m. I Tr E 1^h 36^m.
 December 24. I Co D 1^h 36^m 32^s. I Co R 1^h 36^m. December 25. I St I 1^h 36^m. I Tr I 1^h 36^m. I St E 1^h 36^m. I Tr E 1^h 36^m.
 December 26. I Co D 1^h 36^m 32^s. I Co R 1^h 36^m. December 27. I St I 1^h 36^m. I Tr I 1^h 36^m. I St E 1^h 36^m. I Tr E 1^h 36^m.
 December 28. I Co D 1^h 36^m 32^s. I Co R 1^h 36^m. December 29. I St I 1^h 36^m. I Tr I 1^h 36^m. I St E 1^h 36^m. I Tr E 1^h 36^m.
 December 30. I Co D 1^h 36^m 32^s. I Co R 1^h 36^m. December 31. I St I 1^h 36^m. I Tr I 1^h 36^m. I St E 1^h 36^m. I Tr E 1^h 36^m.

Druckfehler. Siles Heft 9, S. 106, 3 Spalte, Zeile 18 von oben muß es heißen, Radius des Pols 326344 2 Toisen.



SIRIUS.

Zeitschrift für populäre Astronomie.

Centralorgan für alle Freunde und Förderer der Himmelskunde.

Herausgegeben

unter Mitwirkung hervorragender Fachmänner und wissenschaftlicher Schriftsteller

von Prof. Dr. Hermann J. Klein in Köln.

November 1906.

Wissen und Erleben sind die Freunde und die
Berechtigung der Menschheit. — Einstein

Jeden Monat 1 Heft. — Jährlich 12 Mk.

Verlag von EDUARD HEINRICH MAYER in Leipzig.

INHALT: Die 21. Jahresversammlung der Astronomischen Gesellschaft. S. 241 — Zum Jubiläum der Erfindung des Nippon. S. 245. — Neue Beobachtungen über den Mond-
inneren Meer. S. 241 — Die Märkte des Halleyischen Kometen 1905. S. 245 — Die
Tiefen des astrophysikalischen Innern Kugelstern (Kugelstern) im Jahr 1905. S. 245 —
Neue Beobachtungen und Untersuchungen der großen Veränderlichen (Mit 4 Abbildungen im Text
und Tafel 102.) S. 245. — Kometen-Meteoriten. S. 245. — Astronomische Kalender
S. 245. — Geschichte der September- und Oktober-Beobachtungen der September- und Oktober-Beobachtungen. S. 245.

Die 21. Jahresversammlung der Astronomischen Gesellschaft.

Der September fand in Jena die
21. Jahresversammlung der
Astronomischen Gesellschaft statt. Es
waren mehr als 80 Mitglieder der Ge-
sellschaft aus Deutschland, Österreich-
Ungarn, Rußland, Schweden, der Schweiz,
England, Dänemark, Holland, Mexiko,
Argentinien usw. anwesend, darunter
Charles-Lund, Nilsen-Utrecht, Leh-
mann-Pilsch-Berlin, Müller-Potsdam,
v. Neuberg-Freiburg, Kratochvil, Dym-
Eisenberg, Vogel-Potsdam, Albrecht-
Potsdam, Nyren-Potsdam, Dachs-
Upala, Becker-Stuttgart, Haasberg-
Stettin, v. Seeliger-München, H.
Struve-Berlin, L. Struve-Charlotten, Bruns-
Leipzig, Scheer-Hamburg, v. Orbeski-
Odessa, Kneip-Jena, Wirtz-Wien, Schwach-
schild-Göttingen. Die unter dem Vor-
sitz von

Dr. v. Seeliger v. München
stehende Tagung wurde vom Stau-
mann Dr. Kopp im Namen der groß-
herzoglich sächsischen Regierung, vom
Präsidenten der Universität Jena und vom
Bürgermeister Dr. Wagner im Namen
der Stadt Jena begrüßt. Ein Fuldigungs-
telegramm wurde an den in Norwegen
verweilenden Großherzog von Sachsen-
Weimar abgesandt. Die erste Tages-
ordnung beschäftigte sich mit geschicht-
lichen Dingen und organisatorisch-
wissenschaftlichen Arbeiten der Ge-
sellschaft, u. a. mit dem Katalog der
veränderlichen Sterne, mit dem Zonen-
untersuchen der Gesellschaft und den
Publikationen. An wissenschaftlichen
Vorträgen brachte die Tagesordnung

einem solchen von Hülst Prof. Dr. Winkler über die Bearbeitung der Kometen. Es handelt sich hierbei namentlich um die Vorarbeiten zur Darstellung der periodischen (Edwardschen, Halyschen usw.) Kometen. In der Wandkammer des Vollschauspiels war eine Sammlung von Instrumenten und optischen Gläsern der Firma Carl Zeiss und Schott und Genossen in Jena aufgestellt, die »Plattenschneider«, die sei es astro-photographischen Doppelsternpaare von 1 m Brennweite. Eine andere Vorbereitung hatte das Zeiss-Werk durch Errichtung eines kleinen Kuppelgebäudes getroffen, das so eingerichtet ist, daß die Refraktoren größten Ausmaßen, vor dem Wind durch ein aus dem Dach ragendes bewegliches Rohr geschützt, darin aufgestellt werden kann. Die weiteren Sitzungstage brachten eine Reihe wissenschaftlicher Vorträge. Prof. v. Seeliger-München sprach über die empirischen Gländer in der Theorie der inneren Planeten; er handelt sich dabei um die Ursache der Bewegung der Venusknoten und des Merkurperihelium. Dann folgte ein Vortrag von Oskar von Albrecht-Potsdam über die Anwendung der analogen Telegraphie in Längenbestimmungen auf Grund der von ihm unternommenen Versuche auf der Linie Potsdam-Breslau. Hierbei handelt es sich darum, ob man bei Anwendung der analogen Telegraphie ebenso sichere und zuverlässige Resultate erhalten kann wie mittels der Distanzsignale, die zur Genauigkeit bis auf einige Tausendstel der Sekunde erreichen lassen. So dürfte das bei der Längenbestimmung Potsdam-Greifswald vom Geodätischen Institut in Potsdam gewonnene Ergebnis wahrscheinlich nicht mehr als 0,001 Sek. von der Wahrheit abweichen. Nachdem Prof. Hartmann-Potsdam ein neues Verfahren zur Auswertung von Sternspektrogrammen erläutert hatte, nahm Prof. Ebert-München das Wort zu einem Vortrage über die gesamte Dispersion in der Astronomie, die nach ihm neben dem Kirchhoffschen Gesetz und dem Dopplerschen Prinzip als

drittes Erklärungsprinzip in der Astrophysik angesprochen werden müsse. Der Vortrag vermißte in der nächsten Sitzung eine lebhafte Diskussion, in welcher Vogel, Schwarzschild und Bach sprachen, sowie Hartmann, der die Stellung der Astrophysiker gegenüber der empirischen Dispersion darlegte.

Über das Problem der drei Körper sprach Baran (Kopenhagen). Es handelt bekanntlich um ein unsern mathematischen Hilfsmitteln bisher nicht gelöste Aufgabe, die Bewegungen eines Körpers zu bestimmen, der von zwei andern Massen gleichzeitig Gravitationswirkungen erfährt. Im Sonnensystem wird jeder Planet zwar auch außer der Sonne von den andern Planeten angezogen, da aber die Massen der Planeten sehr klein sind gegenüber der Sonne, so läßt sich hier, allerdings auch nur durch Näherungen, die Bewegung eines Planeten so darstellen, als bewirke es sich nur unter der Anziehung der Sonne, während die andern Planeten diese von allgütigste Bewegung stören. In der Finsterniswelt aber haben wir drei- und vierfache Systeme vor uns, in denen nicht ein Körper an Masse die andern Gänder überwiegt, sondern die Komponenten von gleicher Ordnung der Masse sind. Außer Baran arbeitet gegenwärtig wissenschaftlich nur O. H. Darrin in Cambridge (England) an Spezialfällen des Problems.

Albrecht (Potsdam) erörterte kurzam Bericht über den Stand der internationalen Polhöhenforschung. Gegenwärtig sind 2681 Stationen in allen Erdteilen mit der Bestimmung ihrer geographischen Breite beschäftigt. Die Verfeinerung derselben beruht bekanntlich auf der Verdichtung der Erdkruste auf der Erdoberfläche, wodurch auch auf einer periodischen Verschiebung des Schwerpunkt der Erde in der Richtung der Erdachsen. Aus den Beobachtungen hat sich noch kein allgemeines Gesetz für die Polbewegung ergeben. Der Pol läuft in einer spiralförmigen Kurve um eine mittlere Lage herum, doch ist wieder

die Zeit einer Untersuchung des Mittelpunktes noch die Größe der Spirale vorher zu bestimmen. Es stellt sich immer mehr heraus, daß eine dauernde Beobachtung der Fokalbewegung zu erfolgen hat, um die für die Astronomie und Geodäsie gleich wichtige Reduktion von Augenblickswerten auf den mittleren Pol ausführen zu können.

Quetier (Lund) sprach über seine neuen Untersuchungen über den Fokalepizentrum. Er hat die geodätisch verwertete, um den wahrscheinlichsten Wert für die Größe der Sonnenbewegung durch den Raum zu ermitteln.

Pallas (Wien) teilte mit, daß er seine Absicht, im Verein mit Wolf (Heidelberg) Karten der Ellipsoidalgeometrie des Himmels in größerem Maßstabe als dies in den Bonner Karten Argelander und Schaeferich gestrichen ist, zu veröffentlichen, aus Mangel an Mitteln habe aufgeben müssen. Er will nun einfach Wolfs Platte, die zur Aufzeichnung von Merkurs Placiden geeignet ist, mit einem Gradnetz versehen, kopieren und herausgeben. Der Mittel dazu müssen auf dem Wege der Subskriptionsausbehalte werden. Ferner legt Pallas noch von dem angelegten Sternkatalog aus den Wiener Beobachtungen von 1843 bis 1879 im Druck vor. Schorr, Schwennfeld und Bach sprachen über den Aufnahmen bei der Sonnenkorona vom 30. August 1905.

Richter (Berlin) entwickelte den Plan eines einheitlichen Aquinoctiums für alle in dem letzten Jahrhundert 1900 bis 1950 zu aufsteigenden Sternpositionen. Werden diese gleichmäßig auf der Lage des Äquators im Jahre 1925 bezogen, so lassen sich alle Kräfte politischer astronomischer Aufgaben ohne jede Vorentscheidungen, Voraussetzung sind bequeme Tafeln für die Übertragung der Elemente auf dieses Normalaquinoctium an Stelle der bisherigen unständlichen Reduktionen. Der Vortragende beabsichtigt solche herauszugeben. Kersch machte Mitteilung über die Errichtung einer Sternwarte in Agnes in Krasien.

Wolf (Heidelberg) führte Projektionenbilder seiner neuesten Aufnahmen vor, darunter eine Aufnahme aus der Cassiopeja, die 16 Stunden belichtet ist.

Für die nächste, in zwei Jahren stattfindende Versammlung ist als Tagungsort Wien gewählt. Auf Vorschlag von Oth. Ral Wolf (Heidelberg) und Dr. Pallas (Wien) wurde dem von jenem entworfenen, von einem Schüler des Prof. Knopf (Jena), stud. E. Grabowski, bearbeiteten und mit einem Bild der entdeckten Placiden identifizierten Placiden (126) zur Erinnerung an die diesjährige Tagung der Name „Jena“ beigesetzt. Eingehende Berichte über einzelne Vorträge folgten später.

Zum Jubiläum der Entdeckung des Neptun.

Siebzehn Jahre sind jetzt verflissen, seit uns der merkwürdigsten Entdeckungen im Planetensystem — und bis heute die einzige dieser Art — gelang; die Auffindung eines bis dahin unbekannten Planeten auf Grund der Vorausberechnung seines scheinbaren Ortes am Himmelsgewölbe.

Noch weit als deren Zeuge unter den Lebenden die Natur der Himmelskünde, der damals noch jugendliche

Astronom Galle, der betrafen wir, am Abend des 23. September 1846 wurde den ersten großen Planeten Neptun im Firmament zu finden.

Nicht einem glücklichen Zufalle ist diese Entdeckung zu verdanken. Es war die Köhlung einer mit der sichern Übertragung des Galileus unter zusammen, eifrig durchgeführten langwierigen und äußerst komplizierten Gitterarbeit des jungen brandenburgischen

Mathematikers Leverrier, der nicht zögerns auf sich genommen hatte, an den Ort dies noch nie gesehenen Gestirns zu berechnen lediglich aus den Störungen, welche dieses auf die Bahnen der ihm nachfolgenden Planeten auszuüben schien. Leverrier glaubte auf die Existenz eines solchen Planeten schließen zu dürfen, nachdem aus den kleinen Abweichungen, welche der seit 1781 entdeckte Planet Uranus, entgegen der Vorhersage, in seiner Bahn um die Sonne zeigte. Diese Störungen ließen sich nicht völlig erklären durch die Einwirkungen, welche die bis dahin bekannten Planeten ausüben konnten. Das erste Ergebnis gelang in überraschender Weise. Galle fand noch am selben Abend, an dem er die Mitteilung erhielt, einen neuen Stern unweit des von Leverrier vorausbestimmten Platzes. Die Auffindung wurde zum Teil durch die Berliner akademische Sternkarte von 1801, die eben vollendet war, ermöglicht. Der Stern hatte am folgenden Abend merklich seine Stellung zu den benachbarten Fixsternen verändert, konnte daher nur der Wandelstern sein. Die Wissenschaft konnte mit dieser Entdeckung eines ihrer größten Triumphes. Galle hatte bestätigt, was Leverrier berechnet hatte.

Während aber Galle und der Berliner Sternwarte ungeduldet hatten die Priorität zugewandt werden mußte, entstand über das Vorrecht der ersten barometrischen Berechnung noch ein lebhafter Streit im Interesse der historischen Gerechtigkeit kann man heute

nicht umhin, anzugeben, daß wenn Leverrier auch der Engländer Adams den Ort des Planeten vorher bestimmt hat Unabhängig von Leverrier hatte gleichzeitig auch er das schwierige Problem bearbeitet und gelangte bewährte zum selbigen Ergebnis wie jener. Er forderte den Astronomen Challis auf, an der von ihm bestimmten Stelle des Himmels nach einem Planeten zu suchen. Challis fand letztere in der Tat am 4. August 1846 und beobachtete auch am 12. August seine Position. Indessen sträubte er seine Beobachtungen zu einer detaillierten Karte jener Himmelsgegend zusammenzustellen und erkannte deshalb seinen Fund nicht. So geschah es denn, daß neben Galle Leverriers Name mit dem Ruhm der Entdeckung als verknüpft blieb. Freilich mußte sich wenige Monate nach der Auffindung des Neptun auch heraus, daß das Gestirn bereits 1785 von Lalande gesehen worden, daß es aber damals nicht als Planet erkannt, sondern als Fixstern in die Karten eingetragen worden war.

Galle wollte dem neuen Weltkörper zunächst den Namen „Janus“ geben, die Akademie der Wissenschaften in Paris, der Leverrier zuerst den Plan seiner Arbeit vorgelegt hatte, schlug vor, ihn „Leverrier“ zu benennen. Hierantratte Astronomen, wie Encke, Gauss, Herschel, aber entschieden sich später für die von dem Bureau des Longitudes gewählte Bezeichnung „Neptun“, die auch von den übrigen Astronomen angenommen ward.

Neue Beobachtungen über den Mondkrater Lind.

Wie S. 126 des „Stern“ mitgeteilt wurde, haben die Beobachtungen von Prof. William Pickering und Dr. G. W. Wirtz zu dem Ergebnis geführt, daß der Krater Lind nicht richtig der im westlichen Rand, beide Flank seine Größe sei, in einer

Weise, welche der Sonnenbestrahlung in Beziehung steht. Die genauesten Beobachtungen lassen jedoch unbestimmt, ob die Größenänderungen des Flaks wirklich real sind oder nur scheinbar und durch physikalische Verhältnisse im Auge des Beobachters bedingt wurden.

Um diese Frage zu entscheiden, hat Dr. G. W. Wirtz eine ausgedehntere Reihe von Messungen am Hocklages Refraktor zu Straßburg angestellt und teilt jetzt die Ergebnisse seiner Studien über diesen Gegenstand mit.¹⁾ Schon frühere Messungen aus dem Jahre 1903 und 1904, welche in die Jahre 1904 bis 1905 fallen, gefolgt. Er hat dabei den Durchmesser des nördl. hellen Fleckes im Linié, oft auch den Durchmesser des nördlichen Kraters (der aber wegen seiner Kleinheit nur bei niedrigem Sonnenstande sich durch Schatten verrät), dann auch zum Vergleich den benachbarten Krater Linié B gemessen. Letzterer ist eine tiefe Grube mit niedriger Wall, ein Gebilde, das bei Vollmond dem Linié ebenfalls ähnlich sieht und dann nur wenig schärfer begrenzt erscheint als dieser.

In einer Tabelle gibt Dr. Wirtz die Ergebnisse seiner Messungen, geordnet nach der Zeit seit dem letzten Neumonde und angedrückt in Kilometern. Werden die Messungen in zwei Monatsbestimmungen zusammengefaßt, so ergibt sich folgende Tabelle, in der unter A die Zahl der Tage nach dem Neumonde oder des sogenannten Marschters sich findet und die entsprechenden Durchmesser für Linié und Linié B in Kilometern angegeben sind.

A	Linié km	Linié B km
1-20	1.45	1.58
21-30	1.75	1.89
31-40	2.27	2.26
41-50	2.35	2.86
51-60	2.68	3.21
61-70	3.14	3.43
71-80	3.26	3.58
81-90	3.01	3.56
91-100	3.40	3.43

Der Durchmesser des hellen Fleckes im Linié ergibt sich hieraus im Mittel zu 2.26 km, dagegen von Linié B zu 3.24 km. Den Durchmesser des Zentral-

kraters von Linié findet Dr. Wirtz im Mittel zu 1.16 km.

Prof. Bernard hat im Jahre 1903 den Durchmesser des hellen Fleckes Linié am Hocklages Refraktor der Verleinswarte gemessen und die Veränderung seiner Größe sehr ausgedehnt beobachtet.²⁾ Indem die Schwankungen bis zu 5 km betragen, während Dr. Wirtz in Straßburg etwa 2 km dafür ermittelt. Dabei war die mittlere Auffassung der Größe des Lichtflecks für beide Beobachter nahezu identisch: aus Bernards gleichfalls Messungen folgt im Mittel der Durchmesser zu 2.64 km, gegen Straßburg gilt 2.26 km. Dieser letztere Wert harmonisiert wieder gut mit dem aus Dr. Wirtzs erster Beobachtungsreihe (1903) gefolgerten Betrage von 2.26 km, und auch die Übereinstimmung des mittleren Durchmessers 3.24 km des Vergleichskraters aus der neuen Reihe mit dem durch die früheren Beobachtungen gegebenen (3.76 km) darf als gutgehend betrachtet werden.

Setzt man die Größenänderungen des Linié und von Linié B durch je eine Kurve dar, so laufen nach den Straßburger Beobachtungen beide Kurven nahezu parallel und schließlich ergibt sich im allgemeinen das gleiche Resultat wie bei der ersten Beobachtungsreihe (1903), nämlich, daß die Zunahme des schwächeren Durchmessers des Fleckes für jeden Tag nach dem Neumonde 0.1 km beträgt. Ein ähnliches Verhalten ergibt sich für beide Krater auch aus den Messungen, welche Dr. Wirtz während der Beobachtungen des 14. August 1905 anstellte.

„Die Straßburger Beobachtungen“, sagt Dr. Wirtz, „lassen eine doppelte Erklärungsöglichkeit offen: entweder es entspringt sich das die Schwankung von Linié verursachende Medium so weit, daß auch der weit abseits (etwa 90 km) von Linié ruhende Krater B in das Wirkungsgebiet tritt und wirklich diesen Änderungen mit

¹⁾ Astron. Nachr., Nr. 4018.

²⁾ Vergl. Sirius 1906, S. 82.

unterworfen ist, oder über die genau Einsetzung ist nicht weiß, so mag als eine Folge der Betrachtung gelten und sich in der gleichen Gegend gelegenen Objekte unterliegen die in anderer Weise. Auf die große Bedeutung der Lage der Lichtgrube für das Aussehen von astronomischen Detail haben alle Mondbeobachter mit Nachdruck hingewiesen. Auch die Gleichzeitigkeit, mit der die Linienphasen von verschiedenen Beobachtern aufsteht wird, daß man noch nicht für diesen Fall in Anspruch nehmen, denn physiologische Eigentümlichkeiten haben bei allen Individuen im großen und ganzen denselben Gang, z. B. der Kämpfer von Vorjahren, den man unter dem Namen persische Gleichung, Heiligkeitsgleichung zusammenfaßt. Der hier sowohl während wie außerhalb von Mondsternwarten beobachtete Vorgang würde physiologisch bedeuten, daß man ein hater beobachtet Objekt immer weiß als ein anderes, von verschiedenen Gängen des unbestimmten.

Es ist nicht leicht, sich für eine dieser Eventualitäten mit Sicherheit zu entscheiden, auch nicht durch eine Beobachtungsreihe. Nicht man bei einem nahe dem Land gelegenen Vergleichspunkt, so begegnet man dem Einwurf, daß vielleicht dieses Objekt noch in der Wirkungsphase der Linsen steht, und geht man zu Klagen in großer Entfernung von Land über, so treten gleich andere Beobachtungsverhältnisse ein; teilweise begibt man sich der Möglichkeit gleichzeitiger Beobachtung der Objekte und der Gang des zweiten Kretos sagt dann nichts mehr zur Entscheidung aus.

Bei dieser Lage der Verhältnisse gewinnen die Notizen über die physische Aussehen der beiden Kretos an Interesse, weil sich danach weit mehr der Grad der Wahrheit einschließen, der einen oder andere Hypothese beurteilen helfen. Aus dem eigentlichen Durchsichtsberechnungen des Zentralsterns kann man über außer ichten Unklarheiten wegen nicht weiter

als den schon angeführten Durchmesser ≈ 114 des aktiven, und die beobachteten Veränderungen im Aussehen des Lins selbst haben sich in so engen Grenzen, daß man sie wohl immer unmerklichen Schwankungen im Lichtstande zur Last legen kann. Der Lichtfleck war stets unklar, meist schwach und wenn noch eine kleine Anzahl von geringer, von Tag zu Tag ein wenig wechselnder Breite auf. Im niedrigsten Sonnenstande (1903 Nov. 17) warf der Lins seinen Schatten, die der Sonne abgewandte Seite erschien nur dunkler als die ihr zugewandte, demnach handelt es sich hier um einen aus dem kleinen Zentralstern heraus in ungemein flacher Richtung abgeschütteltes Weiß. Die eigentliche Kretosöffnung blieb nur im niedrigsten Sonnenstande durch ihr schattenverfülltes Innere hervorstechend, aber auch dann wird dieser Schatten merklich von der Art des sonstigen Schattenwurfes auf der Mondoberfläche ab. Er war nämlich weit blässer und matter aus als der gewöhnlichen scharfen Schattenbilder der Gelbsteinen und Kretosweisse, so daß man in Verbindung mit dem hellen fleckartigen Aussehen den Eindruck gewann, als ob eine nichtstarke, als flüssige Masse, durchschüttelte Materie sich über dem ganzen Orbital ausbreite. Im Zusammenhang damit könnte es dann auch stehen, daß sich der Lichtfleck oft länglich nach in einer dem Parallel nahen Richtung. Ferner zeigte sich am 12. Februar 1903 im Positionswinkel 66° und 245° heller als zwei helle äußere sehr leuchtende Ausschläge an dem sonst gut runden Fleck, die am nächsten Tage schon mit dem zusammengefließen waren und im Positionswinkel 70° leicht gedehnt erschienen ließen. Die Achsenverhältnisse der Dehnung lag gewöhnlich zwischen 1:3 und 3:2.

Der Vergleichskretos ist eine sehr Kretosgrube mit niedrigem, dünnem, streifen Weiß, bei kleinen und hohen Mondstern gut begrenzt, verliert sich die Schärfe selbst Unmengen nach bei

einigermaßen Sonne, und sehr dem Vollmond weil vom Aussehen dem des Linné sehr ähnlich; selbst eine schwache Annäherung ließ sich feststellen beobachten. Die Flächenhelligkeit von Linné B übertraf die von Linné am Vollmond kaum erheblich; am 14. August 1906, kurz vor Vollmond, betrug ich die Flächenhelligkeit des Linné B um $\frac{1}{2}$ Helligkeitsklasse größer als die von Linné.

Ein anderer Versuch zur Aufklärung des Linnéphänomens habe ich noch nach Abschluß der ganzen Beobachtungsreihe gemacht. In der Vergrößerung des Linné nur schwach, durch physiologische Eigenschaften veranlaßt, so muß die Erscheinung nach meinem Kommen, wenn man den Krater durch Blendgläser verdeckt. Das entsprechende Verhalten des Verhältnisses bei einer Blendfenster. Am 5. Mai 1906 muß ich daher die Durchmesser von Linné und Linné B einmal wie gewöhnlich ohne Blendgläser und dann mit einem grünflühenden Blendglas vor dem Okular, das eine Absorption von etwa drei Gelbklassen bewirkt. Es zeigte nun schon der bloße Anblick, daß der Fleck von Linné mit Blendung größer erschien als ungeblendet, und die Messung bestätigte nach diesem unmittelbaren Eindruck. Die Anordnung der Beobachtungen war streng symmetrisch: die Einstellungen mit Blende wurden zwischen die ohne Blende eingeschaltet und je zwei vollständige Durchmesserbestimmungen der Objekte vorgenommen. Im folgenden sind die Mittel der beiden Messungen angeführt.

Jahr	M. Z.	Linné		Vergleichs- Körper	
		ohne Blende	mit Blende	ohne Blende	mit Blende
	Stelle	km	km	km	km
1906	874	725	490	512	420

Der vorliegende Sinn spricht sich also deutlich aus. Der Linné sah es so aus, als ob die Blendung am nachdrücklichsten den hellen Hintergrund des Mare umarmen trieb und auf dem dunkleren Grunde dann die helle vom Krater

ausgehende Masse sich weiter verfolgen ließ.

Entscheidenden Wert darf man diesem Ersuchen diesem Versuch nicht beilegen. Denn bei der optischen Beziehung, in der hier das Resultat zur Messung steht, kann nur zu leicht unbewußte Voreingenommenheit die Beobachtung beeinflussen. Dagegen habe ich dem Einfluß derartiger Voreingenommenheiten bei meiner Hauptreihe für ausgeschlossen.

Zusätzlich bemerkt Dr. Wirtz noch, daß ihm Linné am 28. Mai 1906, als die Sonne für den Krater gerade aufgingen war, einen ungewöhnlichen Anblick darbot. «Von dem sonst stets gesehenen hellen Fleck war keine Spur zu erkennen. Man erblickte nur einen trotz geringer mittlerer Helligkeit scharf begrenzten, gleichförmigen Berg von kleiner Größensicht. Die in derselben Weise wie früher vorgenommene Beobachtung ergab folgende Resultate:

Durchmesser von Linné: 545 km.
Durchmesser von Linné B: 584 km.

Nach vorläufiger Messung lag die Lichtgrenze in einem Abstände von nur 64,5 km zu Linné vor. Da ferner die Länge des schmalen, spitzem Schattens durch Schätzung zu 4,75 km gefunden wurde, so folgt als Höhe $H = 168$ m über der Ebene des Mare konstatale, und obliquer Blickwinkel bei rund nur 5° heraus. Die kleine Kraterblase in der Mitte schien zwar nur und da sichtbar, mit Bestimmtheit versuchten wir ihre Sichtbarkeit aber nicht zu beobachten. Der Zusammenhang des Linnéphänomens mit dem Sonnenstande dürfte daher ein statischer sein, wie der der von Tycho und tiefer andere Kratern ausgehenden leuchtigen Streifen, deren Name allerdings auch nach der Aufklärung harzt. Außerdem spricht diese Beobachtung entschieden gegen die mehrfach vorgenommene Deutung der Durchmesserbestimmungen des hellen Flecks, als ob er um Mars um seiner Ausdehnung von der Nachbarschaft des Mondes heranzöge. Im Gegenstiel ist dann gar nicht vorhanden. Was

man nun weiter mit höhersteigender Sonne beobachtet, muß nach oben als eine Mischung von physiologischen Vorgängen (= Helligkeitsmischung) und

von reinem Niederschlag der Fluchsubstanz von dem optischen Berg betrachtet werden.

Die Rückkehr des Halleyschen Kometen 1910.

Dieser Komet ist merkwürdig als der erste, dessen Bewegung in einer geschlossenen Bahn erkannt wurde und der mit Sicherheit im Jahr 1456 aufgefunden werden kann, welche sogar bis zum Anfang unserer Zeitrechnung. Halley, nach dessen Namen nach der Komet benannt ist, war bekanntlich der Entdecker der Periodizität derselben und bestimmte dessen Rückkehr auf den Anfang des Jahres 1758. Diese Berechnung traf zu und die letzte Wiederkehr fand im Herbst 1835 statt. Grund der Berechnung von Ponsbranten ist die nächste Wiederkehr im Jahr 1910 zu erwarten. Man darf annehmen, daß der Komet dann schon in größerer Entfernung aufgefunden wird als 1835 und es erscheint daher von Wichtigkeit, schon jetzt einige über seinen heliostatischen und geostatischen Lauf während der nächsten Jahre zu wissen, damit bei einer etwaigen Auffindung eines kometenähnlichen Objektes in der betreffenden Himmelsgegend leicht erkannt werden kann, ob dasselbe mit dem Halleyschen Kometen identifiziert werden darf oder nicht.

Dr. J. Holtschek hat daher zufolge einer Aufforderung des Directors der Wiener Sternwarte Hofrat Weiß, einige dienstliche Orientierungsskizzen angefertigt und soll die wichtigsten der folgenden Resultate mit *) Benutzt wurden die Bahnkonstanten von Ponsbrant: *) (April 1910 Mai 1854)

Zeit des Perihels (T) = 1910 Mai 16.45
in Z. Paris

Perihel von Keplers (p—Q)
= 111° 32' 19"

Langs des aufsteigenden Knotens (Q)
= 52° 18' 31"

Neigung der Bahn (i) = 165° 13' 9"
Periheliondistanz q = 0.66718

Excentricität der Bahn e = 0.964733

Halbe große Achse a = 12.9554

Herr Dr. Holtschek bemerkt zu seinen Untersuchungen folgendes:

„Infolge einer besonderen Kombination der Störungen ist, wie Ponsbrant bemerkt hat, die für die nächste Wiederkehr sich ergebende Unsicherheit des Kometen (T₁) Jahre die kürzeste unter allen, welche seit 1531 beobachtet worden sind. Außerdem fällt bei der Vergleichung dieses Elementesystems mit früheren sofort ins Auge, daß die Periheliondistanz diesmal wesentlich größer und die Excentricität wesentlich kleiner ist als in irgend einer der früheren Erscheinungen.

Mit diesen Elementen habe ich nun einige Positionen des Kometen während der nächsten Jahre berechnet, und zwar insbesondere für solche Zeitpunkte, in denen der Komet nahezu in Opposition mit der Sonne ist, also seine Auffindung unter sonst gleichen Umständen mehr begünstigt erscheint als in andern Jahren. *) bedeutet die Entfernung des Kometen von der Sonne, d dieselbe von der Erde, in Erdhalbmessungen ausgedrückt).

*) Abhandlung: d. k. k. Acad. d. Wissensch. in Wien. Mathem.-naturw. Klasse, CXV. Abt. III. Mai 1906

*) Comptes rendus, tome 38, p. 439

N. Z. Paris	ΔR	Δδ	Δp	Δf
1909 Dec. 14.5	100° 7' 4"	9° 34'	13.67	16.11
1907 Mai 1.5	102° 24'	+ 35' 44"	9.18	8.12
Dec. 1.5	99° 36'	30' 28"	8.99	8.14

M. S. Place	ΔR	Δ	r	d
1902 Dec. 30.3	99° 28'	+ 80° 36'	8.32	2.92
1903 Jan. 30.3	96 12	11 4	8.58	7.80
Feb. 28.3	95 25	+ 11 46	8.27	4.31
1903 Nov. 18.6	91 33	+ 12 27	8.64	5.07
Dec. 1.5	92 48	12 5	8.28	5.78
Dec. 31.5	93 58	12 34	8.04	5.18
1904 Jan. 30.1	79 32	12 44	8.79	8.12
Marz 1.3	75 27	+ 13 36	8.53	5.26
1904 Sept. 29.1	4 4	+ 17 46	3.15	3.06
Oct. 2.5	90 58	17 41	3.45	3.02
Nov. 1.5	91 44	17 33	7.08	2.26
Dec. 1.5	94 33	16 36	2.75	1.74
Dec. 31.3	38 2	13 7	2.48	1.60
1905 Jan. 30.5	27 28	+ 16 36	1.96	1.96

Da die von Perihelionist für die letzte Erscheinung des Heliographischen Kometen (Perihel 1875 November 15) vorausberechnete Perihelzeit mit der tatsächlichen fast auf drei Tage und die kurz vor der Wiederkehr des Kometen bekannt gemachte sogar bis auf einen Tag gestimmt hat, so dürfte die Unsicherheit auch diesmal nur eine geringe sein.

Es darf jedoch nicht unerwähnt bleiben, daß Perihelionist in seiner älteren Note als Perihelzeit 1910 Mai 24.77 abgeleitet, dagegen in der Zusammenfassung der Elemente ganz ungenau 1910 Mai 16.85 angegeben hat. Diese letztere Angabe ist zwar dahin richtiggestellt, daß das 18.95 der erste Wert (nämlich 24.77) gelten soll, doch ist trotzdem in der Zusammenfassung des Tempe fast 1909 und im Anhang die Form des Longitudes als Zeit des Periheldurchganges der 18. Mai beibehalten, und zwar Mai 18.45; im Anhang steht Mai 19, 23^h, weil hier seit 1900 der Tag von Mitternacht an gezählt wird. Da also dieser Zahlenwert jetzt in beiden Publikationen Jahr für Jahr wiederkehrt, so habe ich ihn auch bei meinen Berechnungen angenommen.

Überrascht hat die Differenz hier keine wesentlichen Nachteil, da unter den vorausberechneten Bahnbestimmungen die Perihelzeit offenbar das unsicherste ist, aus welchem Grunde es, wenn die große Abweichung unberücksichtigt gelassen wäre, ebenfalls nicht unterlassen

würden wäre, die Bahn von Perihelionist auch noch unter Annahme einer wesentlich geänderten Perihelzeit zur Rechnung zu verwenden. Ich habe, um für jeden Fall den Einfluß einer Abweichung der Perihelzeit auf die geometrischen Positionen des Kometen darzulegen, für einige der obigen Tage noch je zwei Positionen berechnet, welche einer Verschiebung des Periheldurchganges um einen oder zwei 30 Tage entsprechen.

Es ergibt sich, daß die Änderungen in der ersten Zeit so geringfügig sind, daß die Auffindung des Kometen nicht wesentlich erschwert werden kann, auch wenn die Perihelzeit sehr fehlerhaft sein sollte. Später, also bei zunehmender Annäherung des Kometen, wird der Einfluß einer Ungenauigkeit der Perihelzeit auf die geometrischen Positionen allerdings größer, doch ist dann zugleich auch schon die Helligkeit des Kometen eine bedeutendere, so daß dadurch die größere Unsicherheit der Positionen durch eine größere Auffälligkeit des Kometen ziemlich ausgeglichen wird.

Um sich ein Urteil darüber zu bilden, wie groß die sichtbare Helligkeit des Kometen in größeren Entfernungen von der Sonne als 1.96 sein wird, kann man sich leichtest an die Analogie mit andern Kometen halten, die in sehr großen Entfernungen beobachtet wurden und nach sonst dem Heliographischen Kometen in etwa vergleichbar sind. Derselbe gibt zu sehr nicht viele und die Untersuchung ist auch aus andern Gründen sehr schwierig. Dr. J. Holstreich hat gleichwohl das gesamte vorhandene Material geprüft und kam zu dem Resultat, es dürfte bezüglich der Zeit des Sichtbarwerdens des Heliographischen Kometen die nachstehenden Behauptungen ausgesprochen werden:

In der Opposition 1906/7 ist es nach Sachem nach dem Kometen wegen der außerordentlichen Größe der Distanzen ($r = 11.1$, $d = 11.1$) noch ganz unsicher, und auch in der Opposition 1907/8 ($r = 8.8$, $d = 7.8$) ist die Wahrscheinlichkeit seiner Auffindung noch

verschwindend klein. Dagegen ist die Auffindung des Kometen in der Opposition 1905/9 ($r = 6.0$, $\delta = 5.1$) nicht mehr ausgeschlossen und, falls er hier noch nicht gefunden sein sollte, in der zweiten Hälfte des Jahres 1908 ($r = 3.7$, $\delta = 4.0$), spätestens aber gegen das Ende desselben ($r = 2.5$, $\delta = 1.7$) mit Sicherheit zu erwarten.

Im Januar 1910 erreicht der Komet, was von Periheldurchgang wirklich im Mai 1910 stattfindet, dieselbe Helligkeit, welche er bei seiner Auffindung im August 1905 gezeigt hat, und in der zweiten Hälfte des März dürfte er für das bloße Auge sichtbar werden.

Bei den obigen Folgerungen über das erste Sichtbarwerden des Kometen ist zunächst an die Ansichte desselben

mit großen Teleskopen gedacht. Es ist jedoch gar nicht unwahrscheinlich, daß der Komet auf photographischem Wege schon früher gefunden wird als mit dem Ferneok. Ähnlich wie der Euterpeische Komet bei seiner letzten Erscheinung im Herbst 1904, jedenfalls bei der Gegenwart die Mäße, den Kometen schon bei viel größerem Richtwinkeln zu finden, als es in der letzten Erscheinung (von der vorletzten gar nicht zu reden) geschehen ist, und anderwärts wird die erste Auffindung, mag sie ein früher oder später auf dem einen oder andern Wege gelingen, vom wichtigsten Beitrag zur Erweiterung unserer Kenntnisse der Helligkeitsverhältnisse dieses Kometen führen.

Die Tätigkeit des astrophysikalischen Instituts Königsstuhl (Heidelberg) im Jahre 1905.

Über die Tätigkeit dieses astrophysikalischen Observatoriums während des Jahres 1905 veröffentlicht der Direktor desselben, Herr Prof. Dr. M. Wolf, den gewöhnlichen Jahresbericht dem vor folgendes entnehmen:

Die Gesamtzahl heisser Abende (175) war viel größer als im vorigen Jahre (158); aber die Zahl der ungestörten Abende blieb ungefähr die gleiche, war sogar eher geringer als 1904. Trotzdem muß das Jahr als gut bezeichnet werden. Es konnte an 97 Abenden photographiert und an 138 Abenden beobachtet werden.

Während der Dauer der totalen Sonnenfinsternis am 30 August, konnten wegen des schlechten Wetters nur meteorologische Beobachtungen angestellt werden. Bewölkung, Windstärke, Windrichtung, Wellenung und Luftdruck wurden nicht weiterhinzuher beirachtet. Dagegen zeigte die von 5 zu 5 Minuten abgelesenen Thermometerstände eine deutliche Abhängigkeit von

Verlaufs der Finsternis. Das Thermometer war um diese Zeit im Stiegen begiffen. Es lag von 13h 45m Ortszeit bis 1h 45m von 9.95° C auf 10.34° C. Mit 1h 45m lag es an zu sinken, von 10.34° C auf 10.20° C, welchen Stand etwa 2h 30m bis 2h 35m beibehielt. Dann begann es wieder zu steigen, hatte 3h 12m wieder 10.34° C erreicht und stand 3h 35m auf 10.67° C.

Photographische Himmelsaufnahmen. Bei den beiden Meridiane wurden im Laufe des Jahres 1905 237 verschiedene Gegenstände (122 am Breitenok und 115 am Sechseckler) mit im ganzen 558 Stunden Belichtung (295 am B. T. und 263 am S. Z.) aufgenommen. Hierbei wurden 490 Platten exponiert (264 B. T., 226 S. Z.). Im Jahre 1904 war die Anzahl der Gegenstände 220, der Belichtungsstunden 560, die Platten 584.

Kleine Planeten. Im ganzen wurden 170 verschiedene Himmelskörper auf Platten im aufgenommen. Dazu sind zur Verfertigung dazwischen Planeten

wurden insgesamt 104 verschiedene Aufnahmen mit 430 Platten und 420 Stunden Belichtung gemacht. In obigen 170 verschiedenen Objekten fanden sich:

51 neue und 139 alte

Planeten. Das Verhältnis von neuen zu alten stellt sich daher:

1905 war	1:2,7
1904 „	1:2,6
1903 „	1:2,6
1902 „	1:2,7
1901 „	1:2,2
1900 „	1:2,7

so daß wiederum das so merkwürdige konstante Verhältnis bestehen bleibt und von einer Abnahme der Zahl der unbekannten Planeten noch keine Andeutung vorhanden ist.

Außer den obigen 51 neuen, von denen 50 hier entdeckt sind, wurde ein weiterer aus dem Jahr 1905 (R.C.) gefunden, so daß genau gleichviel neue Planeten wie 1904, nämlich 52 Stück, im Jahr 1905 von uns aufgefunden worden sind.

Im ganzen wurden 227 Positionen von 139 alten, und 124 Positionen von 52 neuen Planeten, zusammen 351 ge-
fundene Positionen gewonnen.

Kleine Nebelflecke. Die Durchmusterung nach Messen Nebelflecken wurde von Prof. Wolf weitergeführt. Es sind der Katalog von kleinen Nebelflecken im Druck erschienen.

Liste No. 4 enthält 212 Nebelflecke von $12^h 18^m$ — $12^h 35^m$ und $56^{\circ} 17'$ — $56^{\circ} 40'$

Liste No. 5 enthält 236 Nebelflecke von $12^h 35^m$ — $13^h 1^m$ und $48^{\circ} 2'$ — $54^{\circ} 27'$

Liste No. 6 enthält 204 Nebelflecke von $12^h 31^m$ — $13^h 0^m$ und $45^{\circ} 14'$ — $70^{\circ} 34'$.

Im Durchschnitt ergaben sich bei jeder auf einen Nebelfleck im Dreyer'schen Katalog 30 neue, so daß auf den ganzen Himmel etwa 18000 unbekannte Nebelflecke hienzu, die den 16 Ziffer erreichbar sind.

Zwei Zonen von Nebelflecken, die sich an einer Stelle zu neuen bilden

haben vermehrt, wurden im Perseus entdeckt.

Veränderliche Sterne. Optisch wurden 14 Variablen 75 Abende beobachtet, in der ersten Hälfte des Jahres von Herrn Schiller, in der zweiten von Herrn Lohrert. Die frühere Beobachtung von Herrn Götz und Herrn Schiller sind im Druck erschienen. Auf photographischen Wege wurden im Jahr 1905 die folgenden neuen Veränderlichen entdeckt:

	Ungegrüeter Anzahl	
1905 bis 21.1905	Agabus	30
22.1905 „ 22.1905	„	10
23.1905	Lynce	1
24.1905	Cygnus	1
25.1905	Virgo	1
26.1905 „ 26.1905	Lynce	25
27.1905	Cassiopea	1
28.1905 „ 11.1905	Agabus	5
12.1905	Arctus	1
13.1905 „ 17.1905	Sagitta	55

zusammen 126

Der Variable 100 1905 ist von Herrn Götz, die übrigen 124 von M. und O. Wolf aufgefunden worden. Von allen wurden genaue Positionen aus den Platten bestimmt und Karten gemacht. Zum Zweck der Beobachtung Mars und neuer Variablen wurden 21 Aufnahmen von 14 Objekten bei 48 Stunden Belichtung am Bruckelkop gemacht. So kam es, daß die Aufzeichnung, Vermessung und Beobachtung der veränderlichen Sterne im vergangenen Jahr wohl den größten Teil der Arbeit in Anspruch nahm.

Große Nebelflecke. Herr Götz hat eine ausgedehnte Arbeit zur Vermessung der Sterne und der Hauptknoten im großen Andromedennebel mit Aufnahmen am Bruckelkop übernommen, die ihrer Vollendung entgegengeht. — Von Prof. Wolf wurden noch einige ausgedehnte Nebelflecke aufgefunden und dem Namen in den Astron. Nachrichten mitgeteilt. Am Bruckelkop wurden 4 Objekten mit 15 Stunden auf Nebelflecke und 5 Objekten mit im ganzen 58 Stunden auf die Milchstraße expodiert. Außerdem wurden von ihm 18 Gegen-

den mit 21 Stunden Belichtung am kleinsten Objektiv aufgenommen.

Notizen. Auf die Nova Aquilae wurden drei Aufnahmen, auf die Nova Persei zwei Aufnahmen, zusammen 5 Stunden belichtet. Bei der Nova Persei fand Prof. Wolf Spura von ausgestreuten schwachen Nebelmassen, die auch auf den ersten Aufnahmen aus dem Jahre 1901 angedeutet sind. Es scheint wahrscheinlich, daß hier, besonders nach der Seite hin, mächtige, ganz schwache Dunkelwolken liegen. Wenn sich ihre Realität bestätigte, so würde dadurch ein ganz neues Licht auf gewisse Beobachtungen im Jahre 1904 fallen. — Herr Köpff hat eine Bearbeitung der heutigen Aufnahmen der Nova Persei aus den Jahren 1901 und 1902 abgeschlossen.

Eigenbewegung der Fixsterne. Der Hauptzweck, für den in jeder klaren Nacht zwei- bis dreistündige Aufnahmen von Himmelsgegenständen ausgeführt wurden, um so auch und auch den ganzen Himmel zu bedecken, ist natürlich der, schließlich durch Wiederholung der Aufnahmen in späteren Jahren die Eigenbewegungen der schwächeren Sterne zu studieren. Versuche mit einer Sechskörperplatte haben Prof. Wolf bewiesen, daß sich durch die stereoskopische Vergleichung von solchen Platten mit großer Zweckmäßigkeit jetzt zahlreiche Sterne mit größerer Eigenbewegung herausfinden lassen. Dabei trat eine Störung hindern in den Weg, die durch die verschiedene Färbung der Sterne in Verbindung mit der atmosphärischen Dispersion hervorgerufen wird, und die beträchtliche gegenseitige Verschiebung der Sterne auf den Platten bewirkt. Eine zweite auf der verschiedenen Far-

bung und Helligkeit beruhende gegenseitige Verschiebung der Sterne wird durch veränderte Polarisation des Objektivs hervorgerufen. Beide Störungen lassen sich aber überwinden, so daß es schließlich gelingen wird, systematisch den Himmel auf Eigenbewegungen mit dem Stereoskop zu durchsuchen. Versuche haben gezeigt, daß sich Größe und Richtung der Eigenbewegungen mit ausreichender Genauigkeit auf stereoskopischen Wega messen lassen. Der erste im Jahre 1905 stereoskopisch von Prof. Wolf aufgenommene Stern mit großer Eigenbewegung ($1.45''$) steht in AR $11^h 23.3^m$ D $+ 8^{\circ} 6'$ (1900), er ist 9 Größe.

Sonnenkorona. Vor der Zeit der solaren Sonnenzentren sind von Prof. Wolf zahlreiche Versuche gemacht worden, die Korona einer Mond- oder photographieren. Vor dem Objektiv des Sechskörpers wurde ein helles Gittergaze angebracht, das in größerem Abstand eine schwarze Scheibe trug. Sie war so bemessen, daß sie im Bilde des Sechskörpers gerade die Sonnenscheibe bedeckte. Mit verschiedenen Entfernungsabständen und Plattenarten, auch unter Einschaltung einer kreisumgränzten Absorptionsplatte vor der empfindlichen Schicht, wurde versucht Photographien der Korona zu erzeugen. Es erlieferten Bilder stammten aus Chassidat mit dem Typen der Korona, wie sie in Algier und Spanien am 30 August photographiert wurde, übertra. Da aber am 30 August abschließendes Wetter war, so konnten keine vergleichbaren Bilder aufgenommen werden, und es bleibt dahingestellt, ob die erhaltenen Eindrücke nicht von Brechungserscheinungen am Scheitelrande verursacht sind.

Neue Montierungen und Drehkuppeln für grosse Fernrohre.

(Platt. Tafel XII.)

Die Fortschritte auf dem Gebiete der reinen Wissenschaften, besonders in der Herstellung wichtiger Fernrohre, wichtiger Spektroskope und photographischer Apparate, haben allmählich eine fast vollständige Umwandlung der astronomischen Beobachtungsweise herbeigeführt. Die großen Beobachter, welche die neuer Himmelsforschung inaugurirten die beiden Herschel, South, Fr. W. Swan, Secchi, würden mit Verwunderung das Innere eines heutigen astrophysikalischen Observatoriums durchwandern und erstarrt vor den ihnen teilweise völlig unbekannten Instrumenten und Apparaten verweilen. Diese großen Fortschritte im Bau und der Anwendungsweise neuer wichtiger Instrumente bedingen darnach entsprechende Neuerungen in Bezug auf die Montierung und den Schutz dieser Apparate gegen atmosphärische Einflüsse. Merkwürdigerweise ist aber in dieser Hinsicht auch manches beim alten geblieben, wenigstens nach der gekauften Meinung allerdings keineswegs Ichten. In jüngerer Zeit hat nun aber das Zool-Werk in Jena durch seinen Mitarbeiter Ingenieur F. Meyer eine Reihe neuer Konstruktionen für große Instrumente ausarbeiten lassen, die von epochemachender Bedeutung zu werden versprechen.

Im nachstehenden folgen Erläuterungen, die das Prinzip der neuen Konstruktionen und ihre verschiedenartige, vielfachste Anwen- dungs- möglichkeit dar- stellen sollen. Es handelt sich, wie nach- mehrt betont werden soll, hierbei um

große Apparate bis zu den mächtigsten heute herstellbaren Instrumenten.

Die Abbildungen 1 und 2 zeigen eine neue Montierung mit äquatoralem Einbaugesystem der Stunden- und



Fig. 1.

Drehkuppeln nach Meyer. Die Einführung der Photographie als wesentlichen Beobachtungshilfsmittel im Refraktor und die gleichzeitige Benetzung der Instrumente für schnelle Beobachtungen der verschiedensten Art, wie

differentielle Messungen, photometrische und spektroskopische Beobachtungen, endlich die Notwendigkeit des Baues immer schärferer (größerer) Instrumente ergeben für größere parallaktische

Systeme) unmöglich, b) ein parallaktisches Tragsystem zur Erleichterung des Führungssystems.

2. Vermeidung der Durchbiegung der Stunden- und Deklinationsachsen und deren Kippbeweglichkeit durch völlige Entlastung derselben mittels des Tragsystems.

3. Möglichkeit der Aufbaumontage mehrerer, zueinander paralleler Fernrohre auf dieselbe Fernrohraufstellung und Aufhebung relativer Durchbiegungen.

4. Freie Beweglichkeit der Fernrohre durch alle Stundenwinkel und Deklinationen ohne Anstoßen an die Fernrohraufstellung (Stativ) unter Wahrung größter Stetigkeit der letzteren.

5. Demzufolge Aufbaumontage der Fernrohre, daß die relativen Ortsveränderungen des Objektes aus dem Instrument möglichst klein sind, und die Beobachtung nahe am Schwerpunkt von Stunden- und Deklinationsachsen stattfindet.

6. Aufbaumontage Nebengeräte, wie atmosphärische, optische Kameras, sollen vom Okularende (Standpunkt des Beobachters) leicht erreichbar sein.

7. Erzielung eines gleichmäßigen Umrückens für die Stundenbewegung, der während der Beobachtung unter weitem Überwachungsbedarf, einbreitende Konstruktion des Antriebes, des Regulators, der Bewegungsübertragung auf das Stundenrad

und der Führungswegungen.

8. Möglichste Verringerung der Kappabmessungen beim Bau großer Refraktoren mit Berücksichtigung von Bedingung 3.

9. Erfüllung der obigen Konstruktionsbedingungen mit Benutzung von möglichst wenigen optischen Hilfsmitteln.



Fig. 3

Fernrohraufstellungen die folgenden Konstruktionsbedingungen:

1. Die beweglichen Teile der Fernrohraufstellung sind zu trennen in zwei parallaktische Systeme, und zwar: a) ein parallaktisches Führungssystem, das die optischen Teile trägt und die Einstellung der Beobachtungsebene nach den Koordinaten (Stundenwinkel und Dekli-

Eine gleichzeitige, vollständige Einstellung der Seilablagen 1 bis 6 ist nicht möglich. Die bekannt gewordenen Nachkonstruktionen haben demnach alle auf Hervorbringung irgend einer der Funktionen die Aufgabe zu lösen versucht. Solches möglichst gleichzeitige Berücksichtigung aller Seilablagen erfolgte, so hat es der in folgendes zur Darstellung gebrachte Konstruktionstypus eine geübtere Lösung der Aufgabe.

In den Figuren 3, 4, 5 (Tafel XII) sind durch gleichzeitige Berücksichtigung der Prinzipien der Konstruktion erläutert. Die Darstellung Fig. 6 geht auf diese Seilablagen weiter ein.

Folgende Konstruktionsänderungen an den Figuren 3 bis 6 werden zum Verständnis derselben dienen.

Parallelsches Führungssystem C die an Seile gelagerte hohle Stangeachse ist fest verbunden mit O der Deklinationsscheitel. Diese trägt in justierbarem, spannungsfreies Lager *SS* die hohle Deklinationsscheitel. Mit dieser ist an zwei Stellen fest verbunden *NNN* der Fernrohrtragbock mit dem Fernrohrpaar, in welche *VVP* die Fernrohr (Führungsscheitel) fest eingepaßt parallel zueinander gelagert sind.

Oberirdischen Teil *u* worden vor Durchbiegung geschützt und isoliert durch die:

Parallelsches Tragsystem *u*. Die Durchbiegungsschutzungsbügel sind am Objektivenende in Kugelführung mit sich gegenseitig gelagert, durch *NN* fest hindurchgeführt, im Okularen mit *P* dem Durchbiegungsschutzgewicht fest verbunden, und unterstützt durch *I* den Entlastungsring und an die Entlastungsrollen. Diese tragen *J* die Seilablagengewichte zur Schwer-

punktanordnung der Fernrohre in die Ebene an der Übertragungs- und Belastungsebene. Diese trägt ferner durch *gg* die Deklinationsschutzgewichte,

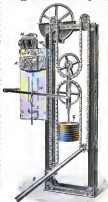


Fig. 3.

2272

die Seilablagung von *N, V, P* mit *p* Deklinationsschutzgewichte. Diese ist in Verbindung mit der hohlen Deklinationsscheitel *SS* durch Kugelführung Abdrückung in der Mitte bei *W* dem Entlastungsbügel am Schwerpunkt der in Deklination belasteten Fernrohre.

W umfaßt die Deklinationsachse *AB* und ist fest verbunden mit *q* der Stundenkreisstützfläche. Diese trägt an ihrem Ende *O* das Stundenkreisniveaugeicht, welches den Schwerpunkt der stählernen beweglichen Teile in *O* des Umlagerungslagerträgers anordnet über

Fernrohrstrahl in Azimut, \pm Korrekturen des Fernrohrstrahls in Polhöhe.

Podeste für den Beobachter, *U* Fußboden (Zunfsbeobachtungen). *Le* Vertikal verschübbar Plattform in Azimut auf Rollen um das Fernrohr drehbar. Zur Beobachtung nach Ost, Süd, West *X* feste Plattform zur Beobachtung nach Nord.

Kuppel *Z* Differenzialauslenkungen für die Azimutbewegung. *PP* Spaltverschluss.

Fig. 1 zeigt die Montierung eines Refraktors von 200 bis 400 mm Objektivdurchmesser, links daneben oben die auslenkbare Fernrohre in der Richtung des Meridians *X—X*, darunter Schmitt in der Ebene der Stunden- und Deklinationsachse in der Richtung *V—V* gesehen. *V* ist das Fernrohr für visuelle Beobachtungen (Polsterfernrohr), *PP* und autophotographische Kameras für kurzexponierte, autophotographische Spezialobjektive. Figur zeigt das Modell eines Doppelrefraktors für photographische Himmelskarten, *V* ist das Fernrohr für visuelle Beobachtungen, *P* dasjenige für photographische Aufnahmen.

Fig. 2 zeigt einen Refraktor nach Heyer, mit 360 mm Spiegel-durchmesser, daneben rechts oben die Beobachtungsplattform in der Richtung *X—X* gesehen, darunter Längsschnitt durch das Spiegelrohr, darunter die Spiegelöffnung in der Richtung der einfallenden Strahlen gesehen, darunter der Querschnitt durch das Spiegelrohr.

Es ist unten *S* der parabolische Glassepiegel (Öffnungsverhältnis größer als 1:1) *P* Diagonalspiegel (Fang-Spiegel) *M* Doppelschlitzenkassette) Polsterungsbühnen, *P* Lattenrohr (Polsterfernrohr) für Komastrophotographie, *H* Vorrichtung zum Abwinkeln des Spiegels *S* bei Fernsichtbeobachtung. *E* Beobachtungsplattform ist vertikal ver-

den Mittelpunkt der Grundfläche des Fernrohrstrahls verlegt.

Koordinateneinstellung und Justierung der Aufstellungsfläche, \pm Stundenkreis \pm Einstellung in *AZ* durch Handrad \pm Klemmung in *AZ* durch Klemmhabe \pm Deklinationskreis zur Einstellung in Deklination durch Handrad (Fig. 4). \pm Korrekturen des



Fig. 1

den Mittelpunkt der Grundfläche des Fernrohrstrahls verlegt.

Koordinateneinstellung und Justierung der Aufstellungsfläche, \pm Stundenkreis \pm Einstellung in *AZ* durch Handrad \pm Klemmung in *AZ* durch Klemmhabe \pm Deklinationskreis zur Einstellung in Deklination durch Handrad (Fig. 4). \pm Korrekturen des

stellbar durch \pm Motorschrieb. \pm Motorschrieb für einstellbare Kappelschichtung (Motorschrieb für Spaltverstellungsschrauben).

Fig. 6 zeigt die Montierung eines Refraktors mit Objektlinse über 400 mm nach Mayer, mit Schutzobjektivkappe, die durch das Fernrohr selbstmechanisch automatisch nachgeführt wird.

Bei dieser Refraktoren ist es möglich die Durchdringungseinstellungshebel (s. Fig. 3), welche das Aussehen solcher Instrumente, ungenügend beeinflussen, durch ein Einstellungsrohr zu ersetzen. Das eigentliche Fernrohr besteht dann aus zwei hintereinander gestrichelten Rohren. Das innere Führungsrohr ist ungenau und nur an Objektlinse in Berührung mit dem äußeren stichförmigen Trichter (Einstellungsrohr).

Mit nachkommender Objektlinse, etwa über 400 bis 500 mm hinaus, welches erfahrungsgemäß bei der gewöhnlichen Fernrohrkonstruktion in räumlichem Verhältnis der Unbegrenzbarkeit für den Beobachter, sowie die konstruktiven Schwierigkeiten und Herstellungskosten für die benötigten Beobachtungsplattformen und die Kapsel.

Diese Fragen werden durch Konstruktionsbedingungen 5 und 6, und in Fig. 6 berücksichtigt. In dieser ist die Schutzglocke für das Instrument, die Kapsel, aus zwei Hauptteilen bestehend zusammengesetzt, und zwar:

1. Einer Kapsel MN , die nur so groß abgemessen ist als die Anordnung der Beobachtungsplattformen des Instrumente.

2. Einer Kapselschutzhülle NN , die fest verbunden ist mit dem Kapselschutzhülle und elektrischer Kontakt (TTT 2222) trägt, die eine automatische elektrische Nachführung der Kapsel durch das Fernrohr selbst ermöglicht.

In Fig. 6 ist das Fernrohr im Norden auf geringe Zenithhöhe eingestellt angegeben. Dann beschreibt, J Der Vertikalwinkel — Süd — Nord — durch die Schutzglocke, J der Vertikalwinkel

Seit 1906. (Jah. II)

— Ost — West durch die Schutzglocke.

Dieses besteht aus MN der eigentlichen Kapsel mit \pm dem Motorschrieb für den Azimutabewegung, und NN dem Kapselschutzhülle. Dasselbe ist fest verbunden mit TT dem halbkreisförmigen Träger, der aus einem konstanten Durchmesser dreht, die Änderung der Zenithhöhe von NN durch J den Motorschrieb für die Höhenbewegung ermöglicht. L sind zwei (s. Fig. 4 ist nur das eine sichtbar, da Schalter D unvollständig mit J beschriebenen Betätigungsweg für NN).

Das Fernrohr trägt SS , an die zwei Kontaktarme, die durch festen Druck auf TTT die Kontakte für die Höhenbewegung oder 2222 die Kontakte für die Azimutabewegung, des Motorschrieb J auf \pm auslösen. Diese Auslösung erfolgt entsprechend der jeweils von 1 und 2 betätigten Kontakte, in dem für die Nachführung der Schutzglocke durch das Fernrohr erforderlichen Drehwinkel.

Die Konstruktionsbedingung Nr. 7 muß möglichst weitgehend berücksichtigt werden, sobald die Instrumente auch für astrophotographische Zwecke Verwendung finden sollen. Die hohen Anforderungen, welche dann an eine genaue Nachführung des Fernrohrs in der Stundenbewegung notwendig sind, haben zu dem folgenden Aufbau der Antriebsvorrichtung geführt.

1. Elektrischer automatischer Gleichstromantrieb (Fig. 7, Seite 255), Q Das Antriebsgewicht M an einer Galileischen Kette ohne Ende aufgehängt und wird durch M des Antriebsstrommeters ständig aufgezogen. W Der Widerstand reguliert die Schwankungen der Tourenzahl von M und dadurch bedingte Vertikalbewegungen von Q . Wenn diese Bewegungen bis zu der letzten bzw. letzten Stellung von Q führen, so bewirkt C der selbsttätige Ein bzw. Ausschalter des Elektromotors M die Selbstbremsung bzw. das Anhalten des Irtzes. Zum Beginn der

Beobachtung ist M durch A den An-
lasser charakterisiert. Die Koppelung
des Gewichtsaufzuges mit dem Regu-
lator (Fig. 8) erfolgt durch R die
Antriebswelle, oder falls die Anstellung
des Relaiskörpers, d. h. die totale Ver-
hältnisse des nutzbaren durch CC (Fig. 8)
die Gehäuse Rote ohne Ende des Ge-
wichtsaufzuges.

2. Regulator (Fig. 8, Seite 154).
 R Der Frictionregulator ist aus-
gestattet, d. h. die einmal eingestellte Un-
denkungsgegenwärtigkeit bleibt bis zum
Ausgang der Kugel konstant. Jeder
möglichste Belag der Regulatorkugel
entspricht eine über Distanz von der
Rotationsaxe proportionale Zentralge-
kraft. Diese wird durch die Spannung
einer mit dem Ausschlagarmen passend
gekoppelten Spiralfeder von im Über-
gewicht gehalten, durch Änderung der
Spannung dieser Spiralfeder in be-
stimmten Grenzen wird die Unterhan-
gengeometrie der für die Beobach-
tung ebenfalls in Betracht kommenden
verschiedenen Faktoren reguliert. Die
Arbeitsteilung des Regulators erfolgt
durch einen mit dem Ausschlagarmen
gekoppelten Füllkörper, der durch
den wachsenden Ausschlag der Kugel
wachsenden Zentraldruck auf seine
Unterlage gepreßt wird und dadurch
mehr oder weniger Arbeit verrichtet.

An dem Regulator sind ferner an-
gepaßt: 33 die elektrische Sekunden-
kontrolle, bestehend aus einer Füllkör-
perkoppelung und einem elektrischen

Relais-Sekundenunterbrecher, der durch
 r die elektrische Leitung — bei Be-
nutzung der Lichtleitung mit r dem
Widerstand (Glühlampe) — von einem
Sekundenpendel betätigt wird. 7 Die
Veränderungstrage vermittelt die Regu-
latorbewegung auf den

3. Den Antrieb des Stunden-
rades erfolgt durch zwei am Stunden-
rad drehend angeordnete periodischen
Antriebsachsen (Fig. 3 bis 5 Teil XII).
Diese sind durch eine Welle
miteinander gekoppelt, daß jede der
beiden antreibenden Schnecken die
gleiche Kraft auf das Stundenrad über-
trägt. Infolge dieser Anordnung wird
die Stundenachse durch die drehenden
Kette nicht belastet und es werden
außerdem etwaige Teilungsfehler des
Rades in ihrer Wirkung auf die Stunden-
bewegung des Instrumentes auf die
Hälfte reduziert.

Die Feinbewegung der Fern-
fahrt ist in beiden Koordinaten mittels
Schlüssel vom Okularende aus zu be-
stätigen. An dem Schlüssel vorhandene
Zahnstange mit Kippelung er-
zwingt den nach dem vom Okular-
ende aus zunehmenden Wechsel
zwischen ersten und letztem Fein-
bewegungen.

Astrophotographische Instrumente
erhalten ferner in Stundenbewegung
eine optische Linse zu betätigender elek-
trischer Feinbewegung, die bei 7
Fig. 8 in die Stundenantriebsbewegung
eingebaut wird.

Vermischte Nachrichten.

Der Charakteristik des Sonnen-
systems. Herr Ernst Lohrmeyer
schreibt uns: Der im Jahre 1662 durch
Prof. Bernard gemachte Entdeckung
eines neuen (kleinen) Jupitermondes
ist in unserer Zeit ähnlich — nicht
allein auf das Mondsystem des Jupiter
beschränkt — gefolgt. Die zahllose
Kleinheit und große Bahnexzentrizität

dieser Monde, die an den Planeten
ähnlich sind, und die Umwandlung
einiger Planetoiden das so stark ex-
zentrische Bahn haben, daß sie die Bahnen
benachbarter Planeten schneiden, hat
immer mehr die Ansicht laut werden
lassen, diese von cometaire Monde seien
durch die Anziehungskraft der benach-
barten Planeten in die Umlaufbahnen

denselben gezeigt und zu deren Treibern gemacht worden. Da dürfte es angemessen sein, zwei meiner Artikel im *Sonn.* Jahrg. 1897, Seite 156 und Jahrg. 1898, Seite 131, beide betitelt »Zur Chondrosik des Sonnensystems« in Erinnerung zu bringen. In beiden Artikeln betonte ich, daß ich die beiden Planeten und den kleinen Jupitermond — weitere Monde waren zuerst auch nicht bekannt — für keine eigentlichen Monde, sondern für in die Gravitationskräfte der beiden Planeten verschlagenen Planetenreste halte. Diese Ansicht habe ich früher schon gleich nach Entdeckung des kleinen Jupitermondes in den *Nachricht.* 48 und 49, Jahrg. 1893 der Zeitschrift »Die Natur« ausführlicher begründet. Bezüglich der Marsmonde vertrat ich diesen Standpunkt bereits vor dieser Entdeckung; ich habe aber denselben bis dahin noch nicht öffentlich bekannt.

Eine Karte im diesjährigen Septemberheft des »Sonn.«, nach welcher Herr Prof. Barnard im August des Jahres 1892 nahe bei der Venus einen Stern beobachtet haben will, veranlaßt mich, die Aufmerksamkeit noch auf meinen Artikel im Jahrg. 1896, Seite 113, des »Sonn.« zu lenken, welcher über Propositionen in den Planetenatollen handelt. Nicht das darin entwickelte Rechen müße noch ein Planet oder ein Schwarm von kleineren Planeten zwischen den Bahnen der Planeten Merkur und Venus in einem mittleren Abstände von 0.50 Sonnenweiten und in 64.100 Tagen um die Sonne laufen. Auch meiner jüngsten Artikel »Zur Chondrosik des Sonnensystems«, Jahrg. 1897, Seite 138 und »Die Rotationszeit der Venus« Jahrg. 1898, Seite 203, welche unter Berücksichtigung obiger Punkte die Umdrehungszeit der Venus behandelt, möchte ich hier noch Erwähnung tun. Über die diesbezüglichen Beobachtungen beymacht als besonderer Zusatz; auch die Hoffnungen, die man in dieser Hinsicht auf das Spektroskop setzte, scheinen sich nicht erfüllen zu wollen, da die

auf diesem Wege erhalten Resultate ebenso widersprechend sind.

Beobachtung von drei Meteor.

Am 1. August, am 2. und 11. September 1904 beobachtete ich je ein Meteor. Die übrigen Angaben sind:

1. August 15^h 30^m Cassiopeja (Tiere); Anfang: β Andromeda; Ende im Walch. Das Meteor war 2. Größe und hatte gelbe Farbe.

2. September, 9^h 35^m 34. Kastor bei Boon. Anfang: γ Cygn; Ende: β Pegasi. 1. Größe und rötliche Farbe. Große Schmelzkugel.

11. September, 8^h 17^m 41^s. Boon. α Perse, Ende: α Cassiopeja. 3. Größe und weißliche Farbe.

Leo Seidhöfer, Boon-Tierl.

Die Sternwarte zu Greenwich, deren Monden und Orbits für den größten Teil der Seefahrer aufgebaut ist, ist durch die wachsende Ausdehnung Londons sehr gefährdet. Allerdings ist für die Zwecke der nautischen Zeitbestimmung die Gefahr nicht über groß, aber entsprechend den Fortschritten der Wissenschaft werden auf der englischen Hauptsternwarte auch andere Beobachtungen angestellt, die ebenfalls mühsige Lage und eine Luft bedrängen. Dazu kommen die ungenügenden Beobachtungen, die in der Nähe von Eisenbahnen und Kohlenbergungsbetrieben nicht mit der erforderlichen Sicherheit angestellt werden können. Zur Zeit ihrer Gründung (1876) lag die Sternwarte in dem damals neuen Greenwich, weit von London entfernt, heute ist sie von kleinen umschlossen und allen ungünstigen Einflüssen dieser Weltstadt ausgesetzt. Vor vier Jahren erhielt der Londoner Gemeinderat die Erlaubnis zu einer großen dreieckigen Kohlenbergungsbetriebe in Greenwich. An die verhängnisvollen Folgen dieser Erlaubnis wurde damals nicht gedacht, und die Leiter des Observatoriums erlitten mitbedauerlichermaßen Protest, obgleich schon dann die ganze Kilmorie wirklich von Greenwich bis zum Elze der City- und der South-

London-Bahn durch die von ihnen ausgehenden Entladungen Störungen auslösen, die die Angaben des Magnetographen sehr beeinflussen. Daß die neue Kraftstromanlage durch die Erschütterungen der Erde und die Verringerungen der Luft durch die Schornsteine die Arbeitsbedingungen der Sternwarte noch viel ungünstiger gestalten wird, ist selbstverständlich. Da der Londoner Grubenschürer bisher ungefähr 90000 Pfund Sterling auf die Kraftstromanlage verwendet hat, erscheint ein Rückgang kaum möglich. Es wird nicht überflüssig bleiben, ob die Sternwarte zu verfügen, was aber im Grunde genommen kein Unglück ist. Denn die Zitterbewegungen könnten immer noch an der alten Stelle angestrichen werden und das große Passageninstrument, durch dessen spitzige Achse der Greenwicher Nullmeridian bezeichnet wird, kann ruhig an seinem Orte bleiben. Auch kann man durch Koordination der Beobachtungen in der neuen Sternwarte auf die Position der alten in Greenwich zurückföhren, und dies wird unzweifelhaft bei vielen Beobachtungen geschehen. Die Verlegung der Greenwicher Sternwarte ist also lediglich eine Geldfrage und durchaus nicht aus ein Unglück für die Wissenschaft. Daraus erklärt sich wahrscheinlich auch, weshalb die Leiter des Observatoriums gegen die Errichtung der Kraftanlage keinen Einspruch erheben haben.

Eine neue Sternwarte in New-York. Auf dem Gebiete der astronomischen Forschung manchen die Amerikaner mit in erster Reihe; nicht zum mindesten wegen der bedeutenden Leistungsfähigkeit ihrer Instrumente und der günstigen Lage ihrer Observatorien in schönem staubfreien Landschaften. Jetzt wird wieder in New-York der Bau einer neuen Sternwarte vorbereitet. Die Stadt

selbst gibt unentgeltlich das Terrain im Bronx-Park her, während der Staat New-York die Kosten in Höhe von 2 Millionen Mark bestreift. Die Sternwarte, mit der ein Meridiankreis verbunden werden wird, soll mit einem großen Fernrohr für Beobachtungs- und photographische Zwecke, ferner mit atmosphärischen, magnetischen und seismographischen Instrumenten ausgerüstet werden und endlich eine besondere Abteilung zur Untersuchung von Meteorströmen und Apparate zur genaueren Erforschung von Erde und Mond erhalten.

Der Komel 1905a, welcher von Kopf auf der Sternwarte Königsstuhl am 12. August entdeckt wurde, hat sich als ein periodischer mit 6 $\frac{1}{2}$ Jahren Umlaufdauer erwiesen. Nach den Berechnungen von R. T. Crawford und A. J. Chagnon¹⁾ stand er 1905 Mai 2. 0877 m. Z. von Greenwich in seinem Perihel. Die Neigung seiner Bahn gegen die Ekliptik beträgt 8° 44' 10", die Exzentrizität 0.52042, die Perihelionzeit 1907.

Der 7. Jupitertrabant ist von Perrine auf der Lick-Sternwarte beobachtet worden. Seine Position war Sept. 25. 9953 m. Z. von Greenwich, Distanz = 2578", Positionswinkel 194.1°.

Fernrohre für Freunde der Himmelsbeobachtung. Aus dem Leuckner'schen Seins- und mir mehrere größern und kleinern sehr gut erhaltenen Fernrohren zum Verkauf abgemeldet worden. Freunden der Himmelsbeobachtung, welche die Anschaffung eines solchen Instrumentes beabsichtigen, und sich darüber an mich wenden, bin ich zu jeder gewünschten Auskunft gern bereit. Prof. Dr. Klein.

¹⁾ Lick-Ob., Bulletin Nr. 100

Astronomischer Kalender für den Monat Januar 1907.

Sonnen				Mond			
Mittlere Berliner Mittag.				Mittlere Berliner Mittag.			
Tag	Zeitgl. M. L. — W. L.	Rektascension	Declination	Rektascension	Declination	Mond im Meridian	
h. m. s.	h. m. s.	h. m. s.	h. m. s.	h. m. s.	h. m. s.	h. m.	h. m.
1	+ 3 37.00	18 45 4.30	-20 4 40.75	0 1 30.04	+20 0 0.1	10 40.0	10 40.0
2	3 43.44	18 47 30.75	20 0 1.77	0 52 14.08	19 50 51.7	14 30.0	14 30.0
3	4 10.04	18 51 54.00	20 04 47.4	1 40 50.50	19 41 14.7	18 20.0	18 20.0
4	4 40.50	18 58 50.10	20 05 1.00	2 30 1.00	19 27 15.0	22 10.0	22 10.0
5	5 0.00	19 0 49.11	20 05 30.7	3 21 1.00	0 10 40.0	26 0.0	26 0.0
6	5 30.00	19 0 0 0.00	20 06 30.0	4 10 0.00	+ 0 00 0.0	30 0.0	30 0.0
7	6 0.00	19 0 0 0.00	20 06 30.0	5 00 0.00	- 0 00 0.0	34 0.0	34 0.0
8	6 30.00	19 0 0 0.00	20 06 30.0	5 50 0.00	- 0 00 0.0	38 0.0	38 0.0
9	7 0.00	19 0 0 0.00	20 06 30.0	6 40 0.00	- 0 00 0.0	42 0.0	42 0.0
10	7 30.00	19 0 0 0.00	20 06 30.0	7 30 0.00	- 0 00 0.0	46 0.0	46 0.0
11	8 0.00	19 0 0 0.00	20 06 30.0	8 20 0.00	- 0 00 0.0	50 0.0	50 0.0
12	8 30.00	19 0 0 0.00	20 06 30.0	9 10 0.00	- 0 00 0.0	54 0.0	54 0.0
13	9 0.00	19 0 0 0.00	20 06 30.0	10 00 0.00	- 0 00 0.0	58 0.0	58 0.0
14	9 30.00	19 0 0 0.00	20 06 30.0	10 50 0.00	- 0 00 0.0	62 0.0	62 0.0
15	10 0.00	19 0 0 0.00	20 06 30.0	11 40 0.00	- 0 00 0.0	66 0.0	66 0.0
16	10 30.00	19 0 0 0.00	20 06 30.0	12 30 0.00	- 0 00 0.0	70 0.0	70 0.0
17	11 0.00	19 0 0 0.00	20 06 30.0	13 20 0.00	- 0 00 0.0	74 0.0	74 0.0
18	11 30.00	19 0 0 0.00	20 06 30.0	14 10 0.00	- 0 00 0.0	78 0.0	78 0.0
19	12 0.00	19 0 0 0.00	20 06 30.0	15 00 0.00	- 0 00 0.0	82 0.0	82 0.0
20	12 30.00	19 0 0 0.00	20 06 30.0	15 50 0.00	- 0 00 0.0	86 0.0	86 0.0
21	13 0.00	19 0 0 0.00	20 06 30.0	16 40 0.00	- 0 00 0.0	90 0.0	90 0.0
22	13 30.00	19 0 0 0.00	20 06 30.0	17 30 0.00	- 0 00 0.0	94 0.0	94 0.0
23	14 0.00	19 0 0 0.00	20 06 30.0	18 20 0.00	- 0 00 0.0	98 0.0	98 0.0
24	14 30.00	19 0 0 0.00	20 06 30.0	19 10 0.00	- 0 00 0.0	102 0.0	102 0.0
25	15 0.00	19 0 0 0.00	20 06 30.0	20 00 0.00	- 0 00 0.0	106 0.0	106 0.0
26	15 30.00	19 0 0 0.00	20 06 30.0	20 50 0.00	- 0 00 0.0	110 0.0	110 0.0
27	16 0.00	19 0 0 0.00	20 06 30.0	21 40 0.00	- 0 00 0.0	114 0.0	114 0.0
28	16 30.00	19 0 0 0.00	20 06 30.0	22 30 0.00	- 0 00 0.0	118 0.0	118 0.0
29	17 0.00	19 0 0 0.00	20 06 30.0	23 20 0.00	- 0 00 0.0	122 0.0	122 0.0
30	17 30.00	19 0 0 0.00	20 06 30.0	24 10 0.00	- 0 00 0.0	126 0.0	126 0.0
31	+08 20.47	19 0 0 0.00	-17 07 47.0	25 00 0.00	+23 11 0.7	130 0.0	130 0.0

Planetenscheinbarkeiten 1907.

Januar	h. m.	h. m.	h. m.
1	0	0	0
2	0	0	0
3	0	0	0
4	0	0	0
5	0	0	0
6	0	0	0
7	0	0	0
8	0	0	0
9	0	0	0
10	0	0	0
11	0	0	0
12	0	0	0
13	0	0	0
14	0	0	0
15	0	0	0
16	0	0	0
17	0	0	0
18	0	0	0
19	0	0	0
20	0	0	0
21	0	0	0
22	0	0	0
23	0	0	0
24	0	0	0
25	0	0	0
26	0	0	0
27	0	0	0
28	0	0	0
29	0	0	0
30	0	0	0
31	0	0	0

Stellungen der Jupitermonde im Januar 1907.

I.



III.



II.



IV.



Stellungen am 1. I. für den Anblick im astronomischen Fernrohr.

Tage	West.	Ost.
1	4- 3- 1- 0- -3	
2	4- -3 0- 1-	
3	4- 3- 1- 0-	
4	4- 3- 1- 0- -3	
5	4- 3- 1- 0- 1- -3	
6	4- 3- 1- 0- 1-	
7	4- 3- 1- 0- 1-	
8	4- 3- 1- 0- 1-	
9	4- 3- 1- 0- 1-	
10	4- 3- 1- 0- 1-	
11	4- 3- 1- 0- 1-	
12	4- 3- 1- 0- 1-	
13	4- 3- 1- 0- 1-	
14	4- 3- 1- 0- 1-	
15	4- 3- 1- 0- 1-	
16	4- 3- 1- 0- 1-	
17	4- 3- 1- 0- 1-	
18	4- 3- 1- 0- 1-	
19	4- 3- 1- 0- 1-	
20	4- 3- 1- 0- 1-	
21	4- 3- 1- 0- 1-	
22	4- 3- 1- 0- 1-	
23	4- 3- 1- 0- 1-	
24	4- 3- 1- 0- 1-	
25	4- 3- 1- 0- 1-	
26	4- 3- 1- 0- 1-	
27	4- 3- 1- 0- 1-	
28	4- 3- 1- 0- 1-	
29	4- 3- 1- 0- 1-	
30	4- 3- 1- 0- 1-	

124

SIRIUS.

Zeitschrift für populäre Astronomie.

Centralorgan für alle Freunde und Förderer der Himmelskunde.

Herausgegeben

unter Mitwirkung hervorragender Fachkünstler und astronomischer Schriftsteller

von Prof. Dr. Hermann J. Klein in Köln.

Dezember 1906.

«Man soll erkennen, was die Freude und die Berechtigung der Wissenschaft.» KENNEDY.

Jedes Monat 1 Heft. — Jährlich 12 Hft.

Verlag von EDUARD HEINRICH MAYER in Leipzig.

INHALT: Ein Teleskop von 100 Zoll Spiegeldurchmesser für das Sonnenobservatorium auf Mount Wilson. S. 265. — Eine neue Erklärung der Ursache der Coriolis, S. 267. — Periodische der Halbkugelmagnetismen der Sonne nach den Beobachtungen der Parker S. 275. — Meteoriten am Perseiden, (Jahrg. 1881) S. 276. — Die Verteilung der Perlektionen und Rotationen der Planeten. S. 277. — Das System des Galen, (Ma 1 1884) S. 278. — Die Perseiden im Monat Januar 1907. S. 280. — Veränderte Neutronen. S. 282. — Astronomische Kalender. S. 285. — Notizen der japanischen. S. 287. — Beobachtungen der japanischen. S. 288.

Ein Teleskop von 100 Zoll Spiegeldurchmesser für das Sonnenobservatorium auf Mount Wilson.

Prof. Georg E. Hale teilt mit,¹⁾ daß John D. Hooker von Los Angeles, der Carnegie-Institution in Washington die Summe von 45000 Dollar überwiesen hat zur Herstellung eines Glasspiegels von 100 engl. Zoll (oder 254 cm) Durchmesser und 50 Fuß (1524 cm) Brennweite. Derselbe soll das Hauptinstrument des Sonnenobservatoriums auf Mount Wilson bilden und zu astrophysikalischen Untersuchungen dienen. Die Herstellung der spiegelnden Oberfläche ist Prof. G. W. Ritchey und den unter seiner Leitung stehenden Assistenten des Sonnenobservatoriums angedacht, andere genannte Forscher hat sich bereit erklärt,

diese Herstellung zu übernehmen. Man darf das Vertrauen hegen, daß Prof. Ritchey den gewollten Spiegel in größter Vollkommenheit ausführen wird, obgleich es sich hierbei umsofort um ein Experiment handelt. Der unglaubliche Glasblock, aus dem der Spiegel hergestellt wird, hat die Größe von 16 Zentnern, also 1/16 so viel als der größte Spiegel, den Prof. Hooker längst für dasselbe Observatorium bestellt hat. Die Schwierigkeit, zu einem so gewaltigen Instrumente die Fertigung zu schaffen, welche mit der außerordentlichen Präzision arbeitet, ist nicht gering. Das Glas unterliegt Veränderungen durch den Wechsel der Temperatur, und die richtige Form des Spiegels würde vollständig dadurch zer-

¹⁾ Astrophysical Journal, 1906, October, Seite 199. Heft 12.

stellt, wenn man diesen Einfluß nicht benötigt. Selbst auf Mount Wilson dürfte die atmosphärischen Verhältnisse nicht darauf sein, daß ein Spiegel mit so großer Öffnung seine Wirkung voll ausübt, sofern der Beobachter ist der Meinung, daß nur auf dem Wege des kleinen Versteckts Fortschritte zu erzielen sind. Die erste Frage ist, ob es möglich sein wird, eine geeignete Glaslinse von den erforderlichen großen Dimensionen herzustellen. Nach den Erfahrungen der Glasfabrik von S. Gobau scheint dies keine unlösliche Schwierigkeit zu bieten, denn sie hat die Glaslinse für den 60zölligen Spiegel, der 8 Zoll dick ist in ebenso tadelloser Ausführung geliefert wie das Glas für kleinere Spiegel, und sich erboten, die 100zöllige Scheibe herzustellen. Die Methode, welche Prof. Hickey zur Herstellung der genauen parabolischen Form und der Polierung des 60zölligen Spiegels angewandt hat, ist so vorzüglich, daß Prof. Hale nicht zweifelt, er werde den 100zölligen Spiegel auch in größter Vollkommenheit ausführen. Was die Montierung anbelangt, so soll erst zu deren Ausführung Vorschlag gemacht werden, wenn diejenige des 60zölligen Spiegelreflektors auf Mount Wilson nach allen Richtungen hin geprüft worden ist. Diese Montierung, bei der Prof. Hickey alles aufgebracht hat um die Höhe zu erreichen und bei der er sich der Mitwirkung ausgezeichneten Ingenieure der Union Iron Works erfreut, ist in allen Teilen der mechanischen Ausführung bewundernswürdig. Mit den zu Erhalt stehenden großen Maschinen dürfte sogar eine Montierung, die denjenigen für den 100zölligen Spiegel noch übertrifft, keineswegs außerhalb des Bereichs der Ausführbarkeit liegen. Die Ausdehnung des Temperaturschwankens auf die Form des Spiegels scheint auch keine ernstlichen Schwierigkeiten zu bieten. Während der beiden Nächte in der geeigneten Beobachtungszeit auf Mount Wilson, bleibt die Temperatur nach

8 Uhr abends stets völlig unverändert, es wird daher nur notwendig, den Spiegel jeder möglicherweise das ganze Teleskop) während des Tages selbst auf dieser Temperatur zu erhalten, mittels geeigneter Kühlmaschinen. Die Frage, ob außerdem die atmosphärischen Verhältnisse auf Mount Wilson gesteuert werden, daß der große Spiegel gute Bilder liefert, kann erst endgültig beantwortet werden, wenn der neue 60zöllige Reflektor einige Zeit im Gebrauch gewesen ist. Selbst wenn sich herausstellen sollte, daß nur in wenigen Nächten während des Jahres die volle Kraft des 100zölligen Reflektors ausgenutzt werden kann, so ist die Aufstellung desselben nichtedestoweniger wünschenswert. Selbst unter gewöhnlichen atmosphärischen Verhältnissen die dort viel besser sind als in dem jetzigen Teile der Verengten Sternsternen können mit dem großen Instrumente in Bezug auf Photographie der Sternspektra, Wärmestrahlung der Sterne usw., Resultate vom höchsten Werte erhalten werden. Die ungeheure Lichtmenge welche der Spiegel sammeln wird, dürfte insbesondere für spektroskopische Untersuchungen aller Art geeignet machen. Gerade für eine Reihe von Arbeiten, mit denen das Observatorium auf Mount Wilson beschäftigt ist und die sich auf die Entwicklungsgeschichte der Sterne beziehen, sind spektroskopische Aufnahmen erforderlich, die über den Bereich der jetzt vorhandenen Instrumente hinausgehen. So sind Prof. Hale u. B. bei gewissen Untersuchungen über die roten Sterne des winterlichen Sternhaufens Tycho, daß selbst die große Lichtstärke des 60zölligen Vorkon-Reflektors unzureichend war. Die große Menge von Sternen die innerhalb des Bereiches eines 100zölligen Reflektors fallen, erhöht wesentlich die Möglichkeit der Aufstellung eines Zwischentyps, von großer Wichtigkeit für die Aufklärung der Beziehungen zwischen unserer Sonne und den roten Sternen sein wird. Auch auf anderen Gebieten

wird auch der 100köpfige Reflektor als wichtig erachtet, z. B. für photographische Aufnahmen der zahlreichen Spiegelscheitel, deren Details bei einer Brenndauer des Instrumentes von 10 Fuß sehr deutlich herauszuarbeiten werden.

Für die Montierung und die Schutzkuppel, unter der das große Instrument Aufstellung erhalten muß, sind noch keine Mittel vorhanden, sondern wendet Prof. Hale sich, daß auch noch hierfür hochherzige Gönnerstätigkeiten herbeigeworben werden. Die Herstellung der Glaselemente und die Vollendung des 100köpfigen

Spiegelsowie des kleineren optischen Zubehörs dürfte nach Prof. Hale's Schätzung etwa vier Jahre in Anspruch nehmen, während die Union Iron Works Company für Herstellung der Montierung und der Kuppel nur eine sehr kurze Zeit beansprucht. Es hat also bezüglich der letzten ziemlich noch keine Eile und die Erfahrungen, die man mittlerweile mit dem 100köpfigen Spiegelteleskop machen wird, werden für den Bau des noch größeren neuen voll ausgenutzt werden können.

Eine neue Erklärung der Ursache der Gravitation.

Es vergeht schon ein Jahr, in welchem nicht eine oder selbst mehrere Schriften erschienen, in denen versucht ist, das Wesen der Schwerkraft zusammenzufassen. Die bei weitem meisten dieser Schriften tragen sich als Ausführungen von Leuten, die mit dem Stande der Wissenschaft nicht genügend vertraut sind auf dem Gebiete der Mathematik völlig unvollständig sind. Ihre Ausführungen haben daher, so viel Schätzungen dabei bewiesen aufgewandt wird, durchaus keinen Wert. Von Zeit zu Zeit tauchen dagegen auch leider begründete Untersuchungen über die Ursache der Gravitation auf, die zwar bezüglich des Problems durchaus nicht gehet haben, dieses aber wissenschaftlicher Wert trotzdem zuerkannt werden muß. Die hervorragendsten darunter sind bisher im Sinne gesprochen worden. Unter diesen Umständen muß hier einem neuen Versuche gedacht werden, den Dr. Johann Schalka, Prof. an der k. k. Technischen Hochschule in Wien, jetzt in einem besonders Werke veröffentlicht hat, in dem er nicht nur das Wesen der Gravitation, sondern auch die Molekularkräfte, Wärme, Licht und die magnetischen Erscheinungen aus gemeinsamer Ursache auf rein mechanischen,

atomistischem Wege ableitet.¹⁾ Man kann zu einem solchen Versuche eine recht vortheilhafte Stellung nehmen, je die Meinung, daß mechanisch das Problem überhaupt nicht lösbar sei, so ist und für sich ebenbürtig stehen wie auch die partielle Forderung, daß eine lediglich mechanische Erklärung des Weltgeschehens überhaupt unmöglich ist. Wie dem aber immer sein mag, jedenfalls verdienen die Untersuchungen von Prof. Schalka die Beachtung der Physiker wie der geistig mathematisch-physikalisch vorgebildeten Denker.

Es mag a priori nicht genügt erscheinen, neben der Gravitation auch die elektrischen Erscheinungen und das Wesen der Molekularkräfte aus ein und demselben Prinzip erklären zu wollen, allein bei genauerem Zusehen findet man, daß gemäß dem gegenwärtigen Stande der physikalischen Forschung, sowie nach den bisher-

¹⁾ Erklärung der Gravitation, der Molekularkräfte, der Wärme, des Lichts, der magnetischen und elektrischen Erscheinungen aus gemeinsamer Ursache auf rein mechanischen, atomistischem Wege. Von Dr. Johann Schalka. Wien und Leipzig 1907, Hahnel'sche Buchhandlung Carl Fromm.

brechendes Arbeiten von Maxwell und den neuen Anschauungen, die in der Elektromagnettheorie gegeben, eine gewisse Notwendigkeit herausdringt. Über die physikalische Unmöglichkeit der letzteren spricht sich Prof. Salfer in der Einleitung zu seinem Werke recht eingehend aus. „Vollständig der magnetischen und elektromagnetischen Wechselwirkungen,“ sagt er, „ist wohl von Maxwell eine Erklärung auf mechanischem Wege gegeben worden, indem er annahm, daß um die magnetischen Kraftlinien molekulare Wirbel mit großer Geschwindigkeit in gleichen Sinne rotieren, wobei diese Wirbel durch einzelne Schichten von Fröhnerstrichen getrennt sind, die in entgegengesetzten Sinne rotieren. Je größer die Feldstärke ist, desto schneller sollen die Wirbel rotieren. Infolge der durch die Rotation bewirkten Abplattung der Wirbel soll in der Richtung der Kraftlinien ein Zug und in der darauf senkrechten Richtung ein Druck ausgeübt werden. Unter dieser Annahme konnte Maxwell die magnetischen und elektromagnetischen Wechselwirkungen auf mechanischem Wege erklären. Diese Hypothese ist hauptsächlich infolge des Umstandes, daß man zur Zugrundlegung desselben auch die Drehung der Polarisationsebene des Lichts im magnetischen Felde erklären konnte, als richtig anzunehmen worden. Sie beruht aber trotzdem der Vorstellung große Schwierigkeiten. Es ist nicht anzunehmen, wie die Teilchen des Mediums in die wirbelnde Bewegung kommen, und wie im magnetischen Felde im Vakuum Wirbel und Fröhnerstriche getrennt bestehen können. Wenn von den rotierenden Teilchen eine Zug- und Druckwirkung ausgeht, so ist dies nur vorstellbar, wenn die Teilchen den Raum kontinuierlich ausfüllen, dadurch müßte aber die freie Bewegung anderer Körper im Raume gehindert werden, und wäre insbesondere mit freier Beweglichkeit von Molekülen gewöhnlicher Gase im Raume nicht vereinbar,

wie sie gemäß der kinetischen Gastheorie angenommen wird. In gleicher Weise ließen auch die von Maxwell zum Zwecke der Erklärung der elektromagnetischen Erscheinungen angenommenen elektromagnetischen Verschiebungen im Dielektrikum und die elektromagnetische Lichttheorie der Vorstellung Schwierigkeiten.

Während gemäß der Maxwell'schen Hypothese die magnetischen und elektromagnetischen Wechselwirkungen auf rein mechanischem Wege erklärt werden, hat man auf Grund der Elektromagnettheorie verschiedene elektrische Erscheinungen, so die Leitfähigkeit, die Elektrolyse, die Erscheinungen der Kathodenstrahlen, die Kontaktspannung, den Einfluß der Radiumemanation auf elektrisch geladene Leiter auf elektromagnetischer Grundlage zu erklären gesucht. Die Elektrolyse sieht man als resultiert kleine, mit einer negativen oder positiven Ladung behaftete bewegte Teilchen an, von welchen ein elektromagnetisches Feld ausgeht, dadurch werden nicht als Atombaukörper angesehen, vielmehr wird angenommen, daß der Äther des Raums zwischen den Elektroden und diese selbst durchdringt, wobei auch im Innern des Elektroden die elektromagnetischen Feld herrscht. Durch die Bewegung der Elektroden werden die verschiedenen Erscheinungen erklärt. Das nicht anpendelbare Masse gebundenen, sich frei bewegenden positiven Elektroden sollen keine pendelbare, sondern nur eine „schwebende elektromagnetische“ Masse haben, deren Wert von der Geschwindigkeit des Elektroden abhängt und wobei man auch je nach der Bewegungsrichtung von einer longitudinalen und transversalen Masse spricht. Der Äther soll sich während der Bewegung der Elektroden nicht mitbewegen. Ein elektrischer Strom innerhalb eines Leiters wird als eine in der Richtung des Stromes stattfindende Bewegung elektrisch geladener Elektroden, d. h. als eine Konvektion elektrisch geladener Teilchen und nicht, wie nachfolgend beschrieben ist, als eine Be-

wegung angeregter Äthertheile innerhalb des Leiters angesehen. Aus diesem her nur beschränkte und keinesfalls vollständig angeführten Anschauen der Elektromagnettheorie offensichtlich, wie kompliziert derselbe sei. Prof. Schaller glaubt daher, daß die Elektromagnettheorie, obwohl auf Grund derselben sehr interessante, mit dem tatsächlichen Erscheinungen übereinstimmende Ergebnisse erhalten wurden, doch sehr viele nicht befriedigen wird. Es sei auch nicht klar, was man sich unter der positiven oder negativen Ladung eines kleinen Teilchens, d. i. einer Elektronen, und was man sich unter dem von diesem Teilchen ausgehenden Felde vorstellen soll. Sollte die elektrische Ladung z. B. darin bestehen, daß sich das Teilchen dreht, so würde je nach der Seite, von welcher aus man das Teilchen ansieht, die Ladung positiv oder negativ sein können. Was man sich unter dem von dem Teilchen ausgehenden Felde vorstellen soll, sei ebenfalls nicht klar. Es ließe dabei für den magnetischen Elektroton dasselbe Bild bestehen, wie für die Fortbewegung zwischen ponderablen Massen oder für die magnetischen und elektromagnetischen Wirkungen. Die Idee von einer schließbaren oder veränderlichen Phase der Elektronen sei ebenfalls nicht vorstellbar. Dieses Bedenken werden wohl viele ebenso wenig überwinden können als das Bedenken gegen die Annahme, daß die magnetischen Selbstkreise im Vergleiche mit anderer ponderabler Materie bei kaum merklicher drehender Verwindung fortwährend große Energiemengen abgeben, so daß man selber glauben, daß das Gesetz der Erhaltung der Energie der Bewegung dadurch in Frage gestellt sei.

Bei Rücksicht auf die angeführten Bedenken glaubt Schaller, daß ein neuer Weg zur Erklärung der Naturerscheinungen ohne Annahme von rätselhaften Hypothesen gewandt werden muß, bei welchem vor allem an den beiden bisher als richtig erkanntem Grundgesetzen

der Erhaltung der Masse und der Energie der Bewegung nicht gerührt wird.

Von den bisherigen Versuchen, die Naturerscheinungen auf rein mechanischen Weg aus der Wirkung des Äthers zu erklären, sagt Prof. Schaller, sie seien zwar sehr nützlich, doch die Hypothesen, die bezüglich des Verhaltens des Äthers gemacht wurden, sehr räthselhaft und die Folgerungen, die aus denselben gezogen wurden, häufig nicht einwandsfrei. Dies möge wohl der Grund sein, warum keine der bisher angenommenen Erklärungen Anerkennung finden konnte, obwohl gewiß viele Naturforscher die Überzeugung haben, daß alle Naturerscheinungen auf die Wirkungen einzig genommenen Äthers, und zwar des Äthers, zurückzuführen sind.

Unter den Arbeiten, welche sich auf die Erklärung der Erscheinungen aus der Wirkung des Äthers beziehen, heißt er insbesondere das Werk von P. Angelo Sechi: „Die Einheit der Naturkräfte“ (Leipzig 1876) hervor. Sechi macht aber bezüglich des Verhaltens des Äthers in den verschiedenen Körpern unterschiedliche Annahmen. In dem geleiten Leitern der Elektrizität soll der Äther die Eigenschaft haben, sich progressiv bewegen zu können, in den durchdringlichen Körpern soll er nur harmonische Schwingungen, dagegen in den Nichtleitern und im Weltraum nur Wirbelbewegungen ohne progressive Bewegungen ausführen können. Der Weltraum soll sich verhalten wie ein bewegter elastischer Körper, wobei die Elastizität bedingt ist durch die Wirbelbewegungen der Äthertheile. Abgesehen von diesen verschiedenen Annahmen hält Prof. Schaller auch manche Folgerungen, welche aus denselben gezogen sind, nicht für einwandfrei. Die von ihm gegebenen Erklärungen sind von denen, welche Sechi gegeben hat, verschieden, aber er verwehrt nicht harmonischen, daß zwei in seiner Arbeit enthaltenen Anschauungen bereits in dem Werke von Sechi vor-

haben wird, und zwar die Annahmen, daß die elektrischer Strom eine progressive Bewegung des Äthers innerhalb eines Leiters und daß die elektrische Spannung von dem Athrdruck abhängig ist.

«Sehr zahlreiche Versuche,» sagt Prof. Sehadia, «werden gemacht, die Gravitation aus der Wirkung des Äthers zu erklären, selbst Newton hatte schon die Ansicht, daß die Gravitation durch ein »Agens« verursacht sein müsse. In dem mir bekannt gewordenen Arbeiten sind neuerdings sehr zahlreiche Annahmen gemacht, auch könnte die Gravitationskraft nur abgeleitet werden, wenn angenommen wurde, daß die ponderablen Körper eine äußerst geringe Massendichte haben, so daß die atomaren Massenelemente durch außerordentlich große Entfernungen getrennt sind. Das in der vorliegenden Arbeit enthaltene neue Erklärung weist diese Nachteile nicht auf und daß einen engen Zusammenhang zwischen der Gravitation, der Wärme der Massenkörper und der von denselben ausgehenden strahlenden Energie erkennen. Unter den bisher veröffentlichten Arbeiten ist insbesondere die Werk von Herakleides »Hädel der Schwerstoffe«, Braunschweig 1879, hervorzuheben. In keiner dieser Arbeiten ist jedoch die große Hädel der Gravitation geteilt worden. Ebenso ist auch die Ursache des Erleuchtungsphänomens nicht aufgeklärt worden. Beide Hädel glaube ich gelöst zu haben.»

Was das Wissen der eigenen Hypothese anbetrifft, wozu die obengenannten Naturerscheinungen, so würde sollte die Gravitation, aus der Wirkung des Äthers erklärt werden, so bemerkt Prof. Sehadia, daß dabei bezüglich des Äthers angenommen ist, daß er ebenso beschaffen ist, wie ein gewöhnliches Gas, daß er also in Überreichung mit der mechanischen Umlenkung aus kleinen voneinander getrennten Teilchen besteht, die sich mit großer Geschwindigkeit in den verschiedensten Richtungen hin bewegen und dabei miteinander und

mit andern Gasmolekülen oder mit festen und flüssigen Körpern, die sich in dem gleichen Raume befinden, in Kollision kommen. »Daß der Äther,» fährt er fort, »im Weltraum und überall auf der Erde tatsächlich existiert, ist unzweifelhaft, weil wir uns sonst weder die Übertragung von Energie durch den Weltraum von der Sonne zur Erde, noch die auf der Erde beobachteten rituellen Fortbewegungen vorstellen könnten; der Äther eines Elektromagneten wird z. B. auch im luftleeren Raume mit einer Kraft von dem Magneten angezogen, welche bis zu 20 Äg pro 1 qcm Potfläche gesteuert werden kann und weiter von einem Helmholtz noch vom Luftdruck herrührt und daher notwendigerweise in irgendeiner Art durch den Druck eines andern Gases, d. h. des Äthers, zustande kommt. Die Ätherstrahlen sind im Vergleich mit den Atomen und Molekülen gewöhnlicher ponderabler Körper ausserordentlich klein anzunehmen, so daß sie in die Zwischenräume, die sich zwischen den Molekülen und Molekülgruppen fester oder flüssiger Körper befinden, sehr leicht eindringen können und in dieser Art die gewöhnlichen Körper in jeder Richtung durchdringen. Dabei sind die Ätherstrahlen nicht als masselos, sondern in gewöhnlicher Art als ponderabel anzunehmen, da sonst weder eine Übertragung von Energie unter Vermittlung des Äthers, noch eine Druckwirkung des Äthers möglich wäre. Daß wir den Äther nicht sehen können, rührt z. vor allem her, weil er alle irdischen Körper durchdringt. Bezüglich der Beweglichkeit der Ätherstrahlen ist angenommen, daß sie sich sowohl in den Hohlräumen der ponderablen Körper, als auch im Weltraum überall in gleicher Weise bewegen können, was in der Vorstellung der kinetischen Umlenkung entspricht. Die Geschwindigkeit der sich frei im Raume bewegenden Ätherstrahlen mag im Vergleich zur Geschwindigkeit der Moleküle gewöhnlicher Gase eine außerordentlich

hoch wie und hat im Widerspruch eine der Lichtgeschwindigkeit entsprechende Größe. Ebenso mag die Spannarbeit des Äthers im Vergleich mit der Spannarbeit gewöhnlicher Gase außerordentlich groß sein, sie kann nicht gemessen werden, weil der Äther die ponderablen Körper durchdringt.

Der Stoß zwischen Ätherteilchen ist, da dieselben als nicht mehr deformierbare kleinen Teilchen anzusehen sind, und das Prinzip der Erhaltung der Energie als gültig angenommen ist, ebenso anzuwenden wie ein vollkommen elastischer Stoß. Diese Annahme läßt Konflikte in seinem Bereich klarer Werte für unmöglich, seine gegen diese Annahme vorgebrachten Einwände habe ich in der vorliegenden Arbeit widerlegt und die Zulässigkeit der gemachten Annahme in erschöpfender Weise begründet. Der Stoß zwischen den Ätherteilchen und den Molekülen gewöhnlicher Gase oder den Molekülgruppen fester oder flüssiger Körper ist nicht als ein vollkommen elastischer Stoß anzusehen, weil die ponderablen Moleküle durch die anhaltende Ätherreibung in erhöhte Bewegung gesetzt werden und dadurch Energie aufnehmen, während die Ätherteilchen in gleichem Maße an Energie verlieren. Die Zulässigkeit dieser Annahme habe ich ebenfalls begründet. Ferner wird erklärt, wie umgekehrt die ponderablen Körper an den Äther Energie in Form von abstrahierter Energie abgeben können.

Diese Anschauung über das Wesen des Äthers entspricht im allgemeinen der herrschenden Anschauung, als nur kann man die Annahme machen, daß beim Stoß der Ätherteilchen gegen die Moleküle oder Molekülgruppen gewöhnlicher Körper an diese von den Ätherteilchen Energie abgegeben wird, welche Annahme aber schon im Widerspruch mit dem Verhalten gewöhnlicher Körper als zulässig erscheint. Wenn eine ponderable Kugel gegen eine Wand stößt, so hat nur in dem Falle, wenn Kugel und Wand nach während des Stoßes

nach der beim Anstoß eintretenden Deformation wieder genau ihren ursprünglichen Zustand annehmen, der Kugel nach dem Stoß wieder die gleiche Geschwindigkeit wie vor dem Stoß und hat keinen Energieverlust erlitten, in diesem Falle sind Kugel und Wand vollkommen elastisch. Wenn die Wand nicht vollkommen elastisch ist, so erleidet die stoßende ponderable Kugel beim Stoß eine Abnahme ihrer progressiven Geschwindigkeit, während sich die Bewegungsenergie der ponderablen Teilchen der Wand erhöht. In gleicher Weise handelt auch beim Stoße von nicht mehr deformierbaren Ätherteilchen gegen eine unelastische Wand eine Energieabgabe von Seite der Ätherteilchen an die Wand statt, so daß die Ätherteilchen nach dem Stoße eine kleinere progressive Bewegung haben als vor dem Stoße. Der Stoß der Ätherteilchen gegen die Wand verhält sich in diesem Falle wie ein nicht vollkommen elastischer Stoß ponderabler Körper.

Was für ein Stoff der Äther ist, ob er ein besonders von der wahren Materie verschiedener Stoff oder der Ursstoff ist, von welchem die wahren Materie zusammengesetzt ist, oder ob er nur einen besonderen Grad der Zerteilung der verschiedenen wahren Stoffe darstellt, ist für die Erörterungen belanglos. Mit Rücksicht auf das bereits von Proust und Dumas gegründete Geste, daß alle einfachen Körper ein Atomgewicht haben, welches ein Vielfaches eines nach unbestimmten Körper ist, deuten Atomgewichte nur die Hälfte einer Äquivalenz des Wasserstoffes an, vermehrte Anzahl, daß die ponderablen Moleküle aus aus Gruppen von Atomen bestehen, anderwärts hält er den Äther auch für einen besonders Grad der Verfeinerung der wahren Stoffe.

In dem Voraussetzungen und Ausführungen scheint uns nur ein Punkt bedenklich, nämlich die Annahme, daß die Ätherteilchen in gewöhnlicher Art

als pendelnd angesehen werden müßte, denn dann würde ja die Schwerkraft schon in jedem Ätherteilchen und ihr eigentliches Wesen blüht tausendmal für den Phantasie. Dieses Bedenken wird auch nicht gehoben durch die sonst klaren Auseinandersetzungen, welche Prof. Schalka über die molekulare Beschaffenheit der Körper gibt. »Die einzelnen Moleküle,« sagt er, »berühren sich gegenseitig, füllen jedoch den Raum nicht kontinuierlich aus. Die Moleküle des festen Körpers haben in dieser Annäherung, obwohl sie sich berühren, eine gewisse Beweglichkeit und können durch die von den Ätherteilchen eintreffenden Impulse in Bewegung versetzt werden. In den tropfartigen Flüssigkeiten berühren sich die Moleküle nicht mehr, sondern sind bereits frei beweglich und können daher in bestimmtem Maße den Bewegungsimpulsen folgen. In den Gasen und die gasförmigen Moleküle durch verhältnismäßig große Zwischenräume getrennt und befinden außer der drehenden Bewegung eine große progressive Geschwindigkeit. Jeder Körper ist sowohl, wenn er sich im Weltraum befindet, als auch, wenn er im Bereiche der Erdatmosphäre ist, von Äther umgeben, dessen äußere Schicht, aber sich mit enormer Geschwindigkeit bewegende Teilchen schiere an die Oberfläche des Körpers anprellen, zum Teil aber in die Hohlräume des Körpers eindringen, oder an die Innenseite dieser Hohlräume befindlichen Ätherteilchen anprellen und mit diesen die Geschwindigkeiten austauschen. Innerhalb der Hohlräume können sich die Ätherteilchen auch jeder Richtung hin weiterbewegen, wobei sie untereinander zusammenstoßen und auch an die Wände der Hohlräume, d. h. an die pendelnden Teilchen, anprellen. Dadurch wird die Bewegungsmenge der pendelnden Teilchen vergrößert, während die Geschwindigkeiten der Ätherteilchen abnehmen, die Stöße verhalten sich wie die Stöße gewöhnlicher pendelnder Körper. Die von dem Körper

aufgenommene Energie wird (zwei später geteilt) an der Oberfläche des Körpers wieder an die ihn umgebenden Leuchtteilchen oder Ätherteilchen abgegeben, wobei aber die hier exportierte Verlust nicht beachtet bleiben. Die Ätherteilchen, welche in den Innern des Körpers eingedrungen sind, gelangen von diesem auch wieder heraus, und werden durch andere von außen eindringende ersetzt. Je nach der speziellen materiellen Beschaffenheit des betrachteten Körpers und die Zwischenräume zwischen seinen pendelnden Teilchen verschieden gestaltet, und ist daher ein verschiedenes guter Ausgleich zwischen dem Äther und dem innerhalb des Körpers befindlichen Äther möglich, auch ist je nach der Beschaffenheit des Körpers der Stoß der Ätherteilchen gegen den Körper in verschiedenem Grade möglich. Der Geschwindigkeitsverlust der Ätherteilchen innerhalb des Körpers hat verschiedene Wirkungen zur Folge, er ist die Ursache der Gravitationserscheinungen und der Wärmerückwirkung innerhalb eines jeden festen oder flüssigen Körpers, ebenso auch die Ursache, daß die radioaktiven Substanzen fortwährende Energie abgeben. Zur Erklärung dieser Erscheinungen ist es nur notwendig, die progressiven Bewegungen der Ätherteilchen zu berücksichtigen. Es ist aber selbstverständlich, daß die einzelnen Ätherteilchen auch Rotationsbewegungen machen, da der Stoß der Ätherteilchen gegenseitig und gegen die pendelnden Teilchen ein allgemeines als ein starker Stoß stattfindet.

Prof. Schalka legt nun an der Hand physikalisch-mathematischer Betrachtungen, daß unter schon Voraussetzungen des Newtonsche Gesetz der Anziehung zwischen den Körpern in aller Strenge in die Erdbewegung treten muß. Aber die Gravitationswirkung muß dann auch eine Fortpflanzungsgeschwindigkeit haben und wir können dann auf die alte schon so oft aufgeworfene Frage, ob die Gravitation Zeit gebraucht, um in die Ferne zu

weisen. Prof. Schafko bejaht ebenfalls und sagt: „Da die Grenzschichtveränderungen unter Vermittlung des Äthers stattfinden konnten, so ist klar, daß in dem Falle, wenn sich irgendwo ein Widerstand der ponderablen Körper plötzlich bilden würde, die Fortpflanzung anderer Himmelskörper erst nach Verlauf einer Zeit eintreten könnte, innerhalb welcher sich die Säkung des Gleichgewichtes des Äthers durch den Widerstand bis zu dem andern Himmelskörper fortpflanzte, diese Gleichgewichtsgeschwindigkeit ist gleich der Lichtgeschwindigkeit. Wenn zwei Himmelskörper sich im Weltraum nicht gegenseitig bewegen würden, also auch eine unvorstellbar kleine Distanz hätte, so könnte von einer Fortpflanzungsgeschwindigkeit der Gravitation nicht gesprochen werden, weil in diesem Falle der Äther denselben geringen Druckzustand hat, welcher der Größe und Entfernung der Himmelskörper entspricht. Wenn sich die Himmelskörper bewegen und dabei ihre Entfernung ändern, so kann sich der der jeweiligen Entfernung entsprechende Druckzustand des Äthers nicht momentan ausbilden. In diesem Falle wäre daher die Fortpflanzungsgeschwindigkeit der Gravitation in Betracht, ihre Wirkung ist identisch mit dem Widerstand, welchen der Äther der Bewegung der Himmelskörper entgegenstellt.“

Von besonderem Interesse ist der Abschnitt, in welchem Prof. Schafko die Erzeugung von Wärmestromen und strahlender Energie innerhalb der ponderablen Körper infolge der Absorption von Energie der Ätherbewegung behandelt. Die von dem Ätherischen während der Absorption an die ponderablen Körper abgegebene Energie wird von den Molekülen der ponderablen Körper aufgenommen, indem sie deren Änergie der Ätherischen selbst in eine vibrierende Bewegung kommen. Die aufgenommene Energie wird hauptsächlich in der Form von Wärme wahrgenommen. Die ponderablen Körper werden in dieser Art als Energium-

wandler, indem sie den Ätherischen, von welchem sie durchdrungen werden, Energie entziehen und diese Energie in eine Wärmebewegung der ponderablen Moleküle umwandeln.

Die Temperatur eines ponderablen Körpers kann aber trotz der beständig erfolgenden Absorption von Ätherenergie nicht abgenommen, weil der Körper an seiner Oberfläche wieder Energie an den ihn umgebenden Äther abgibt. Ist ein fester oder flüssiger Körper von einem Gas umgeben, so gibt er an seiner Oberfläche zum Teil direkt an den Äther, zum Teil aber an die Gas-molekülen, die Energie weiter an den Äther abzugeben, so daß die Vermehrung derselben bishern, als ob der Körper nur an den Äther Energie abgeben würde.

Prof. Schafko zeigt aber ferner, daß der ponderable Körper an den umgebenden Äther in der Weise Energie abgibt, daß er die von ihm sich weitbewegenden Ätherstrahlen in transversale Schwingungen versetzt, kurz, daß jeder ponderable Körper in dieser Art Strahlen aussendet, welche aus Ätherstrahlen bestehen, die in allen möglichen Richtungen senkrecht zu einem Strahlen schwingen. Bezüglich der Eigenschaften der Flamm- und der Erde kommt der Wiener Physiker übrigens zu Ergebnissen, die von den bisher angenommenen sehr abweichen. Er findet, daß die Temperatur gegen das Innere eines großen ponderablen Körpers hin zunehmen muß, weil dort überall Absorption von Ätherenergie stattfindet, die Abgabe von Energie aber nur an die Oberfläche des Körpers stattfindet. Bei einem kleinen Körper sei die Diffusion unerheblich, die Frostprozesse aber müssen gütig sein, weil sie wegen ihrer außerordentlichen Größe und Masse eine kolossale Menge von Ätherenergie absorbieren und in Wärme umwandeln. Die Planeten müssen in ihrem Innern ebenfalls nur von ihrer Größe und Masse abhängige hohe Temperatur haben, weil

se und Ätherenergie absorbieren und in Wärme umwandeln.

Nach der herrschenden Anschauung, sagt Schafsta, verhält man sich die hohe Temperatur der Fixsterne dadurch, daß man annimmt, dieselben seien ursprünglich Gase gewesen und hätten ein außerordentlich großes Volumen gehabt, während der Zusammenziehung habe sich die den ätherischen Kräften entsprechende Arbeit in Wärme umgewandelt, wodurch die hohe Temperatur der Fixsterne erklärt sei. Bezüglich der Fixsterne wird allgemein angenommen, daß sie keine Energie aufstehen, sondern in erschöpften Maße Energie in den Weltraum abgeben; sie müßten daher erlöschen. Auch bezüglich der Planeten nimmt man an, daß sie ihre Innenwärme allmählich verlieren. Im Laufe der Zeit müßte sich der Zustand ergeben, daß alle Fixsterne und Planeten deren Energieerschöpfung an den Weltraum abgegeben haben, daß alle Himmelskörper erloschen sind und alles Leben erloschen ist. Der Eintritt dieses Endzustandes könnte nur dadurch verzögert werden, daß in der Zukunft noch einige Himmelskörper zusammenstoßen, wodurch sich die Arbeit der Gravitationskräfte wieder in Wärme umwandeln würde; diese erzeugte Wärme müßte aber auch im Laufe der Zeit wieder an den Weltraum abgegeben werden. Es drängt sich unwillkürlich die Frage auf, warum dieser Endzustand der allgemeinen Abkühlung aller Himmelskörper nicht schon längst eingetreten ist, da doch die Welt unendlich lange besteht; diese Frage wird nicht beantwortet und nur vageweise nachgewiesen, daß der Endzustand der allgemeinen Abkühlung nur nach äußerst langer Zeit eintreten kann. Durch irgendwelche unbekannte Ursachen soll dann weiter eine Störung des Gleichgewichtes und so durch „Reibung“ eine Erzeugung der Wärme der Himmelskörper bewirkt werden.

Gemäß dem in diesem Abschnitte unter Zugrundelegung der neuen Hypothese gemachten Folgerungen muß jeder Fixstern eine sehr hohe, von seiner Größe und Beschaffenheit abhängige Temperatur haben. Da in dem Fixstern ausgeglichene Wärmeströme hin- und hergehen, absorbieren oder strahlen aus, so nachdem die an den Weltraum abgegebene Energie kleiner, größer oder gleich ist der von dem Fixstern absorbierten Ätherenergie, dasselbe gilt von den Planeten.

In dem Falle, wenn die Sonne etwas viel Energie abgibt, als sie absorbiert, befindet sie sich in einem stationären Zustande und wirkt nach außen nicht als eine Energiequelle, sie wirkt aber doch als ein Umformer der Ätherbewegungen, indem sie die progressive Geschwindigkeit der Ätherstrahlen schwächt und dafür transversale Schwingungen der Ätherstrahlen erzeugt. Bei der Vermehrung der Transversalschwingungen entsprechende Energie ist in diesem Falle gerade so groß als die ganze von der Sonne absorbierte Ätherenergie, indem die sich von der Sonne weg bewegenden Ätherstrahlen, welche in radialer Richtung eine geschwächte Geschwindigkeit haben, der intensiv transversal schwingen, dieselbe Energie repräsentieren, wie die sich zur Sonne bewegenden Ätherstrahlen, welche eine große radiale Geschwindigkeit haben, aber nur schwach transversal schwingen.

Man wird, zu weiteren weiteren den Schluß der Untersuchungen Prof. Schafsta ziehen. Hier müssen wir uns auf die vorstehenden Betrachtungen über die Gravitation beschränken, welche gewissermaßen die Erklärung zu seinen Ausführungen bilden. Jeder, der sich mit dem Problem, des Wesens der Gravitation und den Fragen nach dem Wesen der Materie befaßt, sowie der dabei schon und magischen Erscheinungen beschäftigt, darf sich dem Studium des Werkes selbst nicht entziehen.

Periodizität der Helligkeitsschwankungen der Sonne nach den Beobachtungen der Fackeln.²⁾

Oie ununterbrochenen Beobachtungen der verschiedenen auf der Sonne sichtbaren Erscheinungen haben ergeben, daß sowohl die Flecken, die Fackeln und die Protuberanzen, als auch die Sonnenscheibe einer und derselben Periode der Schwankungen unterworfen sind, deren mittlere Dauer etwa 11 Jahre beträgt. Man mußte daher erwarten, daß auch die Sonnenstrahlung eine Schwankung mit 11jähriger Periode zeigen würde, und daß die Flecken, das am besten sichtbare und am meisten untersuchte Phänomen, ihrer größeren und geringeren Helligkeit auf der Sonnenscheibe entsprechende Änderungen der Sonnenstrahlung erzeugen müßten, nämlich ein Maximum der Helligkeit während des Fleckenninimums und ein Minimum während des Fleckennormals. Die Flecken scheinen jedoch nur einen so kleinen Teil der Sonnenoberfläche ein, daß die durch sie erzeugten Schwankungen unmerklich sind. Hingegen treten die Fackeln in viel größerer letzterer Gruppen auf und können sich ausweiten vom Rand bis fast zum Zentrum der Sonnenscheibe ausbreiten. Aber die Schwächigkeit ihrer Selbsthelligkeit, die von der Beschaffenheit unserer Atmosphäre stark beeinträchtigt wird, hat zur Folge gehabt, daß sie nicht mit dem Eifer beobachtet worden sind wie die Flecken. Auf der Sternwarte von Catania sind aber von A. Mazari durch Projektion auf die Bild der Sonnenscheibe von 0.57 m Durchmesser die Fackeln beobachtet worden und so ein Material gewonnen, welches für die Frage nach den Schwankungen der Helligkeit verwandt werden konnte. Während der Beobachtung wurde der Projektionsapparat im Halbdunkel gehalten, damit man auch die schwachen

Fackeln in der Nähe des Sonnensandes und die Grenzlinien der Photosphäre erkennen kann. Je nachdem die Sichtbarkeit Schwankungen bietet oder nicht, unterscheidet Verfasser die leicht sichtbaren Fackeln nach ihrer Helligkeit in sehr leuchtende, leuchtende und gewöhnliche, die schwächig so schwachen werden in schwache und sehr schwache unterchieden.

Von 1894 an wurden nur die Fackelgruppen berücksichtigt, die vom Sonnensande weit entfernt und daher deutlich sichtbar sind, auch die, welche die Flecken begleiten, und von ihnen sind die Protuberanzen, die Ausbreitung und die Helligkeit verzeichnet. In das jährliche Verzeichnis der Sternwarte wurde nur die Helligkeit der Fackeln angegeben, und aus dieser erhielt man für die Zeit vom Maximum der Sonnenstätigkeit im Jahre 1894 bis zu dem letzten von 1905, daß die Fackeln den gleichen Gang verfolgen wie die Flecken, d. h. ihre Zahl nimmt jährlich ab bis zur Epoche des Maximums von 1901, um dann bis zum letzten Maximum von 1905 zu wachsen. Die mittlere tägliche Helligkeit sank von 11.82 im Jahre 1895 auf 2.65 im Jahre 1901 und stieg auf 6.41 im Jahre 1905 gehoben.

Da nun in der Epoche des Fleckennormals die Korona eine größere Fackelung zeigt und auch die Chromosphäre eine größere Helligkeit besitzt, könnte man glauben, daß in dieser Epoche auch eine größere Absorption der Lichtstrahlen und daher eine Abnahme in der Helligkeit der Fackeln sich werde bemerken lassen, was in dem Beobachtungsmaterial einer Prüfung unterzogen werden konnte. Wurden nun die Fackeln nach ihrer Helligkeit für die einzelnen Jahre zusammengestellt, so ergab es sich, daß die Helligkeit der Fackeln gewöhnlicher Helligkeit von der Epoche des Maximums 1894 stetig abnimmt bis zum Fleckennormals von

²⁾ *Memoria della Societä degli spettrascopisti italiani* 1896, vol. XXIV, p. 75 bei 19.

1908, um dann wieder bis zum letzten Maximum von 1909 abzunehmen. Ein entgegengesetztes Verhalten ergaben die schwachen und sehr schwachen Packeln. Die lebhaften und sehr lebhaften Packeln haben sich mit einer geringen Unschärfeheit wie die gewöhnlichen verhalten, so daß man alle Packeln in zwei Klassen einteilen kann, in die frohsicheren, die in Zahl bis zum Maximum der Sonnenflecke zunehmen, und in die schwachsicheren, die seltener werden, nach dem Fleckenmaximum werden immer seltener und letztere häufiger.

Maucci berechnete für jedes Jahr die mittlere Häufigkeit der verschiedenen Klassen von Packeln, indem er die Häufigkeit der schwächsten Packeln = 1, der schwachen = 2, der gewöhnlichen = 3, der hellen = 4 und der hellsten = 5 setzte, und fand für 1884 den Mittelwert 2.45, für 1901 als Mittel 1.68 und für 1905 als Mittel 2.91. Da nun die Häufigkeit der Packeln zur Zeit des Fleckenmaximums größer ist als während des Minimums (1884 viertel und 1905 dreimal so groß als 1901), so muß die Summe des Lichts, welches von der Gesamtheit der Packeln der Sonnenfläche in einem Maximumjahr

ausstrahlt, bedeutend größer sein als in einem Minimumjahre. Eine ungefähre Vorstellung von dieser Differenz erhält man, wenn man die mittlere Häufigkeit der Packelgruppen eines jeden Jahres mit der mittleren mittleren Häufigkeit multipliziert. Für die drei hier hervorgehobenen Jahre ergibt die Tabelle 2948 für 1884, 422 für 1901 und 1963 für 1905.)

«Bringt man, sagt Maucci, diese Tatsache in Beziehung zu der andern nicht minder wichtigen, die von mir während des Minimums von 1900 und von Tacchini während desjenigen von 1878 festgestellt wurde, nämlich daß in dieser Epoche eine merkliche Abnahme in der Lichtstärke der Chromosphärenerscheinungen stattfindet, so darf man behaupten, im Gegenteil zu dem, was wir zuerst erwarteten, daß die Lichtstrahlung der Sonne infolge des Auftretens der Packeln am größten ist in der Epoche des Sonnenfleckmaximums und am kleinsten in der Epoche des Minimums.»⁵⁾

⁵⁾ Naturwissenschaftliche Rundschau, XXI. Jahrg. Nr. 11, 1906, S. 475.

Mondzeichnungen am Fernrohr.

(Tafel XIII.)

21 Auf dieser Tafel sind einige Mondlandschaften dargestellt, welche von differenten Mondbeobachtern und geschickten Zeichnern, Herr C. Strakos in Wien, an einem Sechzigfachen Refraktor erhalten hat.

Fig. 1 zeigt das Ringgebirge Pinus, selbst dem kleinen Kater Dawes, geschaut 1866 am 23. September. Interessant sind hierbei die im Schatten des Ringes von Pinus sich befindenden Lichtpunkte, welche kleinen Ringgebirgen auf dem östlichen äußeren Abhänge des Ringes entsprechen. Die starke Kile im Hügellande oberhalb von Pinus ist

angezeichnet. Fig. 2 stellt das Cap Agnere dar in der Beleuchtung vom 20. September 1908 September 4 zwischen 11 und 12 Uhr auch erblickt. Das im oberen ganz beschnittene Ringgebirge heißt ist Coelestis. Die beiden rechts (links) im Bilde liegenden Kater bilden vorderhandweise auf der Nordseite Pinus, oberhalb als auf Hüllern und der größte auf Lohmanns Mondkarte dargestellt sind. Sie wurden am 6. Januar 1794 zuerst von Olbers gesehen und haben nur wenig Tiefe. Fig. 3. Diese schöne Zeichnung stellt das Ringgebirge Kepler und Umgebung dar, wie es sich Herrn

Sinkank am 28. September 1906 gekenn-
 ternt. Von den beiden Kratern links
 ist der obere A, der größte, der links
 darunter liegende B einstens Herr
 Sinkank schon verifiziert (es ist in der
 Tat ein etwas komplizierter Doppel-
 krater). Die beiden mitten von Kupfer
 umgebenen Sünden sind vielleicht
 Kauterisierungen wie Herr Sinkank
 vermutet.

Fig. 4. stellt die Landschaft dar,
 welche den Steinring des Herr
 Procmidals abgrenzt und den Ring-
 gebirge Cook, sowie den Krater Bui
 enthält: eine vorzügliche Zeichnung,
 die am 2. Oktober 1906 zwischen 10
 und 12 Uhr von Herrn Sinkank an
 144hcher Vergrößerung ausgeführt
 wurde. Das elliptische Ringgebirge
 schen mit dem kleinen Krater auf dem
 Wellenide, rechts ist Cook, von dem
 darunterliegenden elliptischen Ring-

gebirge ist das rechtsliegende Cook 4,
 das andere Bui b. Dieses letztere Bui b
 in seinem Aussehen einem auf dem
 Boden liegenden Sack, in dessen Öff-
 nung man hineinschaut. Diese optische
 Täuschung, welche Herr Sinkank aus-
 drücklich erwähnt, entsteht dadurch,
 daß sich schrägs an den Wall von
 Bui b ein System von Hügelan-
 schichten, die rechts und links Ausläufer
 entsenden, welche flache Täler in sich
 fassen. Sie erstrecken sich bis zu dem
 Krater Bui A, der in der Zeichnung
 innen voll beschattet ist. Links neben
 ihm im Mars, liegt Bui mit einem
 kleinen Krater (schlechtlich unter ihm).
 Die kleine Figur links von Bui an der
 Schattengrenze ist die Hügelformation
 Bui j.

Weitere vorzügliche Darstellungen
 von Nachschaffungen des Herrn Sinkank
 werden gelegentlich folgen. K.

Die Verteilung der Perihellängen und Exzentrizitäten der kleinen Planeten.

Für denjenigen, welcher sich mit
 kosmogonischen Studien oder
 Spekulationen beschäftigt, ist es eine
 naheliegende Frage, ob in der Anord-
 nung der Bahnen der kleinen Planeten
 gewisse Gesetzmäßigkeiten vorhanden
 sind oder nicht. Abgesehen von den
 Ausführungen, welche Prof. E. Abbe
 (Journ. im Jahrgange 1884 des „Scienc-
 veröffentliche und die in gewissem
 Sinne bereits geklärt, und in dieser
 Beziehung nur die mehr als 40 Jahre
 zurückliegende Untersuchungen von
 Prof. Newcomb zu erwähnen¹⁾ Jahr
 hat von A. von Brunn an letztere an-
 knüpfend, eine neue Untersuchung
 über die Verteilung der Perihellängen
 und Exzentrizitäten der kleinen Planeten
 veröffentlicht, die infolge der mathema-
 tischen Behandlung des Problems

zu einigen bemerkenswerten Ergebnissen
 führte.²⁾ In der Einleitung sagt der
 Verfasser: »Der erste Gesichtspunkt
 in der Verteilung der Elemente der
 kleinen Planeten, die sich, je nach solcher
 Himmelskörper entdeckt wurden, um so
 deutlicher aus dem Rahmen der Zu-
 fälligkeit heraushebt, war die Beschrei-
 bung der Anhäufung der Perihellen der
 kleinen Planeten in der Nähe desjenigen
 Jupiters. Bei der Auffassung der Aster-
 oiden als Bruchstücke eines zerstörten
 größeren Weltkörpers, lag eine kosmo-
 gonische Erklärung hierfür am nächsten,
 und auch klimatologische Einflüsse sind
 als Ursachen des Phänomens her-
 vorgezogen worden. In der Tat würde
 für solche Planetoiden die Entwicklung-
 wahrscheinlichkeit am größten sein,
 deren Perihel in der für die Beobach-
 tung günstigsten Jahreszeit in Oppo-

¹⁾ *Memors of the American Academy
 of Arts and Sciences* 1885, Vol. VIII, No. V.

²⁾ *Astr. Nachr.*, No. 4122.

stehen mit der Sonne nicht, denn es würde im Laufe der Zeit sich immer gelegentlich wiederholen, daß Opposition des Planeten und Periheldurchgang simultaner eintreten könnten. Für Jupiter würde die Opposition des Perihels in den Anfang des Herbstes fallen. Bedenkt man jetzt Herr Newcomb schon 1868, daß die beobachteten Tatsachen nur mechanisch durch die Wirkungen der Störstörungen, welche die Asteroiden durch die großen Planeten erleiden, erklärt werden können, und 1882 erbrachte er in des A. N. Nr. 1382 auch das außerordentlichen Kuriosa, daß die wichtigste Vorrichtung der Perihelien der Theorie als wahrscheinlich gefordertem Ausdruck entspricht. Herr Newcomb hat in seinen genannten Abhandlungen nicht ausdrücklich hervorgehoben, daß aus seiner Erklärung der Perihelienveränderung noch die andere Tatsache folgt, daß im Mittel die Exzentrizitäten derjenigen Planeten am größten resp. kleinsten sein müssen, deren Perihelien beim Jupiterperihel resp. -aphel liegen. Daß die durchscheinenden Exzentrizitäten wirklich dieses Verhalten zeigen, -aphel bisher noch nicht besonders berücksichtigt werden zu sein.

A. von denen hat aus Newcombs Untersuchungen, soweit er sich auf die Perihelen bezieht, mit dem mehr als allgemein so unangenehm stilles Material, als es Prof. Newcomb damals zur Verfügung stand, welchen Herr Mascart im Bulletin astronomique 1899 bezieht, wiederholt und die Diskussion der Exzentrizitäten Mangelhaft, geht jedoch dabei den umgekehrten Weg, wie Prof. Newcomb. Dieser sagt, daß unter der Annahme einer gleichmäßigen Verteilung einer gewissen Integrationenkonstante, die man Jupiterperihelien setzen kann, über den ganzen Umfang die gleichmäßige Verteilung der wirklichen Perihelien ist als eine Wirkung der Störstörungen der großen Planeten erscheint. Es ist aber gewiß noch bedauerlicher, so Untersuchung von allen Hypo-

thesen zu befreien, indem man sich einer allmählichen Berücksichtigung der Störstörungen jene Integrationskonstante berechnet und versucht, ob es gleichzeitig verteilt sind. Denn wenn das der Fall ist, so folgt auch umgekehrt, daß für die Verteilung der wirklichen Perihelien eben auch nur die Störstörungen von bestimmtem Einfluß sein können.

Der Verfasser beginnt damit, die Resultate der Ableitung aus der Mechanischen Elementartabelle auszugeben. Er teilt den Umläufen, vom Jupiterperihel am weitesten stehend, in 16 gleiche Teile I—XVI. Die erste Spalte der folgenden Tabelle bezeichnet diese, die zweite die Zahl der dann folgenden Planetenperihelien, die dritte den Mittelwert der Exzentrizität für die betreffenden Planeten, zum Schluß folgen noch die gleichen Daten für das Halbkreis zum beiden Seiten vom Jupiterperihel bzw. -aphel.

I	48	0,166
II	36	0,166
III	24	0,147
IV	24	0,147
V	24	0,133
VI	12	0,129
VII	12	0,121
VIII	12	0,122
IX	12	0,127
X	12	0,121
XI	24	0,127
XII	24	0,126
XIII	24	0,139
XIV	36	0,166
XV	36	0,166
XVI	48	0,166
XVII—IV	36	0,166
V—VIII	48	0,176

Man erkennt hieraus die Abnahme der Hauptexzentrizitäten und, wenn auch viel unregelmäßiger, der mittleren Exzentrizitäten vom Jupiterperihel zum -aphel. Ein dergleichen Bild von der Erde, da diese Richtung für die Verteilung der Perihelen und Exzentrizitäten der Asteroiden spielt, geben die beiden letzten Zeilen.

Der Verfasser untersucht nun den Zusammenhang der angeführten Zahlen

mit den Sekulärstörungen, welchen die Bahnen der Planetoiden unterliegen. Diese rein mathematischen Entwicklungen bilden den Hauptteil seiner Arbeit, sie könnte indessen hier nicht wiedergegeben werden, sondern nur das Ergebnis, welches A. von Braun dahin formuliert, daß bezüglich der wirklichen Exzentritäten und Perihellagen der Planetoiden die Schlussfolgerung zu ziehen ist, daß deren ungleichmäßige Verteilung der Hauptursache nach durch die Sekulärstörungen der großen Planeten hervorgerufen wird, daß sich darüber aber im gleichen Sinne, nur viel weniger stark wirkend, eine nur scheinbare, auf klimatologischen Ursachen beruhende Ungleichförmigkeit lagert.

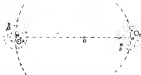
Zum Verständnis der letzteren aber bemerkt er folgendes: »Zunächst dürfte

für die nördliche Hemisphäre das Halbjahr Juli bis Dezember für die Beobachtung günstiger sein, als das andere, es wird also für die Planeten die Entdeckungswahrscheinlichkeit größer sein, deren Perihel in dieser Zeit in Opposition mit der Sonne steht, diese Forderung ist sehr nahe damit gleichbedeutend, daß es im IV. und I. Quadranten, vom Jupiterperihel gerechnet, liegt. Soll dieses als Erklärung für die Anhäufung nach der Eigenperihel in jenen beiden Quadranten deuten, so müßte diese Anhäufung für die sonnen-, also auch erd nächsten Planeten am auffälligsten sein, da für solche die Abhängigkeit der Oppositionshelligkeit von der gleichzeitigen Stellung in der Bahn am größten ist. Das stellt sich aber wirklich als richtig heraus.»

Das System des Castor.

Dieser optische Doppelstern ist gleichbedeutend spektroskopischer, denn wie 1896 Belopolsky für den

weisen, daß jeder dieser hellen Sterne sich mit einem unsichtbaren Begleiter um den gemeinsamen Schwerpunkt



Das System des Castor

schwächeren (α_2) der beiden Hauptsterne und 1904 H. Curtis für den äußeren (α_3) gefunden, zeigen diese Sterne periodische Schwankungen ihrer Bewegungsgeschwindigkeit in der Richtung gegen die Erde hin, welche be-

trachtet bewegt. Die schematische Zeichnung föhrt in schematischer Weise die in dem System des Castor stattfindenden Verhältnisse vor Augen.

In derselben bezeichnen A und C die beiden sichtbaren Hauptsterne (α_1

und α_1), B den nur spektroskopisch nachgewiesenen Begleiter von A, und D den spektroskopischen Begleiter von C. Die punktierten äußeren Kreise um M bezeichnen die Bahnen von A und B um den gemeinsamen Schwerpunkt M und ebenso bezeichnen die punktierten Kreise um N die Bahnen des sichtbaren Sterns B und seines unsichtbaren Begleiters D um ihren gemeinsamen Schwerpunkt N. Außerdem sieht der gestrichelte große Kreisbogen, auf dem M und N liegen, die Bahn der beiden (allen vier) sichtbaren Hauptsterne A und B (α_1 und α_2) des Cassiopeusystems um den Schwerpunkt O dar. Diese Bahn ist durchstrichen gezeichnet, da beiden Hauptsterne mindestens 3%, bis 4 Jahrhunderte, während die Umlaufzeiten der spektroskopischen Begleiter von α_1 und α_2 nur wenige Tage betragen. Genauere Untersuchungen über diese letztere hat anläßlich Herbert D. Curtis veröffentlicht¹⁾. Derselbe gründete sich auf seine auf der Lick Sternwarte erhaltenen spektrophotographischen Aufnahmen und auf die früheren Aufnahmen Huggins's. Die Spektren der beiden Sterne α_1 und α_2 gehören dem Typus des Sirius an und haben in der Klassifikation der Harvardsterne die Bezeichnung A und VIII.

Die Absorptionen erscheinen etwas stärker im Spektrum des schnelleren Sterns α_1 , als in dem von α_2 . Für die Aufnahmen wurde der Mikrophotograph der Lick Sternwarte benutzt und die durchschnittliche Dauer der Exposition betrug für den Stern α_1 25 und für α_2 15 Minuten.

Die spektroskopischen Aufnahmen von α_1 (3.7 Größe) lieferten, den Zeitraum vom 18. Oktober 1904 bis zum 12. Mai 1905 und ergaben Schwankungen in der radialen Geschwindigkeit des Sterns die zwischen $+30.5$ und -35.8 km la der Sekunde liegen, wobei $+$ die Entfernung und $-$ eine Annäherung in der Geschwindigkeit be-

deuten. Sie gestatten jedoch für sich allein nicht um die Periode zu bestimmen, deshalb hat Herbert Curtis die früheren Bestimmungen von Huggins aus den Jahren 1884 bis 1899 hinzugezogen und seiner Berechnung zugrunde gelegt. Diese ergibt namlich als Periode 2.626/265 Tage, als Exzentrizität der Bahn 0.31, als halbe große Achse des Hauptsterns 1.779/304 km und als Geschwindigkeit mit der der Schwerpunkt des Systems sich bewegt -0.98 km. Der Stern α_2 (2.7 Größe) wurde von Curtis im Oktober 1904 als spektroskopischer Doppeltstern erkannt²⁾ und die Aufnahmen, auf welche seine jetzige Bahnberechnung sich stützt, umfassen den Zeitraum vom 18.70 März 18 bis 1905 März 5. Als Exzentrizität fand sich eine Umlaufdauer von α_2 und des unsichtbaren Begleiters um den beiden gemeinsamen Schwerpunkt von 9.215 806 Tagen, die halbe große Achse im Hauptsternwert von 1.185 990 km, die Exzentrizität der Bahn zu 0.5033, die Bewegung des Schwerpunktes in $+4.20$ km.

Die Hoffnung an der Kombination der spektrophotographischen Bestimmungen mit den Beobachtungen der beiden sichtbaren Komponenten α_1 und α_2 des variablen Systems von Castor, einen Wert für die Parallaxe und die Massen desselben abzuleiten, muß zunächst noch aufgegeben werden, da es nicht möglich ist, die Beobachtungen und besonders die Umlaufzeit des sichtbaren Systems genau zu bestimmen. Nach den meisten Berechnungen von Deberck würde diese Umlaufdauer 347 Jahre betragen. Unter der Annahme, daß diese Richtung der Wirklichkeit entspricht, findet sich die Parallaxe des Systems zu $0.05''$ und seine gesamte Masse zu 13.7 Sonnenmassen, doch sind diese Daten, wie bemerkt, äußerst ungenau. Wir haben, bemerkt Curtis, in Castor, zwei Systeme vor uns, deren Dimensionen wahrscheinlich von der nächsten Größenordnung sind, von

¹⁾ Lick Observatory Bulletin, No. 90.

²⁾ Lick Observ. Bulletin, 1905, No. 70.

denn nur das, das hellste Stern nur Exzentrität von 0.54 besitzt, während die Bahn des andern fast kreisförmig ist. Diese außerordentliche Verschiedenheit scheint gemäß den heutigen Vorstellungen über die Entwicklung der Sternsysteme, darauf hinzuweisen, daß das System des helleren Sterns (α_1) das ältere ist, während das andere, im spektro-

skopischen Sinne, relativ jung erscheint. Andererseits scheint die Masse des Systems von α_1 etwas sechsmal größer als die des andern. So große Exzentrizitäten wie bei α_1 werden im allgemeinen nur bei spektroskopischen Doppelsystemen gefunden deren sichtbare Komponente Helligkeitsveränderungen zeigt.

Die Finsternisse im Monat Januar 1907.

In diesem Monat wird ein Sonnen- und eine Mondfinsternis eintreten, von denen allerdings keine in unserer Gegend sichtbar sein wird. Es mögen

dabei die folgenden Angaben (nach dem Berliner Jahrbuch) genügen:

I. Teil: Sonnenfinsternis 1907
Januar 12:

	Mitt. Zeit Berlin	G. L. Gr.	Beide
Beginn der Finsternis Vorhaupt . . .	15 ^h 55.5 ^m	45° 7'	+ 35' 10"
Beginn der totalen Finsternis . . .	16 5.0	41 46	+ 30 8
Beginn der partiellen Finsternis . . .	16 7.0	41 36	+ 10 43
Zeitraum Finsternis im westl. Asien . .	16 9.5	40 12	+ 34 39
Ende der asiatischen Finsternis . . .	16 51.5	114 26	+ 57 8
Ende der totalen Finsternis . . .	16 52.5	114 26	+ 50 32
Ende der Finsternis Vorhaupt . . .	16 13.0	112 26	+ 35 29

Die Finsternis ist demnach im nordöstlichen Afrika, im östlichen Europa und im Asien mit Ausnahme der östlichen Hälfte von Nordasien zu sehen.

II. Partielle Mondfinsternis 1907
Januar 18: Anfang der Finsternis um 20^h 14^m 59.2^m mitt. Berl. Zeit, Mitte der Finsternis 20^h 31^m 5^m mitt. Berl. Zeit, Ende der Finsternis 20^h 35^m mitt. Berl. Zeit.

Der Mond steht um diese Zeiten im Zenit der Ort, deren geographische Lage bezüglich ist: 151° 9' östl. Länge von Greenwich 18° 49' nördl. Br.,

156° 53' östl. Länge von Greenwich 18° 41' nördl. Br., 160° 48' östl. Länge von Greenwich 18° 33' nördl. Br.

Parallaxwinkel des Lichts des Schattens vom Nordpunkt gleich = 132°, Parallaxwinkel des Ansatz vom Nordpunkt gleich = 162°.

Größe der Verfinsternung in Teilen des Monddurchmessers = 0.713.

Die Finsternis wird in Nordamerika, dem großen Ozean, in Asien, Asien, dem indischen Ozean und im östlichen Europa sichtbar sein.

In Berlin geht der Mond um 20^h 45^m 37^s auf.

Vermischte Nachrichten.

Das Spektrum der Sonnenflecke und des Arkturus. Das Spektrum des Arkturus erstreckt sich durch seine außerordentliche Ähnlichkeit mit dem Sonnenspektrum aus, in dessen Folge es auch an einer systematischen Vergleichung beider. Solche ist namentlich von Walter S. Adams mit dem Sonnenobservatorium Mount Wilson angestellt worden,¹⁾ unter Benutzung zweier photographischer Aufnahmen des großen Sonnenfleckens vom vergangenen Jahr. Das Spektrum des Arkturus war im Juli 1905 erhalten worden, und zwar mit Hundsfanger'spergessen während fünf Nächten. Die Aufnahme ist sehr gut zwischen den Wellenlängen 1.4200 bis 1.4800. Anderson wurde als Vergleichsspektrum ein solches der Sonne das um dieselbe Zeit aufgenommen worden ist. Walter Adams gibt eine ausführliche Tabelle, welche die Ergebnisse der Vergleichung des Arkturpektrums mit jenen der Sonne und der Sonnenflecke enthält, zwischen den angegebenen Wellenlängen. Es ergibt sich daraus eine überraschende Übereinstimmung des Spektrums der Sonnenflecke mit dem des Arkturus, und zwar nicht nur in der Verstärkung der Linien überhaupt, sondern auch in dem überwiegenden Verhältnis derselben in beiden Spektren. Als Schlussfolgerung ist hieraus abzuleiten, daß die physikalischen Zustände in den Sonnenflecken und in der Atmosphäre des Arkturus sehr nahe übereinstimmen. Folgt daher als unzweifelhaft nachgewiesen werden sollte, daß die Unterschiede zwischen dem normalen Sonnenspektrum und dem Spektrum der Sonnenflecke, durch Temperaturunterschiede bedingt sind und die Sonnenflecke eine niedrigere Temperatur besitzen, so gilt dieser Schluß auch für den Arkturus im Vergleich zur Sonne.

Eine ähnliche Untersuchung wie die obige bezüglich des Spektrums von « Cygnus » durch Hale und Adams²⁾ hat ergeben, daß in diesem leichten Sonnenspektrum ebenfalls vorhanden sind, jedoch in der That, entwickelten sie durchschätzte Verhältnisse sind, hier größer als beim Arkturus. Man hat demgemäß in der Sonne, dem Arkturus und « Cygnus, eine Reihenfolge von Sternen, die gemäß der obigen Annahme, nach abnehmender Temperatur ihrer Atmosphären geordnet ist.

Periodische Bewegungen der Elektronen im Weltraum unter dem Einflusse des Erdmagnetismus. Hierüber machte Prof. C. Scherer in der Gesellschaft der Wissenschaften in Christiania auf Grund seiner Untersuchungen Mittheilungen bei der mathematischen Behandlung des Problems der Bewegung eines elektrisch geladenen Partikels, das unter der Einwirkung eines Erdenmagnetismus steht. Hat Scherer eine Reihe von unbekannten periodischen Bahnen gefunden. Diese Resultate hat er auf die Kathodenstrahlen angewandt, sowie auf die α und β -Strahlen des Radium, die aus elektrisch geladenen Partikeln bestehen sollen, welche mit Geschwindigkeiten von 20000 bis 25000 km pro Sekunde ausgehend werden. Wenn man annimmt, daß Schwärme solcher Partikeln von der Sonne ausströmen, so werden sie sich auch und auch in periodischen Bahnen um die Erde bewegen und zwar in Abständen von 150000 bis 5 Millionen Kilometer von derselben. Hieraus können wieder periodische Variationen im Erdmagnetismus mit Perioden von 6 Sekunden bis zu mehreren Stunden resultiren. Da die von Scherer'schen, sowie von Röntgen beobachteten «Elementarwellen» Schwingungszahlen haben, die

¹⁾ Astrophysical Journal 1906, Septbr., Bd. 24, S. 14.

²⁾ Astrophysical Journal. Bd. 23, p. 401.

mit überstehenden Überwindungen, dürfte hier eine Erklärung für die gesamten beobachteten Erscheinungen vorliegen.

Beobachtungen des Ersters Linné während der Mondfinsternis vom 6. Februar 1800. Prof. William H. Pickering berichtet auch¹⁾ über die Vergrößerungen in der Größe des des Mondkrater Linné umgebenden hellen Fleckes während der gesamten Finsternis. Jos. Seeböhm und Prof. Frost (Arequipa) haben diesen Fleck mit gleich großen Triebkrägen beobachtet, waren allerdings nur während kurzer Zeit, letzterer vielfach behindert von Wolken. Beide Beobachter fanden den Fleck nach dem Heransteilen um den Schatten größer als vorher, dann aber abnehmend. Die Vergrößerung des hellen Fleckes um Linné, so schloß Prof. Pickering, nach dem Durchgang durch den Schatten, ist manchmal konstant durch sechs Beobachter, von denen jeder auf einem verschiedenen Observatorium beobachtete, und von denen einige ursprünglich gegen die Vergrößerung eingenommen waren. Sie kann daher als wohl erwiesen gelten. Die Verkleinerung des Fleckes in Bezug auf seine Größe während des größtenteils Verlaufs der Mondfinsternis, ist von verschiedenen Beobachtern notiert worden und ist in der Tat so beträchtlich, daß sie weiterer Bestätigung nicht bedarf.

Der Doppelstern 70 p Ophiuchi. Dieser Doppelstern 45 und 8 Größe wurde von W. Herschel 1779 zuerst beobachtet, die Stellung des Begleiters ist seitdem sehr häufig gemessen worden. Eine neue Bahnberechnung desselben hat (Bayer) W. Doberck veröffentlicht.²⁾ Hiernach beträgt die Umlaufzeit 87.68 Jahre, die halbe große Achse der Bahn 0.543", die Exzentrizität derselben 0.4988. Nach Krügers Messungen würde die Periode des Systems 0.162 Jahre. Doberck schließt mit Rücksicht darauf, daß die Gassen-

naut denselben Lärm so groß ist, als die Masse unserer Sonne.

Neue spektroskopische Doppelsterne. Vier Sterne mit veränderlichen Radialgeschwindigkeiten, wurden von W. W. Campbell und J. H. Moore nachgewiesen.

Es sind die folgenden:

1. *Ursae Majoris*

(AR = 9^h 27^m, D = + 63° 55')

Fünf Spektrogramme zwischen 1900 Januar 22 und 1906 Januar 29 ergaben Geschwindigkeiten in der Geschwindigkeit, die zwischen — 10.2 und + 1.6 schwanken. Das Spektrum gehört zum Typus XBC der Harvard-Klassifikation.

2. *Hydrae*

(AR = 10^h 57^m, D = — 11° 51')

Von diesem Stern wurden in der Zeit 1900 März 30 bis 1904 März 31 14 Spektrogramme erhalten, welche Radialgeschwindigkeiten desselben zwischen + 26.1 und + 15.1 km erkennen lassen. Das Spektrum gehört zum Typus K an.

3. *Ursae Majoris*

(AR = 10^h 56^m, D = + 42° 0')

In der Zeit zwischen 1897 Febr. 24 und 1906 Januar wurden fünf Spektrogramme dieses Sterns erhalten. Die Geschwindigkeiten derselben zwischen — 27.4 und — 16.6 km. Das Spektrum gehört zum Typus M.

4. *Ophiuchi*

(AR = 17^h 47^m, D = — 6° 17')

Dieser Stern ist veränderlich innerhalb einer Periode von 17.12 Tagen. Seine veränderliche Radialbewegung, welche die nämliche Periode zeigt wie der Lichtwechsel, wurde von S. Alcock, Assistent der Licksternwarte, entdeckt.

Ein neuer Komet (1906 g) ist am 18. November auf der Sternwarte zu Kaptenagen von H. Thiele entdeckt worden. Er kreuzte rund 3 Bogenminuten im Durchmesser und 5.3 Größe. Nach der perihelionischen Bahnberechnung von H. Ebeli war der Komet am 8. Nov. in seinem Perihel. Seine Helligkeit stieg ab. Am 3. 12^{ten} in Zeit von Berlin sieht er in AR = 11^h 38^m, D = + 38° 34'

¹⁾ The Astronomical Journal, No. 508
²⁾ A. N. Nr. 4115

Ein neuer Komat, 1934h wurde am 14. Nov. von Metcalf an Tension photographisch abgebild. Es kann nur an das größte Teleskop gesehen werden: Astrologischer Scheinbild. Die «Kaiser-Nemesis-Nachrichten» berichten am 25. September die astrologische Schwandelfarbe Anzeigen.

«Wie man seine Vergangenheit, Gegenwart und Zukunft richtig einschätzen kann: Hinsichtlich der gemeinsamen Wirtschaften noch wenig bekannt, in anderen Ländern jedoch gibt es viele Gebiete, welche das hohe Dunkel dieser gemeinsamen Wirtschaften ebenso gründlich erkennen, wie man die gesamte Gegenwartswissenschaft und die gesamte Zukunft. So glaubt man z. B., daß die Sterne, unter denen ein Kind geboren wurde, einen Einfluss auf dessen Leben haben. Das Studium dieser Macht ist so weit gekommen, daß viele charakteristische Männer im ganzen Leben der Anwendung dieses Komatens zum öffentlichen Nutzen gewidmet haben. Vor einigen Jahren schrieb der berühmte deutsche Gelehrte Dr. Carlomagno ein Buch, in dem er Näheres über die Wesen der Sternensysteme angibt und viele Beispiele für die Richtigkeit dieser Wissenschaft gibt. In England und Frankreich sind bereits mehrere Bücher über diesen Gegenstand erschienen.

Prof. Tolstoy berichtet, daß, wenn er lebt, Mann und Tag der Geburt weiß, er für jeden ein Horoskop aufstellen kann, das wahrengeheim und wahrheitsgemäß ist. Er sagt, daß der Charakter des Menschen das macht, daß seine Gewohnheiten, seine Sitten und Schicksale, seine Fiktionen, seine Gedanken, seine Wünsche und ihre Wirklichkeit. Der Gelehrte sagt weiter, daß er Aufzeichnungen über diese und andere Punkte, menschliche Bekannte und geistliche Fiktion geben kann, selbst wenn man sich dem Schriftstücken noch nicht in Erfahrung genommen ist. Prof. Tolstoy gibt weiterhin noch Näheres über die Astrologie (Gegenwartswissenschaft) einer jeden Wissenschaft, was besonders für Verwirrte interessant ist. Wenn man sich hinsichtlich der Astrologie äußern möchte, mit Hilfe der Geographie vorzubereiten.


Hierdurch Prof. Tolstoy übertrug den Titel «Horoskop» in «Astrologie» umzuwandeln, denn er hat seine Aufzeichnungen für viele Personen im Hof und in hohen Befehlen in vielen Ländern gegeben. Erinnere dich besonders daran, was er darüber, daß er schon vor Jahren die Astrologie für die menschlichen Minderheiten, dabei die Wissenschaft der menschlichen Geistes veränderte und vorgelegt, daß seine Wissenschaft noch vor Ende des Jahres 1900 in den Tag kommen würde. Ein astronomischer dieser bestehende Gebiete eines neuen Mannes, der Herrschaftswissenschaften so nennt, daß sie ganz aufeinandergegründet stehen, daß seine noch zwei Jahre bevorsteht in einem Mannes. Es wird dies mit wenig weniger von Tausenden von Fällen.

Der Gelehrte bewegt der Welt sein Vertrauen, indem er sich erhebt, einen langen Brief voll menschlicher Kenntnisse der Vergangenheit, Gegenwart und Zukunft eines jeden zu senden. Dieser Brief schreibt und schreibt er ganz auf seine eigenen Regeln an, daß auf einer 18-Meinung. Prof. Tolstoy davon berichtet und das gesamte Leben seiner Geburt, sowie seinen Stand, ob das eine oder andere, angibt. Der Brief wird, daß jeder einander die Diktion ist. Die wichtigsten Meinungen lassen sich nicht gut mehr und werden einen ganz viel Hilfe und Freude bringen. Die Prof. Tolstoy richtet man an Herrn Prof. Alex. Tolstoy, 61, Holloway, E. C., 304, London, England.

Es ist wichtig, daß angegebene Zeitungen solchen Schwandelfarben der Spalten öffnen.

Forschung für Freunde der Himmelsüberwachung. Aus dem Lustrations des «Stern» und der anderen größeren und kleiner sehr gut erhaltenen Formobert zum Verkauf angeboten worden. Foranden der Himmelsüberwachung, welche die Anschaffung von solchen Instrumenten beschließen, und sich diesfalls an mich wenden. Ich ich in jeder gewünschten Auskunft ganz bereit. Prof. Dr. Klein.

Stellungen der Jupitermonde im Februar 1903.

I.		$\begin{matrix} I \\ 4 \end{matrix}$	III.		$\begin{matrix} d \\ 4 \end{matrix}$	$\begin{matrix} r \\ 4 \end{matrix}$
II.		$\begin{matrix} I \\ 4 \end{matrix}$	IV.		$\begin{matrix} d \\ 4 \end{matrix}$	$\begin{matrix} r \\ 4 \end{matrix}$

Stellungen um 12^h für den Anblick im astronomischen Fernrohr

Tag	West.		Öst.
1		-8 10- 1.	-2
2		4- 10	-8 -9
3		6- 10	1-
4		7- 10	2-
5	10- 1	8- 10	3-
6	-4 2-	9- 10	4-
7		10- 10	5-
8		-5 10	6-
9		1- 10	7-
10		0 10- 14	8-
11		2- 10	9-
12		3- 10	10-
13		4- 10	11-
14	-5 10	5- 10	12-
15		6- 10	13-
16		7- 10	14-
17		8- 10	15-
18		9- 10	16-
19		10- 10	17-
20		11- 10	18-
21		12- 10	19-
22		13- 10	20-
23		14- 10	21-
24		15- 10	22-
25		16- 10	23-
26		17- 10	24-
27		18- 10	25-
28		19- 10	26-
29	20- 10	20- 10	27-
30		21- 10	28-
31		22- 10	29-

Erleuchtungen der Jupitermonde. Die starkeften Angaben über die Erleuchtungen der Jupitermonde besitzen wir auf frühere Zeit von Oronceus. Die Tabellen sind der Reihenfolge ihres Abstandes vom Jupiter nach III bis IV geordnet. Das viergrößte Figuren zeigen die Stellung jedes Mondes mit Bezug auf den Jupiter für den Augenblick der Verfinsternng (v) oder des Wiederauftretens (r). Ist v nicht angegeben, so kann der Ausritt, aus dem Schatten nicht beobachtet worden. Ferner bedeutet bei den nachfolgenden Erleuchtungen:

- Ec D das Verschwinden des Trabanten im Schatten des Jupiter.
Ec R das Ausritt des Trabanten aus dem Schatten des Jupiter.
Oc D das Verschwinden des Trabanten hinter der Jupiterschleife.
Oc R das Wiederauftreten desselben gegen der Jupiterschleife.
Tr I den Eintritt des Trabanten vor der Jupiterschleife.
Tr E den Ausritt des Trabanten aus der Jupiterschleife.
Sh I das Eintriften des Trabanten auf die Jupiterschleife.
Sh E das Austriften des Trabanten von der Jupiterschleife.

Es sind nur diejenigen Erleuchtungen der Jupitermonde aufgeführt, welche sich ereignen, wenn Jupiter in Opposition über und die Sonne unter dem Horizont steht. Um die Momente dieser Erleuchtungen nach mathematischer Zeit zu finden, hat man nur nötig, T^h zu den angegebenen Zeitpunkten zu addiren.

Februar 1. III Oc. D. 12^h 30^m. III Oc. R. 12^h 30^m. III Ec. D. 12^h 31^m 10^s. IV Tr. I. 12^h 31^m. IV Tr. E. 12^h 31^m. III Ec. R. 12^h 31^m 40^s. II Oc. D. 12^h 31^m. Februar 2. II Tr. I. 12^h 31^m. II Sh. I. 12^h 31^m. II Tr. E. 12^h 31^m. I Tr. I. 12^h 31^m. II Sh. E. 12^h 31^m. I Sh. I. 12^h 31^m. I Tr. E. 12^h 31^m. Februar 3. I Oc. D. 12^h 31^m. I Ec. R. 12^h 31^m 10^s. Februar 4. III Sh. E. 12^h 31^m. II Oc. D. 12^h 31^m. I Tr. I. 12^h 31^m. I Ec. R. 12^h 31^m 20^s. I Tr. E. 12^h 31^m. I Sh. E. 12^h 31^m. Februar 5. I Oc. D. 12^h 31^m. I Ec. R. 12^h 31^m 30^s. Februar 6. II Sh. E. 12^h 31^m. I Tr. I. 12^h 31^m. I Ec. R. 12^h 31^m 40^s. II Oc. D. 12^h 31^m. II Ec. D. 12^h 31^m. Februar 7. II Sh. E. 12^h 31^m. I Tr. I. 12^h 31^m. I Ec. R. 12^h 31^m 50^s. II Oc. D. 12^h 31^m. II Ec. D. 12^h 31^m. Februar 8. IV Ec. D. 12^h 31^m. II Oc. R. 12^h 31^m 10^s. I Tr. I. 12^h 31^m. II Sh. I. 12^h 31^m. II Tr. E. 12^h 31^m. I Tr. I. 12^h 31^m. Februar 9. I Oc. D. 12^h 31^m. I Ec. R. 12^h 31^m 20^s. Februar 10. I Tr. E. 12^h 31^m. I Sh. E. 12^h 31^m. Februar 11. II Tr. E. 12^h 31^m. II Sh. E. 12^h 31^m. I Tr. I. 12^h 31^m. I Ec. R. 12^h 31^m 30^s. I Tr. E. 12^h 31^m. I Sh. E. 12^h 31^m. I Tr. I. 12^h 31^m. I Ec. R. 12^h 31^m 40^s. II Oc. D. 12^h 31^m. II Ec. D. 12^h 31^m. Februar 12. II Tr. E. 12^h 31^m. II Sh. E. 12^h 31^m. II Oc. D. 12^h 31^m. II Ec. D. 12^h 31^m. I Tr. I. 12^h 31^m. I Sh. I. 12^h 31^m. II Ec. R. 12^h 31^m 50^s. I Tr. E. 12^h 31^m. I Sh. E. 12^h 31^m. Februar 13. I Oc. R. 12^h 31^m 10^s. II Oc. D. 12^h 31^m. Februar 14. II Tr. I. 12^h 31^m. Februar 15. IV Tr. E. 12^h 31^m. IV Sh. E. 12^h 31^m. I Oc. D. 12^h 31^m. Februar 16. II Tr. I. 12^h 31^m. II Tr. E. 12^h 31^m. II Oc. D. 12^h 31^m. II Sh. E. 12^h 31^m. I Tr. I. 12^h 31^m. II Sh. E. 12^h 31^m. I Tr. I. 12^h 31^m. I Ec. R. 12^h 31^m 20^s. Februar 17. II Sh. I. 12^h 31^m. I Tr. I. 12^h 31^m. II Tr. E. 12^h 31^m. II Sh. E. 12^h 31^m. I Tr. I. 12^h 31^m. I Ec. R. 12^h 31^m 30^s. Februar 18. I Ec. R. 12^h 31^m 40^s. Februar 19. I Sh. E. 12^h 31^m. Februar 20. II Tr. I. 12^h 31^m. IV Oc. D. 12^h 31^m. III Tr. R. 12^h 31^m. II Oc. D. 12^h 31^m. IV Oc. R. 12^h 31^m. II Sh. I. 12^h 31^m. I Tr. E. 12^h 31^m. Februar 21. I Oc. D. 12^h 31^m. I Ec. R. 12^h 31^m 50^s. Februar 22. II Tr. I. 12^h 31^m. I Tr. E. 12^h 31^m. II Sh. I. 12^h 31^m. II Tr. E. 12^h 31^m. I Tr. I. 12^h 31^m. I Ec. R. 12^h 31^m 10^s. I Tr. E. 12^h 31^m. I Sh. E. 12^h 31^m. II Sh. E. 12^h 31^m.

Sehen und seine Monde soll bis gegen Mitte Mai 1907 nicht zu beobachten.



Fig. 1.
Dares. 25. Sept. 1906.



Fig. 2.
Cap Agassiz. 4. Sept. 1906.



Fig. 3.
Koplin. 26. Sept. 1906.



Fig. 4.
Cook and Cook. 5. Okt. 1906.





